

Н. В. БЕЗНОСОВ
В. В. МИТТА

ПОЗДНЕБАЙОССКИЕ
И БАТСКИЕ
АММОНИТИДЫ
СЕВЕРНОГО КАВКАЗА
И СРЕДНЕЙ АЗИИ



ВСЕРОССИЙСКИЙ НАУЧНО-ИССЛЕДОВАТЕЛЬСКИЙ
ГЕОЛОГИЧЕСКИЙ НЕФТЯНОЙ ИНСТИТУТ
(ВНИГНИ)

Н. В. БЕЗНОСОВ · В. В. МИТТА

ПОЗДНЕБАЙОССКИЕ
И БАТСКИЕ
АММОНИТИДЫ
СЕВЕРНОГО КАВКАЗА
И СРЕДНЕЙ АЗИИ



Москва "Недра" 1993

ББК 26.3
П 47
УДК 564.53(470.6 + 575)

*Выпущено по заказу Всероссийского научно-исследовательского
геологического нефтяного института (ВНИГНИ)*

П $\frac{1804040000 - 152}{043(01) - 93}$ Заказное

ISBN 5-247-02937-2

© Всероссийский научно-исследовательский геологический нефтяной институт (ВНИГНИ), 1993

ПРЕДИСЛОВИЕ

Северный Кавказ и Средняя Азия – обширные регионы развития юрских, в том числе верхнебайосских и батских отложений, в мире. Они обнажаются на северном склоне Кавказа, образуя прерывистую цепь выходов от р. Шебш на западе до р. Самур на востоке, в ядре антиклинория Большого Балхана, в центральной части Туаркыра, вдоль северных и южных склонов Мангышлакского Каратау и в продолжающих его на восток поднятиях, до западных чинков Устюрта, а также в хребтах Юго-Западного Гиссара. Байосские и батские отложения также образуют значительную по толщине часть осадочного чехла в равнинных областях Предкавказья и Средней Азии, где вскрыты многочисленными скважинами, а также пройдены бурением в Западном Копетдаге.

На этой обширной территории верхнебайосские и батские отложения формировались в широком диапазоне морских и континентальных обстановок – от подножий континентального склона и некомпенсированных желобов до подгорных аллювиальных равнин. Морские фауны с аммонитидами присутствуют почти во всех областях выходов, кроме востока Мангышлака и северо-востока Юго-Западного Гиссара. Разработанные схемы стратиграфии юрских отложений [33, 34] являются по существу литолого-стратиграфическими. Биостратиграфическое расчленение и датировка отложений в значительной мере базируются на неопубликованных материалах. В литературе отражено менее 10% позднебайосских и батских аммонитид от общего числа зарегистрированных таксонов. Имеющиеся работы основаны на сборах по отдельным районам. Используемая в них номенклатура устарела.

Первые сведения о присутствии байосских и батских отложений на Северном Кавказе приведены Г. Абигом, коллекцию которого описали М. Неймайр и В. Улиг, приведя виды из разрезов Северной Осетии и Дагестана. Некоторые аммонитиды богатейшего местонахождения на р. Кубань у станицы Красногорской описаны А. Я. Затворницким [15] и более полно – И. Р. Кахадзе и В. И. Зесашвили [18]. Фауна разреза Ходского перевала в Северной Осетии опубликована Л. А. Никаноровой [27]. Наибольшее количество работ посвящено аммонитидам Дагестана. После М. Неймайра и В. Улига в книге, посвященной геологической экспедиции М. Дехи, несколько рисунков некоторых видов перисфинктид и их описания дал К. Папп [110]. К. Ренц [123], совершивший поездку в Дагестан, изобразил некоторые виды паркинсонид и перисфинктид, определения и последовательность которых в разрезе в значительной мере ошибочны, что привело к длительной путанице в стратиграфии верхнего байоса, бата и верхней юры Дагестана. Г. Я. Крымголец [20] длительное время изучал коллекции ниже- и

среднеюрских головоногих из разрезов Северного Кавказа и Дагестана, однако количество опубликованных им позднебайосских и раннебатских видов невелико. Филлоцератидам и литоцератидам посвящена работа Н. В. Безносова [5].

Первая публикация среднеюрских аммонитов Средней Азии принадлежит С. Н. Никитину [28], описавшему *Procerites (Siemiradzka) bucharica* из среднего бата Юго-Западного Гиссара, ошибочно датировавшего его келловеем. Коллекция Н. И. Никшича из верхнего байоса Большого Балхана описана Н. Е. Худяевым [38], относившим в отличие от принятого ныне стандарта зону parkinsoni к бату. Эта разница в трактовке границы байоса и бата длительное время не учитывалась последующими исследователями, что привело к ошибкам в корреляции и датировке свит этого возраста на Мангышлаке, Туаркыре и Большом Балхане. Немногие виды, неправильно определенные и датированные, изображены Л. В. Сибиряковой [36]. Паркинсониидам Средней Азии посвящена работа К. Н. Аманниязова [4] и статьи В. В. Кутузовой [23, 24]. Некоторые батские аммонитиды хр. Кугитангтау изобразили Г. Я. Крымгольц и Е. В. Захаров [21].

Целью предлагаемой работы является публикация видов из богатейших сообществ позднебайосских и батских аммонитид, образующих непрерывную последовательность во времени, на распространении которых основываются зональное расчленение и точные датировки отложений. Материалом послужили коллекция аммонитид, насчитывающая более 3000 экземпляров, длительное время собиравшаяся сотрудниками ВНИГНИ, ВНИИГаза, МГУ, а также сотрудниками геологосъемочных партий геологоразведочных организаций, и результаты личных исследований авторов по стратиграфии юрских отложений.

Описание аммонитид ограничено таксонами видового и родового уровней. Группировки родов в семейства и подсемейства для перифинкций приняты по Н. В. Безносову, В. В. Кутузовой и И. А. Михайловой [7, 9, 11], других подсемейств по В. Аркеллу [41, 45], Доновану и др. [63].

Виды семейств Stephanoceratidae, Parkinsoniidae, Morphoceratidae, Tulitidae и Perisphinctidae описаны Н. В. Безносовым, семейств Clydoniceratidae, Strigoceratidae, Lissoceratidae, Oppeliidae и Sphaeroceratidae – В. В. Митта.

ЗОНЫ ВЕРХНЕБАЙОССКИХ И БАТСКИХ ОТЛОЖЕНИЙ СЕВЕРНОГО КАВКАЗА И СРЕДНЕЙ АЗИИ

В работе использована международная шкала зон юрской системы [16], которая в части байоса и бата соответствует зональному стандарту Западной Европы. Единственным отличием используемой зональной шкалы является замена вида-индекса нижней зоны верхнего бата – *Oxycerites aspidoides* на *Prohecticoceras retrocostatum*, что связано с тем, что голотип первого вида происходит из нижнего бата. Применяемое в книге литолого-стратиграфическое расчленение верхнебайосских и батских отложений Северного Кавказа детально описано в работах [6, 31], Средней Азии – в работе [30]. Это расчленение принято и в утвержденных МСК стратиграфических схемах юрских отложений Северного Кавказа и Средней Азии [33, 34]. В систематизированной и упрощенной форме схемы литолого-стратиграфического расчленения приведены на рис. 1 и 2. В этих таблицах также указаны преобладающие обстановки осадконакопления отложений свит. Основные местонахождения описанных аммонитид показаны на рис. 3 и 4.

БАЙОССКИЙ ЯРУС

Верхний подъярус

ЗОНА SUBFURCATUM

Отложения этой зоны в морских фациях с аммонитидами развиты на северном склоне Кавказа в составе верхней джангурской подсвиты в междуречье Ходзя и Кубани, верхней джорской подсвиты – в междуречье Малки и Терека, в верхах кумухской и низах цудахарской свит Чечено-Ингушетии и Дагестана. Наиболее полно охарактеризованы разрезы: на левом склоне долины Кубани у станицы Красногорская и на южном склоне горы Джангура, в районе Ходского перевала, в Северной Осетии и в Дагестане – в долине Аварского Койсу у сел. Дагуна и Ирганай. В Средней Азии зона в морских фациях с аммонитами представлена в основании обнаженной части разреза чалойской свиты на Большом Балхане западнее колодцев Карачагыл и в Чалойской котловине.

Нижняя граница зоны проводится по появлению разнообразной фауны ранних лептосфинктин и паркинсонид, сменяющих *Stephanoceras*, *Teloceras*, *Dorsetensia* spp.

Выделяются два ориктокомплекса. Первый распространен в верхах кумухской и в основании цудахарской свиты в Дагестане и предс-

Ярус	Подъярус	Зона	Местное стратиграфическое расчленение			
			Междуречье Ходзя и Кубани	Междуречье Малки и Ассы	Дагестан и Чечено-Ингушетия	
Кел-ловеи	Нижний	macrocephalus	каменноостская св. песчаники, глины, мелководный шельф	Свита сарыдюз — континентальные песчаники до 90 м	Таргимская и кородинская свиты — прибрежноморские и континентальные алевролиты, песчаники до 50 м	
		discus				
		retrocostatum				
		subcontractus				
Бат	Средний	progracilis	Угловое несогласие			
		zigzag				
Байос	Верхний	parkinsoni	Аргиллиты и глинистые алевролиты с конкрециями, массивные; глубокий и мелкий шельф с низкой гидродинамикой до 700 м	Глинистые алевролиты, мелководный шельф, подножья склонов трога до 700 м	Верхняя подсвита — алевролиты, мелкий шельф до 670 м	
		garantiana				Средняя подсвита — аргиллиты массивные с конкрециями, глубокий шельф с низкой гидродинамикой до 600 м
		subfurcatum				
	Нижний	humphriesianum	Аргиллиты с конкрециями до 300 м	Аргиллиты, покровные песчаники, резкорасчленинный рельеф дна до 900 м	Кумухская свита — аргиллиты, глинистые алевролиты, каналовые песчаники, авандельта, продельта до 1670 м	

Джангурская свита
Верхняя подсвита
Нижняя подсвита

Джорская свита
Верхняя подсвита
Нижняя подсвита

Цудахарская свита

Ярус	Подъярус	Зона	Местное стратиграфическое расчленение		
			Большой Балхан	Туаркыр	Юго-Западный Гиссар
Кел-ловей	Нижний	macrocephalus	Кошаджубинская свита — песчаники, детритовые известняки, аргиллиты, шамозитовые оолиты, мелкий шельф с активной гидродинамикой	Кафаклинская свита — глины пятнистые с прослоями песчаников и горизонтами ископаемых почв, континентальные	Байсунская свита, средняя подсвита — мергели, глинистые известняки до 70 м
	Верхний	discus			до 70 м
retrocostatum		0,5—150 м			
Бат	Средний	subcontractus	Угловое несогласие		Тангидувульская свита
		progracilis	Сеутлинская свита — песчаники, дельта до 300 м	Верхняя подсвита — алевролиты, детритовые известняки, мелкий шельф до 100 м	
	zigzag	Меуламская свита — аргиллиты, песчаники, продельта — дельта до 1200 м	Средняя подсвита — аргиллиты, мелкий шельф до 75 м		
Байос	Верхний	parkinsoni	Ташарватская свита — аргиллиты, продельта до 300 м	Огрыдагская свита песчаники, глины, мелкий шельф, лагуна, пляж до 300 м	Нижняя подсвита — аргиллиты, алевролиты, приливная равнина 50 м
		garantiana	Копчугайская свита — песчаники, дельта до 70 м		Верхняя подсвита — аргиллиты надприливная равнина до 50 м
		subfurcatum	Чалойская свита — аргиллиты, продельта более 1200 м		Средняя подсвита — алевролиты, песчаники, мелкий шельф до 150 м
	Нижний	humphriesianum	Не обнажены	Салахбентская свита — песчаники, алевролиты, глины, угли, надприливная равнина до 600 м	Нижняя подсвита — песчаники, алевролиты, угли, надприливная равнина
					Гурудская свита — песчаники, алевролиты, глины, угли, аллювиальная равнина до 300 м

Рис. 2. Стратиграфическое расчленение и преобладающие обстановки осадконакопления верхнебайосских и батских отложений запада Средней Азии

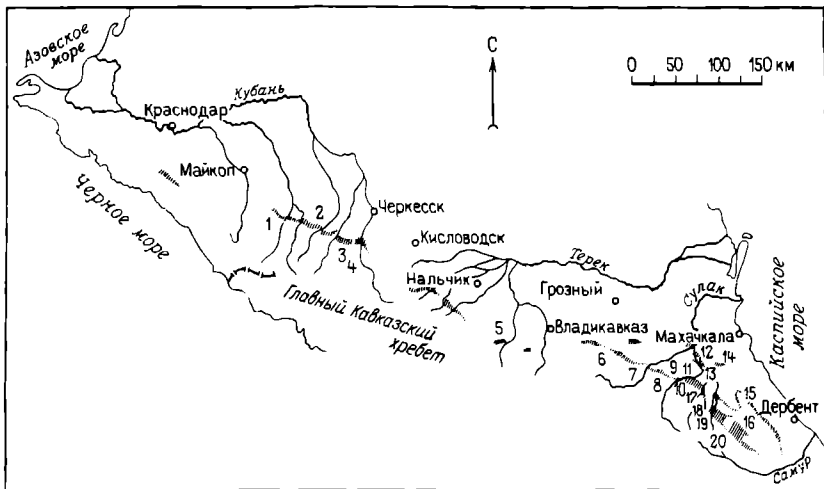


Рис. 3. Схема расположения основных местонахождений позднебайосских и батских аммонитид на северном склоне Кавказа. Местонахождения:

1 — р. Ходзь; 2 — р. Уруп, 3 — гора Джангура, 4 — станция Красногорская, 5 — Ходский перевал, 6 — р. Чантыргун, 7 — сел. Гигатлиурух, 8 — сел. Ахваштаб, 9 — сел. Датуна, 10 — сел. Голотль, 11 — сел. Корода, 12 — сел. Ирганай, 13 — сел. Араканы, 14 — сел. Кадар, 15 — хр. Лес (сел. Герги, Урахи, Куладты), 16 — сел. Урхарах, 17 — гора Гуниб, 18 — сел. Чох, 19 — сел. Кумух, 20 — сел. Кули

тавлен: *Lissoceras (Lissoceras) oolithicum* (d'Orbigny), *Oppelia (Oecotrastes) gratus* Mitta sp. nov., *O. (O.) rectus* Mitta sp. nov., *Oppelia (Oppelia) flexa* (Buckman), *O. (O.) subradiata* (Sowerby), *Sphaeroceras brongniarti* (Sowerby), *Cadomites (Cadomites) lissajousi* Roche, *Orthogarantiana (Orthogarantiana) bifurcata* (Zieten), *O. (Torrensia?) sp.*, *Garantiana asarjani* Besnosov, *Caumontisphinctes (Caumontisphinctes) bifurctus* Buckman, *C. (C.) rota* (Bentz), *C. (C.) aplous* Buckman, *C. (C.) diniense* Pavia, *C. (Infraparkinsonia) inferior* (Bentz), *C. (I) debilis* (Wetzel), *Spiroceras* cf. *althoffi* Potonie, *Pseudogarantiana dichotoma* (Bentz), *P. nodosa* Bentz, *Stenoceras* sp., *Praebigotites (Praebigotites) constrictus* Besnosov sp. nov., *P. (Otiosphinctes) inganajense* Besnosov. Помимо аммонитид в этом ориктокомплексе обильно представлены мелкие раковины филлоцератид и литоцератид: *Adabofoloceras abichi* (Uhlig), *A. besnosovi* (Sturani), *Holcophylloceras zignodianum* (d'Orbigny), *Calliphylloceras disputabile* (Zittel), *Eurystomice-ras polyhelictum* (Böckh). Только в разрезе Датуна найдены *Cadomites (Cadomites) lissajousi* (Roche), *Leptosphinctes (Leptosphinctes) coronarius* Buckman, *Bajocisphinctes (Bajocisphinctes) gurami* (Kakhadze et Zessashvili), представленные крупными экземплярами.

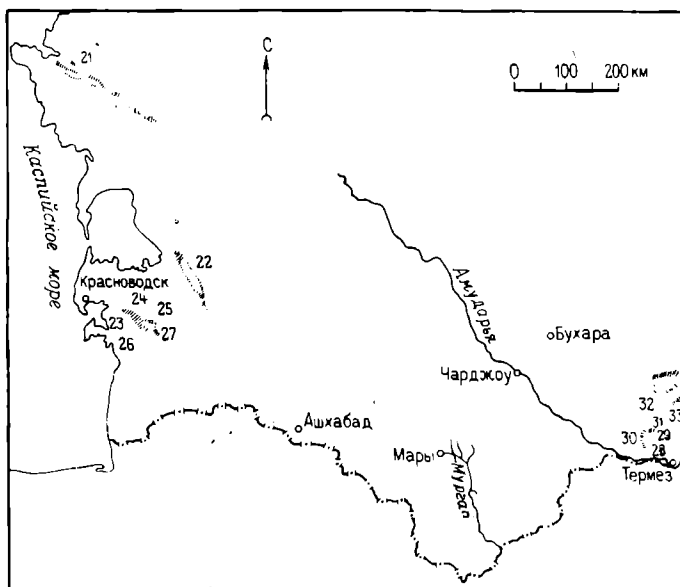


Рис. 4. Схема расположения основных местонахождений позднебайосских и батских альмонитид на западе Средней Азии. Местонахождения:

21 — хр. Западный Каратау (колодцы Сарыкаспак, гора Карачимирау), 22 — гряды Огрыдаг, 23 — колодцы Карайман, Девона, Шорли, 24 — гора Огланлы, колодцы Чалой, 25 — сел. Ташарват, кяриз Меулам, тропа Ишекиол, 26 — кяриз Екерем, 27 — ущелье Ташлыдере, 28 — родник Казанбулак, родник Чашмабулак, 29 — сай Вандоб, урочище Сарыкамыш, гора Мых, 30 — сел. Кызылалма, 31 — урочище Тангидувал, 32 — сел. Дербент, 33 — сел. Туода

По присутствию *Caumontisphinctes* spp. и положению в разрезе непосредственно над слоями с *Teloceras blagdeni* этот ориктокомплекс сопоставляется с ориктокомплексами подзон *banksi* и *polygyalis*. Однако в этом ориктокомплексе широко распространены *Pseudogarantiana* spp., включая *P. dichotoma* Ventz. Последняя в западноевропейских схемах указывается как вид-индекс нижней подзоны зоны *garantiana*. В нашем материале *Pseudogarantiana* происходят из одних и тех же конкреций с *Caumontisphinctes* и *Praebigotites*. Обращает на себя внимание также редкость в ориктокомплексе представителей *Strenoceras*.

Второй ориктокомплекс характеризует низы верхней джангурской подсвиты и представлен: *Oppelia* (*Oppelia*) *subradiata* (Sowerby), *Sphaeroceras brongniarti* (Sowerby), *Orthogarantiana* (*Orthogarantiana*) *densicostata* (Quenstedt), *O.(O.) baculata* (Zieten), *O.(O.) haugi* Pavia, *O.(O.) conjugata* (Quenstedt), *Garantiana praegarantiana* Besnosov sp.nov., *Leptosphinctes* (*Leptosphinctes*) *leptus* Buckman, *L.(L.) hodicus* Nikanorova, *L.(Cleistosphinctes) asinus* (Zatwornitzki), *L.(C.) cleis-*

tus Buckman, *Bajocisphinctes* (*Bajocisphinctes*) *ultimum* (Kakhadze et Zessashwili), *B. (B.) gurami* (Kakhadze et Zessashwili), *B. (B.) cf. perspicuus* Pavia, *B. (Obsoletosphinctes) guramiformis* Besnosov sp. nov., *B. (O.) interruptus* (Pavia), *Oxysphinctes kubanensis* Besnosov, *Spiroceras annulatum* (Deshayes), *Strenoceras bajocense* (Defrance), *S. subfurcatum* (Zieten).

Этот комплекс по присутствию вида-индекса и обильным *Strenoceras* однозначно коррелируются с подзоной *baculatum* (schroederi). Подстилающие слои нижней джангурской подсвиты содержат редкие *Stephanoceras*, *Teloceras*, *Dorsetensia*.

Ближний ориктокомплекс характеризует низы чалойской свиты западнее колодцев Карачагыл и южнее колодцев Караиман-Шорли на Большом Балхане, где собраны: *Lissoceras* (*Lissoceras*) *oolithicum* (d'Orbigny), *L. (L.) meletense* Parona, *L. (Microlissoceras) pusillum* Sturani, *Strigoceras* (*Strigoceras*) *truellii* (d'Orbigny), *S. (S) paronai* (Trauth), *S. (Cadomoceras) cadomence* (Defrance), *Oppelia* (*Oppelia*) *subradiata* (Sowerby), *O. (O.) pleurifer* (Buckman), *O. (Oecotraustes) genicularis* Waagen, *O. (O.) westermanni* Stephanov, *O. (O.) costiger* Buckman, *Sphaeroceras brongniarti* (Sowerby), *Cadomites* (*Cadomites*) ex. gr. *lissajousi* Roche, *Orthogarantiana* (*Orthogarantiana*) *baculata* (Quenstedt), *O. (O) densicostata* (Quenstedt), *O. (O.) conjugata* (Quenstedt), *O. (Torrensia) sp. nov.*, *Spiroceras sp.*, *Strenoceras niortense* (d'Orbigny), *S. bajocense* (Blainville), *S. subfurcatum* (Zieten), *S. bigoti* (Brasil), *Leptosphinctes* (*Leptosphinctes*) *coronarius* Buckman, *L. (L.) densicostatus* Besnosov sp. nov., *L. (Cleistosphinctes) balchanensis* Besnosov sp. nov., *Bajocisphinctes* (*Bajocisphinctes*) *gurami* (Kakhadze et Zessashwili), *B. (B.) ultimum* (Kakhadze et Zessashwili).

Обильно представлены также филоцератиды и литоцератиды: *Adabofoloceras abichi* (Uhlig), *A. besnosovi* (Sturani), *Calliphylloceras disputabile* (Zittel), *Holcophylloceras zignodianum* (d'Orbigny), *Dinolycoceras sp.*, *Eurystomiceras polyhelictum* (Böckh).

Совместное нахождение представителей обоих ориктокомплексов установлено в районе Ходского перевала. Здесь по данным Л. А. Никаноровой [27] и нашим в верхней джорской подсвите наблюдается следующая последовательность аммонитид.

1. В аргиллитах с крупными кальцитовыми конкрециями, образующими нижнюю часть обнаженной здесь верхней джорской подсвиты (250 м): *Garantiana sp.*, *Pseudogarantiana sp.*, *Praebigotites* (*Praebigotites*) *ardonense* (Nikanorova).

2. В покрывающих глинистых алевролитах и алевролитистых аргиллитах (100 м): *Orthogarantiana* (*Orthogarantiana*) *baculata* (Quenstedt), *Strenoceras subfurcatum* (Zieten), *Praebigotites* (*Praebigotites*) *ardonense* (Nikanorova), *Leptosphinctes* (*Leptosphinctes*) *leptus* Buckman, *L. (L.) coronarius* (Buckman), *L. (Cleistosphinctes) nikanorovae* Besnosov

sp. nov., *Bajocisphinctes (Bajocisphinctes) gurami* (Kakhadze et Zesashwili).

В этой последовательности *Pseudogarantiana* sp. находится ниже *Strenoceras* и *Orthogarantiana baculata*.

В Чалойской котловине на Большом Балхане собран обильный комплекс оппелиацей и лептосфинктин, аналогичный комплексу из подзоны *baculata* района колодцев Карачагыл, но без стреноцерасов. Вероятно, этот комплекс характеризует более высокие слои.

ЗОНА GARANTIANA – ПОДЗОНА ACRIS

ЗОНЫ PARKINSONI

Отложения этой зоны в морских фациях с аммонитами на северном склоне Кавказа представлены в тех же районах, свитах и подсвитах, что и зоны *subfurcatum*. Наиболее обильны аммонитидами разрезы на Аварском Койсу у сел. Датуна, а также в междуречье Аварского и Андийского Койсу. Представители комплекса этой зоны известны в артезианской свите Восточного Предкавказья. В Средней Азии зона представлена в верхней части чалойской свиты и в низах копчугайской свиты Большого Балхана, в нижних частях огрыдагской свиты Туаркыра и сарыдиирменской свиты Мангышлака, в средней дегибадамской подсвите Юго-Западного Гиссара.

Нижняя граница зоны в разрезах, где подстилающие слои содержат аммонитиды зоны *subfurcatum* (Северный Кавказ, Большой Балхан), проводится по появлению видов, рода *Rarecostites*. *Garantianinae* представлены ограниченным числом видов, родов и экземпляров. Два вида рода *Garantiana* – *G. asarjani* и *G. praegarantiana* Besnosov spp. происходят из зоны *subfurcatum*. *Hlawiceras* aff. *subgaranti* (Wetzel) найден в разрезе.

в разрезе Ходского перевала выше уровня со *Strenoceras subfurcatum* и ниже *Rarecostites rarecostatum* (Buckman), аналогичное положение в разрезе Большого Балхана занимают *Praeparkinsonia* cf. *subbaculata* Schmidtil et Krumbeck и *P. tschaloica* Besnosov sp.nov. В то же время в разрезах Кубани и Дагестана *Rarecostites* найдены непосредственно над зоной *subfurcatum*, а первые представители *Rarecostites* – *R. tenuicostatus* Besnosov sp. nov., еще близкие к *Caumontisphinctes*, а также *R. interruptus* (Brugiere), *R. radiatus* (Renz) происходят из зоны *subfurcatum*.

Ориктокомплекс зоны олиготаксонный. На Северном Кавказе он включает: *Rarecostites interruptus* (Brugiere), *R. radiatus* (Renz), *R. rarecostatum* (Buckman), *R. wetzeli* Schmidtil et Krumbeck, *R. acris* (Wetzel), *R. mutabilis* (Nicolesco), совместно с которыми обычно встречаются транзитные виды филлоцератид и литоцератид:

Calliphylloceras disputabile (Zittel), *Holcophylloceras zignodianum* (d'Orbigny), *Pseudophylloceras kudernatschi* (Hauer), *Thysanolytoceras* sp., *Dinolytoceras zhivagoi* Besnosov. В верхней части слоев с *Rarecostites* spp. найдены также единичные *Bigotites petri* Nicolesco (Дагестан, сел. Кадар, Герги), *Prorsisphinctes* (*Planisphinctes*) *tenuissimus* (*Siemiradzki*), *Parkinsonia* sp. (сел. Датуна).

На Большом Балхâne обильные находки *Rarecostites* spp. приурочены к кровле чалойской свиты, где также найдены *Calliphylloceras disputabile* (Zittel), единичные представители рода найдены в нижней части копчугайских песчаников. В средней дегибадамской подсвите преобладают *Rarecostites mutabilis* (Nicolesco), вместе с которыми встречены эндемичные *Djanaliparkinsonia*. На Туаркыре и Мангышлаке найдены единичные *Rarecostites* плохой сохранности [23].

В западноевропейских зональных схемах [16] зона *garantiana* подразделяется на подзоны *dichotoma*, *subgaranti* (*trauthi*, *garantiana*) и *Bigotites* (*tetragona*). Уровень распространения *Rarecostites* в нашем понимании рассматривается как нижняя подзона ("subarietis", *acris*) зоны *parkinsoni*. В материалах Северного Кавказа устанавливается, что *Pseudogarantiana* spp., включая *P. dichotoma*, распространены ниже уровня со *Strenoceras* и *Orthogarantiana baculata*. Принятие подзоны *dichotoma* в составе зоны *garantiana* будет означать включение в состав последней и всего уровня распространения рода *Strenoceras*, т. е. ликвидацию зоны *subfurcatum*. Весь интервал между уровнями распространения *Strenoceras* и *Parkinsonia parkinsoni* – т. е. интервал, отвечающий зоне *garantiana*, охарактеризован *Rarecostites* с перекрытием в пограничных слоях. Единичный *Hlawiceras* aff. *subgaranti* найден в низах этого интервала, редкие *Bigotites* – в его верхней части. Если, следуя западноевропейским схемам, уровень с *Rarecostites* включать в зону *parkinsoni*, то необходимо в эту зону включать и уровни распространения *Hlawiceras* и *Bigotites*. В этом случае зона *parkinsoni* будет непосредственно смыкаться с зоной *subfurcatum*. Очевидно, что принятие этого варианта, так же как и альтернативное ему включение слоев со *Strenoceras* в состав зоны *garantiana*, не оправдано ни с точки зрения традиции, ни с точки зрения наблюдаемых последовательностей ориктокомплексов. Наиболее приемлемо выделение самостоятельной зоны с традиционным названием *garantiana*.

ЗОНА PARKINSONI

Отложения этой зоны в морских фациях с аммонитидами на Северном Кавказе входят в состав верхней джангурской подсвиты в междуречье Ходзя и Кубани и в состав средней цудахарской подсвиты Дагестана. В междуречье Кубани и Мартана отложения зоны *parkinsoni* в составе верхней джорской подсвиты не установлены и, вероятно, полнос-

тью эродированы перед поздним батом-келловеем. В Средней Азии зоне parkinsoni принадлежат верхняя часть копчугайской свиты и ташарватская свита Большого Балхана, немногочисленные аммонитиды этой зоны присутствуют в огрыдагской свите Туаркыра и сарыдиирменской свите Мангышлака. В Юго-Западном Гиссаре зоне parkinsoni принадлежат прибрежные отложения верхней дегибадамской подсвиты без аммонитид и, возможно, верхи средней дегибадамской подсвиты. Наиболее обильно представлен ориктокомплекс зоны parkinsoni в нижних двух третях средней цудахарской подсвиты в Дагестане (разрезы Датуна, Ахвахштаб и др.).

Нижняя граница зоны проводится по появлению рода *Parkinsonia* s. str. (исключая *Rarecostites*). Ориктокомплекс представлен: *Lissoceras* (*Lissoceras*) *psilodiscus* (Schloenbach), *Oxycerites plicatella* (Gemellaro), *Cadomites* (*Cadomites*) *daubeni* (Gemellaro), *C. (C.) deslonghampsi* (Defrance), *C. (Polyplectites) alievi* Kakhadze, *Rarecostites mutabilis* (Nicolesco), *R. wetzeli* (Schmidtill et Krumbeck), *Parkinsonia parkinsoni* (Sowerby), *P. densicostata* (Quenstedt), *P. zatornitzkii* Besnosov sp. nov., *P. nitaensis* Besnosov sp. nov., *P. pseudoplanulata* Besnosov sp. nov., *Gonolkites pseudoferrugineum* (Nicolesco), *Haselburgites schloenbachi* (Schlippe), *H. bomfordi* (Arkell), *H. admirandus* Buckman, *H. stephanoides* Besnosov sp. nov., *Prorsisphinctes* (*Prorsisphinctes*) *evolutoides* (Siemiradzki), *P. (P.) loczyi* (Papp), *P. (P.) intersertus* (Buckman), *P. (Planisphinctes) tenuissimus* (Siemiradzki).

Весьма обильны филлоцератиды и литоцератиды: *Holcophylloceras zignodianum* (d'Orbigny), *Pseudophylloceras kudernatschi* (Hauer), *Calliphylloceras disputabile* (Zittel), *C. achtalense* (Redlich), *Adabofoloceras subobtusum* (Kudernatsch), *A. belinskji* (Besnosov), *Dinolycoceras zhivagoi* Besnosov, *Thysanolytoceras* sp., *Megalyltoceras* sp., *Nannolytoceras tripartitum* (Raspail) et spp.

Ориктокомплекс зоны parkinsoni верхней джангурской подсвиты близок к дагестанскому, но более беден.

На Большом Балхане зоне parkinsoni принадлежат верхи прибрежных и каналовых песчаников копчугайской свиты и аргиллиты с прослоями песчаников, конкрециями и конкреционными конгломератами ташарватской свиты. Ориктокомплекс включает *Lissoceras* (*Lissoceras*) *haugi* Sturani, *Cadomites* (*Cadomites*) *tasharvaticus* Besnosov sp. nov., *Parkinsonia parkinsoni* (Sowerby), *P. densicosta* (Quenstedt), *P. toulai* Trauth, *P. balakhanensis* Khudjaev, *Prorsisphinctes* (*Prorsisphinctes*) ex gr. *meseres* (Buckman), а также *Calliphylloceras disputabile* (Zittel), *Adabofoloceras belinskji* (Besnosov), *Dinolycoceras zhivagoi* Besnosov. На Мангышлаке и Туаркыре найдены единичные *Parkinsonia* из группы *P. parkinsoni*.

В западноевропейских схемах зона parkinsoni подразделяется на

подзоны *acris* (*rarecostata*, "subarietis"), *densicosta* и *bomfordi*. Первая подзона характеризуется комплексом *Rarecostites* и выше нами объединена в единое подразделение с зоной *garantiana*. В дагестанском ориктокомплексе представлены виды-индексы обеих оставшихся подзон и характерные для этих подзон виды. Разделение ориктокомплекса на подзональные не представляется возможным из-за недостаточности привязки сборов. Ориктокомплекс из ташарватской свиты Большого Балхана характеризует подзону *densicostata*.

БАТСКИЙ ЯРУС

Нижний подъярус

ЗОНА ZIGZAG

Аммонитиды нижнего бата установлены в верхней части верхней джангурской подсвиты в междуречье Кубани и Большой Лабы, в верхней части средней и в верхней цудахарской подсвитах Чечено-Ингушетии и Дагестана, в меуламской свите Большого Балхана, в средней тангидувальской свите Юго-Западного Гиссара, единичные представители – в верхних частях огрыдагской свиты Туаркыра и сарыдиирменской свиты Мангышлака. Нижняя граница зоны проводится по появлению *Gonolkites convergens*. Следует подчеркнуть, что в непрерывных и богато охарактеризованных палеонтологических разрезах Дагестана в верхах средней цудахарской подсвиты фауны зон *parkinsoni* и *zigzag* сменяются постепенно, и наряду с видами зоны *zigzag* продолжают существовать некоторые виды зоны *parkinsoni*, включая вид-индекс.

Zigzagiceras zigzag (d'Orbigny), как и вообще род *Zigzagiceras*, на Северном Кавказе и в Средней Азии не установлены. Хотя временные ареалы раннебатских аммонитид частично перекрывают друг друга, можно выделить три группы последовательных ориктокомплексов, принадлежащих подзонам *convergens*, *macrescens* и *uevilensis* западно-европейских схем.

Подзона *convergens*. Верхнюю треть средней цудахарской и низы верхней подсвит характеризуют: *Lissoceras psilodiscus* (Schloenbach), *Oxycerites limosus* (Buckman), *O. seebachi* (Wetzel), *Parkinsonia pachypleura* Arkell, *P. pseudoplanulata* Besnosov sp. nov., *P. neuffensis* (Oppel), *Gonolkites convergens* Buckman, *G. crassum* (Nicolesco), *G. subplanulatus* (Wetzel), *Oraniceras wuerttembergicus* (Oppel), *O. fretensis* (Wetzel), *Morphoceras multiforme* Arkell, *Prorsisphinctes (Prorsisphinctes) evolutoides* (Siemiraszki), *P. (P.) loczyi* (Papp), *P. (P.) intersertus* (Buckman), *Procerites (Procerites) sp.* Немногочисленные представители этого комплекса представлены так-

же в верхней части верхней джангурской подсвиты в междуречье Кубани и Большой Лабы. В обоих районах совместно с аммонитами широко представлены виды филлоцератид и литоцератид, переходящие из зоны parkinsoni. В авандельтовых отложениях хр. Лес в Дагестане в составе комплекса подзоны convergens присутствуют *Pseudocoscocereras michalskii* (Borissjak) и *Medvediceras inclarium* Mourashkin).

На Большом Балхане в основании меуламской свиты найдены: *Oecotraustes bomfordi* Arkell, *Gonolkites subplanulatus* (Wetzel), *G. crassum* (Nicolesco), *G. convergens* Buckman, *Oraniceras gyrumbilicus* (Quenstedt), *Prosisphinctes (Prosisphinctes) evolutiodes* (Siemiradzki), *P. (P.) intersertus* (Buckman), *P. (Planisphinctes) torrensi* Stepanov, а также *Calliphylloceras disputabile* (Zittel), *C. achtalense* (Redlich), *Dinolytoceras zhivagoi* Besnosov.

Подзона macrescens. В верхней цудахарской подсвите собраны: *Oxycerites* sp., *Gonolkites arbatovi* Kutuzova, *Oraniceras wuerttembergicus* (Oppel), *O. fretensis* (Wetzel), *Morphoceras macrescens* (Buckman), *Franchia tliisense* Besnosov sp. nov., *Procerites (Procerites) sp.*, *P. (Siemiradzka) aurigera* (Oppel). В верхах нижней меуламской подсвиты найдены: *Oxycerites* sp., *Oraniceras gyrumbilicus* (Quenstedt), *Franchia* sp., *Procerites (Procerites) sp.*, *P. (Siemiradzka) aurigera* (Oppel), *P. (S.) stephanovi* Mangold, *P. (S.) procera* (Seebach). Вероятно, подзоне macrescens принадлежит ориктокомплекс средней тангидувальской подсвиты Юго-Западного Гиссара, в котором доминируют *Oraniceras gyrumbilicus* (Quenstedt) и присутствуют единичные *Oxycerites fallax* (Gueranger), *Procerites (Procerites) fowleri* Arkell, *P. (Siemiradzka) aurigera* (Oppel).

Подзона yeovilensis. Комплекс данной подзоны характеризует верхнюю меуламскую подсвиту Большого Балхана и представлен: *Paroecotraustes subfuscus* (Waagen), *Oxycerites limosus* (Buckman), *O. yeovilensis* Rollier, *Morphoceras patescens* (Buckman), *M. subpatescens* Besnosov sp. nov., *M. thalmani* Mangold, *Ebrayiceras* sp., *Procerites (Procerites) spp.*, *P. (Siemiradzka) aurigera* (Oppel), *P. (Siemiradzka) procera* (Seebach), *Adabofoloceras* sp. nov. За пределами Большого Балхана этот комплекс не установлен. На Северном Кавказе нижнебастские отложения более молодые, чем подзона macrescens, отсутствуют. На них и более древних слоях несогласно залегают либо прибрежные отложения верхов бата без аммонитов (свиты сарыджю – в междуречье Балхана и Чегема, таргимская – в междуречье Терека и Ассы и кординская в междуречье Аварского и Каракойсу), либо разновозрастные слои келловей и более молодые. В основании верхней трети огрыдагской свиты Туаркыра на гряде Огрыдаг прослеживается горизонт конкреций с крупными *Procerites (Procerites) laeviplex* (Quenstedt) и *P. (P.)*

fowleri Arkell, которые могут принадлежать подзонам *macrescens* или *yeovilensis*. В сарыдиирменской свите Мангышлака найден *Oraniceras* sp., который указывает, скорее всего, на подзону *convergens*.

Средний подъярус

ЗОНЫ PROGRACILIS И SUBCONTRACTUS

Богатейшая по таксономическому составу и обилию экземпляров фауна аммонитид среднего бата распространена в интервале верхних 4–5 м верхней тангидувальской подсвиты в Юго-Западном Гиссаре (хр. Кугитангтау, Сусызтау, южная часть хр. Байсунтау). Аммониты приурочены к линзам аммонитовых и аммонито-пелелиподовых ракушечников, залегающих среди массивных известковистых алевролитов, что затрудняет детальное установление последовательности таксонов. Ориктокомплекс в целом включает: *Paroecotraustes splendens* Arkell, *P. taubeugei* Stephanov, *P. formosus* Arkell, *Oxycerites* aff. *oxus* (Buckman), *Cadomites* (*Cadomites*) *zlatarskii* Stephanov, *C. (C.) cf. orbigny* Grossouvre, *Tulites* (*Tulites*) cf. *rugifer* (Buckman), *Morrisiceras* (*Morrisiceras*) cf. *lycetti* (Arkell), *M. (Holzbergia) schwandorfensis* (Arkell), *Bullatimorphites* (*Bullatimorphites*) *subcostatus* Besnosov sp. nov., *B. (Sphaeroptychius) ellipticus* Krystyn, *Kheraiceras* (*Kheraiceras*) cf. *subcosmopolita* (Lissajous), *Procerites* (*Procerites*) *lissajousi* Besnosov sp. nov., *P. (Siemiradzka) bucharicus* (Nikitin), *Gracilisphinctes* (*Gracilisphinctes*) *twinhoensis* (Arkell), *G. (G.) suprapalatinus* Arkell, *G. (G.) imitator* (Buckman), *G. (G.) pseudoimitator* Besnosov sp. nov., *G. (G.) aff. magnificus* Arkell, *G. (G.) evolutoides* Besnosov sp. nov., *G. (G.) paragracilis* Besnosov sp. nov., *G. (G.) kysylalmensis* Besnosov sp. nov., *G. (Prevalia) stephanovi* Besnosov sp. nov., *G. (P.) aff. veriacensis* (Lissajous), *G. (P.) thressa* Stephanov, *Loboplanulites cerealiformis* Besnosov sp. nov., *L. subkranaeformis* Besnosov sp. nov., *L. zakharovi* Besnosov sp. nov., *L. choffatiaformis* Besnosov sp. nov., *Homeoplanulites* (*Homeoplanulites*) *homeomorphum* Buckman, *H. (H.) rotundatus* (Roemer), *H. (Parachoffatia) subbackeriae* (d'Orbigny).

Найдены также единичные крупнораковинные *Calliphylloceras demidoffi* (Rousseau).

От нижележащих слоев с аммонитами – *Oraniceras gyumbilicus* и др. подзоны *macrescens* зоны *zigzag* уровень распространения рассматриваемого ориктокомплекса отделен интервалом с редкими неопределимыми перисфинктидами плохой сохранности, найденными в нижней половине верхней тангидувальской подсвиты. Хотя ориктокомплекс представляется единым, следует отметить, что *Tulites* (*Tulites*) cf. *rugifer* найден в низах охарактеризованного им интервала, *Morrisiceras* (*Morrisiceras*) cf. *lycetti* и *M. (Holzbergia) schwandorfensis* в его верхней

части, *Bullatimorphites (Sphaeroptichius) ellipticus* Krystyn в кровле, откуда также происходят и *Paroecotraustes* spp.

Рассмотренный ориктокомплекс характеризует зону *subcontractus* с подзонами *subcontractus* и *morrisi* западноевропейских схем, но включает и виды, характерные для зоны *retrocostatium* верхнего бата (*Paroecotraustes maubeugei*) и виды, цитируемые из зоны *progracilis*: *Oxycerites oxus*, *Paroecotraustes formosus*, а также крупные грацилисфинкты. Самостоятельность зоны *progracilis* вызывает сомнения. В английском стратотипе кроме вида-индекса ее характеризуют *Micromphalites micromphalus* Arkell и *Clydonicerases tegularum* Arkell, а также транзитные *Oxycerites*, *Paroecotraustes* и *Tulites*. За пределами Англии зона, если выделяется, имеет весьма нечеткую характеристику [75, 148].

Верхний подъярус

ЗОНА RETROCOSTATIUM

К данной зоне отнесена нижняя часть нижней байсунской подсвиты Юго-Западного Гиссара, имеющая по аммонитидам нечеткую палеонтологическую характеристику: *Prohcticoceras* sp., *Paroecotraustes maubeugei* Stephanov, *Gracilisphinctes (Gracilisphinctes) suprapalatinus* Arkell, *Wagnericeras* cf. *wagneri* (Oppel), *W. ex gr. suspensum* (Buckman), *Subgrossouvria* sp., *Choffatia* sp. Основанием для отнесения этого комплекса к зоне *retrocostatium* является его положение между комплексами зон *subcontractus* и *discus*.

ЗОНА DISCUS

В верхней части нижней байсунской подсвиты, в основном в детрито-онколитовых известняках в ее кровле собраны: *Clydonicerases (Clydonicerases) discus* (Sowerby), *C. (Delecticeras) delectum* (Arkell), *Procerites (Procerites)* sp., *P. (Siemiradzka) kasanbulakensis* Besnosov sp. nov., *Gracilisphinctes* sp., *Indosphinctes (Indosphinctes)* sp. nov. ex gr. *patina* (Neumayr), *Wagnericeras* sp., *Homeoplanulites (Parachoffatia) arisphinctoides* (Arkell), *H. (Homeoplanulites) rambertensis* Mangold, *Subgrossouvria hodjaikanensis* Besnosov sp. nov., *Grossouvria* sp.

Аммониты верхнего бата известны также из нижней половины кошаджульбинской свиты Большого Балхана. Последовательные комплексы из-за редкости находок здесь не устанавливаются. Найдены: *Clydonicerases (Clydonicerases) discus* (Sowerby), *Lissoceras (Lissoceras) vultense* (Oppel), *Paroecotraustes* cf. *maubeugei* Stephanov, *Oxycerites fuscooides* Westermann, *Loboplanulites prosorowski* Besnosov sp. nov., *Bullatimorphites (Bullatimorphites)* sp.

За пределами Юго-Западного Гиссара и Большого Балхана верхне-батские отложения либо отсутствуют, либо представлены в прибрежных и континентальных фациях без аммонитид.

Юго-Западный Гиссар и Большой Балхан являются одними из немногих районов в мире, где наблюдается непрерывный переход между батом и келловеем, выраженными в морских фациях с аммонитидами. На Большом Балхане в верхней части кошаджульбинской свиты найдены: *Kheraiceras (Kheraiceras) cf. bullatum* (d'Orbigny), *K. (Bomburites) sp.*, *Macrocephalites compressus* (Quenstedt), *Kamptokephalites caucasicus* (Dianelidze), *Indosphinctes spp.*, *Choffatia balkhanensis* Aman-nijasov. В средней байсунской подсвите Юго-Западного Гиссара собраны: *Kheraiceras (Bomburites) sp.*, *Macrocephalites macrocephalus* (Schlotheim), *M. compressus* (Quenstedt), *M. lamellosus* (Sowerby), *Kamptokephalites*, *Indosphinctes*, *Subgrossouvria*, *Choffatia*, *Grossouvria spp.*

Последовательность и таксономический состав зональных комплексов позднебайосских и батских аммонитид Северного Кавказа и Средней Азии в целом аналогичны последовательности и составу одновозрастных зональных комплексов отложений Европейско-Североафриканского сегмента океана Тэтис и его окраинных морей. Эндемичных родов зарегистрировано три: *Pseudocosmoceras*, *Medvediceras*, *Djanaliparkinsonia*. Находки представителей этих родов приурочены к распресненным участкам окраинных морей и авандельт.

Наблюдаемые различия в таксономическом составе зональных комплексов связаны с тем, что временные ареалы видов аммонитид обычно шире зональных фаз, а сами ареалы отдельных видов, в том числе и видов-индексов частично перекрывают друг друга. На состав конкретного ориктокомплекса будут оказывать избирательное влияние среда обитания, условия захоронения и сохранения остатков в породе, а также и условий сбора. Например, при частичном перекрытии временных ареалов *Parkinsonia parkinsoni* и *Gonolkites convergens* отношение слоев к зоне *parkinsoni* байоса или зоне *zigzag* бата всецело зависит от того, будут ли найдены *G. convergens* или равнозначные ему виды, или только *P. parkinsoni*. Эти обстоятельства определяют предел точности и детальности при использовании зон распространения и смешанных зон распространения при стратиграфической корреляции отложений — т. е. корреляции по времени образования.

В заключение следует отметить, что по богатству таксономического состава ориктокомплексов некоторые разрезы Северного Кавказа и Средней Азии уникальны. К их числу принадлежат: для зоны *subfurgatum* — на левобережье Кубани у станицы Красногорской, правый склон долины Аварского Койсу у сел. Ирганай; для зон *garantiana*, *parkinsoni*, *zigzag* — разрезы в полосе выходов от Андийского Койсу у сел. Гигатли-урух до правобережья Аварского Койсу у сел. Голотль; для верхов

зоны zigzag – разрезы в районе тропы Ишек-иол на Большом Балхане; для среднего бата – обнажения в Тангидувальской котловине в Юго-Западном Гиссаре; пограничные слои бата и келловея имеют наилучшую характеристику на хр.Кугитангтау.

ОПИСАНИЕ АММОНИТОВ

СЕМЕЙСТВО CLYDONICERATIDAE BUCKMAN, 1924

Род *Clydoniceras* Blake, 1905

Clydoniceras: Westermann, 1958, с. 55.

Harpoceratidarum: Pompeckj, 1906, с. 260.

Benedictites: Buckman, 1924, с. 29.

Типовой вид. *Ammonites discus* Sowerby, 1813 [41, табл. 12]. Верхний бат, зона discus. Англия, Бэдфорд.

Диагноз. Диморфный род, макро- и микроконхи группируются в самостоятельные подроды. Раковина инволютная, дисковидная, с высоким, сжатым с боков сечением оборотов и заостренной или килеватой вентральной стороной. Скульптура состоит из одиночных и реже двуветвистых серповидных ребер, сглаживающихся на внешних оборотах. Лопастная линия характеризуется широкими, слабо рассеченными лопастями и седлами, ее формула $(V_1 V_1) UU_1 U_2 \dots$: ID. Дорсальная лопасть на ранних стадиях онтогенеза двураздельная, на поздних – ассимметрично трехраздельная.

Состав. Два подрода: M *Clydoniceras* Blake, 1905; m *Delecticeras* Arkell, 1951.

Сравнение. От *Micromphalites* Buckman отличается более сжатыми в сечении оборотами, более тонкой и раньше сглаживающейся ребристостью, стратиграфическим и географическим распространением.

Геологическое и географическое распространение. Средний и верхний бат, Европа, Северная и Западная Африка, Азия.

ПОДРОД m CLYDONICERAS BLAKE, 1905

Clydoniceras: Blake, 1905, с. 55.

Clydoniceras (*Clydoniceras*): Westermann, 1958, с. 56; Hahn, 1971, с. 115.

Типовой вид. *Ammonites discus* Sowerby, 1813 [41, с. 37, табл. 12].

Диагноз. Раковины крупные, до 150 мм, со стреловидным сечением оборотов и заостренной вентральной стороной, рано сглаживающейся ребристостью, ограниченной внутренними оборотами фрагмокона.

Состав. Более восьми видов: *C. discus* (Sowerby), *C. hollandi* (Buckman), *C. dawiacence* Lissajous, *C. planum* Crossouvre, *C. trapstonense* Arkell, *C. douglasi* Arkell, *C. tegularum* Arkell, *C. nodatum* Westermann.

Сравнение. От *Delecticeras* Arkell отличается крупными размерами, заостренной вентральной стороной и исчезновением скульптуры на взрослых оборотах.

Геологическое и географическое распространение. Соответствует распространению рода.

Clydoniceras discus (Sowerby), 1813

Табл. 1, фиг. 1

Ammonites discus: Sowerby, 1813, с.37, табл.12; Opperl, 1862, с.146, табл.47, фиг.1

Ammonites hochstetteri: Opperl, 1862, с. 147, табл. 47, фиг. 2—3.

Oxynoticeras discus: Schlippe, 1888, с. 195, табл. 8, фиг. 1.

Clydoniceras discus: Blake, 1905, с.54, табл.6, фиг.1; Lissajous, 1923, с.108, табл.24, фиг.2; Buckman, 1924, с.29, табл.506; 1927, с.6, табл.506, А, табл.506, В; Arkell, 1951, с.33, рис.5—6, табл.1, фиг.4, табл.2, фиг.1—10, табл.3, фиг.1—10, Rieber, 1961, с.95, рис.1—2; Крымгольц, Захаров, 1971, с.7, табл.1, 3; рис.1.

Clydoniceras (Clydoniceras) discus discus: Westermann, 1958, с.56, табл.11, фиг.9, табл.12, фиг.1—4; табл.13, фиг.3.

Clydoniceras (Clydoniceras) discus: Hahn, 1971, с. 115, табл. 9, фиг. 17—18.

Голотип. *Ammonites discus* Sowerby, 1813 [141, табл. 12]. Переизображен: [43, табл. 2, фиг. 2а, в]. Верхний бат. Англия, Бедфордшир.

Форма. Раковина сильно уплощенная до дисковидной, с быстро нарастающими оборотами высокостреловидного сечения. Наибольшая толщина оборотов в нижней трети боковых сторон; вентральная сторона заостренная. Пупок узкий и очень узкий, глубокий. Пупковый перегиб обычно резкий; стенка крутая, с возрастом иногда становится более полой.

Размеры, мм, и их соотношения:

№ экз.	Д	В	Ш	Ду	В/Д	Ш/Д	Ду/Д
115/6439	156	88	32,5	15	0,56	0,20	0,09
	115	65	22	12	0,56	0,19	0,10
115/9241	85	47	19	5	0,55	0,22	0,06
115/165	65	38	16	5	0,58	0,24	0,07
	46	25	12	4,5	0,54	0,26	0,10
115/3403	46	26	10,5	5	0,56	0,22	0,10

Скульптура. Ребра наблюдаются лишь на молодых оборотах. Возникая около середины боков, ребра, дугообразно изгибаясь вперед, пересекают боковые поверхности и исчезают близ заостренной вентральной стороны.

Сравнение. От *C. planum* Crossouvie отличается более редкими, от *C. thraptonense* Arkell — наоборот, более тонкими и менее грубыми ребрами.

Замечания. Вид характеризуется широкой изменчивостью ширины пупка и наклона умбональных стенок, что послужило основанием выделению многочисленных подвидов и вариететов В. Аркеллом (см. синонимнику).

Геологическое и географическое распространение. Верхний бат, зона *discus*, Европа, Средняя Азия (Большой Балхан, Юго-Западный Гиссар). Имеются указания на находки *C. discus* в более низких слоях [87, 125].

Материал. Большой Балхан, ущелье Ташлыдере, кошаджубинская свита — 2 экз., хр. Кугитангтау, кровля нижней байсунской подсветы, родник Казанбулак — 32 экз., гора Мых — 2 экз., урочище Тангидувал, тот же уровень — 2 экз.

ПОДРОД *DELECTICERAS* ARKELL, 1951

Delecticeras: Arkell, 1951, с. 32.

Clydoniceras (*Delecticeras*): Westermann, 1958, с. 59.

Типовой вид. *Delecticeras delectum* Arkell, 1951, [43, табл. 4, фиг. 12]. Верхний бат. Англия, Бедфорд.

Диагноз. Раковины мелкие, до 35–40 мм, вентральная сторона несет острый киль, ограниченный бороздками, ребристость сохраняется до конца жилой камеры.

Состав. Четыре вида: *D. delectum* (Arkell), *D. legayi* (Rigaux et Sauvage), *D. evolutum* Westermann, *D. crassum* Westermann.

Сравнение. От подрода *Clydoniceras* Blake отличается мелкими размерами, более широкой вентральной стороной, несущей киль и борозды, более широким пупком.

Геологическое и географическое распространение. Верхний бат, Европа, Средняя Азия.

Delecticeras delectum Arkell, 1951

Табл. 1, фиг. 2, 3

Delecticeras delectum: Arkell, 1951, с. 45, табл. 4, фиг. 12а, б; с. 44, рис. 8/1; Крымголец, Захаров, 1971, с. 9, табл. 1, фиг. 2.

Clydoniceras (*Delecticeras*) *delectum*: Westermann, 1958, с. 60, табл. 16, фиг. 1, 2.

Голотип. *Delecticeras delectum* Arkell, 1951 [43, с. 45, табл. 4, фиг. 12; с. 44, рис. 8/1]. Верхний бат. Англия, Bedford.

Форма. Раковина сильно уплощена; боковые стороны почти плоские. Сечение высокоовальное, с наибольшей шириной в средней части боковых поверхностей; в верхней трети боковые стороны сближаются.

Размеры, мм, и их соотношения:

№ экз.	Д	В	Ш	Ду	В/Д	Ш/Д	Ду/Д
115/9243	27	14	7	6	0,52	0,26	0,22

Скульптура. Ребра четкие, серповидно изогнутые, более слабо выраженные в припупковой части.

Сравнение. От близкого *D. legayi* (Rigaux et Sauvage) отличается более широким пупком и сужающейся вентральной стороной; от *D. evolutum* Westermann — более инволютными оборотами и узким пупком, от *D. crassum* Westermann, кроме того, — более тонкими ребрами.

Геологическое и географическое распространение. Верхний бат, зоны *retrocostatium*—*discus*. Западная Европа, Средняя Азия.

Материал. Юго-Западный Гиссар, нижняя байсунская подсвита, урочище Карангакуль — 1 экз., урочище Савакбулак — 2 экз.

СЕМЕЙСТВО STRIGOCERATIDAE BUCKMAN, 1924

Род *Strigoceras* Quenstedt, 1886

Strigoceras: Calacz, 1980, с. 54.

Типовой вид. *Ammonites truellei* d'Orbigny, 1845 [109, табл. 117, фиг. 1—3]. Байос. Франция.

Диагноз. Диморфный род. Макро- и микроконхи выделяются в ранге подродов. Характеризуются сходной скульптурой фрагмокона при Д до 5—10 мм, представленной струйчатыми внутренними ребрами, изгибающимися около середины боковых поверхностей вперед, и широкими и относительно резкими наружными ребрами. Формула лопастной линии: $(V_1 V_2)U^1 U^2 U^4 \dots U^3 ID$.

Состав. Два подрода: *M Strigoceras* Quenstedt, *m Cadomoceras* Munier-Chalmas.

Сравнение. От *Hebetoxyites* Buckman, 1924, и *Praestrigites* Buckman, 1924, отличается спиральными бороздами, более грубой в целом скульптурой, иным стратиграфическим распространением.

Замечания. К. Стурани [149] показал, что *Strigoceras* и *Cadomoceras*, ранее [45] включавшиеся в состав разных семейств, составляют диморфную пару. Формальное объединение их в ранге подродов в составе рода *Strigoceras* произведено Дж. Павиа [115].

Геологическое и географическое распространение. Байос, зона *sowerbyi* – средний бат, зона *subcontractus*, Европа, Северная Америка, Кавказ, Средняя Азия.

ПОДРОД m *STRIGOCERAS* QUENSTEDT, 1886

Strigoceras: Scheurlen, 1928, с. 5; Roman, 1937, с. 176; Arkell, 1957, с. 272; Krystyn, 1972, с. 246.

Kleistoxuytes: Buckman, 1922, табл. 317.

Plectostrigites: Buckman, 1924, табл. 471.

Varistrigites: Buckman, 1924, табл. 468.

Strigites: Buckman, 1924, табл. 469, а, в.

Leptostrigites: Buckman, 1924, табл. 477, а, в.

Типовой вид. Соответствует типовому виду рода.

Диагноз. Раковины средние и крупные, до 150 мм, инволютные с оборотами высокоовального сечения. Посередине вентральной стороны развит полый киль, отделенный от боков резким перегибом. Скульптура состоит из серповидных ребер, бугорков, концентрических продольных бороздок и штрихов.

Состав. Более 10 видов: *S. truellei* (d'Orbigny), *S. strigifer* (Buckman), *S. languidum* (Buckman), *S. pseudostrigifer* (Maubeuge), *S. compressum* Etheridge, *S. paronai* (Trauth), *S. kellumi* Imlay, *S. septecarinatum* (Buckman), *S. bessinum* Brasil, *S. dorso-cavatum* (Quenstedt).

Сравнение. От подрода *Cadomoceras* Munier-Chalmas отличается крупными размерами и правильно свернутой жилой камерой.

Геологическое и географическое распространение. Соответствует распространению рода.

Strigoceras truellei (d'Orbigny), 1845

Табл. 1, фиг. 4–6.

Ammonites truellei: d'Orbigny, 1845, с. 361, табл. 117, фиг. 1–3, табл. 129, фиг. 1, Quenstedt, 1858, с. 395, табл. 54, фиг. 6; табл. 69, фиг. 23; Quenstedt, 1887, с. 565, табл. 69, фиг. 7–13.

Orpelia truellei: Waile, 1878, табл. 89, фиг. 1, 3–4 (? фиг. 2, 5).

? *Amaltheus* cf. *truellei*: H. Douville, 1884, с. 37, рис. 16, на с. 38.

Strigoceras truellei: Buckman, 1924, с. 5, табл. 472; Scheurlen, 1928, с. 7, табл. 1, фиг. 5–11; Roman, 1938, с. 176, табл. 17, фиг. 178; Arkell, 1957, с. 272, фиг. 314/1; Основы палеонтологии, 1958, с. 82, табл. 32, фиг. 6, 7; Sturani, 1964а, табл. 5, фиг. 6; 1964, с. 14, табл. 2, фиг. 1; Pavia, 1972, табл. 16, фиг. 10; Sturani, 1971, с. 120, табл. 4, фиг. 6–9; Krystyn, 1972, с. 246, рис. 15;

Ростовцев, 1985, с. 129, табл. 34, фиг. 8, 9.

Narproceras canovincola: Gregorio, 1886, с. 12, табл. 3, фиг. 15–16.

Narproceras ramiatum: Gregorio, 1886, с. 13, табл. 3, фиг. 17,

?*Narproceras camproverense*: Gregorio, 1886, с. 13, табл. 3, фиг. 20.

Голотип. *Ammonites truellei* d'Orbigny, 1845 [109, табл. 117, фиг. 1–3]. Верхний байос. Франция. Переизображен: [45, фиг. 314/1; 32, табл. 32, фиг. 6, 7].

Форма. Раковина средней толщины, с сильно объемлющими, медленно нарастающими оборотами. Субквадратное на ранних оборотах (D-10 мм) сечение с возрастом приобретает облик вытянутого в высоту и слегка заостренного овала. Боковые поверхности уплощены; по вентральной стороне проходит невысокий заостренный киль, отделенный от боковых сторон четким перегибом.

Скульптура. На ранних оборотах (D-10 мм) наблюдаются широкие ребра, с середины боков серповидно изгибающиеся в сторону устья. У более крупных образцов с сохранившейся припупковой частью видны ребра, разделяющиеся около середины боков на 2–3 ветви, также серповидно изгибающиеся, расширяющиеся к вентральной стороне и у кия затухающие. На середине боковых сторон заметна спиральная борозда.

Сравнение. Толстые внутренние обороты, имеющие низкое сечение, и более грубая скульптура отличают типовой вид от остальных представителей подрода.

Замечания. Большинство исследователей ограничивает распространение *S. truellei* зоной *parkinsoni* верхнего байоса. Наши данные подтверждают указание Стурани [147, с. 14], что на фазу *parkinsoni* приходится гемера *S. truellei*, а в целом вид распространен в более широком стратиграфическом интервале.

Распространение. Верхний байос, Западная Европа, Нахичевань, Западная Туркмения.

Материал. Большой Балхан, окрестности колодцев Порсайсман, низы чалойской свиты – 7 неполных экз.

Strigoceras paronai (Trauth), 1922

Табл. 1, фиг. 7

Oppelia propefusca: Parona, 1896, с. 14, табл. 1, фиг. 8–9.

Oppelia paronai: Trauth, 1922, с. 183, 189.

Plectostrigites symplectus: Buckman, 1924, табл. 471, 471*.

? *Oppelia truellei* (частью) Bayle, 1878, табл. 89, фиг. 2, 5 (кроме фиг. 1, 3, 4).

Strigoceras paronai: Sturani, 1971, с. 121, табл. 4, фиг. 1–5, 10.

Strigoceras (Strigoceras) paronai: Pavia, 1983, с. 69, табл. 8, фиг. 3.

Лектотип. *Oppelia propefusca* Parona (non Gregorio), 1896

[114, с. 14, фиг. 8]. Верхний байос, зона *subfurcatum*. Италия. Воспроизведен Sturani, [149, табл. 4, фиг. 1].

Форма. Раковина с уплощенными, сильно объемлющими оборотами. Округлое при Д-4 мм сечение постепенно принимает высокоовальный облик, с почти параллельными боковыми сторонами и закругленной вентральной стороной. Киль невысокий, с возрастом становится более выраженным. Пупок узкий, пупковая стенка крутая, перегиб округлый.

Размеры, мм, и их соотношения:

№ экз.	Д	В	Ш	Ду	В/Д	Ш/Д	Ду/Д
115/9264	45	26	12	4	0,57	0,26	0,08
	30	17	9	3	0,56	0,30	0,10
115/9265	26	14	8	3	0,54	0,30	0,11
115/7391	17	9	5,5	3	0,53	0,32	0,17
	11	5	4,5	2	0,45	0,40	0,18

Скульптура. На образце с частично сохранившейся раковинной видны тонкие струйчатые ребра, начинающиеся с пупкового перегиба и на середине боковых сторон серповидно изгибающиеся вперед. На ядрах скульптура наблюдается в верхней половине боков и представлена серповидно изгибающимися ребрами, которые с возрастом становятся более широкими и редкими.

Сравнение. *S. raponai* отличается от *S. truellei* более уплощенными оборотами и более тонкой ребристостью на ранних оборотах. От имеющего сходный тип ребристости *S. kellumi* описываемый вид отличается закругленной вентральной стороной; от остальных *Strigoceras* — более плоскими боками, округлой вентральной стороной и менее изогнутыми ребрами.

Распространение. Верхний байос; зона *subfurcatum* — зона *garantiana*. Венецианские Альпы, Западная Туркмения.

Материал. Большой Балхан, чалойская свита. Окрестности колодцев Шорли — 6 экз, колодцы Караиман — 2 экз.

ПОДРОД *m CADOMOCERAS MUNIER-CHALMAS*, 1892

Cadomoceras: Munier-Chalmas, 1892, с. 171; Roman, 1937, с. 172; Arkell, 1951, с. 49; 1957, с. 273; Sturani, 1971, с. 122.

Strigoceras (Cadomoceras): Pavia, 1983, с. 70.

Типовой вид *Ammonites cadomensis* DeFrance (Blainville) 1840, Байос. Франция.

Диагноз. Раковины мелкие, до 25 мм, дискоидальные. Сечение оборотов овальное. Жилая камера, занимающая около 3/4 оборота,

коленообразно изгибается, при этом спираль оборотов разворачивается до эллиптической и узкий до того пупок расширяется. По вентральной стороне проходит слаборазвитый киль. Устье снабжено длинным вентральным выростом и боковыми ушками.

Сравнение. Ранние обороты *Cadomoceras* (до 5 мм) сходны с таковыми у *Strigoceras*, от которых описываемый подрод хорошо отличается маленькими размерами, эллиптически изогнутой жилой камерой и слаборазвитым килем.

Замечания. В. Аркелл [45] поместил *Cadomoceras* в семейство *Naploceratidae* Zittel. К. Стурани [149] на основании сходства ранних оборотов *Strigoceras truellei* и *Cadomoceras cadomense* включал *Cadomoceras* в семейство *Strigoceratidae*. По Стурани, микроконхи *Cadomoceras* являются диморфами макроконхов *Strigoceras*, большинство предыдущих исследователей указывает *Cadomoceras* как диморф *Lissoceras*.

Состав. Более пяти видов: *Cadomoceras cadomense* (Defrance), *C. sullyense* (Brasil), *C. ellipticum* (Buckman), *C. costellatum* (Buckman), *C. carinatum* (Buckman).

Cadomoceras cadomense (Defrance), 1840

Табл. 1, фиг. 8, 9.

Ammonites cadomensis: d'Orbigny, 1845, с. 388, табл. 129, фиг. 4–6.

Cadomoceras cadomense: Munier-Chalmas, 1892, с. 171; Coeombe, 1917, с. 44, табл. 6, фиг. 4–8, рис. 1 на с. 46; Roman, 1938, табл. 16, фиг. 166; Sturani, 1971, с. 125, табл. 5, фиг. 11–15.

Cadomoceras cadomense var. *acostalum*: Coeombe, 1917, с. 47.

Cadomoceras simulacrum: Buckman, 1924, табл. 458.

Cadomoceras nepos: Parona, 1896, с. 15, табл. 1, фиг. 13; Sturani, 1971, с. 123, табл. 5, фиг. 7–10; Fernandez-Lopez, 1982, табл. 1, фиг. 5.

Oecotraustes minor: Parona, 1896, с. 15, табл. 1, фиг. 12.

Oecotraustes nodifer: Крымгольц, Станкевич, 1963, с. 113, фиг. 8.

Лектотип. *Ammonites cadomensis* Defrance (Blainville, 1840, табл. 2, фиг. 1). Байос. Франция. Переизображен: [45, фиг. 315/6].

Форма. Раковина дискоидальная, с медленно нарастающими оборотами овального и высокоовального сечения. Боковые стороны слабывпуклые, круто переходящие в слабоуплощенную вентральную поверхность. У некоторых образцов на вентральной стороне заметен слаборазвитый киль. Пупковая стенка крутая, перегиб округлый. Жилая камера, занимающая около 3/4 оборота, со второй трети длины колечато изгибается, придавая последнему обороту эллиптическую форму; сравнительно узкий до того пупок расширяется. Образец, частично сохранивший устье, имеет длинный боковой вырост (ушко).

Размеры, мм, и их соотношения:

№ экз.	Д	В	Ш	Ду	В/Д	Ш/Д	Ду/Д
115/7287	18	7	5	5	0,39	0,28	0,27
	14	7	5	3	0,50	0,35	0,21
115/7283	14	7	5	4	0,41	0,29	0,24
	13	7	4	3	0,54	0,31	0,23
115/7284	10	4	3	3	0,40	0,30	0,30
115/7285	7	3	2	2	0,42	0,28	0,28
115/7288	8	3	2,5	2,5	0,38	0,31	0,31

Скульптура. На внутренних оборотах (Д-5—8 мм) наблюдаются тонкие серповидно изогнутые одиночные ребра. С возрастом ребра наблюдаются с середины боков и выше, расширяясь к вентральной стороне. На большей части жилой камеры ребра обычно незаметны и возобновляются в предустъевой части, образуя здесь редкие складки, наблюдающиеся в верхней части боков и на вентральной стороне.

Замечания. *C. nepos* (Рагона) включен в синонимичку описываемого вида из-за незначительных отличий, вызванных, по нашему мнению, внутривидовой изменчивостью. Изображенный Г. Я. Крымгольцем и Е. С. Станкевич как *Oecotraustes nodifer* [22, фиг. 8] аммонит, несомненно, принадлежит к *C. cadomense*; последний хорошо отличается от *Oecotraustes nodifer* Вускман [55, табл. 20, фиг. 13—14; 43, табл. 7, фиг. 7, 8] округлой вентральной стороной, более слабой скульптурой, отсутствием ребер на большей части жилой камеры, большей ее разнovidностью, а также меньшими размерами.

Распространение. Верхний байос, зона *subfurcatum* — зона *parkinsoni*? Нижний бат. Франция, Италия, Дагестан, Западная Туркмения.

Материал. Дагестан, сел. Ирганай, кумухская свита — 3 экз.; Большой Балхан, окрестности колодцев Караиман, основание чалойской свиты — 5 экз.

СЕМЕЙСТВО LISSOCERATIDAE DOUVILLE, 1885

Род *Lissoceras* Bayle, 1879

Типовой вид. *Ammonites psilodiscus* Schloenbach, 1865 [137, с. 177, табл. 28, фиг. 6]. Нижний бат, зона *zigzag*. ФРГ, Нижняя Саксония.

Диагноз. Род диморфный, диморфы объединяются в ранге подродов. Раковины от полуинволютных до полуэволютных с высокоовальным сечением оборотов, слабовыпуклыми боками и закругленной вентральной стороной. Скульптура отсутствует или представлена

тонкими струйчатыми и нитевидными ребрами. Формула лопастной линии: $(V_1 V_1) U U^1 U^2 \dots U^3 ID$.

Состав. Два подрода: *M Lissoceras* Bayle, 1879, и *Microlissoceras* Sturani, 1971.

Геологическое и географическое распространение. Байос-келловей (оксфорд?). Европа, Азия, Северная и Южная Америка, Кавказ, Средняя Азия, Памир.

ПОДРОД *m LISSOCERAS* BAYLE, 1879

Lissoceras: Douville, 1913, с. 71; Wetzel, 1950, с. 80; Arkell, 1957, с. 273; Основы палеонтологии, 1958, с. 83; Hahn, 1968, с. 66; Krystyn, 1972, с. 248; Galacz, 1980, с. 55; Азарян, 1982, с. 58; Sandoval, 1986, с. 438.

Типовой вид. Соответствует типовому виду рода.

Диагноз. Раковины до 120 мм, жилая камера занимает около 3/4 оборота, устье с прямыми краями. Скульптура представлена S-образно изогнутыми струйчатыми или нитевидными ребрами, с возрастом может сглаживаться.

Состав. Более 10 видов: *L. psilodiscus* (Schloenbach), *L. oolithicum* (d'Orbigny), *L. ventriplanum* Wendt, *L. depereti* (Flamand), *L. haugi* Sturani, *L. meletense* (Parona), *L. monachum* (Gemellaro), *L. ferrifex* (Zittel), *L. semicostulatum* Buckman, *L. magnam* Galacz, *L. wultense* (Oppel), ?*L. erato* (d'Orbigny).

Сравнение. От *Microlissoceras* отличается более крупными размерами, длинной жилой камерой и устьем с простыми краями.

Геологическое и географическое распространение. Соответствует распространению рода.

Lissoceras psilodiscus (Schloenbach), 1865

Табл. 1, фиг. 10

Ammonites erato: Kudernatsch, 1862, с. 10, табл. 2, фиг. 7, 8 (кроме фиг. 4, 5).

Ammonites psilodiscus: Schloenbach, 1865, с. 177, табл. 28, фиг. 6.

Ammonites complanatoides: Quenstedt, 1887, с. 644, табл. 75, фиг. 27 (кроме фиг. 25, 26).

Lissoceras psilodiscus: Douville H., 1884, с. 35, фиг. 14; Douville R., 1913, с. 72, фиг. 5; Arkell, 1951, с. 49, табл. 8, фиг. 1, рис. 10; Sturani, 1964b, с. 15, фиг. 11; 1967, с. 23, табл. 3, фиг. 17, табл. 4, фиг. 11; Hahn, 1968, с. 66, табл. 4, фиг. 1, 2, рис. 10; Sturani, 1971, с. 92 табл. 6, фиг. 1; Krystyn, 1972, с. 248, фиг. 15в, 16; Galacz, 1980, с. 5в, табл. 12, фиг. 1, 3, рис. 45; Азарян, 1982, с. 60, табл. 9, фиг. 6—8; Ростовцев, 1985, с. 131, табл. 35, фиг. 2, рис. 17в; Sandoval, 1986, с. 440, рис. 4, табл. 1, фиг. 8—10.

Lissoceras cf. psilodiscus: Westermann, 1958, с. 54, табл. 17, фиг. 5.

Haploceras psilodiscus: Затворницкий, 1914, с. 543, табл. 17, фиг. 23.

Lissoceras oolithicum: Roman et Petouraud, 1927, табл. 5, фиг. 12, 14 (кроме фиг. 13).

Lissoceras inflatum: Wetzel, 1950, с. 81, табл. 8, фиг. 6–8.

Лектотип. *Ammonites psilodiscus* Schloenbach, 1865 [137, с. 177, табл. 28, фиг. 6]. Нижний бат, зона zigzag. ФРГ, Нижняя Саксония.

Форма. Раковина до 100 мм, с уплощенными, сильно объемлющими, умеренно нарастающими оборотами, высокоовальными и стрелчатыми в сечении, с округлой вентральной стороной.

Наибольшая толщина во внутренней трети высоты. Пупок умеренно широкий, пупковый перегиб округлый, стенка отвесная. Жилая камера занимает около 3/4 оборота; устье со слабовыгнутыми вперед боковыми сторонами.

Размеры, мм, и их соотношения:

№ экз.	Д	В	Ш	Ду	В/Д	Ш/Д	Ду/Д
115/1650	95	42	23	23	0,44	0,24	0,24
115/1648	48	23	14	10	0,48	0,29	0,21
115/7397	30	15	9	7	0,50	0,30	0,23

Скульптура. На ядрах скульптура обычно не сохраняется; иногда (чаще на жилой камере) наблюдаются тонкие струйчатые (иногда нитевидные) ребра, изгибающиеся около середины боков назад и затем вперед, в сторону устья.

Геологическое и географическое распространение. Байс, зона parkinsoni – бат, зона zigzag. Англия, Франция, ФРГ, Австрия, Болгария, Румыния, Испания, Армения и Дагестан.

Материал. Дагестан, средняя цудахарская подсвита: сел. Датун – 11 экз., гора Бацело – 6 экз.

Lissoceras oolithicum (d'Orbigny), 1845

Табл. 1, фиг. 11, 13

Ammonites oolithicus: d'Orbigny, 1845, с. 383, табл. 126, фиг. 1–4; Quenstedt, 1858, с. 396, табл. 55, фиг. 20; 1886, с. 563, табл. 69, фиг. 4, 5.

Ammonites erato: Kudernatsch, 1852, с. 10, табл. 2, фиг. 4, 5 (кроме фиг. 7, 8).

Lissoceras oolithicum: Douville R., 1913, с. 72, рис. 4; Dorn, 1927, с. 245, табл. 7, фиг. 3; Roman et Petouraud, 1927, с. 48, табл. 5, фиг. 13 (кроме фиг. 12, 14); Sturani, 1971, с. 91, табл. 6, фиг. 2; Morton, 1971, с. 270, табл. 40, фиг. 1, 2; Galasz, 1980, с. 57, табл. 11, фиг. 5, 6; Pavia, 1983, табл. 7, фиг. 11; Sandoval, 1986, с. 439, рис. 3, табл. 1, фиг. 6, 7.

Lissoceras sp. indet. aff. *oolithicum*: Sturani, 1971, с. 91, табл. 6, фиг. 3, 4.

? *Lissoceras bakeri*: Imlay, 1962, с. 1–6, табл. 1, фиг. 1–6, 9–12; 1964, с. 13–38, табл. 23, фиг. 1.

Лектотип. *Ammonites oolithicus* d'Orbigny, 1845 [109, с. 383, табл. 126, фиг. 1–2]. Байос. Франция, Кальвадос.

Форма. Раковины до 70 мм, с умеренно нарастающими оборотами овального сечения. Боковые поверхности слабовыпуклые, несколько сближаются к округлой вентральной стороне. Пупок умеренно узкий; пупковая стенка крутая, перегиб округлый. Жилая камера занимает не менее 3/4 оборота. Устье простое, повторяет S-образный изгиб, присущий ребрам; ограничено глубоким узким пережимом.

Размеры, мм, и их соотношения:

№ экз.	Д	В	Ш	Ду	В/Д	Ш/Д	Ду/Д
115/7400	60	27	18	14	0,34	0,3	0,23
115/7404	35	17	11	8	0,48	0,31	0,22
115/7406	24	11	7	5	0,45	0,29	0,20
	16	8	5	4	0,5	0,31	0,25

Скульптура. На раковинах до диаметра 25 мм развиты слабые припупковые ребра, около середины боков изгибающиеся назад и распадающиеся на несколько нитевидных ветвей, в свою очередь слабоизгибающихся вперед, к устью. Взрослые обороты обычно гладкие, но иногда в верхней трети боков можно различить слабые струйчатые ребра.

Сравнение. От *L. psilodiscus* (Schloenbach) отличается более выпуклыми боками, а также относительно хорошо выраженной скульптурой молодых особей; от *L. depereti* (Flamand) — более тонкой ребристостью молодых оборотов и гладкими взрослыми оборотами.

Геологическое и географическое распространение. Байос, зона *humphriesianum* — зона *parkinsoni*, Франция, Испания, Венгрия, Дагестан, Западная Туркмения.

Материал. Дагестан, кумухская свита, верхняя часть, зона *subfurcatum*, сел. Ирганай — 1 экз., сел. Кумух — 1 экз., Большой Балхан, чалойская свита, зона *subfurcatum*, колодцы Порсайман — 12 экз., колодцы Караиман — 20 экз., колодцы Шорли — 5 экз., колодцы Чалой — 7 экз.

Lissoceras meletense (Parona), 1896

Табл. 1, фиг. 14

Lytoceras meletense: Parona, 1896, с. 11, табл. 1, фиг. 3.

Lissoceras meletense: Sturani, 1971, с. 92, рис. 29, табл. 6, фиг. 5, 6.

Лектотип. *Lytoceras meletense* Parona, 1896 [111, с. 11, табл. 1, фиг. 3]. Верхний байос, зона *subfurcatum*, подзона *schroederi*. Италия,

гора Монте-Мелетта. Лектотип обозначен и переизображен К. Стурани [149, табл. 6, фиг. 6].

Форма. Раковина сильно вздутая, с умеренно нарастающими оборотами округло-трапецевидного сечения, с наибольшей шириной в припупковой части. Пупок умеренно узкий, пупковая стенка крутая, перегиб закругленный.

Размеры, мм, и их соотношения:

№ экз.	Д	В	Ш	Ду	В/Д	Ш/Д	Ду/Д
115/5320	26	13	14	6	0,50	0,53	0,23

Скульптура. Хорошо отличается от всех представителей подрода сильно вздутыми оборотами и низким сечением с шириной, превосходящей высоту.

Геологическое и географическое распространение. Верхний байос. Англия, Италия, Западная Туркмения и Нахичевань.

Материал. Большой Балхан, чалойская свита, зона *subfurcatum*, колодцы Шорли – 1 экз.

Lissoceras haugi Sturani, 1967

Табл. 1, фиг. 12

Lissoceras haugi: Sturani, 1967, с. 24, табл. 3, фиг. 16; Galacz, 1980, с. 56, табл. 11, фиг. 7; Азярян, 1982, с. 59, табл. 9, фиг. 4; Ростовцев, 1985, с. 130, табл. 34, фиг. 7, рис. 16.

Голотип. *Lissoceras haugi* Sturani, 1967 [148, с. 24, табл. 3, фиг. 16]. Бат, зона *zigzag*, подзона *convergens*. Нижние Альпы, Франция.

Форма. Раковины до 70 мм, вздутые, с умеренно объемлющими, быстро нарастающими оборотами овального сечения. Бока выпуклые, сближаются к округлой вентральной стороне. Наибольшая толщина оборотов в припупковой части. Пупок умеренно узкий, пупковая стенка отвесная, перегиб округлый.

Размеры, мм, и их соотношения:

№ экз.	Д	В	Ш	Ду	В/Д	Ш/Д	Ду/Д
115/1668	30	15	12	7	0,50	0,40	0,23
	16	7	7	4	0,43	0,43	0,25
115/1669	22	11	11	5	0,50	0,50	0,22
115/7477	17	8	8	5	0,47	0,47	0,29

Скульптура. На поверхности раковин развиты радиальные струйчатые ребра, изгибающиеся назад посередине боков. На ядрах струйчатость выражена слабо.

Сравнение. От *L. meletense* (Parona) отличается менее вздутыми оборотами с высотой, превосходящей толщину; от других видов подрода — толстыми низкими оборотами.

Геологические и географическое распространение. Байос, зона *subfurgatum* — бат, зона *zigzag*. Франция, Венгрия, Дагестан, Армения, Западная Туркмения.

Материал. Дагестан, сел. Гигатли-урух, основание цудахарской свиты, зона *subfurgatum* — 2 экз.; Большой Балхан, кяриз Меулам, нижняя часть ташарватской свиты, зона *parkinsoni* — 1 экз.

Lissoceras voutense (Oppel), 1865

Табл. 2, фиг. 1, 2

Ammonites voutensis: Oppel, 1865, с. 319.

Haploceras voutensis: Lee, 1905, с. 32, табл. 1, фиг. 7.

Haploceras (Lissoceras) voutense: Loczy, 1915, с. 311, рис. 35, 37.

Lissoceras voutense: Riche et Roman, 1921, с. 154, табл. 7, фиг. 7; Roman, 1924, с. 47, табл. 2, фиг. 1; с. 88, табл. 8, фиг. 7, 8.

Лектотип. *Haploceras voutensis* Oppel [93, с. 32, табл. 1, фиг. 7]. Нижний келловей. Франция.

Форма. Раковины до 30–40 мм, с умеренно нарастающими оборотами. Внутренние обороты до диаметра 12 мм слабоздутые, округлого сечения, с возрастом обороты становятся более уплощенными, и сечения приобретают форму высокого овала, с наибольшей шириной нижней трети. Пупок умеренно узкий, пупковая стенка отвесная, перегиб округлый.

Размеры, мм, и их соотношения:

№ экз.	Д	В	Ш	Ду	В/Д	Ш/Д	Ду/Д
115/7012	30	14	9,5	7	0,46	0,32	0,23
	12	5	5	3	0,41	0,41	0,25
115/7011	18	8,5	7	4,3	0,47	0,39	0,24
	12	5	5	3	0,41	0,41	0,25
115/9262	9,5	4,1	3,6	2,5	0,43	0,38	0,26

Скульптура. Представлена тонкими S-образно изогнутыми ребрышками, наблюдающимися как на раковине, так и на ядре.

Сравнение. От *L. psilodiscus* (Schloenbach) отличается более вздутыми молодыми оборотами, более широкой вентральной стороной взрослых оборотов и, по-видимому, меньшими размерами.

Геологическое и географическое распространение.

ние. Бат, зона discus – средний келловей, Франция, ФРГ, Западная Туркмения.

Материал. Большой Балхан, ущелье Ташлыдере – 4 экз., коша-джульбинская свита, средняя часть.

ПОДРОД *MICROLISSOCERAS* STURANI, 1971

Microliissoceras: Sturani, 1971, с. 93.

Типовой вид. *Lissoceras (Microliissoceras) pusillum* Sturani, 1971. Байос, зона humphriesianum, подзона cycloides. Франция, Нижние Альпы.

Диагноз. Раковины до 18 мм. Жилая камера занимает около половины оборота, устье с боковыми ушками.

Сравнение. От подрода *Lissoceras* Bayle отличается малыми размерами, более уплощенными в целом оборотами, короткой жилой камерой и устьем с боковыми ушками.

Состав. Два вида: *M. pusillum* Sturani; *M. minimum* Djanelidze.

Геологическое и географическое распространение. Байос–келловей, Европа, Кавказ, Средняя Азия.

Microliissoceras pusillum Sturani, 1971

Lissoceras (Microliissoceras) pusillum: Sturani, 1971, с. 94, табл. 6, фиг. 7–10, табл. 7, фиг. 16.

Го лотип. *Lissoceras (Microliissoceras) pusillum* Sturani, 1971 [149, табл. 6, фиг. 7]. Байос, зона humphriesianum, подзона cycloides. Франция, Нижние Альпы.

Форма. Раковина до 15–18 мм. Боковые поверхности слабо выпуклые, вентральная сторона округлая. Сечение оборотов овальное, с наибольшей шириной в средней части. Пупок умеренно широкий, пупковый перегиб округлый. Жилая камера занимает более 3/4 оборота, конец жилой камеры заметно раскручивается. Устье с боковыми ушками.

Размеры, мм, и их соотношения:

№ экз.	Д	В	Ш	Ду	В/Д	Ш/Д	Ду/Д
115/7405	15	5,5	4,5	5	0,36	0,30	0,33
115/7453	15	6	4,2	5	0,40	0,28	0,33

Скульптура. Представлена тонкими струйчатыми ребрами, около середины боков плавно изгибающимися назад, а близ вентральной стороны отклоняющимися вперед, к устью.

Сравнение. От *M. minimum* Djanelidze отличается более толстыми оборотами и более широким пупком.

Замечания. *M. pusillum* встречается совместно с *L. oolithicum* (d'Orbigny) и весьма сходен с внутренними оборотами последнего. Эти два вида рассматриваются как диморфная пара.

Геологическое и географическое распространение. Байос, зона *humphriesianum* – зона *subfurcatum*, Франция, Западная Туркмения.

Материал. Большой Балхан, чалойская свита, зона *subfurcatum*, колодцы Караиман – 14 экз., колодцы Порсайман – 1 экз.

Microliissoceras minimum Djanelidze, 1932

Табл. 2, фиг. 5

Lissoceras minimum: Djanelidze, 1932, с. 11, табл. 2, фиг. 5.

Лектотип. *Lissoceras minimum* Djanelidze, 1932 [62, табл. 2, фиг. 5].? Верхний бат – нижний келловей. Грузия, сел. Цеси.

Форма. Раковина до 10–12 мм. Сечение оборотов овальное, с наибольшей шириной около середины высоты оборота. Пупок умеренно узкий, перегиб округлый.

Размеры, мм, и их соотношения:

№ экз.	Д	В	Ш	Ду	В/Д	Ш/Д	Ду/Д
115/9263	9,5	4,2	3,2	2,6	0,44	0,33	0,27

Скульптура. Представлена на раковине и ядре тонкими струйчатыми ребрами, в верхней трети боковых сторон изгибающимися назад и далее в вентральной части – вперед.

Сравнение. От *M. pusillum* Sturani отличается более уплощенными оборотами и узким пупком.

Замечания. *M. minimum* рассматривается как возможный микроконх *L. vultense* (Orpel) на основании совместного нахождения и сходства строения.

Геологическое и географическое распространение. Верхний бат – нижний келловей, Грузия, Западная Туркмения.

Материал. Большой Балхан, ущелье Ташлыдере, средняя часть кошаджубинской свиты – 5 экз.

СЕМЕЙСТВО OPPELIIDAE DOUVILLE, 1890

Род *Oppelia* Waagen, 1869

Типовой вид. *Ammonites subradiatus* Sowerby, 1823 [141, табл. 421, фиг. 2]. Байос. Англия, Дандри-Хиллс.

Диагноз. Род диморфный. Раковины с узкой, закругленной вентральной стороной; на фрагмоконе обычно развит слабый киль. Устье простое или с боковыми ушками. Жилая камера занимает около 1/2 оборота. Формула лопастной линии $(V_1V_1) UU^1 U^2 U^3 U^4 U^5 \dots U^6 I_1 I_2$ D.

Сравнение. От *Oxycerites* Rollier отличается более округлой вентральной стороной и отсутствием спиральной бороздки на боковых сторонах.

Состав. Два подрода: M *Oppelia* Waagen, m *Oecotraustes* Waagen.

Геологическое и географическое распространение. Байос, зона sowerbyi — бат, зона zigzag, Европа, Северная Африка, Индостан, Средний Восток, Молдавия, Кавказ, Средняя Азия.

ПОДРОД m *OPPELIA* WAAGEN, 1869

Pleuroxuytes: Buckman, 1924, табл. 478.

Flexoxuytes: Buckman, 1924, табл. 525 A.

Типовой вид. Соответствует типовому виду рода.

Диагноз. Раковины средних размеров, до 150 мм. На взрослых оборотах скульптура сглаживается, сохраняясь на раковине в виде струйчатых часто расположенных ребер, а также более или менее развитых широких наружных ребер. Вентральная сторона взрослых оборотов округлая. Устье простое, иногда с выраженным вентральным sinusом.

Сравнение. От подрода *Oecotraustes* отличается размерами, строением устья и округлой вентральной стороной взрослых оборотов. От макроконхов *Oxycerites* (*Oxycerites*) отличается округлой вентральной стороной взрослых оборотов.

Состав. Более трех видов: *O. subradiata* (Sowerby), *O. flexa* (Buckman), *O. pleurifer* (Buckman).

Геологическое и географическое распространение. Соответствует распространению рода.

Oppelia subradiata (Sowerby), 1823

Табл. 2, фиг. 8, 9

Ammonites subradiatus: Sowerby, 1823, с. 23, табл. 421, фиг. 2; d'Orbigny, 1845, табл. 118, фиг. 3 (кроме [табл. 118, фиг. 1, 2, 4; табл. 129, фиг. 3]).

? *Oppelia propesfusca*: Gregorio, 1886, с. 13, табл. 1, фиг. 25.

? *Harpoceras stevensoni*: Gregorio, 1886, с. 13, табл. 1, фиг. 29.

Oppelia subradiata var. B: Favre, 1912, с. 19, табл. 1, фиг. 2.

Oppelia subradiata: Arkell, 1951, с. 50—51, рис. 11/1, 2; Sturani, 1971, с. 112, табл. 7, фиг. 2—3.

Голотип. *Ammonites subradiatus* Sowerby, 1923 [141, табл. 421, фиг. 2]. Байос, зона sauzei [43, с. 50] или зона garantiana [131, с. 157]. Англия, Дандри-Хиллс. Переизображен: [43, фиг. 11/1; 45, 319/1].

Форма. Раковина уплощенная, с оборотом стреловидного и высокоовального сечения. Боковые поверхности слабовыпуклые; наибольшая толщина оборотов в нижней трети боков. Вентральная сторона узкая; по середине ее проходит невысокий киль. Умеренно узкий на ранних оборотах пупок с возрастом сужается до узкого. Пупковая стенка крутая, перегиб закругленный.

Размеры, мм, и их соотношения:

№ экз.	Д	В	Ш	Ду	В/Д	Ш/Д	Ду/Д
115/4901	45	24	10	5,5	0,53	0,22	0,12
	30	15,5	7	5	0,51	0,23	0,16
115/2028	37	20	9	5,5	0,54	0,27	0,14
	22	10	5	5	0,45	0,22	0,22

Скульптура. На ядрах представлена хорошо заметными наружными ребрами, возникающими в средней части боков и, серповидно изогнувшись, пропадающими, не достигая кия. В верхней четверти ребра могут подразделяться на две ветви; иногда между ними возникают вставные ребра.

На образцах с сохранившейся раковиной тонкие малорельефные ребра возникают в припупковой части, направлены косо вперед; на середине боков коленчато изгибаются назад, затем серповидно вперед; пропадают, не достигая кия. В верхней трети боков часть ребер подразделяется на две ветви; могут возникать также и вставные ребра.

Сравнение. От *O. flexa* (Buckman) отличается более уплощенными оборотами с более широким пупком. Последний признак отличает *O. subradiata* (Sowerby) также и от *O. pleurifer* (Buckman).

Геологическое и географическое распространение. Верхний байос, Англия, Франция, ФРГ, Дагестан, Армения, Западная Туркмения.

Материал. Дагестан, с. Ирганай, осыпь под базальной плитой цудахарской свиты – 12 экз.; с. Кумух, кумухская свита – 3 экз.; Большой Балхан, окрестности колодцев Чалой, чалойская свита – 3 экз.

Oppelia flexa (Buckman), 1924.

Табл. 2, фиг. 7

Oppelia subradiata var. В: (частью), Favre, 1912; с. 11, табл. 1, фиг. 1а.

Flechoxyites flexus: Buckman, 1924, табл. 525а, 525б.

Oppelia (*Oppelia*) *flexus*: Азарян, 1982, с. 63, табл. 10, фиг. 2.

Oppelia (*Oppelia*) *flexa*: Pavia, 1972, табл. 16, фиг. 5, 7; Ростовцев, 1985, с. 133, табл. 36, фиг. 2.
non *Oppelia* cf. *flexa*: Galacz, 1980, с. 61, табл. 13, фиг. 2.

Голотип. *Flechoxyites flexus* Buckman, 1924 [56, табл. 525А].
Верхний байос, зона *subfurgatum*. Франция, Байе.

Форма. Раковина крупных размеров, до 100–110 мм. Сечение оборотов стреловидное. Пупок узкий с отвесной стенкой. Вентральная сторона на фрагмокоме узкая с невысоким закругленным килем, на жилой камере взрослых экземпляров вентральная сторона становится закругленной, без кия, а пупок сужается.

Размеры, мм, и их соотношения:

№ экз.	Д	В	Ш	Ду	В/Д	Ш/Д	Ду/Д
115/7525	51	27	12	8	0,52	0,23	0,15
	40	21	10	7	0,52	0,25	0,18
115/4805	115	65	29	14	0,56	0,25	0,13

Скульптура. Слаборельефные субрадиальные ребра доходят до середины боковых поверхностей и, коленчато изогнувшись, разделяются на две-три рельефные ветви, серповидно изгибающиеся близ пупкового перегиба и исчезающие, не доходя до кия. Между ветвями иногда наблюдаются вставные ребра.

Сравнение. От *Oppelia subradiata* (Sowerby) описываемый вид отличается более толстыми оборотами, более широким пупком и более рельефными внутренними ребрами.

Геологическое и географическое распространение. Байос, верхи зоны *humphriesianum* – низы зоны *subfurgatum*. Англия, Франция (?), Иран (?), Армения, Азербайджан, Дагестан.

Материал. Дагестан, сел. Ирганай, осыпь под базальной плитой цудахарской свиты – 2 экз.; сел. Кумух, верхи кумухской свиты – 1 экз.

Oppelia pleurifer (Buckman), 1924

Табл. 2, фиг. 6

? *Oppelia subradiata*: Grossouvre, 1918, с. 397, табл. 13, фиг. 7.

Pleuroxyites pleurifer: Buckman, 1924, табл. 478.

Oppelia (*Oppelia*) *pleurifer*: Pavia, 1972, с. 98, табл. 16, фиг. 9.

? *Oppelia* cf. *flexa*: Galacz, 1980, с. 61, табл. 13, фиг. 2.

Oppelia pleurifer: Seyed-Etami, Schairer et Bolourchi, 1985, с. 62, табл. 1, фиг. 3.

Oppelia (*Oppelia*) *subradiata erbeni*: Westermann, 1981, с. 20, табл. 1, фиг. 1–5.

Голотип. *Pleuroxytes pleurifer* Buckman, 1924 [56, табл. 478].
Верхний байос, зона parkinsoni, Англия, Дорсет.

Форма. Раковины до 70 мм, уплощенные, с умеренно нарастающими оборотами стреловидного сечения. Внутренняя половина боков плоская; к вентральной стороне боковые поверхности сближаются. Вентральная сторона узкая и округлая, с невысоким килем. Пупок умеренно узкий; пупковый перегиб округлый, стенка отвесная.

Размеры, мм, и их соотношения:

№ экз.	Д	В	Ш	Ду	В/Д	Ш/Д	Ду/Д
115/2030	38	19	10	8	0,5	0,26	0,21

Скульптура. Слабо различающиеся в припупковой части ребра достигают середины боковых поверхностей и, коленчато изогнувшись назад, подразделяются на две-три ветви, которые близ вентрального перегиба резко изгибаются вперед и пропадают, не доходя до середины вентральной стороны.

Сравнение. От *Oppelia subradiata* (Sowerby) отличаются относительно более широким и глубоким пупком; от *O. flexa* (Buckman) — более уплощенными оборотами и меньшими размерами.

Геологическое и географическое распространение. Байос, зона humphriesianum — зона parkinsoni, Англия, Франция, ? Венгрия, Иран, Западная Туркмения.

Материал. Большой Балхан, чалойская свита, колодцы Чалой — 2 экз.

ПОДРОД *ОЕСОТРАУСТЕС* WAAGEN, 1869

Oecotraustes: Waagen, 1869, с. 251; Roemer, 1911, с. 40; Arkell, 1951, с. 53; Westermann, 1958, с. 35; Stephanov, 1966, с. 38; Hahn, 1968, с. 41; Krystyn, 1972, с. 228.

Типовой вид. *Oecotraustes genicularis* Waagen, 1869 [156, с. 227, табл. 20, фиг. 4]. Верхний байос. Франция, Байе.

Диагноз. Раковины до 40 мм, свернутые в слабоэллиптическую или же правильную спирали. Боковые поверхности слабовыпуклые, сближаются к вентральной стороне, посередине которой проходит невысокий киль. Сечение высокоовальное, с наибольшей шириной в средней части или ниже. Спиральная бороздка в средней части боков выражена слабо или отсутствует совсем. Пупок от умеренно узкого до широкого. Ребра на взрослых оборотах расположены в верхней части боковых сторон, более или менее частые; киль не достигают. Устье с боковыми ушками и слабым вентральным выростом.

Состав. Более шести видов: *O. genicularis* Waagen, *O. wester-*

manni Stephanov, *O. costiger* (Buckman), *O. gratus* Mitta sp. nov., *O. rectus* Mitta sp. nov., *O. bomfordi* Arkell.

Сравнение. От подрода *Oppelia* отличается меньшими размерами и наличием боковых ушек; от микроконхов *Oxycerites* (*Paroecotraustes*) – слабым развитием или полным отсутствием спиральной бороздки на середине боковых сторон.

Геологическое и географическое распространение. Соответствует распространению рода.

Oecotraustes genicularis Waagen, 1869

Табл. 2, фиг. 11, 12

Oecotraustes genicularis: Waagen, 1869, с. 227, табл. 20, фиг. 4; Arkell, 1951, с. 53, рис. 13/14; Sturani, 1971, с. 116, табл. 6, фиг. 11–13; Азарян, 1982, с. 72, табл. 12, фиг. 5–7; Ростовцев, 1985, с. 138, табл. 35, фиг. 5–6.

Oecotraustes (*Oecotraustes*) *genicularis*: Westermann, 1958, с. 35, табл. 1, фиг. 1; Stephanov, 1966, с. 38, табл. 1, фиг. 1.

Oecotraustes (*Oecotraustes*) aff. *nodifer*: Seyed–Emami, Schairer et Bolourchi, 1985, с. 63, табл. 1, фиг. 9.

Голотип. *Oecotraustes genicularis* Waagen, 1869 [156, табл. 20, фиг. 4]. Перезображен: [43, фиг. 13/4; 162, табл. 1, фиг. 1; 144, табл. 1, фиг. 1]. Байос, Франция, Байе.

Форма. Раковина мелких размеров, до 25 мм, с уплощенными оборотами высокоовального сечения. Наибольшая толщина оборотов в припупковой части. Боковые поверхности слабывыпуклые, в верхней трети сближаются к приостренной вентральной стороне, несущей невысокий киль. Пупок умеренно широкий, перегиб округлый; пупковая стенка низкая.

Размеры, мм, и их соотношения:

№ экз.	Д	В	Ш	Ду	В/Д	Ш/Д	Ду/Д
115/7513	30	13	7	8,5	0,43	0,23	0,28
115/2029	20	9	5,7	5	0,45	0,28	0,25
115/7514	17	7	5	5	0,41	0,29	0,29

Скульптура. При Д–15–20 мм представлена слабыми припупковыми ребрами, наклоненными вперед и около середины боков после коленчатого изгиба распадающимися на две–три более рельефные ветви, дугообразно изгибающиеся вогнутостью вперед и исчезающие не доходя до кия. При Д свыше 20 мм обычно наблюдаются частые хорошо заметные в верхней трети боковых поверхностей ребра, слабо изогнутые вперед.

Сравнение. От *O. westermanni* Stephanov отличается более толстыми оборотами и относительно более длинными наружными ребрами.

Геологическое и географическое распространение. Байос, зона humphriesianum – зона parkinsoni, Франция, ФРГ, Болгария, Азербайджан, Армения, Дагестан, Западная Туркмения.

Материал. Дагестан, цудахарская свита, сел. Урахи – 7 экз., сел. Ирганай – 2 экз., Большой Балхан, чалойская свита, колодцы Порсайман – 2 экз., колодцы Чалой – 3 экз.

Oecotraustes westermanni Stephanov, 1966

Табл. 2, фиг. 10

Oecotraustes n. sp. (частью) Westermann, 1958, с. 35; табл. 1, фиг. 4.

Oecotraustes (Oecotraustes) westermanni: Stephanov, 1966, с. 39, табл. 1, фиг. 4; Pavia, 1972, с. 99, табл. 16, фиг. 1; Seyed-Emami, Schairer et Bolourchi, 1985, с. 62, табл. 1, фиг. 8.

Oecotraustes westermanni: Sturani, 1971, с. 116, табл. 6, фиг. 19; табл. 16, фиг. 13.

Голотип. *Oecotraustes (Oecotraustes) westermanni* Stephanov, 1966 [144, табл. 1, фиг. 4]; *Oecotraustes* n. sp. [162, табл. 1, фиг. 4]. Верхний байос. Испания, Бурго.

Форма. Раковина небольших размеров, с уплощенными оборотами высокоовального сечения, свернута в правильную спираль. Боковые поверхности слабовыпуклые, вентральная сторона округлая, с очень заметным килем. Пупок умеренно узкий, с возрастом расширяется до умеренно широкого. Пупковая стенка пологая.

Размеры, мм, и их соотношения:

№ экз.	Д	В	Ш	Ду	В/Д	Ш/Д	Ду/Д
115/7519	26	11	6	7	0,42	0,23	0,26
	20	9	5	5	0,45	0,25	0,25
115/7518	20	8,5	4,5	5	0,43	0,23	0,25

Скульптура. Представлена очень короткими наружными ребрами, расположенными в верхней четверти боковых поверхностей близ вентрального перегиба.

Сравнение. *O. genicularis* отличается чуть больше уплощенными оборотами с более полой пупковой стенкой и более короткими ребрами, расположенными в верхней четверти боковых поверхностей.

Геологическое и географическое распространение. Верхний байос, Испания, Франция, Иран, Западная Туркмения.

Материал. Большой Балхан, чалойская свита, колодцы Чалой – 3 экз.

Oecotraustes gratus Mitta sp. nov.

Табл. 2, фиг. 13, 15

Название от *gratus* – приятный, привлекательный (лат.).

Голотип. *Oecotraustes gratus* sp. nov., табл. 3, фиг. 13, экз. 115/7521. Дагестан, сел. Ирганай, осыпь под базальной плитой цудахарской свиты в интервале: подзона *blagdeni* зоны *humphriesianum* – зона *subfurcatum*.

Форма. Небольшие, до 30 мм, правильно свернутые формы с уплощенными оборотами высокоовального сечения. Наибольшая толщина оборотов приходится на середину боков. Боковые поверхности слабовыпуклые; сравнительно узкая на фрагмоконе вентральная сторона на жилой камере по мере приближения к устью заметно расширяется. Посередине вентральной стороны проходит слабовыраженный киль. Пупок умеренно узкий. Жилая камера занимает 1/2 оборота; устье с раструбом, узкими боковыми ушками и развитым вентральным выступом.

Размеры, мм, и их соотношения:

№ экз.	Д	В	Ш	Ду	В/Д	Ш/Д	Ду/Д
115/7521	31	15	6	6	0,48	0,19	0,19
115/7522	20	9	5	5	0,45	0,25	0,25

Скульптура. Представлена тонкими субрадиальными ребрышками, возникающими близ пупкового перегиба и на середине боков довольно резко, но без излома изгибающимися назад, а в верхней части боков вновь принимающими субрадиальное направление. Близ вентрального перегиба ребра изгибаются вперед и заметны на вентральной стороне в виде косых штрихов, затухающих непосредственно возле кила.

Сравнение. От *O. genicularis* и *O. westermanni* описываемый вид отличаются более тонкие и изогнутые ребра в верхней части боков; в отличие от упомянутых видов у *O. gratus* sp. nov. ребра прослеживаются и в нижней половине боковых поверхностей взрослых экземпляров.

Геологическое и географическое распространение. Байос, зона *humphriesianum* – зона *subfurcatum*, Дагестан.

Материал. Дагестан, сел. Ирганай, осыпь под базальной плитой цудахарской свиты – 4 экз., верхняя часть кумухской свиты – 2 экз.

Oecotraustes rectus Mitta sp. nov.

Табл. 2, фиг. 16, 17

Название от *rectus* – стройный (лат.).

Голотип. *Oecotraustes rectus* sp. nov., табл. 2, фиг. 16, экз. 115/2186. Базальная плита цудахарской свиты, байос, зона *subfurcatum*. Дагестан, сел. Ирганай.

Форма. Раковина сильно уплощенная, с заметной эллиптичностью жилой камеры. Боковые поверхности очень слабо выпуклые, почти плоские. По середине вентральной стороны проходит слабо заметный киль; вентральная сторона фрагмокона узкая, на жилой камере постепенно расширяется. Пупок умеренно узкий; пупковая стенка невысокая, спадает отвесно. Жилая камера занимает 1/2 оборота; устье с раструбом, узкими, изогнутыми боковыми ушками и развитым вентральным выступом.

Размеры, мм, и их соотношения:

№ экз.	Д	В	Ш	Ду	В/Д	Ш/Д	Ду/Д
115/2186	28	13	6	5	0,46	0,21	0,18
	23	12	5	4,5	0,52	0,22	0,19
115/7524	25	12	5,5	5	0,48	0,22	0,20
	19	9	4	4	0,47	0,21	0,21

Скульптура. Представлена на ядрах тонкими густыми ребрышками, возникающими в припупковой части. Достигая середины боковых поверхностей, ребрышки круто изгибаются назад, делятся на две-три ветви и, дугообразно изогнувшись вперед, пересекают вентральный перегиб и исчезают, не доходя до середины вентральной стороны. На поверхности раковины ребрышки тонкие, струйчатые. Наиболее сильно ребра выражены в верхней четверти боков.

Сравнение. От *O. gratus* sp. nov. описываемый вид отличается почти плоскими боковыми поверхностями и заметной эллиптичностью жилой камеры.

Геологическое и географическое распространение. Байос, зона *subfurcatum*, Дагестан.

Материал. Дагестан, сел. Ирганай, базальная плита цудахарской свиты — 6 экз.

Oecotraustes aff. *costiger* Buckman, 1905

Табл. 2, фиг. 18

aff. *Oecotraustes* (*Oecotraustes*) *costiger*: Arkell, 1951, с. 67, табл. 7, фиг. 3—6; Stephanov, 1966, с. 40, табл. 1, фиг. 5—7; Galacz, 1980, с. 64, табл. 13, фиг. 3.

cf. *Oecotraustes* (*Oecotraustes*) cf. *costiger*: Galacz, 1980, табл. 13, фиг. 5.

Форма. Раковина уплощенная с оборотами овального сечения. Боковые поверхности слабо выпуклые, сближаются к приостренной

вентральной стороне. Наибольшая толщина оборота около средней части боков. Пупок умеренно широкий, глубокий. Пупковая стенка отвислая, перегиб округлый.

Размеры, мм, и их соотношения

№ экз.	Д	В	Ш	Ду	В/Д	Ш/Д	Ду/Д
115/7515	38	18	10	10	0,47	0,26	0,26

Скульптура. Слаборельефные внутренние ребра направлены вперед и достигают почти середины боков. Наружные ребра, частью являющиеся продолжением коленчато изогнутых внутренних ребер, отклоняются назад и, приближаясь к вентральному перегибу, — вперед; исчезают, не доходя до приостренной середины вентральной стороны. Близ вентрального перегиба наружные ребра несколько расширяются.

Сравнение. От *O. costiger* отличается более уплощенными оборотами и суженной килеватой вентральной стороной.

Геологическое и географическое распространение. *O. costiger* Buckman известен из зоны parkinsoni байоса и зоны zigzag нижнего бата Англии, (?) среднего бата Болгарии.

Материал. Большой Балхан, чалойская свита, колодцы Чалой — 1 экз.

Oecotraustes bomfordi Arkell, 1951

Табл. 2, фиг. 19

? *Ammonites subradiatus*: Schloenbach, 1865, с. 179, табл. 30, фиг. 6.

Ammonites fuscus: Quenstedt, 1887, с. 636, табл. 75, фиг. 4—5, 13.

? *Oppelia (Oxycerites) fusca behrendseni*: Wetzel, 1950, с. 90, табл. 9, фиг. 8.

Oecotraustes (Oecotraustes) bomfordi: Arkell, 1951, с. 68, табл. 7; фиг. 10—14; Stephanov, 1966, с. 42, табл. 1, фиг. 2—3; Hahn, 1968, с. 45, текст-фиг. 8/d, табл. 3, фиг. 1—3.

Oxycerites (Pleuroxuyites) subtililobatus: Westermann, 1958, табл. 10, фиг. 7.

Голотип. *Oecotraustes (Oecotraustes) bomfordi* Arkell, 1951 [43, табл. 7, фиг. 12]. Нижний бат. Англия, Дорсет.

Форма. Раковина мелких размеров, до 40 мм, с уплощенными, умеренно нарастающими оборотами стреловидного сечения. Наибольшая толщина оборотов в припупковой части. Посередине вентральной стороны проходит невысокий приостренный киль. Пупок мелкий, с возрастом расширяется от умеренно широкого до широкого; пупковая стенка полая.

Размеры, мм, и их соотношения:

№ экз.	Д	В	Ш	Ду	В/Д	Ш/Д	Ду/Д
115/7512	17	7,5	4	5,3	0,44	0,23	0,31
	12	5	3	4,1	0,41	0,25	0,34

Скульптура. Представлена невысокими, довольно частыми дугообразно изогнутыми наружными ребрами, расположенными в верхней половине боковых поверхностей (при Д до 15 мм). С последующим ростом ребра заметны лишь в верхней трети боков и пропадают, не доходя до кия; слабо изогнуты вогнутостью вперед.

Сравнение. От *O. genicularis* Waagen отличается более уплотненными оборотами и вытянутым сечением; от *O. westermanni* Stephanov — более длинными наружными ребрами.

Геологическое и географическое распространение. Нижний бат, зона zigzag. Англия, Франция, ФРГ, Западная Туркмения.

Материал. Большой Балхан, гора Коша-Джульба, нижняя часть нижнемеуламской подсвиты — 1 экз.

Род *Oxycerites* Rollier, 1909

Типовой вид. *Ammonites aspidoides* Orpel, 1857 [107, с. 474, 1962, с. 147, табл. 47, фиг. 4]. Конденсированные слои байоса, зона parkinsoni — бата, зона zigzag. ФРГ, окрестности Вюртемберга.

Диагноз. Род диморфный. Раковины с узкой, обычно заостренной вентральной стороной. Посередине боковых поверхностей обычно проходит спиральная бороздка. Устье простое или с боковыми ушками. Жилая камера занимает около 1/2 оборота. Формула лопастной линии: $(V_1 V_1) UU^1 U^2 U^3 \dots \dots UI_1 I_2 D.$

Сравнение. От рода *Oppelia* Waagen отличается заостренной вентральной стороной и спиральной бороздкой на боковых сторонах.

Состав. Два подрода: М *Oxycerites* Rollier, 1909, m *Paroecotraustes* Spath, 1928.

Геологическое и географическое распространение. Верхний байос — бат, Европа, Северная Африка, Азия, Аляска, Крым, Кавказ, Средняя Азия, Север Сибири.

ПОДРОД *OXYCERITES* ROLLIER, 1909

Oxycerites: Arkell, 1951, с. 51; Westermann, 1958, с. 44; Elmi et Mangold, 1966, с. 147; Hahn, 1968, с. 24; Krystyn, 1972, с. 227; Galacz, 1980, с. 62; Азарян, 1982, с. 62.

Типовой вид. Соответствует типовому виду рода.

Диагноз. Раковины средних размеров, до 150 мм, с оборотами стреловидного сечения. Боковые поверхности уплощенные, вентральная сторона узкая, обычно заостренная. Пупок узкий или умеренно узкий. Устье простое, обычно с развитым вентральным и умбональным синусами. На взрослых оборотах скульптура отсутствует или выражена наружными ребрами.

Сравнение. От подрода *Paroecotraustes* отличается большими размерами и строением устья. От макроконхов *Oppelia* отличается заостренной вентральной стороной и (частично) развитой спиральной бороздкой.

Состав. Более 9 видов: *O. aspidoides* (Oppel), *O. plicatella* (Gemellaro), *O. seebachi* (Wetzel), *O. yeovilensis* (Rollier), *O. limosus* (Buckman), *O. oxus* (Buckman), *O. fuscoides* Westermann, *O. orbis* (Giebel), *O. tenuis* Mittermayer sp. nov.

Геологическое и географическое распространение соответствует распространению рода.

Oxycerites plicatella (Gemellaro), 1877

Табл. 3, фиг. 1

Oppelia plicatella: Gemellaro, 1877, с. 136, табл. 18, фиг. 5.

Oppelia subradiata var. B: Favre, 1912, с. 14, табл. 1, фиг. 2.

Oppelia (Oxycerites) plicatella: Wendt, 1964, с. 122, табл. 19, фиг. 1; Sturani, 1964 b, с. 19, рис. 16.

Oxycerites plicatella: Galacz, 1980, с. 62, табл. 13, фиг. 4; табл. 14, фиг. 1–2; рис. 50–51.

Лектотип. *Oppelia plicatella* Gemellaro, 1877 [78, табл. 18, фиг. 6]. Конденсированные слои верхнего байоса – бата. Сицилия.

Форма. Раковина сильно уплощенная, с высоким стреловидным сечением. Наибольшая толщина оборотов чуть ниже середины боков. Вентральная сторона острая; намечен вентролатеральный перегиб. Пупок узкий, довольно глубокий, с отвесной стенкой.

Размеры, мм, и их соотношения:

№ экз.	Д	В	Ш	Ду	В/Д	Ш/Д	Ду/Д
115/1571	35	19	8	4	0,54	0,22	0,11

Скульптура. Дугообразно изогнутые вперед тонкие ребра наблюдаются в наружной половине боков. Близ вентральной стороны ребра густо расположены за счет появления коротких вставных ребер (2–3 вставных между двумя основными ребрами).

Сравнение. От остальных представителей подрода отличается характером скульптуры и наличием вентролатерального перегиба.

Геологическое и географическое распространение. Верхний байос – нижний бат (?), Сицилия, Франция, Болгария, Дагестан.

Материал. Дагестан, сел. Цудахар, средняя цудахарская под-
свита – 1 экз.

Oxycerites yeovilensis (Rollier), 1911

Табл. 3, фиг. 2

Ammonites discus: Quenstedt, 1858, с. 476, табл. 64, фиг. 4.

Oppelia fusca: Waagen, 1869, с. 199, табл. 16, фиг. 6; ?Grossouvre, 1919, с. 401, табл. 14, фиг. 8; Arkell, 1933.

Ammonites fuscus: Quenstedt, 1887, с. 634, 637, 640, табл. 75, фиг. 1, 10, 20.

Oppelia yeovilensis: Rollier, 1911, с. 305.

Oppelia (*Oxycerites*) *cf. aspidoides*: Arkell, 1951a, с. 6, табл. 1, фиг. 3.

Oppelia (*Oxycerites*) *fallax*: Westermann, 1958, с. 56, табл. 5, фиг. 1–3, табл. 8, фиг. 11; Азарян, 1982, с. 67, табл. 10, фиг. 5.

Oxycerites (*Limoxuytes*) *fallax*: Westermann, 1958, с. 46, табл. 8, фиг. 2, табл. 9, фиг. 1.

Oppelia (*Oxycerites*) *yeovilensis*: Sturani, 1967, с. 25, табл. 4, фиг. 8, 10.

Oxycerites fallax: Elmi et Mangold, 1966, с. 148, рис. 1–8, табл. 8, фиг. 1–2, 5–6, 9–10.

Oxycerites yeovilensis: Hahn, 1968, с. 29, рис. 7 а–в, табл. 2, фиг. 1–4.

Голотип. *Oppelia fusca* Waagen, 1869 [156, с. 199, табл. 16, фиг. 6]. Нижний бат, зона zigzag. Англия, Сомерсет.

Форма. Раковина небольших и средних размеров, до 70 мм, уплощенная, с медленно нарастающими оборотами стреловидного сечения. Бока плоские, сближаются к заостренной вентральной стороне. Пупок узкий, пупковый перегиб резкий, стенка отвесная.

Размеры, мм, и их соотношения:

№ экз.	Д	В	Ш	Ду	В/Д	Ш/Д	Ду/Д
115/6487	70	42	17	5	0,60	0,24	0,07
115/2008	61	32	12	5	0,52	0,19	0,08
115/7479	47	25	11	6	0,53	0,23	0,12

Скульптура. Представлена дугообразно изогнутыми ребрами, исчезающими у спиральной гладкой полоски, проходящей посередине боков. В наружной трети боков ребра изгибаются вперед и исчезают, не доходя до заостренной вентральной стороны. С возрастом ребра становятся шире, расставлены реже.

Сравнение. От *O. aspidoides* (Orpel) отличается более изогнутыми и рельефными ребрами и хорошо выраженной спиральной полос-

кой; от близкого *O. limosus* (Buckman) — лишь более резкими и гуще расставленными ребрами.

Замечания. *Oxycerites yeovilensis* встречен совместно с *Oxycerites limosus* (Buckman) и *Paroecotraustes subfuscus* (Waagen). Последний, по-видимому, является микроконхом описываемого вида.

Геологическое и географическое распространение. Нижний бат, зона zigzag, подзона yeovilensis, Англия, Франция, Румыния, Польша, Армения, Западная Туркмения.

Материал. Большой Балхан, верхнемеуламская подсвита, тропа Ишек-Иол — 12 экз., кяриз Меулам — 14 экз., гора Геркез — 4 экз.

Oxycerites limosus (Buckman), 1925

Табл. 3, фиг. 3, 4

Ammonites canalicatus fuscus (частью): Quenstedt, 1849, с. 119, табл. 8, фиг. 9.

Ammonites fuscus (частью): Quenstedt, 1887, с. 636, табл. 75, фиг. 2, 17, 18.

Oppelia fusca: Riche et Ronan, 1921, с. 151, табл. 7, фиг. 6; Roman, 1933, с. 62, табл. 2, фиг. 4.

Gonoxuytes limosus: Buckman, 1925, табл. 613.

Oppelia (*Oppelina*) *pseudoaspidoides waageni*: Wetzel, 1950, с. 85, табл. 9, фиг. 3.

Oppelia (*Oxycerites*) *fusca psyloptycha*: Wetzel, 1950, с. 90, табл. 9, фиг. 11.

Oppelia (*Oppelina*) *subradiata postera*: Wetzel, 1950, с. 83, табл. 9, фиг. 1.

Oppelia (*Oxycerites*) *limosa*: Arkell, 1951, с. 60, табл. 5, фиг. 7—8, табл. 6, фиг. 5—6; Азарян, 1982, с. 64, табл. 11, фиг. 1, 3—5; Ростовцев, 1985, с. 135, табл. 36, фиг. 1, 7.

Oxycerites (*Limoxuytes*) *nivernensis*: Westermann, 1958, с. 46, табл. 10, фиг. 2.

Oxycerites (*Limoxuytes*) *posterus*: Westermann, 1958, с. 47, табл. 8, фиг. 3.

Oxycerites (*Limoxuytes*) *psyloptychus*: Westermann, 1958, с. 48, табл. 10, фиг. 3.

Oppelia (*Oxycerites*) *nivernensis*: Sturani, 1967, с. 25, табл. 3, фиг. 10, табл. 4, фиг. 6.

Oxycerites aspidoides: Elmi et Mangold, 1966, с. 160, рис. 9—11 (кроме 11/2); табл. 8, фиг. 7—8, 11—14; табл. 9, фиг. 1, 3, 5, 7.

Oxycerites limosus: Hahn, 1968, с. 33, рис. 6—7, табл. 2, фиг. 7, табл. 5, фиг. 8.

Голотип. *Gonoxuytes limosus* Buckman, 1925 [56, табл. 613]. Нижний бат, зона zigzag. Англия, Дорсет. Воспроизведен: [43, табл. 5, фиг. 7].

Форма. Раковина дисковидная, с умеренно нарастающими оборотами стреловидного сечения. Слабовыпуклые бока постепенно сходятся к узкой вентральной стороне. Наибольшая толщина оборотов — в средней части их высоты. С возрастом вентральная сторона становится менее заостренной. Пупок узкий, с крутым перегибом и отвесной стенкой.

Размеры, мм, и их соотношения:

№ экз.	Д	В	Ш	Ду	В/Д	Ш/Д	Ду/Д
115/1960	44	24	9	5	0,54	0,20	0,11
	34	18	7	4	0,53	0,20	0,11
115/2557	36	21	7	5	0,58	0,19	0,13
	27	14	6	5	0,51	0,22	0,17

Скульптура. Представлена невысокими дугообразно изогнутыми ребрами, наблюдающимися в наружной половине боков.

Сравнение. От близкого *O. ueqvilensis* (Rollier) отличается более уплощенной раковиной и сравнительно слабо выраженными ребрами.

Геологическое и географическое распространение. Нижний бат, зона zigzag, Франция, Англия, ФРГ, Армения, Азербайджан, Дагестан и Западная Туркмения.

Материал. Большой Балхан, верхнемеуламская подсвита: тропа Ишек-Июл – 8 экз., окрестности кяриза Меулам – 4 экз., Дагестан, верхняя треть средней цудахарской подсвиты, сел. Датунa – 1 экз.

Oxycerites seebachi (Wetzel), 1950

Табл. 3, фиг. 5

Oppelia (Oxycerites) fusca seebachi: Wetzel, 1950, с. 90, табл. 9, фиг. 9.

Oxycerites (Pleuroxuyites) seebachi: Westermann, 1958, с. 49, табл. 10, фиг. 5 (переизображение голотипа).

Oppelia (Oxycerites) seebachi: Sturani, 1967, с. 24, табл. 4, фиг. 7.

? *Oxycerites seebachi*: Hahn, 1968, с. 37, табл. 2, фиг. 5–6.

Голотип. *Oppelia (Oxycerites) fusca* (Quenstedt) *seebachi* Wetzel [1950, табл. 9, фиг. 9]. Нижний бат. ФРГ, Нижняя Саксония.

Форма. Раковина с уплощенными оборотами высокострельчатого сечения, с наибольшей шириной в средней части боков, постепенно сближающимися к приостренной вентральной стороне боковыми поверхностями. Пупок сравнительно узкий, с отвесной пупковой стенкой и закругленным перегибом.

Размеры, мм, и их соотношения:

№ экз.	Д	В	Ш	Ду	В/Д	Ш/Д	Ду/Д
115/1356	39	19	9	7	0,48	0,23	0,18
	27	13	6	5	0,48	0,22	0,18

Скульптура. Слабые внутренние ребра субрадиально доходят

до середины боков и, коленчато изогнувшись, продолжают в виде наружных ребер. Наружные ребра, более рельефные, сильно серповидно изгибаются и в верхней части боков разделяются на две-три короткие, изогнутые вперед ветви. Ветви наружных ребер наиболее рельефные и наблюдаются на всем протяжении оборота.

Сравнение. Характером ребристости хорошо отличается от остальных *Oxycerites*. Этот признак сближает *O. seebachi* с некоторыми представителями *Oppelia* (*Oppelia*) [в частности, с *O. flexa* (Buckman)], от которых описываемый вид отличает приостренная вентральная сторона.

Замечания. Слабозаостренная вентральная сторона указывает на переходность этого вида от рода *Oppelia* к роду *Oxycerites*. К. Стурани [148] помещает этот вид в род *Oppelia*, что, на наш взгляд, менее обосновано, чем отнесение его к роду *Oxycerites* — эти роды отличаются не столько особенностями скульптуры, сколько, в первую очередь, степенью заостренности вентральной стороны.

Геологическое и географическое распространение. Нижний бат, зона zigzag, Германия, Франция, Дагестан.

Материал. Дагестан, верхняя часть цудахарской свиты, сел. Дагуна — 1 экз.

Oxycerites oxus (Buckman), 1926

Табл. 3, фиг. 6.

Micromphalites oxus: Buckman, 1926, табл. 654.

Oppelia (*Oxycerites*) *oxus*: Atkell, 1951, с. 66, рис. 16/2, табл. 6, фиг. 8, 9; Sturani, 1967, с. 25, табл. 4, фиг. 9.

Oxycerites cf. *oxus*: Galacz, 1980, с. 63, табл. 14, фиг. 5.

non *Oppelia* (*Oxycerites*) *oxus*: Церетели, 1968, табл. 4, фиг. 1.

Голотип. *Micromphalites oxus* Buckman, 1926 [56, табл. 654]. Средний бат, зона progracilis. Англия, окрестности г. Глостера.

Форма. Раковина слабоуплощенная, с быстро нарастающими оборотами стреловидного сечения. Наибольшая толщина оборотов в припупковой части; бока плавно сходятся к заостренной вентральной стороне. Пупок узкий и умеренно узкий; перегиб округлый, стенка отвесная.

Размеры, мм, и их соотношения:

№ экз.	Д	В	Ш	Ду	В/Д	Ш/Д	Ду/Д
115/3191	46	24	12	9	0,52	0,28	0,19

Скульптура. Фрагмоконы диаметром до 30 мм покрыты боковыми ребрами, которые, коленчатообразно изгибаясь посередине боков, расщепляются на две-три ветви, сглаживающиеся не доходя до

вентральной стороны. При больших размерах боковые ребра сглаживаются.

Сравнение. От других представителей подрода отличается толстыми оборотами при относительно небольшой высоте.

Геологическое и географическое распространение. Средний бат, зона *progracilis*, Европа, Средняя Азия.

Материал. Хр. Кугитангтау, водораздел Вандобского и Шерджантского саев, кровля тангидувальской свиты – 1 экз.

Oxycerites tenuis Mitta sp. nov.

Табл. 3, фиг. 7, 8

Название от *tenuis* – тонкий (лат.).

Голотип. *Oxycerites tenuis* Mitta sp. nov., табл. 3, фиг. 8, ВНИГ-НИ, экз. 115/3192. Кровля тангидувальской свиты, средний бат. Юго-Западный Гиссар, сай Вандоб.

Форма. Раковина уплощенная, с сильно объемлющими, умеренно нарастающими оборотами. Сечение высокое, стреловидное; наибольшая толщина оборотов в их верхней части. Бока постепенно сближаются к заостренной вентральной стороне. Пупок умеренно узкий, мелкий; пупковая стенка крутая, перегиб округлый.

Размеры, мм, и их соотношения:

№ экз.	Д	В	Ш	Ду	В/Д	Ш/Д	Ду/Д
115/3112	33	16	7	7	0,48	0,21	0,21
	24	11	5	6	0,45	0,20	0,25

Скульптура. На фрагмоконе до диаметра 15–20 мм наблюдаются невысокие ребра, возникающие в припупковой части. Достигая середины боков, ребра коленообразно изгибаются назад, далее, серпообразно изгибаясь вперед, ребра расширяются и, не доходя до вентральной стороны, сглаживаются. При диаметре более 20 мм внутренняя часть боков становится гладкой. В наружной части боков ребра сохраняются.

Сравнение. От наиболее близкого *O. fuscooides* Westermann отличается меньшими размерами, сравнительно более узким пупком и более тонкими, но более рельефными и правильными ребрами.

Геологическое и географическое распространение. Бат, зоны *subcontractus* – *retrocostatum*, Юго-Западный Гиссар.

Материал. Хр. Кугитангтау, верхняя часть тангидувальской свиты: сай Вандоб – 1 экз., урочище Сарыкамьш – 4 экз., урочище Тангидувал, тот же уровень – 1 экз.

Табл. 3, фиг. 9

Форма. Раковина средних размеров, с уплощенными оборотами высокостреловидного сечения. Наибольшая толщина оборотов в средней части боков; боковые поверхности постепенно сходятся к заостренной вентральной стороне. Пупок умеренно узкий, пупковая стенка отвесная, перегиб резкий.

Размеры, мм, и их соотношения:

№ экз.	Д	В	Ш	Ду	В/Д	Ш/Д	Ду/Д
115/6891	45	23	11	9,1	0,51	0,24	0,20
	34	16	7	8,2	0,47	0,20	0,24
115/6892	49	27	11	9,5	0,55	0,22	0,19

Скульптура. При Д свыше 30 мм наблюдаются длинные тонкие наружные ребра, возникающие чуть ниже середины боковых сторон. Со слабым серповидным изгибом ребра приближаются к вентральной поверхности, постепенно расширяясь, и исчезают, не доходя до заостренного ventre. В припупковой части иногда сохраняются слабые следы внутренних субрадиальных ребер (по одному на три-четыре наружных ребра).

Сравнение. Формы, описываемые под этим названием, очень близки к *O. tenuis* Mitta sp. nov., отличаясь более широким и глубоким пупком с более отвесной пупковой стенкой и большими размерами.

Материал. Большой Балхан, ущелье Ташлыдере, нижняя часть кошаджубинской свиты – 9 экз., хр. Кугитангтау, сай Вандоб, нижняя часть байсунской свиты – 12 фрагментов.

ПОДРОД *m* *PAROECOTRAUSTES* SPATH, 1928

Paroecotraustes: Arkell, 1951, с. 54; Hahn, 1958, с. 51; Krystyn, 1972, с. 233.

Oecotraustes (Paroecotraustes): Stephanov, 1966, с. 44.

Типовой вид. *Oecotraustes serrigerus* Waagen, 1869 [156, с. 230, табл. 20, фиг. 7]. Верхний бат. Польша, окрестности Кракова.

Диагноз. Раковина до 65 мм, с правильно или эллиптически свернутой жилой камерой. Обороты средней толщины, бока выпуклые, сближающиеся к приостренной вентральной стороне, несущей невысокий киль. В конце жилой камеры вентральная сторона может расширяться, киль сглаживается. Посередине боковых сторон проходит более или менее выраженная спиральная бороздка. Пупок умеренно широ-

кий. Устье с боковыми ушками. Наружные ребра хорошо выражены; частью направлены назад.

Сравнение. От подрода *Oxycerites* отличается небольшими размерами и строением устья; от микроконхов *Oppelia* (*Oecotraustes*) — более толстыми в целом оборотами, развитой спиральной бороздкой, иногда — заостренной вентральной стороной фрагмокона, эллиптичностью жилой камеры.

Состав. Более 12 видов: *P. serrigerus* (Waagen), *P. subfuscus* (Waagen), *P. formosus* (Arkell), *P. pygmaeus* Arkell, *P. nodifer* (Buckman), *P. subtenuis* Mitta sp. nov., *P. splendens* (Arkell), *P. maubeugei* (Stephanov), *P. fuscus* (Quenstedt), *P. bradleyi* (Arkell), *P. densicostatus* (Lissajous), *P. waageni* (Stephanov).

Замечания. По сходству строения фрагмокона и совместному нахождению *Paraecotraustes* являются микроконхами *Oxycerites*.

Геологическое и географическое распространение. Соответствует распространению рода.

Paraecotraustes subfuscus (Waagen), 1869

Табл. 4, фиг. 1–3

Oecotraustes subfuscus: Waagen, 1869, с. 229, табл. 20, фиг. 6.

? *Oecotraustes subfuscus*: Grossouvre, 1909, с. 409, табл. 14, фиг. 4.

Oecotraustes (*Paraecotraustes*) *subfuscus*: Stephanov, 1966, с. 45, рис. В/1.

non *Oecotraustes* cf. *subfuscus*: Сибирякова, 1961, с. 47, табл. 5, фиг. 12 [? *Paraecotraustes maubeugei* (Stephanov)].

Голотип. *Ammonites subfuscus* Waagen, 1869 [156, с. 229, табл. 20, фиг. 6]. Бат, зона zigzag. Франция, Де-Севр. Переизображен: [43, с. 53, рис. 13/6; 144, с. 45, рис. В/1].

Форма. Раковина небольших (до 30 мм) размеров, последний оборот эллиптически изогнут. Обороты уплощенные, с наибольшей толщиной во внутренней трети, высокоовального сечения. Вентральная сторона широкая, посередине ее проходит слабовыраженный киль. Пупок умеренно широкий, перегиб округлый, пупковая стенка невысокая.

Сохранность материала не позволяет установить размер.

Скульптура. На фрагмоконе и в начале жилой камеры диаметром до 20–25 мм ребра возникают близ пупкового шва, с легким наклоном достигают середины боков, коленообразно изгибаются назад и снова с легким наклоном вперед достигают вентральной стороны, сглаживаются не доходя до кия. Тонкие в припупковой части ребра постепенно грубеют к вентральной стороне. При большем диаметре внутренние ребра не наблюдаются; наружные ребра еще больше округ-

ляются, имея в вентральной части ширину, вдвое превышающую ширину их на середине боков.

Сравнение. От остальных *Paroecotraustes*, в том числе и от наиболее близкого *P. fuscus* (Quenstedt), хорошо отличается эллиптически изогнутой жилой камерой при небольших размерах, ребристостью и отчасти слабовыраженной спиральной линией.

Замечания. В. Хан [84] включил *Ammonites subfuscus* Waagen в синонимику *P. fuscus* (Quenstedt). Как оригинал, изображенный Ваагеном, так и наши экземпляры позволяют четко различать эти два вида.

Геологическое и географическое распространение. Нижний бат, зона zigzag, Франция, Западная Туркмения.

Материал. Большой Балхан, верхнемеуламская подсвита, тропа Ишек-Иол — 3 экз.

Paroecotraustes pygmaeus (Arkell), 1951

Табл. 4, фиг. 8

Oppelia (*Oxycerites*) *pygmaea*: Arkell, 1951, с. 62, табл. 6, фиг. 1—4.

Oecotraustes (*Oxycerites*) *pygmaea*: Hahn, 1968, с. 47, табл. 4, фиг. 3—4.

Голотип. *Oppelia* (*Oxycerites*) *pygmaea* Arkell, 1951 [43, табл. 6, фиг. 2]. Нижний бат, зона zigzag, Англия, Дорсет.

Форма. Раковины мелкие, до 30 мм, уплощенные. Наибольшая толщина оборотов на середине их высоты; бока сближаются как к заостренной вентральной стороне, так и к пупку. Пупок узкий, глубокий; пупковая стенка крутая, перегиб резкий. Развита боковая ушка.

Размеры, мм, и их соотношения:

№ экз.	Д	В	Ш	Ду	В/Д	Ш/Д	Ду/Д
115/3097	30	15	6	3,5	0,5	0,20	0,11
	23	12	5	3	0,52	0,21	0,13

Скульптура. Наблюдаются тонкие слабоизогнутые наружные ребра, отходящие от слабонамеченной боковой спиральной линии.

Сравнение. От *P. bradleyi* (Arkell) отличается меньшими размерами, более тонкой скульптурой и более узким пупком.

Замечания. Вид отнесен к роду *Oxycerites* и подроду *Paroecotraustes* по заостренной вентральной стороне и наличию боковых ушек.

Геологическое и географическое распространение. Нижний бат, зона zigzag, Англия, Германия, Юго-Западный Гиссар.

Материал. Юго-Западный Гиссар, средняя подсвета тангидувальской свиты, урочище Тангидувал – 1 экз.

Paroecotraustes formosus (Arkell), 1951

Табл. 4, фиг. 4

Oecotraustes (Paroecotraustes) formosus: Arkell, 1951a, с. 8, табл. 1: фиг. 4–5; 1951, с. 71, рис. 18/2, 18/3, табл. 8, фиг. 8–10; Stephanov, 1966, с. 46, табл. 3, фиг. 1–8, рис. А/4; Hahn, 1968, с. 56, рис. 9, табл. 4, фиг. 7–9; Азарян, 1982, с. 73, табл. 12, фиг. 1–2; Ростовцев, 1985, с. 137, табл. 35, фиг. 7–8.

non *Oecotraustes (Paroecotraustes) formosus*: Sturani, 1967, с. 26, табл. 4, фиг. 1.

Голотип. *Oecotraustes (Paroecotraustes) formosus* Arkell, 1951 [48, табл. 1, фиг. 4]. Конденсированные слои нижнего–среднего бата. Швандорф.

Форма. Раковины до 35 мм, уплощенные или средней толщины, с быстро нарастающими оборотами высокоовального сечения. Наибольшая толщина в средней части высоты оборота. Вентральная сторона суженная, с невысоким приостренным килем. Пупок умеренно широкий, пупковый перегиб закругленный, стенка сравнительно крутая. Посередине боков жилой камеры проходит спиральная бороздка.

Размеры, мм, и их соотношения:

№ экз.	Д	В	Ш	Ду	В/Д	Ш/Д	Ду/Д
115/7511	17	8	4,5	4,7	0,47	0,26	0,27
	12	5,5	4	3,8	0,45	0,33	0,31

Скульптура. В наружной части боков развиты невысокие частые дугообразно изогнутые ребра. Приближаясь к вентральному перегибу, ребра сильно изгибаются вперед и исчезают, не доходя до кила.

Сравнение. От наиболее близкого *P. fuscus* (Quenstedt) описываемый вид отличается слабовыраженной спиральной бороздкой, более слабыми и шире расставленными внутренними ребрами.

Геологическое и географическое распространение. Нижний–средний бат, Англия, Болгария, ФРГ, Азербайджан, Армения, Средняя Азия.

Материал. Юго-Западный Гиссар, урочище Тангидувал, верхняя часть тангидувальской свиты – 1 экз.

Paroecotraustes splendens (Arkell), 1951

Табл. 4, фиг. 5

Oecotraustes (Paroecotraustes) splendens: Arkell, 1951a, с. 7, табл. 1, фиг. 1; 1951, с. 70, табл. 8, фиг. 2–3; Stephanov, 1966, с. 57, табл. 4, фиг. 1–6; Hahn, 1968, с. 54, табл. 4, фиг. 14–15;

Голотип. *Oecotraustes (Paroecotraustes) splendens* Arkell, 1951 [43, табл. 1, фиг. 1]. Конденсированные слои среднего бата, зоны *subcontractus* – *morrisi*. Швандорф. Переизображен: [144, табл. 4, фиг. 1].

Форма. Раковины до 35 мм, с эллиптически свернутой жилой камерой, уплощенными оборотами овального сечения. Бока слабовыпуклые; наибольшая толщина оборота во внутренней трети. Вентральная сторона на фрагмоконе заостренная и не обособлена от боков; на жилой камере расширяется, посередине ее проходит невысокий киль. Пулук умеренно широкий, пулковая стенка пологая.

Размеры, мм, и их соотношения:

№ экз.	Д	В	Ш	Ду	В/Д	Ш/Д	Ду/Д
115/3193	29	12	7,5	9	0,41	0,25	0,31

Скульптура. Внутренние части ребер слабо выражены; наружи от спиральной борозды ребра коленчато изгибаются назад и становятся рельефными. Близ вентрального перегиба ребра резко изгибаются назад и пропадают. На вентральном перегибе ребра иногда разделяются на две короткие ветви.

Сравнение. От *P. serrigerus* (Waagen) отличается сильным наклоном ребер назад в наружной части боков. *P. formosus* (Arkell) имеет более частые и сравнительно тонкие ребра.

Геологическое и географическое распространение. Бат, зона *subcontractus* – зона *retrocostatium*, Англия, Болгария, ФРГ, Иран, Юго-Западный Гиссар.

Материал. Хр. Кугитангтау, кровля тангидувальской свиты, водораздел Вандобского и Шерджантского саев – 1 экз., урочище Тангидувал, тот же уровень – 1 экз.

Paroecotraustes maubeugei (Stephanov), 1966

Табл. 4, фиг. 6

Ammonites serrigerus: Grossouvre, 1888, с. 376, табл. 4, фиг. 2–3.

Oecotraustes serrigerus: Lissajous, 1923, с. 120, табл. 26, фиг. 1–3.

? *Oecotraustes* cf. *subfuscus*: Сибирякова, 1961, с. 47, табл. 5, фиг. 12.

Oecotraustes (Paroecotraustes) maubeugei: Stephanov, 1966, с. 51, табл. 5, фиг. 1–7, табл. 6, фиг. 1–8; Hahn, 1968, с. 58, рис. 9/с, табл. 1, фиг. 4–5, табл. 5, фиг. 1.

Oecotraustes (Paroecotraustes) prevalensis: Stephanov, 1966, с. 52, табл. 7, фиг. 2–5.

Голотип. *Oecotraustes (Paroecotraustes) maubeugei* Stephanov, 1966 [144, табл. 5, фиг. 1]. Конденсированные слои среднего–верхнего

бата (зоны subcontractus – "retrocostatum"). Болгария, Михайловград.

Форма. Раковины до 55 мм, с умеренно нарастающими оборотами овального сечения. Слабовыпуклые бока сближаются к заостренной вентральной стороне, несущей невысокий киль. Посередине боков проходит спиральная бороздка. Пупок умеренно широкий, пупковый перегиб округлый, с возрастом пупковая стенка выполаживается.

Размеры, мм, и их соотношения:

№ экз.	Д	В	Ш	Ду	В/Д	Ш/Д	Ду/Д
115/1206	32	14	9	9	0,43	0,28	0,28
	24	11	7	7	0,45	0,29	0,29

Скульптура. Начиная с Д около 25 мм в наружной половине боков наблюдаются редкие почти прямые ребра, направленные косо назад. По мере приближения к вентральной стороне ребра несколько расширяются и пропадают, не доходя до кия. Припупковые ребра слабо выражены и видны лишь при косом свете, радиальные достигают спиральной бороздки.

Сравнение. От сходного *P. densicostatus* (Lissajous) описываемый вид отличают слабовыраженные на фрагмоконе и реже расположенные на жилой камере ребра. У *P. waageni* (Stephanov) развиты более толстые ребра и притупленный киль.

Замечания. *Oecotraustes* (*Paroecotraustes*) *prevalensis* Stephanov не отличим от *P. taubeugei* и включен в синонимику последнего. Образец Л. В. Сибиряковой, включенный в синонимику описываемого вида [144, 84], характеризуется сильной эллиптической изогнутостью жилой камеры и короткими и толстыми наружными ребрами.

Геологическое и географическое распространение. Верхи среднего – низы верхнего бата, Англия, Франция, ФРГ, Болгария, Средняя Азия.

Материал. Большой Балхан, ущелье Ташлыдере, нижняя часть кошаджубинской свиты – 11 экз., Юго-Западный Узбекистан, нижняя байсунская подсвита, скв. Бердыкудук 2 П – 1 экз., хр. Кугитангау, низы байсунской свиты – кровля тангидувальской свиты, родник Чашмабулак – 2 экз., сай Вандоб – 25 экз., сай Кемпыр-тюбе – 3 экз., урочище Тангидувал, тот же уровень – 4 экз.

Paroecotraustes subtenuis Mitta sp. nov.

Табл. 4, фиг. 10

Название дано по сходству фрагмоконов *Oxycerites tenuis* Mitta sp. nov. и описываемого вида.

Голотип. *Paroecotraustes subtenuis* Mitta sp. nov., табл. 4, фиг. 10, ВНИГНИ, экз. № 115/3162. Кровля тангидувальской свиты, верхний бат, зона *retrocostatum*. Юго-Западный Гиссар, урочище Сарыкамыш.

Форма. Раковины мелкие, до 30 мм, с уплощенными оборотами, высокоовального сечения. Наибольшая толщина оборотов приходится на нижнюю треть их высоты. Вентральная сторона фрагмокона и начальной части жилой камеры узкая, приостренная; в средней части и к концу жилой камеры заметно расширяется. Пупок умеренно широкий, неглубокий, с округлым перегибом. Посередине боков проходит неглубокая, но отчетливая спиральная борозда.

Сохранность материала не позволяет привести размеры.

Скульптура. Внутренние ребра выражены очень слабо, направлены вперед. Наружные ребра длинные, тонкие, хорошо выражены, в вентролатеральной части расширяются.

Сравнение. Длинные тонкие сравнительно густые ретрокоstatsкие ребра отличают *P. subtenuis* от остальных видов подрода.

Замечания. Скульптура и форма фрагмокона описываемого вида неотличима от таковой у *Oxycerites tenuis* Mitta sp. nov., чьим микроконхом *P. subtenuis* несомненно является.

Материал. Хр. Кугитангтау, урочище Сарыкамыш, кровля тангидувальской свиты – 2 экз.

Род *Prohecticoceras* Spath, 1928

Prohecticoceras: Spath, 1928, с. 100; Krystyn, 1972, с. 240; Galacz, 1980, с. 65.

Hecticoceras (*Prohecticoceras*): Цептели, 1968, с. 72.

Типовой вид. *Ammonites retrocostatus* Grossouvre, 1888 [80, с. 374, табл. 3, фиг. 8–9]. Верхний бат, Франция, Ньевр.

Диагноз. Раковины небольших и средних размеров, до 80 мм, с уплощенными оборотами и широкой вентральной стороной. Посередине вентральной стороны проходит невысокий киль. Пупок умеренно широкий. Скульптура представлена слабеевыми с возрастом, направленными вперед внутренними и ретрокоstatsкими, утолщающимися по мере приближения к вентральной стороне наружными ребрами. Наружные ребра в вентролатеральной части непосредственно перед исчезновением, а также на месте соединения с внутренними ребрами могут образовывать бугорковидные утолщения.

Сравнение. От *Hecticoceras Bonagelli* отличается менее грубой скульптурой, слабым развитием бугорков, более узким пупком.

Замечания. Достоверных диморф среди *Prohecticoceras* не установлено. С. Эльми (Elmi, 1967) предполагал, что возможные микроконхи, соответствующие макроконхам *Prohecticoceras*, могут быть среди

Oxycerites (Paroecotraustes), принадлежащих к *Oppeliinae*. В нашем материале имеется один экземпляр *P. haugi* (Popovici-Hatzeg) с раскручивающейся по умбональному краю жилой камерой, что позволяет предполагать слабовыраженный диморфизм среди собственно *Prohcticoceras*.

Состав. Более четырех видов: *P. retrocostatum* (Grossouvre), *P. angulicostatum* (Loczy), *P. haugi* (Popovici-Hatzeg), *P. ochraceum* Elmi.

Геологическое и географическое распространение. Нижний бат-нижний келловей (?), Европа, Северная Африка, Кавказ, Средняя Азия.

Prohcticoceras haugi (Popovici-Hatzeg), 1905

Табл. 4, фиг. 7, 9

Hecticoceras haugi: Popovici-Hatzeg, 1905, с. 18, табл. 4, фиг. 3; табл. 5, фиг. 2-10.

Prohcticoceras haugi: Zeiss, 1959, с. 101; Krystyn, 1972, с. 244, табл. 6, фиг. 1; рис. 1 в тексте; Galacz, 1985, с. 22, табл. 2, фиг. 2.

Hecticoceras (Prohcticoceras) haugi: Церетели, 1968, с. 72, табл. 7, фиг. 1-2.

Лектотип. *Hecticoceras haugi* Popovici-Hatzeg, 1905 [117, табл. 5, фиг. 8]. Конденсированные слои бата - нижнего келловоя. Румыния, Свинитца.

Форма. Раковины небольших и средних размеров, до 80 мм, с уплощенными оборотами высокого овально-стреловидного сечения. Наибольшая толщина оборотов во внутренней трети их высоты. Посередине вентральной стороны проходит невысокий киль. Пулок умеренно широкий, неглубокий, с округлым перегибом.

Размеры, мм, и их соотношения:

№ экз.	Д	В	Ш	Ду	В/Д	Ш/Д	Ду/Д
115/3263	25	11	6	7,8	0,44	0,24	0,31
115/3281	20	8	5,6	5,6	0,40	0,28	0,28
115/3163	20	9	6	6	0,45	0,30	0,30

Скульптура. Представлена внутренними и наружными ребрами, образующими иногда на месте соединения слабые бугорковидные утолщения. Внутренние ребра наклонены вперед; при небольшом диаметре рельефны, при диаметре свыше 30 мм ослабевают вплоть до полного исчезновения. Наружные ребра наклонены назад, в средней части иногда слабо изгибаются вперед. По мере приближения к вентральной стороне наружные ребра постепенно утолщаются и исчезают на вентролатеральном перегибе, образуя здесь бугорковидные вздутия.

Сравнение. От *P. retrocostatum* (Grossouvre) отличается более уплощенными оборотами с узкой вентральной стороной и слабее выраженными внутренними ребрами.

Геологическое и географическое распространение. Средний–верхний бат (кроме зоны *discus*), Румыния, Австрия, Сицилия, Кавказ, Средняя Азия.

Материал. Большой Балхан, верхнемеуламская подсвита: гора Коша-Джужуба – 2 экз., (cf). хр. Кугитангтау, тангидувальская свита, сай Вандоб – 5 экз., урочище Тангидувал – 3 экз.

СЕМЕЙСТВО STEPHANOCERATIDAE, NEUMAYR, 1975

Род *Cadomites* Munier-Chalmas, 1892

Типовой вид. *Ammonites deslongchampsii* De France (d'Orbigny, 1846 [109, табл. 138, фиг. 1–2]). Верхний байос, зона *parkinsoni*. Нормандия.

Диагноз. Диморфный род, макро- и микроконхи объединяются в составе подродов. Раковины полуэволютные или полуинволютные с приплюснутым овальным или ромбовидным сечением оборотов, несут радиальные боковые ребра, на середине боков или на перегибе к вентральной стороне заканчивающиеся шипом или бугорком, от которого отходит пучок тонких вентральных ребер (3–5 и более). Формула лопастной линии ($V_1 V_1 UU_1 I_3; I_1 I_2 D$). Лопасть I_2 вычленяется в верхней части лопасти I и переходит в седло I/D , может замещаться рано возникающей гомологичной ей лопастью I^1 .

Состав. Два подрода: *M Cadomites* Munier-Chalmas, 1892, и *Polyplectites* Mascke, 1907.

Сравнение. В составе подсемейства *Cadomitinae* Westermann, 1956 других родов не выделяется.

Замечания. Род *Cadomites* в старой литературе трактовался крайне широко, включая различные стефанокератиды, в том числе номинальный род [126]. В. Аркелл [43, с. 74–80] ограничил род *Cadomites* макроконховым подродом, указав, однако, на *Polyplectites* как на возможную диморфную пару. Им же были уточнены и переизображены лектотипы обоих подродов (фиг. 21). Последующие исследователи [87, 115 и др.] объединили в составе рода макро- и микроконхи.

Геологическое и географическое распространение. Нижний байос, подзона *blagdeni* – нижний келловей, зона *macrocephalus*, Европа, Северная и Восточная Африка, Азия, Северная и Южная Америка, Кавказ, Большой Балхан, Юго-Западный Гиссар.

Polystephanus: Buckman, 1922, табл. 311.

Stegeostephanus: Buckman, 1922, табл. 312.

Deslongchampsia: Roche, 1939, с. 176.

Типовой вид соответствует типовому виду рода.

Диагноз. Раковины средних размеров, до 150 мм, редко более. Устье со слабым раструбом, с прямыми вентральными и боковыми краями, с пришовным синусом, на ядрах развит приустьевый пережим. Жилая камера занимает 2/3–3/4 оборота.

Состав. Более 16 видов: *C. lissajousi* Roche, *C. gignouxi* Roche, *C. stegeus* (Buckman), *C. psilacanthus* (Wertember), *C. perplicatus* Roche, *C. fredericiromani* Roche, *C. tasharvaticus* sp. nov., *C. deslongchampsii* (Defrance), *C. extinctus* (Quenstedt), *C. rectelobatus* (Hauer), *C. daubeni* (Gemmellaro), *C. orbignyi* Grossouvre, *C. zlatarskii* Stephanov, *C. bremeri* Tsereteli, *C. altispinosus* Dietl et Herold, *C. crassispinosus* Kopik.

Сравнение. От подрода *Polyplectites* отличается более крупными размерами и устьем без боковых ушек.

Cadomites lissajousi Roche, 1939

Табл. 5, фиг. 1

Cadomites lissajousi: Roche, 1939, с. 197, табл. 2, фиг. 2.

Cadomites lissajousi lissajousi: Pavia, 1973, с. 100, табл. 17, фиг. 4, 6.

Cadomites (*C.*) *lissajousi* n. ssp. indet: Pavia, 1978, с. 101, табл. 17, фиг. 2.

Cadomites (*C.*) *lissajousi*: Pavia, 1983, с. 153.

Голотип. *Cadomites lissajousi* Roche, 1939 [126, табл. 2, фиг. 2]. Конденсированные слои подзоны *blagdeni* зоны *humphriesianum* и зоны *subfurcatum*. Франция, Макон.

Форма. Раковины до 150 мм. На фрагмоконе и в начале жилой камеры обороты объемлют предшествующие на 1/2 их высоты, в переднем конце жилой камеры на 1/3. Сечение оборотов прямоугольно-овальное, бока и вентральная сторона слабо выпуклые, пупок широкий, ступенчатый. Жилая камера занимает немного более 3/4 оборота. Устье с приустьевым пережимом на ядре, после которого следует поперечный валик и затем козырек с прямыми краями.

Размеры, мм, и их соотношения:

№ экз.	Д	В	Ш	Ду	В/Д	Ш/Д	Ду/Д
115/7499	135	—	—	—	—	—	—
	109	42	49	37	0,385	0,45	0,34

Скульптура. Боковые ребра начинаются от умбональной стенки и заканчиваются на фрагмоконе посередине боков, на жилой камере на $2/5$ высоты боков от шва бугорком, от которого отходит от 2 до 4 более тонких вентральных ребра, нередко переходящих во вставные. Ребра на боках радиальные или несколько отклоняются назад, вентральную сторону переходят прямо. Число боковых ребер на $1/2$ оборота в конце фрагмокона около 20, на жилой камере – порядка 25–30, коэффициент ветвления порядка 3,5.

Сравнение. От голотипа и экземпляров, изображенных Дж. Павиа (см. синонимику), наши экземпляры отличаются значительно большими размерами. От других *Cadomites* зоны *subfurcatum*, описанных Роше, помимо больших размеров они отличаются: от *C. humphriesiformis* – тонкой вентральной ребристостью и высоким коэффициентом ветвления, более толстыми оборотами, от *C. gignouxii* – тонкой вентральной ребристостью и высоким коэффициентом ветвления.

Геологическое и географическое распространение. Байос, подзона *blagdeni* зоны *humphriesianum* и зона *subfurcatum*, Франция, Макон, Нижние Альпы, Дагестан, Большой Балхан.

Материал. Дагестан, сел. Датуна, основание цудахарской свиты – один почти полный экземпляр и обломок жилой камеры, Большой Балхан, южнее колодцев Шорли, нижняя часть чалойской свиты – один деформированный фрагмент.

Cadomites tasharvaticus Besnosov sp. nov.

Табл. 4, фиг. 15

Голотип. ВНИГНИ, экз. № 115/1968. Верхний байос, зона *parkinsoni*. Большой Балхан, кяриз Ташарват, ташарватская свита.

Название происходит от названия типового местонахождения.

Форма. Раковина до 100 мм, с разворачивающейся по умбональному краю жилой камерой и полуинволютным фрагмоконом. Сечение оборотов почковидное. Умбональная стенка крутая, высокая, плавно закругляется в бока, которые, в свою очередь, не отграничены от широкой закругленной вентральной стороны. Жилая камера занимает около $2/3$ оборота, устье с предустьевым пережимом на ядре и последующим козырьковидным растробом.

Размеры, мм, и их соотношения:

№ экз.	Д	В	Ш	Ду	В/Д	Ш/Д	Ду/Д
115/1968	95	37	42	31,5	0,39	0,44	0,33
	86	35	42	31	0,40	0,49	0,36

Скульптура. Боковые ребра на ядре округлые, начинаются на умбональной стенке, направлены радиально, на фрагмоконе — на умбональном перегибе, на жилой камере, несколько далее его на боках заканчиваются бугорком. От бугорка отходит пучок из 2–4 вентральных ребер, тонких и частых на фрагмоконе и на заднем конце жилой камеры, становящимися более редкими и грубыми в ее передней части.

Сравнение. От других известных видов подрода *Cadomites* отличается приближенными к умбональному краю бугорками и точкой ветвления ребер и короткими боковыми ребрами.

Геологическое и географическое распространение, материал. См. голотип.

Cadomites deslongchampsii De France, 1830

Табл. 6, фиг. 1

Ammonites de Deslongchampsii: De France, 1830, табл. 17, фиг. 14.

Ammonites deslongchampsii: d'Orbigny, 1846, с. 405, табл. 138, фиг. 1, 2.

Stephanoceras (Cadomites) deslongchampsii: Крымголец, 1961, с. 119, табл. 8, фиг. 2, 3; Азарян, 1982, с. 91, табл. 20, фиг. 3 (? 2).

Cadomites deslongchampsii: Roche, 1939, с. 201, табл. 1, фиг. 6, 7 (не 8, 9); Стефанов, 1963, с. 175, табл. 1, фиг. 1; Sturani, 1967, с. 28, фиг. 1; Hahn, 1971, табл. 9, фиг. 16; Ростовцев, 1985, с. 145, табл. 40, фиг. 4.

Лектотип. *Ammonites de deslongchampsii* De France, 1830, табл. 17, фиг. 14, установлен Bigot [51, с. 154]. Переизображен: [67, с. 132; 131, табл. 17, фиг. 138; 126, табл. 1, фиг. 6; 43, фиг. 21 в тексте]. Верхний байос, зона parkinsoni. Франция, Нормандия, Байё.

Форма. Раковина до 100–120 мм, полуинволютная со слабовыраженным развитием по умбональному краю в переднем конце жилой камеры. Сечение оборотов почковидное, приплюснутое, становится более сжатым с боков в переднем конце жилой камеры. Умбональная стенка невысокая, крутая, плавно закругляется к бокам, сходящимся к пупку, вентральная сторона широкая, выпуклая, несколько уплощается в переднем конце жилой камеры. Последняя занимает 2/3 оборота. Устье с грубым приустьевым ребром (валиком), после которого следует козырек. Следы старых устьев присутствуют в передней части жилой камеры в виде широких, пологих пережимов.

Размеры, мм, и их соотношения:

№ экз.	Д	В	Ш	Ду	В/Д	Ш/Д	Ду/Д
115/7493	93	33	38	37	0,35	0,41	0,40

115/7494	85	26	34	37	0,305	0,40	0,435
	77	28	38,5	34	0,36	0,50	0,44
115/1613	74	27	35	27	0,36	0,47	0,36
115/1879	90	33	39	33	0,37	0,43	0,37
115/7510	72	28	35,5	27	0,39	0,49	0,375
115/7505	75	23	29	31	0,32	0,40	0,43
115/7502	71,5	27	32	25	0,38	0,45	0,35

Скульптура. Боковые ребра начинаются на умбональной стенке, радиальные или слабо серповидно изогнутые на фрагмоконе и в начале жилой камеры близ середины высоты оборота, заканчиваются бугорками, смещающимися кнаружи в переднем конце жилой камеры. От бугорка отходят две-три ветви, кроме которых почти всегда присутствуют вставные ребра. Вентральные ребра тонкие, грубеют в переднем конце жилой камеры, вентральную сторону переходят с заметным изгибом вперед. Число боковых ребер на 1/2 оборота – 20, коэффициент ветвления 3,5–4,4 уменьшается с возрастом.

Сравнение. От сходных по размерам и скульптуре *S. rectelobatus* (Hauer) отличается более высокими и узкими оборотами, от *S. extinctus* (Quenstedt) – более крупными размерами, более частой боковой ребристостью, меньшим коэффициентом ветвления, от *S. daubeni* (Gemmellaro) – более низкими оборотами и более высоким расположением бугорков.

Геологическое и географическое распространение. Байос, верхи зоны parkinsoni – бат, низы зоны zigzag, Франция, ФРГ, Болгария, Кавказ.

Материал. Северный Кавказ, р. Малая Лаба, сел. Псебай, верхняя джангурская подсвита – 1 экз., р. Кубань, гора Джангура, верхняя джангурская подсвита – 3 экз., Дагестан, сел. Датуна, средняя цудахарская подсвита – 8 экз.

Cadomites daubeni (Gemmellaro), 1877

Табл. 5, фиг. 2

Stephanoceras daubeni: Gemmellaro, 1877, с. 141, табл. 19, фиг. 3, 5, табл. 20, фиг. 1.

Polystephanus daubeni: Buckman, 1922, табл. 311.

Cadomites daubeni: Roche, 1939, с. 203, табл. 1, фиг. 3.; Wendt, 1964, с. 130, табл. 21, фиг. 1.; Sturani, 1964, с. 23, табл. 3, фиг. 5; 1967, с. 29, табл. 6, фиг. 2; Krystyn, 1972, с. 253, табл. 6, фиг. 6; Азарян, 1982, с. 93, табл. 17;? Ростовцев, 1985, с. 144, табл. 39, фиг. 2, 3.

Лектотип. *Stephanoceras daubeni* Gemmellaro, 1877 [78, табл. 19, фиг. 3]. Конденсированные отложения байоса, Сицилия.

Форма. Раковина до 100–120 мм, с быстро нарастающими оборотами на фрагмоконе, рост которых замедляется на жилой камере. Сечение оборотов почковидное, приплюснутое. Бока не обособлены от крутой высокой умбональной стенки и широкой вздутой вентральной стороны. Устье с глубоким приустьевым пережимом на ядре и последующим раструбом – козырьком. Жилая камера занимает около 3/4 оборота.

Размеры, мм, и их соотношения:

№ экз.	Д	В	Ш	Ду	В/Д	Ш/Д	Ду/Д
115/7491	99	33,3	—	40	33,8	—	0,40
	86	31	40	33	0,36	0,465	0,38

Скульптура. Боковые ребра частые, начинаются на умбональной стенке, серповидно изогнуты или радиальные слабо отклоняющиеся назад, заканчиваются в умбональной трети высоты оборота бугорком. От бугорка отходят три-четыре тонких вентральных ребра, несколько грубее на жилой камере. Количество боковых ребер на 1/2 оборота около 25.

Сравнение. Описываемый вид от других *Cadomites* зоны parkinsoni и зоны zigzag отличается очень короткими боковыми ребрами, чем сходен со среднебатским *C. orbigny*, от которого отличается более крупными размерами и более грубой вентральной ребристостью.

Геологическое и географическое распространение. Верхний байос, зона parkinsoni – низы бата, Франция, Австрия, Италия, Кавказ.

Материал. Дагестан, сел. Ахваштаб, средняя часть средней цудахарской подсвиты – 1 экз.

4.

Cadomites cf. *orbigny* Grossouvre, 1930

Табл. 6, фиг. 4

cf. *Cadomites orbigny*: Grossouvre, 1930, с. 373, табл. 39, фиг. 6; Стефанов, 1963, с. 176, табл. 2, фиг. 3; ? Церетели, 1968, с. 75, табл. 9, фиг. 1.

non *Cadomites orbigny*: Сибирякова, 1961, с. 373, табл. 3.

Лектотип. *Cadomites orbigny* Grossouvre, 1930 [83, табл. 39, фиг. 6]. Средний бат. Франция (установлен [43, с. 80]).

Форма. Раковина до 100 мм с быстро нарастающими в толщину оборотами, объемлющими предшествующие на 1/2 высоты. Сечение оборотов почковидное, приплюснутое. Бока уплощенные, сближаются к умбональному перегибу, вентральная сторона широкая, закругленная. Пупок средних размеров и глубины. В передней части жилой ка-

меры на вентральной стороне развиты слабые пережимы, в которых ребра пересекаются.

Размеры, мм, и их соотношения:

№ экз.	Д	В	Ш	Ду	В/Д	Ш/Д	Ду/Д
115/7489	53	22	29,5	26,5	0,415	0,56	0,31

Скульптура. Боковые ребра острые, частые, прямые или слабо серповидно изогнутые, начинаются на умбональной стенке и заканчиваются в наружной части боков острым бугорком.

От бугорка отходят четыре-пять тонких брюшных ребра, частью переходящих во вставные.

Сравнение. Описываемый экземпляр близок к *C. orbignyi* (Стефанов, 1963), отличаясь от него меньшими размерами взрослой раковины.

Замечания. Стурани, Кристин [148, 91] и вслед за ними К. О. Ростовцев [35, с. 144] рассматривали *C. orbignyi* Grossouvre, как субъективный синоним *C. daubeni* (Gemellaro). Будучи сходны по форме раковины и коротким боковым ребрам эти два вида различаются вентральной ребристостью, более тонкой и частой у *C. orbignyi*. Они также занимают различные стратиграфические уровни.

Геологическое и географическое распространение. Средний бат, Франция, Болгария (зона subcontractus), Юго-Западный Гиссар.

Материал. Юго-Западный Гиссар, хр. Кугитангтау, верхи тангидувальской свиты, одно неполное ядро жилой камеры.

Cadomites zlatarskii Stephanov, 1963

Табл. 5, фиг. 3

Cadomites zlatarskii: Стефанов, 1963, с. 177, табл. 1, фиг. 2.

поп *Cadomites zlatarskii*: Церетели, 1968, с. 78, табл. 9, фиг. 3, 4; табл. 10, фиг. 1-3; табл. 11, фиг. 1, 3.

Голотип. *C. zlatarskii* Стефанов, 1963 [37, с. 177, табл. 1, фиг. 2]). Средний бат, зона subcontractus. Болгария, сел. Превала.

Раковина мелкая, до 50 мм, с быстро нарастающими оборотами, охватывающими предшествующие на 1/2 их высоты. Сечение оборотов почковидное, приплюснутое. Умбональная стенка крутая, плавно переходит в наклоненные к умбо бока, вентральная сторона вздутая, широкая. Жилая камера занимает около 3/4 оборота, в приустьевой части жилой камеры развиты следы старых устьев в виде слабых пережимов с пересекающейся ребристостью.

Размеры, мм, и их соотношения:

№ экз.	Д	В	Ш	Ду	В/Д	Ш/Д	Ду/Д
115/3189	40	16	20	13	0,40	0,50	0,325

Скульптура. Боковые ребра частые, слабо серповидно изогнутые, начинаются на умбональной стенке и заканчиваются острым бугорком в наружной трети боков. От бугорка отходят 2–4 тонких вентральных ребра, кроме которых присутствуют вставные, которые со слабым изгибом вперед пересекают вентральную сторону. Число боковых ребер на 1/2 оборота 20, коэффициент ветвления 3,7–3,8.

Сравнение. От синхронного и совместно распространенного *C. orbigny* Grossouvre отличается малыми размерами и менее широкими оборотами.

Замечания. И. Д. Церетели [39] под названием *C. zlatarskii* описал ансамбль *Cadomites (Cadomites)* (табл. 10, фиг. 1, 3; табл. 11, фиг. 1), отличающихся от рассматриваемого вида более крупными размерами, более грубыми вентральными ребрами и меньшим коэффициентом ветвления ребер, а также *Cadomites (Polyplectites)* (табл. 9, фиг. 3), с приустьевыми боковыми ушками [*C. (P.) cornatus* Kopik].

Геологическое и географическое распространение. Средний бат, зона *subcontractus*. Болгария, Юго-Западный Гиссар.

Материал. Юго-Западный Гиссар, хр. Кугитангтау, водораздел Вандобского и Шерджантского саев, верхи тангидувальской свиты – 1 экз.

ПОПРОДА *POLYPLECTITES* MASCKE, 1907

Типовой вид. *Ammonites linguiferus* d'Orbigny, 1846 [109, табл. 176, фиг. 4, 5]. Верхний бат, зона *discus*. Франция, Вандея.

Диагноз. Раковины мелкие, преимущественно до 50 мм. Устье с приустьевыми пережимами на ядре и приустьевыми ушками. Жилая камера занимает 1/2–2/3 оборота.

Состав. Более 10 видов: *P. alievi* (Kakhadze), *P. globosus* Westermann, *P. dorni* (Roche), *P. gracilis* Westermann, *P. zichei* Lissajous, *P. denseplicatus* Lissajous, *P. linguiferus* (d'Orbigny), *P. cornatus* Kopik, *P. rozyckii* Kopik, *P. claromontanus* Kopik.

Сравнение. От подрода *Casomites* отличается малыми размерами, устьем с боковыми ушками и короткой жилой камерой.

Геологическое и географическое распространение. Известны от зоны *garantiana* верхнего байоса до зоны *discus* верхнего бата, Европа, Средний Восток, Средняя Азия, Кавказ.

Polyplectites alievi Kakhadze, (Rostovzev, 1985)

Табл. 6, фиг. 2

Cadomites (Polyplectites) alievi: Ростовцев, 1985, с. 147, табл. 41, фиг. 2—4.

Неотип. С. (*P.*) *alievi* (Ростовцев, 1985 [35, табл. 41, фиг. 4]). Осыпь пограничных слоев байоса и бата. Нахичевань, сел. Билага (ЦИИГРМузей, № 30/12284, установлен К. О. Ростовцевым).

Форма. Раковина до 30 мм, полуэволютная. Сечение оборотов почковидное, слегка приплюснутое. Бока не отделены от умбональной стенки и наклонены внутрь, к пупку. Вентральная сторона широкая, закругленная. Пупок средних размеров и глубины. Жилая камера занимает немного более 1/2 оборота. Устье с приустьевым пережимом, после которого следует слабый раструб на вентральной стороне и расходящиеся боковые ушки на перегибе к бокам.

Размеры, мм, и их соотношения:

№ экз.	Д	В	Ш	Ду	В/Д	Ш/Д	Ду/Д
115/7492	29	9	13	13	0,31	0,45	0,45
	25	8	12	12	0,32	0,48	0,48

Скульптура. Боковые ребра острые, гребневидные, относительно редкие, наклоненные вперед, заканчиваются на вентральном перегибе острым крупным бугорком, от которого отходят два, реже три вентральных ребра, кроме них присутствуют вставные ребра. Вентральную сторону ребра переходят прямо, слегка изгибаясь вперед от бугорка. Число боковых ребер на 1/2 оборота 13—15, коэффициент ветвления 2,4.

Сравнение. От *P. linguiferus* (d'Orbigny) отличается более приплюснутым сечением оборотов и более редкой ребристостью, от *P. dorni* (Roche) — мелкими размерами и более сильным наклоном вперед боковых ребер.

Геологическое и географическое распространение. Пограничные слои зоны parkinsoni байоса и zigzag бата, Кавказ.

Материал. Дагестан, основание верхней трети средней цудахарской подсвиты, сел. Датуна — 2 экз.

Род *Orthogarantiana* Bentz, 1928

Типовой вид. *Garantiana schroederi* Bentz, 1925. Верхний байос, зона subfurcatum, ФРГ, Гарцбург.

Диагноз. Диморфный род. Макро- и микроконхи на видовом уровне не отождествляются и описываются как подроды. Раковины

мелких и средних размеров, максимально до 150 мм. Внутренние обороты овальные, приплюснутые, охватывают предшествующие на 1/3 высоты и менее, внешние от приплюснутых до овальных. Вентральная борозда узкая, ослаблена у микроконхов до полного исчезновения. Скульптура состоит из радиальных ребер, ветвящихся на две, три и более ветви, концы которых противостоят друг другу по краям борозды или переходят ее. В точке ветвления ребер на боках развиты бугорки, вентральные ребра по краям борозды могут вздуться. Формула лопастной линии: $(V_1 V_1) UU^1 U^2: \dots I_1 I_2 D$.

Состав. Два подрода: *M. Orthogarantiana* Bentz, и *Torrensia Sturani*, 1971.

Сравнение. От рода *Garantiana* отличается более массивными внутренними оборотами, острой ребристостью, отсутствием наклона ребер вперед и более высоким коэффициентом ветвления.

Геологическое и географическое распространение. Верхний байос, верхняя часть зоны *subfurcatum* – низы зоны *garantiana*, Европа, Азия, Кавказ, Западная Туркмения.

ПОДРОД *M. ORTHOGARANTIANA* BENTZ, 1928

Garantiana (Orthogarantiana): Bentz, 1928, с. 183.

Orthogarantiana: Sturani, 1971, с. 156.

Типовой вид. См. типовой вид рода.

Диагноз. Жилая камера занимает около оборота, устье с приустьевым пережимом. Пережимы могут присутствовать и на внутренних оборотах. Сечение внешних оборотов фрагмокона и жилой камеры от овального приплюснутого до овального сжатого с боков и трапециевидного.

Состав. Более 10 видов: *O. schroederi* (Bentz), *O. longoviciensis* (Steinman), *O. praecursor* (Mayer), *O. bifurcata* (Zieten), *O. romboidea* (Bentz), *O. densicostata* (Quenstedt), *O. inflata* (Bentz), *O. haugi* Pavia, *O. crassa* (Bentz), *O. baculata* (Quenstedt).

Сравнение. От *m. Torrensia Sturani* отличается более крупными размерами, длиной жилой камеры с простым устьем, развитой вентральной бороздой, характером модификации формы сечения оборотов на жилой камере.

Геологическое и географическое распространение. Соответствует распространению рода.

Orthogarantiana baculata (Quenstedt), 1858

Табл. 7. фиг. 1, 2

Ammonites baculatus: Quenstedt, 1858, с. 402, табл. 72, фиг. 1; 1886–1887, с. 574, табл. 70, фиг. 7.

Cosmoceras baculatum: Затворницкий, 1914, с. 547, табл. 16, фиг. 10, 11.

Garantiana baculata: R. Douville, 1915, с. 16, табл. 2, фиг. 5, табл. 4, фиг. 6, табл. 5, фиг. 3; Bentz, 1925, с. 154, табл. 4, фиг. 13; Нижанорова, 1972, с. 69, табл. 1, фиг. 3.

Garantiana (Garantiana) baculata: Bentz, 1928, с. 177; Pavia, 1971, с. 106, табл. 18, фиг. 2, 5.

Garantiana (Orthogarantiana) baculata: Ростовцев, 1985, с. 155, табл. 47, фиг. 2.

Лектотип. *Ammonites baculatus* Quenstedt, 1886–87 [121, табл. 70, фиг. 7]. Верхний байос, зона *subfurcatum*, ФРГ, Энинген. Установлен К. О. Ростовцевым [35, с. 156].

Форма. Раковина средних размеров, до 100 мм в диаметре, с быстро нарастающими оборотами, охватывающими предшествующие немного менее, чем на 1/2 их высоты. Сечение оборотов меняется от овального приплюснутого на внутренних оборотах фрагмокона до овального, сжатого с боков в конце фрагмокона и на жилой камере. Бока уплощенные, вентральная сторона закругленная, вдавленная, посередине с четкой бороздой.

Размеры, мм, и их соотношения:

№ экз.	Д	В	Ш	Ду	В/Д	Ш/Д	Ду/Д
115/7065	72,5	31	27	25	0,37	0,33	0,34
115/1433	56	24	22	19	0,43	0,39	0,34
115/1431	47	19	18	16	0,40	0,38	0,34
115/1430	49	20	20,5	17	0,41	0,42	0,35
	40,5	17	19	14,5	0,42	0,47	0,36

Скульптура. Внутренние обороты фрагмокона покрыты частыми двух- и трехветвистыми ребрами. В конце фрагмокона и на жилой камере боковые ребра становятся более редкими, нерегулярно делятся на две-три ветви, кроме которых присутствуют вставные ребра. Ребра радиальные на боках, после ветвления, происходящего несколько далее середины боков от шва, ребра либо радиальные, либо наклонены вперед, к вентральной борозде ребра подходят под прямым углом. В точке ветвления ребер развиты крупные бугорки, ослабляющиеся в переднем конце жилой камеры, концы ребер у вентральной борозды вздуты. Число боковых ребер на 1/2 оборота 14–18, коэффициент ветвления 2,1–2,8.

Сравнение. От *O. schroederi* отличается меньшими размерами, более тонкой ребристостью и меньшим коэффициентом ветвления ре-

бер. От *O. densicostata* отличается более редкой и грубой ребристостью, менее приплюснутыми внутренними оборотами, овальным и округлым сечением взрослых жилых камер.

Замечания. Большинство авторов включает рассматриваемый вид в род (подрод) *Garantiana* (см. синонимнику). Как лектотип вида, так и наши экземпляры характеризуются радиальными ребрами, не отклоняющимися вперед на вентральной стороне и массивными оборотами, т. е. принадлежат, как это уже установил К. О. Ростовцев (1985), *Orthogarantiana*.

Геологическое и географическое распространение. Верхний байос, зона *subfurcatum*, Англия, Франция, Италия, ФРГ, Большой Балхан, Кавказ.

Материал. Северный Кавказ, р. Кубань, станица Красногорская, низы верхней джангурской подсвиты – 13 экз., Большой Балхан, низы чалойской свиты, колодцы Порсайман – 8 экз.

Orthogarantiana densicostata (Quenstedt), 1887

Табл. 7, фиг. 3, 5

Ammonites garantianus densicostatus: Quenstedt, 1886–87, с. 593, табл. 71, фиг. 9.

Garantiana densicostata: R. Douville, 1915, с. 18, табл. 2, фиг. 2, табл. 3, фиг. 1, 2, табл. 4, фиг. 2 (не фиг. 1); Bentz, 1925, с. 163, табл. 6, фиг. 8, 9, табл. 7, фиг. 1, 2.

Garantiana (Orthogarantiana) densicostata: Bentz, 1928, с. 186; Азарян, 1982, с. 126, табл. 28, фиг. 9, 10.

? *Reineckia (?) humilis*: Загворницкий, 1914, с. 548, фиг. 13–17.

Garantiana longoviciensis: R. Douville, 1915, табл. 6, фиг. 5 (только).

Garantiana humilis: Кахадзе, Зесашвили, 1956, с. 45, табл. 7, фиг. 7–9.

Garantiana krasnogorskensis: Кахадзе, Зесашвили, 1956, с. 46, табл. 8, фиг. 3.

Лектотип. *Garantiana densicostata* Douville, 1915 [69, табл. 3, фиг. 1]. Верхний байос, зона *subfurcatum*. Франция, Ниорт.

Форма. Раковины до 120 мм в диаметре, с относительно быстро возрастающими оборотами, охватывающими предшествующие на 1/2 их высоты. Сечение оборотов от овального приплюснутого на внутренних оборотах фрагмокона до прямоугольно-округлого в его конце, у крупнорослых форм на жилой камере округло-трапециевидное. Бока на внутренних оборотах вздутые, при диаметре более 50 мм уплощаются, вентральная сторона закругленная, со слабовдавленной узкой бороздой.

Размеры, мм, и их соотношения:

№ экз.	Д	В	Ш	Ду	В/Д	Ш/Д	Ду/Д
115/9555	75	30	30	25	0,40	0,40	0,33
115/1413	48	20	20	16	0,42	0,42	0,33

115/1819	46,5	19	20	15,5	0,41	0,41	0,33
115/6963	55	23	25	18	0,42	0,45	0,38
115/1428	44,5	18	20	15	0,40	0,45	0,34
115/3949	44,5	19	21	15	0,43	0,47	0,34
115/2753	50,5	21	23,5	17	0,415	0,465	0,34
115/2541	45	18	22	17	0,40	0,48	0,38
115/1525	38	15,5	18	13	0,41	0,47	0,34
115/1514	31,5	13	14	10,5	0,41	0,44	0,33
115/2213	28	10,5	14	10,5	0,375	0,50	0,375
115/3712	26	11	14	9	0,42	0,54	0,35
115/2543	28	10	13	11	0,36	0,46	0,39

Скульптура. Ребристость густая, острая, несколько сглаживается у крупнорослых форм, боковые ребра слабо наклонены вперед, не доходя середины боков ветвятся на три, реже на два, кроме ветвей присутствуют вставные ребра. Вентральную сторону ребра переходят прямо, несколько ослабляясь или прерываясь вентральной бороздой. В точке ветвления ребер развиты острые бугорки, расширяющиеся и притупляющиеся у крупных экземпляров, по краям вентральной борозды ребра усиливаются, иногда образуя слабовыраженные бугорки. Концы ребер по краям борозды могут отклоняться назад. Число боковых ребер на 1/2 оборота 12–17 (преобладает 15–16), коэффициент ветвления 2,2–3,3, в среднем 2,6–2,8.

Сравнение. От сходных по форме раковины и стилю ребристости *O. baculata* (Quenstedt) и *O. schroederi* Bentz отличается густой и тонкой ребристостью в наружной части боков и на вентральной стороне, узкой вентральной бороздой, которую часть ребер переходит не прерываясь.

Замечания. Н.П.Азарян [1, с.126] указал в качестве "голотипа" *Ammonites densicostatum* Quenstedt, 1886–87, табл.71, фиг. 9. На рисунке Квенштедта изображена только вентральная сторона и точная идентификация по нему невозможна. Бенц [50, с.186] в качестве автора вида указал Р.Дувийе. Однако лектотип среди изображений, приведенных последним, он не выбрал. Р.Дувийе [69] под видовым названием *G. densicostata* Quenstedt изобразил большой ансамбль ортогарантиан, разделив их на "разновидности" по форме раковин и густоте ребристости. При такой трактовке вид теряет определенность, поэтому в качестве лектотипа предлагается изображение в работе Дувийе (табл.3, фиг.1). Автором вида остается Квенштедт. При замене этого автора приоритет получает название, предложенное А. Затворницким [15], – *G. (O.) humilis*, описавшим под ним экземпляры, не отличимые от внутренних оборотов *G. densicostata*.

Геологическое и географическое распространение.

Верхний байос, зона *subfurcatum*, Франция, Германия, Кавказ, Большой Балхан.

Материал. Северный Кавказ, р. Кубань, ст. Красногорская и гора Джангура, низы джангурской свиты – 10 экз., Большой Балхан, низы чалойской свиты южнее колодцев Шорли, Порсайман – 56 экз. различной сохранности.

Orthogantiana haugi Pavia, 1973

Табл. 6, фиг. 5

Orthogantiana haugi: Pavia, 1973, с. 105, табл. 18, фиг. 1, 3, 4, 6.

Голотип. *Orthogantiana haugi* Pavia, 1973 [114, табл. 18, фиг. 1]. Верхний байос, зона *subfurcatum*, подзона *polygyralis*. Франция, Нижние Альпы, деп. Шодон.

Форма. Раковина средних размеров с умеренно возрастающими оборотами, объемлющими предшествующие менее чем на 1/3 их высоты. Сечение оборотов в конце фрагмента и на жилой камере прямоугольно-овальное, сжатое с боков. Бока и вентральная сторона уплощенные. Жилая камера занимает более 3/4 оборота. В передней части жилой камеры развиты нечеткие пережимы. Вентральная борозда узкая.

Размеры, мм, и их соотношения:

№ экз.	Д	В	Ш	Ду	В/Д	Ш/Д	Ду/Д
115/1822	76	26	24,5	31	0,34	0,32	0,41
115/1821	72	26	23	28	0,36	0,32	0,39

Скульптура. Ребристость густая. Боковые ребра слабо наклонены вперед, немного далее середины боков от шва разделяются на две или три ветви, кроме которых присутствуют вставные. Ветвление ребер происходит несколько далее середины боков от шва. Вентральную сторону ребра переходят прямо, прерываясь узкой вентральной бороздой. Густота ребристости варьирует. В точке ветвления ребер развиты острые бугорки, не закрываемые последующими оборотами. По краям вентральной борозды ребра раздуваются и утолщаются. Число боковых ребер на 1/2 оборота 18–26, коэффициент ветвления 2,5.

Сравнение. От сходной по густоте ребристости *O. densicostata* (Quenstedt) отличается медленнее нарастающими оборотами, более широким пупком с открытыми боковыми бугорками на внутренних оборотах.

Геологическое и географическое распространение. Голотип :: топотипы описаны из подзоны *polygyralis* зоны *subfurcatum*

верхнего байоса, наши экземпляры найдены в "подзоне" *baculatum*. Франция, Северный Кавказ.

Материал. Четыре экземпляра из низов джангурской свиты, Северный Кавказ, р. Кубань, южный склон горы Джангура.

Orthogartiana? conjugata (Quenstedt), 1887

Табл. 7, фиг. 4

Ammonites gartianus conjugatus: Quenstedt, 1886–87, с. 593, табл. 71, фиг. 10.

Gartiana conjugata: Bentz, 1925, с. 162, табл. 6, фиг. 5, 6, фиг. 11 в тексте.

Gartiana (Orthogartiana) conjugata: Bentz, 1928, с. 183.

non Orthogartiana conjugata: Sturani, 1971, с. 157, табл. 13, фиг. 1, 4, 8.

Лектотип. *Ammonites gartianus conjugatus* Quenstedt, 1886–87 [121, табл. 71, фиг. 10]. Верхний байос. ФРГ.

Форма. Раковины мелкие, до 50 мм, с быстро нарастающими оборотами, охватывающими предшествующие на 1/2 их высоты. Сечение внутренних оборотов овальное, приплюснутое, жилой камеры – округлое, бока выпуклые, вентральная сторона закругленная, вдавленная посередине. Пупок средних размеров, глубокий. Вентральная борозда слабая, узкая, развита на фрагмоконе, отсутствует на жилой камере. Сохранившаяся часть последней занимает 3/4 оборота.

Размеры, мм, и их соотношения:

№ экз.	Д	В	Ш	Ду	В/Д	Ш/Д	Ду/Д
115/1430	49	18,5	20	16	0,38	0,41	0,33
115/2213	28	11	13,5	10	0,39	0,48	0,36

Скульптура. Внутренние обороты фрагмокона покрыты двуветвистыми ребрами, на внешних оборотах фрагмокона двуветвистые ребра нерегулярно чередуются с вставными. Ребра на боках радиальные или наклонены вперед, вентральную сторону переходят прямо, не прерываясь или частично прерываясь. Число боковых ребер на 1/2 оборота 16–18, коэффициент ветвления 2,1–2,3. В точке ветвления развиты бугорки.

Сравнение. От сходной по форме *O. baculata* (Quenstedt) отличается редуцированной вентральной бороздой и более округлым сечением оборотов.

Замечания. *O. conjugata* Sturani [149, с. 157, табл. 13, фиг. 1, 4, 8] отличается более развитой вентральной бороздой, более грубой ребристостью и изменением сечения жилой камеры (фиг. 4) и, возможно, принадлежит *Torrensia*.

Геологическое и географическое распространение. Верхний байос, зона *subfurcatum*, Европа, Средняя Азия, Северный Кавказ, Большой Балхан.

Материал. Северный Кавказ, р. Кубань, гора Джангура, низы верхней джангурской подсвиты – 3 экз., Большой Балхан, низы чалойской свиты, колодцы Порсайман – урочище Шорли – 7 экз.

ПОДРОД *m TORRENSIA STURANI*, 1971

Torrensia Sturani, 1971, с. 154.

Orthogartiana (Torrensia): Pavia, 1983, с. 203.

Типовой вид. *Stephanoceras gibbum* Parona, 1896. Верхний байос, зона *subfurcatum* ("слой с *Posidonia alpina*"). Италия, Венецианские Альпы.

Диагноз. Микроконхи до 50 мм, жилая камера занимает до 3/4 оборота, может модифицироваться в скульптуре и в сечении, несет пережимы, устье с боковыми ушками. Вентральная борозда слабая или отсутствует.

Состав. Два вида: *T. gibba* (Parona), *T. sturani* Pavia.

Сравнение. От макроконхового подрода отличается мелкими размерами, слабо развитой вентральной бороздой или ее отсутствием, короткой жилой камерой с пережимками и приустьевыми ушками.

Замечания. К. Стурани [149] при выделении рода рассматривал его как микроконховую пару *Orthogartiana*. Г. Вестерманн исключил *Torrensia* из *Garantieninae* [116]. Дж. Павиа [116] рассматривает *Torrensia* как подрод *Orthogartiana*. По уровню распространения, форме внутренних оборотов и скульптуре *Torrensia* идентична внутренним оборотам *Orthogartiana*.

Из-за мелких размеров и редкости раковин с сохранившимся устьем виды *Torrensia* редко выделяются, оставаясь либо неопределенными, либо включаемыми в состав макроконховых видов.

Геологическое и географическое распространение. Верхний байос, зона *subfurcatum*, Англия, Франция, Италия, в нашей стране к *Torrensia* ? отнесены экземпляры из зоны *subfurcatum* Дагестана и Большого Балхана.

Torrensia sp. nov.

Табл. 8, фиг. 3

Форма. Раковина мелкая. Обороты фрагмокона имеют овальное приплюснутое сечение, на жилой камере становятся округлыми, ок-

ватывают предшествующие на 1/4 их высоты. Жилая камера занимает 1/2 оборота, устье с боковыми ушками.

Размеры, мм, и их соотношения:

№ экз.	Д	В	Ш	Ду	В/Д	Ш/В	Ду/Д
115/2331	30	11	15	12	0,37	0,50	0,40
	25	9,5	14	10	0,38	0,56	0,40
115/2498	26	9	13	11	0,35	0,50	0,42

Скульптура. Внутренние обороты покрыты на боках острыми наклоненными вперед ребрами, при перегибе на вентральную сторону разделяющимися на две-три значительно более тонкие ветви, прямо переходящие вентральную сторону, несколько ослабляясь на ее середине. На жилой камере боковые и вентральные ребра грубеют и становятся более редкими, от точки ветвления вентральные ребра, по сравнению с боковыми, отклоняются назад. В точке ветвления на ребрах развиты крупные бугорки.

Сравнение. Формой оборотов и ребристостью описываемые экземпляры сходны с *T. gibba* (Pagona), отличаясь от нее крупными размерами и изгибом вентральных ребер назад.

Замечания. Отнесение описываемых экземпляров к подроду *Torrensia* произведено предположительно исходя из отсутствия вентральной борозды, развития боковых ушек, изменения формы сечения жилой камеры и излома ребер на боках.

По изменению формы раковины – увеличению высоты и сокращению ширины жилой камеры описываемый вид сходен с *Orthogartiana conjugata* [149, с. 157, табл. 13, фиг. 4], но отличается закругленной вентральной стороной и редукцией вентральной борозды.

Материал. Дагестан, сел. Ирганай, основание цудахарской свиты – 1 экз., Большой Балхан, колодцы Чалой, низы чалойской свиты – 1 экз., верхний байос, зона *subfurcatum*.

Род *Garantiana* Mascke, 1907

Garantiana: Mascke, 1907, с. 23.

Garantiana (*Garantiana*): Bentz, 1928, с. 175.

Garantiana: Rollier, 1911.

? *Buculatoceras*: Mascke, 1907.

Odontokites: Buckman, 1925, табл. 582.

Типовой вид. *Ammonites garantianus* d'Orbigny, 1846.

Лектотип. *Garantiana garantiana* Arkell [43, табл. 35, фиг. 2].
Верхний байос. Франция.

Диагноз. Мономорфный род. Раковины мелкие и средние, до 150 мм, от эволютных до полуинволютных. Сечение оборотов округлое и овальное, сжатое с боков. Жилая камера от 3/4 оборота (микрokonхи?) до почти полного оборота (макрokonхи?). Вентральная борозда хорошо развита. Скульптура состоит из двух- и трехветвистых ребер, кроме которых могут быть развиты вставные. Концы ребер на вентральной стороне наклонены вперед. Бугорки на ребрах в точке ветвления и по краям вентральной борозды развиты слабо или отсутствуют. Формула лопастной линии ($V_1 V_1$) $UU^1 U^2$: ... $I_2 I_1 D$.

Состав. Более шести видов: *G. garantiana* (d'Orbigny), *G. dubia* (Quenstedt), *G. filicosta* Bentz, *G. protracta* Bentz, *G. praegarantiana* sp. nov., *G. asarjani* Besnosov.

Сравнение. От *Orthogarantiana* Bentz отличается в первую очередь наклоном ребер вперед на вентральной стороне, а также сжатым с боков сечением оборотов, сильнее развитой вентральной бороздой, слабо развитыми бугорками в точке ветвления ребер.

Геологическое и географическое распространение. Верхний байос, зоны *subfurcatum* и *garantiana*, Европа, Молдавия, Украина, Кавказ.

Garantiana praegarantiana Besnosov sp. nov.

Табл. 8, фиг. 1

Голотип. ВНИГНИ, экз. № 115/1432. Нижняя часть верхней джангурской подсвиты, верхний байос, зона *subfurcatum*. Северный Кавказ, южный склон горы Джангура.

Название произведено от названия типового вида рода.

Форма. Раковина до 60 мм, с медленно нарастающими оборотами, охватывающими предшествующие на 1/4 их высоты. Сечение внутренних оборотов прямоугольно-округлое, жилой камеры – трапециевидно-овальное, сжатое с боков. Бока и вентральная сторона слабывпуклые, пупок широкий, мелкий. Вентральная борозда узкая, четкая. Жилая камера голотипа около 3/4 оборота. Устье с предустьевым пережимом, слабо расширенное, с прямыми краями.

Размеры, мм, и их соотношения:

№ экз.	Д	В	Ш	Ду	В/Д	Ш/Д	Ду/Д
115/1432	54	18	17	21,5	0,33	0,315	0,40
115/1891	37,5	13	13	15	0,35	0,35	0,40

Скульптура. Ребра на боках слабо изгибаются вперед, несколько далее середины боков от шва ветвятся на две, редко три ветви, из-

гибающиеся вперед. Концы ребер по краям вентральной борозды частью противостоят друг другу, частью чередуются. Число боковых ребер на 1/2 оборота 18, коэффициент ветвления — 2,1.

Сравнение. От *G. garantiana* (d'Orbigny) отличается меньшими размерами, медленнее нарастающими оборотами, низким коэффициентом ветвления ребер.

Геологическое и географическое распространение. Верхний байос, зона *subfurcatum*, Северный Кавказ, Дагестан.

Материал. Кроме голотипа, 1 экз. из основания цудахарской свиты, Дагестан, р. Рубас-чай.

Carantiana asarjani Beznosov

Табл. 6, фиг. 3

Garantiana asarjani: Безносков, Кутузова, 1990, с. 28, табл. 1, фиг. 7.

Garantiana (Orthogarantiana) bifurcata: Крымгольц, 1953, с. 44, табл. 3, фиг. 1; Азарян, 1982, с. 128, табл. 28, фиг. 6, 7, табл. 34, фиг. 8.

non *Orthogarantiana (Orthogarantiana) bifurcata* Zieten: Bentz, 1928, с. 186, табл. 17, фиг. 2.

Голотип. ВНИГНИ, экз. № 115/2447. Верхний байос, зона *subfurcatum*, основание цудахарской свиты. Дагестан, сел. Ирганай.

Форма. Раковины мелкие, до 50 мм, с медленно нарастающими оборотами, охватывающими предшествующие на 1/3 их высоты. Сечение внутренних оборотов округлое, жилой камеры прямоугольно-овальное, сжатое с боков. Бока слабовыпуклые, с изгибом сближаются к узкой, вдавленной вентральной стороне, несущей широкую борозду. Жилая камера занимает полный оборот.

Размеры, мм, и их соотношения:

№ экз.	Д	В	Ш	Ду	В/Д	Ш/Д	Ду/Д
115/2447	35	13,5	13,5	13	0,40	0,40	0,37
115/2451	30	11	11	11	0,36	0,36	0,36
115/3931	43	15,5	13	16	0,36	0,30	0,37
115/3932	46	18	14	15,5	0,39	0,30	0,34

Скульптура. Ребристость острая, варьирует по густоте, в целом разрежается в передней части жилой камеры. Ребра радиальные или слабо наклонены вперед, чуть далее середины боков делятся на два. На жилой камере связь одной из ветвей с осью ребра слабая и теряется, появляются дополнительные вставные ребра. В точке ветвления ребра несут бугорки, более мелкие бугорки развиты на ребрах по краям вентральной борозды. На 1/2 оборота приходится 15–17 боковых ребер, коэффициент ветвления 1,8–2,1.

Сравнение. От *G. garantiana* (d'Orbigny) отличается малыми размерами, медленнее нарастающими в высоту и толщину оборотами, меньшим коэффициентом ветвления ребер и слабым их наклоном вперед.

Замечания. Вид близок к формам, описываемым под названием *Garantiana bifurcata* (см. синонимику, а также [69, табл. 2, фиг. 6, табл. 3, фиг. 3--5]). А. Бенц [50, табл. 17, фиг. 2] воспроизвел экземпляр из коллекции Мюнстера, которая послужила основой для вида *Ammonites bifurcatus* Zieten (1830). Этот экземпляр, который следует рассматривать в качестве лектотипа *Orthogarantiana (Orthogarantiana) bifurcata* Zieten, отличается от описываемого вида толстыми оборотами и отсутствием наклона ребер вперед на вентральной стороне, т. е. признаками, отличающими род *Orthogarantiana* от рода *Garantiana*.

Геологическое и географическое распространение. Верхний байос, зона *subfurcatum*, ? Франция, Кавказ.

Материал. Северный Кавказ, р. Кубань, низы верхней джангурской подсвиты — 2 экз., Дагестан, основание цудахарской свиты — 6 экз.

Род *Hlawiceras* Buckman, 1921

Hlawiceras: Buckman, 1921, с. 240.

Garantiana (Subgarantiana): Bentz, 1928, с. 187.

Типовой вид. *Hlawiceras platyrrytmum* Buckman, 1921. Верхний байос, зона *subfurcatum*. Англия.

Диагноз. Раковины до 120 мм. Сечение внутренних оборотов округлое и овальное приплюснутое, внешних оборотов фрагмокона и жилой камеры — овальное и трапециевидно-овальное, сжатое с боков. Ребристость состоит из двух- и трехветвистых ребер, кроме которых присутствуют вставные. Вентральную сторону ребра переходят с сильным изгибом вперед, ослабляясь или прерываясь на внутренних оборотах на вентральной борозде. Бугорки в точке ветвления ребер могут быть развиты вплоть до жилой камеры. Формула лопастной линии:

$(V_1 V_1) UU^1 U^2 \dots I_2 I_1 D$.

Видовой состав. Более 15 видов: *H. subgaranti* (Wetzel), *H. tetragonum* (Wetzel), *H. suevicum* (Wetzel), *H. wetzeli* (Trauth), *H. trauthi* (Bentz), *H. alticostum* (Wetzel), *H. cyclogaster* (Wetzel), *H. coronatum* (Wetzel), *H. pompeckji* (Wetzel), *H. subangulatum* (Wetzel), *H. quenstedti* (Wetzel), *H. depressum* (Wetzel), *H. platyrrytmum* Buckman.

Сравнение. От *Garantiana* отличается стилем ребристости внеш-

него оборота фрагмокона и жилой камеры, сходной с ребристостью *Parkinsonia*.

Геологическое и географическое распространение. Верхний байос, зоны *subfurcatum* и *garantiana*, Европа, Кавказ.

Hlawiceras aff. subgaranti Wetzel, 1911

Табл. 8, фиг. 2

aff. Garantiana subgaranti: Wetzel, 1911, с. 175, табл. 13, фиг. 3, 4; Bentz, 1925, с. 168.

aff. Garantiana (Subgarantiana) subgaranti: Bentz, 1928, с. 189, табл. 16, фиг. 1.

aff. Garantiana (Hlawiceras) subgaranti: Ростовцев, 1985, с. 154, табл. 42, фиг. 5.

Голотип. *Garantiana subgaranti* Wetzel, 1911 [164, табл. 13, фиг. 3, 4]. Верхний байос, зона *garantiana* ("нижние паркинсониевые слои"). ФРГ.

Форма. Раковина до 100 мм с умеренно возрастающими оборотами, охватывающими предшествующие на 1/2 их высоты. Сечение внутренних оборотов фрагмокона прямоугольно-округлое, внешних — трапезовидно-округлое. Бока слабовыпуклые, вентральная сторона с широкой глубокой бороздой.

Размеры, мм, и их соотношения:

№ экз.	Д	В	Ш	Ду	В/Д	Ш/Д	Ду/Д
115/1379	—	23	23	—	—	—	—
	20	7	8	—	0,35	0,40	—

Скульптура. Внутренние обороты фрагмокона покрыты тонкими двуветвистыми и простыми ребрами с острыми бугорками на уровне точки ветвления. Внешний оборот фрагмокона и жилая камера груборебристые. Ребра на боках слабо S-образно изогнуты и наклонены вперед. В наружной трети боков ребра расщепляются на две или три ветви, кроме которых присутствуют вставные ребра, и с сильным изгибом вперед пересекают вентральную борозду.

Сравнение. От сходных *H. subgaranti* и *H. suevicum* (Wetzel) отличается редкой боковой ребристостью жилой камеры и большим количеством вставных ребер.

Геологическое и географическое распространение. *H. subgaranti* известен из верхнего байоса, зона *garantiana*, ФРГ, Закавказье.

Материал. Северная Осетия, р. Ход, верхняя часть джорской свиты (зона *garantiana*) — 1 экз.

Род *Praeparkinsonia* Schmidtill et Krumbeck, 1931

Praeparkinsonia: Schmidtill et Krumbeck, 1931, с. 854.

Типовой вид. *Praeparkinsonia garantiformis* Schmidtill et Krumbeck, 1931. Верхний байос, зона *subfurcatum*. ФРГ, Эрланген. Установлен Ф. Романом [131].

Диагноз. Сечение оборотов конца фрагмокона и жилой камеры овальное, сжатое с боков. Ребристость острая густая на фрагмоконе, становится редкой и грубой на боках жилой камеры. Вентральные ребра нерегулярно противостоят друг другу по краям вентральной борозды или же подходят к ней с каждой из сторон поочередно.

Состав. Три вида: *P. garantiformis* (Schmidtill et Krumbeck), *P. subbaculata* (Schmidtill et Krumbeck), *P. tschaloica* Besnosov sp. nov.

Сравнение. От других родов *Garantianinae* отличается нерегулярным чередованием ребер по краям вентральной борозды.

Замечания. Г. Вестерманн [161] рассматривал чередование ребер по краям вентральной борозды как случайную аномалию и включил род *Praeparkinsonia* в синонимику рода *Garantiana*. Из имеющихся у нас двух экземпляров один близок к *P. subbaculata* Schmidtill et Krumbeck, однако он показывает модификацию ребристости в конце фрагмокона и на жилой камере. У второго экземпляра — *P. tschaloica* Besnosov sp. nov. — эта модификация скульптуры выражена сильнее. Таких изменений скульптуры не наблюдается у двух видов, для которых был предложен род *Praeparkinsonia*, поэтому принадлежность наших экземпляров к рассматриваемому роду достаточно условна.

Геологическое и географическое распространение. Верхний байос, зона *garantiana*, Германия, Большой Балхан.

Praeparkinsonia cf. *subbaculata* (Schmidtill et Krumbeck), 1931

Табл. 7, фиг. 6

cf. *Praeparkinsonia subbaculata*: Schmidtill, Krumbeck, 1931, с. 854, табл. 82, фиг. 2.

Голотип по монотипии. *Praeparkinsonia subbaculata* Schmidtill et Krumbeck, 1931 [138, табл. 82, фиг. 2]. Верхний байос, "паркинсоновые слои". Германия, Эрланген.

Форма. Раковины мелких размеров с быстро нарастающими в высоту оборотами, охватывающими предшествующие на 1/3. Сечение оборотов трапециевидно-овальное, сжатое с боков. Бока слабовыпук-

лые сближаются к слабовыпуклой вентральной стороне, несущей посередине борозду. Пупок узкий, мелкий.

Размеры, мм, и их соотношения:

№ экз.	Д	В	Ш	Ду	В/Д	Ш/Д	Ду/Д
115/1999	25,5	10	9	7,5	0,39	0,35	0,29

Скульптура. Фрагмокон покрыт густыми острыми ребрами, ветвящимися в наружной трети боков на два, реже на три. На жилой камере ребра становятся более редкими и грубыми. На боках ребра слабо наклонены вперед, наклон ребер вперед усиливается при переходе на вентральную сторону, посередине которой ребра прерываются вентральной бороздой, концы ребер по краям борозды как противостоят друг другу, так и чередуются. Число боковых ребер на 1/2 оборота 16. Коэффициент ветвления 2, 25.

Сравнение. От *P. subbaculata* Schmidtil et Krumbek отличается меньшими размерами и более сжатым с боков сечением оборотов.

Материал. Ядро фрагмокона с частично сохранившейся жилой камерой из верхней части чалойской свиты, Большой Балхан, северный борт Чалойской котловины.

Praeparkinsonia tschaloica Веспосов sp. nov.

Табл. 7, фиг. 7

Parkinsonia depressa: Сибирякова, 1961, табл. 5, фиг. 2 (только).

Голотип. ВНИГНИ, экз. № 115/1921. Большой Балхан, северный борт Чалойской котловины. Верхняя часть чалойской свиты.

Название произведено по типовому местонахождению.

Форма. Раковина диаметром 30 мм с умеренно возрастающими в высоту оборотами, охватывающими предшествующие на 1/5 их высоты. Сечение оборотов высокоовальное, сжатое с боков. Бока слабовыпуклые, вентральная сторона закругленная с широкой, вдавленной бороздой. Пупок широкий, мелкий.

Размеры, мм, и их соотношения:

№ экз.	Д	В	Ш	Ду	В/Д	Ш/Д	Ду/Д
115/1921	27	10	8	9	0,37	0,30	0,33

Скульптура. Фрагмокон покрыт острыми, преимущественно двуветвистыми ребрами. В конце фрагмокона и на жилой камере ребра

на боках становятся более грубыми и редкими, ветвятся на два. Кроме ветвей на одно боковое ребро приходится 1–2 вставных. Ребра на боках наклонены вперед, наклон увеличивается при переходе на вентральную сторону. К вентральной борозде ребра подходят, противостоя друг другу или несколько смещаясь.

Сравнение. От *P. subbaculata* отличается сильно сжатыми с боков, медленнее нарастающими оборотами, более широким пупком, многочисленными вставными ребрами на жилой камере, от *P. garantiformis* Schmidtil et Krumbek – малыми размерами, резкой смелой характера ребристости в онтогенезе.

Материал. См. голотип.

СЕМЕЙСТВО SPHAEROCERATIDAE BUCKMAN, 1920

Род *Sphaeroceras* Bayle, 1878

Sphaeroceras: Bayle, 1878, с. 190; Wetzel, 1937, с. 78; Roman, 1938, с. 197; Крымголец, 1947, с. 188; Westermann, 1956, с. 24; Arkell, 1957, с. 292; Основы палеонтологии, 1958, с. 76; Sturani, 1971, с. 136 (частью); Азарян, 1982, с. 103.

Типовой вид. *Ammonites brongniarti* Sowerby, 1817 (1818). Байос. Франция, Байе.

Диагноз. Раковины небольшие шарообразные, с сильнообъемлющими оборотами почковидного сечения. Пупок узкий или замкнутый. Ребра частые, тонкие, двух-, четырехраздельные, иногда встречаются одиночные, наклонены вперед. Устье обычно с козырьком, валиком и пережимом. Формула лопастной линии: $(V^1 V^1) UU^1 I^2: I_1 I^1 D$.

Сравнение. От филетически смежных родов – *Chondroceras*, *Emilea*, *Schmidtoceras* – представители рода *Sphaeroceras* отличаются шарообразным фрагмоконом с очень узким пупком и более сильно сжатой жилой камерой.

Замечания. К. Стурани [149] предложил *Chondroceras* Mascke, 1917, и *Schmidtoceras* Westermann, 1956, в качестве подродов *Sphaeroceras*. Более правильными нам представляются воззрения Г. Вестерманна [160], понимающего *Sphaeroceras* и *Chondroceras* как самостоятельные роды, при этом *Schmidtoceras* является одним из подродов *Chondroceras*.

? *Sphaeroceras* sp. nov., описанный Вестерманном [160, с. 35, табл. 14, фиг. 8], вероятнее всего, принадлежит к иному роду.

Состав. Пять видов: *S. brongniarti* (Sowerby), *S. talkeetnanum* Imlay., *S. auritum* Parona, *S. tenuicostatum* Sturani, *S. pusillum* Sturani.

Геологическое и географическое распространение. Байос, зона *humpriesianum* – зона *garantiana*, Европа, Северная Африка, Иран, Аляска, Кавказ, Западная Туркмения.

Sphaeroceras brongniarti (Sowerby), 1918

Табл. 4, фиг. 11–14

Ammonites brongniarti: Sowerby, 1918, с. 190, табл. 184а, фиг. 3; Quenstedt, 1949, табл. 15, фиг. 9; Orpel, 1856–1858, с. 375, 663, табл. 64, фиг. 1, 2, табл. 78, фиг. 12–6; ? Quenstedt, 1858, с. 479, табл. 64, фиг. 9 (кроме фиг. 10–12); Quenstedt, 1887, с. 609, табл. 64, фиг. 1, 2.

Ammonites gervillii: d'Orbigny, 1842, с. 409, табл. 140, фиг. 3–8 (кроме фиг. 1, 2).

Sphaeroceras brongniarti: Bayle, 1878, табл. 53, фиг. 3–5; Затворницкий, 1914, с. 552, табл. 16, фиг. 10; Roman, Petouraud, 1927, с. 46, табл. 5, фиг. 6; Bircher, 1935, с. 140, табл. 9, фиг. 9–14, рис. 18 в тексте; Roman, 1938, с. 197, рис. 28 в тексте, табл. 18, фиг. 187; Крымгольц, 1947, с. 188, рис. 41 в тексте, табл. 34, фиг. 3; Arkell, 1952, с. 77, фиг. 20, рис. 1, 2 в тексте; Кахадзе, Зесашвили, 1956, с. 28, табл. 3, фиг. 4; Westermann, 1956 (частью), с. 28, табл. 14, фиг. 1, 2, рис. 3–6 в тексте; Сибирякова, 1961, с. 33, табл. 3, фиг. 3, 4; Sturani, 1964а, с. 26, табл. 4, фиг. 15; 1971, с. 137, табл. 10, фиг. 2, 6–10, 12, рис. 42/8–9, 44/3 в тексте; Ростовцев, 1985, с. 148, табл. 38, фиг. 1, 2.

Sphaeroceras cf. *globus*: Азарян, 1982, с. 104, табл. 21, фиг. 1, 2.

? *Stephanoceras* (*Sphaeroceras*) *brongniarti*: Gregorio, 1886, с. 11, табл. 3, фиг. 3, а–f.

Лектотип. *Ammonites brongniarti* Sowerby, 1817 (1818) [141, табл. 184а, фиг. 3]. Франция, Байе. Воспроизведен: [43, фиг. 20 в тексте; 45, рис. 347/1].

Форма. Раковина сферическая, достигающая 20–25 мм в диаметре. Обороты толстые, вздутые, сильно объемлющие, с толщиной, превышающей высоту. Сечение оборотов низкое, почковидное или серповидное. Пупок узкий, иногда замкнутый, округлый на внутренних оборотах и удлинненный на жилой камере. Пупковый перегиб округлый. Возле устья толщина оборота несколько уменьшается. Жилая камера занимает полный оборот. Устье с козырьковидным выростом на вентральной стороне; вырост стграничен валиком и пережимом.

Размеры, мм, и их соотношения:

№ экз.	Д	В	Ш	Ду	В/Д	Ш/Д	Ду/Д
115/2680	21	9	14	5	0,43	0,66	0,24
	17	8	15	3	0,47	0,88	0,17
115/7257	19	7	15	4	0,37	0,79	0,21
	16	6	15	3	0,37	0,93	0,19
115/7259	18	8	12	3	0,44	0,66	0,16
	15	8	13	2	0,53	0,86	0,13

115/7258	18	8	15	2	0,44	0,83	0,11
	15	7	14	2	0,46	0,93	0,13
115/7277	10	5	9	1	0,50	0,90	0,10
115/7276	10	4	7	2	0,40	0,70	0,20
115/7278	9	4	7	1	0,44	0,77	0,11
115/7273	11	5	10	2	0,45	0,91	0,18
	8	4	8	1	0,50	1,00	0,12
115/7275	9	4	7	1	0,44	0,77	0,11
115/7274	9	5	9	2	0,55	1,00	0,22
115/7282	4	2	3	1	0,50	0,75	0,25

Скульптура. Ребристость тонкая густая. Ребра начинаются от умбонального шва, направлены радиально. Около середины боков разделяются на две-четыре ветви, вентральную сторону переходят со слабым изгибом вперед.

Лопастная линия. Развитие лопастной линии в онтогенезе изучено Г. Вестерманном [160, рис. 6], Н. В. Безносковым, О. Х. Шиндевольфом. Формула лопастной линии $(V_1 V_1) UU^1 I_2 : I_1 I^1 D$.

Сравнение. *S. brongniarti* отличается от остальных *Sphaeroceras* главным образом строением устьевой части жилой камеры, от *S. pusillum* Sturani, кроме того, более тонкой и густой ребристостью.

Замечания. Г. Вестерманн [160] выделяет *S. brongniarti terpartitum* ssp. nov.; К. Стурани [149] рассматривает также в качестве подвида *S. brongniarti-Sphaeroceras globus* Buckman. Обе эти формы характеризуют инфраподвидовую изменчивость и не могут считаться самостоятельными таксонами.

Геологическое и географическое распространение. Байос, зона humphriesianum – зона garantiana, Англия, Франция, ФРГ, Дагестан, Юго-Восточная Армения, Западная Туркмения.

Материал. Дагестан, сел. Ирганай, осыпь под базальной плитой цудахарской свиты, зоны humphriesianum – subfurcatum – 35 экз., Большой Балхан, основание чалойской свиты, зона subfurcatum: окрестности колодца Чалой – 11 экз., колодцы Шорли – 7 экз.

СЕМЕЙСТВО PERISPINCTIDAE STEINMANN, 1890

Род *Praebigotites* Wetzel, 1936

Praebigotites: Wetzel, 1936, с. 533; Westermann, 1956; с. 268; Arkell, 1957, с. 313; Безносков, Михайлова, 1981, с. 50.

Типовой вид. *P. westfalicus* Wetzel, 1936 [165, табл. 21, фиг. 1–5]. Нижний байос, зона humphriesianum, подзона blagdeni. Германия, Альтхоф.

Диагноз. Диморфный род. Микро- и макроконхи на видовом уровне не отождествляются и рассматриваются как подроды. Раковины мелких и средних размеров, до 100 мм в диаметре, с медленно возрастающими оборотами, охватывающими предшествующие не более чем на 1/4 их высоты. Сечение оборотов округлое, овальное, слабосжатое с боков или приплюснутое. Развиты пережимы и ступени роста. Скульптура состоит из простых и двуветвистых ребер, вставных ребер и бугорков на уровне ветвления ребер. Посередине вентральной стороны ребра ослабляются так, что может возникать гладкая полоса. Лопастная линия на наружной стороне состоит из ($V_1 V_1$), $U_1 U^1$ и одной или двух ветвей лопасти I.

Состав. Два подрода: *M. Praebigotites* Wetzel, 1936, и *Otiosphinctes* Besnosov, 1979.

Сравнения. От *Leptosphinctes* Buckman отличается меньшими размерами, большей эволютностью, большим числом одиночных ребер, от близко родственного *Caumontisphinctes* Buckman (*Parkinsoniidae*) — преобладанием противостоящих ребер по краям вентральной полосы или ребер, прямо переходящих вентральную сторону.

Замечания. Типовой вид рода установлен на фрагментарном материале [165, табл. 21, фиг. 1–5], лектотип типового вида (табл. 21, фиг. 1) установлен: [161, с. 268]. Родовое название мало используется в литературе, а отнесенные ниже к *Praebigotites* виды их авторами и позднее обычно включаются в состав *Leptosphinctes* Buckman или *Caumontisphinctes* Buckman. Тем не менее представляется целесообразным обособить в ранге рода эту группу ранних лептосфинктин, показывающих общие черты строения с ранними паркинсониидами (род *Caumontisphinctes*).

Praeleptosphinctes Westermann, 1956, установлен без описания с типовым видом "*Morphoceras* cf. *defrancei*" Jaworski, 1926, из нижнего байоса зоны sowerbyi Аргентины. Аркелл [43, с. 167] отмечает сходство этого вида с *Leptosphinctes davidsoni* Buckman и рассматривает *Praeleptosphinctes* как поздний синоним *Leptosphinctes*. Если сходство экземпляра Яворского с *Leptosphinctes* таково, как указывает Аркелл, то это противоречит его датировке, так как наиболее древние лептосфинктины появляются в верхах зоны humphriesianum. При наличии всех этих противоречий род *Praeleptosphinctes* Westermann не может быть принят.

Геологическое и географическое распространение. Байос, верхи зоны humphriesianum — низы зоны subfurcatum, Южная и Средняя Европа, Мексика, Кавказ, Средняя Азия.

Типовой вид. Соответствует типовому виду рода.

Диагноз. Раковины до 100 мм в диаметре, жилая камера занимает около оборота, устье с прямыми боковыми краями и выступающим вперед вентральным краем.

Состав. Пять видов: *P. westfalicus* Wetzel, *P. ardonense* (Nikanorova), *P. festonensis* (Pavia), *P. constrictus* Besnosov sp. nov., *P. tabernai* Westermann.

Сравнение. От *Otiosphinctes* отличается длинной жилой камерой и устьем с прямыми боковыми краями.

Геологическое и географическое распространение. Соответствует распространению рода.

Praebigotites ardonense (Nikanorova), 1972

Табл. 8, фиг. 4

Leptosphinctes ardonense: Никанорова, 1972, с. 66, табл. 2, фиг. 3.

Leptosphinctes aff. *coronarius*: Безносков, 1967, с. 59.

Leptosphinctes (*Leptosphinctes*) *garnier*: Pavia, 1973, с. 127, табл. 25; фиг. 2, 3, табл. 26, фиг. 4.

Caumontisphinctes (*Caumontisphinctes*) *garnieri*: Dietl, 1980, с. 8, табл. 1, фиг. 1—4.

Голотип. *Leptosphinctes ardonense* (Никанорова, 1972 [27, табл. 3, фиг. 3]). Байос, зона *subfurcatum*. Северная Осетия, р.Ход.

Форма. Раковины до 80 мм в диаметре, с медленно нарастающими оборотами, охватывающими предшествующие менее чем на 1/5 их высоты. Сечение оборотов округлое или слегка приплюснутое. Бока и вентральная сторона закругленные. Пережимы, 3—4 на оборот, широкие и глубокие, на боках серповидно изогнуты вперед, вентральную сторону переходят с изгибом вперед, сопровождаются скачкообразным увеличением сечения оборота.

Размеры, мм, и их соотношения:

№ экз.	Д	В	Ш	Ду	В/Д	Ш/Д	Ду/Д
115/3000	62	16	16	34	0,26	0,26	0,55

Скульптура. Ребристость редкая, на боках грубая, состоит из простых и двуветвистых ребер, кроме которых присутствуют вставные. Ребра на боках слабо изгибаются вперед, наклон увеличивается при переходе на вентральную сторону, которую ребра переходят с изгибом вперед. Вентральные ребра слабее боковых, в передней части жилой камеры прерываются вентральной полосой. Точка ветвления удалена от шва на 2/3 высоты боков и несет на фрагмоконе острые бугорки.

Сравнения. От других видов подрода отличается грубой ребристостью.

Замечания. Л. А. Никанорова датирует голотип и другие экземпляры вида зоной *subfurcatum*. Наш образец является топотипом и найден нами в слое с *Partschiceras abichi* (Uhlig) и *Thysanolytoceras cinctum* Besnosov – видов, более характерных для подзоны *blagdeni* зоны *humphriesianum*. На этом же уровне указываются Дитлом и Павиа включенные в синонимику *P. garnieri*.

Геологическое и географическое распространение. Нижний байос, зона *humphriesianum*, подзона *blagdeni* – зона *subfurcatum*, подзона *banksi*, Франция, Германия, Северный Кавказ.

Praebigotites constrictus Besnosov sp. nov.

Табл. 8, фиг. 6

Голотип. ВНИГНИ, экз. № 115/1351. Основание цудахарской свиты, верхний байос, зона *subfurcatum*. Дагестан, сел. Датуна.

Название – стянутый, пережатый: (лат.).

Форма. Раковина диаметром до 60 мм с медленно нарастающими оборотами, охватывающими предшествующие менее чем на 1/5 их высоты. Сечение оборотов субквадратное, с закругленным переходом плоских боков к слабовыпуклой вентральной стороне. Пережимы глубокие и широкие, 3–4 на оборот. Жилая камера более 4/5 оборота, устье не сохранилось.

Размеры, мм, и их соотношения:

№ экз.	Д	В	Ш	Ду	В/Д	Ш/Д	Ду/Д
115/1351	52	12,5	12,5	28	0,24	0,24	0,54

Скульптура. Ребристость тонкая, острая, густая, преобладают двуветвистые и простые ребра, сопряженные с вставными. Ребра на боках прямые, радиальные и наклоненные вперед, после ветвления, происходящего на перегибе к вентральной стороне, приобретают сильный наклон вперед и вентральную сторону переходят с изгибом вперед, ослабляясь по ее середине так, что на ядре жилой камеры возникает прерывистая гладкая полоса. На фрагмоконе в точке ветвления ребер развиты мелкие острые буторки.

Сравнение. От сходного по скульптуре и медленному нарастанию оборотов *P. festonensis* (Pavia) отличается еще более медленно нарастающими оборотами субквадратного сечения.

Материал. См. голотип.

Praebigotites cf. festonensis (Pavia), 1973

Табл. 9, фиг. 2

cf. Leptosphinctes (Leptosphinctes) festonensis: Pavia, 1973, с. 126, табл. 25, фиг. 6, табл. 26, фиг. 1.

Раковина до 60 мм в диаметре с медленно нарастающими оборотами, охватывающими предшествующие менее чем на 1/5 их высоты. Сечение оборотов овальное, слабо сжатое с боков. Бока и вентральная сторона закругленные. Пережимы на боках глубокие, косо наклоненные вперед, вентральную сторону переходят со слабым изгибом вперед, ослабевая.

Скульптура. Ребристость густая, острая, состоит из простых и двуветвистых ребер. Ребра на боках радиальные или слабо наклонены вперед, вентральную сторону переходят, ослабевая с наклоном вперед.

Сравнение. Оба экземпляра сходны по форме раковины и скульптуре с экземплярами, изображенными Павиа. Однако из-за плохой сохранности точная идентификация невозможна.

Материал. Два неполных экземпляра, Дагестан, сел. Ирганай, верхняя часть кумухской свиты – 1 экз., основание цудахарской свиты – 1 экз.

ПОПРОДМ *OTIOSPHINCTES* BESNOSOV, 1979

Otiosphinctes: Безносков, 1979, с. 7, 1982, с. 128.

Otiosphinctes: Безносков, 1981, с. 51 (ошибочное написание по вине редактора).

Типовой вид. *Pseudobigotella otiophora* Buckman, 1920 [56, табл. 191]. Верхний байос, зона *subfurcatum*. Англия, Дорсет.

Диагноз. Раковина менее 50 мм в диаметре. Жилая камера занимает около 3/4 оборота, устье с боковыми ушками ложковидной формы, оставляющими свободной Т-образную щель.

Состав. Два вида: *O. otiophorus* (Buckman), *O. irganajense* Besnosov sp. nov.

Сравнение. От *Praebigotites* отличается мелкими размерами, короткой жилой камерой, устьем с боковыми ушками; от микроконхов *Leptosphinctes (Cleistosphinctes)* – развитием пережимов и ступеней роста.

Геологическое и географическое распространение. Байос, зона *subfurcatum*, Англия, Дагестан.

Otiosphinctes irganajense Besnosov sp. nov.

Табл. 8, фиг. 5

Præbigotites (Otiosphinctes) sp. nov.: Безносков, Михайлова, 1981 [11, табл. 5, фиг. 2].

Голотип. ВНИГНИ, экз. № 115/2472. Верхняя часть кумухской свиты, байос, низы зоны *subfurcatum*. Дагестан, сел. Ирганай.

Название по типовому местонахождению.

Форма. Раковина диаметром 46 мм с медленно нарастающими оборотами, перекрывающими лишь ventральную сторону предшествующих. Сечение оборотов овальное, на жилой камере яйцевидное с наибольшей шириной ближе к пупку. Бока слабовыпуклые, ventральная сторона закругленная. Жилая камера занимает 2/3 оборота. Пережимы, до трех на оборот, мелкие, маскируются ребристостью.

Размеры, мм, и их соотношения:

№ экз.	Д	В	Ш	Ду	В/Д	Ш/Д	Ду/Д
115/2472	45	13	11	25	0,28	0,24	0,56

Скульптура. Ребристость тонкая, густая, состоит из двуветвистых, простых и вставных ребер. Ребра на боках серповидно изогнуты вперед, ветвятся в наружной четверти боков, после чего наклон ребер усиливается, ventральную сторону ребра переходят, ослабляясь, с образованием на ядре жилой камеры прерывистой гладкой полосы. Число ребер на боках – 25, коэффициент ветвления – 1,7. В точке ветвления на фрагмоне развиты острые бугорки.

Сравнение. От *O. otiphorus* Bückman отличается медленнее нарастающими оборотами, слабыми пережимами и тонкой ребристостью. По форме сечения оборотов и скульптуре описываемый микроконх сходен с макроконхом *P. festonensis* (Pavia).

Замечания. В задней части жилой камеры от последней перегородки на 1/7 длины оборота протягивается сифон. Здесь же в области перегиба боков к ventральной борозде наблюдается пара продольных вдавленностей на ядре, возможно, отвечающих местам прикрепления мускулов. Большая часть жилой камеры несет следы прижизненного повреждения в виде асимметричного вздутия, сопровождаемого искривлением ребристости и ее последующей потерей.

Материал. Голотип.

Род *Leptosphinctes* Buckman, 1920

Leptosphinctes: Dietl, 1980, с. 5; Безносков, Михайлова, 1981, с. 51.

Kubanoceras: Кахадзе, Зесашвили, 1955, с. 708; 1956, с. 31.

Типовой вид. *Leptosphinctes leptus* Buckman, 1920 [56, табл. 160]. Байос, зона *subfurcatum*. Англия, Дорсет.

Диагноз. Диморфный род. Макро- и микроконхи помимо длины жилой камеры и строения устья резко отличаются размерами и развитием скульптуры на поздних стадиях онтогенеза и рассматриваются как подроды. Раковины с медленно возрастающими оборотами, охватывающими предшествующие на 1/3–1/4 их высоты. Сечение оборотов овальное, сжатое с боков. Ребристость микроконхов и фрагмоконов макроконхов густая, состоит из двуветвистых, простых и сопряженных с простыми вставных ребер, в точке ветвления которых развиты бугорки. Ребра на боках всегда сильнее ребер на вентральной стороне, посередине которой ребра ослабевают или исчезают с образованием гладкой полосы. На жилой камере макроконхов ребристость может сглаживаться или модифицироваться. Формула лопастной линии (V_1) $UU^1 I_2 : I_1 I_3 D$.

Состав. Два подрода: M *Leptosphinctes* Buckman, 1920, m *Cleis-tosphinctes* Arkell, 1953.

Сравнение. От предкового *Praebigotites* Wetzel, 1936, отличается более крупными раковинами макроконхов, более объемлющими оборотами, сильнее рассеченными лопастями и седлами, отсутствием пережимов у микроконхов.

Геологическое и географическое распространение. Байос, зона *subfurcatum*, подзоны *polygyralis* и *baculata*, зона *garantiana*, Европа, Северная Африка, Северная Америка, Донбасс, Кавказ, Западная Туркмения.

ПОДРОД M LEPTOSPINCTES BUCKMAN, 1920

Leptosphinctes: Buckman, 1920, табл. 160; Basse, 1952, с. 634; Arkell, 1957, с. 314, 1958, с. 167.

Leptosphinctes (*Leptosphinctes*): Pavia, 1973, с. 126; Безносков, Михайлова, 1981, с. 51.

Vermisphinctes: Buckman, 1920, табл. 162.

Spathia: Schindewolf, 1925, с. 319.

Stomphosphinctes: Buckman, 1921, табл. 217.

? *Glyphosphinctes*: Buckman, 1925, табл. 544.

Типовой вид. Соответствует типовому виду рода.

Диагноз. Раковины средних и крупных размеров (от 100 мм в диаметре и более, максимально до 300 мм). Жилая камера занимает от 3/4 оборота и более, устье с прямыми боковыми краями. Конец фрагмо-

кона и жилая камера несут пережимы, варьирующие по глубине и форме, которые могут сопровождаться валиками. На жилой камере ребристость модифицируется, становится редкой, сглаживается до полного исчезновения или становится весьма грубой. Лопасть I рассечена полностью и образует суспенсивную лопасть.

Состав. Более 15 видов: *L. leptus* Buckman, *L. davidsoni* Buckman, *L. coronarius* Buckman, *L. martinsiformis* (Kakhadze et Zesashvili), *L. kardonikensis* (Kakhadze et Zesashvili), *L. hodicus* Nikanorova, *L. subdivisus* (Buckman), *L. stomphus* (Buckman), *L. vermiformis* (Buckman), *L. glyphus* (Buckman), *L. limoniticus* (Buckman), *L. schmiereri* (Bentz), *L. hennigi* (Bentz), *L. densicostatum* Besnosov sp. nov.

Сравнение. От *Cleistosphinctes* отличается большими размерами, длинной жилой камерой, устьем с прямыми боковыми краями, развитием пережимов, модификацией скульптуры на жилой камере и полным рассечением лопасти I, показывая идентичность признаков (формы, скульптуры, степени рассеченности лопастной линии) ранних и средних стадий фрагмоконов со взрослыми микроконхами.

Замечания. *Vermisphinctes* и *Stomphosphinctes* отличаются от типа подрода формой и глубиной пережимов – признака не выдерживающегося в онтогенезе одного экземпляра, а также деталями формы сечения оборотов. Поэтому можно отчасти согласиться с Л. Спэтом [142, с. 280], который писал о *Leptosphinctes* "в широком смысле", включая *Vermisphinctes*, *Glyphosphinctes*, *Stomphosphinctes*. *Spathia* является младшим объективным синонимом *Vermisphinctes* [43, с. 163]. Название типового вида *Spathia* – *Ammonites martinsi* d'Orbigny (1846, табл. 25) является невалидным [43, с. 168]. Г. Вестерманн [161] включил *Vermisphinctes*, *Stomphosphinctes* и *Spathia* в синонимику *Bigotites Nicolesco*. При ограничении последнего видами, близкими к его типовому виду, это объединение неоправдано.

Л. Спэт [142] и В. Аркелл [43] включали в состав *Leptosphinctes* род *Prorsisphinctes* Buckman, 1921. *Prorsisphinctes* отличается от лептосфинктин усилением вентральных ребер и является наиболее древним представителем грацилисфинктин [11].

Геологическое и географическое распространение. Соответствует распространению рода.

Leptosphinctes leptus Buckman, 1920

Табл. 10, фиг. 1

Leptosphinctes leptus: Buckman, 1920, табл. 160; Безносков, Михайлова, 1981, табл. 5, фиг. 1; Ростовцев, 1985, с. 165, табл. 46, фиг. 1.

Bigotites martinsi: Schmidtil, Krumbeck, 1931, с. 883, табл. 86, фиг. 5.

Procerites martinsi: Кахадзе, Зесашвили, 1956, с. 30, табл. 5, фиг. 1.

Голотип. *Leptosphinctes leptus* Buckman, 1920 [56, табл. 160].
Верхний байос, зона *subfurgatum*. Англия, Дорсет.

Форма. Раковины до 120 мм в диаметре, с умеренно нарастающими оборотами, объемлющими предшествующие на 1/3 их высоты. Сечение оборотов овальное, бока слабовыпуклые, сближаются в закругленной вентральной стороне. Жилая камера занимает немного менее полного оборота, устье с приустьевым пережимом и последующим расширением. Пережимы, до трех на один оборот, варьируют по глубине, наклонены вперед несколько круче ребер.

Размеры, мм, и их соотношения:

№ экз.	Д	В	Ш	Ду	В/Д	Ш/Д	Ду/Д
115/1734	83	26	20	38	0,31	0,24	0,46
115/1723	62	19	—	40	0,31	—	0,47
115/1817	84	26	—	40	0,30	—	0,48
115/2987	78	25	18	35	0,32	0,23	0,45
115/1465	57	18	16	31	0,30	0,27	0,52
115/1409	46	16	—	22	0,35	—	0,48

Скульптура. Фрагмекон покрыт острыми густыми ребрами, несущими в точке ветвления острые бугорки, на жилой камере ребра несколько сглаживаются, становятся реже, ослабляются на вентральной стороне так, что возникает гладкая полоса. У крупных раковин вентральные ребра сглаживаются почти полностью. Ребра на боках прямые, несколько наклонены вперед, ветвятся немного далее середины боков от шва, после чего полого изгибаются вперед. Число ребер на 1/2 оборота 25–30, коэффициент ветвления около 2.

Сравнение. От *L. davidsoni* Buckman нечетко отличается меньшими размерами и соответственно отсутствием полного сглаживания ребристости на боках жилой камеры, от *L. coronarius* Buckman — более объемлющими оборотами, закрывающими точку ветвления ребер.

Геологическое и географическое распространение. Байос, зона *subfurgatum*. Англия, ФРГ, Кавказ.

Материал. Северный Кавказ, р. Кубань, станция Красногорская, низы верхней подсвиты джангурской свиты — 6 экз., р. Ход, низы верхней подсвиты джорской свиты — 4 экз.

Leptosphinctes coronarius Buckman, 1921

Табл. 9, фиг. 1, 4

Leptosphinctes coronarius: Buckman, 1921, табл. 201.

Leptosphinctes (Leptosphinctes) aff. coronarius: Dietl, 1980, с. 20, табл. 8, фиг. 2, табл. 9, фиг. 1.

† *Kubanoceras kardonikensis*: Кахадзе, Зесашвили, 1956, с. 36, табл. 6, фиг. 5.

† *Kubanoceras asinus*: Сибирякова, 1961, с. 49, табл. 5, фиг. 16.

Голотип. *Leptosphinctes coronarius* Buckman, 1921 [56, табл. 201]. Верхний байос, зона *subfurcatum*. Англия, Дорсет.

Форма. Раковина средних размеров, до 150 мм в диаметре, с медленно нарастающими оборотами, охватывающими предшествующие на 1/3 их высоты. Сечение внутренних оборотов фрагмокона прямоугольно-округлое, наружных оборотов фрагмокона и жилой камеры – овальное, сжатое с боков. Бока уплощенные, вентральная сторона закругленная. Жилая камера занимает около одного оборота. Пережимы три на один оборот, варьируют по глубине, наклонены вперед, сопровождаются расширением сечения оборота.

Размеры, мм, и их соотношения:

№ экз.	Д	В	Ш	Ду	В/Д	Ш/Д	Ду/Д
115/4150	130	36	30	71	0,28	0,23	0,54
115/4151	86	24	—	44	0,28	—	0,51
115/4154	50	14	12	25	0,28	0,24	0,50
115/4155	40,1	11	10	21	0,27	0,25	0,52
115/4156	36	10	10	20	0,28	0,28	0,56
115/1414	86	24	19	40	0,27	0,22	0,47
115/1386	50	15	—	25	0,30	—	0,50
115/2725	55	15	14	28	0,27	0,26	0,51
115/4128	43	12	12	21	0,28	0,28	0,49
115/2497	53	15	14	28	0,28	0,265	0,55
115/4353	41,5	12	11	19,5	0,29	0,265	0,47
115/4162	30	8	—	15,5	0,27	—	0,51
115/6870	37	10,5	10,5	18,5	0,28	0,28	0,50

Скульптура. Внутренние обороты фрагмокона несут частые, относительно грубые ребра с бугорками в точке ветвления, прерываемые прерывистой вентральной полосой. На внешних оборотах фрагмокона и на жилой камере крупных раковин ребристость на боках становится редкой и сглаженной, а на вентральной стороне постепенно полностью сглаживается. Ребра на боках прямые, несколько далее середины боков от шва ветвятся на два или с простым ребром сопрягается вставное, после ветвления наклон ребер усиливается и вентральную сторону они переходят с изгибом вперед.

Сравнение. От *L. leptus* Buckman отличается медленным возрастанием оборотов, от сходного *L. hodicus* Nikanorova – менее массивными оборотами и более широким пупком.

Геологическое и географическое распространение. Верхний байос, зона *subfurgatum*. Англия, Германия, Кавказ, Средняя Азия.

Материал. Северный Кавказ, р. Кубань, станица Красногорская, низы верхней подсвиты джангурской свиты – 1 экз., р. Ход, низы верхней подсвиты джорской свиты – 1 экз., Дагестан, сел. Дагуна, основание цудахарской свиты – 11 экз., Большой Балхан, колодцы Чалой, низы чалойской свиты – 6 экз. и многочисленные обломки.

Leptosphinctes stomphus (Buckman), 1921

Табл. 10, фиг. 2

Stomphosphinctes stomphus: Buckman, 1921, табл. 247.

Leptosphinctes (*Leptosphinctes*) *aff. stomphus*: Dietl, 1980, с. 21, табл. 9, фиг. 3.

Голотип. *Stomphosphinctes stomphus* Buckman, 1921 [56, табл. 247]. Байос, зона *garantiana*. Англия, Дорсет.

Форма. Раковина до 150 мм в диаметре с медленно возрастающими оборотами, объемлющими предшествующие на 1/3 их высоты. Сечение оборотов прямоугольно-овальное с высотой, равной или несколько превышающей ширину. Бока плоские, вентральная сторона закругленная. Развита пережимы, наклоненные на боках вперед.

Размеры, мм, и их соотношения:

№ экз.	Д	В	Ш	Ду	В/Д	Ш/Д	Ду/Д
115/1662	77	24,5	–	36	–	–	–
		22,5	21	–	–	–	–
115/2720	39	12	12	17,5	0,30	0,30	0,45

Скульптура. Ребристость густая, на внутренних оборотах фрагмокона острая, на внешних оборотах фрагмокона и на жилой камере притупляется. Преобладают двуветвистые ребра и отдельные простые и вставные. Ребра на боках серповидно изогнуты, ветвятся несколько далее середины боков от шва и с изгибом вперед, незначительно ослабевают, переходят вентральную сторону.

Сравнение. От *L. leptus* Buckman и *L. coronarius* Buckman отличается почти прямоугольным сечением оборотов, незначительно ослабляющимися вентральными ребрами.

Геологическое и географическое распространение. Байос, зоны *subfurgatum* и *garantiana*, Англия, Германия, Северный Кавказ.

Материал. Северный Кавказ, р. Баксан, верхняя джорская под-свита, два экземпляра и два фрагмента, Дагестан, сел. Цурмахи, основание цудахарской свиты – 1 неполный экземпляр.

Leptosphinctes densicostatum Vesnosov sp. nov.

Табл. 10, фиг. 3

Голотип. ВНИГНИ, экз. №115/2721. Чалойская свита, верхний байос, верхняя часть зоны *subfurgatum* – низы зоны *garantiana*. Западная Туркмения, Большой Балхан, колодцы Чалой.

Название – густорребристый (лат.).

Форма. Раковина диаметром до 50 мм с медленно нарастающими оборотами, охватывающими предшествующие на 1/3 их высоты. Сечение оборотов прямоугольно-овальное, бока плоские, вентральная сторона закругленная. Пережимы, 3–4 на один оборот, варьируют по глубине, узкие, сопровождаются увеличением сечения оборотов.

Размеры, мм, и их соотношения:

№ экз.	Д	В	Ш	Ду	В/Д	Ш/Д	Ду/Д
115/2721	43	14	13	20	0,32	0,30	0,47

Скульптура. Ребристость густая, тонкая, состоит преимущественно из двуветвистых ребер, на жилой камере присутствуют также простые и вставные. Ребра на боках прямые или слабо серповидно изогнутые, радиальные и наклоненные вперед. Ветвление ребер проходит в наружной трети боков. При переходе на вентральную сторону ребра слабеют, а наклон их усиливается. Число ребер на боках на 1/2 оборота – 28, коэффициент ветвления – 2.

Сравнение. По форме сечения оборотов сходен с *L. coronarius* Вискман, от которого отличается густой тонкой ребристостью. Наиболее близок к *L. vermiformis* (Вискман) и *subdivisus* (Вискман), отличаясь от них плоскими боками и медленнее возрастающими оборотами.

Материал. Голотип.

Leptosphinctes hodicus Никанорова, 1972

Табл. 10, фиг. 4

Leptosphinctes hodicus: Никанорова, 1972, с. 68, табл. 2, фиг. 4, табл. 3, фиг. 1.

Leptosphinctes (Leptosphinctes) hodicus: Dietl, 1980, с. 13, табл. 3, фиг. 4, 5, рис. 6 в тексте.

Голотип. *Leptosphinctes hodicus* (Никанорова, 1972 [27, с. 68, табл. 3, фиг. 1]). Байос, зона *subfurcatum*. Северная Осетия, р. Ход.

Форма. Раковины средних размеров с медленно возрастающими оборотами, объемлющими предшествующие на 1/3 их высоты. Сечение оборотов овальное, на внутренних оборотах приплюснутое, на внешних оборотах фрагмокона и на жилой камере слегка сжатое с боков. Бока и вентральная сторона слабовыпуклые. Пережимы узкие, варьируют по глубине, два на один оборот.

Размеры, мм, и их соотношения:

№ экз.	Д	В	Ш	Ду	В/Д	Ш/Д	Ду/Д
115/1472	61	20	18	27	0,32	0,29	0,44
115/1727	—	14	13,5	—	—	—	—
	31,5	9	11,5	15,5	0,28	0,365	0,49

Скульптура. Ребристость грубая. Ребра на боках прямые, радиальные или наклонены вперед, ветвятся на расстоянии 2/3 высоты боков от шва. Ветви круто наклонены вперед и ослабевают посередине вентральной стороны, где возникает гладкая полоса. Количество ребер на 1/2 оборота 16–18, увеличивается с размером раковин. Коэффициент ветвления около 2. В точке ветвления на фрагмоконе развиты бугорки.

Сравнение. От *L. leptus* Buckman и *L. coronarius* Buckman отличается более массивными и низкими оборотами и более грубой ребристостью.

Замечания. По форме раковин и характеру ребристости вид Л. А. Никаноровой очень близок к "*Kubanoceras martinsiformis*" Кахадзе и Зесашвили [18, с. 36, табл. 6, фиг. 1]), однако плохое качество изображения последнего не позволяет их уверенно отождествлять.

Геологическое и географическое распространение. Байос, зона *subfurcatum*, Германия, Северный Кавказ.

Материал. Северный Кавказ, р. Кубань, гора Джангура, низы верхней подсвиты джангурской свиты — 3 экз.

Leptosphinctes? rugmaeum Vesnosov sp. nov.

Табл. 9, фиг. 3

Голотип. ВНИГНИ, экз. № 115/1464. Верхний байос, зона *subfurcatum*, низы верхней джангурской подсвиты. Северный Кавказ, южный склон горы Джангура.

Название — карликовый (греч.).

Форма. Раковина с медленно возрастающими оборотами, объемлющими предшествующие менее чем на 1/3 их высоты. Сечение оборотов округлое, в конце жилой камеры становится овальным. Бока и вентральная сторона закругленные. Жилая камера занимает почти полный оборот. Устье не сохранилось. На жилой камере развиты замаскированные ребристостью пережимы, сопровождаемые увеличением сечения оборота.

Размеры, мм, и их соотношения:

№ экз.	Д	В	Ш	Ду	В/Д	Ш/Д	Ду/Д
115/1464	33	10	9	16,5	0,30	0,27	0,50

Скульптура. Ребристость густая, относительно грубая, состоит из двуветвистых и отдельных простых и вставных ребер. Ребра на боках слабо серповидно или S-образно изогнуты и наклонены вперед, ветвятся несколько далее середины боков от шва, после чего наклон ребер увеличивается и они с изгибом вперед пересекают вентральную сторону, незначительно ослабляясь по ее середине. Число ребер на 1/2 оборота – 22, коэффициент ветвления – 1,8.

Сравнение. От других видов *Leptosphinctes* отличается мелкими размерами, от сходных по форме внутренних оборотов *L. coronarius* Вискман – густой притупленной ребристостью, практическим отсутствием бугорка в точке ветвления ребер.

Замечания. Описываемый вид, несмотря на малые размеры раковины, показывает признак ее "взрослости" – изменение формы сечения жилой камеры. По своим размерам и скульптуре он сходен с микроконхами *Leptosphinctes (Cleistosphinctes)*, однако обладает длинной, занимающей почти полный оборот жилой камерой. От макроконхов *Praebigotites (Praebigotites)* он отличается более объемлющими оборотами, а также более "регулярной" ребристостью, незначительно ослабляющейся на вентральной стороне. Все эти отличия не позволяют определенно решить родовую принадлежность вида, включенного в *Leptosphinctes* достаточно условно.

Распространение и материал. Голотип.

ПОДРОД *m* *CLEISTOSPHINCTES* ARKELL, 1953

Cleistosphinctes: Arkell, Lucas, 1953, с. 2257; Arkell, 1957, с. 314; 1957–58, с. 168; Безносков, Михайлова, 1981, с. 58.

Leptosphinctes (Cleistosphinctes): Dietl, 1980, с. 22.

Kubanoceras: Кахадзе, Зесашвили, 1955, с. 707.

Типовой вид. *Leptosphinctes cleistus* Вискман, 1920 [56, табл. 161]. Верхний байос, зона *subfurcatum*. Англия, Дорсет.

Диагноз. См. диагноз рода. Раковины мелкие и средние, до 60–70 мм в диаметре. Жилая камера занимает 1/2–3/4 оборота. Устье с длинными сходящимися ушками ложковидной формы. Пережимов нет.

Состав. Более 8 видов: *C. asinus* (Zatwornitzki), *C. cleistus* (Buckman), *C. killertalense* Dietl, *C. minor* Dietl, *C. acurvatus* (Wetzel), *C. althoffi* (Wetzel), *C. balachanense* sp. nov., *C. nikanorovae* sp. nov.

Сравнение. От подрода *Leptosphinctes* отличается мелкими размерами, устьем с боковыми ушками, отсутствием пережимов, будучи полностью идентичным по строению внутренних оборотов.

Геологическое и географическое распространение. Байос, зона *subfurcatum*, Европа, Кавказ, Средняя Азия.

Cleistosphinctes asinus (Zatwornitzki), 1914

Табл. 10, фиг. 5

Perisphinctes (*Grossouvreia*) *asinus*: Затворницкий, 1914, с. 553, табл. 17, фиг. 20–22.

Kubanoceras asinus: Кахадзе, Зесашвили, 1955, рис. 1, 2; 1956, с. 33, табл. 3, фиг. 5, табл. 4, фиг. 4, табл. 5, фиг. 2 (не табл. 5, фиг. 2).

Kubanoceras asinus var. *paucicostata*: Кахадзе, Зесашвили, 1956, с. 34, табл. 5, фиг. 3, 4.

Leptosphinctes (*Cleistosphinctes*) *cleistus*: Dietl, 1980, с. 24, табл. 10, фиг. 8, 9, не фиг. 6.

? *Leptosphinctes asinus*: Ростовцев, 1985, с. 164, табл. 45, фиг. 3, 4.

non *Kubanoceras asinus*: Сибирякова, 1961, табл. 5, фиг. 5, 6.

non *Leptosphinctes* (*Cleistosphinctes*) cf. *asinus*: Pavia, 1973, с. 133, табл. 29, фиг. 5.

Лектотип. *Perisphinctes* (*Grossouvreia*) *asinus* (Затворницкий, 1914 [15, табл. 17, фиг. 20–22]). Байос, зона *subfurcatum*. Северный Кавказ, станица Красногорская.

Форма. Раковины до 50 мм в диаметре, с медленно нарастающими оборотами, объемлющими предшествующие на 1/4–1/3 их высоты. Сечение оборотов фрагмокона округлое, жилой камеры – овальное, слегка сжатое с боков. Бока слабовыпуклые, вентральная сторона закругленная. Жилая камера занимает 1/2 оборота, устье с длинными ложковидными ушками.

Размеры, мм, и их соотношения:

№ экз.	Д	В	Ш	Ду	В/Д	Ш/Д	Ду/Д
115/1404	39	11	10	21	0,28	0,26	0,54
115/1410	37	12	11	18	0,32	0,30	0,49
115/1408	47	15	13	24	0,32	0,28	0,51

Скульптура. Ребра грубые, острые, на боках прямые или слабо серповидно изогнутые, несколько далее середины боков от шва ветвятся на два и с изгибом вперед, ослабляясь, переходят вентральную сторону. Число ребер на боках на 1/2 оборота 17–18, коэффициент ветвления близок к 2. В точке ветвления, вплоть до жилой камеры, развиты острые бугорки, не закрываемые последующими оборотами.

Сравнение. От *C. cleistus* Buckman отличается более грубой ребристостью, меньшим наклоном ребер вперед после ветвления. От сходного по скульптуре *C. acurvatus* (Wetzel) отличается более широким пупком и наружным положением точки ветвления ребер.

Замечания. Раковины, изображенные под названием описываемого вида Л. В. Сибиряковой и Дж. Павиа (см. синонимнику), несут пережимы и принадлежат номинальному подроду. По форме сечения оборотов, степени объемлемости ими предшествующих и грубой скульптуре *m L. (C.) asinus* сходен с *M L. (L.) coronarius* Buckman.

Геологическое и географическое распространение. Байос, зона *subfurcatum*, Северный Кавказ, Закавказье (?).

Материал. Северный Кавказ, р. Кубань, станция Красногорская, нижняя часть верхней джангурской подсвиты – 5 экз. различной сохранности.

Cleistosphinctes cleistus Buckman, 1920

Табл. 11, фиг. 1

Leptosphinctes cleistus: Buckman, 1920, табл. 161.

Leptosphinctes (Cleistosphinctes) cleistus: Dietl, 1980, с. 20, табл. 10, фиг. 6 (только).

Kubanoceras asinus: Кахадзе, Зесашвили, 1956, табл. 5, фиг. 2 (только).

non Leptosphinctes (Cleistosphinctes) cleistus: Pavia, 1973, с. 133, табл. 28, фиг. 3, 5.

Голотип. *Leptosphinctes cleistus* Buckman, 1920 [56, табл. 161]. Верхний байос, зона *subfurcatum*. Англия, Дорсет.

Форма. Раковины до 50 мм в диаметре, с медленно нарастающими оборотами, объемлющими около 1/3 их высоты. Обороты в сечении овальные, сжатые с боков. Бока слабовыпуклые, вентральная сторона закругленная. Жилая камера занимает 1/2 оборота, устье с боковыми ушками.

Размеры, мм, и их соотношения:

№ экз.	Д	В	Ш	Ду	В/Д	Ш/Д	Ду/Д
115/1916	45	14	—	22	0,31	—	0,49
115/1913	35	10	—	17	0,29	—	0,49
115/1914	35,5	11,5	11	17,5	0,32	0,30	0,49

Скульптура. Ребристость густая, относительно грубая, на фрагмоконе острая. Преобладают двуветвистые ребра, близ устья – простые и вставные. Ребра на боках прямые или слабо серповидно изогнутые, наклонены вперед, ветвятся немного далее середины боков от шва, вентральную сторону переходят прямо или со слабым изгибом вперед. Число ребер на 1/2 оборота на боках 21–22. На фрагмоконе и в задней части жилой камеры в точке ветвления ребер развиты острые бугорки.

Сравнение. От *C. asinus* (Zatwornitzki) отличается более тонкой ребристостью, более сильно выраженным наклоном ребер вперед, более сжатым с боков сечением оборотов.

Замечания. К. О. Ростовцев [35, с. 164] включил *C. cleistus* в синонимику *C. asinus* (Zatwornitzki). Эти виды действительно очень сходны и принадлежат одной группе относительно малорослых и груборебристых представителей подрода, но достаточно различимы по ряду признаков. Принятие точки зрения К. О. Ростовцева, помимо всего, вызвало бы необходимость замены названия типового вида подрода. Дж. Павиа [114, табл. 28, фиг. 3, 5] под именем *L. (C.) cleistus* изобразил формы, существенно отличные от голотипа очень тонкой и густой ребристостью.

Геологическое и географическое распространение. Байос, зона *subfurgatum*. Англия, Франция, Германия, Кавказ.

Материал. Северный Кавказ, р. Кубань, станица Красногорская, нижняя часть верхней джангурской подсвиты – 11 экз. различной сохранности.

Cleistosphinctes balchanense Vesnosov sp. nov.

Табл. 11, фиг. 4

Голотип. ВНИГНИ, экз. № 115/2961. Чалойская свита, верхний байос, верхняя часть зоны *subfurgatum* – низы зоны *garantiana*. Западная Туркмения, Большой Балхан, колодцы Чалой.

Название по типовому местонахождению.

Форма. Раковины до 50 мм в диаметре, с умеренно возрастающими оборотами, объемлющими предшествующие на 1/4 их высоты. Сечение оборотов округлое на фрагмоконе, становится овальным, сжатым с боков на жилой камере. Бока плоские или слабовыгнутые, вентральная сторона закругленная. Жилая камера занимает около 1/2 оборота, устье с приустьевым пережимом и боковыми ушками.

Размеры, мм, и их соотношения:

№ экз.	Д	В	Ш	Ду	В/Д	Ш/Д	Ду/Д
115/2861	45	14	10	22	0,31	0,22	0,49

115/2859	41	12	10	21	0,29	0,24	0,51
115/1962	36	11	9	18	0,30	0,25	0,50
115/4248	31	9,5	8,5	15,5	0,31	0,27	0,50
115/6831	24,5	7	6,5	11,5	0,285	0,265	0,47

Скульптура. Ребристость тонкая, густая, состоит преимущественно из двуветвистых ребер, кроме которых присутствуют простые и вставные. Ребра на боках прямые, в передней части жилой камеры могут слабо S-образно изгибаться, от радиальных до в различной степени наклоненных вперед, ветвятся примерно посередине боков, вентральную сторону переходят прямо, частично ослабляясь на ее середине. В точке ветвления на фрагмоконе развиты острые бугорки. Число ребер на 1/2 оборота на боках 25–26, коэффициент ветвления 1,7–1,8.

Сравнение. Описываемый вид по характеру ребристости наиболее сходен с *L. (C.) cleistus* Pavia [114, с. 133, табл. 28, фиг. 3, 5] (*non L. (C.) cleistus* Buckman, 1920), но отличается от него широким пупком и медленно нарастающими оборотами. От сходного по форме *C. killertalensis* Dietl отличается большими размерами и менее наклоненными вперед ребрами, от *C. cleistus* Buckman – тонкой и густой ребристостью, от тонкоребристых *C. althoffi* (Wetzel) – меньшей густотой ребристости, меньшими размерами и отсутствием полного сглаживания ребер на вентральной стороне жилой камеры.

Геологическое и географическое распространение. Большой Балхан, чалойская свита, байос, зона *subfurcatum* (верхняя часть), колодцы Чалой – 11 экз., южнее колодцев Порсайман – 1 экз.

Cleistosphinctes nikanorovae Vesnosov sp. nov.

Табл. 11, фиг. 3

Голотип. ВНИГНИ, экз. № 115/1388. Верхний байос, зона *subfurcatum*, верхняя подсвита джорской свиты. Северная Осетия, р. Ход.

Название в честь геолога Л.А.Никаноровой.

Форма. Раковина диаметром до 55 мм с медленно нарастающими оборотами овального, сжатого с боков сечения. Бока слабовыпуклые, вентральная сторона закругленная. Жилая камера занимает немного более половины оборота, устье с длинными боковыми ушками.

Размеры, мм, и их соотношения:

№ экз.	Д	В	Ш	Ду	В/Д	Ш/Д	Ду/Д
115/1388	51	15	12	0,29	0,24	0,51	

Скульптура. Ребристость на фрагмоконе острая, сравнительно грубая, на жилой камере становится более тонкой и редкой. Преоб-

ладают двуветвистые ребра, кроме которых на жилой камере присутствуют многочисленные простые и вставные ребра. Ребра на боках серповидно изогнуты вперед, ветвятся несколько кнаружи от середины боков, после чего наклон ребер усиливается и вентральную сторону они переходят с заметным изгибом вперед.

Число боковых ребер на 1/2 оборота – 21, коэффициент ветвления – 1,8.

Сравнение. От *C. cleistus* Buckman, *C. asinus* (Zatwornitzki) отличается кроме прочего редкой и тонкой ребристостью на жилой камере; от тонкоребристого и сходного по форме оборотов *C. balchanense* sp. nov. – более крупными размерами, редкими ребрами, изгибом ребер вперед на боках; от *C. althoffi* (Wetzel) – более редкой и грубой ребристостью и отсутствием полного сглаживания вентральных ребер.

Геологическое и географическое распространение. Материал. Голотип.

Род *Oxysphinctes* Vesnosov, 1981

Oxysphinctes: Безносков, Михайлова, 1981, с. 54.

Типовой вид. *O. kubanense* Vesnosov. Верхний байос, зона *subfurcatum*. Северный Кавказ, р. Кубань, южный склон горы Джангура.

Диагноз. Раковина до 50 мм в диаметре с медленно возрастающими оборотами и слабообъемлющими оборотами. Сечение оборотов фрагмокона округлое и овальное, жилой камеры – копьевидное с заостренной вентральной стороной, посередине которой образуется слабовыраженный киль. Ребристость на фрагмоконе острая, тонкая, состоит из двуветвистых и простых ребер, на жилой камере ребристость сглаживается.

Состав. Типовой вид.

Сравнение. По строению фрагмокона идентичны *Leptosphinctes*, отличаются заострением вентральной стороны жилой камеры.

Распространение. Верхний байос, зона *subfurcatum*, Северный Кавказ.

Oxysphinctes kubanense Vesnosov, 1981

Табл. 12, фиг. 1

Oxysphinctes kubanense: Безносков, Михайлова, 1981, с. 55, табл. 5, фиг. 7.

Голотип. ВНИГНИ, экз. № 115/1486. Верхний байос, зона *subfurca-*

тип, низы верхней джангурской подсветы. Северный Кавказ, р. Кубань, южный склон горы Джангура.

Форма и скульптура. См. диагноз рода.

Размеры, мм, и их соотношения:

№ экз.	Д	В	Ш	Ду	В/Д	Ш/Д	Ду/Д
115/1486	45	14	11	21	0,31	0,25	0,47
	31	11	11	14	0,36	0,36	0,45

Распространение и материал. Голотип.

Род *Bajocisphinctes* Buckman, 1927

Bajocisphinctes: Безносов, Михайлова, 1981, с. 53.

Типовой вид. *Perisphinctes bajociensis* Siemiradzki, 1899 [140, табл. 24, фиг. 40]. Верхний байос. Франция, Сюлли.

Диагноз. Род диморфный. Раковины средних и крупных размеров, максимально до 250 мм в диаметре. Сечение внутренних оборотов фрагмокона овальное приплюснутое, внешних оборотов фрагмокона и жилой камеры – овальное, сжатое с боков. Степень инволютности и относительная ширина пупка меняются в онтогенезе из-за уменьшения степени охвата предшествующих оборотов на поздних стадиях онтогенеза. У макроконхов развиты пережимы и ступени роста. Скульптура состоит из двух и трехветвистых ребер, кроме которых могут присутствовать вставные. Ребра на боках грубее ребер на вентральной стороне. На поздних стадиях онтогенеза ребристость сглаживается, начиная с вентральной стороны. Лопать I полностью рассечена и возникают дополнительные лопасти из седла I_2/I_1 . Формула лопастной линии (V_1V_1) $\cdot UU^1 I_2 \dots \dots I_1 I_3 D$.

Состав. Два подрода: M *Bajocisphinctes* Buckman, 1927, m *Obsoletosphinctes* Besnosov, 1981.

Сравнение. От рода *Leptosphinctes* Buckman отличается присутствием многочисленных трехветвистых ребер, макроконхи, помимо того, массивными оборотами на средних стадиях онтогенеза, развитием спирали по умбональному краю на поздних стадиях, глубоким рассечением лопасти I с образованием новых лопастей из седла I_3/I_1 в области шва.

Замечания. В. Аркелл [43, с. 167] включил *Bajocisphinctes* в синонимику *Bigotites* Nicolesco, от которого он отличается по многим признакам, в том числе по отсутствию вентральной борозды и чередования концов ребер по ее краям – признаков, характеризующих семейство *Parkinsoniidae*, к которому принадлежит *Bigotites*.

Геологическое и географическое распространение. Байос, зоны *subfurcatum* и *garantiana*, Европа, Азия.

ПОДРОД *BAJOCISPINCTES* BUCKMAN, 1927

Bajocispinctes: Buckman, 1927, табл. 713, с. 167.

Bajocispinctes (*Bajocispinctes*): Безносов, Михайлова, 1981, с. 54.

Типовой вид. Соответствует типовому виду рода.

Диагноз. Раковины до 250 мм в диаметре. Жилая камера занимает около оборота, устье с прямыми боковыми краями, развиты пережимы и ступени роста.

Состав. Более 9 видов: *B. bajociensis* (Siemiradzki), *B. nicolecoi* (Grossiuvre), *B. depressus* (Kakhadze et Zesashwili), *B. ultimus* (Kakhadze et Zesashwili), *B. gurami* (Kakhadze et Zesashwili), *B. perspicuus* (Parona), *B. stephanoceratoides* (Kakhadze et Zesashwili), *B. curvatus* (Buckman), *B. lenki* (Schmidtill et Krumbeck).

Сравнение. От *Obsoletosphinctes* отличается крупными размерами, длинной жилой камерой и простым устьем.

Геологическое и географическое распространение. Соответствует распространению рода.

Bajocispinctes depressus (Kakhadze et Zesashwili), 1956

Табл. 11, фиг. 7

Kubanoceras depressum: Кахадзе, Зесашвили, 1956, с. 95, табл. 5, фиг. 5, табл. 6, фиг. 2, 3 (не 4).

Leptosiphinctes depressus: Никанорова, 1972, с. 67, табл. 3, фиг. 2 (только).

? *Leptosiphinctes* (*L.?*) *subcoronatus*: Pavia, 1973, с. 130, табл. 27, фиг. 1 (только).

Leptosiphinctes (*Leptosiphinctes*) *subcoronatus*: Dietl, 1980, с. 12, табл. 2, фиг. 3, табл. 3, фиг. 1. non *Leptosiphinctes depressus*: Никанорова, 1972, табл. 2, фиг. 3; Ростовцев, 1985, с. 164, табл. 46, фиг. 2.

Лектотип. *Kubanoceras depressum* (Кахадзе, Зесашвили, 1956 [18, табл. 6, фиг. 2]). Верхний байос, зона *subfurcatum*. Северный Кавказ, р. Кубань, станция Красногорская [35, с. 164].

Форма. Раковина до 70 мм в диаметре с медленно возрастающими оборотами, охватывающими предшествующие немного менее чем на 1/2 их высоты. Сечение оборотов фрагмокона овальное приплюсну-

тое, в конце фрагмокона и на жилой камере становится округлым и затем овальным, слабо сжатым с боков. Бока и вентральная сторона закругленные, пупок глубокий. Жилая камера занимает немного менее полного оборота. Устье с приустьевым пережимом и последующим раструбом. Пережимы и ступени роста развиты на жилой камере и в конце фрагмокона.

Размеры, мм, и их соотношения:

№ экз.	Д	В	Ш	Ду	В/Д	Ш/Д	Ду/Д
115/1585	47	16	—	21	0,34	—	0,45
115/1577	42	15	14	18	0,36	0,33	0,43

Скульптура. Ребристость острая, грубая, густая, вентральные ребра лишь немного слабее боковых, состоят преимущественно из двухветвистых ребер, кроме которых присутствуют трехветвистые и вставные. Ребра на боках серповидно изогнуты и наклонены вперед. Наклон увеличивается при переходе на вентральную сторону, которую ребра переходят с изгибом вперед, несколько ослабляясь посередине. Ветвление ребер происходит несколько далее середины боков от шва. Число боковых ребер на 1/2 оборота 18, коэффициент ветвления немного более 2. В точке ветвления на фрагмоконе и на задней части жилой камеры развиты острые бугорки.

Сравнение. От других видов подрода отличается грубыми вентральными ребрами и низким коэффициентом ветвления боковых ребер.

Замечания. По характеру скульптуры рассматриваемый вид близок к представителям *Leptosphinctes* (*Leptosphinctes*), однако по быстро нарастающим оборотам идентичен с *Bajocisphinctes* (*Bajocisphinctes*), к которым и отнесен. Голотип "*Leptosphinctes?* (*L.?*) *subcoronatus*" Pavia [114, табл. 26, фиг. 1] неотличим от вида Кахадзе и Зесашвили. Дж. Павиа отмечал сходство его макроконхового *B. subcoronatus* с микроконхами "*Leptosphinctes* (?) (*C.?*)" *interruptus* Pavia. Последний вид отнесен нами к микроконховому подроду *Obsoleptosphinctes* [11] и, вероятно, является микроконхом *B. depressus*. Описанные Л. А. Никаноровой и К. О. Ростовцевым как "*L. depressus*" экземпляры (см. синонимику) отличаются тонкой вентральной ребристостью и принадлежат *B. ultimum* (Kakhadze et Zesashvili).

Геологическое и географическое распространение. Верхний байос, зона subfurcatum, Франция, ФРГ, Северный Кавказ.

Материал. Северный Кавказ, р. Кубань, станция Красногорская, низы верхней джангурской подсвиты — 5 экз.

частые, на средних оборотах фрагмокона они становятся более редкими и гребневидными, в конце фрагмокона — сглаженными и исчезают на жилой камере крупных экземпляров. Ребра на боках серповидно изогнуты, примерно на середине боков делятся на три или две ветви, кроме которых присутствуют вставные ребра. Ветви округлые в сечении, значительно слабее боковых ребер наклонены вперед и с изгибом вперед пересекают вентральную сторону. Сглаживание ветвей происходит раньше боковых ребер. На средних стадиях на 1/2 оборота насчитывается 17–18 ребер, коэффициент ветвления около 3. На внутренних оборотах в точке ветвления развиты острые бугорки.

Сравнение. От *B. bajociense* (Siemiradzki) отличается быстрее нарастающими в высоту оборотами и более густой боковой ребристостью; от *B. schmiereri* (Schmidtill et Krumbek) — более густой боковой и тонкой вентральной ребристостью, несколько медленнее возрастающими оборотами и их сечением.

Геологическое и географическое распространение. Байос, зона *subfurcatum*, Северный Кавказ, Западная Туркмения.

Материал. Северный Кавказ, р. Кубань и гора Джангура, низы верхней джангурской подсвиты — 10 экз., Туркмения, Большой Балхан, южнее колодцев Порсайман — 2 экз. различной сохранности.

Bajocisphinctes perspicuus (Parona), 1896

Табл. 12, фиг. 4

Perisphinctes perspicuus: Parona, 1896, с. 23, табл. 5, фиг. 5.

Leptosphinctes (subg?) *perspicuus*: Sturani, 1971, с. 171, табл. 15, фиг. 3–5, 10, 11.

Leptosphinctes (L.) cfr. *perspicuus*: Pavia, 1973, с. 129, табл. 26, фиг. 2.

Leptosphinctes (?*Cleistosphinctes*) *perspicuus*: Dietl, 1980, с. 25, табл. 10, фиг. 7.

Лектотип. *Perisphinctes perspicuus* Parona, 1896 [111, табл. 2, фиг. 5]. Переизображен: [149, табл. 15, фиг. 6]. Байос, зона *subfurcatum*. Италия, Венецианские Альпы.

Форма. Раковины с медленно возрастающими оборотами, объемлющими предшествующие на 1/3 их высоты. Сечение оборотов прямоугольно-округлое. Бока и вентральная сторона слабовыпуклые, пупок глубокий. Развиты пережимы и ступени роста.

Размеры, мм, и их соотношения:

№ экз.	Д	В	Ш	Ду	В/Д	Ш/Д	Ду/Д
115/1684	48	16	15	22	0,33	0,31	0,46

Скульптура. Ребристость простая, состоит из двух- и трехветвистых ребер, кроме которых присутствуют вставные. Ребра на боках

грубые, прямые, радиальные или слабо наклоненные вперед, ветвятся близ 2/3 высоты боков от шва. Ветви слабее боковых ребер, слабо изогнуты вперед, вентральную сторону пересекают, ослабляясь, с образованием на ядре гладкой полосы. Число боковых ребер на 1/2 оборота 19, коэффициент ветвления 2, 4.

Сравнение. Описываемый вид по форме раковины очень близок к *V. depressus* (Kakhadze et Zesashwili), отличается от него меньшим наклоном ребер вперед, более слабой вентральной ребристостью, большим числом трехветвистых ребер.

Замечания. Вид подробно рассмотрен Г. Дитлом [60], отнесшим его к микроконхам *Leptosphinctes* (?*Cleistosphinctes*)? По характеру скульптуры и развитию пережимов, сопровождаемых ступенями роста, этот вид принадлежит *Vajocisphinctes*. Основаниями для его отнесения к макроконховому подроду служит, помимо характера ребристости и пережимов, большая длина сохранившейся части жилой камеры у нашего образца и экземпляра, изображенного Дж. Павиа (см. синониму).

Геологическое и географическое распространение. Верхний байос, зона *subfurcatum*, Франция, Италия, ФРГ, Кавказ.

Материал. Северный Кавказ, р. Кубань, станция Красногорская, низы верхней джангурской подсвиты – 1 экз.

ПОДРОД *OBSOLETOSPHINCTES* BESNOSOV, 1981

Vajocisphinctes (*Obsoletosphinctes*): Безносков, Михайлова, 1981, с. 54.

Типовой вид. *Leptosphinctes* (*Cleistosphinctes*) *obsoletus* Pavia, 1973 [114, с. 134, табл. 27, фиг. 3, 8].

Диагноз. Раковины мелких и средних размеров, до 100 мм в диаметре. Жилая камера занимает около 2/3 оборота, устье с боковыми ушками ложковидной формы.

Состав. Три вида: *O. obsoletus* (Pavia), *O. interruptus* (Pavia), *O. guramiformis* Besnosov sp. nov.

Сравнение. От подрода *Vajocisphinctes* отличается малыми размерами, короткой жилой камерой и устьем с боковыми ушками.

Геологическое и географическое распространение. Байос, зона *subfurcatum*, Франция, ФРГ, Северный Кавказ.

Obsoletosphinctes interruptus (Pavia), 1973

Табл. 13, фиг. 2

Leptosphinctes? (*Cleistosphinctes*?) *interruptus*; Pavia, 1973, с. 135, табл. 28, фиг. 1, 2, 6.

? *Leptosphinctes* (*Cleistosphinctes*) "*interruptus*"; Dietl, 1980, с. 23, табл. 10, фиг. 3.

Голотип. *Leptosphinctes (Cleistosphinctes) interruptus* Pavia, 1973 [114, табл. 28, фиг. 1]. Байос, зона *subfurcatum*, подзона *baculatum*, Франция, Нижние Альпы.

Форма. Раковины до 70 мм в диаметре, с относительно быстро нарастающими оборотами, охватывающими предшествующие на 1/3 их высоты. Сечение оборотов фрагмокона прямоугельно-округлое, жилой камеры – прямоугельно-овальное, сжатое с боков. Бока слабывпуклые, вентральная сторона закругленная.

Размеры, мм, и их соотношения:

№ экз.	Д	В	Ш	Ду	В/Д	Ш/Д	Ду/Д
115/1411	46	15	13	19	0,32	0,28	0,41
115/1854	37	11	11	17,5	0,29	0,29	0,47
115/3003	38	11	10	20	0,28	0,26	0,52
115/1593	30	10	10	15	0,33	0,33	0,50

Скульптура. Ребристость густая, сравнительно грубая, состоит из двуветвистых ребер, кроме которых присутствуют простые, вставные и единичные трехветвистые ребра. Ребра на боках прямые или слабо серповидно изогнутые, в различной степени наклонены вперед, ветвятся несколько далее середины боков, после чего с наклоном вперед переходят вентральную сторону, ослабляясь по ее середине в задней части жилой камеры и на фрагмоконе. Число ребер на 1/2 оборота 18–21, коэффициент ветвления около 2. В точке ветвления на ребрах на фрагмоконе развиты острые бугорки.

Сравнение. От *O. obsoletus* (Pavia) и *O. guramiformis* sp. nov. отличается кроме прочего малым числом трехветвистых ребер и относительно грубыми вентральными ребрами.

Замечания. По форме раковины и скульптуре описываемый микроконх очень сходен с макроконхом *B. depressus* (Kakhadze et Zesashwili). На это сходство ранее указывал Павиа [114], сравнивая *O. interruptus* с *M. "Leptosphinctes? (L. ?) subcoronatus"* Pavia, включенным нами в синонимичку *B. depressus*. Г. Дитл [60], указав, что Павиа объединил под названием *L. (C.) interruptus* достаточно различные формы, под этим же названием изобразил экземпляр, отличающийся от голоти́па и синтипов значительно более широким пупком.

Геологическое и географическое распространение. Верхний байос, зона *subfurcatum*. Франция, Северный Кавказ.

Материал. Северный Кавказ, р. Кубань, станция Красногорская, низы верхней джангурской подсвиты – 4 экз.

Obsoletosphinctes guramiformis Besnosov sp. nov.

Табл. 11, фиг. 5, 6

Vajocisphinctes (Obsoletosphinctes) sp.; Безносков, Михайлова, 1981, табл. 5, фиг. 6.

Синголотип. ВНИГНИ, экз. № 115/1490 и 115/1493. Верхний байос, зона *subfurgatum*. Северный Кавказ, р. Кубань, южный склон горы Джангура.

Название вида произведено от видового названия *M. B. gurami* (Kakhadze et Zesashwili).

Форма. Раковина до 60 мм в диаметре с неравномерно нарастающими в высоту оборотами, объемлющими предшествующие на 1/3 их высоты. Сечение внутренних оборотов фрагмокона овальное, приплюснутое, внешних оборотов фрагмокона – округлое и овальное, жилой камеры – высокоовальное, сжатое с боков. Бока слабовыпуклые, вентральная сторона закругленная. Жилая камера занимает более половины оборота, устье с боковыми ушками, на жилой камере присутствуют мелкие пережимы.

Размеры, мм, и их соотношения:

№ экз.	Д	В	Ш	Ду	В/Д	Ш/Д	Ду/Д
115/1490	59	18	14	27	0,31	0,24	0,46
115/1493	—	14	12	—	—	—	—
	—	7	7,5	—	—	—	—

Скульптура. Боковая и вентральная ребристость дифференцирована. Ребра на боках внутренних оборотов фрагмокона острые, грубые, частые. На боках жилой камеры они становятся редкими, гребневыми близ умбонального перегиба и широкими и уплощенными посередине боков, где ребра расщепляются на 2–3 ветви, кроме которых присутствуют вставные ребра. Ребра на боках серповидно изогнуты, наклон ветвей усиливается и вентральную сторону они переходят с изгибом вперед, ослабляясь по ее середине. Число ребер на боках жилой камеры на 1/2 оборота составляет 40, коэффициент ветвления около 3.

Сравнение. От *O. obsoletus* (Pavia) отличается высокоовальным сечением жилой камеры; от *O. interruptus* – более слабой ребристостью жилой камеры, преобладанием трехветвистости ребер.

Замечания. Описываемый микроконх по скульптуре и изменениям формы раковины в онтогенезе сходен с макроконхом *B. gurami* (Kakhadze et Zesashwili).

Геологическое и географическое распространение, материал. Северный Кавказ, р. Кубань, южный склон горы Джангу-

ра и окрестности станицы Красногорская, низы верхней джангурской подсветы, верхний байос, зона *subfurcatum* – три фрагмента, включая почти полную жилую камеру.

Род *Franchia* Sturani, 1967

Zigzagiceras (*Franchia*): Sturani, 1967, с. 52.

Franchia: Безносков, Михайлова, 1981, с. 56.

Типовой вид *Zigzagiceras* (*Franchia*) *arkelli* Sturani, 1967 [148, табл. 18, фиг. 4]. Нижний бат, подзона *convergens*. Франция, Нижние Альпы.

Диагноз. Макроконховый род с раковинами до 260 мм. Сечение оборотов фрагмокона овальное, округлое или приплюснутое, жилой камеры – округлое или овальное. Жилая камера занимает около целого оборота, устье с прямыми боковыми краями. Внутренние обороты фрагмокона до 25–30 мм несут параболические валики (“стадия *zigzag*”), внешние обороты фрагмокона и жилая камера – пережимы. Ребристость внутренних оборотов фрагмокона острая, густая, состоит из простых и двуветвистых ребер. На внешних оборотах фрагмокона и на жилой камере чередуются дву- и трехветвистые ребра, присутствуют вставные ребра. Боковые ребра становятся редкими, широкими, приглушенными, вентральные ребра посередине вентральной стороны ослабевают до образования гладкой полосы.

Состав. Три вида: *Franchia arkelli* Sturani, *F. quenstedti* (Сибирякова), *F. tliisense* Безносков sp. nov.

Сравнение. От рода *Procerites* отличается развитием пережимов, от *Zigzagiceras* – короткой стадией “*zigzag*”, ограниченной внутренними оборотами фрагмокона.

Замечания. Микроконхи, соответствующие макроконхам *Franchia*, таксономически не выделены. Совместно с *Franchia* встречены специфические мелкие *Siemiradzka* типа *S. stephanovi* Mangold, *S. rugosa* Stephanov и др., возможно представляющие микроконхи этого рода [11, с. 57].

Геологическое и географическое распространение. Нижний бат, Франция, Кавказ, Средняя Азия.

Franchia quenstedti (Сибирякова), 1961

Табл. 13, фиг. 1, 6

Procerites quenstedti: Сибирякова, 1961, с. 50, табл. 6, фиг. 1, 2.

Franchia quenstedti: Безносков, Михайлова, 1981, табл. 6, фиг. 5.

Лектотип. *Procerites quenstedti* (Сибирякова, 1961 [36, с. 50, табл. 6, фиг. 2]).

Форма. Раковина средних размеров. Сечение наружных оборотов трапециевидно- или прямоугольно-овальное с уплощенными боками и закругленной вентральной стороной. Пупок широкий с невысокими крутыми стенками. Параболические ребра присутствуют начиная с диаметра около 5 мм, при диаметре более 6 мм они маскируются ребристостью, исчезая к диаметру около 20 мм. Пережимы 1–2 на оборот, неглубокие.

Скульптура. Внутренние обороты фрагмокона на боках несут частые острые ребра. При диаметре более 30 мм боковые ребра редуют и грубеют, превращаясь при диаметре более 50 мм в редкие широкие ребра, уплощающиеся посередине боков, и затем расщепляются на две три ветви, кроме которых постоянно присутствуют вставные ребра.

Сравнение. От *F. arkelli* Sturani отличается более густой ребристостью внутренних оборотов и более тонкими и шире расставленными ребрами на внешних.

Замечания. Л. В. Сибирякова [36, с. 50] предложила новое видовое название без указания голотипа и ошибочно датировала описываемый род поздним батом. В синонимичку предложенного вида ею включен *Ammonites gervillei grandis* Quenstedt [121, табл. 64, фиг. 9] из нижнего байоса, принадлежащий роду *Emileia*. Наши образцы являются топотипами. По характеру развития стадии zigzag, наличию пережимов на внешних оборотах и скульптуре они соответствуют признакам рода *Franchia*.

Материал. Большой Балхан, колодцы Девона, нижняя меуламская подсвита, нижний бат, пять неполных экземпляров; шесть неполных экземпляров, близких к описываемому виду, но отличающихся более массивными оборотами и густой боковой ребристостью, происходят из кровли меуламской свиты в разрезе горы Геркез.

Franchia tlisiense Besnosov sp. nov.

Табл. 13, фиг. 4, табл. 14, фиг. 4

Голотип. ВНИГНИ, экз. № 115/1272. Верхняя цудахарская подсвита, нижний бат. Дагестан, сел. Тлиси.

Название по типовому местонахождению.

Форма. Раковины средних размеров с умеренно нарастающими внутренними оборотами фрагмокона и быстро нарастающими внешними оборотами. Сечение внутренних оборотов фрагмокона округлое, внешних – овальное, с наибольшей шириной ближе к пупку. Бока внешних оборотов уплощенные, вентральная сторона закругленная. Пупковые стенки невысокие, крутые. Относительная ширина пупка уменьшается с возрастом. Параболические валики развиты до диаметра 25 мм, на внешних оборотах присутствуют нечеткие пережимы.

Размеры, мм, и их соотношения:

№ экз.	Д	В	Ш	Ду	В/Д	Ш/Д	Ду/Д
115/1272	—	14	15	—	—	—	—
115/4118	—	27	24	—	—	—	—
115/1274	46	14	—	22	0,30	—	0,48
115/1273	28,5	8,5	10	14	0,30	0,35	0,49

Скульптура. Внутренние обороты фрагмокона покрыты частыми преимущественно двуветвистыми ребрами, кроме которых присутствуют простые и вставные. На внешних оборотах фрагмокона и на жилой камере преобладают трехветвистые ребра, присутствуют также двуветвистые. Боковая ребристость здесь становится более редкой и грубой.

Сравнение. От *F. arkelli Sturani* отличается быстрее нарастающими в высоту и толщину оборотами, более узким пупком и более тонкой ребристостью; от *F. quenstedti (Sibirjakova)* — более частыми и тонкими боковыми ребрами в конце фрагмокона и на жилой камере.

Материал. Дагестан, верхняя цудахарская подсвита, нижний бат, сел. Тлиси — 3 экз., сел. Корода — 3 экз., все экземпляры неполные, плохой сохранности.

Род *Procerites* Siemiradzki, 1898

Procerites: Mangold, 1970, с. 22; Безносков, Михайлова, 1981, с. 57.

Типовой вид. *Ammonites schloenbachi* Grossouvre, 1907, = *Ammonites procerus* Schloenbach, 1865 [137, 38, табл. XXX, фиг. 1] non *Procerites (Siemiradzki) procera* (Seebach). Нижний бат. ФРГ, Аймен.

Диагноз. Диморфный род, представители которого несут на внутренних оборотах бугорчатовидные параболические ребра. Макро- и микроконхи на уровне видов не отождествляются и рассматриваются как подроды.

Состав. Два подрода: *M Procerites* Siemiradzki, 1898, m *Siemiradzki* Hyatt, 1900.

Сравнение. От рода *Franchia* Sturani отличается отсутствием пережимов; от рода *Zigzagiceras* Buckman — короткой стадией с параболическими ребрами; от гомеоморфных *Gracilisphinctinae* (роды *Prorsisphinctes* и *Gracilisphinctes*) — развитием стадии "zigzag" в онтогенезе.

Геологическое и географическое распространение. Верхний байос, зона *parkinsoni* — бат, Европа, Кавказ, Средняя Азия.

Procerites: Siemiradzki, 1898, с. 78; Arkell, 1957, с. 315; 1958, с. 171; Hahn, 1969, с. 47.

Procerites (Procerites): Mangold, 1970; с. 23; Безъкоsov, Михайлова, 1981, с. 58.

Zigzagites: Buckman, 1922, табл. 300.

Parkinsonites: Buckman, 1922, табл. 301.

Euprocerites: Wetzel, 1950, с. 76.

Типовой вид. Соответствует типовому виду рода.

Диагноз. Раковины до 500 мм. Сечение оборотов овальное, сжатое с боков или округлое. Пупок широкий. Жилая камера занимает около одного оборота. Устье с прямыми наклоненными вперед боковыми краями. Бугорчатовидные параболические ребра развиты до диаметра раковины 5–10 мм, позже исчезают. Пережимов нет. Внутренние обороты фрагмокона при диаметре раковины до 30–40 мм несут частые, острые, простые и двуветвистые ребра, которые при больших размерах постепенно сменяются более редкими и грубыми дву- и трехветвистыми ребрами, чередующимися со вставными. В конце фрагмокона и на жилой камере боковые и несколько позже вентральные ребра могут сглаживаться. Лопастная линия сильно расчленена с глубокой суспенсивной лопастью.

Состав. Родовое название *Procerites* широко использовалось в литературе для описания разнообразных перисфинктид бата. Строение внутренних оборотов большинства из этих видов неизвестно, что затрудняет определение их родовой принадлежности. Достоверно известно более 13 видов: *P. schloenbachi* (Grossouvre), *P. subprocerus* (Buckman), *P. clausiprocerus* (Buckman), *P. hodsoni* Arkell, *P. fowleri* Arkell, *P. tmetolobus* Buckman, *P. quercinicus* (Terquem et Jourdy), *P. wattonensis* Arkell, *P. incognitus* Arkell, *P. subcongenor* Lissajous, *P. laeviplex* (Quenstedt), *P. stephanovi* Hahn, *P. eichbergensis* Hahn.

Сравнение. От *Siemiradzki* Hyatt отличается крупными размерами, длинной жилой камерой и устьем с прямыми боковыми краями.

Геологическое и географическое распространение соответствует распространению рода.

Procerites cf. *schloenbachi* (Grossouvre), 1907

Табл. 13, фиг. 3

cf. *Ammonites procerus*: Schloenbach, 1965, с. 38, табл. 36, фиг. 1; Grossouvre, 1892, табл. 41.

cf. *Ammonites schloenbachi*: Grossouvre, 1907, с. 8.

cf. *Procerites schloenbachi*: Grossouvre, 1919, с. 388; Arkell, 1957, с. 181, табл. 21, фиг. 9, фиг. 62, 66 в тексте; Sturani, 1967, с. 43, табл. 14, фиг. 2, табл. 17, фиг. 4.

Лектотип. *Ammonites procerus* Schloenbach, 1865 [137, табл. 30, фиг. 1]. Переизображен: [45, фиг. 62 в тексте]. Нижний бат. ФРГ, Аймен.

Форма. Фрагмент фрагмокона крупного аммонита характеризуется быстрым нарастанием в высоту овальных в сечении оборотов и сравнительно узким пупком.

Размеры, мм, и их соотношения:

№ экз.	Д	В	Ш	Ду	В/Д	Ш/Д	Ду/Д
115/1291	—	41	33	—	—	—	—

Скульптура. Ребра радиальные и слабо серповидно изогнутые двуветвистые и простые, сопряженные с вставными, заметно усиливаются на вентральной стороне.

Сравнение. По форме раковины и скульптуре описываемый экземпляр очень близок к изображениям *P. schloenbachi* (см. синониму).

Материал. Дагестан, сел. Датуна, верхняя часть средней цудахарской подсвиты, низы нижнего бата — один фрагмент фрагмокона.

Procerites laeviplex (Quenstedt), 1887

Табл. 14, фиг. 1

Ammonites laeviplex: Quenstedt, 1887, с. 684, табл. 80, фиг. 10.

Procerites laeviplex: Hahn, 1969, с. 48, табл. 7, фиг. 2, табл. 8, фиг. 1; Безносков, Михайлова, 1981, табл. 6, фиг. 2.

Parkinsonites fullonicus: Buckman, 1922, табл. 302.

Procerites fullonicus: Arkell, 1958, с. 189, табл. 24, фиг. 1—4; Stephanov, 1961, с. 348, табл. 7, фиг. 1; Sturani, 1967, с. 43, табл. 12, фиг. 3, табл. 17, фиг. 5.

Лектотип. *Ammonites laeviplex* Quenstedt, 1887 [121, табл. 80, фиг. 10]. Нижний бат. ФРГ, Энинген.

Форма. Раковины крупные, более 300 мм. Сечение оборотов овальное, с наибольшей шириной близ умбонального перегиба. Бока слабывыпуклые, сближаются к закругленной вентральной стороне. Пупок широкий, с возрастом его относительные размеры увеличиваются. Умбональные стенки невысокие, крутые на средних оборотах, выполаживаются и сливаются с боками на наружных.

Размеры, мм, и их соотношения:

№ экз.	Д	В	Ш	Ду	В/Д	Ш/Д	Ду/Д
115/6242	167	64	46	61	0,38	0,28	0,36
115/6241	165	—	—	61	—	—	0,37
	143	53	47	38	0,37	0,265	0,34
115/6244	220	70	—	93	0,32	—	0,41

Скульптура. Внутренние обороты, до 35 мм, несут на боках острые, частые ребра. При больших размерах ребра постепенно редуют и грубеют. При диаметре около 150 мм ребра ветвятся несколько снаружи от середины боков на 2 или на 3, одна или две из ветвей слабо связаны с боковым ребром. При больших размерах преобладают широкие пологие простые ребра, сопряженные с одним — двумя вставными ребрами. При диаметре более 180 мм ребра сглаживаются, начиная с боков.

Сравнение. От *P. schloenbachi* (Grossouvre) отличается медленнее нарастающими в высоту оборотами и менее регулярной скульптурой.

Геологическое и географическое распространение. Нижний бат, зона zigzag, Европа, Западная Туркмения.

Материал. Туаркыр, хр. Огрыдаг, основание верхней трети огрыдагской свиты, два крупных фрагмента и один фрагмент фрагмента с частью жилой камеры.

Procerites fowleri Arkell, 1958

Табл. 15, фиг. 1

Procerites fowleri: Arkell, 1958, с. 191, табл. 24, фиг. 5, фиг. 69 в тексте; Sturani, 1967, с. 44, табл. 13, фиг. 5, табл. 15, фиг. 4, табл. 17, фиг. 6.

Голотип. *Procerites fowleri* Arkell, 1958 [43, фиг. 69 в тексте, табл. 24, фиг. 5]. Нижний бат. Англия, Шерборн.

Форма. Раковины более 300 мм с медленно нарастающими оборотами в высоту овального сечения. Бока плоские, вентральная сторона закругленная. Пупок широкий, мелкий с невысокими крутыми стенками, выполаживающимися на внешних оборотах. Жилая камера занимает 7/8 оборота. Устьевой край на боках круто наклонен вперед, со слабым вентральным выступом.

Размеры, мм, и их соотношения:

№ экз.	Д	В	Ш	Ду	В/Д	Ш/Д	Ду/Д
115/1243	270	72	26	126	0,27	0,21	0,47

Скульптура. Внутренние обороты, до 35 мм в диаметре, покрыты острыми, частыми ребрами. При больших размерах ребра на боках редуют, становятся широкими, полностью ребристость сглаживается к концу фрагмокона.

Сравнение. От совместно встречающегося *P. laeviplex* (Quenstedt) отличается медленно нарастающими оборотами, широким пупком и ранее сглаживающейся ребристостью.

Геологическое и географическое распространение. Нижний бат, Англия, Франция, Средняя Азия.

Материал. Туаркыр, хр. Огрыдаг, основание верхней трети огрыдагской свиты – 1 экз. хр. Кугитангтау, сай Вандоб, средняя тангидувальская подсвита – 1 экз., урочище Тангидувал; тот же уровень – 1 экз.

Procerites lissajousi Besnosov sp. nov.

Табл. 17, фиг. 1

? *Perisphinctes (Zigzagiceras) clausiprocerum*: Lissajous, 1923 [94, с. 85, табл. 11, фиг. 2].

Голотип. ВНИГНИ, экз. № 115/1229. Пограничные слои среднего-верхнего бата, верхняя часть тангидувальской свиты. Хр. Кугитангтау, сел. Кызылалма.

Название – в честь палеонтолога М. Лиссажу.

Форма. Раковины до 120–150 мм с быстро нарастающими в высоту оборотами овального сечения. Бока слабовыпуклые, сближаются к закругленной вентральной стороне. Пупок средних размеров, с отвесными невысокими стенками. Параболические валики выражены на внутренних оборотах фрагмокона до появления ребристости при диаметре около 6 мм.

Размеры, мм, и их соотношения:

№ экз.	Д	В	Ш	Ду	В/Д	Ш/Д	Ду/Д
115/1229	95	38	34	32	0,40	0,36	0,34
115/796	99	41	36	32	0,41	0,36	0,32
115/538	69	28	–	24	0,405	–	0,35

Скульптура. Внутренние обороты фрагмокона до диаметра 30 мм покрыты острыми частыми ребрами. При больших размерах ребра редуют и грубеют, разделяясь близ середины боков на две, реже на три ветви, кроме которых присутствуют вставные ребра. При диаметре более 75 мм число ветвей и вставных ребер, приходящихся на одно боковое ребро, сокращается. Боковые ребра уплощаются и при диаметре

более 100 мм полностью сглаживаются, вентральные ребра прослеживаются до диаметра около 120 мм.

Сравнение. От сходного по форме раковины, размерам и скульптуре раннебатского *P. clausiprocerum* (Busckman) отличается более широким пупком и несколько более редкой ребристостью на боках; от гомеоморфного одновозрастного *Gracilisphinctes twinhoensis* (Arkell) – отсутствием пережимов на внутренних оборотах.

З а м е ч а н и я. М. Лиссажу [94] под названиями "*Perisphinctes (Zigzagiceras) clausiprocerum*" и *P. (Z.) arbustigerus*" изобразил формы из пограничных слоев среднего–верхнего бата, сходные по форме раковин с описываемым видом. Большинство из них, однако, несет пережимы, т.е. принадлежит *Gracilisphinctes*. Экземпляр, включенный с ? в синониму вида, не показывает пережимов, однако наличие стадии zigzag у него не показано.

Геологическое и географическое распространение. Верхи среднего–низы верхнего бата, Франция (?), Юго-Западный Гиссар.

М а т е р и а л. Юго-Западный Гиссар, верхняя часть тангидувальской свиты, хр. Кугитангтау, сай Вандоб – 2 экз., сел. Кызылалма – 1 экз., урочище Тангидувал – 1 экз., урочище Санджар – 2 экз.

ПОДРОД *m* *SIEMIRADZKIA* NYATT, 1900

Siemiradzka: Hjatt, 1900, с. 582; Arkell, 1958, с. 212; Hahn, 1969, с. 39.

Siemiradzka (Siemiradzka): Westermann, 1958, с. 78; Stephanov, 1972, с. 35.

Procerites (Siemiradzka): Mangold, 1970, с. 31; Безносков, Михайлова, 1981, с. 58.

Типовой вид. *Ammonites aurigerus* Oppel, 1857.

Лектотип. *Ammonites bakeriae* d'Orbigny, 1847 [109, табл. 149, фиг. 1]; неотип типового вида *Grossouvria aurigera* Grossouvre, 1919 [82, с. 385, табл. 15, фиг. 6]. Нижний бат. Франция. Установлен: [43, с. 212].

Д и а г н о з. Раковины мелкие и средние с короткой, до 3/4 оборота жилой камерой и устьем с боковыми ушками. Помимо параболических ребер, развитых на внутренних оборотах фрагмокона, на его внешних оборотах и на жилой камере присутствуют параболические ребра и бугорки.

Состав. Более 18 видов: *S. aurigera* (Oppel), *S. lochenensis* Hahn, *S. procera* (Seebach), *S. irregularis* Stephanov, *S. repljanensis* Stephanov, *S. bucharica* (Nikitin), *S. arkelliana* Stephanov, *S. pseudorjasanensis* (Lissajous), *S. davitashvili* Stephanov, *S. strungenensis* Stephanov, *S. matisconensis* (Lissajous), *S. pinguus* (Lissajous), *S. berthae* (Lissajous), *S. nodosa* Mangold, *S. galla* Step-

hanov, *S. pygmae* Stephanov, *S. caucasica* Stephanov, *S. demariae* (Parona et Bonarelli), *S. lenthayensis* Arkell.

Сравнение. От подрода *Procerites* отличается меньшими размерами, короткой жилой камерой, устьем с боковыми ушками, сохранением параболических образований вплоть до жилой камеры, от гомеоморфных совместно встречающихся микроконхов *Gracilisphinctes* (*Prevalia*) и *Choffatia* (*Grossouvria*) – отсутствием пережимов и развитием стадии zigzag на внутренних оборотах фрагмокона; от *Prorsisphinctes* (*Planisphinctes*) – развитием стадии zigzag и параболических образований на фрагмоконе и жилой камере.

Геологическое и географическое распространение. Соответствует распространению рода.

Siemiradzka stephanovi Mangold, 1970

Табл. 13, фиг. 5, табл. 15, фиг. 4

Procerites (*Siemiradzka*) *stephanovi*: Mangold, 1970, с. 35, табл. 5, фиг. 5, фиг. 17 в тексте.

"*Siemiradzka*" *stephanovi*: Безносков, Михайлова, 1981, табл. 6, фиг. 5.

Siemiradzka (*Siemiradzka*) *britannica*: Stephanov, 1972, с. 56.

Siemiradzka aff. *aurigera*: Arkell, 1958, с. 227, табл. 33, фиг. 10.

Голотип. *Procerites* (*Siemiradzka*) *stephanovi* Mangold, 1970 [96, табл. 5, фиг. 5]. Нижний бат. Франция, Эн.

Форма. Раковины до 50 мм, с медленно возрастающими слабообъемлющими оборотами овального сечения. Бока слабовыпуклые, вентральная сторона закругленная, узкая. Пупок очень широкий, мелкий. Жилая камера занимает 3/4 оборота, устье с боковыми ушками. Внутренние обороты несут параболические ребра и бугорки, с возрастом параболические ребра слабеют, а бугорки становятся резче, сохраняясь до жилой камеры включительно.

Размеры, мм, и их соотношения:

№ экз.	Д	В	Ш	Ду	В/Д	Ш/Д	Ду/Д
115/3023	41	13	11	19	0,32	0,27	0,45
115/3029	32	10	9	16	0,31	0,28	0,50
115/3028	29	9	8,5	13	0,31	0,29	0,45

Скульптура. Фрагмокон покрыт частыми двуветвистыми и простыми ребрами. На жилой камере преобладают простые ребра.

Сравнение. От синхронных *S. aurigera* (Orpel) и *S. procera* (Seebach) отличается прежде всего меньшими размерами, от внутренних оборотов этих видов – медленно нарастающими, более сжаты-

ми с боков оборотами, более тонкой ребристостью и большим количеством простых ребер.

Замечания. Ш. Мангольд [96] включил в синонимику установленного им вида *Siemiradzkia* aff. *aurigera* Arkell [43, табл. 33, фиг. 10]. Последняя форма Н. Стефановым [145, с. 56] выбрана в качестве лектотипа предложенного им вида *S. (S.) britanica*. Следуя более ранней публикации Мангольда, *S. britanica* включена в синонимику описываемого вида.

S. stephanovi Mangold и близкие к ней карликовые формы раннего бата, возможно, представляют собой микроконхи не *Procerites*, а *Franchia*. Однако отсутствие оригинальных признаков, отличающих их от типового вида подрода *Siemiradzkia*, не позволяют таксономически обособить эту группу.

Геологическое и географическое распространение. Нижний бат, Англия, Франция, Западная Туркмения.

Материал. Большой Балхан, колодцы Девона, нижняя меуламская подсвита — 6 экз.

Siemiradzkia aurigera (Oppel), 1857

Табл. 14, фиг. 2, 3

Ammonites aurigerus: Oppel, 1857, с. 476.

Grossouvreia aurigera: Grossouvre, 1919, с. 385, табл. 15, фиг. 6—8.

Siemiradzkia aurigera: Arkell, 1959, с. 227, табл. 32, фиг. 8, 10; Sturani, 1967, с. 53, табл. 18, фиг. 3, табл. 24, фиг. 1, 4, 5; Nahn, 1969, с. 40, табл. 1, фиг. 4—6, табл. 4, фиг. 6.

Siemiradzkia (Siemiradzkia) aurigera: Westermann, 1958, с. 78, табл. 36, фиг. 2; Stephanov, 1972, с. 37, табл. 3, фиг. 1.

Ammonites bakeriae: d'Orbigny, 1847, табл. 149, фиг. 10.

Siemiradzkia (Siemiradzkia) regularis: Stephanov, 1972, с. 57, табл. 11, фиг. 3.

Лектотип. *Ammonites bakeriae* d'Orbigny, 1847 [109, табл. 149, фиг. 1]. Оригинал утрачен. Неотип *Grossouvreia aurigera* Grossouvre, 1919 [82, табл. 15, фиг. 6]. Нижний бат. Франция, Ньевр. Лектотип и неотип установлены и переизображены: [43].

Форма. Раковины до 100 мм с медленно возрастающими оборотами овального и прямоугольно-овального сечения. Бока слабовыпуклые, вентральная сторона закругленная. Пупок широкий мелкий. Жилая камера занимает 3/4 оборота, устье с боковыми ушками. На внутренних оборотах фрагмокона развиты параболические валики, на внешних и на жилой камере — параболические бургорки.

Размеры, мм, и их соотношения:

№ экз.	Д	В	Ш	Ду	В/Д	Ш/Д	Ду/Д
115/2084	42	18	13	17	0,33	0,31	0,41
115/1922	43	14	13	20	0,33	0,30	0,47
115/3051	35	12	11	16	0,34	0,31	0,46

Скульптура. Ребристость фрагмокона тонкая, густая, состоит из двуветвистых ребер, чередующихся с простыми, присутствуют вставные ребра. На жилой камере ребристость грубеет и становится нерегулярной, преобладают простые ребра.

Сравнение. От *S. prosera* (Seebach) отличается большим количеством простых ребер и нерегулярной ребристостью на жилой камере; от *S. arkelliana* Stephanov — менее грубой ребристостью, более выпуклыми боками и менее сжатым с боков сечением оборотов.

Геологическое и географическое распространение. Нижний бат, Европа, Средняя Азия.

Материал. Большой Балхан, верхняя меуламская подсвета, гора Геркез — 5 экз., гора Ишекиол — 1 экз., хр. Кугитангтау, сай Вандоб, средняя таян идувальская подсвета — 1 экз.

Siemiradzka prosera (Seebach), 1864

Табл. 15, фиг. 2, 3

Procerites (Phaulozigzag) procerus: Westermann, 1958, с. 77, табл. 34, фиг. 1, 2.

Siemiradzka prosera: Hahn, 1969, с. 42, табл. 4, фиг. 4, табл. 8, фиг. 3, 4, табл. 9, фиг. 2, 4; Stephanov, 1972, с. 41, табл. 4, фиг. 1.

Grossouvreia curigera: Grossouvre, 1919, табл. 15, фиг. 4, 5.

Лектотип. *Siemiradzka prosera* Stephanov, 1972 [145, т. 4, фиг. 1]. Нижний бат. ФРГ, Хильс.

Форма. Раковины до 60—70 мм, с умеренно быстро нарастающими оборотами округлого или прямоугольно-свального сечения. Бока выпуклые, вентральная сторона закругленная, пупок широкий, относительно глубокий. На внутренних оборотах фрагмокона развиты параболические выгибы, на внешних оборотах и на жилой камере — параболические бугорки.

Размеры, мм, и их соотношения:

№ экз.	Д	В	Ш	Ду	В/Д	Ш/Д	Ду/Д
115/3089	54	19	19	23	0,35	0,35	0,45

Скульптура. Фрагмокон покрыт тонкими, преимущественно двуветвистыми ребрами, ветвящимися близ вентрального перегиба. На жилой камере двуветвистые ребра нерегулярно чередуются с простыми и вставными, точка ветвления ребер смещается в наружную треть боков.

Сравнение. От одновозрастной *S. aurigera* (Orpel) отличается менее сжатыми с боков оборотами и более регулярной ребристостью.

Геологическое и географическое распространение. Нижний бат, Европа, Средняя Азия.

Материал. Большой Балхан, коподцы Девона, нижняя меуламская подсвета – 2 экз.

Siemiradzka bucharica (Nikitin), 1889

Табл. 17, фиг. 2

Perisphinctes bucharicus: Никитин, 1889, с. 83, табл. 8, фиг. 1–4.

Siemiradzka bucharica: Аманниязов, 1967, с. 108, табл. 1, фиг. 1.

Siemiradzka pseudorjasanensis: Крымголец, Захаров, 1971, с. 23, табл. 4, фиг. 2, табл. 5, фиг. 2.

Голотип. *Perisphinctes bucharicus* (Никитин, 1889 [26, табл. 8, фиг. 1–4]). ЦНИГР Музей, колл. 4523, обр. № 1. Пограничные слои среднего–верхнего бата. Юго-Западный Гиссар, урочище Тангидуван. Не описан К. Н. Аманниязовым [2].

Форма. Раковины до 100 мм. Сечение внешних оборотов овальное, сжатое с боков, внутренних – округлое и трапециевидно-округлое. Бока слабовыпуклые, вентральная сторона закругленная, пупок широкий, умеренно глубокий с невысокими круглыми стенками. Жилая камера занимает до 2/3 оборота, устье с вытянутыми, слабо расширяющимися на концах боковыми ушками. Параболические ребра развиты на внутренних оборотах фрагмокона, параболические бугорки присутствуют до жилой камеры включительно. На ядрах задней части жилой камеры может присутствовать гладкая вентральная борозда.

Размеры, мм, и их соотношения:

№ экз.	Д	В	Ш	Ду	В/Д	Ш/Д	Ду/Д.
115/3790	74	26	23	37	0,315	0,29	0,43
115/3362	79	27	23	35	0,34	0,29	0,44
115/1070	71	23	20	34	0,32	0,28	0,48
115/3255	90	31	24	39	0,35	0,27	0,44

Скульптура. Фрагмокон покрыт тонкими густыми преимущественно двуветвистыми ребрами, кроме которых присутствуют трех-

ветвистые простые и вставные. Ребра ветвятся в наружной части боков. На жилой камере ребристость становится нерегулярной, более редкой и грубой, преобладают простые ребра, сопряженные с вставными, кроме них присутствуют отдельные дву- и трехветвистые ребра. Точка ветвления постепенно смещается на середину боков.

Сравнение. Вид принадлежит к группе крупных среднепозднебабских *Siemiradzka*, незначительно отличающихся формой раковин и ребристостью, включающей *S. demariae* Parona et Bonarelli, 1897 [94, табл. 6, фиг. 3, 96, с. 40], *S. pseudorjasanensis* (Lissajous), 1923, *S. lenthayensis* (Arkell), 1958.

Замечания. Как уже установил К. Н. Аманниязов [2], С. Н. Никитин, датируя предложенный им вид келловеем, допустил ошибку. Это привело практически к потере видового названия или к его неверной интерпретации [140, 151]. Топотипы вида Никитина показывают широкую изменчивость формы раковины и скульптуры на взрослой стадии, которая перекрывает отличия от указанных в "сравнении" видов. Название *S. bucharica* (Nikitin), 1889, имеет приоритет перед всеми остальными, однако точная видовая идентификация требует дальнейших исследований.

Стратиграфическое и географическое распространение. Бат, верхи зоны *morrisi* – низы зоны *retrocostatium*, Юго-Западный Гиссар.

Материал. Хр. Кугитангтау, кровля тангидувальской свиты, родник Чашмабулак – 1 экз., гора Мых – 1 экз., сай Вандоб – 1 экз., сел. Кызылалма – 1 экз., урочище Тангидувал, тот же уровень – 10 экз., хр. Байсунтау, сел. Дербент, тот же уровень – 1 экз.

Род *Prorsisphinctes* Buckman, 1921

Prorsisphinctes: Безносов, 1982, с. 55.

Planisphinctes: Westermann, 1959, с. 88; Mangold, 1970, с. 22.

Типовой вид. *Perisphinctes pseudomartinsi* Siemiradzki, 1899. Байос, зона *parkinsoni*. Нормандия.

Диагноз. Диморфный род. Раковины эволютные с овальными сжатыми с боков, реже округлыми оборотами, объемлющими предшествующие более чем на 1/2 их высоты. Пережимы развиты в конце фрагмокона и на жилой камере. Ребристость внутренних оборотов фрагмокона тонкая, густая, состоит из двуветвистых и простых ребер, на внешних оборотах фрагмокона и на жилой камере скульптура несколько грубеет, преобладают двуветвистые ребра, кроме которых могут присутствовать трехветвистые. Вентральные ребра по силе равны боковым.

Состав. Два подрода: *M Prorsisphinctes* Buckman, 1921, и *Planisphinctes* Buckman, 1922.

Сравнение. От других грацилисфинктин отличаются более мелкими размерами, слабо модифицирующейся в онтогенезе скульптурой, преобладанием на внешних оборотах двуветвистых ребер.

Замечания. Спэт [142, с. 280] включал *Prorsisphinctes* в "*Leptosphinctes s. l.*"³. Аркелл [45, с. 313] рассматривает *Prorsisphinctes* как подрод *Leptosphinctes*, включая в него как синоним *Stomphosphinctes* Buckman, 1921, *Glyphosphinctes* Buckman, 1925, *Phanerosphinctes* Buckman, 1921.

Точку зрения Аркелла разделяют Стурани [148], Кристин [91] и др. Типовой вид *Prorsisphinctes* – *P. pseudomartinsi* (Siemiradzki) не принадлежит роду *Leptosphinctes* и подсемейству *Leptosphinctinae*, так как обладает вентральными ребрами "или одинаковыми с боковыми или сильнее них" [140, с. 328], сильно рассеченной лопастной линией и быстрее нарастающими более массивными оборотами, объединение *Prorsisphinctes* с *Leptosphinctes* лишает последний род определенности.

Stomphosphinctes и *Glyphosphinctes* неотличимы на родовом уровне от *Leptosphinctes* и рассматриваются как поздние субъективные синонимы. *Phanerosphinctes* основан на экземпляре, представляющем неидентифицируемое ядро внутренних оборотов, неотличимых от таковых *Prorsisphinctes* [56, табл. 211]. Другой вид *P. costulatus* Buckman, 1925 (табл. 380), по мнению Аркелла [43, с. 168], является "типичным *Procerites*". Этому мнению противоречат отсутствие у *P. costulatus* параболических ребер на внутренних оборотах и его стратиграфическое положение в зоне *parkinsoni*. Поэтому *Phanerosphinctes* рассматривается нами как субъективный синоним макроконхового подрода *Prorsisphinctes*.

В качестве макроконхов микроконхового подрода *Planisphinctes* Вестерманн [162, с. 88] и Мангольд [96, с. 22] принимают *Lobosphinctes* Buckman, 1923, которого Аркелл [43, с. 173] рассматривает как предковую форму *Procerites*, а Стурани [146] как подрод рода *Procerites*. Единственное отличие *Lobosphinctes* от *Prorsisphinctes* заключается в стратиграфическом положении их типовых видов. Поэтому *Lobosphinctes* нами рассматривается как субъективный синоним *Prorsisphinctes*. Соответственно обладающее приоритетом перед названием *Planisphinctes* название *Prorsisphinctes* принято не только для обозначения макроконхового подрода, но и для рода в целом.

Геологическое и географическое распространение. Верхний байос, зона *garantiana* – нижний бат, низы зоны *zigzag*, Европа, Кавказ, Западная Туркмения.

Prorsisphinctes: Buckman, 1921, табл. 200.

Leptosphinctes (*Prorsisphinctes*): Arkell, 1957, с. L 313; 1957, с. 167; Krystyn, 1972, с. 265.

Prorsisphinctes (*Prorsisphinctes*): Безносков, 1982, с. 55.

Lobosphinctes: Buckman, 1923, табл. 447.

Planisphinctes (*Lobosphinctes*): Westermann, 1958, с. 88; Mangold, 1970, с. 22.

Procerites (*Lobosphinctes*): Pavia, 1971, с. 139.

Phanerosphinctes: Buckman, 1921, табл. 386.

Типовой вид. Соответствует типовому виду рода.

Диагноз. Раковины средние и крупные, до 250 мм. Жилая камера занимает около одного оборота, устье с прямыми боковыми краями и приустьевым пережимом. Пережимы на жилой камере и в конце фрагмента четкие. Развита суспенсивная лопасть.

Состав. Девять видов: *P. pseudomartinsi* (Siemiradzki), *P. ophthalmicus* Buckman, *P. meseres* Buckman, *P. intersertus* (Buckman), *P. evolutoides* (Siemiradzki), *P. venetus* Sturani, *P. hoffmanni* (Gemellaro), *P. loczyi* (Papp), *P. costulatusus* (Buckman).

Сравнение. От *Planisphinctes* отличается более крупными размерами, длинной жилой камерой, простым устьем, более четко выраженными пережимами, сильнее развитой суспенсивной лопастью.

Геологическое и географическое распространение. Соответствует распространению рода.

Prorsisphinctes evolutoides (Siemiradzki), 1899

Табл. 18, фиг. 2

Perisphinctes evolutoides: Siemiradzki, 1899, с. 304, табл. 23, фиг. 29.

Голотип. *Perisphinctes evolutoides* Siemiradzki, 1899 [140, с. 304, табл. 23, фиг. 29]. Нижний бат, "зона *Oppelia fusca*". Нормандия.

Форма. Раковины средних размеров, до 70 мм. Сечение оборотов округлое, до слабоприплюснутого. Обороты объемлют предшествующие на 2/5 их высоты. Бока и вентральная сторона закругленные, умбональные стенки невысокие, крутые. Пережимы глубокие, на боках наклонены вперед, нерегулярные, 1–2 на оборот.

Размеры, мм, и их соотношения:

№ экз.	Д	В	Ш	Ду	В/Д	Ш/Д	Ду/Д
115/1298	50	14	17	26	0,28	0,34	0,52

Скульптура. Ребристость густая, состоит преимущественно из двуветвистых ребер, на жилой камере присутствуют простые ребра, сопряженные с вставными. Ребра на боках радиальные, вентральную сторону переходят с изгибом вперед. Ветвление ребер происходит в наружной трети боков. Число боковых ребер на 1/2 оборота 23–24, коэффициент ветвления 2.

Сравнение. От *P. pseudomartinsi* (Siemiradzki) отличается менее объемлющими и сильнее приплюснутыми оборотами, более наружным положением точки ветвления ребер; от *P. vetetus* Sturani — более приплюснутым сечением оборотов и более грубой ребристостью. Другие виды подрода обладают овальным, сжатым с боков сечением оборотов.

Геологическое и географическое распространение. Нижний бат, Нормандия, Дагестан, Западная Туркмения.

Материал. Дагестан, сел. Датуна, верхи средней цудахарской подсвиты — 2 экз., Большой Балхан, колодцы Девона, основание нижней меуламской подсвиты — 1 экз.

Prosisphinctes intersertus (Buckman), 1923

Табл. 16, фиг. 1

Lobosphinctes intersertus: Buckman, 1923, табл. 447.

Procerites (Lobosphinctes) intersertus: Sturani, 1967, с. 34, табл. 4, фиг. 5.

Голотип. *Lobosphinctes intersertus* Buckman, 1923 [56, табл. 447]. Верхний байос, зона parkinsoni. Англия, Дорсет.

Форма. Раковины средние и крупные с оборотами, охватывающими предшествующие примерно на 1/2 их высоты. Сечение внутренних оборотов фрагмокона округлое, внешних и жилой камеры — овальное. Бока уплощенные, вентральная сторона закругленная, умбональные стенки невысокие, наклоненные. Жилая камера занимает около оборота, устье не сохранилось. Пережимы нерегулярные, 1–2 на оборот, круто наклонены вперед, варьируют по глубине на одной раковине, четко выражены только на ядрах. Позади пережима на наружной поверхности раковины на вентральной стороне развит валик, сглаживающийся на ядре.

Размеры, мм, и их соотношения:

№ экз.	Д	В	Ш	Ду	В/Д	Ш/Д	Ду/В
115/1330	136	46	37	55	0,34	0,27	0,46
115/4099	103	36	33	45	0,34	0,31	0,42

115/3008	101	33	28	42	0,33	0,28	0,42
115/4141	73	28	—	29	0,38	—	0,40
115/4140	69	24	22	28	0,35	0,32	0,41
115/4279	69	25	21	28	0,36	0,31	0,41
115/4136	69	25	22	29	0,36	0,32	0,42
115/1270	52	17	15	22	0,32	0,28	0,42
115/1329	27	8	9	12	0,30	0,35	0,44

Скульптура. Ребристость внутренних оборотов фрагмента тонкая густая, на внешних оборотах и жилой камере редет и грубеет. Преобладают двуветвистые ребра, кроме которых присутствуют простые и вставные, количество которых увеличивается на жилой камере. Ребра на боках прямые или слабо серповидно изогнутые, от радиальных до слабо наклоненных вперед, вентральную сторону переходят со слабым изгибом вперед. Уровень ветвления ребер располагается несколько кнаружи от середины боков. Число боковых ребер на 1/2 оборота 25–30, увеличивается с возрастом. Также увеличивается коэффициент ветвления от 1,8 на внутренних оборотах до 2,1 на внешних.

Сравнение. Описываемый вид принадлежит к группе *Prorsisphinctes* с овальным сжатым с боков сечением внешних оборотов, включающую: *P. meseres* Вускман, от которого отличается более узким и мелким пупком, более сжатыми с боков оборотами, развитием валиков после пережимов, и *P. costulatus* (Вускман), от которого отличается медленнее нарастающими и менее объемлющими оборотами.

Геологическое и географическое распространение. Верхний байос, зона parkinsoni – низы нижнего бата, Англия, Италия, Дагестан, Западная Туркмения.

Материал. Дагестан, средняя цудахарская подсвита, сел. Ахваштаб – 6 экз., сел. Датуна – 6 экз.

Prorsisphinctes loczyi (Papp), 1907

Табл. 16, фиг. 2

Perisphinctes loczyi: Papp, 1907, с. 165, табл. 7, фиг. 1–2.

? *Planisphinctes* (*Lobosphinctes*) n.sp.b, aff. "insertus": Westermann, 1958, с. 89, табл. 47.

Лектотип. В качестве лектотипа предлагается экземпляр №115/1302. Дагестан, сел. Тлиси. Средняя цудахарская подсвита, пограничные слои байоса и бата. Изображен в данной работе в табл. 16, фиг. 2.

Форма. Раковины средних и крупных размеров с медленно нарастающими оборотами, объемлющими предшествующие на 1/3 их высоты. Сечение оборотов прямоугольно-округлое. Бока уплощенные, вентральная сторона закругленная, умбональные стенки крутые,

жилая камера занимает немного менее полного оборота. Устье с прямыми боковыми краями и приустьевым пережимом. Пережимы на ядрах выражены слабо, узкие, неглубокие, 1–2 на оборот.

Размеры, мм, и их соотношения:

№ экз.	Д	В	Ш	Ду	В/Д	Ш/Д	Ду/Д
115/4137	100	29	30	49	0,29	0,30	0,49
115/1302	70	23	21	33	0,35	0,30	0,47
115/4143	61	20	18	28	0,33	0,295	0,46

Скульптура. Ребристость внутренних оборотов фрагмокона тонкая, густая, постепенно грубеет и редеет, становясь относительно редкой на боках крупнорослых экземпляров. Преобладают двуветвистые ребра, расщепляющиеся между серединой и наружной третью боков, присутствуют простые и вставные, особенно на жилой камере. Ребра слабо серповидно изогнутые, радиальные или слабо наклоненные вперед, вентральную сторону переходят со слабым изгибом вперед. Количество боковых ребер на 1/2 оборота 30–26, коэффициент ветвления 1,8–2.

Сравнение. От *P. intersertus* отличается медленнее нарастающими, слабо объемлющими оборотами и редкой боковой ребристостью.

Замечания. Вид установлен Паппом в малоизвестной географической работе и практически не цитировался. Изображение оригинала представляет собой рисунок, сведений о его местонахождении не имеется, поэтому здесь предлагается лектотип вида. Другой вид, предложенный Паппом, – "*Perisphinctes daghestanicus* [110, с. 166, табл. 7, фиг. 3], основан на фрагменте и не идентифицируется. Экземпляр, изображенный Вестерманном под названием "*Planisphinctes (Lobosphinctes) n. sp. b. aff. insertus*" (см. синонимику), близок к нашим материалам по форме раковины и характеру ребристости, отличается более крупными размерами.

Геологическое и географическое распространение. Верхняя часть зоны parkinsoni верхнего байоса – низы нижнего бата, Дагестан, ФРГ (?).

Материал. Дагестан, средняя цудахарская подсвета, сел. Ахваштаб – 3 экз., сел. Датуна – 3 экз.

Prorsisphinctes ex gr. meseres Buckman, 1923

Табл. 19, фиг. 5

ex gr. *Prorsisphinctes meseres*: Buckman, 1923, табл. 446.

non *Leptosphinctes (Prorsisphinctes) meseres*: Krystyn, 1972, с. 266, табл. 12, фиг. 1.

Обломок раздавленного ядра части жилой камеры и фрагмокона принадлежит раковине средних размеров с умеренно возрастающими

оборотами, объемлющими предшествующие на 1/3 их высоты. Сечение оборотов прямоугольно-округлое, бока уплощенные, полого сходятся к закругленной вентральной стороне. Пупок широкий мелкий. Ребристость грубая, состоит из двуветвистых, простых и вставных ребер, слабо серповидно изогнутых вперед и со слабым изгибом вперед переходящих вентральную сторону. На одно боковое ребро приходится 2–3 вентральных. Ветвление ребер происходит несколько дальше середины боков.

Экземпляр сходен с *P. meseres* Buckman, однако его сохранность не допускает их идентификации.

Leptosphinctes (Prorsisphinctes) meseres [91, с. 266, табл. 2, фиг. 1] из клаусских слоев района Вены отличается от голотипа более эволютивной широкопупковой раковиной с редкими, сглаживающимися на ядре жилой камеры ребрами и, по-видимому, не принадлежит рассматриваемому виду.

Голотип. Происходит из зоны *garantiana* верхнего байоса Дорсета, Англия. Наш экземпляр найден в ташарватской свите (зона *parkinsoni*) в окрестностях родника Ташарват на Большом Балхане.

Prorsisphinctes ex gr. *costulatosus* (Buckman), 1923

Табл. 18, фиг. 1

ex gr. *Phanerosphinctes costulatosus*: Buckman, 1923, табл. 386.

Форма. Неполные фрагмокон и жилая камера принадлежат раковине с быстро нарастающими в высоту оборотами, охватывающими предшествующие на 1/2 их высоты. Сечение внутренних оборотов фрагмокона округлое, внешних и жилой камеры – высокоовальное, сжатое с боков. Бока слабывыпуклые, вентральная сторона закругленная, умбональные стенки относительно высокие, крутые.

Размеры, мм, и их соотношения:

№ экз.	Д	В	Ш	Ду	В/Д	Ш/Д	Ду/Д
115/1325	—	25	22	—	—	—	—
	32	13	13	16,5	0,40	0,40	0,51

Скульптура. Ребристость тонкая, густая, состоит из двуветвистых и единичных простых ребер. Ребра радиальные, слабо серповидно изогнуты и слабо наклонены вперед. Вентральную сторону переходят с изгибом вперед. Ветвление ребер происходит немного кнаружи от середины боков.

Материал. Дагестан, сел. Датун, средняя цудахарская подсвита – 1 экз.

Planisphinctes: Buckman, 1922, табл. 327.

Siemiradzki (*Planisphinctes*): Arkell, 1957, с. 175; Stephanov, 1972, с. 31.

Planisphinctes (*Planisphinctes*): Mangold, 1970, с. 22.

Prorsisphinctes (*Planisphinctes*): Безносов, 1982, с. 56.

Типовой вид. *Planisphinctes planilobus* Buckman, 1922 [56, табл. 327]. Нижний бат. Англия.

Диагноз. См. диагноз рода. Раковины до 120 мм, с жилой камерой, занимающей до 3/4 оборота, устьем с приустьевым пережимом и длинными, расширяющимися на концах боковыми ушками.

Состав. Шесть видов: *P. planilobus* Buckman, *P. phaulozigzag* (Buckman), *P. tenuissimus* (Siemiradzki), *P. torrensi* Stephanov, *P. donovani* Stephanov, *P. greidingensis* (Dorn).

Сравнение. От *M Prorsisphinctes* отличается меньшими размерами, короткой жилой камерой и устьем с боковыми ушками.

Геологическое и географическое распространение. Соответствует распространению рода.

Planisphinctes tenuissimus (Siemiradzki), 1898

Табл. 19, фиг. 2

Perisphinctes tenuissimus: Siemiradzki, 1898, с. 85, табл. 21, фиг. 19.

Planisphinctes tenuissimus: Sturani, 1967, с. 40, табл. 12, фиг. 1, 4; Азарян, 1966, с. 40, табл. 12, фиг. 1, 4; 1982, с. 158, табл. 3, фиг. 2, 4; Ростовцев, 1985, с. 168, табл. 46, фиг. 2 (?), 7 (не фиг. 6).

Perisphinctes perspicuus: Dorn, 1928, с. 244, табл. 7, фиг. 2.

Perisphinctes defrancei: Крымголец, 1947, с. 195, табл. 36, фиг. 2; 1951, с. 34, табл. 1, фиг. 3; 1961, табл. 7, фиг. 4.

Prorsisphinctes (*Planisphinctes*) sp. nov.: Безносов, 1982, табл. 6, фиг. 2.

Лектотип. *Perisphinctes tenuissimus* Siemiradzki, 1898 [140, табл. 21, фиг. 19]. Байос, зона parkinsoni. Франция, Шодон. Установлен: [148, с. 40].

Форма. Раковины до 80 мм, с умеренно возрастающими оборотами, объемлющими предшествующие на 1/3–2/5 их высоты. Сечение оборотов овальное, сжатое с боков. Бока слабовыпуклые, вентральная сторона закругленная, умбональные стенки на фрагмоконе низкие, крутые, на жилой камере не отделены от боков. Жилая камера занимает около 3/4 оборота, устье с парными боковыми ушками, расширяющимися на концах, которые сближаются так, что устьевое отверстие образует Т-образную щель. Пережимы узкие, нечеткие, выражены до диаметра раковины 50 мм.

Размеры, мм, и их соотношения:

№ экз.	Д	В	Ш	Ду	В/Д	Ш/Д	Ду/Д
115/2538	73	26	20	30	0,36	0,27	0,41
115/1269	64	20	17	31	0,31	0,265	0,48
115/1314	64	21	17	30	0,33	0,27	0,47
115/4114	61	18	—	29	0,30	—	0,48

Скульптура. Ребристость внутренних оборотов фрагмокона тонкая, густая, состоит из простых и двуветвистых ребер. На внешних оборотах фрагмокона и жилой камере ребристость становится редкой и более грубой. На жилой камере преобладают простые и сопряженные с ними вставные ребра. Ребра на боках радиальные или слабо наклонены вперед, прямые и слабо серповидно изогнутые, ветвятся в наружной части боков, вентральную сторону переходят со слабым изгибом вперед.

Сравнение. От *P. planilobus* Buckman и *P. torrensi* Stephanov отличается высоким сечением оборотов, тонкой и густой ребристостью фрагмокона от сходного по форме *P. donovani* Stephanov — тонкой ребристостью фрагмокона и более редкой и тонкой ребристостью жилой камеры; от *P. incognita* Stephanov — тонкими, редкими на жилой камере ребрами.

Геологическое и географическое распространение. Байос, верхи зоны parkinsoni — бат, низы зоны zigzag, Франция, ФРГ, Кавказ.

Материал. Дагестан, средняя цудахарская подсвита, сел. Ахвахштаб — 5 экз., сел. Датуна — 10 экз., сел. Чох — 1 экз.

Planisphinctes torrensi Stephanov, 1972

Табл. 19, фиг. 3, табл. 20, фиг. 3

Siemiradzka (Planisphinctes) torrensi: Stephanov, 1972, с. 33, табл. 1, фиг. 2, табл. 2, фиг. 1.

Голотип. *Siemiradzka (Planisphinctes) torrensi* Stephanov, 1972 [145, с. 33, табл. 1, фиг. 2]. Нижний бат. Англия, Дорсет.

Форма. Раковины до 70 мм с умеренно возрастающими оборотами, охватывающими предшествующие на 1/3 их высоты. Сечение оборотов овальное, сжатое с боков. Бока плоские, вентральная сторона закругленная, умбональные стенки низкие наклоненные. Жилая камера занимает несколько менее 3/4 оборота, устье с длинными "языкообразными" боковыми ушками. Пережимы нечеткие нерегулярные.

Размеры, мм, и их соотношения¹:

№ экз.	Д	В	Ш	Ду	В/Д	Ш/Д	Ду/Д
115/3006	71	22	17	34	0,30	0,23	0,47
115/3015	56	17	—	26	0,30	—	0,46

Скульптура. Ребристость внутренних оборотов густая, на жилой камере становится более редкой и грубой. На внутренних оборотах преобладают двуветвистые и простые ребра. На жилой камере двуветвистые ребра неравномерно чередуются с простыми одиночными и сопряженными с вставными. Ребра на боках прямые, слабо наклонены вперед, ветвятся в наружной трети боков. Число боковых ребер на 1/2 оборота 27–29, коэффициент ветвления меньше 2.

Сравнение. Описываемый вид по размерам и форме раковины сходен с *P. donovani* Stephanov и *P. tenuissimus* (Siemiradzki), от которых отличается более заостренными ребрами, от последнего — также более грубой ребристостью фрагмокона.

Геологическое и географическое распространение. Низы нижнего бата, Англия, Западная Туркмения.

Материал. Большой Балхан, колодцы Девона, основание меуламской свиты — 5 экз.

Planisphinctes greidingensis (Dorn), 1927.

Табл. 17, фиг. 3,4

Bigotites greidingensis: Dorn, 1927, с. 243

Siemiradzka (Planisphinctes) greidingensis: Stephanov, 1972, с. 32, табл. 1, фиг. 1.

Голотип. *Bigotites greidingensis* Dorn, 1927. Переизображен: [145, табл. 1, фиг. 1]. Низы нижнего бата. ФРГ.

Форма. Раковины до 60 мм с медленно нарастающими оборотами, охватывающими предшествующие на 1/3 их высоты. Сечение оборотов овальное, сжатое с боков. Бока плоские, вентральная сторона закругленная, умбональные стенки невысокие крутые. Жилая камера занимает немного более 1/2 оборота. Устье с боковыми ушками. Пережимы нерегулярные, замаскированы ребристостью.

Размеры, мм, и их соотношения:

№ экз.	Д	В	Ш	Ду	В/Д	Ш/Д	Ду/Д
115/1354	55	18,5	14	22	0,33	0,25	0,40

¹Все имеющиеся экземпляры деформированы, поэтому соотношения размеров приблизительны.

Скульптура. Ребристость густая до конца жилой камеры, с возрастом несколько грубеет, состоит преимущественно из двуветвистых ребер, кроме которых присутствуют простые и редкие вставные. Ребра ветвятся несколько кнаружи от середины боков, прямые или слабоизогнутые, вентральную сторону переходят с изгибом вперед.

Сравнение и замечания. Стефанов [145, табл. 1, фиг. 1] изобразил слепок голотипа из коллекции Дорна. Слепок совершенно не соответствует рисунку голотипа, приведенному Дорном [64, табл. 6, фиг. 7], резко отличается от него высотой оборотов и густой ребристостью. В качестве изображения голотипа нами принята фотография, приведенная Стефановым. В этом случае описываемый вид отличается от других представителей подрода густой ребристостью жилой камеры и присутствием на ней простых ребер, не сопряженных со вставными.

Геологическое и географическое распространение. Низы нижнего бата, ФРГ, Дагестан.

Материал. Дагестан, средняя цудахарская подсвита, сел. Ахвахштаб – 1 экз., сел. Датунa – 1 экз.

Род *Choffatiasphinctes* Beznosov, 1982

Choffatiasphinctes: Безносов, 1982, с. 58.

Типовой вид. *Perisphinctes (Choffatia) faunus* Siemiradzki, 1899 [140, табл. 23, фиг. 34].

Диагноз. Раковины до 200 мм с умеренно возрастающими оборотами округлого и овального, сжатого с боков сечения. Полная жилая камера и устье неизвестны. Пережимы нерегулярные, неглубокие, сопровождаются изменением наклона ребер. Внутренние обороты фрагмокона покрыты двуветвистыми ребрами. На внешних оборотах фрагмокона боковые ребра становятся редкими и нерегулярно ветвятся на 2–3 вентральных ребра, кроме которых присутствуют вставные.

Состав. Два вида: *C. faunus* (Siemiradzki), *C. pseudofrequens* (Siemiradzki).

Сравнение. От одновозрастных *Prorsisphinctes* отличается модификацией ребристости в онтогенезе.

Геологическое и географическое распространение. Верхний байос – нижний бат, Франция, Румыния, Крым, Северный Кавказ.

Choffatiasphinctes faunus (Siemiradzki), 1899.

Табл. 19, фиг. 1

Perisphinctes faunus: Siemiradzki, 1899, с. 333, табл. 23, фиг. 34.

Голотип (по монотипии). *Perisphinctes faunus* Siemiradzki, 1899 [140, табл. 25, фиг. 34]. Нижний бат? Нормандия.

Форма. Сохранившаяся часть фрагмокона имеет диаметр до 75 мм. Обороты в сечении прямоугольно-округлые, бока слабовыпуклые, вентральная сторона закругленная, умбональные стенки невысокие, наклонные. Пережимы нерегулярные, мелкие, варьируют по ширине.

Размеры, мм, и их соотношения:

№ экз.	Д	В	Ш	Ду	В/Д	Ш/Д	Ду/Д
660/15	73	27	25	32,5	0,36	0,34	0,44

Скульптура. Внутренние обороты фрагмокона покрыты частыми, утолщающимися с ростом раковины двуветвистыми ребрами. На внешнем обороте фрагмокона боковые ребра становятся редкими, кнаружи от середины высоты боков нерегулярно ветвятся на два вентральных, кроме которых присутствуют вставные ребра. Ребра на боках наклонены вперед, вентральную сторону переходят с изгибом вперед.

Сравнение. От *C. pseudofrequens* отличается более тонкой боковой и особенно вентральной ребристостью.

Распространение. Нижний бат, Франция, Румыния, Крым.

Материал. Крым, сел. Счастливое, аргиллиты с конкрециями над вулканогенной толщей верхнего байоса, сборы О. В. Снегиревой.

Choffatiasphinctes aff. *pseudofrequens*
(Siemiradzki), 1899.

• Табл. 18, фиг. 3

aff. *Perisphinctes pseudofrequens*: Siemiradzki, 1899, с. 235, табл. 21, фиг. 12.

aff. *Leptosphinctes (Prorsisphinctes) pseudofrequens*: Krystyn, 1972 [91, с. 267, табл. 10, фиг. 1].

Форма. Раковины крупные с медленно нарастающими оборотами, объемлющими предшествующие на 1/3 их высоты. Сечение оборотов прямоугольно-овальное, бока уплощенные, вентральная сторона закругленная, умбональные стенки невысокие крутые. Пережимы нечеткие, нерегулярные.

Размеры, мм, и их соотношения:

№ экз.	Д	В	Ш	Ду	В/Д	Ш/Д	Ду/Д
115/1313	138	44	38	64	0,32	0,28	0,47
115/1313а	—	64	54	—	—	—	—

Скульптура Ребристость кроме самих внутренних оборотов фрагмокона редкая, сравнительно грубая, на фрагмоконе состоит

преимущественно из двуветвистых ребер, на жилой камере преобладают простые и вставные ребра. Ребра радиальные, ветвятся кнаружи от середины боков, вентральную сторону переходят прямо. Количество боковых ребер на 1/2 оборота 16, коэффициент ветвления на жилой камере около 3.

Сравнение. От *C. pseudofrequens*, к которому очень близок по форме раковины и ребристости внутренних оборотов, отличается слабо выраженным сглаживанием ребер на жилой камере.

Замечания. А. Галач [75, с. 11, табл. 27] описал под названием *Vermisphinctes (Prosisphinctes) pseudofrequens* крупного аммонита из отложений зон *subfurcatum* – *garantiana*, который принадлежит роду *Leptosphinctes*.

Геологическое и географическое распространение. *C. pseudofrequens* известен в зоне *parkisoni* верхнего байоса Франции и Австрии.

Материал. Северный Кавказ, р. Ходзь, верхняя джангурская подсвита (зона *parkinsoni*) – 1 экз. и фрагмент жилой камеры.

Род *Gracilisphinctes* Buckman, 1920

Gracilisphinctes: Безносков, 1982, с. 56.

Типовой вид. *Procerites progracilis* Cox et Arkell, 1950 [58, с. 94]. Средний бат, зона *progracilis*. Англия, Севенхэмптон.

Диагноз. Диморфный род. Макро- и микроконхи резко отличаются размерами и скульптурой на внешних оборотах. Внутренние обороты фрагмокона несут пережимы и покрыты двуветвистыми ребрами.

Состав. Два подрода: М *Gracilisphinctes* Buckman, 1920, и *Prewalia* Stephanov, 1972.

Сравнение. От *Prosisphinctes* отличается более крупными размерами, сильнее выраженным диморфизмом, модификацией ребристости на внешних оборотах, смещением пережимов на внутренние обороты, сильнее рассеченными лопастями и седлами с сильно развитой суспенсивной лопастью; от гомеоморфного *Procerites* Siemiradzki, 1893 – отсутствием в онтогенезе стадии *zigzag*.

Замечания. Аркелл [43], впервые описавший ансамбль макроконхов *Gracilisphinctes*, рассматривал это название как подродовое внутри рода *Procerites*. Точку зрения Аркелл принимает также Галач [75]. Хан [85] и Мангольд [96] считают название *Gracilisphinctes* синонимом *Procerites*. Объединению *Gracilisphinctes* и *Procerites* противоречат резкие различия в развитии их раковины на ранних стадиях онтогенеза, выражающихся в присутствии у первых пережимов, у вторых – валикообразных параболических ребер, появляющихся ранее настоящей ребристости (стадия *zigzag*).

Геологическое и географическое распространение. Средний и верхний бат, Европа, Средняя Азия, Мадагаскар.

ПОДРОД *M GRACILISPHINCTES* BUCKMAN, 1920

Gracilisphinctes: Buckman, 1920, табл. 193.

Procerites (Gracilisphinctes): Galacz, 1980, с. 117.

Gracilisphinctes (Gracilisphinctes) Безносов: 1982, с. 57.

Типовой вид. Соответствует типовому виду рода.

Диагноз. Раковины до 500 мм от эволютных до полуинволютных на внешних оборотах, эволютные на внутренних. Сечение внутренних оборотов округлое или овальное, внешних — чаще овальное или яйцевидное. Жилая камера занимает около оборота, заканчивается устьем с прямыми, наклонными вперед краями, иногда с приустьевым пережимом. Пережимы присутствуют на внутренних оборотах фрагмокона и иногда в приустьевой части жилой камеры. Ребристость внутренних оборотов фрагмокона тонкая, состоит преимущественно из двуветвистых ребер. На внешних оборотах фрагмокона ребристость грубеет, двуветвистые ребра чередуются с трехветвистыми и вставными, могут присутствовать схизотомные и виргатотомные ребра. В конце фрагмокона и на жилых камерах ребристость чаще всего сглаживается, начиная с боковой.

Состав. Более 11 видов: *G. progracilis* (Cox et Arkell), *G. vineta* Arkell, *G. magnificus* Arkell, *G. suprapalatinus* Arkell, *G. twinhoensis* Arkell, *G. imitator* (Buckman), *G. pseudoimitator* sp. nov., *G. densicordatus* (Galacz), *G. paragracilis* sp. nov., *G. evolutus* sp. nov., *G. kysylaltemensis* sp. nov.

Сравнение. От *m Prewalia* Stephanov отличается крупными размерами, длинной жилой камерой с простым устьем, сильнее выраженной модификацией ребристости и ее сглаживанием, сильнее расщепленной лопастной линией с глубокой суспенсивной лопастью.

Геологическое и географическое распространение. Соответствует распространению рода.

Gracilisphinctes twinhoensis (Arkell), 1957

Табл. 20, фиг. 1,2

Procerites twinhoensis: Arkell, 1957, с. 189, табл. 26, фиг. 6, фиг. 68, 1—4 и 69,3 в тексте.

Perisphinctes (Zigzagiceras) pseudoprocerum: Lissajous, 1923, с. 84, табл. 10, фиг. 1.

Perisphinctes (Zigzagiceras) subprocerum: Lissajous, 1923, с. 83, табл. 10, фиг. 2, 3.

Procerites schloenbachi: Крымгольц, Захаров, 1971, табл. 3, фиг. 4 (голько).

Голотип. *Procerites twinhoensis* Arkell, 1957 [43, табл. 26, фиг. 6]. Верхний бат, зона *aspidoides*, Англия.

Форма. Раковины крупные до 500 мм. Обороты объемлют предшествующие на 2/3–3/4 их высоты на средних стадиях и на 2/3–1/2 – на поздних стадиях онтогенеза. Сечение оборотов при диаметре раковины более 50 мм высокоовальное. Бока уплощенные, несколько сближаются к закругленной вентральной стороне. Пупок средних размеров, с отвесными стенками на средних оборотах, широкий с пологими стенками на внешних. Жилая камера занимает около целого оборота. Устье не сохранилось. Пережимы развиты на раковинах диаметром до 50 мм, при диаметре 50–100 мм наблюдаются уплощения ядер, ограниченные спереди более грубым ребром.

Размеры, мм, и их соотношения:

№ экз.	Д	В	Ш	Ду	В/Д	Ш/Д	Ду/Д
115/1227	–	82	60	–	–	–	–
	102	42	32	33	0,41	0,31	0,32
115/3894	120	50	39	37	0,42	0,32	0,31
	84	37	30	25	0,44	0,36	0,30
115/3792	120	50	–	35	0,42	–	0,29
115/3391	90	38	30	28	0,42	0,33	0,31
115/1142	82	37	29	28	0,42	0,33	0,31

Скульптура. Внутренние обороты до диаметра 50 мм несут тонкие, частые, двуветвистые ребра. При более крупных размерах развиты двух- и трехветвистые ребра, нерегулярно чередующиеся друг с другом и вставными ребрами. При диаметре раковины около 175 мм ребристость сглаживается и полностью исчезает при высоте оборота около 75 мм. Ребра начинаются от умбонального перегиба, на боках слабо серповидно изогнуты и наклонены вперед, вентральную сторону переходят прямо, несколько изгибаясь вперед или назад. Ветвление ребер происходит на разных уровнях между наружной и внутренней третью боков в зависимости от степени объемлемости оборотов. Оси ребер слабо связаны с двумя или тремя ветвями. Некоторые оси не доходят до умбонального перегиба, образуя либо двуветвистые вставные, либо дважды двураздельные ребра.

Сравнение. От наиболее сходного *G. progradilis* (Cox et Arkell) описываемый вид отличается быстрее нарастающими в высоту оборотами, более узким пупком, тонкой и рано исчезающей ребристостью, сложнее рассеченной лопастной линией.

Замечания. В. Аркелл отнес выделенный им вид к роду *Procerites*, сравнив его с раковинами, изображенными Лиссажу (см. синонимичку). На последних четко видны пережимы – признак, отличающий *Gracilisphinctes* от гомеоморфных *Procerites*. Ни на одном из трех изображенных Аркеллом экземпляров вида внутренние обороты не пока-

заны, в то же время наши экземпляры, полностью соответствующие экземплярам Аркелла, так же как и формы Лиссажу, несут на внутренних оборотах пережимы, т. е. рассматриваемый вид должен быть отнесен к *Gracilisphinctes*.

Геологическое и географическое распространение. Верхний бат, зона *retrocostatium*, Англия, Франция, Юго-Западный Гиссар.

Материал. Юго-Западный Гиссар, низы байсунской свиты, верхний бат, зона *retrocostatium*, сай Вандоб – 2 экз., сай Кемпыртепе – 1 экз., сел. Кызылалма – 2 экз., урочище Тангидувал – 3 экз., урочище Кетменьчапты – 1 экз.

Gracilisphinctes suprapalatinus Arkell, 1952

Табл. 21, фиг. 1, табл. 23, фиг. 3

Gracilisphinctes suprapalatinus: Arkell, 1952, с. 13, табл. 3, фиг. 2.

Голотип. *G. suprapalatinus* Arkell, 1952 [43, табл. 3, фиг. 2]. Сконденсированные отложения среднего–верхнего бата, ФРГ, Швандорф.

Форма. Раковины до 185 мм с меняющейся в онтогенезе инволютностью. Внутренние обороты фрагмокона слабообъемлющие, округлые в сечении. При диаметре более 30–35 мм инволютность увеличивается так, что к концу фрагмокона обороты охватывают предшествующие на 2/3 их высоты, а сечение их становится высокоовальным сжатым с боков. На жилой камере инволютность вновь уменьшается, так что в приустьевой части предшествующий оборот закрыт на 1/3 высоты. Бока плоские, вентральная сторона закругленная, умбональные стенки отвесные, невысокие на фрагмоконе, выполаживаются и сливаются с боками на жилой камере. Жилая камера занимает около 8/9 оборота. Устье с прямыми боковыми краями.

Размеры, мм, и их соотношения:

№ экз.	Д	В	Ш	Ду	В/Д	Ш/Д	Ду/Д
115/3895	183	60,5	42	76	0,33	0,23	0,41
	137	52	33	47	0,38	0,24	0,34
	105	43	30	34	0,41	0,285	0,32
115/254	146	50	34	56	0,39	0,23	0,38
115/3101	147	55	33	—	0,37	0,24	—
115/389	138	50	30,5	54	0,36	0,22	0,39
115/1224	131	52	37	44	0,40	0,285	0,335
115/243	108	43	37	33	0,40	0,34	0,305
115/1163	67	26	20	21	0,39	0,30	0,31

Скульптура. Внутренние обороты фрагмокона до диаметра 35 мм покрыты частыми дву- и трехветвистыми ребрами. При больших размерах боковые ребра становятся редкими, уплощаются посередине боков, но сохраняются в дорсальной их части и полностью сглаживаются при диаметре 80–90 мм. Вентральные ребра сохраняются до диаметра 100–110 мм, при больших размерах наружные обороты фрагмокона и жилая камера становятся гладкими. У крупнорослых форм при диаметре более 150 мм в приустьевой части жилой камеры возникают грубые складки. Лопастная линия рассечена относительно слабо со слаборазвитой суспенсивной лопастью.

Сравнение. От других представителей рода отличается рано сглаживающейся ребристостью.

Замечания. Голотип представлен малорослым неполным экземпляром, идентичным по форме и скульптуре неполным фрагмоконам наших экземпляров. Среди последних наблюдается значительная изменчивость по степени инволютности и ширине пупка на средних оборотах, однако постоянной остается слабая и рано сглаживающаяся ребристость.

Геологическое и географическое распространение. Голотип происходит из конденсированных слоев среднего–верхнего бата ФРГ, наши экземпляры – из отложений верхов среднего – низов верхнего бата Юго-Западного Гиссара.

Материал. Хр. Кугитангтау, кровля тангидувальской свиты – подошва байсунской свиты, сай Вандоб – 4 экз., урочище Тангидувал, тот же уровень – 1 экз., хр. Байсунтау, сел. Дербент, тот же уровень – 3 экз., урочище Кетменьчапа – 1 экз.

Gracilisphinctes imitator (Buckman), 1922

Табл. 22, фиг. 1

Zigzagites imitator: Buckman, 1922, табл. 301.

Procerites (Procerites) imitator: Arkell, 1958, с. 198, табл. 26, фиг. 2–4.

Голотип. *Zigzagites imitator* Buckman, 1922 [56, табл. 31]. Средний бат, зона *subcontractus*. Англия. Переизображен: [43, табл. 26, фиг. 2].

Форма. Многие имеющиеся экземпляры с сохранившейся жилой камерой не превышают 170 мм, однако имеются два фрагмокона диаметром более 200 мм. Обороты в сечении овальные, охватывают предшествующие на 1/2–1/3 их высоты. Бока слабовыпуклые, вентральная сторона закругленная, умбональные стенки высокие, крутые, выполаживаются на внешних оборотах. Жилая камера занимает

7/8–8/9 оборота. Устье с прямыми наклоненными вперед боковыми краями. Пережимы развиты до диаметра раковины 40–50 мм.

Размеры, мм, и их соотношения:

№ экз.	Д	В	Ш	Ду	В/Д	Ш/Д	Ду/Д
115/1223	169	65	55	60	0,39	0,33	0,36
115/1245	202	70	58	72	0,35	0,29	0,36
115/3393	165	65	—	59	0,39	—	0,36
— " —	147	56	47	49	0,38	0,33	0,36
115/1211	160	60	52	54	0,38	0,33	0,39
115/1228	133	53	—	48	0,40	—	0,36
115/3788	124	51	43	48	0,41	0,35	0,39
115/1192	121	41	37	46	0,34	0,31	0,38
115/1234	116	46	39	40	0,40	0,44	0,34
115/3794	115	43	37	40	0,37	0,32	0,33
115/1165	92	35	32	34	0,38	0,35	0,37

Скульптура. Внутренние обороты фрагмокона, до 30–40 мм, тонко- и густоребристые. При больших размерах ребристость грубеет и на боках становится редкой, сглаживаясь при диаметре 120–130 мм начиная с середины боков. Вентральные ребра сохраняются до диаметра 200 мм и более. Боковые ребра широкие, невысокие, радиальные, могут слабо отклоняться вперед или назад, ветвятся около середины боков. Коэффициент ветвления на средних оборотах фрагмокона около 3.

Сравнение. Грубой ребристостью внутренних оборотов и формой раковины *G. imitator* наиболее сходен с *G. magnificus*, от которых отличается меньшими размерами и сглаживанием скульптуры на боках жилой камеры. От *G. progracilis* отличается менее объемлющими оборотами фрагмокона и грубой боковой ребристостью.

Замечания. Внутренние обороты фрагмокона у голотипа не изображены. Второй экземпляр, изображенный Аркеллом [43, табл. 26, фиг. 3], идентичен нашим экземплярам, у которых на внутренних оборотах развиты пережимы. По этому признаку рассматриваемый вид следует отнести к роду *Gracilisphinctes*. Г. Торренс [153, табл. 7, фиг. 1–6] под названием *imitator* изобразил серию типичных *Procerites* с развитой стадией zigzag на внутренних оборотах фрагмокона (фиг. 1, 2) из нижнего бата Юго-Восточной Франции. Из нижнего бата этого же района "*Procerites imitator*" ранее был описан К. Стурани [148, с. 53, табл. 15, фиг. 5], у экземпляра которого внутренние обороты не сохранились. В. Хан [85, рис. 4 на с. 56] под этим же названием изобразил форму из зоны *progracilis* из окрестностей Фрейберга (ФРГ), чья родовая принадлежность не может быть установлена, так как ее внутренние

обороты разрушены. Голотип *G. imitator* происходит из зоны *subcontractus* среднего бата. Аркелл [43, с. 193] указывает также находки этого вида и из зоны "aspidooides" верхнего бата. Столь необычное широкое стратиграфическое распространение, приводимое для "*Procerites imitator*", вероятно, обусловлено тем, что под этим названием описываются разновозрастные гомеоморфные *Procerites* и *Gracilisphinctes* с неизученным строением внутренних оборотов фрагмокона.

Геологическое и географическое распространение. Верхи среднего – низы верхнего бата, Англия, Юго-Западный Гиссар.

Материал. Хр. Кугитангтау, верхняя часть тангидувальской свиты, родник Чашмабулак – 4 экз., родник Гарамха – 1 экз., сай Вандоб – 6 экз., гора Мых – 1 экз., сел. Кызылалма – 1 экз., урочище Тангидувал, тот же уровень – 14 экз.

Gracilisphinctes pseudoimitator Vesnosov sp. nov.

Табл. 23, фиг. 1, 2

Голотип. ВНИГНИ, экз. № 115/1235. Средний бат, зона *subcontractus*, близ кровли тангидувальской свиты. Юго-Западный Гиссар, хр. Кугитангтау, сел. Кызылалма.

Название произведено от названия сходного *G. imitator* (Buckman).

Форма. Раковины средних размеров, до 130 мм. Внутренние обороты эволютные, в сечении прямоугольно-округлые, внешние охватывают предшествующие на 1/2–2/5 их высоты и в сечении прямоугольно-овальные, сжатые с боков. Бока плоские, вентральная сторона закругленная, широкая, умбональные стенки отвесные, высокие, пупок глубокий, средней ширины. Жилая камера занимает около 7/8 оборота, устье с прямыми боковыми краями, наклоненными вперед. Пережимы наблюдаются вплоть до жилой камеры, нерегулярные, наклонены вперед несколько круче, чем ребра.

Размеры, мм, и их соотношения:

№ экз.	Д	В	Ш	Ду	В/Д	Ш/Д	Ду/Д
115/1235	91	36	31	32	0,40	0,34	0,35
115/1234	120	47	41	41	0,39	0,34	0,34
115/3317	86	32	27	32	0,37	0,31	0,37
115/445	99	38	36	36	0,38	0,36	0,36
115/3318	76	30	28	28	0,39	0,37	0,37
115/3359	73	29	30	27	0,40	0,41	0,37

Скульптура. Ребристость внутренних оборотов фрагмокона густая, острая, состоит из простых и двуветвистых ребер. При диамет-

ре более 35 мм ребра на боках постепенно грубеют и редуют и нерегулярно ветвятся на два и на три в наружной части боков. Кроме ветвей присутствуют вставные ребра. В передней части жилой камеры наблюдается тенденция к сглаживанию боковых ребер, начиная от середины боков.

Сравнение. Описываемый вид наиболее близок по форме раковины к *G. imitator* (Buckman), от которого отличается помимо меньших размеров, также более тонкой ребристостью.

Материал. Хр. Кугитангтау, верхи тангидувальской свиты, родник Чашмабулак – 1 экз., сай Вандоб – 1 экз., сел. Кызылалма – 1 экз., урочище Тангидувал, тот же уровень – 4 экз.

Gracilisphinctes densicordatus (Galacz), 1980

Табл. 25, фиг. 1.

Choffatia (*Choffatia*) *densicordata*: Galacz, 1980, с. 127, табл. 35.

Голотип. *Choffatia* (*Choffatia*) *densicordata* Galacz, 1980 [75, табл. 35]. Верхний бат, зона *retrocostatum*. Венгрия.

Форма. Сохранившаяся часть фрагмокона имеет диаметр до 160 мм (экземпляры из типовой серии до 253 мм) и образована медленно нарастающими оборотами, охватывающими предшествующие менее чем на 1/3 их высоты. Сечение оборотов прямоугельно-овальное, бока плоские, вентральная сторона закругленная, умбональные стенки невысокие, крутые, пупок широкий мелкий. Пережимы присутствуют до диаметра 75 мм.

Размеры, мм, и их соотношения:

№ экз.	Д	В	Ш	Ду	В/Д	Ш/Д	Ду/Д
115/3310	135	42	38	64,5	0,31	0,28	0,48

Скульптура. Внутренние обороты фрагмокона несут на боках острые, частые, наклоненные вперед ребра. Начиная с диаметра 75 мм ребра на боках грубеют, притупляются и становятся более редкими. На внешних оборотах фрагмокона ребра ветвятся в наружной трети боков на два-три слабо связанные с боковым вентральных ребра, кроме которых присутствуют вставные. Число боковых ребер на 1/2 оборота составляет 24–25.

Сравнение. Описываемый вид отличается от других представителей подрода при сопоставимых размерах медленно нарастающими, слабообъемлющими оборотами и густой боковой ребристостью.

Замечания. А. Галач [75] отнес выделенный им вид к "*Choffatia* (*Choffatia*)", хотя указал (с. 127), что сравниваемый с ним "*Perisphinctes*

cf. *pseudofrequens*" [94, табл. 10, фиг. 4] представляет собой, возможно, *Gracilisphinctes*. У рассматриваемого вида отсутствует характерный признак *Choffatis* и гроссуврин вообще – грубые боковые ребра на средних стадиях онтогенеза. По развитию скульптуры в онтогенезе и присутствию пережимов на внутренних оборотах он является типичным *Gracilisphinctes*.

Геологическое и географическое распространение. Верхний бат, зона *retrocostatatum*, Венгрия, Юго-Западный Гиссар.

Материал. Хр. Кугитангтау, кровля тангидувальской свиты, сел. Кызылалма – 1 экз., урочище Тангидувал, тот же уровень – 1 экз.

Gracilisphinctes aff. *progracilis* (Cox et Arkell), 1950

aff *Gracilisphinctes gracilis*: Buckman, 1920, табл. 193.

aff. *Procerites progracilis*: Cox et Arkell, 1950, с. 94.

Procerites (Gracilisphinctes) aff. progracilis: Arkell, 1957, с. 197, табл. 28, фиг. 1 только.

Форма. Раковины до 200 мм. Сечение внутренних оборотов прямоугольно-округлое, внешних – овальное, сжатое с боков. Обороты объемлют предшествующие на 1/2 их высоты, бока слабовыпуклые, вентральная сторона закругленная, умбональные стенки на фрагмоко-не крутые, невысокие, на жилой камере выполаживаются.

Размеры, мм, и их соотношения:

№ экз.	Д	В	Ш	Ду	В/Д	Ш/Д	Ду/Д
115/7549	134	53	41	48	0,395	0,305	0,36

Скульптура. Боковые ребра сглаживаются на жилой камере при диаметре около 100 мм, вентральные ребра сохраняются до конца жилой камеры, относительно тонкие, частые.

Сравнение и замечания. Аркелл [43, табл. 28, фиг. 1] включил описываемую форму в состав *G. progracilis* со знаком "aff.", указав в качестве отличия от номинального вида тонкую ребристость. Наш экземпляр очень сходен с формой, изображенной Аркеллом.

Геологическое и географическое распространение. Средний бат, зона *progracilis*, Англия, Юго-Западный Гиссар.

Материал. Хр. Байсунтау, Дербент, тангидувальская свита – 2 экз., сборы В. В. Курбатова.

Gracilisphinctes aff. *magnificus* Arkell, 1958

Табл. 24

aff. *Procerites (Gracilisphinctes?) magnificus*: Arkell, 1958, с. 201, табл. 27, фиг. 6.

Форма. Фрагмокон с частью жилой камеры достигает 230 мм. Внешние обороты фрагмокона охватывают предшествующие более чем

на 1/2 их высоты, на жилой камере степень эволютности уменьшается до менее 1/2. Обороты в сечении овальные, сжатые с боков, Бока слабо-выпуклые, сближаются к широкой закругленной вентральной стороне. Умбональные стенки невысокие, крутые.

Размеры, мм, и их соотношения:

№ экз.	Д	В	Ш	Ду	В/Д	Ш/Д	Ду/Д
115/7563	201	87	60	82	0,43	0,30	0,41

Скульптура. Ребристость грубая, несколько сглаживающаяся на жилой камере, однако не исчезающая полностью. Ребра близ середины боков расщепляются на две-три нечетко связанные с боковым ребром ветви, слабо серповидно изогнутые или прямые.

Сравнение. От голотипа *G. magnificus* [43, табл. 27, фиг. 6] наш экземпляр отличается более узким пупком и более толстыми и высокими оборотами. Возможно, что эти отличия обусловлены меньшими размерами нашего экземпляра. От других крупнорослых *Gracilisphinctes* как и *G. magnificus* отличаются грубой ребристостью, сохраняющейся и на жилой камере.

Геологическое и географическое распространение. *G. magnificus* описан из зоны *progracilis* среднего бата Англии.

Материал. Хр. Кугитангтау, тангидувальская свита, перевал Захарли — 1 экз., сел. Панджоб — 1 экз.

Gracilisphinctes paragracilis Vesnosov sp. nov.

Табл. 26, фиг. 1

Голотип. ВНИГНИ, экз. 115/3385. Кровля тангидувальской свиты, пограничные слои среднего-верхнего бата. Юго-Западный Гиссар, урочище Тангидувал.

Название произведено от названия *progracilis* (Cox et Arkell).

Форма. Неполные фрагмоконы достигают диаметра 200 мм. Внутренние обороты фрагмокона до 30–40 мм в диаметре эволютные, при больших размерах обороты быстро нарастают в высоту и охватывают предшествующие на 2/3 их высоты. На внешних оборотах фрагмокона слабо выражена тенденция к уменьшению инволютности. Сечение внешних оборотов варьирует от овального до яйцевидного, бока слабо-выпуклые, сближаются к закругленной вентральной стороне. Умбональные стенки высокие крутые, выполаживаются на внешних оборотах. Пережимы наблюдаются до диаметра 50–60 мм. Устье и полные жилые камеры не сохранились.

Размеры, мм, и их соотношения:

№ экз.	Д	В	Ш	Ду	В/Д	Ш/Д	Ду/Д
115/3385	180	72	56	54	0,40	0,31	0,30
	130	60	49	48	0,40	0,33	0,32
115/3302	144	58	48	46	0,40	0,33	0,32
115/1140	170	66	51	51	0,39	0,30	0,30

Скульптура. Внутренние обороты фрагмокона диаметром до 30–40 мм покрыты тонкими частыми простыми и двуветвистыми ребрами. При больших размерах ребристость становится толстой, притупленной и более редкой, состоящей из дву- и трехветвистых ребер. При диаметре более 150 мм связь ветвей и боковых ребер ослабевает и затем ребра посередине боков сглаживаются.

Лопастная линия. Лопасты и седла рассечены неглубоко, суспенсивная лопасть хорошо развита.

Сравнение. По форме раковины и скульптуре наиболее сходен с *G. twinhoensis* (Arkell), от которого отличается более грубой и проще ветвящейся ребристостью; от *G. progracilis* (Cox et Arkell), с внутренними оборотами которого сходен по форме и скульптуре, — отсутствием полного сглаживания боковых ребер и более высокими оборотами.

Материал. Хр. Кугитангтау, верхи тангидувальской свиты, сай Вандоб — 1 экз., урочище Тангидувал, тот же уровень — 2 экз.

Graciliphinctes evolutus Vesnosov sp. nov.

Табл. 27, фиг. 1

Голотип. ВНИГНИ, экз. № 115/3290. Верхи тангидувальской свиты, средний бат, зона subcontractus. Юго-Западный Гиссар, ур. Тангидувал.

Название по форме раковины.

Форма. Неполные фрагмоконы достигают 210 мм. Внутренние обороты фрагмокона до 30–40 мм, эволютные, в сечении прямоугольно-округлые, средние объемлют предшествующие на 2/5 их высоты и приобретают овальное сечение, внешние обороты фрагмокона охватывают предшествующие на 1/3. Бока слабовыпуклые, сближаются к закругленной вентральной стороне. Умбональные стенки крутые, низкие на внутренних оборотах фрагмокона, выполаживаются на внешних. Пупок широкий, мелкий. Пережимы развиты до диаметра 40–50 мм. Жилые камеры не сохранились.

Размеры, мм, и их соотношения:

№ экз.	Д	В	Ш	Ду	В/Д	Ш/Д	Ду/Д
115/3290	210	64	49	91	0,30	0,23	0,43
	120	42	38	50	0,35	0,25	0,42
115/3429	210	60	—	84	0,33	—	0,40
115/3291	180	62	47	72	0,34	0,26	0,40

Скульптура. Ребристость внутренних оборотов до 50 мм в диаметре тонкая, густая, состоит из простых и двуветвистых ребер. При диаметре 50–100 мм боковые ребра редкие и грубые и сопряжены с тремя вентральными, при диаметре более 120–150 мм боковые ребра сглаживаются. Вентральные ребра наблюдаются до 210 мм – раковин с максимально сохранившимися размерами.

Лопастная линия. Лопасты тонкие, глубоко рассечены, суспенсивная лопасть глубокая.

Сравнение. Описываемый вид принадлежит к группе крупнорослых *Gracilisphinctes* с гладкими внешними оборотами; от *G. progradialis* (Cox et Arkell) и *G. mirabilis* Arkell, отличается, помимо прочего, медленно нарастающими оборотами, от *G. vineta* Arkell – овальным сечением оборотов. Своей эволютностью рассматриваемый вид сходен с *G. densicordatus* (Galacz), от которого отличается формой сечения оборотов, характером ребристости и ее ранним сглаживанием на боках.

Материал. Юго-Западный Гиссар, урочище Тангидувал, верхи тангидувальской свиты – 3 экз.

Gracilisphinctes kysylalmensis Besnosov sp. nov.

Табл. 28, фиг. 1

Голотип. ВНИГНИ, экз. № 115/1199. Кровля тангидувальской свиты, средний бат, зона subcontractus. Хр. Кугитангтау, сел. Кызылалма.

Название произведено от названия типового местонахождения.

Форма. Неполные фрагмоконы достигают диаметра 200 мм. Внутренние обороты фрагмокона диаметром до 30–40 мм эволютные с прямоугольно-округлым сечением оборотов, средние и внешние обороты становятся более инволютными, охватывают предшествующие на 1/2–2/3 их высоты и приобретают яйцевидное сечение, со слабовыпуклыми боками, сходящимися к узкой вентральной стороне. В конце фрагмокона и на жилой камере обороты объемлют предшествующие менее чем на 1/2 их высоты. Пережимы наблюдаются до диаметра 50 мм, полные жилые камеры и устье не сохранились.

Размеры, мм, и их соотношения:

№ экз.	Д	В	Ш	Ду	В/Д	Ш/Д	Ду/Д
115/1199	150	58	40	52	0,39	0,27	0,34
115/2930	180	65	48	62	0,36	0,27	0,34
	131	52	41	44	0,40	0,31	0,335
	114	48	38	37	0,42	0,33	0,32

Скульптура. Внутренние обороты фрагмокона покрыты тонкими густыми простыми и двуветвистыми ребрами. При диаметре более 40 мм боковые ребра постепенно грубеют, редкуют и ветвятся на два и на три. При диаметре более 55–60 мм боковые ребра на уровне ветвления уплощаются и затем сглаживаются начиная от середины боков. При диаметре более 150 мм полностью сглаживаются и вентральные ребра.

Лопастная линия. Лопасты и седла рассечены слабо, суспенсивная лопасть развита плохо.

Сравнение. Слабо рассеченной лопастной линией и формой внутренних оборотов сходен с *G. progradilis* (Cox et Arkell), от которого отличается интенсивнее ветвящимися и более грубыми ребрами, яйцевидным сечением внешних оборотов. По последнему признаку сходен с *G. mirabilis* Arkell, отличается от него меньшими размерами, сильнее выраженным развиванием внешних оборотов по умбональному краю, слабо развитой суспенсивной лопастью. По скульптуре фрагмокона сходен с внутренними оборотами с *G. vineta* Arkell.

Материал. Хр. Кугитангтау, кровля тангидувальской свиты, гора Мых – 1 экз., сай Вандоб – 1 экз., сел. Кызылалма – 1 экз.

ПОДРОД m *PREVALIA* STEPHANOV, 1972

Siemiradzka (*Prevalia*) Stephanov, 1972, с. 16.

Gracilisphinctes (*Prevalia*): Безносов, 1982, с. 57.

Типовой вид. *Siemiradzka* (*Prevalia*) *thressa* Stephanov, 1972. с. 67, табл. 14, фиг. 1. Средний–верхний бат. Болгария.

Диагноз. Раковины до 150 мм. Сечение внутренних оборотов округлое, внешних – овальное, сжатое с боков. Жилая камера занимает от 3/4 до 5/6 оборота. Устье с боковыми ушками. Пережимы развиты на фрагмоконе и на жилой камере, могут сопровождаться слабыми параболическими бугорками. Ребристость фрагмокона тонкая, густая, грубеет на жилой камере. Ребра дву- и трехветвистые, реже простые, сопряженные с вставными. На жилой камере ребристость может сглаживаться.

Состав. Восемь видов: *P. verciacensis* (Lissajous), *P. sparsicostata* (Westermann), *P. bajociformis* (Arkell), *P. pseudoperspicua* Stephanov, *P. thressa* Stephanov, *P. bassae* Stephanov, *P. stephanovi* Besnosov sp. nov., *P. prevalensis* Stephanov.

Сравнение. От подрода *Gracilisphinctes* отличается меньшими размерами, короткой жилой камерой, устьем с боковыми ушками.

Геологическое и географическое распространение. Соответствует распространению рода.

Prevalia thressa Stephanov, 1972

Табл. 22, фиг. 2

Siemiradzka (Prevalia) thressa: Stephanov, 1972, с. 67, табл. XIV, фиг. 1 а.

Голотип. *S. (P.) thressa* Stephanov, 1972 [145, с. 67, табл. XIV, фиг. 1 а], сконденсированный средний-верхний бат. Болгария, сел. Превала.

Форма. Раковины до 80 мм. Обороты объемлют предшествующие на 1/3-1/2 их высоты, в сечение овальные, сжатые с боков. Бока плоские, сближаются к закругленной вентральной стороне. Пупок широкий, мелкий. Жилая камера занимает 2/3 оборота. Устье с парными боковыми ушками. Пережимы слабые, широкие, развиты до устья. В задней части жилой камеры наблюдаются аномальные изгибы вентральных ребер, соответствующие старым устьям, но параболических бугорков не образуется. На ядре в задней части жилой камеры развита гладкая сифональная борозда.

Размеры, мм, и их соотношения:

№ экз.	Д	В	Ш	Ду	В/Д	Ш/Д	Ду/Д
115/3123	74	25	20	31	0,34	0,27	0,42
115/3111	63	21	16	27	0,335	0,255	0,43

Скульптура. Фрагмокон покрыт частыми острыми двуветвистыми ребрами. На жилой камере боковые ребра становятся редкими, притупленными, уплощающимися к наружной трети боков, где они расщепляются на слабо связанные с ними две, реже три ветви, переходящие во вставные ребра. Ребра начинаются от умбонального перегиба, на боках наклонены вперед, вентральную сторону переходят прямо. Около сифональной борозды ребра прерываются, а концы их отогнуты назад.

Сравнение. От *P. pseudoperspicua* Stephanov, *P. bassae* Stephanov и *P. prevalensis* Stephanov отличается прежде всего высоким сжатым с боков сечением оборотов; от наиболее сходного *P. vercia-*

censis (Lissajous) – сжатым сечением оборотов, менее четкими пережимами, редкими трехветвистыми и полным отсутствием пучковатых ребер.

Геологическое и стратиграфическое распространение. Конденсированные отложения зон *subcontractus* и *retrocostatum*. Болгария, Франция, Юго-Западный Гиссар.

Материал. Хр. Кугитангтау, пограничные слои тангидувальской и байсунской свит, сай Вандоб – 1 экз., урочище Сарыкамыш – 2 экз.

Prevalia verciacensis (Lissajous), 1923

Табл. 28, фиг. 2.

Perisphinctes (*Grossouvria*) *verciacensis*: Lissajous, 1923, с. 65, табл. 7, фиг. 1 (не фиг. 2, 2а).

Siemiradzka (*Prevalia*) *verciacensis*: Stephanov, 1972, с. 71 (полная синонимика).

Siemiradzka verciacensis: Крымгольц, Захаров, 1971, с. 22, табл. 5, фиг. 3 (не табл. 13, фиг. 1).

Лектотип. *Perisphinctes* (*Grossouvria*) *verciacensis* Lissajous, 1923 [94, т. 7, фиг. 1]. Средний – верхний бат. Франция, Макон. Установлен: [43, с. 219].

Форма. Раковины до 100 мм. Сечение оборотов овальное, сжатое с боков. Бока уплощенные, сближаются к закругленной вентральной стороне. Пупок широкий, мелкий. Жилая камера занимает около 4/5 оборота, устье не сохранилось. Пережимы нерегулярные, глубокие. В задней части жилой камеры на ядре развита узкая сифональная борозда.

Размеры, мм, и их соотношения:

№ экз.	Д	В	Ш	Ду	В/Д	Ш/Д	Ду/Д
115/3124	65	22	18	27	0,34	0,29	0,42

Скульптура. Ребристость фрагмокона и жилой камеры сравнительно грубая, состоит из дву- и трехветвистых ребер, чередующихся с отдельными простыми и вставными ребрами. Ребра начинаются на умбональной стенке, на боках слабо наклонены вперед, ветвятся в наружной трети боков, вентральную сторону переходят, образуя узкий изгиб назад по ее середине.

Сравнение. От *P. thressa* Stephanov отличается большими размерами, большим числом трехветвистых ребер и сильнее развитыми пережимами.

Замечания. *P. verciacensis* является широко цитируемым видом. Стефанов [145, с. 71] показал, что большинство ссылок на этот вид

недостаточно обосновано. Г. Я. Крымгольц и С. Ф. Захаров в табл. 5, фиг. 3 изобразили форму, близкую к описываемой, в табл. 13, фиг. 1 – крупного перисфинктида, родовая принадлежность которого неясна.

Геологическое и географическое распространение. Верхи среднего – низы верхнего бата, Франция, Болгария, Юго-Западный Гиссар.

Материал. Хр. Кугитангтау, сай Вандоб, пограничные слои тангидувальской и байсунской свит, три неполных экземпляра.

Prevalia stephanovi Vesnoso v sp. nov.

Табл. 25, фиг. 2

Голотип. ВНИГНИ, экз. № 115/3177. Кровля тангидувальской свиты, основание верхнего бата. Юго-Западный Гиссар, хр. Кугитангтау, сай Вандоб.

Название в честь болгарского палеонтолога Ю. Стефанова.

Форма. Раковины до 50–60 мм с медленно нарастающими оборотами, объемлющими предшествующие на 1/4 их высоты. Сечение оборотов прямоугольно-овальное, сжатое с боков. Бока плоские, вентральная сторона закругленная, пупок широкий, мелкий. Жилая камера занимает около 4/5 оборота, устье с боковыми ушками. Пережимы слабые, развиты до жилой камеры.

Размеры, мм, и их соотношения:

№ экз.	Д	В	Ш	Ду	В/Д	Ш/Д	Ду/Д
115/3147	51	16	14	24	0,31	0,27	0,47

Скульптура. Ребристость тонкая и густая, несколько редет и грубеет на боках передней части жилой камеры. Преобладают двуветвистые ребра, ветвящиеся в наружной трети боков, кроме них присутствуют простые и вставные. Ребра на боках прямые, радиальные и наклоненные вперед, вентральную сторону переходят прямо или слабо отклоняясь назад, ослабевая посередине вентральной стороны.

Сравнение. От *P. thressa* Stephanov, сходной по форме оборотов, отличается медленным их нарастанием в высоту и толщину, преобладанием двуветвистых ребер.

Материал. Хр. Кугитангтау, сай Вандоб, кровля тангидувальской свиты – 3 экз.

Род *Loboplanulites* Buckman, 1925

Loboplanulites: Buckman, 1925, табл. 596; Безносов, 1982, с. 59.

Choffatia (*Loboplanulites*): Arkell, 1957, с. 212.

Тип рода *Loboplanulites longilobatus* Buckman, 1925 [56, с. 596]. Верхний бат. Англия, Оксфорд. Голотип воспроизведен: [43, с. 225, фиг. 81 в тексте].

Диагноз. Макроконхи крупных размеров с эволютной раковиной. Сечение оборотов округлое до овального, приплюснутого. На поздних стадиях онтогенеза может становиться прямоугольно-овальным, слегка сжатым с боков. Устьевые края прямые. На внутренних оборотах развиты пережимы. Внутренние обороты фрагмокона несут острые, частые двуветвистые ребра. Последние быстро сменяются грубыми, редкими, иногда гребневидными ребрами, разделяющимися на две или трети ветви, значительно более слабые и частые; кроме ветвей присутствуют вставные ребра. Позднее боковые ребра уплощаются, а вентральные грубеют. На поздних стадиях ребристость может исчезать, при этом вначале сглаживаются боковые ребра. Микроконхи обладают медленнее возрастающими оборотами приплюснутого сечения, короткой жилой камерой, устьем с боковыми ушками и ребристостью, аналогичной скульптуре фрагмоконов макроконхов.

Состав. Более 9 видов: *L. longilobatus* Buckman, *L. cerealis* Arkell, *L. kranaiiformis* Arkell, *L. subkranaiiformis* sp. nov. *L. cerealiformis* sp. nov., *L. sakharovi* sp. nov., *L. prozorovskii* sp. nov., *L. choffatiaformis* sp. nov., *L. acuticosta* (Roemer):

Сравнение. От *Choffatia* Siemiradzki, с которыми наиболее сходны и часто объединяются, и от *Parachoffatia* Mangold отличаются низкими оборотами и более грубой боковой ребристостью, более поздним сглаживанием вентральных ребер по сравнению с боковыми. От *Subgrossouwia* Spath отличаются уплощением и сглаживанием боковых ребер на поздних стадиях онтогенеза, более частой ребристостью и грубеющими с возрастом вентральными ребрами, ранней потерей пережимов.

Замечания. Большинство известных *Loboplanulites* представляют собой макроконхи. Микроконхом этого рода, по-видимому, является "*Perisphinctes*" *acuticosta* Roemer, [127, табл. 8, фиг. 4]. Мангольд [96, с. 63] включил этот вид в *Homeoplanulites* (*Homeoplanulites*) Buckman. Своими приплюснутыми оборотами, грубыми и редкими боковыми ребрами "*P.*" *acuticosta* неотличим от внутренних оборотов *Loboplanulites*.

Loboplanulites subkranaiiformis Веснов sp. nov.

Табл. 29, фиг. 1

Голотип. ВНИГНИ, экз. № 115/3311. Средний – низы верхнего бата. Юго-Западный Гиссар, урочище Тангидувал.

Название по сходному виду *L. kranaiiformis* Arkell.

Форма. Раковины до 250 мм и более. Обороты сохраняют округлое, слегка приплюснутое сечение до диаметра раковины около 200 мм. Бока слабовыпуклые, вентральная сторона широкая, закругленная. Пупок широкий, умеренно глубокий, с крутыми стенками. Полная жилая камера не сохранилась. Пережимы развиты до диаметра раковины около 40 мм, узкие, глубокие.

Размеры, мм, и их соотношения:

№ экз.	Д	В	Ш	Лу	В/Д	Ш/Д	Лу/Д
115/3311	146	48	50	65	0,35	0,34	0,44
	116	40	46	54	0,34	0,40	0,47
115/3430	133	42	44	63	0,31	0,33	0,47
115/3365	63	21	27	28	0,33	0,43	0,44

Скульптура. До диаметра раковины 30 мм на боках развиты частые острые ребра. При больших размерах ребра редуют и при диаметре раковины более 40 мм превращаются в грубые ребра – складки, расщепляющиеся несколько кнаружи от середины боков на две-три более слабые ветви. Кроме ветвей присутствуют вставные ребра. Ребристость сохраняется до диаметра раковины более 200 мм, однако с возрастом боковые ребра несколько уплощаются. Ребра направлены радиально или слабо наклонены вперед. Вентральную сторону переходят прямо.

Сравнение. От *L. cerealis* Arkell отличаются более приплюснутыми оборотами, широкой вентральной стороной, более частой и грубой ребристостью; от *L. kranaiiformis* Arkell – более массивными и быстрее нарастающими в ширину оборотами, более редкой и грубой ребристостью. К списываемому виду очень близка "*Choffatia subbakeriae*" [91, с. 280, табл. 22, фиг. 1] *non Homeoplanulites (Parachoffatia) subbakeriae* (d. Orbigny), которая отличается менее округлым сечением оборотов, более узкой вентральной стороной и более частой ребристостью фрагмокона.

Материал. Юго-Западный Гиссар, урочище Тангидувал, верхи тангидувальской свиты – 3 экз.

Табл. 30, фиг. 1

Голотип. ВНИГНИ, экз. № 115/3287. Средний – низы верхнего бата, кровля тангидувальской свиты. Юго-Западный Гиссар, урочище Тангидувал.

Название по сходному виду – *L. cerealis* Arkell.

Форма. Раковины более 200 мм. Сечение оборотов при диаметре раковины менее 120 мм округлое и приплюснутое, при больших размерах становится прямоугольно-овальным, слабо сжатым с боков. Бока слабовыпуклые, несколько сближаются к закругленной вентральной стороне. Пупок широкий, умеренно глубокий, с невысокими, плавно переходящими в бока стенками. Полная жилая камера не сохранилась. Пережимы развиты до диаметра раковины 60–70 мм, широкие, глубокие, один-два на оборот.

Размеры, мм, и их соотношения:

№ экз.	Д	В	Ш	Ду	В/Д	Ш/Д	Ду/Д
115/3287	–	80	70	–	–	–	–
	–	57	50	63	–	–	–
	95	32	32	43	0,335	0,335	0,45
	71	24	26	30	0,34	0,37	0,42
115/3432	–	100	–	–	–	–	–
	–	66	59	85	–	–	–
	114	40	41	52	0,35	0,36	0,45
115/3798	66	20	26	32	0,30	0,40	0,49
	–	73	70	–	–	–	–
	117	43	43	57	0,37	0,37	0,48

Скульптура. Раковины до диаметра 30 мм несут на боках частые, острые, наклоненные вперед ребра, которые постепенно редуют и грубеют и превращаются при диаметре более 40 мм в острые, гребневидные ребра-складки, расщепляющиеся при переходе на вентральную сторону на две-три ветви. Кроме ветвей на каждое ребро приходится один-два вставных ребра. При диаметре раковины более 70 мм боковые ребра уплощаются, а вентральные грубеют. При высоте оборота более 45–50 мм боковые ребра сглаживаются полностью. Вентральные ребра сглаживаются при высоте оборота около 80–100 мм.

Сравнение. По форме раковины описываемый вид очень сходен с *L. longilobatus* Buckman, однако изображения последнего непригодны для уверенной идентификации. От *L. cerealis* Arkell описываемый вид отличается быстрее нарастающими в высоту и ширину оборотами, редкой ребристостью на средних стадиях онтогенеза, ранним

уплощением и сглаживанием ребристости. *L. aff. cerealis* [43, табл. 31, фиг. 3] сходен с описываемым видом относительно узким пупком и быстро возрастающими оборотами, отличается слабыми боковыми ребрами. "*Choffatia*" *cerealis* [85, с. 76, табл. 3, фиг. 3] (не *L. cerealis* Atkell) незначительно отличается от описываемого вида заметным наклоном ребер вперед.

Материал. Юго-Западный Гиссар, урочище Тангидувал, верхи тангидувальской свиты – 6 экз., хр. Кугитангтау, сай Вандоб, тот же уровень – 1 экз.

Loboplanulites zakharovi Vesnosov sp. nov.

Табл. 31, фиг. 1

Siemiradzka subfurcula: Крымгольц, Захаров, 1971, с. 24, табл. 12, фиг. 1, табл. 13, фиг. 2 (non *Parachoffatia? subfurcula* Lissajous, 1923).

Голотип. ВНИГНИ, экз. № 115/9229. Верхи среднего – низы верхнего бата. Хр. Кугитангтау.

Название в честь геолога Е. Ф. Захарова.

Форма. Раковины более 200 мм. Сечение оборотов овальное. Бока слабовыпуклые, сближающиеся к закругленной вентральной стороне. Пупок широкий, умеренно глубокий, с невысокими крутыми стенками. Полная жилая камера и внутренние обороты не сохранились.

Размеры, мм, и их соотношения:

№ экз.	Д	В	Ш	Ду	В/Д	Ш/Д	Ду/Д
115/9229	166	62	58	70	0,37	0,35	0,42

Скульптура. До диаметра 130 мм на боках развиты грубые, круто наклоненные вперед валиковидные ребра, расщепляющиеся несколько кнаружи от середины боков на две или три более слабые ветви. Кроме ветвей развиты вставные ребра. При больших размерах боковые ребра уплощаются, а вентральные грубеют и теряют связь с боковыми. Ребра на боках сильно наклонены вперед, вентральную сторону переходят прямо.

Сравнение. От сходного по форме сечения оборотов и скульптуре *L. cerealis* Atkell отличается быстрее нарастающими в высоту и ширину оборотами; от *L. cerealisformis* sp. nov. и *L. subkranaiformis* sp. nov. – сильным наклоном боковых ребер вперед и сближением боков к вентральной стороне.

Материал. Голотип.

Loboplanulites prosorowskii Besnosov sp. nov.

Табл. 32, фиг. 1

Голотип. ВНИГНИ, экз. № 115/6202. Кошаджубинская свита, средний—верхний бат. Большой Балхан, гора Кошаджуба.

Название в честь геолога В. А. Прозоровского.

Форма. Раковина крупная. Сечение оборотов при диаметре до 70 мм округлое, позже становится овальным, сжатым с боков. Бока слабопуклые, несколько сближаются к закругленной вентральной стороне. Лупок широкий. Полная жилая камера не сохранилась. Пережимы слабые, развиты до диаметра около 40 мм.

Размеры, мм, и их соотношения:

№ экз.	Д	В	Ш	Ду	В/Д	Ш/Д	Ду/Д
115/6202	105	40	—	42	0,38	—	0,40
	—	40	40	—	—	—	—

Скульптура. Внутренние обороты до диаметра около 30 мм несут на боках тонкие, острые, частые ребра. При больших размерах ребра на боках быстро превращаются в короткие грубые валики, расщепляющиеся примерно посередине боков на многочисленные тонкие ветви, чередующиеся со вставными ребрами. При диаметре более 70 мм боковые ребра постепенно уплощаются, становятся широкими, а вентральные ребра заметно грубеют. Ребра направлены радиально или слабо наклонены вперед.

Сравнение. От наиболее сходного *L. subkranaiformis* sp. nov. отличается короткой стадией с округлым и приплюснутым сечением оборотов и более короткими и грубыми боковыми ребрами.

Материал. Большой Балхан, гора Кошаджуба, нижняя половина кошаджубинской свиты, средний — верхний бат, полный фрагмоконт (голотип) и обломок фрагмокона.

Loboplanulites hoffatiaformis Besnosov sp. nov.

Табл. 33, фиг. 1

Голотип. ВНИГНИ, экз. № 115/488. Средний — верхний бат. Хр. Кугитангтау, сай Вандоб.

Название по сходному роду *Hoffatia*.

Форма. Раковины более 200 мм. Сечение внутренних оборотов до диаметра около 100 мм прямоугольно-округлое с высотой, равной ширине или меньшей. С увеличением размеров сечение оборота стано-

вится овальным, сжатым с боков. Бока слабовыпуклые, сближаются к закругленной вентральной стороне. Пупок широкий, мелкий, с невысокими отвесными стенками. Жилая камера и самые внутренние обороты не сохранились.

Размеры, мм, и их соотношения:

№ экз.	Д	В	Ш	Ду	В/Д	Ш/Д	Ду/Д
115/488	190	58	55	86	0,31	0,29	0,45
	90	25	25	52	0,28	0,28	0,58

Скульптура. Начиная с диаметра раковины около 50 мм на боках развиты грубые редкие, гребневидные ребра, превращающиеся при диаметре более 130 мм в широкие валики, несколько сглаживающиеся в конце фрагмокона (при диаметре около 190 мм). В наружной трети боков ребра расщепляются на 2–3 слабо связанные с осями ветви, кроме которых присутствуют вставные ребра. Вентральные ребра слабее боковых, с возрастом грубеют. Ребра начинаются от умбонального перегиба, на боках слабо наклонены вперед, вентральную сторону переходят прямо.

Сравнение. От совместно распространенных *L. subkranaiiformis* sp. nov., *L. cerealiformis* sp. nov. описываемый вид отличается очень медленно возрастающими в высоту и ширину средними оборотами и высоким, сильно сжатым с боков сечением внешнего оборота фрагмокона. Медленным нарастанием оборотов он сходен с "*Perisphinctes recuperoi*" Passendorfer, 1938, табл. 3, фиг. 1, (не *L. recuperoi* (Gemellaro) из бата Татр). Однако этот представитель *Loboplanulites* обладает более узким пупком и поздним погружением боковой ребристости.

Материал. Голотип.

Род *Homeoplanulites* Buckman, 1922

Homeoplanulites: Mangold, 1970, с. 49; Безносов, 1982, с. 59.

Типовой вид *Homeoplanulites homeomorphus* Buckman, 1922 [56, табл. 328]. Келловой, зона macrocephalus. Англия, Дорсет.

Диагноз. Диморфный род. Макро- и микроконхи объединяются на уровне подродов. Сечение оборотов овальное, сжатое с боков. Внутренние обороты фрагмокона несут параболические ребра, позже появляются пережимы. Скульптура внутренних оборотов состоит из острых двуветвистых ребер, на внешних оборотах фрагмокона и на жилой камере развиты редкие грубые боковые ребра, нерегулярно

расщепляющиеся на 2–3 ветви, кроме которых присутствуют вставные ребра.

Состав. Два подрода: *M Parachoffatia* Mangold, 1970; *m Homeoplanulites* Buckman, 1922.

Сравнение. От *Loboplanulites* Buckman отличается меньшими размерами, преимущественно овальным сечением оборотов, развитием параболических ребер и бугорков на внутренних оборотах, отсутствием сглаживания скульптуры на жилых камерах; от *Choffatia* Siemiradzki – развитием параболических ребер и бугорков на внутренних оборотах.

Геологическое и географическое распространение. Средний бат – нижний келловей, Европа, Индия, Кавказ, Средняя Азия.

ПОДРОД *M PARACHOFFATIA* MANGOLD, 1970

Parachoffatia: Mangold, 1970, с. 72; Безносов, 1982, с. 60.

Типовой вид. *Ammonites subbackeriae* d'Orbigny, 1850 [109, с. 296]. Низы нижнего келловоя. Франция, Де-Севр.

Диагноз. Раковины до 200 мм, жилая камера занимает около одного оборота, устье с прямыми боковыми краями.

Состав. Пять видов: *P. subbackeriae* (d'Orbigny), *P. arkelli* Mangold, *P. arisphinctoides* (Arkell), *P. funatus* (Oppel), *P. vandobense* Besnosov sp. nov.

Сравнение. От подрода *Homeoplanulites* отличается длинной жилой камерой, простым устьем и большими размерами.

Геологическое и географическое распространение. Соответствует распространению рода.

Parachoffatia vandobense Besnosov sp. nov.

Табл. 29, фиг. 3

Голотип. ВНИГНИ, экз. № 115/769. Нижняя байсунская подсвита, верхний бат, зона *retrocostatum*. Хр. Кугитангтау, сай Вандоб.

Название по типовому местонахождению.

Форма. Неполный фрагмокон достигает 80 мм. Обороты быстро нарастают в высоту, объемля предшествующие более чем наполовину. Сечение оборотов овально-трапециевидное с наибольшей шириной близ умбонального перегиба. Бока плоские, сходятся к широкой выпуклой вентральной стороне. Пупок средний с крутыми стенками. Параболические ребра присутствуют на внутренних оборотах фрагмокона, на средних и внешних развиты пережимы.

Размеры, мм, и их соотношения:

№ экз.	Д	В	Ш	Ду	В/Д	Ш/Д	Ду/Д
115/479	77,5	30	27	28	0,39	0,35	0,36

Скульптура. Внутренние обороты фрагмокона покрыты острыми частыми двуветвистыми ребрами. Начиная с диаметра около 40 мм ребра постепенно редуют и грубеют, уплощаясь в наружной трети боков, где разделяются на две-три ветви, нечетко связанные с боковым ребром и переходящие во вставные ребра.

Сравнение. Описываемый вид по характеру нарастания раковины и ребристости сходен с фрагмоконами *P. subbackeriae* (d'Orbigny), отличается трапецевидно-овальным сечением оборотов.

Материал. Голотип.

Parachoffatia arisphinctoides (Arke11), 1959

Табл. 30, фиг. 2

Choffatia arisphinctoides: Arke11, 1959, с. 218, табл. 32, фиг. 3, 10.

Homeoplanulites (Parachoffatia) arisphinctoides: Mangold, 1970, с. 79, табл. 3, фиг. 10.

Perisphinctes (Procerites) moorei: Lissajous, 1923, с. 80, табл. 13, фиг. 1.

Homeoplanulites (Parachoffatia) sp.: Безносов, 1982, табл. 7, фиг. 4.

Голотип. *Choffatia arisphinctoides* Arke11, 1959 [43, табл. 32, фиг. 3]. Верхний бат. Англия, Сомерсет.

Форма. Раковины до 170–200 мм с быстро нарастающими в высоту и толщину оборотами овального сечения. Бока слабовыпуклые, вентральная сторона закругленная, пупок средних размеров, умбональные стенки крутые на внутренних оборотах фрагмокона, выполаживаются на жилой камере. На фрагмоконе развиты пережимы.

Размеры, мм, и их соотношения:

№ экз.	Д	В	Ш	Ду	В/Д	Ш/Д	Ду/Д
115/2809	71	27,5	24	29	0,39	0,34	0,41
115/7879	59	24	21	24	0,41	0,355	0,41

Скульптура. Боковые ребра на средних и внешних оборотах фрагмокона грубые, широкие, расширяющиеся и несколько уплощающиеся близ середины боков, где разделяются преимущественно на три более слабые ветви.

Сравнение. От других видов *Parachoffatia* отличаются быстро нарастающими в высоту и ширину оборотами, сравнительно грубой ребристостью.

Геологическое и географическое распространение. Верхний бат, зона *retrocostatum* – низы зоны *discus*, Европа, Средняя Азия.

Материал. Хр. Кугитангтау, родник Казанбулак, кровля нижней байсунской подсвиты – 4 экз.

ПОДРОД *m* *HOMEOPLANULITES* BUCKMAN, 1922

Homeoplanulites: Buckman, 1922, табл. 328; Westermann, 1958, с. 85; Arkell, 1959, с. 211; Hahn, 1969, с. 70.

Homeoplanulites (*Homeoplanulites*): Mangold, 1970, с. 49; Безносков, 1982, с. 60.

Anaplanulites: Buckman, 1922, табл. 319.

Pseudoperisphinctes: Schindewolf, 1923, с. 346.

Типовой вид. Соответствует типовому виду рода.

Диагноз. Раковины до 150 мм. Жилая камера от 1/2 до 5/6 оборота, устье с боковыми ушками.

Состав. Десять видов: *H. homeomorphus* Buckman, *H. difficilis* (Buckman), *H. couxi* (Dominijon), *H. mangoldi* (Dominijon), *H. rambertensis* Mangold, *H. rotundatus* (Roemer), *H. ybbsensis* (Jussen), *H. evolutus* sp. nov., *H. paradifficilis* sp. nov., *H. pseudoannularis* (Lissajous).

Сравнение. От подрода *Parachoffatia* Mangold отличается меньшими размерами, короткой жилой камерой и устьем с боковыми ушками.

Геологическое и географическое распространение. Соответствует распространению рода.

Homeoplanulites evolutus Besnosov sp. nov.

Табл. 26, фиг. 2,3

Голотип. ВНИГНИ, экз. № 115/3811. Верхний бат, зона *retrocostatum*. Хр. Кугитангтау, сай Вандоб.

Название по эволютной форме раковины.

Форма. Раковины до 60 мм с медленно нарастающими оборотами овального сечения, охватывающими предшествующие на 1/4 их высоты. Бока слабовыпуклые, вентральная сторона закругленная. Пупок широкий, мелкий. Жилая камера занимает около 2/3 оборота, устье не сохранилось. Пережимы нерегулярные, развиты до жилой камеры включительно.

Размеры, мм, и их соотношения:

№ экз.	Д	В	Ш	Ду	В/Д	Ш/Д	Ду/Д
115/3811	51	15	12	24	0,29	0,24	0,47
115/3173	52	16	13	24	0,31	0,25	0,46

Скульптура. Внутренние обороты фрагмокона на боках покрыты густыми острыми, круто наклоненными вперед ребрами. На жилой камере ребра на боках редкеют и грубеют. В наружной трети боков они расщепляются на две-три, слабо связанные с боковым ребром ветви, кроме которых присутствуют вставные ребра. Вентральную сторону ребра переходят прямо, со слабым изгибом назад посередине.

Сравнение. Вид сходен с *H. pseudoannularis* (Lissajous), от которого отличается сжатым с боков овальным сечением оборотов и менее широким пупком.

Материал. Хр. Кугитангтау, сай Вандоб, кровля тангидувальской свиты — 2 экз.

Homeoplanulites paradifficilis Besnosov sp. nov.

Табл. 29, фиг. 2

Голотип. ВНИГНИ, экз. № 115/3126. Верхний бат, зона *retrocostatium*. Хр. Кугитангтау, урочище Сарыкамыш.

Название произведено от названия сходного вида *H. difficilis* (Busckman).

Форма. Раковина до 70 мм с относительно быстро нарастающими в высоту оборотами, охватывающими предшествующие на 1/3 их высоты. Сечение оборотов высокоовальное. Бока плоские, сближаются к закругленной вентральной стороне. Пупок широкий мелкий. Полная жилая камера и устье не сохранились. Круто наклоненные вперед пережимы развиты до передней части жилой камеры.

Размеры, мм, и их соотношения:

№ экз.	Д	В	Ш	Ду	В/Д	Ш/Д	Ду/Д
115/3126	63	20	16	25	0,32	0,26	0,40

Скульптура. На боках фрагмокона развиты острые густые, круто наклоненные вперед ребра. На жилой камере ребра на боках становятся редкими и более грубыми, уплощаются в наружной трети боков, где расщепляются на две-четыре слабо связанные с боковым ребром ветви, кроме которых присутствуют вставные ребра, преобладающие в передней части жилой камеры. Ребра на боках наклонены

вперед, вентральную сторону переходят прямо с изгибом назад посередине.

Сравнение. По форме раковины и характеру ребристости описываемый вид сходен с келловейским *H. difficilis* (Busck & Van), от которого отличается мелкими размерами.

Материал. Голотип.

Homeoplanulites rotundatus (Roemer), 1911.

Табл. 28, фиг. 3

Perisphinctes rotundatus: Roemer, 1911, с. 44, табл. 5, фиг. 6, табл. 8, фиг. 2, табл. 9, фиг. 4, табл. 12, фиг. 2.

Siemiradzka (Pseudoperisphinctes) rotundata: Westermann, 1958, с. 83, табл. 40, фиг. 2, 3, табл. 43, фиг. 1, 2.

Лектотип. *Perisphinctes rotundatus* Roemer, 1911 [127, табл. 5, фиг. 6, табл. 8, фиг. 2]. Верхний бат. ФРГ, Лехштедт. Установлен: [41, с. 363]. Переизображен: [162, табл. 43, фиг. 1, 2; 43, фиг. 83/1 в тексте].

Форма. Раковины до 170 мм с быстро нарастающими в высоту и толщину оборотами. Сечение оборотов фрагмокона округлое, жилой камеры трапезиевидно-округлое. Бока слабовыпуклые, сближаются к закругленной вентральной стороне. Пупок средних размеров, относительно глубокий, с крутыми стенками. Полная жилая камера и устье не сохранились. Внутренние обороты фрагмокона несут слабые параболические ребра. На внешних оборотах фрагмокона и на жилой камере развиты узкие мелкие пережимы.

Размеры, мм, и их соотношения:

№ экз.	Д	В	Ш	Ду	В/Д	Ш/Д	Ду/Д
115/427	52	21,5	21	17	0,41	0,40	0,32
	28	11	11	10	0,39	0,39	0,36

Скульптура. Фрагмокон покрыт тонкими частыми дву- и трехветвистыми ребрами. На жилой камере ребристость становится на боках более редкой и несколько грубеет. В наружной трети боков ребра уплощаются и расщепляются на две или три ветви, кроме которых присутствуют вставные ребра. Ребра радиальные, слабо серповидно изогнутые, вентральную сторону переходят прямо.

Сравнение. От других видов подрода отличается массивными сильно объемлющими внешними оборотами, сравнительно узким и глубоким пупком.

Замечания. Под названием *Perisphinctes rotundatus* Ремер изобразил серию разнообразных мелких гроссуврин. Вестерманн [162]

ограничил вид верхнебатскими формами, близкими к лектотипу, выбранному Аркеллом.

"*P. rotundatus*" предложен Г. Х. Шиндевольфом [135] в качестве типового вида рода *Pseudoperisphinctes*, номинативного рода подсемейства *Pseudoperisphinctinae* Schindewolf, 1925. Хан [85] показал принадлежность вида Ремера роду *Homeoplanulites* Buckman, 1922, название которого имеет приоритет перед названием *Pseudoperisphinctes* Schindewolf, 1923. Соответственно невалидно и название *Pseudoperisphinctinae*. Вид принадлежит к числу часто цитируемых, однако кроме немецких экземпляров, изображенных Ремером и Вестерманном (см. синонимику), сходство с лектотипом показывает экземпляр, изображенный Лиссажу [94, табл. 12, фиг. 2] из верхнего бата Юго-Восточной Франции. Изображенные под этим названием нижнебатские формы Юго-Восточной Франции [148, табл. 24, фиг. 2] представляют типичный *Procerites*.

Геологическое и географическое распространение. Верхний бат, зона *retrocostatum*, Южная Франция, ФРГ, Юго-Западный Гиссар.

Материал. Хр. Кугитангтау, сай Вандоб, пограничные слои тангидувальской и байсунской свит – 1 экз.

Homeoplanulites rambertensis Mangold, 1970

Табл. 27, фиг. 2

Homeoplanulites (Homeoplanulites) rambertensis: Mangold, 1970, с. 58, табл. 2, фиг. 10, 11, табл. 3, фиг. 8, рис. 43 в тексте; Безносов, 1982, табл. 6, фиг. 5.

Голотип. *Homeoplanulites (Homeoplanulites) rambertensis* Mangold, 1970 [96, табл. 3, фиг. 8]. Верхний бат, зона *discus*. Франция, Эн.

Форма. Раковины до 50–60 мм с медленно нарастающими оборотами прямоугольно-овального сечения, объемлющими предшествующие на 1/3 их высоты. Бока плоские или слабовыпуклые, вентральная сторона закругленная. Пупок средних размеров, мелкий. Жилая камера занимает 5/6 оборота. Устье с боковыми ушками. Пережимы узкие, слабые, развиты до жилой камеры.

Размеры, мм, и их соотношения:

№ экз.	Д	В	Ш	Ду	В/Д	Ш/Д	Ду/Д
115/7878	53	17	12	25	0,32	0,23	0,47
115/7877	41	15	–	17	0,365	–	0,41
115/1952	35	12	10	14	0,34	0,285	0,40
115/1342	36	13	–	14	0,36	–	0,39

Скульптура. Фрагмокон покрыт на боках тонкими, частыми, наклоненными вперед ребрами. На жилой камере ребристость становится более грубой и редкой. Ребра начинаются от шва, во внутренней части боков вздуваются, а затем к середине боков уплощаются и нерегулярно расщепляются на две-три ветви. Ребра радиальные или слабо серповидно изогнутые выпуклостью вперед, вентральную сторону переходят прямо, иногда образуя посередине слабый изгиб и ослабляясь.

Сравнение. Вид отличается мелкими размерами, резко дифференцированной боковой и вентральной ребристостью жилой камеры с сильно вздутыми боковыми ребрами.

Геологическое и географическое распространение. Бат, зона *discus*, Франция, Юго-Западный Гиссар.

Материал. Хр. Кугитангтау, кровля нижней байсуйской подсвиты, родник Казанбулак — 4 экз., сай Вандоб — 1 экз.

Род *Subgrossouvria* Spath, 1924

Subgrossouvria: Spath, 1924, с. 13; 1931, с. 327; Elmi, 1962, с. 105; Безносков, 1982, с. 61.

Choffatia (*Subgrossouvria*): Mangold, 1970, с. 157, non *Subgrossouvria*: Arkell, 1957, с. 319.

Типовой вид. *Perisphinctes abberans* Waagen, 1875. [157, с. 175, табл. 41, фиг. 1]. Нижний—средний келловей. Индия, Кач.

Диагноз. Диморфный род. Макроконхи до 200 мм. Сечение оборотов округлое, приплюснутое или слабо сжатое с боков. Устье и полная жилая камера неизвестны. Широкие и глубокие пережимы развиты до конца фрагмокона. Внутренние обороты фрагмокона несут тонкие и острые двуветвистые ребра. На внешних оборотах фрагмокона и на жилой камере на боках развиты редкие сильные валиковидные или гребневидные ребра, разделяющиеся в наружной части боков на две-три слабые ветви, кроме которых присутствуют вставные ребра. С возрастом ребристость на вентральной стороне сглаживается. Микроконхи до 150 мм, с округлым или овальным сечением оборотов, с короткой, около 2/3—3/4 оборота жилой камерой и устьем с боковыми ушками. Фрагмокон и задняя часть жилой камеры несут параболические бугорки. Ребристость сходна с ребристостью макроконхов.

Состав. Более 18 видов: макроконхи — *S. abberans* (Waagen), *S. blakei* Spath, *S. morleydaviesi* Spath, *S. intermedia* Spath, *S. recuperoi* (Gemellaro), *S. gudjinsirensis* (Waagen), *S. coronaeformis* (Loczy), *S. soorkersis* Spath, *S. waageni* Theyseyre, *S. steniformis* Spath, *S. jupiter* (Steinman), *S. richei* Mangold, *S. fasciculpta* (Loczy), микроконхи — *S. bathonica* (Mangold), *S. torosa* (Parona

et Bonarelli), *S. chanasiensis* (Mangold), *S. kontkiewici* (Siemiradzki), *S. hodjaikanensis* sp. nov.

Сравнение. От *Loboplanulites* Buckman отличается меньшими размерами макроконхов, дольше сохраняющимися пережимами, отсутствием сглаживания боковых ребер и сглаживанием вентральных ребер, от *Choffatia* Siemiradzki – округлым сечением оборотов, более грубыми и несглаживающимися в онтогенезе боковыми ребрами.

Геологическое и географическое распространение. Верхний бат – средний келловей, Европа, Индия, Кавказ, Средняя Азия.

M Subgrossouvria sp.

Табл. 19, фиг. 6

Форма. Раковины более 100 мм. Сечение оборотов округлое, слегка приплюснутое. Бока слабовыпуклые, вентральная сторона широкая, закругленная. Лупок широкий с невысокими крутыми стенками. Пережимы частые, широкие, развиты до жилой камеры.

Размеры, мм, и их соотношения:

№ экз.	Д	В	Ш	Ду	В/Д	Ш/Д	Ду/Д
115/2824	96	29	30	50	0,30	0,31	0,52
115/1334	58	19	21	0,33	0,36	0,45	

Скульптура. На фрагмоне до диаметра 25 мм развиты острые частые ребра, которые постепенно редют и при диаметре более 40 мм превращаются в редкие гребневидные валики. Вентральные ребра слабо связаны с боковыми и с возрастом эта связь полностью утрачивается. На одно боковое ребро приходится 3–5 вентральных.

Сравнение. От сходной по форме раковины *S. recuperoi* (Gemellaro) отличается более обособленной и тонкой вентральной ребристостью.

Материал. Хр. Кугитангтау, родник Казанбулак, кровля нижней байсунской подсвиты – 2 неполных экземпляра.

m Subgrossouvria hodjaikanensis Beznosov sp. nov.

Табл. 32, фиг. 2

Subgrossouvria sp. (m): Безносов, 1982, табл. 7, фиг. 3.

Голотип. ВНИГНИ, экз. № 115/1337. Верхний бат, зона discus. Хр. Кугитангтау, родник Казанбулак.

Название по соляной горе Ходжаикан близ типового местонахождения.

Форма. Раковины до 50 мм. Сечение оборотов фрагмокона округлое, жилой камеры – овальное, сжатое с боков. Бока слабовыпуклые, вентральная сторона закругленная, пупок широкий мелкий. Жилая камера занимает более 2/3 оборота. Устье не сохранилось. Развита параболические бугорки и пережимы, учащающиеся в конце фрагмокона и в задней части жилой камеры.

Размеры, мм, и их соотношения:

№ экз.	Д	В	Ш	Ду	В/Д	Ш/Д	Ду/Д
115/1397	42	14	12	19	0,35	0,29	0,45

Скульптура. Фрагмокон покрыт двуветвистыми ребрами, кроме которых присутствуют отдельные вставные. Ребристость частая, боковые ребра грубее вентральных, наклонены вперед, вентральные ребра посередине вентральной стороны слегка изгибаются назад. На жилой камере боковые ребра становятся редкими, гребневидными, уплощаются в наружной трети боков, где разделяются на две слабо связанные с ними ветви, кроме которых присутствуют вставные ребра. В передней части жилой камеры вставные ребра преобладают.

Сравнение. От сходной *S. kontkiewiczzi incomposita* (Pfaehler – Erath) отличается ранней модификацией скульптуры и более грубыми ребрами на боках жилой камеры.

Материал. Хр. Кугитангтау, родник Казанбулак, кровля нижней байсунской подсвиты – 2 экз.

Род *Wagnericeras* Buckman, 1921

Wagnericeras: Buckman, 1921, с. 33; Arkell, 1958, с. 175; Hahn, 1969, с. 66; Mangold, 1970, с. 48; Безносцов, 1982, с. 61.

Suspensites: Buckman, 1922, табл. 346; Arkell, 1958, с. 177.

Типовой вид. *Ammonites Wagneri* Oppel, 1857 [107, с. 477] (= *Ammonites planula* d'Orbigny, 1856 [109, с. 416, табл. 144]). Бат. Нормандия.

Диагноз. Род диморфный. Раковины до 150 мм. Сечение оборотов фрагмокона почковидное, приплюснутое, жилой камеры – овальное сжатое с боков. Полная жилая камера и устье неизвестны. Средние обороты на боках несут короткие грубые ребра, разделяющиеся в наружной половине боков на две-три ветви, кроме которых присутствуют вставные ребра. На жилой камере скульптура может сглаживаться и полностью исчезать. Боковые ребра сглаживаются раньше вентральных. Лопасты и седла рассечены слабо.

Состав. Семь видов: макроконхи – *W. wagneri* (Oppel), *W. fortcostatum* (Grössouvre), *W. bathonicum* (Arkell), *W. pseudosubtile* (Lissajous), *W. arbustigerum* (d'Orbigny), *W. suspensum* (Buckman), микроконх – *W. pelletieri* (Lissajous).

Сравнение. От сходного по стилю развития ребристости *Loboplanulites* Buckman отличается отсутствием пережимов, короткими бугорчатыми боковыми ребрами, слабо рассеченными лопастями и седлами.

Геологическое и географическое распространение. Средний – верхний бат, Европа, Юго-Западный Гиссар.

Wagnericeras aff. wagneri (Oppel), 1857

Табл. 32, фиг. 3

aff. *Ammonites wagneri*: Oppel, 1857, с. 477.

aff. *Wagnericeras wagneri*: Arkell, 1958, с. 176, фиг. 65 в тексте.

Форма. Раковина более 100 мм. Сечение оборотов до диаметра 70 мм, почковидное, приплюснутое, позже становится округлым и несколько сжатым с боков. Бока на внутренних оборотах низкие, плавно переходят в широкую закругленную вентральную сторону, при диаметре более 70 мм бока становятся выпуклыми. Лупок широкий, глубокий, с высокими крутыми стенками.

Скульптура. При диаметре фрагмокона 70–80 мм на боках развиты короткие бугорообразные ребра, расщепляющиеся на две-три слабо связанные с ними ветви, переходящие во вставные ребра. При больших размерах ребристость сглаживается.

Сравнение. От наиболее сходного *W. wagneri* (Oppel) отличается более приплюснутыми средними оборотами фрагмокона, более грубыми и редкими боковыми ребрами, ранним и быстрым сглаживанием ребристости уже на фрагмоконе.

Материал. Хр. Кугитангтау, сай Вандоб, нижняя байсунская подсвита, верхний бат, зона *retrocostatum*, неполный фрагмокон плохой сохранности.

Wagnericeras arbustigerum (d'Orbigny), 1846

Табл. 30, фиг. 3

Ammonites arbustigerus: d'Orbigny, 1846, с. 414, табл. 145.

Wagnericeras (Suspensites) arbustigerum: Arkell, 1958, с. 206, фиг. 76, 77 в тексте.

Wagnericeras sp.: Безносков, 1982, табл. 7, фиг. 5.

Лектотип. *Wagnericeras arbustigerum* d'Orbigny [43, фиг. 77 в тексте]. Бат, Франция, Де-Севр.

Форма. Раковины до 150 мм с быстро нарастающими оборотами овального сечения. Бока уплощенные, вентральная сторона широкая закругленная, пупок сравнительно узкий с крутыми стенками.

Скульптура. Внутренние обороты фрагмокона до диаметра 20–25 мм покрыты тонкими ребрами, ветвящимися на два близ середины боков. При диаметре до 35 мм во внутренней части боков развиваются короткие грубые боковые ребра, нерегулярно разделяющиеся на две-три ветви не доходя до середины боков. При больших размерах боковые ребра уплощаются, превращаясь в широкие плоские складки, теряющие связь с ветвями, и полностью исчезают при диаметре более 60 мм. Вентральные ребра сохраняются на фрагмоконе по крайней мере до диаметра около 100 мм.

Сравнение. От наиболее сходного по стилю ребристости *W. suspensum* (Buckman) отличается более крупными размерами, более сжатым с боков сечением оборотов, увеличением относительных размеров пупка на внешних оборотах.

Геологическое и географическое распространение. Средний бат, зона *subcontractus* – верхний бат, зона *retrocostatum*, Европа, Юго-Западный Гиссар.

Материал. Хр. Кугитангтау, сай Вандоб, низы нижней байсунской подсвиты – 2 раздавленных экземпляра и 3 деформированных фрагмента.

СЕМЕЙСТВО PARKINSONIIDAE BUCKMAN, 1920

Род *Caumontisphinctes* Buckman, 1920

Caumontisphinctes: Pavia, 1971, с. 113; Dietl, 1980, с. 7; Безносков, Кутузова, 1982, с. 43.

Типовой вид. *C. polygyralis* Buckman, 1920. Байос, зона *subfurcatum*. Англия.

Диагноз. Род диморфный. Диморфы на видовом уровне не отождествляются и рассматриваются как подроды. Раковины мелкие, редко до 100 мм в диаметре, с медленно возрастающими оборотами, охватывающими предшествующие менее чем на 1/5 их высоты. Сечение оборотов округлое или овальное. Вентральная борозда узкая, неглубокая, переходящая в гладкую полосу. Ребристость острая, преобладают одиночные ребра, присутствуют двуветвистые и на жилой камере – вставные ребра. На вентральной стороне ребра прерываются, подходя к борозде (полосе) с каждой стороны поочередно. На ребрах на уровне их ветвления развиты острые бугорки. Формула лопастной линии $(V_1V_1)UU^1(I_2:I_1I_3)D$.

Состав. Два подрода: *M Caumontisphinctes* Buckman, 1920, и *Infraparkinsonia* Westermann, 1956.

Геологическое и географическое распространение. Байос, зона humphriesianum, подзона blagdeni – зона subfurcatum, Европа; Донбасс, Кавказ.

ПОДРОД М *CAUMONTISPHINCTES* BUCKMAN, 1920

Caumontisphinctes: Buckman, 1920, с. 28, табл. 113.

Caumontisphinctes (*Caumontisphinctes*): Pavia, 1971, с. 113; Dietl, 1980, с. 8; Безносков, Кутузова, 1982, с. 43.

Типовой вид. Соответствует типовому виду рода.

Диагноз. Жилая камера занимает около одного оборота, устье с прямыми боковыми краями и приустьевым пережимом. Пережимы присутствуют в конце фрагмокона и на жилой камере.

Состав. Восемь видов: *C. polygyralis* Buckman, *C. nodatus* Buckman, *C. aplous* Buckman, *C. diniensis* Pavia, *C. bifurcus* Buckman, *C. rota* (Bentz), *C. prorsicostatum* Sturani, *C. rotula* (Parona).

Сравнение. От подрода *Infraparkinsonia* отличается длинной жилой камерой и простым устьем.

Геологическое и географическое распространение. Соответствует распространению рода.

Caumontisphinctes bifurcus Buckman, 1920

Табл. 21, фиг. 2, 3

Caumontisphinctes bifurcus: Buckman, 1920, табл. 192.

Caumontisphinctes (*Caumontisphinctes*) *bifurcus*: Pavia, 1971, с. 117, табл. 20, фиг. 10, 12 (не табл. 21, фиг. 4); Dietl, 1980, с. 19 табл. 5, фиг. 1–5, фиг. 2а и 3 в тексте.

Голотип. *Caumontisphinctes bifurcus* Buckman, 1920, [56, табл. 192]. Байос, зона subfurcatum. Англия, Дорсет.

Форма. Раковины до 70 мм в диаметре с очень медленно возрастающими оборотами, объемлющими предшествующие на 1/5 – 1/6 их высоты. Сечение оборотов прямоугольно-округлое с высотой, равной или несколько меньшей ширины. Бока уплощенные, вентральная сторона вдавленная или уплощенная.

Размеры, мм, и их соотношения:

№ экз.	Д	В	Ш	Ду	В/Д	Ш/Д	Ду/Д
115/1673	36	9	10	21	0,25	0,28	0,58
115/1670	—	12	13	—			
115/4216	18	4	6	10	0,22	0,33	0,55

Скульптура. Ребристость редкая, грубая, острая, состоит преимущественно из одиночных ребер, кроме которых присутствуют отдельные ветвящиеся, количество которых увеличивается с увеличением размеров раковины. Ребра на боках прямые радиальные или слабо наклоненные вперед. Вентральную сторону переходят с наклоном вперед, ослабляясь и частично прерываясь над вентральной бороздой. Если ребра не прерываются, то секут вентральную сторону косо, отклоняясь вперед или назад на одно ребро. На уровне ветвления ребер, расположенном на перегибе боков к вентральной стороне, развиты острые бугорки. Ребра также вздуваются по краям вентральной борозды.

Сравнение. От *C. rota* (Bentz) отличается уплощенными боками и вентральной стороной, шириной оборотов, превышающей высоту.

Геологическое и географическое распространение. Байос, зона *subfurcatum*. Англия, Франция, ФРГ, Дагестан.

Материал. Дагестан, основание цудахарской свиты, сел. Датуна – 1 экз., сел. Гигатли-урух – 3 неполных экземпляра, сел. Ирганай – 1 экз.

Caumontisphinctes aplous Buckman, 1921

Табл. 31, фиг. 3

Caumontisphinctes aplous: Buckman, 1921, табл. 241.

? *Caumontisphinctes* cf. *aplous*: Dietl, 1980, с. 16, табл. 2, фиг. 7, 8.

non *Caumontisphinctes* (*Caumontisphinctes*) *aplous aplous*: Pavia, 1971, с. 115, табл. 21, фиг. 3, 6.

Голотип. *Caumontisphinctes aplous* Buckman, 1921 [56, табл. 241]. Байос, зона *subfurcatum*. Англия, Дорсет.

Форма. Раковины до 50 мм в диаметре с медленно возрастающими оборотами, объемлющими предшествующие на 1/5 их высоты. Сечение оборотов овальное, сжатое с боков. Пережимы нечеткие.

Размеры, мм, и их соотношения:

№ экз.	Д	В	Ш	Ду	В/Д	Ш/Д	Ду/Д
115/1348	36,5	10	8,5	18	0,27	0,23	0,49
115/4224	30,5	9	8	16	0,29	0,26	0,52
115/4225	26	8	6,5	13	0,30	0,25	0,50

Скульптура. Ребристость тонкая, густая, состоит из неравномерно чередующихся простых и двуветвистых ребер. Ребра на боках прямые или слабо изогнутые вперед, наклонены вперед, при переходе на вентральную сторону наклон ребер усиливается. Посередине вен-

тральной стороны ребра либо прерываются, подходя к узкой борозде (полосе) поочередно, либо косо пересекают полосу, ослабляясь и отклоняясь вперед или назад. Число боковых ребер на 1/2 оборота 22–25, коэффициент ветвления менее 1,5. Ветвление ребер происходит на 2/3 высоты боков от шва, в точке ветвления на фрагмоне развиты острые бугорки, сглаживающиеся на жилой камере.

Сравнение. От сходного по скульптуре *C. polygyralis* Busck тап отличается медленнее возрастающими оборотами и меньшими размерами; от *C. diniensis* Pavia и *C. nodatus* Busck тап – тонкими и более густыми ребрами, сжатыми с боков оборотами. По форме раковины и ребристости с нашими экземплярами тождественны *C. (Infraparkinsonia) debilis* (Wetzel), которые отличаются короткой жилой камерой и устьем с боковыми ушками.

Замечания. *C. aplous aplous* Pavia [114, с. 115, табл. 21, фиг. 3, 6] отличается от голотипа Бакмена крупными размерами, четкими пережимами и, по-видимому, должен быть отнесен к *C. diniensis* Pavia.

Геологическое и географическое распространение. Байос, зона subfurcatum. Англия, ФРГ (?), Дагестан.

Материал. Дагестан, основание цудахарской свиты, сел. Датун – 1 экз., верхи кумухской свиты – сел. Ирганай – 2 экз.

Caumontisphinctes rota (Bentz), 1925

Табл. 21, фиг. 4, табл. 31, фиг. 2

Parkinsonia rota: Bentz, 1925, с. 173, табл. 8, фиг. 2, 3.

Caumontisphinctes (Caumontisphinctes) rota: Dietl, 1980, с. 23, табл. 5, фиг. 1, 2, фиг. 4 в тексте.

Caumontisphinctes (Caumontisphinctes) bifurcus: Pavia, 1971, с. 117, табл. 21, фиг. 4.

Лектотип не определен [59, с. 23].

Форма. Раковины до 100 мм в диаметре с медленно возрастающими оборотами, объемлющими предшествующие менее чем на 1/5 их высоты. Сечение оборотов прямоугольно-овальное. Бока и вентральная сторона слабовыпуклые.

Размеры, мм, и их соотношения:

№ экз.	Д	В	Ш	Ду	В/Д	Ш/Д	Ду/Д
115/1671	38	11	10	22	0,29	0,26	0,58

Скульптура. Ребристость редкая, грубая, маскирующая пережимы. Простые ребра нерегулярно чередуются с двуветвистыми. Ребра на боках радиальные или наклонены вперед, на вентральной стороне

наклонены вперед и прерываются гладкой полосой. Число боковых ребер на 1/2 оборота 16–17. На уровне ветвления на ребрах развиты острые бугорки.

Сравнение. От сходного по характеру ребристости *C. nodatus* Вискман отличается овальным сечением оборотов в конце фрагмента и на жилой камере, большим количеством ветвящихся ребер.

Геологическое и географическое распространение. Байос, зона *subfurcatum*, Франция, ФРГ, Дагестан.

Материал. Дагестан, подошва цудахарской свиты, сел. Гигти-урух – 1 экз., сел. Ирганай – 1 экз.

Caumontisphinctes diniensis Pavia, 1971

Табл. 34, фиг. 1

Caumontisphinctes (Caumontisphinctes) aplous diniensis Pavia, 1971, с. 115, табл. 21, фиг. 2, 5.

Caumontisphinctes (Caumontisphinctes) diniensis: Dietl, 1980, с. 10, табл. 1, фиг. 6–8.

? *Caumontisphinctes (Caumontisphinctes) aplous aplous*: Pavia, 1971, с. 115, табл. 21, фиг. 3, 6.

Голотип. *Caumontisphinctes (Caumontisphinctes) aplous diniensis* Pavia [114, табл. 21, фиг. 5]. Байос, зона *subfurcatum*. Франция, Шодон.

Форма. Ракоины до 80 мм с медленно нарастающими оборотами, охватывающими предшествующие менее чем на 1/5 их высоты. Сечение оборотов прямоугольно-округлое, бока и вентральная сторона слабывпуклые. Пережимы глубокие, наклонены вперед.

Размеры, мм, и их соотношения:

№ экз.	Д	В	Ш	Ду	В/Д	Ш/Д	Ду/Д
115/4200	39	10	10,5	21	0,26	0,27	0,54
115/1785	35	10	10	17,5	0,28	0,28	0,50
115/1349	35,5	10	9,5	18	0,28	0,26	0,50
115/1380	33	9	—	18	0,27	—	0,54
115/1783	22	6	7	11,5	0,27	0,32	0,52
115/1580	22,5	7	8	11,5	0,31	0,35	0,51

Скульптура. Ребристость густая, острая, состоит из нерегулярно чередующихся простых и двуветвистых ребер. Ребра на боках прямые, наклонены вперед, ветвятся на расстоянии около 2/3 высоты боков от шва. Наклон ребер при переходе на вентральную сторону варьирует, в целом усиливается. Посередине вентральной стороны большинство ребер прерываются узкой гладкой полосой, к которой их концы подходят с каждой стороны поочередно. Часть ребер пересекает

вентральную полосу изгибаясь. Количество боковых ребер на 1/2 оборота составляет 18–25, увеличиваясь с размером раковины. Коэффициент ветвления около 1,5. На уровне ветвления ребер на них расположены острые бугорки.

Сравнение. От сходного по ребристости *C. aplous* Buckman отличается прямоугольно-округлым сечением оборотов, от *C. nodatus* Buckman – более тонкой и густой ребристостью, менее развитыми бугорками.

З а м е ч а н и я . Наши экземпляры значительно мельче голотипа, но хорошо сопоставляются по размерам и другим признакам с паратипом [114, табл. 21, фиг. 2] и формами, отнесенными к данному виду Дитлом.

Геологическое и географическое распространение. Байос, зона *subfurcatum*. Франция, ФРГ, Северный Кавказ.

М а т е р и а л . Северный Кавказ, р. Малая Лаба, балка Чокрак, низы верхней джангурской подсвиты – 1 экз., Дагестан – основание суджарской свиты, сел. Ирганай – 4 экз., сел. Датуна – 1 экз., верхи кумухской свиты, сел. Кумух – 1 экз.

ПОДРОД *m* *INFRAPARKINSONIA* WESTERMANN, 1956

Infraparkinsonia: Westermann, 1956, с. 266, 268.

Caumontisphinctes (*Infraparkinsonia*): Pavia, 1973, с. 171, с. 113, 117; Dietl, 1980, с. 24; Безносков, Кутузова, 1982, с. 44.

Типовой вид. *Parkinsonia inferior* Bentz, 1925. Верхний байос, зона *subfurcatum*, ФРГ, Билефельд.

Д и а г н о з . См. диагноз рода. Жилая камера занимает от 1/3 до 3/4 оборота, устье с боковыми ушками.

С о с т а в . Шесть видов: *I. doneziana* (Borissjak), *I. inferior* (Bentz), *I. phaulus* Buckman, *I. debilis* (Wetzel), *I. gruibingensis* Dietl, *I. bonarelli* (Parona).

С р а в н е н и е . От подрода *Caumontisphinctes* отличается меньшими размерами, короткой жилой камерой и устьем с боковыми ушками.

З а м е ч а н и я . А. А. Борисьяк [12, с. 38] описал под названием "*Parkinsonia doneziana*" ансамбль разных аммонитов. Голотип им не указан. В качестве лектотипа В. Ветцель [164] предложил изображение в табл. 4, фиг. 2. Последнее отвечает микроконху мелкого аммонита с устьем, снабженным длинными боковыми ушками и ребристостью, аналогичной *Infraparkinsonia*. Другие изображенные А. А. Борисьяком представители "*Parkinsonia doneziana*" принадлежат видам рода *Rarecostites*.

Табл. 33, фиг. 2

Parkinsonia inferior: Bentz, 1925, с. 174, табл. 8, фиг. 4.

Parkinsonia cf. inferior: Schmidtil, Krumbek, 1931, с. 836, табл. 82, фиг. 3.

Caumontisphinctes (Infraparkinsonia) inferior: Pavia, 1973, с. 118, табл. 20, фиг. 7, 9; Dietl, 1980, с. 26, табл. 5, фиг. 5.

Голотип. *Parkinsonia inferior* Bentz, 1925 [49, с. 174, табл. 8, фиг. 4]. Байос, зона *subfurcatum*. ФРГ, Билефельд.

Форма. Раковины до 40 мм с медленно возрастающими оборотами, объемлющими только вентральную сторону предшествующих. Сечение оборотов прямоугольно-округлое или трапецевидно-овальное на жилой камере, с высотой, примерно равной ширине. Бока уплощенные, вентральная сторона слабовыпуклая. Жилая камера занимает немного более половины оборота, устье с приустьевым пережимом и боковыми ушками.

Размеры, мм, и их соотношения:

№ экз.	Д	В	Ш	Ду	В/Д	Ш/Д	Ду/Д
115/1910	30	8,5	8	15	0,28	0,27	0,50
115/4201	21	5	5	12	0,24	0,24	0,57

Скульптура. Ребристость тонкая, относительно редкая, состоит из нерегулярно чередующихся простых и двуветвистых ребер, кроме которых на жилой камере присутствуют вставные. Ребра на боках прямые или слабо серповидно и S-образно изогнутые, радиальные или слабо наклоненные вперед. При переходе на вентральную сторону ребра наклонены вперед. Посередине вентральной стороны развита относительно широкая гладкая полоса (на ядре жилой камеры), переходящая на фрагмоконе в борозду. Ребра подходят к полосе поочередно с каждой стороны. Ветвление ребер происходит несколько далее 1/2 середины боков от шва. В точке ветвления на фрагмоконе развиты острые мелкие бугорки.

Сравнение. От *I. debilis* (Wetzel) отличается более редкой ребристостью и медленнее возрастающими в высоту оборотами, от *I. phaulus* Buckman — тонкой и более редкой ребристостью.

Замечания. Стурани [149] и Павиа [114] рассматривали *I. inferior* как возможную пару *C. bifurcus* Buckman, включая в синонимику последнего *C. rota* (Bentz). Дитл [59] считает *I. inferior* парой к *C. rota*. Наши экземпляры, отнесенные к *I. inferior*, отличаются от указанных макроконхов более тонкой ребристостью.

Геологическое и географическое распространение. Байос, зона *subfurcatum*, подзона *polygyralis*. Франция, ФРГ, Дагестан.

Материал. Дагестан, основание цудахарской свиты, сел. Датун-на-1 экз., сел. Ирганай - 2 экз.

Infraparkinsonia debilis (Wetzel), 1937

Табл. 19, фиг. 4

Parkinsonia debilis: Wetzel, 1937, с. 120, табл. 12, фиг. 3.

Caumontisphinctes (Infraparkinsonia) debilis: Pavia, 1973, с. 117, табл. 20, фиг. 8, 11; Dietl, 1980, с. 30, табл. 5, фиг. 8, 9.

Голотип. *Parkinsonia debilis* Wetzel, 1937 [166, с. 120, табл. 12, фиг. 3]. Байос, зона *subfurcatum*. ФРГ, Билефельд (по монотипии).

Форма. Раковины до 35–40 мм, с медленно возрастающими оборотами, охватывающими предшествующие менее, чем на 1/5 их высоты. Сечение оборотов овальное, сжатое с боков. Бока слабовыпуклые, вентральная сторона закругленная. Жилая камера немного более 1/2 оборота, устье с приустьевым пережимом и длинными боковыми ушками.

Размеры, мм, и их соотношения:

№ экз.	Д	В	Ш	Ду	В/Д	Ш/Д	Ду/Д
115/1380	30	8,5	7,5	15	0,28	0,25	0,50
115/4193	32	9	8	16	0,28	0,25	0,50
115/4229	28	8	7	15	0,29	0,25	0,54
115/4235	29	8	7,5	15	0,28	0,26	0,52

Скульптура. Ребристость густая, острая, с возрастом несколько слабеет, состоит из нерегулярно чередующихся простых и двуветвистых ребер, кроме которых на жилой камере могут присутствовать вставные. Ребра на боках преимущественно прямые, радиальные и слабо наклоненные вперед, при переходе на вентральную сторону наклон ребер усиливается. На ядре ребра прерываются посередине вентральной стороны узкой бороздой, к которой концы ребер подходят с каждой стороны поочередно. На раковине борозде соответствует нечетко выраженная полоса, которую часть ребер пересекают, ослабляясь и изгибаясь. Число ребер на 1/2 оборота 22–23, коэффициент ветвления 1,5. Точка ветвления расположена немного далее середины боков от шва. На уровне ветвления ребер на фрагмоне развиты мелкие острые бугорки, сглаживающиеся на жилой камере. Ребра также вздуваются по краям вентральной борозды (полосы).

Сравнение. От *I. inferior* (Bentz) отличается большим числом ветвящихся ребер; от *I. phaulus* (Buckman) – тонкими ребрами.

Замечания. По форме раковины и скульптуре описываемый вид тождественен *S. arlous* Buckman, отличаясь от него короткой жилой камерой и устьем с боковыми ушками. По-видимому, эти два "вида" образуют диморфную пару.

Геологическое и географическое распространение. Байос, зона *subfurcatum*, подзона *banksi*. Франция, ФРГ, Дагестан.

Материал. Дагестан, сел. Ирганай, основание цудахарской свиты – 1 экз., верхи кумухской свиты – 4 экз.

Род *Rarecostites* Besnosov et Kutuzova, 1982

Rarecostites: Безносов, Кутузова, 1982, с. 44.

Типовой вид. *Cosmoceras parkinsoni* var. *rarecostatum* Buckman, 1881 [55 с. 599 (= *Parkinsonia rarecostata* Buckman, 1922, 56, табл. 352) = *Parkinsonia orbigniana* Wetzel, 1911 [164 с. 196]. Верхний байос, зона *garantiana*. Англия.

Диагноз. Род диморфный. Макроконхи до 250 мм с жилой камерой, достигающей одного оборота, и устьем с прямыми боковыми краями, микроконхи до 150 мм, с жилой камерой, занимающей 1/2 – 2/3 оборота, устьем с боковыми ушками. Раковины с медленно возрастающими оборотами, охватывающими предшествующие менее, чем на 1/5 их высоты. Сечение оборотов округлое, овальное сжатое с боков, овально-трапециевидное и овально-прямоугольное. Вентральная борозда развита на фрагмоконе, на жилой камере может превращаться в гладкую полосу. Ребристость фрагмоконов и жилых камер мелкорослых форм острая, состоит из двуветвистых ребер, кроме которых присутствуют простые и вставные ребра. Концы ребер подходят к вентральной борозде под острым углом, поочередно с каждой стороны. Коэффициент ветвления меньше 2. В точке ветвления на внутренних оборотах фрагмокона присутствуют острые бугорки. Формула лопастной линии: $(V_1V_1)UU^1I_2\dots; I_3I_1D_1$.

Состав. Более 8 видов *R. radiatum* (Renz), *R. rarecostatum* (Buckman), *R. interruptus* (Brugier), *R. acris* (Wetzel), *R. oglanlense* (Amanjazov), *R. wetzeli* (Schmidtill, Krumbek), *R. tenuicostatum* sp. nov., *R. (?) mutabilis* (Nicolesco).

Упраздненные названия: *P. orbigniana*, *P. arietis*, *P. subarictis* Wetzel spp., 1911; *P. harmonulata* Khudjaev, 1927; *P. bigoti* Nicolesco, 1928, *P. praearictis* Roche, 1939; *P. kugitanensis* Amanjazov, 1972.

Сравнение. От предкового *Caumontisphinctes* Buckman отличается более крупными размерами раковин с более объемлющими оборотами, менее выраженным диморфизмом, преобладанием двувет-

вистых ребер; от рода *Parkinsonia* Bayle, из состава которого выделен — менее объемлющими оборотами, четко выраженным диморфизмом раковин, меньшим коэффициентом ветвления ребер и в среднем меньшими размерами.

Замечания. Большинство упраздненных названий являются субъективными синонимами (см. синонимнику видов). *P. harmonulata* Khudjaev основана на деформированном неполном ядре аммонита, признаки которого не позволяют отличить его от *R. radiatum* и *R. rarecostatum*.

Основная масса принятых видов рода *Rarecostites* образует довольно однородную группу с эволютными раковинами средних размеров, несущими двуветвистые и простые ребра и характеризующиеся слабо, менее чем на 1/3 объемлющими оборотами. Особое положение занимает *R. mutabilis*, для которого характерны большие размеры и сильная модификация скульптуры в онтогенезе. Однако наличие раковин с четкими признаками диморфа позволяет включить этот вид в *Rarecostites*.

Геологическое и географическое распространение. Байос, зоны *subfurcatum*, *garantiana* и низы зоны *parkinsoni*, Европа, Молдавия, Украина, Среднее и Нижнее Поволжье, Донбасс, Крым, Кавказ, Средняя Азия.

Rarecostites tenuicostatus Vesnosov sp. nov.

Табл. 34, фиг. 2

Голотип. ВНИГНИ, экз. № 115/1851. Верхний байос, зона *subfurcatum*, верхняя часть кумухской свиты. Дагестан, сел. Кули.

Название — тонкорестристый (лат.).

Форма. Раковины до 75–80 мм с медленно нарастающими оборотами, охватывающими предшествующие менее, чем на 1/4 их высоты. Сечение оборотов трапециевидно-овальное, бока плоские, вентральная сторона слабовыпуклая. Развита слабая, замаскированная ребристостью пережимы. Вентральная полоса развита на фрагмоконе и жилой камере. Жилая камера голотипа занимает почти целый оборот.

Размеры, мм, и их соотношения:

№ экз.	Д	В	Ш	Ду	В/Д	Ш/Д	Ду/Д
115/1851	70	18,5	16	37,5	0,26	0,23	0,525

Скульптура. Ребристость тонкая, густая, состоит из простых и двуветвистых ребер, нерегулярно чередующихся, с преобладанием простых. Ребра на боках прямые, наклоненные вперед, на расстоянии

4/5 высоты боков от шва частично ветвятся, от уровня ветвления круто наклоняются вперед. Концы ребер у вентральной полосы образуют между собой угол, близкий к прямому. В точке ветвления вплоть до жилой камеры развиты бугорки. Количество ребер на 1/2 оборота на боках у голотипа 30, коэффициент ветвления менее 1,4.

Сравнение. От наиболее сходного по форме раковины *R. radiatum* (Renz) отличается тонкой, частой ребристостью с преобладанием простых ребер.

Замечания. Описываемый вид сходен с *Caumontisphinctes* (*Caumontisphinctes*) группы *polygyralis* Buckman и по своим признакам занимает промежуточное положение между этим родом и родом *Rarecostites*.

Геологическое и географическое распространение, материал. Дагестан, сел. Кули, верхняя часть кумухской свиты — голотип — неполная жилая камера и пять фрагментов фрагмоконов.

Rarecostites radiatum (Renz), 1904

Табл. 34, фиг. 4

Ammonites parkinsoni planulatus: Quenstedt, 1886—87, с. 599, табл. 71, фиг. 19, 20.

Parkinsonia parkinsoni var. *radiata*: Renz, 1904, с. 77.

Parkinsonia radiata: Wetzel, 1911, с. 192, табл. 15, фиг. 9—11; Renz, 1914, табл. 28, фиг. 3; Nicolesco, 1927, с. 10, табл. 1, фиг. 9, 10; Dorn, 1927, с. 237, табл. 5, фиг. 3, 4.

Parkinsonia arietis: Wetzel, 1911, с. 185, табл. 13, фиг. 17; Dorn, 1927, с. 228, табл. 4, фиг. 3; Schmidtil, Krumbeck, 1931, с. 859, табл. 82, фиг. 9; Аманиязов, 1972, с. 12, табл. 1, фиг. 3.

Parkinsonia subarietis: Кахадзе, Засапвили, 1956, с. 40, табл. 7, фиг. 10; Гассанов, Абдулкасумзаде, 1958, Гассанов, 1961, табл. 14, фиг. 1, 2; Сибирякова, 1961, с. 38, табл. IV, фиг. 2.

Parkinsonia subarietis var. *acris*: Nicolesco, 1928, с. 25, табл. 3, фиг. 1 (только).

Parkinsonia bigoti: Nicolesco, 1928, с. 17, табл. 1, фиг. 1, 2.

Parkinsonia cf. *bigoti*: Schmidtil, Krumbeck, 1931, с. 857, табл. 82, фиг. 4.

Parkinsonia praearietis: Roche, 1939, с. 231.

Parkinsonia cf. *orbignyana*: Schmidtil, Krumbeck, 1931, с. 866, табл. 83, фиг. 4.

Parkinsonia acris: Sturani, 1964, табл. 5, фиг. 4; 1964а, с. 25.

Лектотип. *Ammonites parkinsoni planulatus* Quenstedt, 1886—87 [121, с. 599, табл. 71, фиг. 19]. Верхний байос. ФРГ, сел. Нипф, по оригинальному указанию.

Форма. Диморфны. Макроконхи с длинной, до одного оборота жилой камерой и устьем с прямыми боковыми краями, микроконхи с жилой камерой около 1/2 оборота и устьем с длинными, расширяющимися на концах боковыми ушками. Раковины диаметром до 120 мм с очень медленно возрастающими оборотами, охватывающими предшествующие на 1/4 их высоты. Сечение оборотов прямоугольно- или

трапециевидно-овальное сжатое с боков. Бока слабовыпуклые, вентральная сторона от закругленной до вдавленной с варьирующей по ширине мелкой бороздой, сменяемой на жилой камере гладкой полосой.

Размеры, мм, и их соотношения:

№ экз.	Д	В	Ш	Ду	В/Д	Ш/Д	Ду/Д
115/4396	74	17,5	14,5	42,5	0,24	0,195	0,57
115/4318	72	18	15	40	0,25	0,21	0,55
115/1010	62	16	13	34	0,26	0,21	0,55
115/3986	54	15	11	28	0,28	0,20	0,52
115/4397	67	18	16	36	0,27	0,24	0,54
115/4294	63	17	14	33,5	0,27	0,21	0,53
115/3435	80	19	—	44	0,24	—	0,55

Скульптура. Ребристость на жилой камере относительно редкая, на фрагмоконе становится более густой, состоит из двуветвистых и простых ребер, кроме которых имеются немногочисленные вставные ребра. Ребра на боках прямые или слабо серповидно изогнутые, наклонены вперед, ветвятся на расстоянии $3/4$ высоты боков от шва, после чего приобретают крутой наклон вперед и к вентральной борозде подходят, образуя между собой острый угол. Число ребер на $1/2$ оборота на боках 24–26, коэффициент ветвления 1,3. В точке ветвления вплоть до конца фрагмокона развиты острые бугорки, ребра также вздуваются на перегибе к вентральной стороне.

Сравнение. От других представителей рода отличается медленно нарастающими оборотами и широким, более 50% от диаметра, пупком.

Замечания. Для широко распространенной группы форм ранних, весьма эволютных *Rarecostites*, предлагались различные видовые названия (см. синонимнику). Все эти формы связаны взаимопереходами и незначительно различаются по густоте и силе ребристости. Поэтому представляется целесообразным объединить их под наиболее ранним названием.

Геологическое и географическое распространение. Байос, верхи зоны *subfurcatum* – зона *garantiana*, Европа, Кавказ, Средняя Азия.

Материал. Дагестан, низы нижней цудахарской подсвиты, сел. Датуна – 8 экз., Юго-Западный Гиссар, нижняя часть средней дегибдамской подсвиты: сай Вандоб – 8 экз., сай Джанали – 1 экз., урочище Тангидувал – 2 экз., сел. Дербент – 1 экз., сел. Байсун – 1 экз.

Rarecostites rarecostatum (Buckman), 1881

Табл. 35, фиг. 2, табл. 38, фиг. 2

Cosmoceras parkinsoni var. *rarecostatum*: Buckman, 1881, с. 599.

Parkinsonia rarecostata: Buckman, 1922, табл. 352, фиг. 1, 2; Pavia, 1973, с. 119, табл. 25, фиг. 1; Ростовцев, 1985, с. 159, табл. 43, фиг. 2.

Ammonites parkinsoni: d'Orbigny, 1845, с. 374, табл. 122, фиг. 1, 2, 5 (не 3, 4).

Ammonites parkinsoni depressus: Quenstedt, 1858, с. 472, табл. 6, фиг. 9.

Ammonites parkinsoni planulatus: Quenstedt, 1886—87, с. 599, табл. 71, фиг. 21.

Parkinsonia doneziana: Борисьяк, 1908, с. 38, табл. 4, фиг. 3, 4 (только); Сибирякова, 1961, с. 36, табл. 3, фиг. 9; Аманниязов, 1971, с. 16, табл. 2, фиг. 2.

Parkinsonia orbignyana: Wetzel, 1911, с. 197 (объективный); Nicolesco, 1928, с. 27, табл. 3, фиг. 2—5, табл. 4, фиг. 1—2, табл. 5, фиг. 1.

Parkinsonia subarictis: Wetzel, 1911, с. 189, табл. 13, фиг. 18, 19, табл. 14, фиг. 1, 2, 6, 7, табл. 15, фиг. 1, 2; Nicolesco, 1928, с. 23, табл. 1, фиг. 14—17, табл. 2; фиг. 1; Гассанов, 1961, с. 115, табл. 4, фиг. 3—6; Аманниязов, 1972, с. 12, табл. 1, фиг. 4.

Parkinsonia subarictis var. *acris*: Nicolesco, 1928, с. 25, табл. 2, фиг. 4 (только).

Parkinsonia subharmonulata: Сибирякова, 1961, с. 40, фиг. 6.

Parkinsonia complanata: Сибирякова, 1961, с. 41, табл. 4, фиг. 8.

Parkinsonia acris: Аманниязов, 1972, с. 14, табл. 1, фиг. 5.

Parkinsonia harmonulata: Аманниязов, 1972, с. 17, т. 2, фиг. 3, 4.

Parkinsonia tschaloensis: Аманниязов, 1972, с. 29, табл. 3, фиг. 4.

Parkinsonia pseudoferruginea: Аманниязов, 1971, с. 25, табл. 5, фиг. 1.

Лектотип. *Parkinsonia rarecostata* Buckman, 1922 [56, табл. 352].
Байос, зона *garantiana*. Англия, Дорсет.

Форма. Диморфны. Макроконхи с длинной, около одного оборота жилой камерой, устьем с прямыми боковыми краями и относительно быстро возрастающими в высоту оборотами на средних и поздних стадиях онтогенеза. Микроконхи с жилой камерой, занимающей немного более 1/2 оборота, устьем с длинными, расширяющимися на концах ушками, медленно возрастающими оборотами. Раковины диаметром до 150 мм, с медленно возрастающими оборотами, объемлющими предшествующие на 1/4—1/3 их высоты. Сечение оборотов прямоугольно-овальное, иногда трапециевидно-овальное, сжатое с боков. Бока плоские или слабовыпуклые, вентральная сторона от слабовыпуклой до закругленной. Вентральная борозда варьирует по ширине, неглубокая, на жилой камере сменяется гладкой полосой. В начале взрослой жилой камеры могут быть развиты нечеткие пережиги и ступени роста.

Размер, мм, и их соотношения:

№ экз.	Д	В	Ш	Ду	В/Д	Ш/Д	Ду/Д
115/1865	110	34	28	49	0,31	0,235	0,47

115/1865	73	22	19	33	0,30	0,26	0,45
115/3979	73	21	17	36	0,29	0,23	0,49
115/1700	69	21,5	16	33,5	0,31	0,23	0,485
115/4280	90	24	20	48	0,26	0,22	0,46
125/1604	81	23	20	41,5	0,28	0,25	0,51
125/1703	73	21	—	36,5	0,29	—	0,51
115/15	74,5	22	16	38	0,295	0,21	0,51
115/4385	61,5	18	14,5	31,5	0,29	0,235	0,51
115/4302	46	13	—	23	0,28	—	0,50
115/2058	46	14	11	20	0,30	0,24	0,43

Скульптура. Ребристость несколько варьирует по густоте и силе, в целом острая и густая на фрагмоконе и более редкая и грубая на жилой камере. Состоит из двуветвистых и нерегулярных простых ребер, кроме которых присутствуют вставные. Ребра на боках прямые или слабо серповидно изогнутые вперед, радиальные или наклонные вперед, ветвятся на $3/4-2/3$ высоты оборота от шва. Точки ветвления с возрастом несколько смещаются вовнутрь. После ветвления у части ребер наклон вперед резко усиливается. К вентральной борозде ребра подходят на фрагмоконе, образуя между собой острый угол, на жилой камере величина угла варьирует от острого до тупого. Близ точки ветвления ребра вздуваются и несут на фрагмоконе острые бугорки. Число ребер на $1/2$ оборота 22–25, коэффициент ветвления 1,5.

Сравнение. От *R. radiatum* (Renz), с которым связан переходными формами, отличается более объемлющими оборотами, несколько более узким пупком и большим коэффициентом ветвления; от *R. interruptum* (Brugiere) — медленнее нарастающими оборотами и широким пупком.

Замечания. Первоначально вид установлен по рисунку *Ammonites parkinsoni* d'Orbigny, 1845 [109, табл. 122, фиг. 1, 2, 5 (поп Sowerby)]. Этот рисунок является синтетической реконструкцией разных экземпляров с несовместимыми для одной раковины признаками (сравн. фиг. 1 и 2), поэтому в качестве лектотипа принята фотография экземпляра С. Бакмена. Широко цитируемый в отечественной литературе вид "*Parkinsonia doneziana*" Borissjak, основан на фрагментарном материале, принадлежащем родам *Caumontisphinctes* и *Rarecostites*. Выбранный В. Ветцелем лектотип этого вида [164, с. 11] принадлежит *Caumontisphinctes (Infraparkinsonia)*. Остальные экземпляры либо не подлежат идентификации, либо не обладают существенными отличиями от лектотипа рассматриваемого вида. *P. orbignyana* Wetzel, установленная по рисунку А. д'Орбиньи, является объективным синонимом. Многочисленные "виды", предложенные К. Н. Аманниязовым (см. синонимнику), также не выходят за рамки описываемого.

Геологическое и географическое распространение. Байос, зона *garantiana* – низы зоны *parkinsoni* (?), Европа, Молдавия, Донбасс, Крым, Саратовско-Волгоградское Поволжье, Кавказ, Предкавказье, Мангышлак, Западная Туркмения, Юго-Западный Гиссар.

Материал. Крым, сел. Рыбачье, эффузивная толща – 1 экз., Северный Кавказ, гора Джангура, верхняя джангурская подсвита – 1 экз., р. Ход, верхняя джорская подсвита – 1 экз., Дагестан, нижняя цудахарская подсвита: сел. Ахваштаб – 3 экз., сел. Датуна – 15 экз., сел. Гуниб – 4 экз., сел. Урахи – 1 экз., Западная Туркмения, Большой Балхан, верхи чалойской свиты: севернее колодцев Чалой – 11 экз., северо-западнее колодцев Карачагыл – 2 экз., Юго-Западный Гиссар, средняя дегибадамская подсвита: родник Чашмабулак – 4 экз., сай Вандоб – 2 экз., сел. Кызыл-алма – 1 экз., Дербент – 8 экз., сел. Туода – 2 экз.

Rarecostites interruptus (Brugiere) 1780

Табл. 34, фиг. 3, 5.

Parkinsonia interrupta: Buckman, 1923, табл. 337A.

Parkinsonia subarietis: Wetzel, 1911, с. 189, табл. 14, фиг. 3–6.

Parkinsonia orbignyana: Сибирякова, 1961, с. 39, табл. 4, фиг. 5.

? *Parkinsonia planulata*: Аманниязов, 1972, с. 20, табл. 3, фиг. 2, 3.

? *Parkinsonia "densicosta"*: Аманниязов, 1972, с. 26, табл. 5, фиг. 2.

Лектотип. *Parkinsonia interrupta* Buckman, 1923 [56, табл. 337A]. Верхний байос, зона *garantiana*. Англия, Дорсет.

Форма. Диморфны. Макро- и микроконхи различаются формой устья и длиной жилой камеры. Раковины диаметром до 120 мм с относительно быстро возрастающими оборотами, охватывающими предшествующие на 1/3 их высоты. Сечение оборотов трапезиевидное-овальное, сжатое с боков. Бока слабовыпуклые, вентральная сторона закругленная. Сохранившиеся части жилых камер макроконхов занимают почти целый оборот. Устье микроконхов с боковыми ушками. Вентральная борозда мелкая, на жилой камере сменяются поло-сой.

Размеры, мм, и их соотношения:

№ экз.	Д	В	Ш	Ду	В/Д	Ш/Д	Ду/Д
115/1665	73	23	19	34,5	0,315	0,26	0,47
115/4300	60,5	17	14	30	0,28	0,23	0,49
115/4321	65	20,5	14,5	30	0,315	0,22	0,46
115/4303	55	15	—	26	0,27	—	0,47
115/1667	52	15	13	27	0,28	0,25	0,52

Скульптура. Ребристость на фрагмоконе острая, густая, становится более редкой и грубой на жилой камере, состоит из двуветвистых и простых ребер, кроме которых присутствуют вставные. Ребра на боках прямые или слабо серповидно изогнутые, наклонены вперед и радиальные, ветвятся в наружной четверти боков. Точка ветвления с возрастом несколько смещается вовнутрь. После ветвления наклон ребер вперед усиливается и к вентральной борозде (полосе) они подходят, образуя между собой острый угол. Число ребер на боках на 1/2 оборота 23–24, коэффициент ветвления 1,5–1,6. В точке ветвления на фрагмоконе и в заднем конце жилой камеры развиты острые бугорки.

Сравнение. От очень сходного *R. rarecostatum* (Buckman) отличается несколько более объемлющими оборотами, узким пупком и более закругленной вентральной стороной.

Замечания. На рисунке Бругьера, воспроизведенном Бакменом [56, табл. 337], изображен неидентифицируемый фрагмент оборота, который Бакмен обозначил как "голотип". Лектотип [56, табл. 337A] представляет собой форму, очень близкую к *R. rarecostatum* (Buckman). Однако включение последнего в синонимику вида Бругьера усугубило бы и без того запутанную номенклатуру видов рода *Rarecostites*.

Геологическое и географическое распространение. Верхний байос, зона garaptiana, Европа, Дагестан, Большой Балхан.

Материал. Дагестан, сел. Датуна, нижняя цудахарская подсвита – 19 экз. различной сохранности.

Rarecostites acris (Wetzel), 1911

Табл. 37, фиг. 2

Parkinsonia acris: Wetzel, 1911, с. 190, табл. 15, фиг. 3–8.

? *Parkinsonia subarictis* var. *acris*: Nicolesco, 1928, с. 25, табл. 2, фиг. 4, 5.

Лектотип. *Parkinsonia acris* Wetzel, 1911 [164, табл. 15, фиг. 6–7]. Верхний байос. ФРГ.

Форма. Раковины диаметром до 100 мм с относительно быстро нарастающими оборотами, охватывающими предшествующие немного более чем на 1/3 их высоты. Сечение оборотов прямоугельно-овальное с параллельными боками. Бока и вентральная сторона уплощенные. Вентральная борозда мелкая, узкая извилистая.

Размеры, мм, и их соотношения:

№ экз.	Д	В	Ш	Ду	В/Д	Ш/Д	Ду/Д
115/1906	58	17	16	28	0,29	0,275	0,48

Скульптура. Ребристость фрагмокона густая, тонкая, в конце становится острой и на жилой камере – грубой, состоит из двуветвистых и простых ребер. Ребра на боках прямые, наклонены вперед, ветвятся на расстоянии $2/3$ – $3/4$ высоты боков от шва. После ветвления наклон ребер резко усиливается. Концы ребер у вентральной борозды образуют меняющийся по величине тупой угол. Число ребер на боках на $1/2$ оборота 25, коэффициент ветвления немного более 1,5. В точке ветвления вплоть до жилой камеры развиты бугорки.

Сравнение. От наиболее сходных по общему габитусу раковин и скульптуре *R. rarecostatus* и *R. interruptus* отличается широкой вентральной стороной, сравнительно глубоким пупком и более густой и острой ребристостью.

Геологическое и географическое распространение. Байос, зона *garantiana* – низы зоны *parkinsoni*, Европа, Дагестан.

Материал. Дагестан, сел. Герги, нижняя цудахарская подсвита – 1 экз.

Rarecostites wetzeli (Schmidtil et Krumbeck), 1931

Табл. 36, фиг. 2

Parkinsonia wetzeli: Schmidtil, Krumbeck, 1931, с. 862, табл. 82, фиг. 8.

Parkinsonia depressa: Schmidtil, Krumbeck, 1931, с. 863, табл. 82, фиг. 5, табл. 83, фиг. 2, 3.

Лектотип. *Parkinsonia wetzeli* Schmidtil et Krumbeck, 1931 [138, табл. 82, фиг. 8]. Верхний байос. ФРГ, Эрланген.

Форма. Раковина диаметром до 100 мм с медленно возрастающими в высоту оборотами, охватывающими предшествующие на $1/4$ – $1/3$. Сечение оборотов округлое, бока и вентральная сторона выпуклые, пупок широкий, мелкий. Вентральная борозда узкая, неглубокая, извилистая.

Размеры, мм, и их соотношения:

№ экз.	Д	В	Ш	Ду	В/Д	Ш/Д	Ду/Д
115/1825	89	25	24	48	0,28	0,27	0,53
115/1725	59	16,5	16	32	0,28	0,27	0,54
115/1682	46	13	12,5	24	0,28	0,27	0,52

Скульптура. Ребристость редкая, грубая, состоит из двуветвистых, простых и редких вставных ребер. Ребра на боках слабо серповидно изогнутые или прямые, наклонены вперед, при переходе на вентральную сторону наклон ребер усиливается. Точка ветвления ребер на фрагмоконе расположена в наружной трети боков и несет острые бугорки, на жилой камере крупного экземпляра бугорки пропадают,

точка ветвления смещается ближе к середине боков, связь ветвей и осей ребер ослабляется. Число боковых ребер на 1/2 оборота 20–23, коэффициент ветвления 1,4–1,65.

Сравнение. От большинства *Rarecostites* отличается низким сечением оборотов с высотой, почти равной ширине; от сходного по этому признаку *R. acris* (Wetzel) – закругленными боками и вентральной стороной, редкой ребристостью.

Замечания. *R. wetzeli* принадлежит к группе паркинсонид, обычно описываемых вод невалидным названием "*Parkinsonia depressa*". Политипичность этого "вида" отмечалась неоднократно [164; 166; 138; 114]. По степени охвата предшествующих оборотов и характеру ребристости рассматриваемый вид принадлежит к типичным *Rarecostites*. К нему также должны быть отнесены формы, описываемые как *P. depressa* со слабообъемлющими оборотами и коэффициентом ветвления ребер менее 2.

Геологическое и географическое распространение. Байос, зона *garantiana* – низы зоны *parkinsoni*. ФРГ, Северный Кавказ.

Материал. Северный Кавказ, р. Уруп, низы верхней джангурской подсвиты – 1 экз., Дагестан, нижняя цудахарская подсвиты, сел. Латуна – 4 экз.

Rarecostites oglanlense (Аманниязов) 1972

Табл. 34, фиг. 6

Parkinsonia oglanlense: Аманниязов, 1972, с. 27, табл. 4, фиг. 2, табл. 9, фиг. 1.

Parkinsonia bigotti: Аманниязов, 1972, с. 11, табл. 4, фиг. 3.

Голотип. *Parkinsonia oglanlensis* (Аманниязов, 1972 [41, с. 27, табл. 4, фиг. 2]). Верхний байос. Западная Туркмения, Большой Балхан, колодцы Чалой.

Форма. Раковины диаметром до 50 мм с медленно нарастающими оборотами, охватывающими предшествующие на 1/4–1/3 их высоты. Сечение оборотов прямоугольно-овальное. Бока и вентральная сторона уплощенные. Вентральная борозда мелкая, на жилой камере переходит в полосу.

Размеры, мм, и их соотношения:

№ экз.	Д	В	Ш	Ду	В/Д	Ш/Д	Ду/Д
115/1936	30	9	8,5	13,5	0,30	0,28	0,45
115/1889	32	9	9	14	0,28	0,28	0,44

Скульптура. Ребристость редкая, грубая, состоит из двуветвистых ребер, нерегулярно чередующихся с одиночными. Ребра на боках прямые, их наклон нерегулярный – от слабого назад до слабого

вперед, ветвятся на 2/3 высоты боков от шва, после чего приобретают четкий наклон вперед, образуя у вентральной борозды варьирующий по величине тупой угол. Количество ребер на боках на 1/2 оборота 16–18, коэффициент ветвления 1,6–1,7.

Сравнение. От *R. radiatum* (Renz), с которым сходен по форме раковины и характеру скульптуры, отличается грубыми ребрами и точкой ветвления ребер, смещенной в наружную треть боков; от близких по размерам внутренних оборотов *R. rarecostatus*, *R. interruptus* – грубой и нерегулярной ребристостью, тупым углом между концами ребер на вентральной стороне.

Геологическое и географическое распространение. Верхний байос, зона *garantiana*, Западная Туркмения.

Материал. Большой Балхан, севернее колодцев Чалой, кровля чалойской свиты – 2 экз.

Rarecostites (?) *mutabilis* (Nicolesco), 1927.

Табл. 35, фиг. 1, табл. 36, фиг. 1, табл. 37, фиг. 1

Parkinsonia planulata Quenstedt var. *mutabilis*: Nicolesco, 1928, с. 67, табл. 13, фиг. 1–6.

Parkinsonia planulata Quenstedt var. *complanata*: Nicolesco, 1928, с. 66, табл. 12, фиг. 3 (только).

Parkinsonia mutabilis: Никанорова, 1972, с. 66, табл. 2, фиг. 1; Аманниязов, 1972, с. 18, табл. 2, фиг. 1.

Parkinsonia orbignyana: Аманниязов, 1972, с. 15, табл. 2, фиг. 1.

Parkinsonia "complanata": Аманниязов, 1972, с. 19, табл. 3, фиг. 1.

Parkinsonia planulata: Аманниязов, 1972, с. 20, табл. 3, фиг. 2, 3.

Parkinsonia kugitangensis: Аманниязов, 1972, с. 22, табл. 4, фиг. 1.

Голотип. *Parkinsonia planulata* var. *mutabilis* Nicolesco, 1928 [105, с. 67, табл. 13, фиг. 5]. Верхний байос. Польша (по оригинальному указанию).

Форма. Диморфный вид. Макроконхи до 250 мм, микроконхи до 150 мм (?). Обороты объемлют предыдущие от 2/5 до 1/3 их высоты, скорость нарастания оборотов в высоту несколько варьирует. Сечение внутренних оборотов овально-трапециевидное, со сходящимися к уплощенной или вогнутой вентральной стороне боками. На внешних оборотах сечение становится овальным или яйцевидным, вентральная сторона – закругленной. Пупок мелкий, широкий, относительные его размеры заметно варьируют. Вентральная борозда развита на внутренних оборотах, сглаживается и затем полностью исчезает на внешних. Устье макроконхов с прямыми боковыми краями, микроконхов – со слабо развитыми ушками. Иногда развиты слабые замаскированные ребристостью пережимы, сопровождаемые скачкообразным увеличением сечения оборота.

Размеры, мм, и их соотношения:

№ экз.	Д	В	Ш	Ду	В/Д	Ш/Д	Ду/Д
115/1225	247	65	48	128	0,26	0,19	0,52
115/1510	173	48	—	92	0,28	—	0,53
115/4006	140	44,5	35	63,5	0,32	0,25	0,45
115/1742	110	34	28	49	0,31	0,25	0,445
115/1400	111	35	—	56	0,315	—	0,50
	74	22	17	37	0,30	0,23	0,50
115/1690	96	28	21	45	0,29	0,22	0,47
115/32	76	25	17	43	0,33	0,22	0,565
115/1722	53	15,5	13	25	0,29	0,245	0,47
115/1598	36	11,5	10	17	0,32	0,28	0,47

Скульптура. Внутренние обороты фрагмокона, до диаметра раковины порядка 100 мм покрыты острыми, варьирующими по густоте ребрами. Преобладают двуветвистые ребра, но также развиты простые и вставные, коэффициент ветвления 1,8–1,9. Ребра на боках прямые или слабо серповидно изогнутые, наклонены вперед. Наклон заметно усиливается после ветвления. При диаметре раковины более 100–120 мм боковые ребра постепенно становятся грубыми, редкими, расширяющимися и уплощающимися в точке ветвления. Одновременно коэффициент ветвления ребер становится больше 2. При диаметре более 130 мм связь боковых ребер с вентральными утрачивается и затем сначала исчезают боковые ребра, а затем и вентральные, и обороты становятся гладкими. В приустьевой части крупных форм возникают широкие нерегулярные складки.

Сравнение. От других представителей рода *Rarecostites* помимо крупных размеров при сопоставимой величине раковин отличается высоким коэффициентом ветвления ребер и более объемлющими оборотами.

Замечания. Описываемый вид по форме раковины и скульптуре занимает промежуточное положение между *Parkinsonia* и *Rarecostites* и отнесен к последнему роду на основании хорошо выраженного диморфизма.

В понимании Николеско вид трактовался достаточно широко. Включенные в его состав наши экземпляры по своей изменчивости не выходят за рамки форм, изображенных Николеско в табл. 13. Типом *Parkinsonia complanata* Nicolesco указан экземпляр, изображенный в табл. 12, фиг. 2 из нижнего бата департамента Нижние Альпы, Франция. Крупный экземпляр, изображенный в табл. 12, фиг. 3 происходит из "железистого оолита" (сконденсированных слоев зоны humphriesianum — низов зоны parkinsoni байоса). Байё в Нормандии. Эти две раковины не идентичны не только по стратиграфическому положению,

но и по строению. Крупный экземпляр не показывает существенных отличий от *R. mutabilis* и включен нами в состав этого вида. Многочисленные виды, описанные К. Н. Аманниязовым (см. синонимику) из средней дегибадамской подсвиты Юго-Западного Гиссара, представленные фрагментарным материалом, аналогичны имеющимся у нас образцам, происходящим из одной и той же пачки в верхах подсвиты. По форме раковины и скульптуре они не выходят за рамки внутривидовых отличий более представительного материала из Дагестана.

Геологическое и географическое распространение. Байос, зона *garantiana* – низы зоны *parkinsoni*. Франция, Польша, Крым, Кавказ, Средняя Азия.

Материал. Крым, Янышарская бухта, вулканогенная толща – 2 экз., Северный Кавказ: р. Уруп, нижняя часть верхней джангурской подсвиты – 1 экз., р. Ход-дон, верхняя джорская подсвита – 1 экз., Чечено-Ингушетия и Дагестан, нижняя цудахарская подсвита: р. Чанты-Аргун – 1 экз., сел. Датуна – 11 экз., сел. Кадар – 3 экз., сел. Герга – 2 экз., сел. Урахи – 1 экз.; Большой Балхан, чалойская свита: кол. Караиман – 2 экз., кол. Порсайман – 1 экз., гора Огланлы – 10 экз.; Юго-Западный Гиссар, средняя дегибадамская подсвита: хр. Кугатанг-тау, родник Чашмабулак – 8 экз., сай Вандоб – 4 экз., хр. Байсун-тау, сел. Дербент – 10 экз.

Род *Parkinsonia* Bayle, 1878

Parkinsonia: Bayle, 1878, табл. 48, фиг. 2, 3.

Parkinsonia: Безносков, Кутузова, 1982, с. 45.

Parkinsonia (*Parkinsonia*): Arkell, 1956, с. 143: 1957, с. 309; Hahn, 1970, с. 15.

Durotrigensia: Buckman, 1928, табл. 767; Arkell, 1956, с. 145.

Типовой вид. *Ammonites parkinsoni* Sowerby, 1821. Верхний байос, зона *parkinsoni*. Англия, Сомерсет.

Диагноз. Раковины до 500 мм с умеренно нарастающими оборотами, объемлющими предшествующие примерно на 1/2 их высоты. Сечение оборотов преимущественно овальное, сжатое с боков и овально-трапезиевидное, реже слабоприплюснутое. Жилая камера занимает от 5/6 до немногим более полного оборота. Устьевой край с прямыми, слабоогнутыми или слабовыпуклыми боковыми краями без ушек. Вентральная борозда четкая, у крупнорослых форм может сглаживаться. Скульптура внутренних оборотов фрагмокона состоит из двуветвистых и редких, нерегулярных простых ребер, на внешних оборотах фрагмокона и на жилой камере преобладают двуветвистые ребра и простые ребра, сопряженные с вставными, могут присутствовать трехветвистые ребра. Ребра радиальные или наклонены вперед, ветвятся близ середины боков, посередине вентральной стороны преры-

ваются бороздой, к которой примыкают под острым углом, подходя поочередно с каждой стороны. На уровне ветвления ребра могут нести острые бугорки, более выраженные на внутренних оборотах и на раковинах. Скульптура может сглаживаться у крупнорослых форм, начиная с боков. Формула лопастной линии: $(V_1 V_1) U U^1 I_2: I_1 I_3 D$.

Состав. Более 15 видов: *P. dorsetensis* (Wright), *P. parkinsoni* (Sowerby), *P. complanata* (Nicolesco), *P. densicosta* (Quenstedt), *P. toulae* Trauth, *P. neuffensis* (Oppel), *P. bentzi* Schmidtil et Krumbeck, *P. pachypleura* Arkell, *P. subtilis* Arkell, *P. dorni* Arkell, *P. balakhanensis* Khudjaev, *P. pseudoplanulata* sp. nov., *P. zatwornitzkii* sp. nov., *P. nitaensis* sp. nov., *P. quenstedti* Rostovzew.

Сравнение. От предкового *Rarecostites* отличается отсутствием четко выраженного диморфизма, более объемлющими оборотами и коэффициентом ветвления ребер, равным или большим 2.

Замечания. *Durotrigensia* Buckman, 1928, предложена для крупнорослого аммонита с гладкими наружными оборотами. Такие формы среди *Parkinsonia* нередки и фрагменты их обычно описываются под названием *P. neuffensis* auct. Отличий *Durotrigensia* от *Parkinsonia* по строению внутренних оборотов нет.

Геологическое и географическое распространение. Байос, верхи зоны *garantiana* и зоны *parkinsoni* – бат, низы зоны *zigzag*, Европа, Молдавия, Крым, Кавказ, Средняя Азия, Памир.

Parkinsonia parkinsoni (Sowerby), 1821

Табл. 39, фиг. 1

Ammonites parkinsoni: Sowerby, 1821, с. 342, табл. 307, фиг. 1.

Parkinsonia parkinsoni: Buckman, 1908, табл. 5, фиг. 2; Wetzel, 1911, с. 198, табл. 16, фиг. 3; Nicolesco, 1928, с. 30, табл. 6, фиг. 2–13, табл. 7, фиг. 1–4, табл. 8, фиг. 1–2; Schmidtil, Krumberk, 1931, с. 867, табл. 84, фиг. 1–2, табл. 85, фиг. 1, 8; Сибиракова, 1961, с. 35, табл. 3, фиг. 8; Азарян, 1963, с. 209, табл. 12, фиг. 3, 4; 1982, с. 133, табл. 29, фиг. 6; Sturani, 1964, табл. 6, фиг. 2; 1964а, табл. 3, фиг. 2; Ростовцев, 1985, с. 158, табл. 42, фиг. 3–4, табл. 43, фиг. 1.

Parkinsonia pseudoparkinsoni: Wetzel, 1911, с. 200, табл. 16, фиг. 4–6; Schmidtil, Krumbeck, 1931, с. 869, табл. 85, фиг. 3.

Parkinsonia parkinsoni var. *pseudoparkinsoni*: Nicolesco, 1928, с. 33, табл. 6, фиг. 1–2.

Parkinsonia ferruginea: Schlippe, 1888, с. 24, табл. 6, фиг. 2; Renz, 1914, табл. 29, фиг. 2.

Лектотип. *Ammonites parkinsoni* Sowerby, 1821 [141, табл. 307, фиг. 1]. Переизображен: [56, табл. 5, фиг. 2; 43, с. 144, фиг. 53]. Верхний байос, зона *parkinsoni*. Англия, Сомерсет.

Форма. Раковины средних и крупных размеров с быстро нарастающими оборотами, объемлющими предшествующие немного менее,

чем на 1/2 их высоты. Сечение оборотов овальное и трапециевидно-овальное, сжатое с боков. Бока плоские или слабсвыпуклые, сближаются к вентральной стороне, ширина которой варьирует. Пупок средних размеров, мелкий. Вентральная борозда на раковине узкая, извилистая, на ядре глубокая.

Размеры, мм, и их соотношения:

№ экз.	Д	В	Ш	Ду	В/Д	Ш/Д	Ду/Д
115/4018	117,5	37	—	43	0,315	—	0,365
115/4085	119	—	—	—	—	—	—
	93	28	22	40	0,30	0,24	0,43
115/3998	77	25	20	36	0,325	0,26	0,475
115/4051	73	23	17	38	0,315	0,235	0,52
115/1737	70	24	17	33	0,34	0,24	0,475
115/4061	70	23	17	32	0,33	0,24	0,46
115/4056	67	20	15,5	29	0,30	0,23	0,435
115/3616	59	17	14	28	0,29	0,24	0,475
115/4075	56	19	15	24	0,34	0,27	0,43

Скульптура. Ребристость грубая, несколько варьирует по густоте, состоит преимущественно из двуветвистых и простых, сопряженных с вставными ребер, кроме которых на внутренних оборотах фрагмокона присутствуют одиночные ребра, в конце жилой камеры могут быть единичные трехветвистые ребра или двуветвистые, сопряженные с вставными. Ребра на боках прямые, слабо наклоненные вперед, при переходе на вентральную сторону изгиб ребер вперед усиливается. Точка ветвления ребер расположена между серединой и 3/5 высоты боков от шва. Число ребер на 1/2 оборота 21–25, коэффициент ветвления 2. Слаборазвитые бугорки могут присутствовать на ребрах на уровне их ветвления на внутренних оборотах.

Сравнение. От сходных по скульптуре и форме раковин *P. zatwornitzki* sp. nov. отличается более узким пупком; от *P. pseudoplanulata* sp. nov. — более сжатыми с боков оборотами.

Замечания. Будучи видом-индексом верхней зоны верхнего байоса *Parkinsonia parkinsoni* является наиболее цитируемым видом рода. Однако под этим названием нередко указываются разные виды как *Parkinsonia*, так и *Rarecostites* с преобладанием двуветвистых ребер, а также внутренние обороты *Gonolkites* и *Haselburgites*.

Геологическое и географическое распространение. Байос, зона parkinsoni, Европа, Днепровско-Донецкая впадина (?), Крым, Кавказ, Большой Балхан, Мангышлак.

Материал. Дагестан, средняя часть средней цудахарской подсвиты; сел. Датуна — 19 экз., сел. Ахвахштаб — 4 экз., сел. Ирганай — 1 экз.; Мангышлак, сарыдиирменская свита, ур. Торыш — 5 экз.; Большой Балхан, ташарватская свита, кяриз Меулам — 4 экз.

Parkinsonia zatwornitzkii Besnosov sp. nov.

Табл. 38, фиг. 1

Parkinsonia parkinsoni: Затворницкий, 1914, с. 500, табл. 17, фиг. 18, 19; Крымгольц, 1947, с. 191, табл. 37, фиг. 2.

Голотип. ВНИГНИ, экз. № 115/4008. Верхний байос, зона *parkinsoni*, Дагестан, левый склон долины Аварского Койсу у сел. Датуна, осыпь на средней цудахарской подсвите.

Название в честь геолога А. Я. Затворницкого.

Форма. Раковины средних размеров, до 120–130 мм с быстро нарастающими оборотами, объемлющими предшествующие немного более, чем на 1/3 их высоты. Сечение оборотов овальное, бока слабо-выпуклые, несколько сближаются к вентральной стороне. Пупок широкий, мелкий. Полная жилая камера и устье не сохранились. Вентральная борозда четкая, узкая, извилистая.

Размеры, мм, и их соотношения:

№ экз.	Д	В	Ш	Ду	В/Д	Ш/Д	Ду/Д
115/4008	121	40	33	38	0,33	0,27	0,48
115/1824	78	27	22	39	0,34	0,25	0,50
115/4021	85	30	—	40	0,35	—	0,47

Скульптура. Ребристость грубая, усиливается на жилой камере, на фрагмокоме преобладают двуветвистые ребра, на жилой камере — простые ребра, сопряженные с вставными. Ветвление ребер происходит на 3/5 высоты боков от шва. Ребра прямые или слабо серповидно и S-образно изогнуты вперед, при переходе на вентральную сторону изгиб ребер усиливается. Число боковых ребер на 1/2 оборота 20–21, коэффициент ветвления 2. Бугорки в точке ветвления развиты до жилой камеры включительно.

Сравнение. От *P. parkinsoni* отличается более широким пупком и менее сжатыми с боков оборотами.

Геологическое и географическое распространение. Байос, низы зоны *parkinsoni*, Северный Кавказ, Дагестан.

Материал. Северный Кавказ, р. Кубань, южный склон горы Джангура, нижняя часть верхней джангурской подсвиты — 1 экз.; Дагестан, сел. Гигатли-урух, низы цудахарской свиты — 1 экз., сел. Ахваштаб, низы средней цудахарской подсвиты — 3 экз., сел. Датуна, осыпь средней цудахарской подсвиты — 1 экз.

Parkinsonia pseudoplanulata Besnosov sp. nov.

Табл. 40, фиг. 1

Parkinsonia planulata: Wetzel, 1911, с. 204, табл. 17, фиг. 1, 2.

non *Ammonites parkinsoni planulatus* Quenstedt, 1849, с. 143, табл. 11, фиг. 2.

Название произведено от часто цитируемого невалидного названия *Parkinsonia planulata* auct.

Голотип. ВНИГНИ, экз. № 115/4001. Верхний байос, верхи зоны parkinsoni, средняя цудахарская подсвита. Дагестан, сел. Ахвахштаб.

Форма. Раковины до 150 мм, с умеренно нарастающими оборотами, объемлющими предшествующие на 1/2 их высоты. Сечение оборотов овальное, сжатое с боков. Бока уплощенные или слабовыпуклые, плавно закругляются к широкой уплощенной или слабо вдавленной вентральной стороне. Пупок широкий мелкий. Жилая камера занимает более 7/8 оборота, устье не сохранилось. Вентральная борозда узкая, глубокая.

Размеры, мм, и их соотношения:

№ экз.	Д	В	Ш	Ду	В/Д	Ш/Д	Ду/Д
115/4001	99	34	28	42	0,34	0,28	0,42
115/4005	109	37	32	48	0,34	0,29	0,44
115/3992	96	32	29	44	0,33	0,24	0,46

Скульптура. Ребристость внутренних оборотов острая, сравнительно густая, в передней части жилой камеры становится более грубой и редкой, состоит преимущественно из двуветвистых ребер, кроме которых присутствуют единичные трехветвистые. В переднем конце жилой камеры связь боковых ребер с ветвями ослабевает. Ребра на боках прямые, слабо наклонены вперед, ветвятся между 1/2 и 2/3 высоты боков от шва, после ветвления наклон ребер вперед усиливается. Число боковых ребер на 1/2 оборота 20–23, коэффициент ветвления 2–2,1. В точке ветвления на раковинах, вплоть до жилой камеры развиты острые бугорки, которым на ядрах отвечают утолщения ребер, с середины жилой камеры ребра в точке ветвления начинают утолщаться.

Сравнение. От сходной по общему габитусу раковин и ребристости *P. parkinsoni* (Sowerby) отличается более объемлющими и толстыми оборотами; от сопоставимых по размерам экземпляров *P. pachypleura* Buckman – быстрее нарастающими в высоту и толщину оборотами и низким коэффициентом ветвления ребер.

З а м е ч а н и я . Широко цитируемое название "*Parkinsonia planulata* Quenstedt" является невалидным (см. [148, с. 31], а также описание

Gonolkites subplanulatus (Wetzel) в данной работе). Наши экземпляры идентичны *Parkinsonia planulata* Wetzel, 1911 (табл. 17, фиг. 1, 2), которую Николеско включил в синонимику *Parkinsonia planulata* var. *mutabilis* Nicolesco, 1927, с. 47 (= *Rarecostites mutabilis*), лектотип которого [105, табл. 13, фиг. 5] характеризуется слабообъемлющими оборотами и присутствием простых ребер, не сопряженных с вставными, и по этим признакам включен в род *Rarecostites*.

Геологическое и географическое распространение. Байос, зона *parkinsoni* – бат, низы зоны *zigzag*. ФРГ, Северный Кавказ, Дагестан.

Материал. Северный Кавказ, междуречье Кубани и Большого Зеленчука, верхняя часть джангурской свиты – 2 экз., Дагестан, средняя и верхняя часть средней цудахарской подсвиты: сел. Гигатли-урух – 1 экз., сел. Ахвахштаб – 4 экз., сел. Датуна – 5 экз., гора Гуниб – 1 экз.

Parkinsonia nitaensis Besnosov sp. nov.

Табл. 39, фиг. 3

Голотип. ВНИГНИ, экз. № 115/4028. Байос, верхи зоны *parkinsoni* – бат, низы зоны *zigzag*. Дагестан, сел. Датуна, верхняя часть средней цудахарской подсвиты.

Название произведено от аула Нита в районе типового местонахождения.

Форма. Раковина средних и (?) крупных размеров, с высотой наружного оборота до 45 мм, с быстро нарастающими в высоту уплощенными оборотами, охватывающими предшествующие примерно на 1/2 их высоты. Сечение оборотов высоко трапециевидно-овальное, сильно сжатое с боков. Бока и вентральная сторона слабовыпуклые, вентральная борозда четкая, узкая, сохраняется до конца жилой камеры. Пупок средних размеров мелкий.

Размеры, мм, и их соотношения:

№ экз.	Д	В	Ш	Ду	В/Д	Ш/Д	Ду/Д
115/4023	48,5	21	16,5	14	0,43	0,34	0,29
115/4029	–	25,5	17	–			
115/3470	–	42	28	–			

Скульптура. Ребристость густая, тонкая, состоит преимущественно из двуветвистых ребер, кроме которых развиты простые и сопряженные с ними вставные ребра. Ребра слабо серповидно изогнуты вперед, ветвятся в наружной трети боков, причем оси ребер с возраст-

том удлиняются за счет постепенного смещения точки ветвления кнаружи. Коэффициент ветвления около 2.

Сравнение. От сходных по ребристости *P. densicosta* (Quenstedt) и *P. tuolae* Trauth отличается сильно сжатыми с боков высокими оборотами и относительно узким пупком.

Замечания. *P. aff. friderici-augusti* var. *perplanulata* Smidtil et Krumbeck, 1931, очень близка к описываемому виду. Однако *P. friderici-augusti* Wetzel, 1911 – субъективный синоним *P. densicosta* (Quenstedt) [105, с. 35]. Тип *P. friderici-augusti* Wetzel, 1911, незначительно отличается от голотипа номинального вида и соответственно также является субъективным синонимом *P. densicosta*, поэтому для описываемого вида предложено новое название.

Геологическое и географическое распространение. Байос, зона parkinsoni (верхи) – бат, зона zigzag (низы). ФРГ (?), Северный Кавказ, Дагестан.

Материал. Северный Кавказ, р. Кубань, верхняя половина верхней джангурской подсвиты – два фрагмента; Дагестан, средняя цудахарская подсвита, сел. Датуна – голотип и два фрагмента; гора Гуниб – три фрагмента; верхи цудахарской свиты, сел. Гигатли – один фрагмент.

Parkinsonia densicosta (Quenstedt), 1887

Табл. 39, фиг. 2

Ammonites parkinsoni densicosta: Quenstedt, 1887, с. 604, т. 72, фиг. 2 (только).

Parkinsonia densicosta: Schlippe, 1888, с. 217, табл. 4, фиг. 2; Maubeuge, 1951, с. 92, табл. 11, фиг. 4, табл. 13, фиг. 6, с. 26, табл. 5, фиг. 2, табл. 11, фиг. 3; ? Аманниязов, 1972, с. 26, табл. 5, фиг. 2.

Parkinsonia (Durotrigensia) densicosta: Pavia, 1972, с. 192, табл. 23, фиг. 1, 2 (?).

Parkinsonia parkinsoni var. *densicosta*: Nicolesco, 1928, с. 38, табл. 8, фиг. 3–12, табл. 9, фиг. 1.

Ammonites parkinsoni planulatus: Quenstedt, 1859, с. 470, табл. 63, фиг. 8.

Parkinsonia friderici-augusti: Wetzel, 1911, с. 202, табл. 16, фиг. 7–8, 10.

Parkinsonia planulata: Schmidtil, Krumbeck, 1931, с. 871, табл. 86, фиг. 2, 4, 6, 9, табл. 87, фиг. 3, 7, табл. 88, фиг. 3. non *Parkinsonia densicosta*: Сибирякова, 1961, табл. 5, фиг. 3.

Лектотип. *Ammonites parkinsoni densicosta* Quenstedt 1887 [121, табл. 72, фиг. 2]. Байос, зона parkinsoni. ФРГ.

Форма. Раковины до 100 мм. Скорость нарастания оборотов варьирует, обороты объемлют предшествующие на 2/3–3/5 их высоты. Сечение оборотов овальное, сжатое с боков. Бока слабовыпуклые, вентральная сторона уплощенная, узкая. Пупок мелкий. Вентральная борозда узкая, неглубокая.

Размеры, мм, и их соотношения:

№ экз.	Д	В	Ш	Ду	В/Д	Ш/Д	Ду/Д
115/1591	65	20,5	—	27,5	0,315	—	0,42
115/1556	61	19,5	16	27	0,32	0,26	0,44
115/4093	60,5	21	16,5	23	0,35	0,27	0,38
115/1470	51,5	18,5	15	21,5	0,36	0,29	0,42
115/2281	45	15	12	20,5	0,33	0,27	0,455
115/3533	47	15,5	12,5	20	0,33	0,265	0,425
115/2042	44	15	12,5	19	0,34	0,28	0,43

Скульптура. Ребристость тонкая, густая, состоит преимущественно из двуветвистых и простых ребер, сопряженных с вставными, кроме которых присутствуют единичные простые и дополнительные вставные ребра. Ребра на боках прямые или слабо серповидно изогнутые, заметно наклонены вперед, ветвятся на 2/3–3/5 высоты боков от шва, после чего изгиб ребер вперед заметно усиливается. Число ребер на 1/2 оборота 21–23, коэффициент ветвления 2–2,1.

Сравнение. От *P. parkinsoni* (Sowerby) отличается более сжатыми с боков оборотами и густой ребристостью с длинными боковыми ребрами; от сходной по густой ребристости *P. toulai* Trauth — более сжатыми с боков и менее объемлющими оборотами.

Геологическое и географическое распространение. Байос, зона parkinsoni Европа, Кавказ, Западная Туркмения.

Материал. Дагестан, низы средней цудахарской подсвиты: сел. Датуна — 3 экз., сел. Герги — 1 экз., сел. Уркарах — 1 экз.; Большой Балхан, кяриз Ташарват, ташарватская свита — 7 экз.

Parkinsonia toulai Trauth, 1923

Табл. 38, фиг. 3, табл. 39, фиг. 4

Parkinsonia toulai: Trauth, 1923, с. 237, табл. 2, фиг. 8.

Лектотип. *Parkinsonia toulai* Trauth, 1923 [154, с. 237, табл. 2, фиг. 8 (по монотипии)]. Байос, зона parkinsonia. Австрия.

Форма. Раковины до 100 мм с быстро нарастающими в высоту и ширину оборотами, охватывающими предшествующие на 1/2 их высоты. Сечение оборотов овальное, бока закругленные, вентральная сторона слабо вогнутая посередине, пупок средних размеров, глубокий.

Размеры, мм, и их соотношения:

№ экз.	Д	В	Ш	Ду	В/Д	Ш/Д	Ду/Д
115/3225	—	29	24,5	—	—	—	—
115/3813	45	17	15	18	0,38	0,33	0,40
115/3820	26	9	9	11	0,35	0,35	0,42

Скульптура. Ребристость острая, густая, несколько грубеет на жилой камере, состоит преимущественно из двуветвистых ребер, кроме которых присутствуют простые и сопряженные с ними и с двуветвистыми ребрами вставные ребра. Ребра на боках слабо серповидно изогнуты вперед, наклон их плавно увеличивается. Коэффициент ветвления ребер равен или немного более 2.

Сравнение. От сходной по конфигурации ребер и их густоте *P. densicosta* (Quenstedt) отличается более объемлющими и толстыми оборотами.

Геологическое и географическое распространение. Байос, зона parkinsoni, Австрия, Западная Туркмения.

Материал. Большой Балхан, кяриз Меулам, ташарватская свита — 4 экз.

Parkinsonia pachypleura Buckman, 1925

Табл. 40, фиг. 3, табл. 41, фиг. 1

Parkinsonia pachypleura: Buckman, 1925, табл. 612.

Parkinsonia (Parkinsonia) pachypleura: Atkell, 1956, с. 146, фиг. 54, 57 в тексте, табл. 18, фиг. 1, 4, 9, табл. 19, фиг. 8, 9.

Голотип. *Parkinsonia pachypleura* Buckman, 1925 [56, табл. 612]. Нижний бат, зона zigzag. Англия, Дорсет.

Форма. Раковины до 170 мм и более, с умеренно возрастающими оборотами, объемлющими предшествующие на 1/2 их высоты на внутренних оборотах и несколько менее — на внешних. Сечение оборотов овальное, сжатое с боков. Бока слабовыпуклые, сближаются к ventральной стороне. Пупок широкий, мелкий. Жилая камера занимает 3/4 оборота. Ventральная борозда широкая, четкая.

Размеры, мм, и их соотношения

№ экз.	Д	В	Ш	Ду	В/Д	Ш/Д	Ду/Д
115/1466	164	48	37	79	0,29	0,225	0,48
	121	36	28	55	0,33	0,230	0,45
115/4030	79	26,5	21	34	0,335	0,265	0,43
115/1730	72	25	21	32	0,35	0,29	0,45
115/4040	61	19	17	27,5	0,31	0,28	0,45

Скульптура. Ребристость внутренних оборотов фрагмокона острая, густая, в конце фрагмокона грубеет и становится более редкой, в конце жилой камеры боковые ребра превращаются в грубые складки, ventральные сглаживаются. На внутренних оборотах фрагмокона преобладают двуветвистые ребра, в конце фрагмокона чередую-

щиеся с трехветвистыми, на жилой камере связь вентральных ребер с боковыми слабеет, последние в месте ветвления уплощаются. Ребра прямые или слабо серповидно изогнутые, наклонены вперед. Точка ветвления ребер расположена близ середины боков. Число боковых ребер на 1/2 оборота 21–17, сокращается у крупнорослых форм, коэффициент ветвления 2,3–2,5. В точке ветвления на внутренних оборотах ребра несут на раковине острые бугорки.

Сравнение. От одновозрастного *G. subplanulatus* Wetzel отличается менее массивными оборотами, широким и мелким пупком.

Замечания. Бакмен [56], как установил Аркелл [43, с. 146], неправильно отнес голотип вида к зоне *garantiana* верхнего байоса.

Геологическое и географическое распространение. Бат, зона *zigzag*. Англия, Лагестан.

Материал. Дагестан, низы верхней цудахарской подсвиты, сел. Ахвахштаб – 1 экз., сел. Датуна – 1 экз., сел. Араканы – 1 экз., сел. Уркарах – 1 экз.

Parkinsonia balakhanensis Khudjaev, 1927.

Табл. 40, фиг. 2

Parkinsonia balakhanensis: Худяев, 1927, с. 136, табл. 2, фиг. 9; Кутузова, 1975, с. 85, табл. 25, фиг. 1.

non *Parkinsonia balakhanensis*: Аманниязов, 1972, табл. 7, фиг. 3.

Голотип. *Parkinsonia balakhanensis*: Худяев, 1927 [38, табл. 2, фиг. 9]. Байос, зона *parkinsoni*. Большой Балхан.

Форма. Раковины до 150 мм. Обороты умеренно нарастают в высоту, объемлют предшествующие примерно наполовину, в сечении трапециевидно-овальные, сильно сжатые с боков, вентральная сторона узкая. Пупок средних размеров, мелкий.

Размеры, мм, и их соотношения:

№ экз.	Д	В	Ш	Ду	В/Д	Ш/Д	Ду/Д
115/3529	76	23,5	18	32	0,31	0,24	0,42
115/9231	82,5	26	17	34	0,315	0,21	0,41

Скульптура. Ребристость внутренних оборотов фрагмокона грубая, острая, состоит из двуветвистых ребер. В конце фрагмокона и на жилой камере ребристость густая острая на умбональной части боков и на перегибе к вентральной стороне и сглаженная посередине боков, в районе ветвления, так что связь боковых и вентральных ребер выражена нечетко. Ребра на боках прямые или слабо серповидно изогнутые, наклонены вперед, наклон усиливается при переходе на

вентральную сторону. Преобладают одиночные ребра, сопряженные с одним-двумя вставными, и двуветвистые ребра. На 1/2 оборота насчитывается 20–21 боковое ребро, коэффициент ветвления 2,2–2,3.

Сравнение. Сглаживанием ребер на боках и высоким коэффициентом ветвления описываемый вид отличается от других представителей рода. По этому признаку он сходен с представителями рода *Gonolkites*, от которых отличается менее объемлющими оборотами и широким пупком.

Замечания. Изображение голотипа в работе И. Е. Худяева дано с сильным уменьшением, что не указано в объяснении к таблицам и может ввести в заблуждение.

Геологическое и географическое распространение. Байос, зона parkinsoni, Большой Балхан, Туаркыр, Мангышлак, Кугитангтау.

Материал. Большой Балхан, кяриз Ташарват, кровля копчугайской свиты – 1 экз., низы ташарватской свиты – 3 экз., гора Огланлы, те же уровни – 2 экз., Туаркыр, гора Доунгра, огрыдагская свита – 1 экз., Мангышлак, Западный Каратау, колодцы Сарыкаспак, сарыдирменская свита – 2 экз., Кугитангтау – родник Казанбулак, дегибадамская свита – 1 экз.

Parkinsonia (?) neuffensis (Oppel), 1858

Табл. 42, фиг. 1

Ammonites neuffensis: Oppel, 1858, с. 378

Ammonites parkinsoni gigas: Quenstedt, 1849, с. 143, табл. 11, фиг. 1; 1887, с. 615, табл. 73, фиг. 8.

Parkinsonia neuffensis: Wetzell, 1911, с. 210, табл. 18, фиг. 2, 3, табл. 19, фиг. 1; ? Nicolesco, 1927, с. 50, табл. 14, фиг. 12; Dorn, 1927, с. 232, табл. 4, фиг. 7, табл. 5, фиг. 1; Wetzell, 1937, с. 123, табл. 12, фиг. 7, табл. 13, фиг. 1.

Лектотип. *Ammonites parkinsoni gigas* Quenstedt, 1849 [119, с. 143, табл. 11, фиг. 1]. Верхний байос, ФРГ, Ройтлинген.

Форма. Раковина крупная, до 250 мм и более в диаметре, с умеренно возрастающими в высоту оборотами, объемлющими предшествующие на 1/2 их высоты. Сечение оборотов овальное, сжатое с боков. Бока слабовыпуклые, вентральная сторона закругленная. Вентральная полоса широкая.

Размеры, мм, и их соотношения:

№ экз.	Д	В	Ш	Ду	В/Д	Ш/Д	Ду/Д
115/4390	252	75	60	109	0,30	0,24	0,43
115/1451	135	43	36	59	0,32	0,27	0,44

115/3482	115	37	30	46	0,32	0,26	0,40
115/1448	62	23	19	27	0,37	0,305	0,435

Скульптура. Внутренние обороты до диаметра около 100 мм покрыты двуветвистыми ребрами с отдельными вставными. У более крупных экземпляров ребристость на боках становится более грубой и редкой, связь боковых ребер с вентральными ослабляется, коэффициент ветвления приближается к 2,5. При диаметре более 150 мм боковые ребра уплощаются сначала посередине боков, а затем и в умбональной части, полностью исчезая при высоте оборота 70–80 мм.

Сравнение. От других *Parkinsonia* отличается крупными размерами. Внутренние обороты сходны по форме и скульптуре с *P. pseudoplanulata* sp. nov. (*P. "planulata"* auct.), от которых рассматриваемый вид отличается более узким пупком и высоким коэффициентом ветвления ребер. От гомеоморфных *Rarecostites mutabilis* (Nicolesco), также достигающих крупных размеров и теряющих с возрастом ребристость, внешние обороты рассматриваемого вида отличаются большей массивностью и сохранением вентральных ребер; от геоморфных крупнорослых *Gonolkites subgaleatum* Buckman [43, фиг. 58 в тексте] — менее объемлющими оборотами и более широким пупком.

Замечания. Оригинал Квенштедта, выбранный А. Оппелем в качестве лектотипа вида, представляет собой фрагмент фрагмокона с высотой оборота более 80 мм, практически не идентифицируемый. Поэтому название *P. neuffensis* применяется к разнообразным крупным *Rarecostites*, *Parkinsonia* и *Gonolkites*.

Материал. Северный Кавказ, верхняя джангурская подсвета: р. Уруп — 1 экз., р. Кубань — 2 экз., Дагестан, средняя цудахарская подсвета, сел. Ахвахштаб — 1 экз.

Род *Gonolkites* Buckman, 1925

Gonolkites: Buckman, 1925, т. 546; Безносков, Кутузова, 1982, с. 46.

Parkinsonia (*Gonolkites*): Arkell, 1956, с. 145, 1957, с. 309; Westermann, 1958, с. 69; Hahn, 1970, с. 16; Krystyn, 1972, с. 260; Кутузова, 1975, с. 93.

Типовой вид. *Gonolkites convergens* Buckman, 1925, [56]. Нижний бат, Англия, Дорсет.

Диагноз. Раковины средних и крупных размеров, максимально до 200 мм, с быстро нарастающими в высоту оборотами, объемлющими предшествующие на 1/2–2/3 их высоты. Сечение оборотов овальное или трапециевидно-овальное, сжатое с боков. Жилая камера от 3/4 до полного оборота. Устье с прямыми боковыми краями. Вентральная борозда развита на фрагмоконе, на жилой камере переходит в глад-

кую полосу. Скульптура фрагмокона состоит из двух- и трехветвистых ребер, кроме которых присутствуют вставные. В точке ветвления могут быть развиты бугорки. На жилых камерах крупнорослых экземпляров ребристость сглаживается, начиная с боков.

Состав. Семь видов: *G. convergens* Buckman, *G. subgaleatus* Buckman, *G. arbatovi* Kutuzova, *G. rectangulatus* (Wetzel), *G. subplanulatus* (Wetzel), *G. crassum* (Nicolesco),

Сравнение. От рода *Parkinsonia* отличается более объемлющими оборотами и многочисленными трехветвистыми ребрами.

Геологическое и географическое распространение. Верхний байос, верхи зоны parkinsoni – нижний бат, низы зоны zigzag, Европа, Кавказ, Западная Туркмения.

Gonolkites convergens Buckman, 1925

Табл. 43, фиг. 2, табл. 44, фиг. 2

Gonolkites convergens: Buckman, 1925, табл. 546 А, В.

Parkinsonia (Gonolkites) convergens: Maubeuge, 1952, с. 107, табл. 1, фиг. 5, 6; Arkell, 1956, с. 153, табл. 18, фиг. 2, 8, табл. 19, фиг. 1, 2, фиг. 57 в тексте; Westermann, 1956, с. 69, табл. 25, фиг. 1, 2; Sturani, 1967, с. 33, табл. 6, фиг. 5, табл. 7, фиг. 4, табл. 8, фиг. 3 (не табл. 6, фиг. 5, табл. 7, фиг. 4); Hahn, 1971, с. 16, табл. 1, фиг. 4.

? *Ammonites parkinsoni*: Quenstedt, 1887, табл. 71, фиг. 26, 27.

? *Ammonites compressus*: Quenstedt, 1887, табл. 71, фиг. 34.

Ammonites neuffensis: Schloenbach, 1865, с. 173, табл. 28, фиг. 3.

Parkinsonia eimensis: Wetzel, 1911, с. 208; Schmidtil, Krumbek, 1931, с. 875, табл. 87, фиг. 1, табл. 88, фиг. 1, 5; Wetzel, 1950, с. 70, табл. 7, фиг. 2.

Parkinsonia compressa compressa: Wetzel, 1950, с. 73, табл. 7, фиг. 6, табл. 8, фиг. 1.

Parkinsonia compressa var. *ferruginea*: Nicolesco, 1927, табл. 16, фиг. 1–3; Wetzel, 1950, с. 72.

Parkinsonia compressa var. *praematura*: Wetzel, 1950, с. 71, табл. 7, фиг. 3.

Parkinsonia compressa var. *valida*: Wetzel, 1950, с. 72, табл. 7, фиг. 5.

Parkinsonia (Oraniceras) valida: Westermann, 1958, с. 71, табл. 30, фиг. 2.

Parkinsonia compressa var. *perplana*: Wetzel, 1950, с. 73, табл. 8, фиг. 2.

Parkinsonia depressa var. *crassa*: Nicolesco, 1927, табл. 11, фиг. 7 (только).

Parkinsonia (Oraniceras) wuerttembergica: Hahn, 1971, с. 25 (частично).

Голотип. *Gonolkites convergens* Buckman, 1925 [56, табл. 546]. Переизображен: [43, табл. 19, фиг. 1]. Нижний бат, зона zigzag. Англия, Дорсет.

Форма. Раковина до 160 мм, с быстро возрастающими в высоту оборотами, объемлющими предшествующие на 1/2–2/3 их высоты. Сечение оборотов овальное или трапециевидно-овальное, высокое, сжатое с боков. Бока уплощенные или слабовыпуклые, сближаются к уплощенной вентральной стороне. Пупок средних размеров, мелкий.

Вентральная борозда четкая и широкая на фрагмоконе, несколько сглаживается в конце фрагмокона и на жилой камере. Жилая камера занимает немного менее одного оборота, устье не сохранилось.

Размеры, мм, и их соотношения:

№ экз.	Д	В	Ш	Ду	В/Д	Ш/Д	Ду/Д
115/1840	93	37	27	33	0,39	0,29	0,35
115/4095	75	30	21	28	0,40	0,28	0,37
115/3516	70	26	19	27	0,37	0,27	0,385

Скульптура. Внутренние обороты фрагмокона покрыты густыми острыми двуветвистыми и простыми сопряженными с вставными ребрами, в конце фрагмокона и на жилой камере развиты трехветвистые, двуветвистые и простые, сопряженные с одним-двумя вставными ребрами. Ветвление происходит между 1/2 и 2/3 высоты боков от шва. В передней части жилой камеры боковые ребра становятся редкими, уплощенными, пучкообразно ветвятся на две или три ветви, слабо связанные с боковым ребром. У крупнорослых экземпляров эта связь теряется почти полностью. Ребра на боках наклонены вперед, слабо серповидно или S-образно изогнуты. Число боковых ребер на 1/2 оборота 20–21, коэффициент ветвления 2,4–2,7.

Сравнение. От *G. subplanulatum* (Wetzel), с которым связан транзитными формами, отличается более высокими и объемлющими оборотами, более узким пупком и высоким коэффициентом ветвления ребер.

Геологическое и географическое распространение. Нижний бат, низы зоны zigzag. Англия, Франция, ФРГ, Польша, Северный Кавказ, Дагестан, Большой Балхан.

Материал. Дагестан, верхняя половина средней цудахарской подсвиты, низы верхней цудахарской подсвиты: сел. Датунa – 4 экз., сел. Корода – 2 экз.; Большой Балхан, основание меуламской свиты, колодцы Караиман – 4 экз.

Gonolkites arbatovi Kutuzova, 1975

Табл. 45, фиг. 3

Parkinsonia (Gonolkites) arbatovi: Курузова, 1975, с. 94, табл. 23, фиг. 1, 5, табл. 24, фиг. 1, 2.

Голотип. ВНИГНИ, экз. № 115/4079. Нижний бат, низы зоны zigzag. Дагестан, сел. Ахвахштаб.

Форма. Раковины до 150 мм, с быстро возрастающими в высоту и толщину оборотами, объемлющими предшествующие на 2/3 их высоты. Сечение внутренних оборотов фрагмокона трапециевидно-округлое,

внешних – трапециевидно-овальное, на жилой камере становится яйцевидным, сжатым с боков. Пупок средних размеров. Вентральная борозда широкая, неглубокая в конце фрагмокона, сглаживается на жилой камере. Полная жилая камера и устье не сохранились.

Размеры, мм, и их соотношения:

№ экз.	Д	В	Ш	Ду	В/Д	Ш/Д	Ду/Д
115/4079	127	56	42	43	0,44	0,33	0,34

Скульптура. Внутренние обороты фрагмокона несут густые, острые простые и двуветвистые ребра, ветвящиеся посередине боков. В точке ветвления развиты острые бугорки. Внешние обороты фрагмокона покрыты дву- и трехветвистыми и простыми, сопряженными с одним-двумя вставными ребрами. На последнем обороте фрагмокона боковые ребра уплощаются, начиная с середины боков, превращаясь в его конце в слабые вздутия близ умбонального перегиба, которые полностью исчезают на жилой камере. Вентральные ребра сохраняются до конца жилой камеры, становясь грубыми и округло-уплощенными.

Сравнение. Описываемый вид весьма сходен с *Gonolkites subgaleatus* Виссман, 1928, отличается от него более высоким сжатым с боков сечением оборотов, ранним исчезновением боковых ребер и грубыми вентральными ребрами на жилой камере.

Материал. Дагестан, сел. Ахвахштаб, верхняя цудахарская подсвита – 2 неполных экземпляра и 11 фрагментов различной сохранности.

Gonolkites subplanulatus (Wetzel), 1911

Табл. 43, фиг. 1

Parkinsonia subplanulata: Wetzel, 1911, с. 207, табл. 22, фиг. 3, 4.

Parkinsonia (*Gonolkites*?) *subplanulata*: Sturani, 1966, с. 31, табл. 8, фиг. 2, табл. 13, фиг. 2, табл. 13, фиг. 2.

Ammonites parkinsoni planulatus: Quenstedt, 1849, с. 143, табл. 11, фиг. 2.

Parkinsonia planulata: Nicolesco, 1928, с. 43, табл. 12, фиг. 4–8; Schmidtil, Krumbek, 1931, с. 873, табл. 88, фиг. 2, табл. 91, фиг. 1.

Parkinsonia cf. *eimensis*: Wetzel, 1911, с. 208, табл. 17, фиг. 5, 6.

non *Parkinsonia subplanulata*: Schmidtil, Krumbek, 1931, табл. 87, фиг. 2, 5, 9.

Лектотип. *Ammonites parkinsoni planulatus* Quenstedt, 1849, с. 143, табл. 11, фиг. 2. Верхи верхнего байоса ("железистый оолит" коричневой юры эпсилон). ФРГ, Штупфен. Установлен: [148].

Форма. Раковины до 120 мм, с быстро нарастающими оборотами, объемлющими предшествующие на 3/5 их высоты. Сечение оборотов

овальное, сжатое с боков, относительная высота оборотов увеличивается с возрастом. Бока слабовыпуклые, вентральная сторона узкая, пупок средних размеров, мелкий.

Размеры, мм, и их соотношения:

№ экз.	Д	В	Ш	Ду	В/Д	Ш/Д	Ду/Ш
115/1581	117	43	32	48	0,36	0,27	0,41
115/3995	78	26	21	32,5	0,33	0,27	0,42
115/4038	74	25	19	32	0,34	0,26	0,445
115/1467	68	25,5	22	27	0,375	0,32	0,40
115/1618	—	38	29	—	—	—	—
115/1618	61	22	17	23	0,36	0,28	0,38

Скульптура. Внутренние обороты фрагмокона несут острые, преимущественно двуветвистые ребра, на внешних оборотах фрагмокона и жилых камерах малорослых экземпляров неравномерно чередуются дву- и трехветвистые ребра и двуветвистые ребра, сопряженные с вставными. Одновременно боковые ребра грубеют, становятся более редкими и уплощаются в месте ветвления так, что в конце жилых камер крупнорослых форм почти теряют связь с вентральными. Ребра на фрагмоконе ветвятся на 3/5 высоты боков от шва, в конце фрагмокона и на жилой камере — ближе к середине боков, причем ветви ребер и вставные ребра могут начинаться на нескольких разных уровнях. Число боковых ребер на 1/2 оборота составляет 19—21, коэффициент ветвления около 3.

Сравнение. От сходного по ребристости *G. convergens* Buckman отличается медленнее нарастающими оборотами, более широким пупком; от сходного по форме раковины *G. subgaleatus* Buckman — более густой и тонкой вентральной ребристостью.

Замечания. К. Стурани [148, с. 31] использовал название *P. subplanulata* Wetzel для вида с лектотипом *Ammonites parkinsoni planulatus* Quenstedt, 1849. Часто цитируемое название "*Parkinsonia planulata* (Quenstedt)" является младшим омонимом *Ammonites planulatus* Schlotheim, 1820; Zieten, 1830, и таким образом невалидно. Помимо цитированного лектотипа Ф. А. Квенштедт использовал название *Ammonites parkinsoni planulatus* для раковин, отнесенных более поздними авторами к разным видам паркинсониид: *R. rarecostatus*, *R. radiatus*, *P. densicosta* и др. [148].

Геологическое и географическое распространение. Верхний байос, верхи зоны *parkinsoni* — нижний бат, низы зоны *zigzag*. Франция, ФРГ, Кавказ, Западная Туркмения.

Материал. Дагестан, средняя и верхняя часть средней цудахарской подсвиты: сел. Ахвахштаб — 4 экз., сел. Датуна — 11 экз., гора

Гуниб – 1 экз.; низы верхней цудахарской подсветы: сел. Корода – 4 экз., сел. Цудахар – 1 экз., сел. Голотль – 1 экз.; Большой Балхан, основание меуламской свиты, колодцы Караиман – 3 экз.

Gonolkites rectangularis (Wetzel), 1937

Табл. 14, фиг. 1

Parkinsonia eimensis var. *rectangularis*: Wetzel, 1937, с. 124, табл. 14, фиг. 1.

Parkinsonia neuffensis: Nicolesco, 1927, табл. 14, фиг. 13, 14 (?).

Лектотип. *Parkinsonia eimensis* var. *rectangularis* Wetzel, 1937 [166, табл. 14, фиг. 1]. Байос, зона parkinsoni. Франция, Байе.

Форма. Раковины до 150 мм. Обороты быстро нарастают в высоту, охватывая предшествующие немного более, чем наполовину. Сечение оборотов прямоугольно- и трапециевидно-овальное. Бока плоские, слабо сближаются к уплощенной вентральной стороне. Пупок средних размеров, мелкий. Вентральная борозда четкая, несколько сглаживается на жилой камере. Устье и полная жилая камера не сохранились.

Размеры, мм, и их соотношения:

№ экз.	Д	В	Ш	Ду	В/Д	Ш/Д	Ду/Д
115/4086	103	40	32	34	0,44	0,31	0,33

Скульптура. Ребристость густая и острая, становится более грубой и редкой в передней части жилой камеры. Ребра наклонены вперед и серповидно изогнуты. На фрагмокоме преобладают двуветвистые ребра, в конце фрагмокона и на жилой камере двуветвистые ребра чередуются с трехветвистыми и простыми, сопряженными с одним-двумя вставными. Ветвление ребер происходит на 3/5 высоты боков от шва. На 1/2 оборота приходится 21-22 боковых ребра. Коэффициент ветвления 2,4.

Сравнение. От наиболее близкого *G. subplanulatus* (Wetzel) отличается густой и более тонкой ребристостью, несглаживающейся или слабо сглаживающейся на боках передней части жилой камеры и сечением оборотов.

Геологическое и географическое распространение. Байос, верхняя часть зоны parkinsoni. Франция, Северный Кавказ, Дагестан.

Материал. Северный Кавказ, гора Джангура, верхняя джангурская подсвета – 1 экз.; Дагестан, средняя часть средней цудахарской подсветы; сел. Датуна – 2 неполных экз., сел. Ахвахштаб – 1 экз.

Gonolkites crassum (Nicolesco), 1927

Табл. 44, фиг. 3

Parkinsonia depressa var. *crassa*: Nicolesco, 1927, с. 41, табл. 11, фиг. 1, 6.

Parkinsonia (*Durotrigensia*?) cf. *crassa*: Arkell, 1957, с. 162, фиг. 58 в тексте.

Parkinsonia aff. *eimensis*: Schmidtill, Krumbeck, 1931, с. 876, табл. 91, фиг. 3.

non *Parkinsonia crassa*: Аманниязов, с. 29, табл. 6, фиг. 2, 3 (= *Rarecostites* sp.)

Лектотип. *Parkinsonia depressa* var. *crassa* Nicolesco, 1927 [105, с. 41, табл. 11, фиг. 6]. Нижний бат. Департамент Нижние Альпы, Франция.

Форма. Раковины до 250 мм в диаметре, с очень быстро нарастающими в высоту и толщину оборотами, объемлющими предшествующие немного более, чем на 1/2 их высоты. Сечение оборотов эллипсоидальное с максимальной шириной близ умбонального перегиба, несколько варьирует. Бока и вентральная сторона выпуклые, пупок средних размеров, глубокий. Вентральная борозда широкая, неглубокая.

Размеры, мм, и их соотношения:

№ экз.	Д	В	Ш	Ду	В/Д	Ш/Д	Ду/Д
115/4096	—	47	40	—	—	—	—
	—	29	26	38	—	—	—
	40	15	15	17,5	0,375	0,375	0,44

Скульптура. Внутренние обороты фрагмокона покрыты острыми двуветвистыми ребрами, разветвляющимися близ середины боков. При высоте оборота более 20–25 мм боковые ребра становятся более редкими, расширяющимися и уплощающимися к середине боков. Связь ветвей с осями ослабевает, а при больших сечениях теряется, так что в наружной трети боков возникает гладкая полоса. Очень быстро боковые ребра превращаются в пологие широкие складки и полностью сглаживаются. Вентральные ребра сохраняются до конца жилой камеры самых крупных экземпляров. Сглаживание боковых ребер у разных экземпляров происходит при разной высоте оборота — от 30 до 40 мм.

Сравнение. От других видов рода *Gonolkites* отличается вздутым сечением оборотов.

Замечания. В. Аркелл (см. синонимнику) отнес рассматриваемый вид со знаком? к подроду *Durotrigensia* Виссманн, 1928. По форме раковины и развитию скульптуры описываемый вид идентичен другим представителям рода *Gonolkites* и должен быть включен в его состав.

Геологическое и географическое распространение. Верхний байос, верхи зоны *parkinsoni* — нижний бат, низы зоны *zigzag*. Англия, Франция. Дагестан, Западная Туркмения.

Материал. Чечено-Ингушетия, р. Чанты-Аргун, цудахарская свита – 1 экз.; Дагестан, верхи средней и верхняя цудахарская подсвита: р. Андийское Койсу – 2 экз., р. Аварское Койсу – 5 экз.; Большой Балхан, г. Кошаджульба, основание меуламской свиты – 1 экз., все фрагменты.

Gonolkites pseudoferrugineus (Nicolesco), 1927

Табл. 45, фиг. 4

Parkinsonia parkinsoni var. *pseudoferruginea*: Nicolesco, 1927, с. 37, табл. 9, фиг. 2, 3.

Parkinsonia pseudoferruginea: Maubeuge, 1951, с. 91, табл. 8, фиг. 4, табл. 12, фиг. 6.

Parkinsonia (Durotrigensia) pseudoferruginea: Pavia, 1971, с. 123, табл. 23, фиг. 2, табл. 24, фиг. 1.

non *Parkinsonia pseudoferruginea*: Сибирякова, 1962, с. 42, табл. 4, фиг. 9, 10; Аманниязов, 1972, с. 25, табл. 5, фиг. 1 (=Rarecostites).

Голотип. *Parkinsonia parkinsoni* var. *pseudoferruginea*, Nicolesco, 1927 [105, с. 37, табл. 9, фиг. 3]. Байос, зона parkinsoni. Франция, Байе.

Форма. Раковины средних и крупных размеров, до 150 мм в диаметре с быстро возрастающими в высоту оборотами, охватывающими предшествующие примерно на 1/2 их высоты. Сечение оборотов высокое, сильно сжатое с боков, овальное и трапециевидно-овальное. Бока слабовыпуклые, вентральная сторона уплощенная или слабо вдавленная. Широкая четкая вентральная борозда с возрастом сменяется полосой.

Размеры, мм, и их соотношения:

№ экз.	В	Ш	Ш/Д
115/1569	45	32	0,71
115/3492	39	30	0,77
115/1468	30	24	0,80

Скульптура. Внутренние обороты фрагмокона несут острые слабо серповидно изогнутые ребра, разделяющиеся на две ветви в наружной трети боков. При высоте оборота более 25 мм связь ветвей ребер с осями становится нерегулярной, появляются многочисленные вставные ребра. При высоте оборота более 35–40 мм вентральные ребра теряют связь с боковыми, последние становятся редкими и выражены лишь в умбональной части боков. Коэффициент ветвления на поздних стадиях онтогенеза больше 3.

Сравнение. По общему габитусу раковин и развитию скульптуры описываемый вид наиболее сходен с *G. subplanulatus* (Wetzel), от

которого, как и от других представителей рода, отличается сильно сжатым с боков сечением оборотов.

Геологическое и географическое распространение. Байос, зона parkinsoni. Франция, Люксембург, Дагестан.

Материал. Дагестан, сел. Датуна, средняя цудахарская подсвита, три фрагмента.

Род *Oraniceras* Flamand, 1911

Oraniceras: Flamand, 1911, с. 918; Безносков, Кутузова, 1982, с. 47.

Parkinsonia (*Oraniceras*): Arkell, 1956, с. 145; 1957, с. 309; Westermann, 1958, с. 70; Hahn, 1970, с. 17; Безносков, Кутузова, 1975, с. 96.

Типовой вид. *Oraniceras hamyanense* Flamand, 1911. Нижний бат. Алжир.

Диагноз. Раковины до 300 мм, инволютные, с быстро возрастающими оборотами высокоовального, треугольно-овального или копьевидного сечения. Обороты объемлют предшествующие более, чем на 1/3 их высоты. У крупнорослых форм может происходить развигание спирали по умбональному краю. Внутренние обороты фрагмокона несут дву-, трехветвистые и вставные ребра. На внешних оборотах фрагмокона и на жилой камере ребристость сглаживается, начиная с боков. Вентральная борозда на внутренних оборотах фрагмокона, у форм с закругленной вентральной стороной переходит в полосу, у форм с заостренной стороной исчезает. Формула лопастной линии: $(V_1V_1)UU^1I_2...I_1I_3(D_1D_1)$.

Состав. Шесть видов: *O. hamyanense* Flamand, *O. wuerttembergicus* (Oppel), *O. pseudomacrocephalus* (Wetzel), *O. fretense* (Wetzel), *O. gyrumbilicus* (Quenstedt), *O. mojarowskii* (Mazarovič).

Сравнение. От предкового рода *Gonolkites* отличается более инволютной раковиной, ранней потерей ребристости в онтогенезе и заострением вентральной стороны у некоторых форм.

Замечания. Род установлен в труднодоступной работе в составе одного типового вида, вновь описанного Ф. Романом [130]. В Аркелл [43] показал тождественность *Oraniceras* и "группы *Parkinsonia wuerttembergica*", применив название *Oraniceras* для последней. Он же отметил, что заострение вентральной стороны происходит не у всех экземпляров типового вида. На нашем материале заострение вентральной стороны происходит у крупнорослых *O. gyrumbilicus*. Однако есть экземпляры этого вида, у которого вентральная сторона заостряется при диаметре менее 50 мм.

"*Parkinsonia*" *subcompressa* Muraschkin [26, с. 142, табл. 8, фиг. 1–12], голотип которой представляет собой трудно идентифицируемый фрагмент, вероятно, является формой, близкой к *O. gyrumbilicus*;

"*Parkinsonia clapense*" Maubeuge [98, с. 93, табл. 15, фиг. 7] по форме раковины и ребристости представляет аналогию с внутренними оборотами *Oraniceras*, однако указывается из зоны parkinsoni.

Геологическое и географическое распространение. Нижний бат, зона zigzag. Европа, Северная Африка, Доно-Медведицкая лука, Кавказ, Срединная Азия.

Oraniceras gyrumbilicus (Quenstedt), 1887

Табл. 46, фиг. 1, 2

Ammonites parkinsoni compressus gyrumbilicus: Quenstedt, 1887, с. 608, табл. 72, фиг. 12, 15.

Parkinsonia (Oraniceras) wuerttembergica gyrumbilica: Westermann, 1958, с. 71, табл. 29.

Parkinsonia (Oraniceras) gyrumbilica: Hahn, 1970, с. 18, табл. 1, фиг. 1–3, табл. 2, фиг. 1; Кузузова, 1975, с. 99, табл. 15, фиг. 1, табл. 16, фиг. 2, табл. 18, фиг. 2, табл. 19, фиг. 1.

Голотип. *Ammonites parkinsoni compressus gyrumbilicus* Quenstedt, 1887 [121, с. 608, табл. 72, фиг. 15]. Нижний бат, зона zigzag. ФРГ, Бопфинген.

Форма. Раковины крупные, до 300 мм в диаметре, с меняющимся навиванием оборотов. До высоты оборота 75–80 мм раковина быстро нарастает в высоту, обороты охватывают предшествующие почти целиком, на 4/5–5/6 их высоты. При большем сечении оборотов начинается развивание раковины по умбональному краю, так что при высоте оборотов более 90 мм они охватывают треть и менее предшествующего. Сечение внутренних оборотов трапециевидное, сильно сжатое с боков, внешних – копьевидное с узкой закругленной и затем заостренной вентральной стороной. Заострение вентральной стороны происходит обычно при высоте оборота более 70 мм, однако имеются экземпляры с очень рано заостряющейся вентральной стороной при высоте оборота 15–17 мм. Бока слабывпуклые. Пупок меняет конфигурацию от очень узкого на внутренних оборотах до раскрывающегося, ступенчатого на внешних.

Размеры, мм, и их соотношения:

№ экз.	Д	В	Ш	Ду	В/Д	Ш/Д	Ду/Д
17005/К	272	115	56	63	0,42	0,205	0,23
115/3724	205	92	—	39	0,45	—	0,19
115/3691	220	90	45	44	0,41	0,22	0,21
	182	85	42	38	0,47	0,25	0,21
115/3693	152	74	—	29	0,49	—	0,19
115/2585	142	68	—	—	0,49	—	—
115/3689	91	45	—	20	0,49	—	0,22

115/1364	44	18	10,5	9,5	0,41	0,24	0,215
115/3732	40	16,5	9	13	0,41	0,225	0,325
115/3733	21,5	8	—	0,8	0,37	—	0,37

Скульптура. Внутренние обороты высотой до 20 мм покрыты простыми, дву- и трехветвистыми нерегулярно чередующимися ребрами. При большей высоте оборота ребра на боках исчезают и сохраняются только в умбональной части боков, где постепенно укорачиваются и полностью сглаживаются при высоте оборота 60–70 мм, после чего раковина становится гладкой.

Сравнение. От других видов *Oraniceras* отличается сильно сжатым с боков сечением оборотов и узкой, заостряющейся на поздних стадиях онтогенеза вентральной стороной. Последний признак присутствует также у типа рода, где проявляется на более ранних стадиях, хотя и не у всех раковин.

Геологическое и географическое распространение. Бат, зона zigzag. ФРГ, Северный Кавказ, Средняя Азия.

Материал. Чечено-Ингушетия, р. Чанты-Аргун, цудахарская свита – 1 экз.; Большой Балхан, основание меуламской свиты, колодцы Караиман – 1 экз., верхняя часть нижней меуламской подсвиты, там же – 5 экз.; Юго-Западный Гиссар, средняя тангидувальская подсвита: хр. Кугитангтау, родник Казанбулак – 1 экз., урочище Тангидувал – 4 экз., хр. Чакчар, сел. Хаус – 1 экз.

Oraniceras fretensis (Wetzel), 1950

Табл. 48, фиг. 1

Parkinsonia compressa fretensis: Wetzel, 1950, с. 113, табл. 8, фиг. 4.

Parkinsonia (Oraniceras) fretensis: Hahn, 1970, с. 18, табл. 1, фиг. 1–3, табл. 2, фиг. 1; Кутузова, 1975, с. 101, табл. 17, фиг. 1, табл. 18, фиг. 1.

Голотип. *Parkinsonia compressa fretensis* Wetzel, 1950 [167, с. 113, табл. 8, фиг. 4]. Нижний бат, зона zigzag. Франция, Пуату.

Форма. Раковины средних и крупных размеров, до 150 мм в диаметре и более, с быстро нарастающими в высоту оборотами, охватывающими предшествующие на 4/5 их высоты. Сечение оборотов высокоовальное, с наибольшей шириной близ умбонального перегиба. Бока выпуклые, сближаются к закругленной вентральной стороне. Пупок узкий, ступенчатый, глубокий.

Размеры, мм, и их соотношения:

№ экз.	Д	В	Ш	Ду	В/Д	Ш/Д	Ду/Д
115/4080	152	70	44	30	0,46	0,29	0,18
115/1368	74,5	39	32	14	0,52	0,295	0,19

Скульптура. Внутренние обороты фрагмокона несут дву- и трехветвистые ребра, редющие на боках и теряющие связь осей с ветвями при сечении оборота менее 25 мм. При высоте оборота около 300 мм сохраняются только вентральные ребра, укорачивающиеся по мере роста раковины, но сохраняющиеся в области перегиба от боков к брюшной стороне по крайней мере до высоты оборота 75 мм.

Сравнение. От *O. wuerttembergicus* (Oppel) отличается более толстыми оборотами; от сходного по этому признаку *O. pseudomacrosephalus* (Weitzel) – менее толстыми оборотами и более широким пупком.

Геологическое и географическое распространение. Бат, зона zigzag. Франция, ФРГ, Северный Кавказ, Дагестан.

Материал. Чечено-Ингушетия, р. Чанты-Аргун, верхняя часть цудахарской свиты – 1 экз.; Дагестан, сел. Гигатли-Урух, тот же уровень – 1 экз., р. Аварское Койсу, сел. Заиб, кровля средней цудахарской подсвиты – 1 экз.

Oraniceras wuerttembergicus (Oppel), 1857

Табл. 47, фиг. 1

Ammonites wuerttembergicus: Oppel, 1857, с. 475.

Parkinsonia wuerttembergica: Dorn, 1927, с. 239, табл. 5, фиг. 5; Schmidtil, Krumbek, 1931, с. 880, табл. 8?, фиг. 1–7, табл. 90, фиг. 4.

Parkinsonia wuerttembergica wuerttembergica: Westermann, 1958, с. 71, табл. 28, фиг. 2, табл. 30, фиг. 1.

Parkinsonia (Oraniceras) wuerttembergica: Hahn, 1970, с. 25, табл. 3, фиг. 2–11, табл. 4, фиг. 6, 7; Кузюзова, 1975, с. 98, табл. 16, фиг. 1, табл. 19, фиг. 2.

Ammonites parkinsoni compressus: Quenstedt, 1849, с. 146, табл. 11, фиг. 4.

Parkinsonia compressa: Nicolesco, 1927, с. 54, табл. 16, фиг. 9–12.

Parkinsonia compressa wuerttembergica: Nicolesco, 1927, с. 59, табл. 16, фиг. 18, 19, ? 20.

Лектотип. *Ammonites parkinsoni compressus* Quenstedt, 1849 [119, с. 146, табл. 11, фиг. 4]. Нижний бат, зона zigzag. ФРГ, Папенхайм.

Форма. Раковина до 300 мм, с быстро нарастающими в высоту оборотами. Внутренние обороты фрагмокона до диаметра 120–150 мм перекрывают предыдущие на 4/5–5/6 их высоты, при больших размерах наблюдается развигивание раковины по умбональному краю. Сечение оборотов треугольно-округлое, сильно сжатое с боков. Вентральная сторона закругленная, варьирует по ширине. Пупок на внутренних оборотах средних размеров, на средних – узкий, на внешних вновь расширяется.

Размеры, мм, и их соотношения:

№ экз.	Д	В	Ш	Ду	В/Д	Ш/Д	Ду/Д
	—	110	52	—	—	—	—
115/4070	136	61	35	30	0,45	0,26	0,22
115/4071	105	46	28	26	0,44	0,27	0,25
115/1385	107	46	—	29	0,43	—	0,27
115/1385	85	35	22	23,5	0,41	0,26	0,28
115/1867	64	31	—	14	0,48	—	0,22
115/1397	45	18	19	16	0,40	0,31	0,365

Скульптура. Внутренние обороты фрагмента высотой до 10 мм покрыты дву- и трехветвистыми ребрами. При большей высоте боковые ребра становятся редкими и грубеют, а затем уплощаются, связь с ветвями слабеет, на одно боковое ребро приходится три-четыре вентральных. Ветвление ребер происходит посередине боков. При высоте оборота 20–25 мм боковые ребра сглаживаются полностью. Вентральные ребра остаются хорошо развитыми в наружной стороне боков и на вентральном перегибе, постепенно укорачиваются, сохраняясь лишь в наружной части боков. При высоте оборота более 50 мм ребристость исчезает полностью.

Геологическое и географическое распространение. Бат, зона zigzag. Европа, Дагестан.

Материал. Дагестан, верхи цудахарской свиты, сел. Гигатли-Урух – 1 экз., верхняя цудахарская подсвита, сел. Ахвахштаб – 2 экз., р. Аварское Койсу, сел. Голотль, Заиб, Корода – 5 экз., сел. Аракань – 1 экз., хр. Лес – 1 экз.

Род *Bigotites* Nicolesco, 1918

Bigotites: Nicolesco, 1918, с. 36; 1931, с. 5; Безносков, Кутузова, 1982, с. 48.

Bigotella: Nicolesco, 1917, с. 153.

Pseudobigotella: Lemoine, 1918, с. 34.

Типовой вид. *Bigotella petri* Nicolesco, 1917 [103, с. 167, табл. 4, фиг. 4, 5]. Байос, зона *garantiana*. Нормандия.

Диагноз. Раковины до 150 мм с массивными, умеренно нарастающими оборотами, объемлющими предшествующие на 1/2 их высоты. Сечение оборотов овальное, от приплюснутого до сжатого с боков. Устье и полная жилая камера неизвестны. Развиты пережимы, сопровождающиеся скачкообразным увеличением сечения оборотов, и вентральная борозда. Скульптура состоит из дву- и трехветвистых ребер, кроме которых присутствуют вставные и простые. К вентральной борозде ветви ребер подходят поочередно с каждой стороны.

Состав. Семь видов: *B. petri* (Nicolesco), *B. gentili* (Nicolesco), *B. thevenini* (Nicolesco), *B. lanqueni* (Nicolesco), *B. pulcher* (Nicolesco), *B. trifurcatus* Buckman, *B. nicolescoi* Grossouvre.

Сравнение. От рода *Caumontisphinctes*, с которым сходен по развитию вентральной борозды, пережимов и ступеней роста, отличается массивными оборотами и преобладанием дву- и трехветвистых ребер; от родов *Parkinsonia* и *Gonolkites* – развитием пережимов и ступеней роста.

Геологическое и географическое распространение. Байос, зона *garantiana*, Европа, Кавказ, Западная Туркмения.

Bigotites petri (Nicolesco), 1917

Табл. 49, фиг. 2, табл. 50, фиг. 2

Bigotella petri: Nicolesco, 1917, с. 167, табл. 4, фиг. 2, 4, 5.

Bigotites petri: Nicolesco, 1931, с. 23, табл. 2, фиг. 2–4, табл. 3, фиг. 1.

Голотип. Не указан, все оригиналы происходят из "железистого оолита". Байос, зона *garantiana*. Нормандия, Сюлли.

Форма. Раковина до 100 мм с умеренно возрастающими оборотами, охватывающими предшествующие наполовину. Сечение внутренних оборотов фрагмокона прямоугольно-округлое, внешних и жилой камеры – трапециевидно-овальное. Бока уплощенные, сближаются к широкой слабовыпуклой вентральной стороне. Пупок широкий, мелкий. Жилая камера более 7/8 оборота. Устье не сохранилось. Пережимы узкие четкие на фрагмоконе, в конце его и на жилой камере маскируются ребристостью и выражены скачкообразным увеличением сечения. Вентральная борозда узкая, на фрагмоконе извилистая.

Размеры, мм, и их соотношения:

№ экз.	Д	В	Ш	Ду	В/Д	Ш/Д	Ду/Д
115/1415	95	34	27	38	0,36	0,28	0,40
115/1812	72	26	22	30	0,36	0,30	0,42
115/1837	36	13	12,5	14,5	0,36	0,34	0,40

Скульптура. Внутренние обороты фрагмокона покрыты сильными, частыми двуветвистыми ребрами, кроме которых присутствуют отдельные вставные. На внешнем обороте фрагмокона и на жилой камере двуветвистые ребра чередуются с трехветвистыми, связь ветвей с осями ребер здесь слабеет.

Сравнение. Наши экземпляры наиболее близки к оригиналу, изображенному Николеско [106, табл. 3, фиг. 1], отличаются сильнее изогнутыми ребрами и более сильным их ветвлением. От *B. tubercula-*

tus Nicolesco описываемый вид отличается сжатыми с боков оборотами; от *B. pulcher Nicolesco* – менее эволютной раковинной.

Материал. Дагестан, нижняя цудахарская подсвита, сел. Апши – 1 экз., р. Гамрикотты – 1 экз., сел. Герга – 1 экз.

Род *Haselburgites* Buckman, 1921

Haselburgites: Buckman, 1921, табл. 203; Безносков, Кутузова, 1982, с. 49.

Типовой вид. *H. admirandus* Buckman, 1921. Байос, зона parkinsoni. Англия.

Диагноз. Раковины средних и крупных размеров, до 400 мм и более, с массивными умеренно нарастающими оборотами, объемлющими предшествующие примерно на 1/2 их высоты. Сечение оборотов округлое или овально-трапециевидное от слабо сжатого с боков до слегка приплюснутого. Вентральная борозда глубокая на внутренних оборотах фрагмокона, исчезает на внешних оборотах крупнорослых форм. В конце фрагмокона и на жилой камере могут быть развиты нечеткие пережимы и участки ускоренного роста сечения оборота. Ребристость грубая, состоит из дву- и трехветвистых ребер, кроме которых могут присутствовать простые и вставные. У крупных форм ребристость сглаживается, начиная с боков.

Состав. Шесть видов: *H. admirandus* Buckman, *H. bomfordi* (Arkell), *H. schloenbachi* (Schlippe), *H. posterus* (Seebach), *H. datunense* sp. nov., *H. diniensis* (Sturani).

Сравнение. От сходных по размерам и стилю ребристости *Gonolkites* отличается низким сечением и слабой инволютностью оборотов, более грубыми ребрами, неравномерным нарастанием оборотов в высоту и толщину; от *Parkinsonia* – низким сечением оборотов, грубой ребристостью, неравномерным нарастанием оборотов.

Геологическое и географическое распространение. Верхний байос, зона parkinsoni – нижний бат, низы зоны zigzag. Англия, Франция, ФРГ, Кавказ, Западная Туркмения.

Haselburgites admirandus: Buckman, 1921

Табл. 49, фиг. 1

Haselburgites admirandus: Buckman, 1921, табл. 203, А, В.

Голотип. *Haselburgites admirandus* Buckman, 1921 [56, табл. 203 А, В]. Верхний байос, зона parkinsoni. Англия, Сомерсет.

Форма. Раковины крупные (голотип более 250 мм в диаметре) с

умеренно возрастающими в высоту оборотами, охватывающими предшествующие на 3/5 их высоты. Сечение оборотов сердцевидное с наибольшей шириной близ умбонального перегиба. Бока и вентральная сторона выпуклые, пупок средних размеров, сравнительно глубокий. Вентральная борозда узкая, извилистая.

Размеры, мм, и их соотношения:

№ экз.	Д	В	Ш	Ду	В/Д	Ш/Д	Ду/Д
115/1358	113	40	38	42	0,35	0,34	0,37

Скульптура. Ребристость грубая, состоит из дву- и трехветвистых ребер, наклоненных на боках вперед и слабо серповидно изогнутых. Точка ветвления располагается близ середины боков, ветви связаны с осями ребер нерегулярно. При высоте оборота более 40 мм связь ветвей с осями ослабевает. Количество бсковых ребер на 1/2 оборота 20, коэффициент ветвления 2,2–2,3.

Сравнение. От сходного по форме сечения оборотов *H. bomfordi* (Arkell) отличается большими размерами, грубой ребристостью и более высоким коэффициентом ветвления ребер. Гомеоморфен с *Gonolkites crassum* (Nicolesco), от которого отличается частыми и более грубыми боковыми ребрами и меньшим коэффициентом их ветвления.

Геологическое и географическое распространение. Байос, зона parkinsoni. Англия, Дагестан.

Материал. Дагестан, сел. Кумух, средняя пудахарская подсвита – 1 экз.

Haselburgites bomfordi (Arkell), 1956

Табл. 47, фиг. 2

Parkinsonia bomfordi: Arkell, 1956, с. 157, фиг. 55, 3 в тексте; Pavia, 1971, с. 120, табл. 22, фиг. 2.

Haselburgites schloenbachi: Buckman, 1923, табл. 493.

Parkinsonia planulata: Dorn, 1927, с. 235, табл. 6, фиг. 1.

Parkinsonia depressa: Nicolesco, 1928, с. 39, табл. 10, фиг. 7–9.

Голотип. *Parkinsonia bomfordi* Arkell, 1956 [43, фиг. 55, 3 в тексте]. Байос, верхи зоны parkinsoni. Англия, Дорсет.

Форма. Раковина до 150–160 мм в диаметре с умеренно нарастающими в высоту и ширину оборотами овального и трапециевидно-овального сечения. При переходе от фрагмокона к жилой камере сечение оборотов нарастает ускоренно. Бока слабовыпуклые, вентральная

сторона вдавленная или уплощенная. Пупок средних размеров. Вентральная борозда узкая, глубокая.

Размеры, мм, и их соотношения:

№ экз.	Д	В	Ш	Ду	В/Д	Ш/Д	Ду/Д
115/1885	79	27,5	24	32	0,35	0,30	0,40

Скульптура. Ребристость густая, состоит преимущественно из двуветвистых ребер, кроме которых присутствуют простые и вставные. Ребра на боках наклонены вперед, слабо серповидно изогнуты. Точка ветвления ребер расположена на $3/5$ высоты боков от шва. Связь ветвей и осей ребер нерегулярная. Количество боковых ребер на $1/2$ оборота 17, коэффициент ветвления около 2. У крупнорослого экземпляра, изображенного С. Бакменом (см. синонимнику), связь ветвей и осей ребер теряется, боковые ребра на жилой камере сглаживаются.

Сравнение. От *H. schloenbachi* (Schlippe) отличается сжатым с боков сечением оборотов и более крупными размерами.

Геологическое и географическое распространение. Байос, верхи зоны parkinsoni. Англия, Франция, Дагестан.

Материал. Дагестан, цудахарская свита, сел. Ахвахштаб — 1 экз.

Haselburgites schloenbachi (Schlippe), 1888

Табл. 48, фиг. 2

Parkinsonia schloenbachi: Schlippe, 1888, с. 210, табл. 4, фиг. 4; Renz, 1914, табл. 29, фиг. 4; Schmidill, Krumbeck, 1931, с. 878, табл. 89, фиг. 4, табл. 90, фиг. 1; Maubeuge, 1955, с. 40, табл. 9, фиг. 3; Arkell, 1956, фиг. 56, 1—2 в тексте; Westermann, 1958, с. 68, табл. 23, фиг. 1, 2, табл. 24, фиг. 1; Sturani, 1967, с. 30, табл. 7, фиг. 1; Ростовцев, 1985, с. 160, табл. 43, фиг. 3, табл. 44, фиг. 1—4.

Parkinsonia depressa var. *pseudoreineckia*: Wetzel, 1937, с. 126, табл. 14, фиг. 2.

Parkinsonia depressa var. *robusta*: Wetzel, 1937, с. 127, табл. 14, фиг. 3.

? *Parkinsonia depressa* var. *nicolescoi*: Wetzel, 1937, с. 127, табл. 14, фиг. 4.

non *Haselburgites schloenbachi*: Buckman, 1924, табл. 493.

Лектотип. *Parkinsonia schloenbachi*, Schlippe, 1888 [136, с. 210, табл. 4, фиг. 4]. Бат, низы зоны zigzag. Эльзас. Воспроизведен: [43, 1956, фиг. 55, 2 в тексте].

Форма. Раковины до 100—120 мм в диаметре с медленно нарастающими в высоту оборотами, охватывающими предшествующие наполовину. Сечение оборотов округло-трапециевидное от слабо сжатого с боков до приплюснутого. При переходе от фрагмокона к жилой камере сечение оборота увеличивается ускоренно. Бока слабо-

выпуклые, вентральная сторона уплощенная или вдавленная. Пупок широкий, сравнительно глубокий. Вентральная борозда узкая, изви-
листая.

Размеры, мм, и их соотношения:

№ экз.	Д	В	Ш	Ду	В/Д	Ш/Д	Ду/Д
115/3903	58	19	21	27	0,33	0,36	0,465
115/4009	—	24	24	31	—	—	—
115/1533	66	19	20,5	31,5	0,29	0,31	0,47
	37	15	13	17	0,405	0,35	0,46
115/4048	—	24	24	—	—	—	—

Скульптура. Ребристость острая, заметно варьирует по густоте, состоит из двуветвистых ребер, кроме которых присутствуют отдельные простые и трехветвистые. Ребра на боках наклонены вперед, ветвятся примерно посередине боков, в точке ветвления могут быть развиты острые бугорки. Количество боковых ребер на 1/2 оборота 18–22. Коэффициент ветвления около 2.

Сравнение. От *H. bomfordi* (Arkell) отличается низким сечением оборотов.

Геологическое и географическое распространение. Байос, зона parkinsoni – бат, низы зоны zigzag, Европа, Кавказ.

Материал. Дагестан, средняя цудахарская подсвита, сел. Ахвах-штаб – 2 экз., сел. Датуна – 10 экз., сел. Гуниб – 1 экз., хр. Лес – 1 экз.

Haselburgites datunense Besnosov sp. nov.

Табл. 50, фиг. 1

Голотип. ВНИГНИ, экз. 115/4399. Верхний байос, верхи зоны parkinsoni, средняя цудахарская подсвита. Дагестан, р. Аварское Койсу, сел. Датуна.

Название – по типовому местонахождению.

Форма. Раковина до 160 мм с умеренно нарастающими оборотами, объемлющими предшествующие на 2/5–1/2 их высоты. Сечение оборотов овальное, сжатое с боков. Бока выпуклые, вентральная сторона вдавленная или уплощенная. Пупок широкий, мелкий. Вентральная борозда развита на фрагмоконе, на жилой камере сменяется полосой.

Размеры, мм, и их соотношения:

№ экз.	Д	В	Ш	Ду	В/Д	Ш/Д	Ду/Д
115/4399	156	49	43	70	0,31	0,275	0,45
	125	39	36	59	0,31	0,29	0,47
115/1570	100	23	—	45	0,23	—	0,46

Скульптура. Ребристость фрагмокона сравнительно грубая, состоит из двуветвистых ребер, несущих в точке ветвления бугорки. В конце фрагмокона и на жилой камере, ребра, особенно боковые, становятся более грубыми, вздутыми в умбональной части, расширенными и уплощенными близ уровня ветвления. Связь осей ребер с ветвями ослабевает, на одно боковое ребро приходится 2–3 вентральных ребра. Ребра на боках слабо серповидно изогнуты и слабо наклонены вперед. Точка ветвления расположена на $3/5$ высоты боков от шва. За $1/2$ оборота на жилой камере приходится 18 ребер, коэффициент ветвления 2,3.

Сравнение. От *H. bomfordi* (Arkell) отличается крупными размерами, грубой ребристостью, сохранением боковых ребер на жилой камере крупных экземпляров; от *H. schloenbachi* (Schlippe) — теми же признаками, а также сжатым с боков сечением оборота; от груборебристого *H. admirandus* Buckman — медленно нарастающими в высоту оборотами и сохранением боковых ребер на жилой камере.

Материал. Чечено-Ингушетия, р. Чанты-аргун, цудахарская свита — 1 эк.; Дагестан, сел. Датуна, средняя цудахарская подсвита — 2 экз.

Род *Pseudocsmoceras* Murashkin, 1930

Pseudocsmoceras: Мурашкин, 1930, с. 148; Arkell, 1956; с. 146; Крымгольц и др., 1958, с. 81; Николаева, 1967, с. 3; Безносков, Кутузова, 1982, с. 49.

Типовой вид. *Cosmoceras michalskii* Borissjak, 1908. Верхний байос — нижний ат? Донбасс.

Диагноз. Раковины до 220 мм, с оборотами, объемлющими предшествующие на $1/2$ их высоты и более. Сечение оборотов трапециевидно-овальное субовальное, сжатое с боков. Внутренние обороты фрагмокона покрыты тонкими двуветвистыми ребрами, заканчивающимися бугорками. На краях широкой вентральной гладкой полосы, на внешних оборотах фрагмокона и жилых камерах взрослых экземпляров боковая ребристость сглаживается и сохраняются короткие вентральные ребра бугорки. Формула лопастной линии: $(V_1V_1)UU^1I_2...I_1I_3D$.

Состав. Два вида: *P. michalskii* (Borissjak), *P. medium* Murashkin.

Сравнение. От одного по форме раковины и потере ребристости *Craniceras* отличается меньшими размерами, слабой ребристостью внутренних оборотов фрагмокона и ранней потерей боковой скульптуры.

Геологическое и географическое распространение. Верхи верхнего байоса — низы нижнего бата. Днепровско-Донецкая

впадина, Донбасс, Доно-Медведицкая лука, Среднее Поволжье, Дагестан.

Pseudocosmoceras michalskii Borissjak, 1908

Табл. 34, фиг. 7

Cosmoceras michalskii: Борисьяк, 1908, с. 36, табл. 3, фиг. 17–19.

Pseudocosmoceras michalskii var. *minor*: Мурашкин, 1930, с. 150, табл. 7, фиг. 7, 8; Николаева, 1967, с. 55, рис. 1.

Лектотип. *Cosmoceras michalskii*: Борисьяк, 1908 [12, табл. 3, фиг. 18]. Верхи байоса – низы бата, хутор Ковалевка, Донбасс.

Форма. Раковины до 50 мм, полуинволютные. Сечение оборотов трапециевидно-овальное, бока слабовыпуклые, вентральная сторона плоская. Пупок мелкий.

Размеры, мм, и их соотношения:

№ экз.	Д	В	Ш	Ду	В/Д	Ш/Д	Ду/Д
115/1837	27	10	7	10	0,36	0,25	0,36

Скульптура. Ребристость фрагмокона тонкая, устая, состоит из дву- и трехветвистых ребер, с более грубыми осми и слабыми ветвями, пересекающими вентральную сторону. В конце фрагмокона и на жилой камере боковые ребра становятся редкими, вентральные усиливаются и заканчиваются бугорком на краях вентральной стороны, средняя часть которой становится гладкой. Количество боковых ребер на 1/2 оборота 16, коэффициент ветвления 2,2.

Сравнение. От *P. medium* Murashkin отличается мелкими размерами и сохранением уплощенной вентральной стороны и скульптуры на жилой камере, более уплощенными оборотами.

Геологическое и географическое распространение. Верхи верхнего байоса – низы бата, Днепровско-Донецкая впадина, Донбасс, Среднее Поволжье, Доно-Медведицкая лука.

Материал. Дагестан, сел. Герги, верхняя часть средней цудахарской подсвиты – 2 экз.

Род *Medvediceras* Nikolaeva, 1967

Medvediceras: Николаева, 1967, с. 68; Безносая, Кутузов, 1982, с. 50.

Типовой вид. *Pseudocosmoceras parvum* Murashkin, 1930. Нижний бат, Доно-Медведицкая лука.

Диагноз. Раковина до 120 мм, полуэволютная, с оборотами яйцевидного сечения, объемлющими предшествующие на 1/2 их высоты. Скульптура развита на средних стадиях онтогенеза в виде слабых боковых ребер и бугорков по краям вентральной стороны.

Состав. Три вида: *M. masarovici* (Murashkin), *M. conjungens* (Murashkin), *M. inclarum* (Murashkin).

Сравнение. От *Pseudocosmoceras* отличается слабо развитой скульптурой, ограниченной средними стадиями онтогенеза.

Геологическое и географическое распространение. Низы нижнего бата, Донбасс, Доно-Медведицкая лука, Саратовское Поволжье, Дагестан.

Medvediceras inclarum (Murashkin), 1930

Табл. 37, фиг. 3

Pseudocosmoceras masarovici var. *inclara*: Мурашкин, 1930, с. 157, табл. 9, фиг. 18–20.

Medvediceras sp: Безносов, Кутузова, 1982, табл. 3, фиг. 4.

Лектотип. *Pseudocosmoceras masarovici* var. *inclara*: Мурашкин, 1930 [26, табл. 9, фиг. 18–20]. Нижний бат. Доно-Медведицкая лука.

Форма. Раковина до 100 мм, с медленно нарастающими оборотами, охватывающими предшествующие на 1/2 их высоты. Сечение оборотов овальное со слабовыпуклыми боками и закругленной вентральной стороной. Пупок широкий мелкий.

Размеры, мм, и их соотношения:

№ экз.	Д	В	Ш	Ду	В/Д	Ш/Д	Ду/Д
115/1828	40	14	12	17	0,35	0,30	0,42
115/1829	30	12	9	10	0,40	0,30	0,33

Скульптура. На взрослых раковинах развиты струи роста, при диаметре 25–30 мм наблюдаются нерегулярные слабые боковые и более регулярные вентральные ребра, заканчивающиеся бугорками при переходе на вентральную сторону.

Сравнение. От *M. masarovici* отличается мелкими размерами; от *M. conjungens* – более низким сечением медленнее нарастающих в высоту оборотов.

Материал. Дагестан, сел. Урахи, верхи средней цудахарской подсвиты – 9 экз.

Род *Djanaliparkinsonia* Kutuzova, 1975

Parkinsonia (*Djanaliparkinsonia*): Кутузова, 1975, с. 89.

Djanaliparkinsonia: Безносков, Кутузова, 1982, с. 47.

Типовой вид. *Djanaliparkinsonia lutshnikovi* Kutuzova, 1975. Верхний байос. Юго-Западный Гиссар.

Диагноз. Раковины до 200 мм. Обороты объемлют предшествующие менее чем на 1/2 их высоты, в сечении варьируют от овальных сжатых с боков до округлых и приплюснутых. Внутренние обороты фрагмокона покрыты густыми острыми двуветвистыми ребрами, кроме которых присутствуют вставные. Ветвление происходит в наружной трети боков. Ветви наклонены вперед и подходят к вентральной борозде поочередно с каждой стороны. На внешних оборотах фрагмокона и на жилой камере ребра становятся грубыми, ветвление нерегулярным, вентральная борозда ослабевает или исчезает совсем. Ребра по краям вентральной борозды чередуются нерегулярно или прямо пересекают вентральную сторону.

Состав. Два вида: *D. lutshnikovi* Kutuzova, *D. tuadensis* Kutuzova.

Сравнение. От сходных по строению внутренних оборотов фрагмокона *Rarecostites* отличается груборебристыми внешними оборотами; от сходных по грубой ребристости некоторых *Haselburgites* — нерегулярным характером ребристости на внешних оборотах и большим количеством одиночных ребер.

Геологическое и географическое распространение. Род эндемичен и известен из верхнебайосских отложений Юго-Западного Гиссара.

Djanaliparkinsonia lutshnikovi Kutuzova, 1975

Табл. 51, фиг. 1

Parkinsonia (*Djanaliparkinsonia*) *lutshnikovi*: Кутузова, 1975, с. 9, табл. 21, фиг. 1.

Голотип. ВНИГНИ, экз. № 115/580. Верхний байос, средняя дегибадамская подсвита. Сел. Туада.

Форма. Раковины до 150 мм с медленно возрастающими в высоту и ширину оборотами прямоугольно-овального, сжатого с боков сечения. Обороты объемлют предшествующие на 1/5 их высоты. Бока и вентральная сторона слабовыпуклые, пупок широкий, мелкий.

Размеры, мм, и их соотношения:

№ экз.	Д	В	Ш	Ду	В/Д	Ш/Д	Ду/Д
115/580	120	38	32	53	0,31	0,26	0,44
115/581	141	41	—	70	0,28	—	0,50
115/578	113	35	28	49	0,31	0,25	0,43

Скульптура. На внешнем обороте фрагмокона и на жилой камере ребристость грубая, состоит преимущественно из двуветвистых ребер, кроме которых присутствуют редкие простые и вставные. Ветвление ребер происходит в наружной части боков. Посередине вентральной стороны ребра ослабляются или прерываются вентральной бороздой. На 1/2 оборота насчитывается 17 боковых ребер, коэффициент ветвления 2,2–2,3.

Материал. Юго-Западный Гиссар, средняя дегибадамская подсвита: сел. Туода – 3 экз., сел. Вандоб – 1 экз.

Djanaliparkinsonia tuadensis Kutuzova, 1975

Табл. 52, фиг. 1

Parkinsonia (Djanaliparkinsonia) tuadensis: Кутузова, 1975, с. 91, табл. 20, фиг. 1.

Голотип. ВНИГНИ, экз. № 115/579. Верхний байос, средняя дегибадамская подсвита. Юго-Западный Гиссар, сел. Туада.

Форма. Раковина до 120 мм относительно быстро возрастающими оборотами, охватывающими предшествующие на 1/3 их высоты. Сечение оборотов прямоугольно-округлое. Бока слабовыпуклые, вентральная сторона уплощенная или закругленная, вдавленная посередине. Пупок широкий, относительно глубокий.

Размеры, мм, и их соотношения:

№ экз.	Д	В	Ш	Ду	В/Д	Ш/Д	Ду/Д
115/579	110	37	34	45	0,34	0,30	0,40
115/570	100	36	30	38	0,36	0,30	0,38
115/563	73	26	24	37	0,35	0,33	0,50

Скульптура. Внутренние обороты фрагмокона покрыты густыми острыми преимущественно двуветвистыми ребрами. На внешних оборотах фрагмокона и на жилой камере ребра становятся грубыми и более редкими, двуветвистые нерегулярно чередуются с трехветвистыми и вставными. Ветвление ребер происходит в наружной трети боков. Ветви ребер на вентральной стороне прерываются узкой бороздой, к которой подходят с каждой стороны поочередно. Число боковых ребер на 1/2 оборота 16, коэффициент ветвления 2,2.

Сравнение. От *D. lutshnikovi* отличается быстрее нарастающими в высоту и ширину и более объемлющими оборотами, более удаленной от вентрального перегиба точкой ветвления ребер.

Материал. Юго-Западный Гиссар, средняя дегибадамская подсвита, верхний байос, сел. Туада – 4 экз.

СЕМЕЙСТВО SPIROCERATIDAE NY ATT, 1900

Род *M Spiroceras* Quenstedt, 1858

Spiroceras: Quenstedt, 1858, с. 407.

Patoceras: Meek, 1876, с. 485.

Rhabdoites: Buckman, 1923, табл. 374.

Plagimites: Buckman, 1925, табл. 539.

Типовой вид. *Hamites bifurcati* Quenstedt, 1846 [119, табл. 11, фиг. 14]. Байос, зона *subfurcatum*. ФРГ, Метцинген.

Диагноз. Раковина гетероморфная, начальные обороты фрагмента (обычно не сохраняющиеся) свернуты в плоскую спираль, затем раковина становится развернутой – изогнутой в одной плоскости или прямой. Сечение раковин округлое или овальное, сжатое с боков. Устье с прямыми краями, развита вентральная борозда. Скульптура состоит из ребер и шипов. Ребра начинаются от середины дорсальной стороны в виде струй, направленных назад, при переходе на бока резко увеличиваются и приобретают наклон вперед, в наружной части боков часть ребер может разделяться на две ветви. Заканчиваются ребра по краям вентральной борозды, остающейся гладкой. Шипы (на ядрах их основания выражены бугорками) образуют два ряда с каждой стороны – на уровне ветвления ребер и по краям вентральной борозды. Формула лопастной линии (V_1V_1 UU'I (D_1D_1)). Лопастей U и I остаются недоразвитыми.

Состав. Более восьми видов: *S. bifurcatum* (Quenstedt), *S. annulatum* (Deshayes), *S. toxoconicum* Buckman, *S. costatus* (Buckman), *S. waltoni* Buckman, *S. rhabdoites* (Buckman), *S. althoffi* Potonie, *S. orbignyi* (Vaugier et Sauze).

Сравнение. От *Apsoroceras* Nyatt нечетко отличается сильнее развитой скульптурой; от других представителей семейства – гетероморфной раковиной; от гомеоморфных позднебабаско-келловейских *Parapatoceratidae* Buckman – характером скульптуры, типом рассечения лопастной линии и степенью ее рассеченности.

Геологическое и географическое распространение. Байос, зона *subfurcatum*. Европа, Северная Африка, Донбасс, Кавказ, Западная Туркмения.

Spiroceras annulatum (Deshayes), 1831

Табл. 42, фиг. 2

Ancylloceras annulatus: d'Orbigny, с. 576. табл. 225, фиг. 1—7.

Spiroceras bifurcatum, var. *annulatum*: Potonie, 1929, с. 240, табл. 17, фиг. 24, 25 (том ко).

Spiroceras bifurcati bifurcati: Pavia, 1973, табл. 23, фиг. 4, табл. 24, фиг. 5.

Лектотип. В качестве лектотипа предлагается *Spiroceras bifurcatum* var. *annulatum* Potonie, 1929 [118, табл. 17, фиг. 24, 25], Верхний байос, Франция, Сант-Вигор, "железистый оолит".

Форма. Относительно крупнорослая раковина с почти прямой жилой камерой, плавно загибающейся при переходе к фрагмокону. Сечение овальное, сжатое с боков.

Размеры, мм (экз. № 115/1477): длина сохранившейся жилой камеры — 100, высота раковины у переднего края жилой камеры — 15, у ее заднего края — 11, ширина соответственно — 13 и 10 ($V/H = 1,36 - 1,30$).

Скульптура. Ребра на боках круто наклонены вперед к вентральной стороне, которую в передней части жилой камеры переходят со слабым изгибом вперед, не прерываясь, в задней — ослабляясь вентральной бороздой. На дорсальной стороне ребра резко ослаблены, переходят ее с глубоким изгибом вперед. Боковые бугорки расположены на перегибе боков к вентральной стороне, вентральные бугорки — по краям узкой вентральной борозды. Вентральные бугорки сильнее боковых, и те и другие ослабляются в переднем конце жилой камеры. Расстояние между вентральными бугорками больше, чем между последними и боковыми.

Сравнение. От сходных по размеру и характеру ребристости *Spiroceras orbigny* (Baugier et Sauze) отличается узкой вентральной бороздой и близко расположенными рядами вентральных бугорков; от *S. bifurcatum* Quenstedt — наклоном ребер вперед и овальным сечением оборотов.

Геологическое и географическое распространение. Байос, зона *subfurcatum*, Европа, Северный Кавказ.

Материал. Ядро почти полной жилой камеры без устьевого края, с фрагментами раковины, Северный Кавказ, гора Джангура, низы верхней джангурской подсвиты.

Spiroceras althoffi Potonie 1929

Табл. 41, фиг. 2

Spiroceras bifurcatum var. *althoffi*: Potonie, 1929, с. 238, табл. 17, фиг. 16—18.

Hamites baculatus: Quenstedt, 1886—87, табл. 70, фиг. 15.

Spiroceras bifurcati bifurcati: Pavia, 1971, табл. 22, фиг. 3.

Форма. Фрагмент слабо изогнутой жилой камеры угловато-округлого сечения.

Размеры, мм (экз. № 115/2470): высота – 14, ширина – 14, В/Ш = 1.

Скульптура. Ребра грубые, на боках направлены поперек трубки, при переходе на вентральную сторону слабо изгибаются вперед, последнюю переходят прямо, ослабляясь широкой вентральной бороздой. На дорсальной стороне ребра изгибаются вперед, хорошо выражены. Бугорки сильные, расстояние между вентральными и боковыми бугорками меньше, чем между вентральными.

Сравнение. От *S. annulatum* (Deshayes) отличается более грубой боковой и дорсальной ребристостью, поперечными или отклоняющимися назад ребрами, от *S. bifurcatum* Quenstedt – крупными размерами.

Замечания. Все известные экземпляры (см. синонимнику) представляют небольшие фрагменты с характерной ребристостью и округлым сечением оборотов, позволяющих отличать их от сходных по размерам представителей рода.

Геологическое и географическое распространение. Байос, зона *subfurcatum*, Европа, Дагестан.

Материал. Один обломок ядра жилой камеры. Дагестан, сел. Ирганай, подошва цудахарской свиты, верхний байос, зона *subfurcatum*.

Род *Pseudogarantiana* Bentz, 1928

Garantiana (*Pseudogarantiana*): Bentz, 1928, с. 174; Wetzel, 1936, с. 540, 1937, с. 91.

Pseudogarantiana: Arkell, 1957, с. 308; Pavia, 1973, с. 109; Азарян, 1982, с. 117.

Infragarantiana: Westermann, 1956, с. 268.

Типовой вид. *Garantiana* (*Pseudogarantiana*) *dichotoma* Bentz, 1928. Байос, зона *subfurcatum*. ФРГ, Билефельд.

Диагноз. Микроконховый род. Раковины карликовые, редко более 30 мм в диаметре. Обороты слабо объемлющие, от овального до приплюснутого сечения. Жилая камера занимает от 1/2 до 3/4 оборота, устье с боковыми ушками. Скульптура состоит из острых густых простых, двуветвистых и вставных ребер, несущих острые бугорки в точке ветвления и по краям вентральной борозды, где ребра противостоят друг другу. Лопasti и седла рассечены слабо.

Состав. Шесть видов: *P. dichotoma* Bentz, *P. nodosa* Bentz, *P. minima* (Wetzel), *P. primitiva* (Wetzel), *P. caumonti* (d'Orbigny), *P. daghestanica* sp. nov., байос, верхняя часть зоны *humphriesianum* – зона *subfurcatum*. Европа, Северная Африка, Дагестан.

Сравнение. От *Strenoceras* отличается меньшими размерами, густой ребристостью и слабыми шиповидными бугорками; от сходных синхронных *Caumontisphinctes* (*Infraparkinsonia*) Westermann (*Parkinsoniidae*), с которыми, вероятно, имеет общих предков – отсутствием чередования концов ребер по краям вентральной борозды.

Замечания. *Infragarantiana* Westermann, 1956, предложенная для *Garantiana primitiva* Wetzel, 1936, и *Ammonites caumonti* d'Orbigny, 1846, отличаются от типового вида рода только медленнее возрастающими оборотами и более широким пупком, т. е. видовыми признаками, и поэтому включена в синонимику *Pseudogarantiana*.

Pseudogarantiana dichotoma Bentz, 1928

Табл. 45, фиг. 1

Garantiana (Pseudogarantiana) dichotoma: Bentz, 1928, с. 200, табл. 19, фиг. 2, 4; Wetzel, 1937, с. 91; Wetzel, 1954, с. 572; Pavia, 1973, с. 109, табл. 19, фиг. 5.

Ammonites dubius: Quenstedt, 1858, с. 402, табл. 55, фиг. 18, табл. 72, фиг. 3.

Costoceras subfurcatum: Douville, 1915, с. 22, табл. 7, фиг. 6.

Strenoceras subfurcatum: Roman, Petouraud, 1927, с. 39, табл. 6, фиг. 1–6, 12–17; Bircher, 1935, с. 151, табл. 11, фиг. 1.

non *Garantiana (Pseudogarantiana) dichotoma* Bentz, 1928, табл. 19, фиг. 5, 6.

non *Pseudogarantiana dichotoma*: Азарян, 1982, с. 118, табл. 26, фиг. 1–3; Ростовцев, 1985, с. 152, табл. 69, фиг. 11, 12.

Голотип. *Garantiana (Pseudogarantiana) dichotoma* Bentz, 1928, [50, с. 200, табл. 19, фиг. 2]. Байос, зона *subfurcatum*. ФРГ, Билефельд.

Форма. Раковина с медленно возрастающими оборотами округлого и округло-трапециевидного сечения, охватывающими предшествующие на 1/4 их высоты. Бока от закругленных до уплощенных, вентральная сторона вдавленная с четкой бороздой.

Размеры, мм, и их соотношения:

№ экз.	Д	В	Ш	Ду	В/Д	Ш/Д	Ду/Д
115/2468	26	8	9	11	0,31	0,35	0,42
115/2454	24,5	7,5	8,5	10	0,31	0,35	0,41
115/1791	22	7	8	9	0,32	0,36	0,41

Скульптура. Ребристость густая, ребра на боках прямые, наклонены вперед, или радиальные. Ветвление ребер происходит на удалении 2/3 высоты боков от шва. К вентральной борозде ребра подходят под прямым углом. На уровне ветвления ребер и на их концах у вентральной борозды развиты удлиненные вдоль ребер острые бугорки. Ветвление ребер нерегулярное, коэффициент ветвления около 1,5, на 1/2 оборота насчитывается 16–17 ребер.

Сравнение. От *P. primitiva* (Wetzel) и *P. caumonti* (d'Orbigny) отличается более узким пупком и более массивными оборотами; от *P. minima* (Wetzel) – более грубой и редкой ребристостью и менее

приплюснутыми оборотами; от *P. nodosa* Bentz — более тонкой и густой скульптурой и менее выраженными бугорками.

З а м е ч а н и я . К. Бентц [50] включил в состав *P. dichotoma* различные по характеру ребристости раковины, обозначив их в качестве буквенных вариететов или разновидностей с собственными названиями. Также весьма широко трактовал этот вид Д. Павиа [114], включивший в его синонимику разнообразных *Pseudogarantiana*, описанных под родовыми названиями "*Cosmoceras*", *Strenoceras* и *Garantiana* и в большинстве случаев точно не идентифицируемых. Предлагается ограничить вид формами, близкими к голотипу.

Геологическое и географическое распространение. Байос, зона *subfurcatum*, Европа, Дагестан.

М а т е р и а л . Дагестан, сел. Ирганай, верхи кумухской — подошва цудахарской свит — 5 экз.

Pseudogarantiana nodosa Bentz, 1928

Табл. 45, фиг. 2

Garantiana (Pseudogarantiana) dichotoma var. *nodosa*: Bentz, 1928, с. 200, табл. 19, фиг. 7а—с, 8а—с.

? *Garantiana (Pseudogarantiana) dichotoma* var. А: Bentz, 1928, с. 200, табл. 19, фиг. 5а—с.
non *Pseudogarantiana* cf. *nodosa*: Азарян, 1982, с. 119, табл. 26, фиг. 7.

Голотип. *Garantiana (Pseudogarantiana) dichotoma* var. *nodosa* Bentz, 1928, [50, табл. 19, фиг. 7а—с].

Ф о р м а . Раковина с медленно возрастающими оборотами округлого сечения, охватывающими предшествующие на $1/4$ – $1/3$ их высоты. Бока и вентральная сторона закругленные. Вентральная борозда узкая.

Р а з м е р ы , мм, и их соотношения:

№ экз.	Д	В	Ш	Ду	В/Д	Ш/Д	Д/Д
115/2457	26	8	9	11	0,31	0,35	0,42

Скульптура. Ребристость редкая, грубая, ребра на боках прямые или серповидно изогнутые радиальные или наклонены вперед, к вентральной борозде ребра подходят под углом меньше прямого. Ветвление ребер нерегулярное, происходит на удалении $1/2$ – $2/3$ высоты боков от шва. На уровне ветвления ребер и по краям вентральной борозды развиты острые бугорки. Коэффициент ветвления ребер 1,7, количество боковых ребер на $1/2$ оборота 15–16.

Сравнение. От *P. dichotoma* Ventz отличается округлым сечением оборотов, более грубой ребристостью, узкой вентральной бороздой, к которой ребра подходят под углом.

Геологическое и географическое распространение. Верхний байос, зона *subfurcatum*. ФРГ, Дагестан.

Материал. Дагестан, сел. Ирганай, основание цудахарской свиты – 2 экз.

Pseudogarantiana daghestanica Vesnosov sp. nov.

Табл. 51, фиг. 2

Голотип. ВНИГНИ, экз. 115/2319. Верхний байос, зона *subfurcatum*, основание цудахарской свиты. Дагестан, сел. Ирганай.

Название по области типового местонахождения.

Форма. Раковина с медленно возрастающими оборотами округло-прямоугольного сечения, охватывающими предшествующие на 1/5–1/4 их высоты. Бока и вентральная сторона слабовыпуклые. Вентральная борозда узкая, четкая.

Размеры, мм, и их соотношения:

№ экз.	Д	В	Ш	Ду	В/Д	Ш/Д	Ду/Д
115/2319	22	6,5	7	12	0,30	0,32	0,55
115/1792	22,5	6	7	12	0,29	0,31	0,53

Скульптура. Ребристость густая, грубая. Ребра прямые или слабо выгнутые вперед, радиальные, к вентральной борозде подходят под углом несколько менее прямого. Ветвление ребер нерегулярное, происходит на удалении 3/4 высоты боков от шва. На уровне ветвления и по краям вентральной борозды на ребрах развиты острые бугорки. Коэффициент ветвления 1,5–1,6, число боковых ребер на 1/2 оборота 15–18.

Сравнение. По общему габитусу раковины описываемый вид близок к *P. primitiva* (Wetzel) и *P. caumonti* (d'Orbigny). Первый вид основан на фрагментарном материале, исключающем точную идентификацию. От второго описываемый вид отличается большим количеством неветвящихся ребер.

Материал. Дагестан, сел. Ирганай, основание цудахарской и кровля кумухской свит – 5 экз.

Род *Strenoceras* Hyatt, 1900

Strenoceras: Hyatt, 1900, с. 583; Mascke, 1907, с. 29; Douville, 1915, с. 21; Bentz, 1925, с. 134; Dietl, 1983, с. 7.

Strenoceras (Strenoceras): Bentz, 1928, с. 154; Parsons, 1975, с. 199.

Типовой вид. *Ammonites niortensis* d'Orbigny, 1846 [109, табл. 121, фиг. 7, 8]. Байос, зона *subfurcatum*. Нормандия.

Диагноз. Раковины мономорфные, до 70 мм, с угловато-округлым или угловато-овальным сечением оборотов. Бока выпуклые, вентральная сторона вдавленная, пупок открытый, средней глубины. Жилая камера занимает около 3/4 оборота, устье с боковыми ушками.

Скульптура состоит из радиальных простых и двуветвистых ребер и острых шипов, расположенных на ребрах – на уровне их ветвления и на их концах, по краям вентральной борозды. Лопастей и седла рассечены слабо.

Состав. Более 11 видов: *S. subfurcatum* (Zieten), *S. bajocense* (Blainville), *S. niortense* (d'Orbigny), *S. bentzi* Dietl, *S. latidorsatum* Bentz, *S. latesulcatum* Bentz, *S. rotundum* Bentz, *S. semicostatum* Bentz, *S. bigoti* (Brasil), *S. apleurum* Buckman, *S. suevicum* Dietl, многие из которых связаны транзитными формами.

Сравнение. От рода *Pseudogarantiana* Bentz отличается более крупными размерами, сильнее развитыми ребрами и шипами.

Геологическое и географическое распространение. Байос, зона *subfurcatum*, Европа, Северная Африка, Кавказ, Западная Туркмения.

Strenoceras subfurcatum (Zieten), 1830

Табл. 51, фиг. 3, 4

Strenoceras subfurcatum: R. Douville, 1915, с. 22, табл. 7, фиг. 6; Bentz, 1925, с. 138, табл. 4, фиг. 1; 1928, с. 156, табл. 14, фиг. 1; Bircher, 1935, с. 151, табл. 11, фиг. 2; Кахадзе, Засашвили, 1956, с. 48, табл. 8, фиг. 4–7, 9 все варианты; Sturani, 1971, с. 159, табл. 13, фиг. 20; Pavia, 1971, с. 112, табл. 20, фиг. 4, 6; Азарян, 1982, с. 115, табл. 24, фиг. 1; Ростовцев, 1985, с. 150, табл. 61, фиг. 7–8.

Ammonites subfurcatum: Zieten, 1830, с. 10, табл. 7, фиг. 6.

Ammonites parkinsoni bifurcatus: Quenstedt, 1846, с. 148, табл. 11, фиг. 11.

Ammonites bifurcatus ooliticus: Quenstedt, 1886–87, с. 574, табл. 70, фиг. 1, 6 ?

Cosmoceras subfurcatum: Затворницкий, 1914, с. 544, табл. 70, фиг. 2–9 (все варианты).

Strenoceras oolithicum: Bentz, 1925, с. 142, табл. 4, фиг. 7.

Strenoceras niortense: Bentz, 1925, с. 141, табл. 4, фиг. 4–6.

Strenoceras bajocense: Азарян, 1982, с. 114, табл. 25, фиг. 3; Ростовцев, 1985, с. 149, табл. 61, фиг. 5, 6.

Strenoceras quenstedti: Dietl, 1983, с. 13, табл. 1, фиг. 10–13; с. 16, табл. 1, фиг. 15, табл. 2, фиг. 1.

? *Garantiana (Pseudogarantiana) dichotoma*: Bircher, 1935, табл. 12, фиг. 3.

non *Cosmoceras subfurcatum*: Борисяк, 1908, с. 81, табл. 3, фиг. 15 (? = *Strenoceras* ex gr. *latesulcatum*).

non *Strenoceras subfurcatum*: Roman, Petouraud, 1927, с. 39, фиг. 1–6, 12–17 (= *Pseudogarantiana*); Bentz, 1928, табл. 14, фиг. 2 (= *S. ex gr. latidorsatum* Bentz); Bircher, 1935, табл. 11, фиг. 1 (= *Pseudogarantiana*); Никанорова, 1972, с. 64, табл. 1, фиг. 2, (= *S. niortense* d'Orbigny).

Лектотип. *Strenoceras subfurcatum* Bentz, 1925 [49, табл. 14, фиг. 1]. Верхний байос, субфуркатовые слои. ФРГ, Ауэрбах (экземпляр из коллекции Шлотхайма, послуживший оригиналом для рисунка Читена). Выбран и переизображен В. Аркеллом в сводке по юре мира.

Форма. Раковины до 50 мм, обычно менее 40 мм в диаметре, с относительно быстро возрастающими оборотами, охватывающими предшествующие на 1/4 их высоты. Сечение оборотов угловато-округлое с высотой, равной или немного большей ширины. Бока выпуклые, сближаются к закругленной вентральной стороне. Вентральная борозда глубокая, варьирует по ширине от узкой до широкой.

Размеры, мм, и их соотношения:

№ экз.	Д	В	Ш	Ду	В/Д	Ш/Д	Ду/Д
115/3766	46	13	15	18	0,33	0,33	0,40
115/1456	36	13	—	14	0,36	—	0,38
115/1438	36	12	11	13	0,34	0,31	0,37
115/1460	34	12	12	14	0,35	0,35	0,40
115/2485	29	11	10,5	12	0,38	0,36	0,41

Скульптура. Ребристость грубая, острая, густая. На одной и той же раковине наклон ребер варьирует от радиального до слабо вперед или назад. Также варьирует изгиб ребер — от прямых до слабо серповидно или S-образно изогнутых. Боковые бугорки расположены на 2/3 высоты боков от шва, острые, их основания в межреберных промежутках иногда сближаются так, что образуется спиральный шеврон. Вентральные бугорки крупные, острые. Число боковых ребер на 1/2 оборота от 15 до 18, коэффициент ветвления от 1 до 1,2.

Сравнение. От сходных по размерам раковин *S. suevicum* Dietl отличается более узкой вентральной бороздой и закругленной вентральной стороной; от *S. bigoti* (Brasil) — менее грубой ребристостью; от *S. latidorsatum* Bentz — более узкой вентральной стороной и округлым сечением оборотов; от крупнорослых *S. niortense* (d'Orbigny), *S. bajocense* (Blainville) и *S. rotundum* Bentz — меньшими размерами раковин.

Замечания. Описываемый вид является наиболее распространенным и часто цитируемым представителем рода *Strenoceras*. Сильная изменчивость таких признаков, как густота ребристости, наклон и изгиб ребер, количество ветвящихся ребер, приводили к неоднократным попыткам его дробления [15, 49]. Однако между выделяемыми из его состава видами и разновидностями существуют переходы, что косвенно отражается в весьма отличающихся синонимиках вида (см., например, [114, 61] и для "*S. quenstedti*").

Дитл [61, с. 13] предложил новое название *Strenoceras quenstedti* с лектотипом *Ammonites bifurcatus ooliticus* Quenstedt, 1886–1887, табл. 70, фиг. 1 (= *Strenoceras ooliticus* Quenstedt [97, 49]). Мотивом для ввода нового названия послужило неоднократное преокупирование названия "*ooliticus*". Однако Дитл включил в синонимику *S. quenstedti* и лектотип *S. subfurcatum* (Zieten). Поскольку Дитл совершенно правильно относит различия на видовом уровне лектотипы этих двух видов, то, вероятно, право приоритета имеет первое валидное название — *S. subfurcatum*.

Имеющиеся в коллекции экземпляры по форме раковины и характеру скульптуры близки к изображению Квенштедта, отличаясь от лектотипа Аркелла более густой и тонкой ребристостью.

Геологическое и географическое распространение. Байос, зона *subfurcatum*, Европа, Северный Кавказ, Закавказье, Западная Туркмения.

Материал. Северный Кавказ, станица Красногорская, нижняя часть верхней джангурской подсвиты — 11 экз.; Дагестан, сел. Ирганай, основание цудахарской свиты — 1 экз.; Большой Балхан, южнее колодез Шорли, низы чалойской свиты — 1 экз.

Strenoceras bajocense (Blainville), 1840

Табл. 52, фиг. 4

Strenoceras bajocense: Dietl, 1983, с. 18, табл. 2, фиг. 6, табл. 3, фиг. 1–3, рис. 4 в (полная синонимика).

? *Strenoceras praecontrarium*: R. Douville, 1915, с. 23, табл. 7, фиг. 4.

Strenoceras (Strenoceras) robustum: Bentz, 1928, с. 138, табл. 14, фиг. 7а–с.

Strenoceras robustum: Dietl, 1983, с. 21, табл. 3, фиг. 6.

поп *Strenoceras bajocense*: Азарян, 1982, с. 114, табл. 25, фиг. 2, 3; Ростовцев, 1985, с. 149, табл. XLI, фиг. 5–6 [*Strenoceras subfurcatum* (Zieten)].

Голотип. *Ammonite de Bayeux* DeFrance (Blainville, 1830, табл. 18, фиг. 3, За). Байос, зона *subfurcatum*. Франция, Байе, по монотипии.

Форма. Взрослые раковины до 60 мм в диаметре, реже более, с относительно быстро возрастающими оборотами, объемлющими пред-

шествующие менее, чем на 1/4 их высоты. Сечение оборотов округло-угловатое с высотой, равной или несколько меньшей ширины. Бока и вентральная сторона выпуклые.

Размеры, мм, и их соотношения:

№ экз.	Д	В	Ш	Ду	В/Д	Ш/Д	Ду/Д
115/3904	40	15	17	17	0,37	0,42	0,42
115/3905	37	13	15	16	0,35	0,40	0,43
115/2150	36,5	12	14	15	0,33	0,38	0,42
115/2149	37,5	13	15	15	0,35	0,40	0,40
115/2127	33	11	13	14	0,33	0,39	0,42
115/2214	36	12	14	15	0,33	0,38	0,42

Скульптура. Ребристость несколько варьирует по густоте, относительно частая, грубая, ребра слабо наклонены вперед, наклон обычно усиливается при переходе на вентральную сторону. Количество боковых ребер на 1/2 оборота 15–18, ветвление нерегулярное, коэффициент ветвления 1,1–1,2. Боковые бугорки расположены на 2,5–3,4 высоты боков от шва. Боковые бугорки смежных ребер иногда сливаются основаниями, образуя спиральный шеврон в нижней части боков. Вентральные бугорки острые, высокие, крупнее боковых.

Сравнение. От близкого по размерам *S. niortense* (d'Orbigny) отличается более массивными оборотами, более узким пупком и более густой ребристостью.

Замечания. Автором вида *S. bajocense* в большинстве публикаций указывается Дефранс. Дитл [61] показал, что название, предложенное Дефрансом, — "*Ammonites de Bayeux*" не отвечает правилам зоологической номенклатуры и предложил считать автором вида Блайнвиля, опубликовавшего правильное название. Многочисленные раковины, имеющиеся в коллекции, а также включаемые в синонимнику вида Дитлом, показывают относительную изменчивость по густоте ребристости и ширине вентральной борозды, сохраняя как постоянный признак размеры и общую форму. На этом основании в синонимнику вида включены *S. robustum* Bentz и предположительно *S. pracontrarium* R. Douville. Имеющиеся в коллекции экземпляры наиболее близки к формам *S. bajocense* "var. *armatus*" Bentz.

Геологическое и географическое распространение. Байос, зона subfurgatum, Европа, Западная Туркмения.

Материал. Большой Балхан, южнее колодцев Шорли и Порсайман, низы чалойской свиты — 9 экз.

Strenoceras niortense (d'Orbigny), 1846

Табл. 52, фиг. 2, 3

Strenoceras niortense: Dietl, 1983, с. 16, табл. 2, фиг. 2–4, рис. 2, 4с в тексте, полная синонимика.

Лектотип. *Ammonites niortensis* d'Orbigny, 1846 [109, табл. 121, фиг. 7, 8]. Байос, зона *subfurcatum*. Франция, Ниорт. Установлен: Dietl, 1981.

Форма. Раковины до 60 мм в диаметре с умеренно возрастающими оборотами, охватывающими предшествующие менее, чем на 1/4 их высоты. Сечение оборотов овально-угловатое, с высотой немного большей или равной ширине. Вентральная борозда глубокая, узкая.

Размеры, мм, и их соотношения:

№ экз.	Д	В	Ш	Ду	В/Д	Ш/Д	Ду/Д
115/2164	47	15	15	20	0,32	0,32	0,42
115/1442	50	17	16	21	0,34	0,32	0,42

Скульптура. Ребристость редкая, грубая, ребра на боках направлены радиально, при переходе на вентральную сторону отклоняются вперед. Количество боковых ребер на 1/2 оборота 14–15, коэффициент ветвления 1,2. Боковые бугорки расположены на 3/4 высоты боков от шва, значительно слабее вентральных.

Сравнение. От большинства видов рода отличается крупными размерами взрослых раковин; от сходного по этому признаку *S. bajocense* – медленнее возрастающими оборотами и широким пупком; от *S. rotundum* Bentz – менее вздутыми боками.

Замечания. *S. niortense* (d'Orbigny) часто рассматривается как синоним *S. bajocense* (de Blainville) [50]. Уровень различных типовых экземпляров позволяют рассматривать их в ранге самостоятельных видов, как их интерпретировал Г. Дитл [61].

Геологическое и географическое распространение. Байос, зона *subfurcatum*, Европа, Северный Кавказ, Западная Туркмения.

Материал. Северный Кавказ, станица Красногорская, низы верхней джангурской подсыты – 1 экз.; Большой Балхан, западнее колодцев Карачагыл – 1 экз.

Род *Morphoceras* Douville, 1880

Morphoceras: Douville, 1880, с. 22; Arkell, 1955, с. 130; Hahn, 1970, с. 32.

Patemorphoceras: Buckman, 1922, табл. 351.

Типовой вид. *Ammonites polymorphus* d'Orbigny, 1846 [109, с. 379, табл. 127, фиг. 4] (= *Morphoceras multiforme* Arkell, 1950 [41, с. 17]). Нижний бат. Нормандия.

Диагноз. Раковины до 120 мм с переменной инволютностью. Фрагмокон представляет собой сжатый с боков кадикон с узким глубоким пупком. Обороты фрагмокона в сечении почковидные и серповидные, почти полностью перекрывают предшествующие. В конце фрагмокона и на жилой камере раковина разворачивается по умбональному краю, обороты приобретают овальное, сжатое с боков сечение, пупок становится открытым, мелким. Жилая камера занимает немного менее целого оборота, устье простое, на фрагмоконе и на жилой камере развиты регулярные пережимы, наклоненные вперед круче ребер. На вентральной стороне развита борозда или полоса. Скульптура состоит из пучковидно ветвящихся на разных уровнях во внутренней части боков ребер, противостоящих или поочередно примыкающих к вентральной полосе. Посередине боковых сторон на жилой камере ребристость может ослабевать, формула лопастной линии $(V_1V_1) UU^1 I_3 I_{1,2} \dots I_{1,1} \dots I_{1,3} I_2 I$. Лопасты I_3 и I_2 аналогичны по месту заложения лопастями U^2 и I^1 . Многочисленные лопасти, вычленяющиеся у шва, образуются за счет неоднократного деления лопасти I_1 .

Состав. Более 11 видов: *M. multiforme* Arkell, *M. densicostatum* Thalmann, *M. patescens* (Buckman), *M. macrescens* (Buckman), *M. (?) pingue* (Grossouvre), *M. egrediens* Wetzel, *M. perinflatum* Wetzel, *M. parvum* Wetzel, *M. thalmanni* Mangold, *M. behmi* Seyd-Emami, *M. subpatescens* sp. nov.

Сравнение. От предкового *Dimorphinites* Buckman отличается развитой вентральной бороздой или полосой, более четкими пережимами, более приближенным ко шву уровнем ветвления ребер, менее объемлющими оборотами фрагмокона, от *Asphinctites* Buckman — сильнее свернутым фрагмоконом с сильными пережимами.

Геологическое и географическое распространение. Нижний бат, Европа, Северная Африка, Средняя Азия, Кавказ, Западная Туркмения.

Табл. 53, фиг. 1

Morphoceras multiforme: Arkell, 1951, с. 17; Arkell, 1955, с. 132, фиг. 47, 5 в тексте, табл. 16, фиг. 1, 2; Stephanov, 1961, с. 347, табл. 3, фиг. 1, 3; Sturani, 1967, с. 35, табл. 9, фиг. 5—7; Mangold, 1970, с. 59, табл. 4, фиг. 1—11; Hahn, 1970, с. 53, табл. 5, фиг. 1—5; Krystyn, 1972, с. 263, табл. 8, фиг. 5; Азарян, 1982, с. 140, табл. 31, фиг. 1-3; Seyed-Emami, 1985, табл. 4, фиг. 6, 7.

Ammonites polymorphus: d'Orbigny, 1846, с. 379, табл. 124, фиг. 1—4 (не 5, 6).

Morphoceras polymorphum: Thalmann, 1925, с. 23, фиг. 122 в тексте; Roman, 1933, с. 69, табл. 2, фиг. 16 только.

Ammonites parkinsoni inflatus: Quenstedt, 1847, с. 145, табл. 11, фиг. 6, 7; 1887, с. 669, табл. 73, фиг. 19, 20 (только).

Лектотип. *Ammonites polymorphus* d'Orbigny, 1846 [109, табл. 124, фиг. 4] (non *Ammonites polymorphus* Quenstedt, 1845). Нижний бат. Нормандия.

Форма. Раковина до 60 мм, с поздним развитием жилой камеры при высоте оборота более 25 мм. Обороты фрагмокона инволютные, в сечении полуокруглые со вздутыми боками, сходящимися к закругленной вентральной стороне. Вентральная борозда узкая, прерывистая. Пережимы варьируют в числе и по силе.

Размеры, мм, и их соотношения:

№ экз.	Д	В	Ш	Ду	В/Д	Ш/Д	Ду/Д
115/7485	42	23	26	9	0,55	0,62	0,21

Скульптура. Ребристость внутренних оборотов тонкая, густая, с возрастом грубеет. Преобладают двуветвистые ребра, присутствуют также простые, вставные и трехветвистые. Ветвление нерегулярное, происходит на разных уровнях в умбональной части боков. Ребра на боках радиальные или слабо серповидно изогнутые. Наклон ребер вперед усиливается при переходе на вентральную сторону. Вентральную борозду часть ребер пересекает, часть прерывается по ее краям, чередуясь с каждой стороны или заходя друг за друга. Число ребер на боках на 1/2 оборота 18, коэффициент ветвления около 2.

Сравнение. От других представителей рода отличается поздним и слабым развитием оборотов по умбональному краю и соответственно узким пупком.

Геологическое и географическое распространение. Бат, зона zigzag, Европа, Северная Африка, Иран, Кавказ.

Материал. Дагестан, сел. Датуна, осыпь пограничных слоев средней и верхней подсвет цудахарской свиты — 1 экз.

Morphoceras macrescens (Buckman), 1923

Табл. 53, фиг. 5

Patemorphoceras macrescens: Buckman, 1923, табл. 376.

Morphoceras macrescens: Arkell, 1955, с. 134, табл. 16, фиг. 4, табл. 17, фиг. 3; Stephanov, 1961, с. 347, табл. 2, фиг. 4; Sturani, 1967, с. 35, табл. 9, фиг. 4, 8; Hahn, 1970, с. 35, табл. 5, фиг. 10–15; Азарян, 1982, с. 143, табл. 31, фиг. 5, 6.

Morphoceras (Morphoceras) macrescens: Westermann, 1958, с. 74, табл. 31, фиг. 3.

Morphoceras macrescens macrescens: Mangold, 1970, с. 69, табл. 5, фиг. 11–13, табл. 6, фиг. 1–7.

? *Ammonites polymorphus*: d'Orbigny, 1846, табл. 127, фиг. 5 (только).

Ammonites parkinsoni inflatus: Quenstedt, 1887, табл. 73, фиг. 18, 21.

Morphoceras angelomontanense: Thalmann, 1925, с. 27, фиг. 3.

Голотип. *Patemorphoceras macrescens* Buckman, 1923 [56, табл. 376]. Бат, зона zigzag. Англия, Дорсет.

Форма. Раковина до 100 мм, уплощенная. Внутренние обороты инволютные, вздутые, овальные, сжатые с боков. Разворачивание раковины по умбональному краю начинается при высоте оборота 25–30 мм, одновременно обороты становятся более сжатыми с боков, боковые стороны уплощаются. Пережимы нерегулярные, два-три на оборот, глубокие на фрагмоконе, мелкие на жилой камере. Вентральная борозда мелкая.

Размеры, мм, и их соотношения:

№ экз.	Д	В	Ш	Ду	В/Д	Ш/Д	Ду/Д
	82,5	32	22,5	23	0,39	0,27	0,28
	66,5	30	24	14	0,45	0,36	0,21
115/1724	58	26	23	14	0,49	0,40	0,24

Скульптура. Ребристость фрагмокона густая, состоит из дву- и трехветвистых ребер, кроме которых присутствуют отдельные простые, ветвление происходит на нескольких разных уровнях во внутренней половине боков. Ребра на боках серповидно изогнуты вперед, наклон ребер вперед увеличивается при переходе на вентральную сторону, посередине которой ребра прерываются вентральной бороздой, к которой подходят поочередно с каждой стороны. На жилой камере общий стиль ребристости сохраняется, однако оси ребер усиливаются близ умбонального перегиба и почти сглаживаются посередине вентральной стороны. Число боковых ребер (по умбональному перегибу) на 1/2 оборота 17, коэффициент ветвления 2,9.

Сравнение. От *M. multiforme* отличается большей эволютностью жилой камеры и сжатым с боков сечением оборотов, в т. ч. и фрагмокона.

Геологическое и географическое распространение. Бат, зона zigzag, Европа, Северная Африка, Иран, Кавказ.

Материал. Дагестан, верхняя цудахарская подсвита, сел. Голотль – 1 экз., сел. Датуна – 1 экз.

Morphoceras patescens (Buckman), 1922

Табл. 54, фиг. 3

Patemorphoceras patescens: Buckman, 1922, табл. 351.

Morphoceras patescens: Arkell, 1955, с. 133, табл. 17, фиг. 5; Sturani, 1967, с. 36, табл. 9; фиг. 3, табл. 10, фиг. 7; Mangold, 1970, с. 75, табл. 3, фиг. 8; Hahn, 1970, с. 37, табл. 5, фиг. 7–9 (полная синонимика).

Morphoceras cf. *patescens*: Азарян, 1982, с. 143, табл. 3, фиг. 7.

Morphoceras inflatum var. *perinflatum*: Wetzel, 1937, с. 132.

Голотип. *Patemorphoceras patescens* Buckman, 1922 [56, табл. 351]. Бат, зона zigzag. Англия, Дорсет.

Форма. Раковина до 100 мм. Внутренние обороты фрагмокона инволютные, в сечение прямоугольно-овальные с сильными серповидно изогнутыми пережимами, числом один-два на оборот, разворачивание раковины по умбональному краю начинается при высоте оборота 15–20 мм. В конце фрагмокона и на жилой камере раковина становится эволютной, сохраняющей прямоугольно-овальное сечение оборотов.

Размеры, мм, и их соотношения:

№ экз.	Д	В	Ш	Ду	В/Д	Ш/Д	Ду/Д
115/7486	44	22	22	9	0,50	0,50	0,20
115/2610	46	22	—	11	0,48	—	0,24
	32	14,5	18	9	0,45	0,56	0,28

Скульптура. Ребристость сравнительно редкая и грубая. Состоит из двуветвистых, простых и трехветвистых ребер, серповидно изогнутых на боках и со слабым наклоном вперед, подходящим к нечеткой вентральной борозде, которую часть ребер пересекает, другие прерываются бороздой, подходя к ней поочередно с каждой стороны или противостоя друг другу.

Сравнение. От *M. macrescens* отличается прямоугольно-овальным и более низким сечением оборотов, менее регулярной ребристостью.

Замечания. *M.* cf. *patescens* Seyed-Emami [139, табл. 4, фиг. 10] отличается от голотипа и от наших экземпляров частыми пережимами, регулярной ребристостью и четкой вентральной бороздой и, по-видимому, принадлежит другому виду.

Геологическое и географическое распространение. Нижний бат, зона zigzag, Европа, Северная Африка, Кавказ и Западная Туркмения.

Материал. Большой Балхан, верхняя меуламская подсвита, гора Геркез – 1 экз., урочище Ишекиол – 1 экз., кяриз Аннанияз – 1 экз.

Morphoceras subpatescens Vesnosov, sp. nov.

Табл. 57, фиг. 3

? *Morphoceras macrescens*: Seyed-Emami, 1888, с. 68, табл. 4, фиг. 3, 4.

Голотип. ВНИГНИ, экз. № 115/3069, 2612. Бат, зона zigzag, подзона ueovilensis, кровля меуламской свиты. Большой Балхан, гора Гермез.

Название произведено от названия *M. patescens* (Вискман).

Форма. Раковины до 80 мм. Развивание начинается при высоте оборота около 20 мм. Фрагмокон инволютный с полуокруглым сечением оборотов, несущими нерегулярные мелкие пережимы. При переходе к жилой камере сечение оборотов становится трапезиевидно-овальным, сжатым с боков, бока уплощаются, вентральная сторона остается закругленной. Вентральная борозда широкая, мелкая, прерывистая, на внутренних оборотах фрагмокона выражена слабо.

Размеры, мм, и их соотношения:

№ экз.	Д	В	Ш	Ду	В/Д	Ш/Д	Ду/Д
115/2612	72,5	31	22	19	0,43	0,30	0,26
115/3069	47	20	18	10	0,425	0,38	0,21
115/2605	27	14	16	6	0,52	0,59	0,22

Скульптура. Внутренние обороты фрагмокона покрыты тонкими густыми нерегулярно ветвящимися на разной высоте и простыми ребрами. Ребра радиальные, вентральную сторону переходят прямо. На внешнем обороте фрагмокона и на жилой камере ребра вздуваются близ умбонального перегиба, после чего частью ветвятся на два и повторно ветвятся в наружной части боков, где также вклиниваются вставные ребра. В передней части жилой камеры ребристость на боках сглаживается. К вентральной борозде ребра подходят под прямым углом или несколько отгибаясь назад.

Сравнение. От сходных по форме раковины отличаются: от *M. patescens* – высоким трапезиевидно-овальным сечением жилой камеры, более тонкой и нерегулярной ребристостью; от *M. macrescens* – нерегулярной ребристостью и отсутствием серповидного изгиба ребер

вперед; от *M. densicostatum* Thalmann — низкой жилой камерой и нерегулярной ребристостью; от *M. thalmani* — более шарообразным фрагмоконом, узким пупком и менее сглаженной ребристостью на боках жилой камеры.

Геологическое и географическое распространение. Бат, зона zigzag, подзона yeovilensis, Большой Балхан, гора Геркез, кровля меуламской свиты — 3 экз., урочище Ишекиол — один фрагмент.

Morphoceras sp.

Табл. 53, фиг. 2

Форма. Раковина до 80–100 мм, уплощенная. Внутренние обороты инволютные, овальные, развивание по умбональному краю начинается при высоте оборота 20–25 мм, и раковина постепенно становится эволютной с широким мелким пупком и прямоугольно-овальным сечением оборотов. Пережимы слабые, нерегулярные, вентральная борозда узкая, извилистая, прерывистая.

Размеры, мм, и их соотношения:

№ экз.	Д	В	Ш	Ду	В/Д	Ш/Д	Ду/Д
115/2605	74	23	—	30	0,31	—	0,45
	66	21	21	23,5	0,32	0,32	0,36
115/7483	56	22	20	18	0,40	0,36	0,32
115/7484	29,5	14	15,5	9	0,47	0,52	0,305

Скульптура. Внутренние обороты фрагмокона покрыты тонкими густыми ребрами. В конце фрагмокона и на жилой камере ребристость грубеет, боковые ребра вздуваются близ умбонального края и почти сглаживаются посередине боков. Ребра направлены радиально или слабо наклонены вперед. Серповидный изгиб выражен нечетко в умбональной части боков. К вентральной борозде большинство ребер подходит поочередно с каждой стороны со слабым наклоном вперед или под прямым углом, часть ребер пересекает борозду.

Сравнение. Описываемый вид от сходных *M. macrescens* (Busckman) отличается низким сечением жилой камеры и более сжатым с боков фрагмоконом; от *M. thalmani* Mangold — тонкой ребристостью, слабее выраженными пережимами. Близкой формой является *M. parvum* Wetzel, изображенный Стурани [148, табл. 11, фиг. 1], у которого ребристость фрагмокона более грубая.

Замечания. Плохая сохранность материала исключает точную идентификацию.

Материал. Дагестан, верхняя цудахарская подсвета, сел. Голотль — 2 экз.; Большой Балхан, гора Геркез, кровля меуламской свиты — 2 экз.

Род *Ebrayiceras* Buckman, 1920

Ebrayiceras: Buckman, 1920, с. 22; Arkell, 1955, с. 131; Hahn, 1970, с. 41

Типовой вид. *Ebrayiceras ocellatum* Buckman, 1920 [56, табл. 173]. Бат, зона zigzag. Англия, Дорсет.

Диагноз. Раковины до 50 мм, эволютные и полуэволютные с овальным сечением оборотов. Устье с боковыми ушками. Развиты вентральная борозда и пережимы. Скульптура состоит из простых и нерегулярно чередующихся на разных уровнях ребер.

Состав. Более восьми видов: *E. ocellatum* Buckman, *E. sulcatum* (Zieten), *E. rursum* Buckman, *E. filicostatum* Wetzel, *E. pseudoanceps* (Ebray), *E. gantieri* Roman, *E. problematicum* (Gemmellaro), *E. jactatum* Buckman.

Сравнение. От *Morphoceras* Douville отличается мелкими размерами, устьем с боковыми ушками, слабо выраженным, или отсутствием изменения формы раковины на фрагмоконе и на жилой камере; от сходного по форме раковины *Polysphinctites* Buckman — прежде всего хорошо развитой ребристостью.

Замечания. *Ebrayiceras* обычно рассматривается как микроконхи *Morphoceras*.

Геологическое и географическое распространение. Европа, Северная Африка, Иран, Кавказ, Западная Туркмения.

Ebrayiceras cf. *rursum* Buckman, 1927

Табл. 53, фиг. 3, 4

cf. *Ebrayiceras rursum*: Hahn, 1970, с. 45, табл. 6, фиг. 10—14 (полная синонимика).

cf. *Ebrayiceras rursum*: Азарян, 1982, с. 152, табл. 32, фиг. 1.

Голотип. *Ebrayiceras rursum* Buckman, 1927, табл. 758. Бат, зона zigzag. Англия, Дорсет. Переизображен: [43, табл. 17, фиг. 14].

Форма. Раковины до 30 мм, эволютные. Сечение оборотов овальное, сжатое с боков. Бока уплощенные, вентральная сторона закругленная, пупок широкий, мелкий. Вентральная борозда узкая, пережимы выражены слабо.

Скульптура. Ребристость острая, частая, состоит из простых и ветвящихся около умбонального перегиба ребер, прерываемых вентральной бороздой, ребра радиальные или слабо отклоняющиеся назад.

Сравнение. От других видов рода *Ebrayiceras* *rursum* отличается эволютностью и относительно грубой ребристостью. Наши образцы фрагментарны и деформированы и точно не идентифицируются.

Геологическое и географическое распространение. Бат, зона zigzag, Европа, Северная Африка, Иран, Кавказ, Западная Туркмения.

Материал. Большой Балхан, кровля меуламской свиты, гора Геркез – 1 экз., верхняя меуламская подсвита, тропа Ишекиол – 2 фрагмента.

Ebrayiceras (?) *kjarisensis* Vesnosov sp. nov.

Табл. 59, фиг. 2

Голотип. ВНИГНИ, экз. № 115/1979. Байос, зона parkinsoni, верхи ташарватской свиты. Большой Балхан, гора Кяриз.

Название по типовому местонахождению.

Форма. Раковина до 55 мм, эволютная, с медленно возрастающими оборотами, охватывающими предшествующие на 1/3 их высоты. Сечение оборотов прямоугольно-овальное, вентральная сторона закругленная, вдавленная посередине, где располагается четкая борозда. Пупок широкий, мелкий. Жилая камера занимает около 2/3 оборота. Устье не сохранилось.

Размеры, мм, и их соотношения:

№ экз.	Д	В	Ш	Ду	В/Д	Ш/Д	Ду/Д
115/1979	49	15	13,5	23	0,31	0,275	0,47

Скульптура. Внутренние обороты фрагмокона несут на боках острые густые ребра. В конце фрагмокона и на жилой камере ребра становятся редкими и грубыми. Преобладают простые ребра сопряженные с вставными, присутствуют отдельные вставные ребра, начинающиеся в наружной трети боков. К вентральной борозде ребра подходят поочередно с каждой стороны, концы их по краям борозды слегка вздуты. На 1/2 оборота насчитывается 16 боковых ребер, коэффициент ветвления 1,9.

Сравнение. По форме раковины и развитию ребристости в онтогенезе описываемый вид близок к *E. gantieri* (Roman), отличается от него развитием вставных ребер и отсутствием "сдвоенных" ребер.

Замечания. Описываемый вид по характеру ребристости более близок к Parkinsoniidae, чем к Morphoceratidae, не отвечая ни одному из известных родов в этих двух семействах. В Morphoceratidae вклю-

чен на основании характера модификации ребристости в онтогенезе, сходной с *E. gantieri*, слабой рассеченности лопастей и явно выраженных признаков микроконха (короткая жилая камера), в то время как у паркинсонид верхов зоны parkinsoni диморфизм выражен слабо.

Геологическое и географическое распространение, материал. Голотип.

Род *Sulcohamitoides* Besnosov, 1990

Sulcohamitoides: Besnosov, 1990, с. 26.

Типовой вид. *S. karaimanensis* Besnosov. Нижний бат (выше подзоны *macrescens*) – низы среднего бата, низы суетлинской свиты. Большой Балхан, колодцы Караиман – гора Кошаджульба.

Название произведено от названия гетероморфного *Sulcohamites* Wetzel, предполагаемого макроконхового диморфа.

Диагноз. Раковина 30 мм, полуинволютная, с быстро нарастающими в высоту оборотами, объемлющими предшествующие более, чем на половину их высоты. Сечение оборотов в форме сжатого с боков шестиугольника. Бока уплощенные с изломом посередине, от которого сближаются в сторону умбонального и вентрального перегибов. вентральная сторона вдавленная, с глубокой бороздой. Сохранившаяся часть жилой камеры занимает немногим более 1/2 оборота. Устье и лопастная линия не сохранились. Скульптура состоит из радиальных ребер и пары вентральных и пары боковых рядов острых бугорков (шипов). Ребра на фрагмоконе острые, преимущественно двуветвистые, ветвятся посередине боков, в точке ветвления на ребре развиты острые бугорки. На жилой камере присутствуют одиночные ребра, оси ребер, ослабевают, в то время как боковые бугорки усиливаются. Вентральные ребра заканчиваются по краям вентральной борозды удлинненными вдоль ребра бугорками.

Состав. Типовой вид.

Сравнение и замечания. Описываемый род гомеоморфен *Strenoceras* Huatt, 1900, и *Epistrenoceras* Bentz, 1924. От первого рода его отличают преобладание бифуркирующих ребер, более сильные боковые шипы по сравнению с вентральными, ослабление боковых ребер в передней части жилой камеры. От *Epistrenoceras* описываемый род отличается отсутствием бокового шеврона и развитием боковых шипов. Поскольку распространение *Strenoceras*, *Sulcohamitoides* и *Epistrenoceras* во времени разделено существенными интервалами, в которых аналогичные по форме аммониты отсутствуют, их сходство, вероятно, связано с гетерохронным геоморфизмом, а не с филогенетическими отношениями предок/потомок. *Sulcohamitoides*, возможно, представляет собой микроконх гетероморфного *Sulcohamites*, подобно

как *Strenoceras* образует диморфную пару со *Spiroceras* (см. Spiroceratidae).

Sulcohamitoides karaimanensis Besnosov, 1990

Табл. 57, фиг. 2

Sulcohamitoides karaimanensis: Безносков, Кутузова, 1990, с. 28, табл. 1, фиг. 8.

Голотип. ВНИГНИ, экз. № 115/7481. Верхи нижнего – низы среднего бѣта, низы сеутлинской свиты. Большой Балхан, колодцы Караиман – гора Кошаджульба.

Описание. См. описание рода.

Материал. Голотип, представляющий лимонитизированное деформированное ядро фрагмокона и большей части жилой камеры.

СЕМЕЙСТВО TULITIDAE BUCKMAN, 1921

Род *Tulites* Buckman, 1921

Tulites: Hahn, 1971, с. 67.

Типовой вид. *Tulites tula* Buckman, 1921 [56, с. 44; 1922, табл. 269]. Средний бат, зона subcontractus. Англия, Сомерсет.

Диагноз. Диморфный род. Раковины от мелких до крупных, бочонкообразные, полуинволютные или полуэволютные с тенденцией к разворачиванию по умбональному краю передней части жилой камеры. Сечение оборотов полуокруглое с вздутой вентральной стороной, не отделенной от боков, и крутыми умбональными стенками. Внутренние обороты тонкорестристые, несут ветвящиеся на два и на три ребра, внешние обороты фрагмокона – груборестристые с вздутыми боковыми ребрами, на жилой камере ребристость может сглаживаться до полного исчезновения.

Состав. Два подрода: *M Tulites* Buckman, 1921, *m Trolliceras* Torrens, 1971.

Сравнение. От сходных по скульптуре и форме внешних оборотов *Bullatimorphites* отличаются менее вздутыми оборотами фрагмокона и слабее разворачивающейся жилой камерой, отсутствием выраженного эксцентриситета завивания; от *Morrisiceras* – более широким пупком и сильными боковыми ребрами.

Геологическое и географическое распространение. Бат, верхи зоны progracilis – зона subcontractus, Европа, Саудовская Аравия, Индонезия, Средняя Азия.

Tulites: Buckman, 1921, с. 44, 1922, табл. 269; Arkell, 1954, с. 84.

Tulites (Tulites): Hahn, 1971, с. 67.

Tulophorites: Buckman, 1921, с. 45, 1923, табл. 369.

Madarites: Buckman, 1921, с. 45, 1922, табл. 271.

Rugiferites: Buckman, 1921, с. 46, 1923, табл. 338.

Pleuorophorites: Buckman, 1921, с. 46, 1923, табл. 370.

Sphaerophorites: Buckman, 1921, с. 49, 1923, табл. 307.

Типовой вид. См. типовой вид рода.

Диагноз. Раковины средних и крупных размеров, до 150 мм, боченкообразные, полуинволютные, со слабо выраженной тенденцией к развитию жилой камеры по умбональному краю. Сечение внешних оборотов полукруглое, с вздутой брюшной стороной, не отделенной от боков, с крутыми невысокими умбональными стенками. Жилая камера занимает около одного оборота, устье с прямыми краями. Ребристость грубая, состоит из дву- и трехветвистых ребер. Боковые ребра вздутые, у форм с низким сечением оборотов бугорковидные. На жилой камере ребристость может сглаживаться.

Состав. Более 12 видов: *T. tula* Buckman, *T. subcontractus* (Morris et Lycett), *T. modiolaris* (W. Smith), *T. cadus* Buckman, *T. calvus* (Buckman), *T. rugifer* (Buckman), *T. polypleurus* (Buckman), *T. schlippei* Arkell, *T. pumilus* Arkell, *T. godohoensis* (Boehm), *T. erymnoides* Arkell, *T. tuwaiqensis* Arkell, *T. arabicus* Arkell.

Сравнение. От *M. Trolliceras* Torrens, 1971, отличается крупными размерами, длинной жилой камерой и устьем с прямыми боковыми краями.

Замечания. Включение в синонимику *Tulites* родов Бакмена: *Tulophorites*, *Sphaeromorphites* и *Madarites* – было осуществлено Аркеллом [43, с. 84–85]. *Rugiferites* Buckman, в синонимику которого был включен *Pleuorophorites* Buckman, он рассматривал как самостоятельный род на основании "более нерегулярной ребристости и лопастной линии с широкой нерегулярно зубчатой второй боковой лопастью" [43, с. 85–86]. Хан [87, с. 68, 69], основываясь на наблюдениях Торренса, указал, что различия в лопастной линии были обусловлены сохранностью раковин и включил *Rugiferites* в ранге второго макроконхового подрода в состав рода *Tulites*. Отличия *M. Rugiferites* от *M. Tulites*, по Хану, заключаются в несколько более инволютных раковинах, которые при этом также обладают ранее образующимися и сильнее разворачивающимися жилыми камерами. Выделение в составе рода *Tulites* двух макроконховых и одного микроконхового подрода нецелесообразно, а различия между *M. T. (Tulites)* и *M. T. (Rugiferites)* незначительны, поэтому они объединены в составе одного подрода.

Геологическое и географическое распространение.
См. распространение рода.

Tulites cf. rugifer (Buckman), 1921

Табл. 55, фиг. 1

cf. Rugiferites rugifer: Buckman, 1921, с. 46; 1922, табл. 338, 1923, табл. 338А; Arkell, 1954, с. 104, табл. 13, фиг. 1, 6.

cf. Tulites (Rugiferites) rugifer: Hahn, 1971, с. 80, табл. 3, фиг. 7, 9.

Голотип. *Rugiferites rugifer* Buckman, 1925 [56, табл. 338А].
Средний бат, зона *subcontractus*. Англия, Дорсет.

Форма. Раковина до 90 мм, полуинволютная. Сечение оборотов почковидное, приплюснутое. Вентральная сторона широкая, выпуклая, не отделена от боков. Умбональные стенки крутые, невысокие.

Размеры, мм, и их соотношения (приблизительные, образец неполный):

№ экз.	Д	В	Ш	Ду	В/Д	Ш/Д	Ду/Д
115/3357	90	42	46	31	0,47	0,51	0,34

Скульптура. Жилая камера несет короткие вздутые боковые ребра, расщепляются около середины высоты оборота на две-три более слабые ветви. Боковые ребра радиальные или слабо отклонены назад, на вентральной стороне изгибаются вперед. В передней части жилой камеры ребристость ослабевает, связь боковых ребер с вентральными теряется.

Сравнение. По форме раковины, размерам и скульптуре описываемый экземпляр весьма близок к голотипу *T. rugifer* Buckman и экземпляру *T. rugifer* [87, табл. 3, фиг. 9], отличается от них более короткими боковыми ребрами. Плохая сохранность экземпляра исключает его точное определение.

Геологическое и географическое распространение. *T. rugifer* известен из отложений среднего бата, зоны *subcontractus*, Англия, Швейцария, ФРГ.

Материал. Юго-Западный Гиссар, Тангидувальская котловина, верхняя часть тангидувальской (неполный экземпляр).

Род *Morrisiceras* Buckman, 1920

Morrisiceras: Hahn, 1971, с. 86.

Типовой вид. *Morrisiceras sphaera* Buckman, 1920 [56, табл. 167].

Диагноз. Диморфный род. От мелких до средних, редко до 150 мм. Фрагмокон и большая часть жилой камеры образуют инволютную раковину с овальными или округлыми оборотами от сжатых с боков до приплюснутых. У некоторых макроконхов в той или иной мере наблюдается разворачивание жилой камеры по умбональному краю. Внутренние обороты фрагмокона и микроконхи покрыты нерегулярно ветвящимися ребрами. На внешних оборотах фрагмокона и на жилой камере боковые ребра исчезают, вентральные становятся широкими, пологими, сохраняются, как правило, до конца жилой камеры.

Состав. Два подрода: *M* *Morrisiceras* Buckman, 1920; *m* *Holzbergia* Torgrens, 1971.

Сравнение. От *Tulites* Buckman, 1921, отличается более инволютной раковиной и потерей боковой ребристости; от *Bullatimorphites* Buckman, 1921, и *Kheraiceras* Spath, 1924 – более уплощенным фрагмоконом, не всегда и слабее выраженным разворачиванием жилой камеры по умбональному краю.

Геологическое и географическое распространение. Бат, зона *subcontractus*, Европа, Мадагаскар, Средняя Азия.

ПОДРОД *M MORRISICERAS* БУСКМАН, 1920

Morrisiceras: Buckman, 1920, табл. 167, 1921, с. 47; Arkell, 1954, с. 115.

Morrisites: Buckman, 1921, с. 48, 1922, табл. 273.

Pionoceras: Lissajous, 1923, с. 103.

Lycetticeras: Arkell, 1953, с. 47, 1954, с. 116.

Morrisiceras (*Morrisiceras*): Hahn, 1971, с. 86.

Morrisiceras (*Lycetticeras*): Hahn, 1971, с. 90.

Типовой вид. См. типовой вид рода.

Диагноз. Раковины средних размеров, редко до 150 мм, инволютные, в разной степени выраженной тенденцией к разворачиванию жилой камеры по умбональному краю. Сечение оборотов овальное, от приплюснутого до сжатого с боков, вентральная сторона всегда вздутая. Жилая камера занимает около одного оборота. Устье с прямыми боковыми краями. Ребристость внутренних оборотов фрагмокона острая, густая, состоит из нерегулярно ветвящихся на две ветви ребер. На внешних оборотах фрагмокона и на жилой камере развиты грубые ребра, начинающиеся на боках и с возрастом все более смещающиеся в вентральную часть оборота.

Состав. Более 10 видов: *M. sphaera* Buckman, *M. morrissi* (Orpel), *M. korastes* Buckman, *M. tolmerum* Buckman, *M. comma* Buckman, *M. skniptum* Buckman, *M. fornicatum* (Buckman), *M. lycetti* (Arkell), *M. bulbosum* (Arkell), *M. krumbeki* Arkell.

Сравнение. От *m Holzbergia* отличается крупными размерами, грубой ребристостью внешних оборотов, длинной жилой камерой и устьем с прямыми краями.

Замечания. Род *Lycetticer* Arkell, 1953, объединяет группу видов с относительно сильно выраженным разворачиванием жилой камеры: *M. lycetti* (Arkell), *M. comma* Buckman, *M. skniptum* Buckman, *M. schlippei* (Arkell), *M. bulbosum* (Arkell), из которых виды Бакмена включались им в состав *Morrisicer*. Хан [87] включил *Lycetticer* в состав *Morrisicer* в ранге подрода. Учитывая, что подродовой ранг принят для диморф, выделение второго макроконхового подрода в составе рода *Morrisicer* нецелесообразно. Поэтому *Lycetticer* рассматривается как младший субъективный синоним подрода *M Morrisicer*. *Morrisites* Buckman, 1921, и его объективный синоним *Pionoceras* Lissajous, 1923, включены в синонимику *Morrisicer* Аркеллом [43].

Геологическое и географическое распространение. См. распространение рода.

Morrisicer (*Morrisicer*) cf. *lycetti* (Arkell), 1953

Табл. 54, фиг. 2

cf. *Lycetticer lycetti*: Arkell, 1953, с. 37, табл. 1, фиг. 2; 1954, с. 127, табл. 15, фиг. 3, 9, фиг. 41 в тексте. ? cf. *Morrisicer (Lycetticer) skniptum*: Hahn, 1971, с. 93, табл. 5, фиг. 4.

Голотип. *Lycetticer lycetti* Arkell, 1953 [43, с. 37, табл. 1, фиг. 2]. Переизображен: [43, фиг. 41, фиг. 1 в тексте]. Средний бат, зона *morrisi*. Англия, Дорсет.

Форма. Раковины до 120 мм, инволютные, с разворачивающейся по умбональному краю передней частью жилой камеры. Сечение оборотов овальное, сжатое с боков. Вентральная сторона широкая, слабовыпуклая, бока уплощенные, умбональные стенки невысокие, крутые.

Размеры, мм, и их соотношения:

№ экз.	Д	В	Ш	Ду	В/Д	Ш/Д	Ду/Д
115/3086	96	40	39	24	0,42	0,41	0,52
	85	40	41	13,5	0,47	0,48	0,16
115/3285	72	33	—	13	0,46	—	0,18

Скульптура. На внешних оборотах фрагмокона развиты грубые ребра, начинающиеся от середины боков, радиальные, прямо пересекающие вентральную сторону. На жилой камере ребра смещаются на вентральную сторону, становятся более широкими, но уплощаются.

Сравнение. По форме раковины описываемые экземпляры наиболее сходны с *M. lycetti* (Arkell) и к форме, описанной Ханом под названием *M. (Lyceticeras) skniptum* Bückman (см. синонимизику). От *M. skniptum* Bückman и большинства других представителей подрода, описываемый вид отличается слабо вздутыми оборотами фрагмокона и в целом уплощенной раковинной.

Геологическое и географическое распространение. Бат, зона *subcontractus*, Англия, Франция, ? ФРГ, Средняя Азия.

Материал. Юго-Западный Гиссар, Тангидувальская котловина, верхняя часть тангидувальской свиты — 1 экз.

Morrisiceras sp.

Табл. 54, фиг. 1

Форма. Раковины до 135 мм, инволютные, с разворачивающимся по умбональному краю передним концом жилой камеры. Обороты массивные, сечение трапециевидно-овальное, со слабо выпуклыми боками, сходящимися к закругленной вентральной стороне. Умбональные стенки невысокие, кртые.

Размеры, мм, и их соотношения:

№ экз.	Д	В	Ш	Ду	В/Д	Ш/Д	Ду/Д
115/2812	133	51	70	34	0,38	0,53	0,255
	114	43	57	29	0,38	0,50	0,25

Скульптура. Наблюдаемая часть фрагмокона и жилой камеры несут пологие широкие вентральные ребра, сглаживающиеся в передней части жилой камеры.

Сравнение. Общей формой раковины и крупными размерами описываемый экземпляр сходен с *M. comta* Bückman в интерпретации этого вида Ханом [87, с. 90, табл. 4, фиг. 2, 4, табл. 5, фиг. 35, табл. 6, фиг. 4, рис. 7 и в тексте], отличаясь от него значительно большей шириной оборотов и сохраняющейся на жилой камере ребристостью.

Материал. Хр. Кугитангтау, родник Казанбулак, нижняя байсунская подсвита — 1 экз.

ПОДРОД *HOLZBERGIA* TORRENS, 1971

Morrisiceras (Holzbergia): Torrens, 1971, с. 138; Hahn, 1971, с. 94.

Praesutneria: Schmidtil, Krumbeck, 1931, с. 851; Kuhn, 1947, с. 85.

Типовой вид. *Berbericeras schwandorfense* Arkell, 1951. Конденсированные отложения бата, Бавария, Швандорф.

• Диагноз. Раковины мелкие, полуэволютные с тенденцией к разворачиванию передней части жилой камеры по умбональному краю, или полуинволютные, с овальными сжатыми с боков оборотами, жилой камерой, занимающей немного более 3/4 оборота и устьем с боковыми ушками. Ребристость фрагмокона тонкая, густая, состоит из ребер, нерегулярно ветвящихся на два – на три. На жилой камере боковые ребра слабеют или сглаживаются, вентральные – грубеют. Ребра в умбональной части боков наклонены вперед, вентральную сторону переходят прямо или отклоняясь назад. Лопасты и седла рассечены слабо [87, рис. 7].

Состав. Один вид: *H. schwandorfense* (Arkell).

Сравнение. От *M. Morrisiceras* отличается мелкими размерами, короткой жилой камерой и устьем с боковыми ушками; от *m Tulites (Trolliceras)* Torrens, 1971 – более уплощенными раковинами и сглаживающейся в умбональной части боков ребристостью жилой камеры; от *m Bullatimorphites (Sphaeroptychius)* Lissajous, 1923 – уплощенной, нормально завивающейся раковиной, устьем без роста и более грубой ребристостью.

Замечание. В. Аркелл [42] отнес типовой вид подрода к роду *Berbericeras* Roman, 1933, из нижнего бата Алжира. Последний, как показал Торренс [152], обладает пережимами и слабой вентральной бороздой и принадлежит *Morphoceratidae*. Среднебатские формы, описанные Аркеллом, были выделены им в микроконховый подрод *Holzbergia* рода *Morrisiceras*.

Название *Praesutneria* Schmidtil (Krumbeck, 1931, с. 851), опубликованное в подстрочном примечании, предложено Моделем для среднебатских "*Stephanoceras*" Швандорфа, без указания и описания типового вида, начиная с Аркелла [42], рассматривается как невалидное.

Геологическое и географическое распространение. Бат, зона *morrisi*, Европа, Средняя Азия.

Holzbergia schwandorfense (Arkell); 1952

Табл. 55, фиг. 2, 3

Berbericeras schwandorfense: Arkell, 1952, с. 12, табл. 1, фиг. 6, 8, 11; 1958, с. 230, табл. 33, фиг. 1–3.

? *Morrisiceras (Holzbergia) schwandorfense*: Hahn, 1971, с. 95, табл. 4, фиг. 3, рис. 3, 11 в тексте.
Berbericeras sekikense: Arkell, 1958 табл. 33, фиг. 6–8 (non *B. sekikense* Roman, 1933).

Голотип. *Berbericeras schwandorfense* Arkell, 1952 [43, табл. 1, фиг. 8]. Конденсированные отложения бата. ФРГ, Бавария, Швандорф.

Форма. Раковины до 30–35 мм, плоские, полуэволютные. Обороты фрагмокона и задней части жилой камеры охватывают предшествую-

щие на 1/2 их высоты, передняя часть жилой камеры на 1/3. Сечение оборотов овальное, бока плоские, вентральная сторона закругленная, умбональные стенки крутые, невысокие.

Размеры, мм, и их соотношения:

№ экз.	Д	В	Ш	Ду	В/Д	Ш/Д	Ду/Д
17009а	30	10	10,5	11	0,33	0,35	0,37
17009б	23	10	10	6	0,43	0,43	0,26

Скульптура. Фрагмокон покрыт тонкими ребрами, начинающимися на умбональной стенке и ветвящимися в наружной трети боков на две, реже на три более слабые ветви. На жилой камере вентральные ребра становятся грубыми, боковые – ослабляются и сглаживаются.

Сравнение и замечания. Наши экземпляры идентичны голотипу и синтипам из Швандорфа и части английских экземпляров [43, табл. 33, фиг. 3]. От экземпляра, изображенного Ханом [87, табл. 4, фиг. 3], и части английских экземпляров [43, табл. 33, фиг. 1, 2] они отличаются более грубой ребристостью жилой камеры и более прямоугольным сечением оборотов. Ранее Хан [87, с. 96] отмечал большое разнообразие раковин, относимых к рассматриваемому виду, которое позволяет разбить его на многие виды, подобные многим видам макроконхового подрода. Однако, располагая ограниченным материалом, мы приняли широкую трактовку вида по Хану. В этом случае в его синонимистику следует включать и "*Berbericerus sekikense*" [43, табл. 33, фиг. 6–8].

Геологическое и географическое распространение. Средний бат, зона *subcontractus*, Англия, ФРГ, Польша, Средняя Азия.

Материал. Юго-Западный Гиссар, Тангидувальская котловина, кровля тангидувальской свиты – 2 экз.

Род *Bullatimorphites* Buckman, 1921

Bullatimorphites: Buckman, 1921, с. 47; 1922, табл. 272; Arkell, 1954, с. 47; Hahn, 1971, с. 96; Galacz 1980, с. 78.

Типовой вид. *Bullatimorphites bullatimorphus* Buckman, 1922 [56, табл. 272]. Средний бат, зона "*morrisi*". Англия.

Диагноз. Диморфный род. Раковина от мелких до крупных с эксцентрическим завиванием и меняющейся в онтогенезе степенью инволютности. Внутренние обороты фрагмокона эволютные, округлые в сечении, средние и внешние – инволютные, полностью перекрывающие предшествующие, с широкой вздутой вентральной стороной и

крутыми высокими умбональными стенками, жилая камера разворачивается по умбональному краю и раковина вновь становится эволюционной. На внутренних оборотах фрагмокона присутствуют параболические ребра, внешние обороты фрагмокона и жилая камера покрыты радиальными ветвящимися ребрами.

Состав. Макро- и микроконхи на видовом уровне не идентифицируются и рассматриваются в ранге подродов: М *Bullatimorphites* Buckman, 1921, m *Sphaeroptychius* Lissajous, 1923.

Сравнение. От *Kheraiceras* Spath, 1924, отличается более крупными размерами макроконхов, развитием сильных боковых ушек у микроконхов, меньшим эксцентриситетом завивания жилой камеры, сильнее развитой ребристостью.

Замечания. В качестве диморфных пар к макроконхам *Bullatimorphites* в современной литературе приняты микроконхи *Sphaeroptychius* Lissajous и *Treptoceras* Enay [72]. Хан [87] принял род *Bullatimorphites* в объеме четырех подродов: М *Bullatimorphites* – m *Sphaeroptychius* и М *Kheraiceras* – m *Bomburites* (младший субъективный синоним *Treptoceras*). Галач [75] принимает для указанных подродов статус родов, восстанавливает в качестве самостоятельного рода *Treptoceras*, однако сохраняет между ними диморфные связи. Вопрос о самостоятельности рода *Kheraiceras* в значительной мере зависит от того, в какой из родов включить вид *Ammonites bullatus* d'Orbigny. Традиционно этот вид включает в род *Bullatimorphites* (который был предложен для группы *A. bullatus*). Галач [75, с. 78] отмечал, что "*Ammonites bullatus* d'Orbigny, несомненно, принадлежит роду *Bullatimorphites*". Одновременно он установил, что под названием *Ammonites bullatus* в литературе описываются два варианта: близкий к лектотипу этого вида и более крупнорослый. Также широко принимали *A. bullatus* Вестерманн [162] и Хан [87], включивший в него формы от среднебатских до раннекелловейских. При ограничении *A. bullatus* формами, близкими к лектотипу, т. е. раннекелловейскими малорослыми формами с вздутым шарообразным фрагмоконом и суженной жилой камерой, теряющей ребристость, этот вид должен быть отнесен к *Kheraiceras* (что уже было сделано [87]). В этом случае макроконховый подрод *Bullatimorphites* будет объединять только крупнорослые грубо-ребристые формы бата, а макроконховый подрод *Kheraiceras* – более малорослые формы, теряющие скульптуру на жилой камере, позднего бата – среднего келловея.

Геологическое и географическое распространение. Бат, верхи зоны zigzag – зона *retrocostatum*, Европа, Новая Гвинея, Кавказ, Средняя Азия.

Bullatimorphites: Buckman, 1921, с. 47.

Bullatimorphites (Bullatimorphites): Hahn, 1971, с. 97.

Типовой вид. Соответствует типовому виду рода.

Диагноз. Раковины средних и крупных размеров, до 200 мм, с меняющейся в онтогенезе инволютностью и разворачивающейся по умбональному краю жилой камерой. Внутренние обороты фрагмокона полуэволютные, средние и внешние полностью перекрывают друг друга, жилая камера разворачивается по умбональному краю. Соответственно форма раковины меняется от плоской (планулятной) до шаровидной (кадиконовой) на фрагмоконе и вновь становится планулятной на жилой камере. Жилая камера занимает от 5/6 до целого оборота. Устье с прямыми наклоненными вперед краями, загнутыми внутрь, может сопровождаться приустьевыми валиками или грубыми ребрами. Ребристость сильная, представлена грубыми боковыми ребрами, разветвляющимися на два-три вентральных ребра, и вставными ребрами. В передней части жилой камеры связь боковых и вентральных ребер может теряться в результате сглаживания скульптуры на боках.

Состав. Восемь видов: *B. latecentratus* (Quenstedt), *B. ymir* (Oppel), *B. bullatimorphus* Buckman, *B. perisphinctoides* Arkell, *B. costatus* Arkell, *B. serpenticonus* Arkell, *B. eszterense* (Böckh), *B. stephanovi* Galačz.

Сравнение. От *Sphaeroptychius* отличается крупными размерами, резче дифференцированными жилой камерой и фрагмоконом, устьем с прямыми боковыми краями.

Замечания. *Bullatimorphites suevicus* [39, с. 86, табл. 13–14] (поп *Sphaeroptychius suevicus* Roemer) Хан (87, с. 97) включил со знаком ? в синонимику *B. latecentratus* Quenstedt. Точное отождествление аммонита, изображенного И. Д. Церетели, затруднительно, однако он ближе всего к *B. perisphinctoides* Arkell.

Геологическое и географическое распространение. См. распространение рода.

Bullatimorphites subcostatus Vesnošov sp. nov.

Табл. 56, фиг. 1, 2, табл. 5.7, фиг. 1, табл. 5.8, фиг. 2

Голотип. ВНИГНИ, экз. № 115/9253. Средний бат. Юго-Западный Гиссар (сборы Н. К. Фортунатовой).

Название произведено от видового названия *B. costatus* Arkell, 1956, с. 107.

Форма. Раковины до 130 мм. Фрагмокон – инволютный кадикон с полуокруглым сечением оборотов, почти полностью охватывающих друг друга, высокая умбональная стенка через закругленный край переходит в бока, не отделенные перегибом от вздутой закругленной вентральной стороны. С конца фрагмокона обороты разворачиваются по умбональному краю так, что близ устья охватывают менее половины предыдущего, умбональная стенка почти исчезает. Жилая камера занимает несколько менее (7/8) полного оборота, устье с прямыми круто наклоненными вперед боковыми краями и двумя-тремя грубыми вентральными ребрами (валиками).

Размеры, мм, и их соотношения:

№ экз.	Д	В	Ш	Ду	В/Д	Ш/Д	Ду/Д
115/9253	114	39	47	40	0,34	0,41	0,35
	102	39	45	31,5	0,38	0,44	0,31
115/290	111	38	46	34	0,34	0,41	0,31
	99	37	47	33,5	0,37	0,47	0,34

Скульптура. Конец фрагмокона и жилая камера несут короткие вздутые валикоподобные ребра, ветвящиеся на расстоянии около 1/3 высоты боков от шва на два-три более слабых вентральных ребра, кроме которых присутствуют вставные ребра. Число боковых ребер на 1/2 оборота 10–11, коэффициент ветвления 4,1.

Сравнение. Короткими грубыми боковыми ребрами описываемый вид сходен с *B. costatus* Arkell (= *Sphaeroceras bullatum* Lissajous, 1923, табл. 28, фиг. 1), от которого отличается медленнее разворачивающейся жилой камерой и более многочисленными и тонкими вентральными ребрами.

Геологическое и географическое распространение, материал. Средний бат, зона *subcontractus* хр. Кугитангтау, сай Вандоб – 2 экз., урочище Тангидувал – 1 экз.

Bullatimorphites latecentratus (Quenstedt), 1887

Табл. 59, фиг. 1

Ammonites bullatus latecentratus: Quenstedt, 1887, с. 658, табл. 77, фиг. 6.

Bullatimorphites latecentratus: Arkell, 1954, фиг. 35, в тексте.

Bullatimorphites (Bullatimorphites) latecentratus: Hahn, 1971, с. 97, табл. 6, фиг. 1, 3.

Голотип. *Ammonites bullatus latecentratus* Quenstedt, 1887 [121, табл. 77, фиг. 6]. Нижний бат, подзоны *macrescens*–*yeovilensis*. ФРГ, Лауфен. Воспроизведен: [87, табл. 6, фиг. 3].

Форма. Фрагмокон с неполной жилой камерой достигает 85 мм в

диаметре (лектотип 106 мм). Фрагмокон – вздутый кадикон с быстро нарастающими в высоту и толщину оборотами, полностью перекрывающими предшествующие. Сечение оборотов почковидное – полуокруглое с широкой закругленной вентральной стороной, не отделенной от выпуклых боков, которые, в свою очередь, с закруглением переходят в высокие отвесные умбональные стенки. Жилая камера резко разворачивается по умбональному краю, так что в передней части закрывает только вентральную сторону предшествующего оборота. Сечение ее становится более сжатым с боков.

Размеры, мм, и их соотношения:

№ экз.	Д	В	Ш	Ду	В/Д	Ш/Д	Ду/Д
115/9000	84	32	51	18	0,38	0,60	0,21
	76	37	54	14	0,48	0,71	0,18

Скульптура. Боковые ребра начинаются на умбональной стенке, на боках клиновидно расширяются кнаружи, несколько далее середины высоты боков разделяются на два-три слабо связанных с боковым вентральных ребра, которые с изгибом вперед переходят вентральную сторону. Ребристость густая, несколько редет на жилой камере, на которой сохраняется до конца.

Сравнение. От сходного по ребристости и форме раковины *V. umir* (Orpel) отличается более крупными размерами и более вздутым и широким фрагмоконом.

Геологическое и географическое распространение. Нижний бат, Европа, Памир.

Материал. Юго-Восточный Памир, "Истыкская зона", нижний – средний бат – 1 экз.

ПОДПРОД m *SPHAEROPTYCHIUS* LISSAJOUS, 1923

Sphaeroptychius: Lissajous, 1923, с. 101; Arkell, 1954, с. 88; Hahn, 1971, с. 104; Galacz, 1980, с. 79.

Schwandorfia: Arkell, 1952, с. 10, 1954, с. 87.

Treptoceras: Enay, 1959, с. 253; Galacz, 1980, с. 79.

Типовой вид. *Sphaeroptychius buckmani* Lissajous, 1923 [94, табл. 22, фиг. 3, 4]. Средний бат, зона subcontractus. Франция, Маконне.

Диагноз. Раковины мелкие, до 50 мм, с эксцентрически навивающимися оборотами на жилой камере. Внутренние обороты фрагмокона эволютные, внешние – полуинволютные, жилая камера разворачивается по умбональному краю. Сечение оборотов полукруглое с широкой вздутой вентральной стороной и крутыми, выполаживающимися в приустьевой части умбональными стенками, с резким переги-

бом переходящими в бока. Жилая камера занимает около 3/4 оборота. Устье с мощным вентральным ростром, направленным радиально, и боковыми ушками (?). Ребристость тонкая, нерегулярно ветвящаяся.

Состав. Более девяти видов: *S. buckmani* Lissajous, *S. lucasi* (Grossouvre), ?*S. microstomus* (d'Orbigny), ?*S. suevicum* (Roemer), *S. laurenti* (Enay), *S. crimiense* (Enay), *S. marginatus* (Arkell), *S. lanqueni* (Arkell), *S. ellipticus* Krystyn.

Сравнение. От *M Bullatimorphites* отличается мелкими размерами, короткой жилой камерой, устьем с приустьевым ростром и боковыми ушками; от *m Kheraiceras (Bomburites)* – менее вздутыми оборотами фрагмокона, слабо сужающейся жилой камерой, сильнее развитым ростром и ушками.

Замечания. Род *Schwandorfia* Arkell включен в ранге подрода в состав *Sphaeroptychius* Lissajous Энеем [72]. Последующие исследователи рассматривали его как младший субъективный синоним. *Treptoceras* Enay, предложенный для "группы *Ammonites microstomus* d'Orbigny" Хан [87] рассматривал как младший синоним *Bomburites* Arkell. Однако, как уже указал Галач [75, с. 80], эти "два рода хорошо различимы по завиванию, сечению оборотов, ребристости и строению устья". В то же время *Treptoceras* и *Sphaeroptychius* близки по этим признакам и распространены синхронно, поэтому выделение этих двух групп аммонитов на родовом или подродовом уровнях нецелесообразно.

Геологическое и географическое распространение. См. распространение рода.

Sphaeroptychius ellipticus Krystyn, 1972

Табл. 56, фиг. 3

Sphaeroptychius lucasi ellipticus: Krystyn, 1972, с. 297, фиг. 27 в тексте, табл. 24, фиг. 2.

Голотип. *Sphaeroptychius lucasi ellipticus* Krystyn, 1972 [91, табл. 24, фиг. 2]. Конденсированные слои среднего – верхнего бата. Австрия, окрестности Вены.

Форма. Раковины до 35 мм с резко выраженным эллиптическим завиванием жилой камеры, разворачивающейся по умбональному краю и образующей угловато-округлый перегиб на 1/2 оборота от устья. Сечение оборотов фрагмокона полукруглое, с вздутой закругленной вентральной стороной, не отделенной от боков, и крутыми умбональными стенками. В конце фрагмокона и на большей части жилой камеры развит острый умбональный перегиб. На жилой камере сечение оборота суживается. Жилая камера занимает 3/4 оборота, вентральный ростр большой, по бокам устья сохранились основания ушек.

Размеры, мм, и их соотношения:

№ экз.	Д	В	Ш	Ду	В/Д	Ш/Д	Ду/Д
115/3130	34	11	14,5	14,5	0,32	0,43	0,43
	28	11	18	11	0,39	0,64	0,39
115/1148	30	11	14	10	0,37	0,47	0,33
	26	10,5	15	8,5	0,40	0,57	0,33

Скульптура. Ребристость фрагмокона густая, острая, состоит из простых и дихотомизирующих в умбональной части боковых сторон ребер. На жилой камере ребристость несколько грубеет, становится нерегулярной, неправильно чередуются один-два простых ребра с двумя трехветвистыми.

Сравнение. От *S. lucasi* (Grossouvre), в качестве подвида которого был выделен, рассматриваемый вид отличается резко выраженным эксцентриситетом завивания жилой камеры, более тонкой ребристостью; от сходного по общей форме раковины *S. laurenti* (Epaу) – тонкой ребристостью и острым умбональным перегибом.

Замечания. Подвид, предложенный Кристином, отличается от голотипа *S. lucasi* (Grossouvre) признаками того же порядка, что и последний от других представителей рода, поэтому ранг *S. lucasi ellipticum* принят видовым.

Геологическое и географическое распространение. Средний – верхний бат Австрии, Юго-Западный Гиссар.

Материал. Хр. Кугитангтау, пограничные слои тангидувальской и байсунской свит, сай Вандоб – 2 экз.

Род *Kheraiceras* Spath, 1924

Типовой вид. *Sphaeroceras cosmopolita* Parona et Bonarelli, 1897 [112, с. 146]. Нижний келловей. Индия, Кач.

Диагноз. Диморфный род. Раковины от мелких до средних с эксцентрическим завиванием и меняющейся в онтогенезе степенью инволютности. Фрагмокон – шарообразный кадикон с сильно сплюснутыми оборотами почти серповидного сечения, полностью объемлющими друг друга. На жилой камере происходит резкое разворачивание по умбональному краю, так что лупок принимает неправильные или эллиптические очертания, передняя часть жилой камеры сужается с боков. Скульптура состоит из ребер, нерегулярно ветвящихся на два и на три на фрагмоконе и ослабевающих или исчезающих на жилой камере.

Состав. Макро- и микроконхи на видовом уровне не идентифицируются и рассматриваются в ранге подродов: M *Kheraiceras* Spath, 1924; m *Bomburites* Arkell, 1954.

Сравнение. От *Bullatimorphites* Buckman, 1921, отличается несколько меньшими размерами макроконхов, более шарообразным фрагмоконом, сильнее сужающейся жилой камерой, более слабой ребристостью.

Замечания. В качестве диморфной пары *Kheraiceras* и *Bomburites* объединил Хан [87], рассматривающий их в ранге подродов в составе рода *Bullatimorphites* и Галач [75], сохранивший их родовой статус. *Kheraiceras* тесно связан с *Bullatimorphites* транзитными формами (группа "*Ammonites bullatus* d'Orbigny") и является его потомком.

Геологическое и географическое распространение. Верхний бат – средний келловей Тетиса и Индо-Пацифики.

ПОДРОД M *KHERAICERAS* SPATH, 1924

Kheraiceras: Spath, 1924, с. 7, 1928, с. 202; Arkell, 1954, с. 89.

Bullatimorphites (*Kheraiceras*): Hahn 1971, с. 99.

Типовой вид. См. типовой вид рода.

Диагноз. Раковины до 150 мм с шаровидным фрагмоконом и эксцентрично завивающейся жилой камерой, сечение которой резко сужается. Жилая камера занимает от 5/6 до одного оборота, устье с прямыми загнутыми вовнутрь краями. Фрагмокон покрыт радиальными ребрами, ветвящимися на две-три ветви. На жилой камере ребристость сглаживается. На жилой камере могут присутствовать редкие грубые валики-ребра.

Состав. Шесть видов: *K. bullatus* (d'Orbigny), *K. quenstedti* (Roemer), *K. hannoveranus* (Roemer), *K. cosmopolita* (Parona et Bonarelli), *K. subcosmopolita* (Lissajous), *K. trigeri* (Hebert et Deslongchamps).

Сравнение. От m *Bomburites* Arkell отличается крупными размерами, длинной жилой камерой с устьем с прямыми краями без приустьевого валика; от M *Bullatimorphites* – менее шаровидным фрагмоконом, сильнее сужающейся жилой камерой, более выраженным сглаживанием ребристости на жилой камере.

Геологическое и географическое распространение. См. распространение рода.

Kheraiceras cf. *bullatum* (d'Orbigny)

Табл. 58, фиг. 1

cf. *Ammonites bullatus*: d'Orbigny, 1846, с. 412, табл. 142, фиг. 1–2.

cf. *Bullatimorphites bullatus*: Arkell, 1954, с. 107, фиг. 34 в тексте.

cf. *Bullatimorphites (Kheraicerus) bullatus*: Hahn, 1971, с. 99, табл. 8, фиг. 3 (только).

Лектотип. *Ammonites bullatus* d'Orbigny, 1846 [109, табл. 142, фиг. 1–2]. Переизображен: [43, фиг. 34 в тексте]. Верхний бат – нижний келловей. Франция.

Форма. Раковина до 75 мм, с шаровидным фрагмоконом и резко сужающейся жилой камерой. Внешние обороты фрагмокона имеют серповидное сильно приплюснутое сечение с вздутой вентральной стороной, не отделенной от боков, и крутыми умбональными стенками, полностью перекрывают предыдущие. Жилая камера приобретает овальное сечение с пологими умбональными стенками, переходящими в уплощенные бока, сближающиеся к закругленной вентральной стороне, охватывают только вентральную сторону предшествующего оборота. Пупок на фрагмоконе узкий, глубокий, на жилой камере эллипсоидальный.

Размеры, мм, и их соотношения:

№ экз.	Д	В	Ш	Ду	В/Д	Ш/Д	Ду/Д
115/9238	72	33,5	32	15	0,465	0,44	0,21
	63	31	42	10	0,49	0,67	0,16

Скульптура. В конце фрагмокона и на жилой камере на вентральной стороне и в вентральной части боков развиты широкие плоские ребра, сглаживающиеся в умбональной части боков и в переднем конце жилой камеры.

Сравнение. От *K. quenstedti* (Roemer) и *K. hannoveranus* (Roemer) отличается меньшими размерами и менее суженной жилой камерой; от *K. cosmopolita* (Parona et Bonarelli) – меньшей толщиной оборотов и более широким пупком с менее выраженным эксцентриситетом.

Замечания. *K. bullatus* (d'Orbigny) принадлежит к наиболее часто цитируемым видам родов *Bullatimorphites* и *Kheraicerus*, однако большинство изображенных под этим названием форм весьма отличается от лектотипа размерами, соотношениями формы фрагмокона и жилой камеры, эксцентриситетом пупка и скульптурой. Примером подобной широкой трактовки вида является работа Хана [87]. При этом теряется характеристика вида и неоправданно расширяется его стратиграфическое распространение.

Геологическое и географическое распространение. Верхи верхнего бата (?) – зона *macroscephalus* нижнего келловей. Франция, ФРГ, Западная Туркмения (?).

Материал. Большой Балхан, район кяриза Екерем, кошаджубинская свита – 1 экз.

Kheraiceras cf. *subcosmopolitus* (Lissajous), 1923

Табл. 58, фиг. 3

cf. *Sphaeroceras subcosmopolita*: Lissajous, 1923, с. 95, табл. 20, фиг. 1.

Bullatimorphites bullatus: Крымголец, Захаров, 1971, с. 11, табл. 4, фиг. 11.

Голотип. *Sphaeroceras subcosmopolita* Lissajous, 1923 [94, табл. 20, фиг. 1]. Средний – верхний бат, зона "Zigzagiceras arbustigerus". Франция, Верзе.

Форма. Раковина до 120 мм. Фрагмокон шарообразный с оборотами полукруглого сечения с вздутой вентральной стороной, не отделенной от боков и отвесными умбональными стенками. Наружные обороты фрагмокона полностью перекрывают внутренние. В конце фрагмокона и на жилой камере раковина эллипсоидально с крутыми перегибами разворачивается по умбональному краю, так что передняя часть жилой камеры перекрывает только вентральную сторону предшествующего оборота. Умбональные стенки становятся наклонными, выполаживаясь около устья. Сечение жилой камеры округло-прямоугольное, сильно приплюснутое, равное по ширине максимальной ширине фрагмокона, вентральная сторона широкая, выпуклая, бока слабовыпуклые невысокие. Устье с прямыми, загнутыми вовнутрь краями.

Размеры, мм, и их соотношения:

№ экз.	Д	В	Ш	Ду	В/Д	Ш/Д	Ду/Д
115/2947	100	40	60	37	0,40	0,60	0,37
115/829a	68	36	48	15	0,53	0,68	0,22

Скульптура. Ребра на фрагмоконе начинаются на умбональной стенке, на боках клиновидно расширяются и доходят до середины высоты оборота, где расщепляются на две-три ветви. Ребра на боках радиальные, на вентральной стороне слабо изогнуты вперед, широкие, плоские. В конце фрагмокона и на жилой камере ребра на боках сглаживаются и сохраняются в виде широких пологих складок, более выраженных на ядрах, на вентральной стороне.

Сравнение. По размерам и скульптуре описываемый вид сходен с *K. hannoveranus* (Roemer), от которого отличается медленнее нарастающими в ширину оборотами фрагмокона и широкой жилой камерой.

Геологическое и географическое распространение. Низы верхнего бата, Франция, Средняя Азия.

Материал. Хр. Кугитангтау, гора Мых, нижняя байсунская подсвита – 1 экз., сай Вандоб, пограничные слои тангидувальской и байсунской свит – 2 экз.

Bomburites: Arkell, 1954, с. 90.

Bullatimorphites (*Bumburites*): Hahn, 1971, с. 106.

Типовой вид. *Ammonites devauxi* Grossouvre, 1891, табл. 9, фиг. 6. Келловей. Франция, Монтрейль-Беллей.

Диагноз. Раковины мелкие, до 50 мм, с шаровидным фрагмоконом и эксцентрически развивающейся жилой камерой, сечение которой сужается. Жилая камера занимает около 3/4 оборота и заканчивается приустьевым валиком, спереди от которого расположен козырек, указываются небольшие боковые ушки. На жилой камере могут присутствовать следы старых устьев в виде пережимов. Скульптура состоит из радиальных нерегулярно ветвящихся ребер.

Состав. Более семи видов: *B. devauxi* (Grossouvre), *B. bombur* (Oppel), *B. uhligi* (Popovici-Hatzeg), *B. globuliforme* (Gemmelaro), *B. phrahequensis* (Petitclerc), *B. weigelti* (Kuhn), *B. acropus* (Petitclerc).

Сравнение. От *M. Kheraiceras* отличается малыми размерами, короткой жилой камерой, сохраняющейся до конца жилой камеры ребристостью; от *Sphaeroptychius* – более вздутым шаровидным фрагмоконом, с узким пупком, резче выраженным эксцентриситетом завивания по умбональному краю.

Геологическое и географическое распространение. См. распространение рода.

Bomburites sp.

Табл. 59, фиг. 3

Форма. Раковина до 50 мм, с шарообразным фрагмоконом, эксцентрически развивающейся по умбональному краю жилой камерой.

Размеры, мм, и их соотношения:

№ экз.	Д	В	Ш	Ду	В/Д	Ш/Д	Ду/Д
175/5	41	15	18	9	0,365	0,44	0,22
	35	17	23	7	0,485	0,66	0,2

Скульптура. Фрагмокон и жилая камера покрыты ребрами, ветвящимися на два или три в наружной части боков. Ребра радиальные на фрагмоконе, наклонены вперед на жилой камере.

Сравнение и замечания. Формой раковины и размерами описываемый экземпляр сходен с *B. suevicus* (Roemer), отличаясь от

него более тонкой и густой ребристостью. Он также сходен с *Bomburites microstoma microstoma* Westermann (1958, табл. 22, фиг. 3), по *Ammonites microstoma* d'Orbigny (табл. 129, фиг. 3, 4). Оригинал последнего утерян, и систематическое и стратиграфическое положение оценивается по-разному – от нижнего бата до нижнего келловея включительно [43, с. 108; 91, с. 291].

М а т е р и а л . Большой Балхан, район кяриза Екерем, кошаджубинская свита – 1 экз.

СПИСОК ЛИТЕРАТУРЫ

1. Азарян Н. Р. Юрские аммониты Армянской ССР. — Ереван: Изд-во АН Арм. ССР, 1982. — 191 с.
2. Аманниязов К. Н. О стратиграфическом положении аммонита *Perisphinctes bucharicus* Nik. // Изв. АН Туркм. ССР. Сер. геол. наук. — 1967. — № 3. — с. 107—112.
3. Аманниязов К. Н. Верхнеюрские аммониты Кугитанга // Палеонтологическое обоснование опорных разрезов юрской системы Узбекистана и сопредельных районов. — Л.: Недра, 1971. — С. 41—63.
4. Аманниязов К. Н. Паркинсонии Средней Азии. — Ашхабад: Изд. Туркменск. Гос. ун-та, 1972. — 34 с.
5. Безносоев Н. В. Юрские аммониты Северного Кавказа и Крыма. *Phylloceratina* и *Lytoceratina*. — Л.: Гостоптехиздат, 1958. — 118 с.
6. Безносоев Н. В. Байосские и батские отложения Северного Кавказа // Труды ВНИИГаза. — Вып. 28/36. — М.: Недра, 1967. — 179 с.
7. Безносоев Н. В. К систематике перисфинктид (*Ammonoidea*) // Палеонтолог. журн. — 1982. — № 1. С. 54—64.
8. Безносоев Н. В., Кутузова В. В. *Parkinsonia* (*Oraniceras*) из нижнего бата Средней Азии и Северного Кавказа // Труды ВНИГНИ. — Вып. 171. — М., 1975. — С. 96—104.
9. Безносоев Н. В., Кутузова В. В. Систематика паркинсонид (*Ammonitida*) // Палеонтолог. журн. — 1982. — № 2. — С. 41—52.
10. Безносоев Н. В., Кутузова В. В. Систематика среднеюрских гетероморфных аммонитов // Палеонтолог. журн. — 1990. — № 4. — С. 23—60.
11. Безносоев Н. В., Михайлова И. А. Систематика среднеюрских лептосфинктин и зигзагидератин // Палеонтолог. журн. — 1981. — № 3. — С. 47—60.
12. Борисяк А. А. Фауна донецкой юры. I, *Serphalopoda* // Труды Геол. ком. Нов. сер. — 1908. — Вып. 37. — 94 с.
13. Гасанов Т. А. Фауна и стратиграфия нижне- и среднеюрских отложений северо-восточной части Малого Кавказа (АзССР). Баку: Изд. АН АзССР, 1961. — 131 с.
14. Гасанов Т. А., Абдулкасумзаде М. Р. Верхнебатские аммониты района сел. Куши и Човдар АзССР (Малый Кавказ) // Труды ИГ АН АзССР. — Т. XIX. — 1958. — С. 72—94.
15. Затворницкий А. Я. Среднеюрские глины по р. Кубани // Изв. Геол. ком. — 1914. — Т. 33. — № 250. — С. 525—558.
16. Зоны юрской системы в СССР / Под ред. Г. Я. Крымгольца // Труды Межведомств. стратиграф. комитета СССР. — 1982. — Т. 10. — 192 с.
17. Кахадзе И. Р., Зесашвили В. И. Новый среднеюрский род *Kubanoceras* gen. nov. // Сообщения АН Груз. ССР. — 1955. — Т. 16. — № 9. — С. 707—709.
18. Кахадзе И. Р., Зесашвили В. И. Байосская фауна долины реки Кубани и некоторых ее притоков // Труды ГИ АН Груз. ССР. Геол. сер. — 1956. — Т. 9(14). — Вып. 2. — 55 с.

19. Крымгольц Г. Я. Класс Cephalopoda. Головоногие // Атлас руководящих форм ископаемой фауны СССР. Т. 8. Нижний и средний отделы юрской системы. — М. — Л.: Госгеолгиздат, 1947. — С. 158—207.
20. Крымгольц Г. Я. Аммониты нижне- и среднеюрских отложений Северного Кавказа. — Л.: Изд-во ЛГУ, 1961. — 146 с.
21. Крымгольц Г. Я., Захаров Е. Ф. Батские аммониты Кугитанга // Палеонтологическое обоснование опорных разрезов юрской системы Узбекистана и сопредельных районов. — Л., 1971. — С. 4—40.
22. Крымгольц Г. Я., Станкевич Е. С. О некоторых батских аммонитах из Дагестана // Труды геол. музея им. А. П. Карпинского. — М. — Л., 1963. — С. 107—114.
23. Кутузова В. В. *Djanaliparkinsonia* — новый подрод рода *Parkinsonia* Bayle из верхнего байоса юго-западного Гиссара // Труды ВНИГНИ — Вып. 171. — М., 1975. — С. 89—92.
24. Кутузова В. В. Новый вид *Parkinsonia* (*Gonolites*) из нижнего бата Дагестана // Труды ВНИГНИ. — Вып. 171. — М., 1975. — С. 93—95.
25. Кутузова В. В. Байосские паркинсонии Туаркыра и Мангышлака // Труды ВНИГНИ. — 1976. — Вып. 171. — С. 82—88.
26. Мурашкин П. К. Среднеюрские аммониты северной оконечности Доно-Медведицкого вала // Бюлл. МОИП. Отд. геол. — Т. 8(38). — 1930. — С. 139—159.
27. Никанорова Л. А. Стратиграфия и некоторые виды аммонитов среднеюрских отложений Центрального Кавказа // Бюлл. МОИП. Отд. геол. — Т. 47. — Вып. 2. — 1972. — С. 58—69.
28. Никитин С. Н. Заметки о юре Гималаев и Средней Азии // Изв. Геол. ком. — 1889. — Т. 8. — № 3. — С. 53—86.
29. Николаева В. П. Систематическое положение и объем рода *Pseudocosmoceras* // Палеонтолог. журн. — 1967. — № 2. — С. 52—61.
30. Объяснительная записка к стратиграфической схеме юрских отложений западных районов Средней Азии / Под ред. Н. В. Безносова. — М.: Изд. ВНИГНИ, 1970. — 167 с.
31. Объяснительная записка к стратиграфической схеме юрских отложений Северного Кавказа // Под ред. Н. В. Безносова. — М.: Недра, 1973. — 194 с.
32. Основы палеонтологии. Моллюски — головоногие // Аммоноидеи. — М.: ГОНТИ, 1958. — 189 с.
33. Решения Межведомственного стратиграфического совещания по мезозою Средней Азии (Самарканд, 1971). — Л., 1977. — 47 с.
34. Решения 2-го Межведомственного регионального стратиграфического совещания по мезозою Кавказа (юра). — Л., 1984. — 47 с.
35. Ростовцев К. О. Аммоноидеи // Юрские отложения южной части Закавказья. — Л., 1985. — С. 117—168.
36. Сибирякова Л. В. Среднеюрская фауна моллюсков Большого Балхана и ее стратиграфическое значение // Проблемы нефтегазоносности Средней Азии. — Вып. 5. — Т. 47. — 1961. — 234 с.
37. Стефанов Ю. Батские аммониты от несемейство *Stephanocerataceae* в България // Труды върху геол. България. Сер. палеонтолог. — 1963. — Кн. 5. — С. 167—197.

38. Худяев И. Среднеюрские аммониты Ягмана // Труды Ленингр. об-ва естествоиспыт. — 1927. — Т. 57. — Вып. 4. — С. 133—151.
39. Церетели И. Д. Батские аммониты Грузии. — Тбилиси: Мецниереба, 1968. — 100 с.
40. Arkell W. J. The Jurassic system in Great Britain. — Oxford (Clarendon Press), 1933. — 681 p.
41. Arkell W. J. A classification of the Jurassic ammonites // Jour. Paleont. — 1950. — Vol. 24. — P. 354—364.
42. Arkell W. J. A Middle Bathonian ammonites fauna from Schwandorf, Northern Bavaria // Schweiz. Palaeont. Abh. — 1951. — P. 1—18.
43. Arkell W. J. A monograph of English Bathonian ammonites // Palaeont. Soc. London. — 1951—1958. — Vol. 104—112. — P. 1—264.
44. Arkell W. J. Jurassic ammonites from Jebel Tuwaiq, Central Arabia // Philosoph. Transactions of the Royal Society of London. — 1952. — No. 633. — Vol. 236. — P. 241—313.
45. Arkell W. J. Jurassic ammonitina // Treatise in invertebrate paleontology. P. 50. Mollusca. — New-York—Lawrence Kansas, 1957. — P. 232—344.
46. Arkell W. J., Lucas G. De couverte recente du genre *Ermoceras* Douville dans l'Atlas saharien occidental // C. R. Acad. Sci. Paris. — 1953. — Vol. 236. — P. 2257—2259.
47. Basse E. Cephalopodes // Traite de Paleontologie. — Paris, t. 2. — P. 522—688.
48. Boyle K. Fossiles principaux des terrains // Explication de la carte geologique de France. Vol. IV. Atlas. 1 pt. — Paris, 1878.
49. Bentz A. Die Garantienschichten von Norddeutschland mit besonderer Berücksichtigung des Brauneisenoolithorizontes von Harzburg // Jb. Preuss. geol. Landesanst. (1924). — 1925. — Bd. 45. — S. 119—193.
50. Bentz A. Ueber Strenoceraten und Garantianen, insbesondere aus dem Mittleren Dogger von Bielefeld // Jb. Preuss. Geol. Landesanst. — 1928. — Bd. 49. — S. 138—206.
51. Bigot A. Catalogue critique de la collection DeFrance, conservee au Musee d'Historie naturelle de Caen // Bull. Soc. Linn. Normandie. — 1905. — Ser. 5. — Vol. 8 (1904). — P. 251—273.
52. Bircher W. Studien im oberen Baiocien der Ostschweitz // Mitteil. aus dem Geol. Inst. der Eigen techn. Hochschule und der Univ. Zürich. Ser. C. — 1935. — N. 2. — Kairo. — 179 p.
53. Blake J. F. A monograph of the Fauna of the Cornbrash // Palaeontographical Society. — London, 1905—1907. — 106 p.
54. Buckman S. S. A dextriptive catalogue of some of the species of ammonites from the Inferior Oolite of Dorset // Quart. Journ. Geol. Soc. — 1881. — Vol. 37. — P. 588—608.
55. Buckman S. S. A monograph of the Inferior Oolite Ammonites of the British Islands // Palaeont. Soc. — 1887—1904. — Vol. 1. Atlas of 118 plates.
56. Buckman S. S. Jorkshire Type Ammonites — Type Ammonites. — London, Wesley et Son, 1909—1930, 1—7. — P. 1—790.
57. Coemme S. Note critique sur le genre *Cadomoceras* // Bull. Soc. Géol. France. Ser. 4, 1917, 17. — P. 44—54.
58. Cox L. R., Arkell W. J. A survey of the Mollusca of the Great Oolite Series // Paleont. Soc. — 1948—1950. — 105 p.

59. *Dietl G.* Die Ammonitengattung *Caumontisphinctes* aus dem südwestdeutschen Subfurcaten – Oolith (Bajocium, Mittl. Jura) // *Stuttgarter Beiträge zur Naturk. Ser. B.* – 1980. – N. 51. – 43 S.
60. *Dietl G.* Die Ammoniten-Gattung *Leptosphinctes* aus dem südwestdeutschen Subfurcaten – Oolith (Bajocium, Mittl. Jura) // *Stuttgarter Beiträge zur Naturk. Ser. B.* – 1980. – N 66. – 49 S.
61. *Dietl G.* Die Ammoniten-Gattung *Strenoceras* aus dem südwestdeutschen Subfurcaten – Oolith (Bajocium, Mittl. Jura) // *Stuttgarter Beiträge zur Naturk. Ser. B.* – 1983. – N. 90. – 37 S.
62. *Djanelidze A.* Les ammonites Jurassiques de Tsessi // *Bull. de l'Inst. Geol. George.* – 1932. – Vol. 1. – F. 1. – P. 1–34.
63. *Donovan D. R., Callomon J. H., Howarth K. M.* Classification of the Jurassic Ammonitina // *Syst. Assoc. Spec. Pap. London.* – 1980. – 18. – P. 101–155.
64. *Dorn P.* Die Ammonitenfauna der Parkinsonienschiechten bei Thalmässig (Frankenlab) // *Jb. Preuss. Geol. Landesanst.* – 1927. – Bd. 48. – S. 225–251.
65. *Douvillé H.* Note sur l'Ammonites pseudo-anceps et sur la forme de son ouverture // *Bull. Soc. Géol. France.* – Ser. 3. – 1880. – Vol. VIII. – N 4. – P. 239–246.
66. *Douvillé H.* Sur quelques fossiles de zone a Amm. Sowerbyi des environs de Toulon // *Bull. Soc. Geol. France.* – 1884. – T. 13. – P. 12–44.
67. *Douvillé R.* *Palaeontologia Universalis* // Laval, impr. Goupil, 1906–1910, cent. 2. 200 pl.
68. *Douvillé R.* Esquisse d'une classification phylogénique des Opeleides // *Bull. Soc. Geol. France.* – 1913. Ser. 4, t. XIII. P. 56–75.
69. *Douvillé R.* Etudes sur les Cosmoceratides // *Mém. pour. a l'explic. de la carte geol. detaille de la France*, 1915. – P. 1–69.
70. *Elmi S.* Considerations sur *Choffatia* (Subgrossouvria) (Ammonitina, Pseudoperisphinctinae) // *C. R. Somm. Séan. Soc. Geol. France.* – 1962. – N. 7. – P. 205–206.
71. *Elmi S., Mangold C.* Etude de quelques Oxycerites du Bathonien inferieur // *Trav. lab. Geol. Fac. Sci. Lion.* – 1966, n. s. – N 13. – P. 143–182.
72. *Enay R.* Note sur quelques Tutilidées (Ammonitina) du Bathonien // *Bull. Soc. Geol. France. Ser. 7.* – 1959. – T. 1. – P. 252–259.
73. *Favre F.* Contribution a l'etude des Opeleia du Jurassique Moyen // *Mém. Soc. Paleont. Suisse.* – 1912. – Vol. 38. – 33 p.
74. *Fernandez-Lopez S.* La biosone *Garantiana* (Bajociense, Jurassico medio) en la Region de Tiveus-sierra de Cadro (Tarragona) // *Estudios geol.* – 1982. – 38. – P. 75–33.
75. *Galacz A.* Bajocian and Bathonian Ammonites of Guenespuszta Bakony MTS; Hungary // *Geologica Hungarica. Ser. Palaeontologica.* – 1980, fasc. 39. – 151 p.
76. *Galacz A.* Ammonites and stratigraphy of the Bathonian at Ofalu, eastern Mecsek Mountains (S. Hungary) // *Annales Univ. Dci. Budapest. Sec. geol.* – 1982 (1984). – Vol. 24. – P. 167–187.
77. *Galacz A. A.* Bathonian (Middle Jurassic) ammonite fauna from Monte Kumeta (Western Sicily) // *Fragmenta Mineralogica et Palaeontologica.* – 1985. – 12. – P. 19–26.
78. *Gemmellaro G. G.* Sopra alcune fauna giuresi e liasiche della Sicilia // *Palermo*, 1872–1982. – 434 pp.

79. *Gregorio A.* Iconografia della fauna dell' orizzonte Alpiniano // Pedone fauriel ed. Palermo, 1886. — 19 p.
80. *Grossouvre A.* Etudes sur l'Etage Bathonien // Bull. Soc. Geol. France. — 1888. — 16. — P. 366—401.
81. *Grossouvre A.* Sur la variabilité de l'espece chez les ammonites // Six. Kongr. Assoc. Franc. Com. 1907, Vesul.
82. *Grossouvre A.* Bajocien — Bathonien dans la Nièvre // Bull. Soc. Geol. France. — 1918. — Ser. 4. — Vol. 18. — P. 337—459.
83. *Grossouvre M. A.* Notes sur le Bathonien moyen // Livr. Jub. Cent. Soc. Geol. France.—1930. — T. II. — P. 361—387.
84. *Hahn W.* Die OPELLIIDAE Bonarelli und Haploceratidae Zittel (Ammonoidea) des Bathoniums (Brauner Jura Epsilon) im südwestdeutschen Jura // Jb. Geol. Landesamt Baden-Württemberg. — 1968. — Bd. 10. — S. 7—72.
85. *Hahn W.* Die Perisphinctidae Steinmann (Ammonoidea) des Bathoniums (Brauner Jura Epsilon) im südwestdeutschen Jura // Jb. Geol. Landesamt Baden-Württemberg. — 1969. — Bd. 11. — S. 29—86.
86. *Hahn W.* Die Parkinsoniidae S. Buckman und Morphoceratidae Hyatt (Ammonoidea) des Bathoniums (Brauner Jura Epsilon) im südwestdeutschen Jura // Jb. Geol. Landesamt Baden-Württemberg. — 1970. — 12. — P. 7—62.
87. *Hahn W.* Die Tullitidae S. Buckman, Sphaeroceras S. Buckman und Clydoniceratidae S. Buckman (Ammonoidea) des Bathoniums (Brauner Jura Epsilon) im südwestdeutschen Jura // Jb. Geol. Landesamt Baden-Württemberg. — 1971. — Bd. 13. — S. 55—122.
88. *Hyatt A.* Cephalopoda // Text book of Palaeontology, 1-st English ed. by Eastman. — 1900. — P. 502—592.
89. *Imlay R. W.* Late Bajocian Ammonites from the Cook Intel region, Alaska // Geol. Surv., Prof. Pap. — 1962. — 418—A. — 14 p.
90. *Imlay R. W.* Middle Bajocian Ammonites from the Cook Intel region, Alaska // Geol. Surv., Prof. Pap. — 1964. — 418—B. — 59 p.
91. *Krystyn L.* Die Oberbajocium und Bathonium — Ammoniten des Klaus-Schichten des Steinbruches Neumühle bei Wien (Österreich) // Ann. Naturhist. Mus. Wien. — 1972. — Bd. 76. — S. 195—310.
92. *Kudernatsch J.* Die Ammonites von Swinitza // Abh. Geol. Reichsanst., Wien. — 1852. — Bd. 1. — Abt. 2. — S. 1—16.
93. *Lee G. W.* Contribution a l'etude stratigraphique et paleontologique de la chaine de la Faucille // Mem. Soc. Paleont. Suisse. 1905. — Vol. 32. — 91 p.
94. *Lissajous M.* Etude sur la faune du Bathonien des environs de Macon // Trav. lab. geol. de Lyon. — 1923. — Fasc. 5. — Mem. 3. — 273 p.
95. *Loczy L.* Monographie der Villanyer Callovien Ammoniten // Geol. Hungar. — 1915. — Bd. 1. — H. 3, 4. S. 255—502.
96. *Mangold C.* Les Perisphinctidae (Ammonitina) du Jura meridional au Bathonien et au Callovien // Doc. Lab. Geol. Fac. Sci. Lyon. — 1970. — Fasc. 2. — 246 p.
97. *Mascke E.* Die Stephanoceras — Verwandten in den Coronatenschichten von Norddeutschland // Göttingen, 1907. — 38 S.

98. *Maubeuge P. L.* Les Ammonites du Bajocien de la region frontiere Franco-Belge // Mem. Inst. Sci. natur. Belgique, 1951. — Ser. 2. — Fasc. 42. — P. 1—104.

99. *Maubeuge P. L.* Les Ammonites saleniennes, bajociennes et bathoniennes du Jura suisse septentrional // Mém. Soc. Suisse Paleont. — 1955. — T. 71. — P. 1—48.

100. *Meek F. B.* A report on the invertebrate Cretaceous and Tertiary fossils of the upper Missouri Country // U. S. Geol. Surv., Terr. — Vol. IX (Hayden). — 1876. — P. lxxiv, 629.

101. *Morton N.* Some Bajocian ammonites from Western Scotland // Paleontology, London. — 14. — 2. — 1971. — P. 266—293.

102. *Munier-Chalmas E.* Sur la possibilité d'admettre un dimorphisme sexuel chez les Ammonitides // Soc. Géol. France, C. r. — 1892. — ser. 3. — T. 20. — P. 170—174.

103. *Nicolesco C.* Sur le genre Parkinsonia (caracteres génériques, affinités, espèces) // C. R. Acad. Sci. Paris. — 1917. — Vol. CLXVII. — P. 730—733.

104. *Nicolesco C.* Sur un nouveau genre Le Perisphinctes de l'Oolithe ferrugineuse de Bayeux (Calvados) // Bull. Soc. Geol. France. — 1917. — Bd. XVI. — 153 p.

105. *Nicolesco C. P.* Etude monographique du genre Parkinsonia // Mem. Soc. Geol. France, nouv. ser. — 1927—1928. — T. XV. — N 9. — P. 1—84.

106. *Nicolesco C. P.* Etude monographique du genre Bigotites // Mem. Soc. Géol. France, nouv. ser. — 1931. — N 17. — 52 p.

107. *Oppel A.* Die Juraformation Englands, Frankreichs und südwestlichen Deutschlands // Jh. Ver. vaterl. Naturkunde Württemberg. — 1856—1858. — Bd. 12—14. — 857 S.

108. *Oppel A.* Ueber Jurassische Cephalopoden // Paläont. Mitt. Mus. Bayer. Staats. — 1862—1865. — S. 127—304.

109. *Orbigny A.* Paléontologie française. Terrain jurassiques. Vol. 1. Cephalopodes. — Paris. — 1842—1851. — 642 p.

110. *Papp K.* Beschreibung der während der Forschungsreisen M. v. Dechys im Kaukasus gesammelten Versteinerungen. — Dechy, Kaukasus, 1907. — Bd. 3. — P. 141—173.

111. *Parona C. F.* Nuove osservazioni sopra la fauna e l'età degli strati con Posidonomya alpina nei Sette Comuni // Palaeont. Italica. — 1896. — Vol. 1. P. 1—42.

112. *Parona C. F., Bonarelli G.* Sur la fauna du Callovien inferieur (Chanasiens) de Savoie // Mem. Acad. Sci. Savoie. — 1897. — Vol. VI. — P. 35—211.

113. *Parsons C. F.* Ammonites from the Doulting Conglomerate Bed (Upper Bajocian, Jurassic) of Somerset // Palaeontology. — 1975. — 18. — N 1. — P. 191—205.

114. *Pavia G.* Ammoniti del Bajociano superiore di Digne (Francia SE dip Bases—Alpes) // Boll. Soc. Pal. It. (1971). — 1972. — Vol. 10. — N 2. — P. 75—142.

115. *Pavia G.* Ammoniti e biostratigrafia del Bajociano inferiore di Digne (Francia SE), dip. Alpes — Haute — Provence) // Mem. Museo Reg. Sc. Nat. Torino, 1983. — 257 p.

116. *Pavia G.* New data on Orthogorantiana (Torrensia) Sturani, 1971 (Ammonitina, Stephanocerataceae) in the European Upper Bajocian // Boll. Mus. Reg. Sci. Nat. Torino. — 1983. — Vol. 1. — N 2. — P. 201—214.

117. *Popovici-Hatzeg V.* Les Céphalopodes du jurassique moyen du Mont Strunga (Massif de Bucegi, Roumanie) // Mém. Soc. Geol. France. Paleontologie. — 1905. — Mem. 35. — Fasc 3. — P. 1—28.

118. *Potonie R.* Die ammonitischen Nebenformen des Dogger (Apsorroceras, Spiroceras, Parapatoceras) // Jb. Preuss. Geol. Landesanst. — 1929. — Bd. 50. — P. 216—261.

119. *Quenstedt F. A.* Die Cephalopoden // Petrefaktenkunde Deutschlands. — 1849. — 1. Tübingen. — 580 s.
120. *Quenstedt F. A.* Der Jura // Tübingen. — 1858. — 842 S.
121. *Quenstedt F. A.* Die Ammoniten des Schwabischen Jura. Bd. 11. Der Braune Jura. Stuttgart, 1886–1887. — S. 441–815.
122. *Renz C.* Der Jura von Daghestan // N. Jb. für Miner. — 1904. — Bd. 11. — S. 71–85.
123. *Renz C.* Zum Geologie des östlichen Kaukasus // N. Jb. Min. Geol. — 1914, Beil. — Bd. — XXXVI. — S. 651–703.
124. *Riche A., Roman F.* La montagne de Crussol. // Trav. Lab. Geol. Univ. Lyon. — 1921. — Fasc. 1. — 196 p.
125. *Rieber H.* Ein *Clydoniceras discus* (Sow.) aus der "Fuscus — Bank" der Südwestalb // N. Jb. Geol. Paläont., Monatshefte. — 1961. — H. 1–12. — S. 94–97.
126. *Roche P.* Aalenien et Bajocien du Maconnais // Trav. Lab. Geol. Univ. Lyon. — 1939. — Fasc. 35. — Mem. 29. — 355 p.
127. *Roemer J.* Die Fauna der *Aspidoides* — Schichten von Lechstedt bei Hildesheim // Göttingen. — 1911. — 64 S.
128. *Rollier L.* Les facies du dogger ou oolithique dans le Jura et les régions voisins. Zürich, George et CIL., 1911. — 352 p.
129. *Roman F.* Etude sur le Callovien de la Vallée du Rhône. Part. I. Le callovien de Naves // Trav. Lab. Geol. Faculté sciences de Lyon. — 1924. — Fasc. VI. — Mem. 5. — 128 p.
130. *Roman F.* Note sur la Bathonien inférieur du Djebel-es-Sekika près Nemous (depart. d'Oran) // Bull. Soc. Géol. France. — Sér. 5. — 1933. — T. 3. — P. 57–73.
131. *Roman F.* Les ammonites jurassiques et crétacées // Paris, Masson, 1938. — 554 p.
132. *Roman F., Peturaud Ch.* Etude sur la Faune du Bajocien supérieur du Mont d'Or Lyonnais (Ciret). I. Céphalopodes // Trav. Lab. Géol. Faculté sciences Lyon. — 1927. — Fasc. XI. — Mem. 9–55 p.
133. *Sandoval J.* Middle jurassic Haploceratidae (Ammonitina) from the subbetic zone (south Spain) // Geobios. — 1986. — 19. — N 4. — P. 435–463.
134. *Scheurlen H.* Strigoceras und Phlycticeras // Palaeont. — 1928. — Bd. 70. — P. 1–40.
135. *Schindewolf O. H.* Entwurf einer Systematik der Perisphincten // N. Jb. Min. Geol. und Pal., 1925, Beil. — Bd. 52. — S. 309–343.
136. *Schlippe A. O.* Die Fauna des Bathonien im oberrheinischen Tieflande // Abh. Geol. Spezialk. Els.-Lothar. — 1888. — IV. — H. 4. — S. 1–264.
137. *Schloenbach U.* Beiträge zur Paläontologie der Jura- und Kreide-Formation im nordwestlichen Deutschland // Paleontographica. — 1865. — Bd. 13. — S. 147–199.
138. *Schmidtil E., Krumbeck L.* Über die Parkinsonien-Schichten Nordbayerns mit besonderer Berücksichtigung der Parkinsonien-Schichten Nordwestdeutschlands // Jb. Preuss. Geol. Landesanst. — 1931. — Bd. 51. — S. 819–894.
139. *Seyed-Emami K., Schairer G., Bolourchi M. H.* Ammoniten aus der unteren Dali-chy-Formation (oberes Bajocium bis unteres Bathonium) der Umgebung von Abe-Garm (Avaj, NW-Zentraliran) // Zitteliana. — 1985. — N 12. München. — S. 57–74.
140. *Siemiradzki J.* Monographische Beschreibung der Ammonitengattung *Perisphinctes* // Palaeontogr. — 1898–1899. — Vol. 45. — S. 69–296 (1898). — S. 297–352 (1899).

141. *Sowerby J.* The Mineral Conchology of Great Britain. London, 1812–1815 (vol. 1); 1815–1818 (vol. 2); 1818–1821 (vol. 3); 1821–1823 (vol. 4).
142. *Spath L. F.* On the Contemporaneity of Certain Ammonite Beds in England and France // *Geol. Mg.* – 1931. – Vol. LXVIII. – P. 182–186.
143. *Stephanov J.* The Bathonian in the section of the Belogradchik–Gara Oreshets road (North–West Bulgaria) // *Jzv. Geol. Inst. Bolg. Acad. Nauk.* – 1961. – 9. – P. 337–369.
144. *Stephanov J.* The Middle Jurassic ammonite genus *Oecotraustes* Waagen // *Trav. Geol. Bulg., Acad. Sci. Bulg. Ser. Paleont.* – 1966. – 8. – P. 29–69.
145. *Stephanov J.* Monograph on the Bathonian ammonite genus *Siemiradkia* Hyatt, 1900 (Nomenclature, taxonomy and phylogeny) // *Bull. Geol. Inst. Ser. Paleont.* – 1972. – Vol. 21. – P. 5–82.
146. *Sturani C.* La successione delle Fauna ad Ammoniti nella Formazioni mediogjurassiche delle Prealpi Venete Occidentali // *Mem. Ist. Geol. Min. Univ. Padova.* – 1964. – Vol. XXIV. – 64 p.
147. *Sturani C.* Ammoniti mediogjurassiche del Veneto. Faune del Baiociano terminale (zone a Garantiana e a Parkinsoni) // *Mem. Ist. Geol. Min. Univ. Padova.* – 1964. – Vol. 24. – 43p.
148. *Sturani C.* Ammonites and stratigraphy of the Bathonian in the Digne–Barreme area (South–Eastern France, dept. Bases–Alpes) // *Boll. Soc. Paleont. Ital.* (1966). – 1967. – Vol. 5. – N 1. – P. 3–57.
149. *Sturani C.* Ammonites and stratigraphy of the "Posidonia alpina" beds of the Venetian Alps (Middle Jurassic, mainly Bajocian) // *Mem. Ist. Geol. Min. Padova* (1971). – 1973. – Vol. 28. – 190 p.
150. *Thalmann H.* Die Gattung *Morphoceras* H. Douville und ihre Vertreter aus dem Bathonien von Stoffelberg bei Engelberg // *Mitt. Naturf. Ges. Bern.* – 1925. – S. 20–28.
151. *Tornquist A.* Der Dogger am Espinazito–Pass, nebst einer Zusammenstellung der jetzigen Kenntnisse von der argentinischen Juraformation // *Paläont. Abh. Jena.* – 1898. – Bd. 8. – H. 2. – P. 135–204.
152. *Torrens H. S.* New names for two microconch ammonite genera from the Middle Bathonian (Jurassic) of Europe and their macroconch counter parts // *Boll. Soc. Paleont. Ital.* (1970) – 1971. – Vol. 9. – N 2. – P. 136–148.
153. *Torrens H. S.* Ammonites and stratigraphy of the Bathonian rocks in the Digne–Barreme area (South–Eastern France, Dept. Alpes de Haute Provence) // *Boll. Soc. Paleont. Ital.* – 1987. – 26. – N 1–2. – P. 93–108.
154. *Trauth F.* Ueber eine Doggerfauna aus Lainzer Tiergarten bei Wien // *Ahn. Naturhist. Mus. Wien.* – 1923. – Bd. 36. – S. 167–250.
155. *Trauth F.* Ueber die Stellung der "pienischen Klippenzone" und die Entwicklung des Jura in den niederösterreichischen Voralpen // *Mitt. Geol. Gesell. Wien* (1921). – 1922. – 14. – S. 105–265.
156. *Waagen W.* Die Formenreihe des *Ammonites subradiatus* // *Versuch einer Paläontologischen Monographie.* München, 1869. – S. 180–256.
157. *Waagen W.* Jurassic fauna of Rutch, the Cephalopoda // *Palaeontologia Indica.* – 1873–1875. – Ser. 9. – Vol. 1. – 243 p.
158. *Wendt J.* Stratigraphisch–Paläontologische Untersuchungen im Dogger Westsiziliens // *Boll. Soc. Paleont. Ital.* (1963). – 1964. – 2. – S. 57–144.

159. *Wepfer E.* Die Gattung *Oppelia* im süddeutschen Jura // *Palaeontographica*. — 1911. — Bd. 59. — S. 1—68.
160. *Westermann G.* Monographie der Bajocien—Gattungen *Sphaeroceras* und *Chondroceras* (Ammonoidea) // *Beih. Geol. Jb.* — 1956. — H. 24. — 125 S.
161. *Westermann G.* Phylogenie der *Stephanocerataceae* und *Perisphinctaceae* der Dogger // *N. Jb. Geol., Paläont. Abh.* — 1956. — 103. — 3. — S. 233—279.
162. *Westermann G.* Ammoniten—Fauna und Stratigraphie des Bathonien NW Deutschlands // *Beih. Geol. Jb.* — 1958. — H. 32. — 103 S.
163. *Westermann G.* The Upper Bajocian and Lower Bathonian (Jurassic) Ammonite faunas of Oaxaca Mexico and West-tet-hyan Affinities // *Paleontologia Mexicana*. — 1981. — N 46. — 63.
164. *Wetzel W.* Faunistische und stratigraphische Untersuchung der Parkinsoniensichten des Teutoburger Waldes bei Bielefeld // *Palaeontographica*. — 1911. — Bd. 58. — S. 139—278.
165. *Wetzel W.* Über einige stammgeschichtlich interessante Ammonitenarten des obersten Bajocien // *N. Jb. Min. Geol.* — 1936. — Beil. — Bd. — 75. — S. 527—542.
166. *Wetzel W.* Studien zur Paläontologie des nordwesteuropäischen Bathonien // *Palaeontographica*. — 1937. — Bd. 87. — S. 77—157.
167. *Wetzel W.* Fauna und Stratigraphie der Württembergica — Schichten insbesondere Norddeutschlands // *Palaeontographica*. — 1950. — Abt. A. — Bd. 99. — S. 63—120.
168. *Wetzel W.* Die Bielefelder Garantianen // *Geol. Jb.* 1954. — Bd. 68. — S. 547—586.
169. *Zeiss A.* *Hecticoceratinae* (Ammonoidea jurassica) // *Fossilium catalogus: Animalia*, 96. Gravenhage. — 1959. — 143 S.

ПАЛЕОНТОЛОГИЧЕСКИЕ ТАБЛИЦЫ И ОБЪЯСНЕНИЯ К НИМ

На всех таблицах, где не указано увеличение, изображения даны в натуральную величину*.

ТАБЛИЦА 1

- Фиг. 1а, 1б. *Clydoniceras (Clydoniceras) discus* (Sowerby), № 165, хр. Байсунтау, ущелье Дербент, кровля нижней байсунской подсвиты, верхний бат, зона discus.
- Фиг. 2, 3. *Clydoniceras (Delecticeras) delectum* Arkell, 2 — № 8021, урочище Карангакуль; 3 — № 9242, урочище Савакбулак; Юго-Западный Гиссар, байсунская свита, верхний бат, зона discus.
- Фиг. 4—6. *Strigoceras (Strigoceras) truelei* (d'Orbigny), 4 — № 1985, 5 — № 7393, 6 — № 1983, хр. Большой Балхан, южнее колодцев Порсайман, низы чалойской свиты, верхний байос, зона subfurcatum.
- Фиг. 7а, 7б. *Strigoceras (Strigoceras) paronai* (Trauth), № 7391, хр. Большой Балхан, южнее колодцев Шорли, низы чалойской свиты, верхний байос, зона subfurcatum.
- Фиг. 8, 9. *Strigoceras (Cadomoceras) cadomense* (Defrance), 8а, 8б — № 7287, хр. Большой Балхан, окрестности колодцев Караиман, низы чалойской свиты, верхний байос, зона subfurcatum; 9 — № 7283, Дагестан, сел. Ирганай, кумужская свита, верхний байос, зона subfurcatum.
- Фиг. 10а, 10б. *Lissoceras (Lissoceras) psilodiscus* (Schloenbach), № 9244, Дагестан, сел. Ахвахштаб, верхи средней цудахарской подсвиты, нижний бат, зона zigzag.
- Фиг. 11, 13. *Lissoceras (Lissoceras) oolithicum* (d'Orbigny), 11 — № 7404, 13 — № 6402, хр. Большой Балхан, окрестности колодцев Порсайман и Шорли, низы чалойской свиты, верхний байос, зона subfurcatum.
- Фиг. 12а, 12б. *Lissoceras (Lissoceras) haugi* Sturani, 1269, хр. Большой Балхан, кяриз Меулам, ташарватская свита, верхний байос, зона parkinsoni.
- Фиг. 14а, 14б. *Lissoceras (Lissoceras) meletense* (Parona), № 5320, хр. Большой Балхан, южнее колодцев Шорли, низы чалойской свиты, верхний байос, зона subfurcatum.

ТАБЛИЦА 2

- Фиг. 1, 2. *Lissoceras (Lissoceras) vouttense* (Oppel), 1а, 1б — № 7012, 2а, 2б — № 7011, хр. Большой Балхан, ущелье Ташлыдере, средняя часть кошаджубинской свиты, верхний бат, зона discus.
- Фиг. 3, 4. *Lissoceras (Microlissoceras) pusillum* Sturani, 3а, 3б — № 7453, 4 — № 7454, хр. Большой Балхан, южнее колодцев Караиман, чалойская свита, верхний байос, зона subfurcatum.
- Фиг. 5. *Lissoceras (Microlissoceras) minimum* Djanelidze, № 9263, хр. Большой Балхан, ущелье Ташлыдере, средняя часть кошаджубинской свиты, верхний бат, зона discus.
х 1,5
- Фиг. 6а, 6б. *Oppelia (Oppelia) pleurifer* (Buckman), № 2030, хр. Большой Балхан, окрестности колодцев Чалой, чалойская свита, верхний байос, зона subfurcatum.

*По техническим причинам при печати оригиналы фототаблиц уменьшены на 1/5.

- Фиг. 7а, 7б. *Oppelia (Oppelia) flexa* (Buckman), № 7525, Дагестан, сел. Ирганай, осыпь под базальной плитой цудахарской свиты, верхний байос, зона subfurcatum.
- Фиг. 8, 9. *Oppelia (Oppelia) subradiata* (Sowerby), 8 — № 4901, Дагестан, сел. Ирганай, осыпь под базальной плитой цудахарской свиты, верхний байос, зона subfurcatum; 9а, 9б — № 2028, хр. Большой Балхан, окрестности колодца Чалой, чалойская свита, верхний байос, зона subfurcatum.
- Фиг. 10а, 10б. *Oppelia (Oecotraustes) westermanni* Stepanov, № 7519, хр. Большой Балхан, окрестности колодца Чалой, чалойская свита, верхний байос, зона subfurcatum.
- Фиг. 11, 12. *Oppelia (Oecotraustes) genicularis* Waagen, 11 — № 7513, Дагестан, сел. Ирганай, нижняя часть цудахарской свиты, верхний байос, зона subfurcatum; 12а, 12б — № 7520, хр. Большой Балхан, чалойская свита, верхний байос, зона subfurcatum.
- Фиг. 13—15. *Oppelia (Oecotraustes) gratus* Mitter sp. nov., Дагестан, сел. Ирганай, байос, зона humphriesianum — зона subfurcatum, 13 — № 7521, голотип; 14 — № 7522, осыпь под базальной плитой цудахарской свиты; 15а, 15б — № 7526, кумухская свита.
- Фиг. 16, 17. *Oppelia (Oecotraustes) rectus* Mitter sp. nov., 16а, 16б — № 2186, голотип; 17а, 17б — № 7524, Дагестан, сел. Ирганай, базальная плита цудахарской свиты, верхний байос, зона subfurcatum.
- Фиг. 18. *Oppelia (Oecotraustes) aff. castiger* Buckman, № 7515, хр. Большой Балхан, окрестности колодцев Чалой, чалойская свита, верхний байос, зона subfurcatum.
- Фиг. 19. *Oppelia (Oecotraustes) bomfordi* Arkell, № 7512, хр. Большой Балхан, гора Кошаджуба, нижняя меуламская подсвита, нижний бат, зона zigzag.

ТАБЛИЦА 3

- Фиг. 1а, 1б. *Oxycerites (Oxycerites) plicatella* (Gemellaro), № 1571, Дагестан, сел. Цудахар, средняя цудахарская подсвита, пограничные слои байоса и бата.
- Фиг. 2а, 2б. *Oxycerites (Oxycerites) yeovilensis* (Rollier), № 7479, хр. Большой Балхан, тропа Ишекиол, верхняя меуламская подсвита, нижний бат, зона zigzag.
- Фиг. 3, 4. *Oxycerites (Oxycerites) limosus* (Buckman), 3а, 3б — № 1960, 4а, 4б — № 2557, хр. Большой Балхан, тропа Ишекиол, верхняя меуламская подсвита, нижний бат, зона zigzag.
- Фиг. 5а, 5б. *Oxycerites (Oxycerites) seebachi* (Wetzel), № 1356, Дагестан, сел. Дагуна, верхняя цудахарская подсвита, нижний бат, зона zigzag.
- Фиг. 6а, 6б. *Oxycerites (Oxycerites) oculus* (Buckman), № 3191, хр. Кугитангтау, водораздел Вандобского и Шержантского саев, кровля тангидувальской свиты, верхний бат, зона retrocostatum.
- Фиг. 7, 8. *Oxycerites (Oxycerites) tenuis* Mitter sp. nov., 7а, 7б — № 3192, хр. Кугитангтау, водораздел Вандобского и Шержантского саев, кровля тангидувальской свиты, бат, зона subcontractus — зона retrocostatum, 8а, 8б — № 3112, голотип, хр. Кугитангтау, сай Вандоб, кровля тангидувальской свиты, зона subcontractus — зона retrocostatum.
- Фиг. 9. *Oxycerites (Oxycerites) aff. tenuis* Mitter sp. nov., № 6892, хр. Большой Балхан, ущелье Ташлыдере, нижняя часть кошаджубинской свиты, верхний бат, зона discus.

ТАБЛИЦА 4

- Фиг. 1—3. *Oxycerites (Paroecotraustes) subfuscus* (Waagen), 1a, 1б — № 2556, 2a, 2б — № 2551, 3 — № 2564, хр. Большой Балхан, тропа Ишекиол, верхняя меуламская подсвита, нижний бат, зона zigzag.
- Фиг. 4a, 4б. *Oxycerites (Paroecotraustes) formosus* Arkell, № 7511, Юго-Западный Гиссар, урочище Тангидувал, верхи тангидувальской свиты, пограничные слои среднего—верхнего бата.
- Фиг. 5a, 5б. *Oxycerites (Paroecotraustes) splendens* (Arkell), № 3193, хр. Кугитангтау, сай Вандоб, кровля тангидувальской свиты, верхний бат.
- Фиг. 6a, 6б. *Oxycerites (Paroecotraustes) taubeugei* (Stephanov), № 1206, хр. Кугитангтау, родник Чашмабулак, низы нижней байсунской подсвиты, верхний бат, зона retrocostatum.
- Фиг. 7, 9. *Prohectioceras haugi* (Popovici—Hatzeg), 7a, 7б — № 3281, 9a, 9б — № 8032, Юго-Западный Гиссар, урочище Тангидувал, кровля тангидувальской свиты, верхний бат, зона retrocostatum.
- Фиг. 8a, 8б. *Oxycerites (Paroecotraustes) pygmaeus* (Arkell), № 3097, Юго-Западный Гиссар, урочище Тангидувал, средняя часть тангидувальской свиты, нижний бат, зона zigzag.
- Фиг. 10a, 10б. *Oxycerites (Paroecotraustes) subtenuis* Mitta sp. nov., № 3162, голотип, хр. Кугитангтау, урочище Сарыкамыш, кровля тангидувальской свиты, верхний бат, зона retrocostatum.
- Фиг. 11—14. *Sphaeroceras brongniarti* (Sowerby), 11a, 11б — № 7257, 12 — № 7273, Дагестан, сел. Ирганай, осыпь пограничных слоев кумухской и цудахарской свит; 13a, 13б — № 7278, хр. Большой Балхан, южнее колодцев Шорли, 14a, 14б — № 2680, хр. Большой Балхан, колодцы Чалой, основание чалойской свиты, верхний байос, зона subfurcatum.
- Фиг. 15. *Cadomites (Cadomites) tasharvaticus* Vesnosov sp. nov., № 1968, Большой Балхан, сел. Ташарват, ташарватская свита, верхний байос, зона parkinsoni, голотип.

ТАБЛИЦА 5

- Фиг. 1. *Cadomites (Cadomites) lissajousi* Roche, № 7499, Дагестан, сел. Дагуна, основание цудахарской свиты, верхний байос, зона subfurcatum.
- Фиг. 2. *Cadomites (Cadomites) daubeni* (Gemellaro), № 9233, Дагестан, сел. Дагуна, средняя цудахарская подсвита.
- Фиг. 3a, 3б. *Cadomites (Cadomites) zlatarskii* Stephanov, № 3189, хр. Кугитангтау, сай Вандоб, кровля тангидувальской свиты, пограничные слои среднего—верхнего бата.

ТАБЛИЦА 6

- Фиг. 1a, 1б. *Cadomites (Cadomites) deslongchampsii* (Defrance), № 7505, Дагестан, сел. Дагуна, средняя часть средней цудахарской подсвиты, верхний байос, зона parkinsoni.

- Фиг. 2а, 2б. *Cadomites (Polyplectites) alievi* Kakhadze (in Rostovzev), № 7492, Дагестан, сел. Датуна, средняя цудахарская подсвита, пограничные слои байоса и бата.
- Фиг. 3а, 3б. *Garantiana asarjani* Besnosov, № 2447, Дагестан, сел. Ирганай, основание цудахарской свиты, верхний байос, зона *subfurcatum*, голотип.
- Фиг. 4. *Cadomites (Cadomites) cf. orbignyi* Grossouvre, № 7489, хр. Кутитангтау, сай Вандоб, кровля тангидувальской свиты, пограничные слои среднего и верхнего бата.
- Фиг. 5а, 5б. *Orthogarantiana (Orthogarantiana) haugi* Pavia, № 1822, р. Кубань, гора Джангура, верхняя джангурская подсвита, зона *subfurcatum*.

ТАБЛИЦА 7

- Фиг. 1, 2. *Orthogarantiana (Orthogarantiana) baculata* (Quenstedt), 1а, 1б — № 3949, Большой Балхан, южнее колодцев Шорли, основание чалойской свиты, верхний байос, зона *subfurcatum*; 2 — № 1431, р. Кубань, гора Джангура, верхняя джангурская подсвита, верхний байос, зона *subfurcatum*.
- Фиг. 3, 5. *Orthogarantiana (Orthogarantiana) densicostata* (Quenstedt), 3 — № 9232, Большой Балхан, южнее колодцев Шорли, основание чалойской свиты, верхний байос, зона *subfurcatum*; 5а, 5б — № 1413, р. Кубань, гора Джангура, верхняя джангурская подсвита, верхний байос, зона *subfurcatum*.
- Фиг. 4а, 4б. *Orthogarantiana (Orthogarantiana) conjugata* (Quenstedt), № 1430, р. Кубань, гора Джангура, верхняя джангурская подсвита, верхний байос, зона *subfurcatum*.
- Фиг. 6а, 6б. *Praeparkinsonia cf. subbaculata* Schmidtil et Krumbek, № 1999, Большой Балхан, севернее колодцев Чалой, чалойская свита, зона *garantiana*.
- Фиг. 7а, 7б. *Praeparkinsonia tschaloica* Besnosov sp. nov., № 1921, Большой Балхан, севернее колодцев Чалой, чалойская свита, зона *garantiana*, голотип.

ТАБЛИЦА 8

- Фиг. 1а, 1б. *Garantiana praegarantiana* Besnosov sp. nov., № 1432, р. Кубань, гора Джангура, верхняя джангурская подсвита, верхний байос, зона *subfurcatum*, голотип.
- Фиг. 2а, 2б. *Hlawiceras aff. subgaranti* (Wetzel), № 1357, Северная Осетия, Ходский перевал, верхняя джорская подсвита, верхний байос, зона *garantiana*.
- Фиг. 3. *Orthogarantiana (Torrensia) sp. nov.*, № 2498, Большой Балхан, колодцы Чалой, низы чалойской свиты, верхний байос, зона *subfurcatum*, экземпляр с приустьевыми ушками.
- Фиг. 4. *Praebigotites (Praebigotites) ardonense* (Nikanorova), № 3000, Северная Осетия, Ходский перевал, верхняя джорская подсвита, верхний байос, зона *subfurcatum*, голотип.
- Фиг. 5. *Praebigotites (Otiosphinctes) irganajense* Besnosov, № 2472, Дагестан, сел. Ирганай, основание нижней цудахарской подсвиты, верхний байос, зона *subfurcatum*, голотип.

Фиг. 6а, 6б. *Praebigotites (Praebigotites) constrictus* Везносов sp. nov., № 1331, Дагестан, сел. Дагуна, основание нижней цудахарской подсвиты, верхний байос, зона subfurcatum, голотип.

ТАБЛИЦА 9

Фиг. 1, 4. *Leptosphinctes (Leptosphinctes) coronarius* Buckman, 1 — № 2725, Большой Балхан, колодцы Чалой, низы чалойской свиты, верхний байос, зона subfurcatum; 4 — № 4150, Дагестан, сел. Дагуна, основание цудахарской свиты, верхний байос, зона subfurcatum.

Фиг. 2. *Praebigotites (Praebigotites) cf. festonensis* (Pavia), № 4263, Дагестан, сел. Ирганай, основание цудахарской свиты, верхний байос, зона subfurcatum.

Фиг. 3. *Leptosphinctes (Leptosphinctes) rugosus* Везносов, sp. nov., № 1464, р. Кубань, гора Джангура, верхняя джангурская подсвита, верхний байос, зона subfurcatum.

ТАБЛИЦА 10

Фиг. 1. *Leptosphinctes (Leptosphinctes) leptus* Buckman, № 2989, р. Кубань, станция Красногорская, верхняя джангурская подсвита, верхний байос, зона subfurcatum.

Фиг. 2. *Leptosphinctes (Leptosphinctes) stomphus* (Buckman), № 2720, Северный Кавказ, р. Баксан, верхняя джангурская подсвита, верхний байос.

Фиг. 3а, 3б. *Leptosphinctes (Leptosphinctes) densicostatum* Везносов, sp. nov., № 2721, Большой Балхан, колодцы Чалой, чалойская свита, верхний байос, зона subfurcatum, голотип.

Фиг. 4а, 4б. *Leptosphinctes (Leptosphinctes) hodicus* Никанорова, № 1727, р. Кубань, станция Красногорская, верхняя джорская подсвита, верхний байос, зона subfurcatum.

Фиг. 5а, 5б. *Leptosphinctes (Cleistosphinctes) asinus* (Zatwornitzki), № 1404 р. Кубань, станция Красногорская, верхняя джангурская подсвита, верхний байос, зона subfurcatum.

ТАБЛИЦА 11

Фиг. 1а, 1б. *Leptosphinctes (Cleistosphinctes) cleistus* (Buckman), № 1916, р. Кубань, станция Красногорская, верхняя джангурская подсвита, верхний байос, зона subfurcatum.

Фиг. 2а, 2б. *Vajocisphinctes (Vajocisphinctes) ultimus* (Kakhadze et Zesashwili), № 2573, Большой Балхан, южнее колодцев Порсайман, основание чалойской свиты, верхний байос, зона subfurcatum.

Фиг. 3. *Leptosphinctes (Cleistosphinctes) nikanorovae* Везносов, sp. nov., № 1388, Северная Осетия, Ходский перевал, верхняя джорская подсвита, верхний байос, зона subfurcatum, голотип.

- Фиг. 4а, 4б. *Leptosphinctes (Cleistosphinctes) balchanense* Vesnosov, sp. nov., № 2960, Большой Балхан, колодцы Чалой, низы чалойской свиты, верхний байос, зона subfurcatum, голотип.
- Фиг. 5, 6а, 6б. *Vajocisphinctes (Obsoletosphinctes) guramiformis* Vesnosov, sp. nov., 5 — № 1493, 6а, 6б — № 1490, р. Кубань, гора Джангура, верхняя джангурская подсвита, верхний байос, зона subfurcatum, синтип.
- Фиг. 7а, 7б. *Vajocisphinctes (Vajocisphinctes) depressus* (Kakhadze et Zesashwili, 1977), р. Кубань, станица Красногорская, верхняя джангурская подсвита, верхний байос, зона subfurcatum.

ТАБЛИЦА 12

- Фиг. 1а, 1б. *Oxysphinctes kubanense* Vesnosov, № 1486, р. Кубань, гора Джангура, верхняя джангурская подсвита, верхний байос, зона subfurcatum, голотип.
- Фиг. 2, 3а, 3б. *Vajocisphinctes (Vajocisphinctes) gurami* (Kakhadze et Zesashwili), 2 — № 4153, Дагестан, сел. Датуна, основание цудахарской свиты, верхний байос, зона subfurcatum; 3а, 3б — № 2980, Большой Балхан, южнее колодцев Порсайман, основание чалойской свиты, верхний байос, зона subfurcatum.
- Фиг. 4а, 4б. *Vajocisphinctes (Vajocisphinctes) perspicuus* (Pavona), № 1684, р. Кубань, станица Красногорская, верхняя джангурская подсвита, верхний байос, зона subfurcatum.

ТАБЛИЦА 13

- Фиг. 1. *Franchia quenstedti* (Sibirjakova), № 3074, Большой Балхан, колодцы Девона, меуламская свита, нижний бат, зона zigzag.
- Фиг. 2. *Vajocisphinctes (Obsoletosphinctes) interruptus* (Pavia), № 1864, р. Кубань, станица Красногорская, верхняя джангурская подсвита, верхний байос, зона subfurcatum.
- Фиг. 3. *Procerites (Procerites) cf. schloenbachi* Grossouvre, № 1291, Дагестан, сел. Датуна, верхи средней цудахарской подсвиты, нижний бат, зона zigzag.
- Фиг. 4а, 4б. *Franchia tlisiense* Vesnosov, sp. nov., № 1272, Дагестан, сел. Тлиси, верхняя цудахарская подсвита, нижний бат, зона zigzag, голотип.
- Фиг. 5. *Procerites (Siemiradzka) stephanovi* Mangold, № 3023, Большой Балхан, колодцы Девона, меуламская свита, нижний бат, зона zigzag.
- Фиг. 6. *Franchia aff. quenstedti* (Sibirjakova), № 2619, Большой Балхан, гора Геркез, кровля меуламской свиты, нижний бат, зона zigzag.

ТАБЛИЦА 14

- Фиг. 1. *Procerites (Procerites) laeviplex* (Quenstedt), № 6241, Туаркыр, гряда Огрыдаг, верхняя часть огрыдагской свиты, нижний бат, зона zigzag.

- Фиг. 2, 3. *Procerites (Siemiradzkaia) aurigerus* (Oppel), 2 — № 3051, хр. Кугитангтау, сай Вандоб, средняя тангидувальская подсвита, нижний бат, зона zigzag, 3 — № 2084, Большой Балхан, гора Геркез, кровля меуламской свиты, нижний бат, зона zigzag.
- Фиг. 4. *Franchia tlisiense* Besnosov, sp. nov., № 1273, Дагестан, сел. Тлиси, верхняя цудахарская подсвита, нижний бат, зона zigzag.

ТАБЛИЦА 15

- Фиг. 1. *Procerites (Procerites) fowleri* Arkell, № 6243, Туаркыр, гряда Огрыдаг, верхняя часть огрыдагской свиты, нижний бат, зона zigzag. х 0,7.
- Фиг. 2, 3. *Procerites (Siemiradzkaia) procerus* (Seebach), 2 — № 3089, 3а, 3б — № 3041, Большой Балхан, колодцы Девона, меуламская свита, нижний бат, зона zigzag.
- Фиг. 4. *Procerites (Siemiradzkaia) stephanovi* Mangold, № 3029, Большой Балхан, колодцы Девона, меуламская свита, нижний бат, зона zigzag.

ТАБЛИЦА 16

- Фиг. 1а, 1б. *Prosisphinctes (Prosisphinctes) intersertus* (Buckman), № 3008, Большой Балхан, колодцы Девона, основание меуламской свиты, нижний бат, зона zigzag.
- Фиг. 2а, 2б. *Prosisphinctes (Prosisphinctes) loczyi* (Parr), № 4137, Дагестан, сел. Ахваштаб, средняя цудахарская подсвита, пограничные слои байоса и бата.

ТАБЛИЦА 17

- Фиг. 1. *Procerites (Procerites) lissajousi* Besnosov, sp. nov., № 1229, хр. Кугитангтау, сел. Кызылалма, верхняя тангидувальская подсвита, пограничные слои среднего—верхнего бата, голотип.
- Фиг. 2а, 2б. *Procerites (Siemiradzkaia) bucharicus* (Nikitin), № 3720, Юго-Западный Гиссар, урочище Тангидувал, верхняя тангидувальская подсвита, пограничные слои среднего—верхнего бата, топотип.
- Фиг. 3, 4. *Prosisphinctes (Planisphinctes) gredingensis* (Donn), № 1354, Дагестан, сел. Датуна, верхи средней цудахарской подсвиты, нижний бат, зона zigzag; № 1303, Дагестан, сел. Тлиси, тот же уровень.

ТАБЛИЦА 18

- Фиг. 1. *Prosisphinctes (Prosisphinctes) ex gr. costulatusus* (Buckman), № 1385, Дагестан, сел. Датуна, средняя цудахарская подсвита, пограничные слои байоса и бата.

- Фиг. 2а, 2б. *Prorsisphinctes (Prorsisphinctes) evolutoides* (Siemiradzki), № 1298, Дагестан, сел. Датуна, средняя цудахарская подсвита, пограничные слои байоса и бата.
- Фиг. 3а, 3б. *Choffatiasphinctes aff. pseudofrequens* (Siemiradzki), № 1313, Северный Кавказ, р. Ходзь, верхняя джангурская подсвита, верхний байос, зона parkinsoni.

ТАБЛИЦА 19

- Фиг. 1. *Choffatiasphinctes faunus* (Siemiradzki), № 660/15. Крым, сел. Счастливое, верхний байос — нижний бат.
- Фиг. 2. *Prorsisphinctes (Planisphinctes) tenuissimus* (Siemiradzki), № 2938, Дагестан, сел. Чох, средняя цудахарская подсвита, пограничные слои байоса и бата.
- Фиг. 3. *Prorsisphinctes (Planisphinctes) torrensi* Stephanov, № 3016, Большой Балхан, колдцы Девона, основание меуламской свиты, нижний бат, зона zigzag.
- Фиг. 4а, 4б. *Caumontisphinctes (Infraparkinsonia) debilis* (Wetzel), № 4193, Дагестан, сел. Ирганай, кровля кумухской свиты, верхний байос, зона subfurcatum.
- Фиг. 5. *Prorsisphinctes (Prorsisphinctes) ex gr. meseres* (Buckman), № 2173, Большой Балхан, сел. Ташарват, ташарватская свита, верхний байос, зона parkinsoni.
- Фиг. 6. *Subgrossoutria* sp., № 1334, хр. Кугитангтау, родник Казанбулак, кровля байсунской подсвиты, верхний бат, зона discus.

ТАБЛИЦА 20

- Фиг. 1, 2. *Gracilisphinctes (Gracilisphinctes) twinhoensis* (Arkel), 1 — № 1227, хр. Кугитангтау, сел. Кызылалма, кровля тангидувальской свиты, пограничные слои среднего—верхнего бата; 2 — № 10/233, сай Вандоб, тот же уровень.
- Фиг. 3. *Prorsisphinctes (Planisphinctes) torrensi* Stephanov, № 3011, Большой Балхан, колдцы Девона, основание меуламской свиты, нижний бат, зона zigzag.

ТАБЛИЦА 21

- Фиг. 1. *Gracilisphinctes (Gracilisphinctes) suprapalatinus* Arkel, № 3895, хр. Кугитангтау, сай Вандоб, основание байсунской свиты, верхний бат, зона retocostatum.
- Фиг. 2, 3. *Caumontisphinctes (Caumontisphinctes) bifurcus* (Buckman), 2 — № 1670, 3а, 3б — № 1673, Дагестан, сел. Гигатлиурух, верхи кумухской свиты, верхний байос, зона subfurcatum.
- Фиг. 4. *Caumontisphinctes (Caumontisphinctes) rota* (Bentz), № 4204, Дагестан, сел. Ирганай, кровля кумухской свиты, верхний байос, зона subfurcatum.

ТАБЛИЦА 22

- Фиг. 1. *Gracilisphinctes (Gracilisphinctes) imitator* (Buckman), № 1219, хр. Кугитангтау, родник Чацмабулак, верхняя тангидувальская подсвита, средний бат.
- Фиг. 2а, 2б. *Gracilisphinctes (Prevalia) thressa* Stephany, № 3123, хр. Кугитангтау, урочище Сарыкамаш, кровля тангидувальской свиты, верхний бат, зона *retrocostatum*.

ТАБЛИЦА 23

- Фиг. 1, 2. *Gracilisphinctes (Gracilisphinctes) pseudoimitator* Besnosov, sp. nov., 1 — № 1235, голотип; 2а, 2б — № 1200, хр. Кугитангтау, сел. Кызылалма, верхняя тангидувальская подсвита, пограничные слои среднего—верхнего бата.
- Фиг. 3. *Gracilisphinctes (Gracilisphinctes) suprapalatinus* Arkell, № 1163, хр. Кугитангтау, сай Вандоб, подошва байсунской свиты, верхний бат, зона *retrocostatum*.

ТАБЛИЦА 24

- Gracilisphinctes (Gracilisphinctes) aff. magnificus* Arkell, № 3429, Юго-Западный Гиссар, урочище Тангидувал, верхняя тангидувальская подсвита, пограничные слои среднего—верхнего бата.

ТАБЛИЦА 25

- Фиг. 1. *Gracilisphinctes (Gracilisphinctes) densicordatus* (Galacz), № 3310, Юго-Западный Гиссар, урочище Тангидувал, верхняя тангидувальская подсвита, пограничные слои среднего—верхнего бата.
- Фиг. 2а, 2б. *Gracilisphinctes (Prevalia) stephanovi* Besnosov, sp. nov., № 3186, хр. Кугитангтау, сай Вандоб, кровля тангидувальской свиты, верхний бат, зона *retrocostatum*, голотип.

ТАБЛИЦА 26

- Фиг. 1. *Gracilisphinctes (Gracilisphinctes) paragracilis* Besnosov, sp. nov., № 3385, Юго-Западный Гиссар, урочище Тангидувал, верхняя тангидувальская подсвита, пограничные слои среднего—верхнего бата, голотип.
- Фиг. 2, 3. *Homeoplanulites (Homeoplanulites) evolutus* Besnosov, sp. nov., 2 — № 3173, 3а, 3б — № 3811, голотип, хр. Кугитангтау, сай Вандоб, кровля тангидувальской свиты, верхний бат, зона *retrocostatum*.

ТАБЛИЦА 27

- Фиг. 1. *Gracilisphinctes (Gracilisphinctes) evolutus* Vesnosov, sp. nov., № 3290, Юго-Западный Гиссар, урочище Тангидувал, верхняя тангидувальская подсвита, средний бат, зона subcontractus, голотип.
- Фиг. 2а, 2б. *Homeoplanulites (Homeoplanulites) rambertensis* Mangold, № 1952, хр. Кугитангтау, сай Вандоб, кровля нижней байсунской подсвиты, верхний бат, зона discus.

ТАБЛИЦА 28

- Фиг. 1. *Gracilisphinctes (Gracilisphinctes) kysylalmensis* Vesnosov, sp. nov., № 1199, хр. Кугитангтау, сел. Кызылалма, верхняя тангидувальская подсвита, пограничные слои среднего—верхнего бата, голотип.
- Фиг. 2а, 2б. *Gracilisphinctes (Prevalia) verciacensis* (Lissajous), № 3362, Юго-Западный Гиссар, урочище Тангидувал, верхняя тангидувальская подсвита, пограничные слои среднего—верхнего бата.
- Фиг. 3. *Homeoplanulites (Homeoplanulites) rotundatus* (Roemer), № 427, хр. Кугитангтау, сай Вандоб, кровля тангидувальской свиты, верхний бат, зона retrocostatum.

ТАБЛИЦА 29

- Фиг. 1. *Loboplanulites subkranaiformis* Vesnosov, sp. nov., № 3311, Юго-Западный Гиссар, урочище Тангидувал, верхняя тангидувальская подсвита, пограничные слои среднего—верхнего бата, голотип.
- Фиг. 2а, 2б. *Homeoplanulites (Homeoplanulites) paradifficilis* Vesnosov, sp. nov., № 3126, хр. Кугитангтау, урочище Сарыкамыш, кровля тангидувальской свиты, верхний бат, зона retrocostatum, голотип.
- Фиг. 3. *Homeoplanulites (Parachoffatia) vandobense* Vesnosov, sp. nov., № 769, хр. Кугитангтау, кровля тангидувальской — подошва байсунской свиты, верхний бат, зона retrocostatum, голотип.

ТАБЛИЦА 30

- Фиг. 1. *Loboplanulites cerealiformis* Vesnosov, sp. nov., № 1048, Юго-Западный Гиссар, урочище Тангидувал, верхняя часть тангидувальской свиты, пограничные слои среднего—верхнего бата, голотип.
- Фиг. 2. *Homeoplanulites (Parachoffatia) arisphinctoides* (Arkell), № 7879, хр. Кугитангтау, родник Казанбулак, кровля нижней байсунской подсвиты, верхний бат, зона discus.
- Фиг. 3. *Wagnericeras arbustigerum* (Oppel), № 1021, хр. Кугитангтау, сай Вандоб, нижняя байсунская подсвита, верхний бат, зона retrocostatum.

ТАБЛИЦА 31

- Фиг. 1. *Loboplanulites zakharovi* Vesnosov, sp. nov., № 9229, хр. Кугитангтау, точное местонахождение неизвестно, верхи среднего — низы верхнего бата, голотип.
- Фиг. 2а, 2б. *Caumontisphinctes (Caumontisphinctes) rota* (Bentz), № 1671, Дагестан, сел. Гигатлиурух, верхи кумухской свиты, верхний байос, зона subfurcatum.
- Фиг. 3а, 3б. *Caumontisphinctes (Caumontisphinctes) aplous* (Buckman), № 1348, Дагестан, сел. Датуна, верхи кумухской свиты, верхний байос, зона subfurcatum.

ТАБЛИЦА 32

- Фиг. 1. *Loboplanulites prosorovskii* Vesnosov, sp. nov., № 6202, Большой Балхан, гора Кошаджубла, кошаджублинская свита, верхи среднего — верхний бат, голотип.
- Фиг. 2. *Subgrossouvrina hodjalkanensis* Vesnosov, sp. nov., № 1337, хр. Кугитангтау, кровля нижней байсунской подсвиты, верхний бат, зона discus, голотип.
- Фиг. 3. *Wagnericeras aff. wagneri* (Orpel), № 415, хр. Кугитангтау, сай Вандоб, нижняя байсунская подсвита, верхний бат.

ТАБЛИЦА 33

- Фиг. 1. *Loboplanulites choffatiaformis* Vesnosov, sp. nov., № 488, хр. Кугитангтау, сай Вандоб, верхняя часть тангидувальской свиты, пограничные слои среднего — верхнего бата, голотип.
- Фиг. 2а, 2б. *Caumontisphinctes (Infraparkinsonia) inferior* (Bentz), № 1310, Дагестан, сел. Датуна, основание цудахарской свиты, верхний байос, зона subfurcatum.

ТАБЛИЦА 34

- Фиг. 1а, 1б. *Caumontisphinctes (Caumontisphinctes) diniensis* Pavia, № 4200, Дагестан, сел. Ирганай, осыпь под базальной плитой цудахарской свиты, верхний байос, зона subfurcatum.
- Фиг. 2. *Rarecostites tenuicostatus* Vesnosov, sp. nov., № 1851, Дагестан, сел. Кули, кровля кумухской свиты, верхний байос, зона subfurcatum, голотип.
- Фиг. 3, 5. *Rarecostites interruptus* (Brugiere), 3а, 3б — № 1685 — макроконх, 5 — № 4321, фрагмент приустьевого части жилой камеры микроконха, Дагестан, сел. Датуна, нижняя цудахарская подсвита, верхний байос, зона garantiana.
- Фиг. 4. *Rarecostites radiatum* (Renz), № 1910, Дагестан, сел. Датуна, нижняя цудахарская подсвита, верхи зоны subfurcatum — низы зоны garantiana.
- Фиг. 6а, 6б. *Rarecostites oglanlense* (Amannjasov), № 3889, Большой Балхан, гора Огланлы, кровля чалойской свиты, верхний байос, зона garantiana.
- Фиг. 7а, 7б. *Pseudocostoceras michalskii* (Vorissjak), № 1837, Дагестан, сел. Герги, средняя цудахарская подсвита, пограничные слои байоса и бата.

ТАБЛИЦА 35

- Фиг. 1а, 1б. *Rarecostites mutabilis* (Nicolesco), № 1771, макроконх, Дагестан, сел. Дагуна, нижняя цудахарская подсвита, верхний байос, зона *garantiana*.
- Фиг. 2а, 2б. *Rarecostites rarecostatum* (Buckman), № 1604, микроконх, Северная Осетия, Ходский перевал, верхняя джорская подсвита, верхний байос, зона *garantiana*.

ТАБЛИЦА 36

- Фиг. 1. *Rarecostites mutabilis* (Nicolesco), № 1400, микроконх, Дагестан, водораздел Андийского и Аварского Койсу, нижняя цудахарская подсвита, верхний байос, зона *garantiana*.
- Фиг. 2а, 2б. *Rarecostites wetzeli* (Schmidtill et Krumbek), № 1825, Северный Кавказ, р. Уруп, верхняя джангурская подсвита, верхний байос, зона *garantiana* — низы зоны *parkinsoni*.

ТАБЛИЦА 37

- Фиг. 1. *Rarecostites* ex gr. *mutabilis* (Nicolesco), № 1225, хр. Кутитангтау, родник Чашмабулак, верхний байос. х 0,6.
- Фиг. 2а, 2б. *Rarecostites acris* (Wetzel), № 1906, Дагестан, сел. Герги, нижняя цудахарская подсвита, верхний байос, зона *garantiana*.
- Фиг. 3а, 3б. *Medvediceras inclatum* (Murashkin), № 1828, Дагестан, сел. Урахи, средняя цудахарская подсвита, пограничные слои байоса и бата.

ТАБЛИЦА 38

- Фиг. 1а, 1б. *Parkinsonia zatwornitzkii* Vesnosov, sp. nov., № 4008, р. Кубань, гора Джангура, верхняя джангурская подсвита, верхний байос, зона *parkinsoni*, голотип.
- Фиг. 2. *Rarecostites rarecostatum* (Buckman), макроконх, № 1865, Северная Осетия, Ходский перевал, верхняя джорская подсвита, верхний байос, зона *garantiana*.
- Фиг. 3. *Parkinsonia toulai* Trauth, № 3813, Большой Балхан, севернее кяриза Меулам, ташарватская свита, верхний байос, зона *parkinsoni*.

ТАБЛИЦА 39

- Фиг. 1а, 1б. *Parkinsonia parkinsoni* (Sowerby), № 3998, Дагестан, сел. Дагуна, средняя цудахарская подсвита, верхний байос, зона *parkinsoni*.
- Фиг. 2. *Parkinsonia densicostata* (Quenstedt), № 1651, Дагестан, сел. Дагуна, средняя цудахарская подсвита, верхний байос, зона *parkinsoni*.

Фиг. 3а, 3б. *Parkinsonia nitaensis* Веснов, sp. nov., № 4023, Дагестан, сел. Нита, средняя цудахарская подсвита, верхний байос, зона parkinsoni, голотип.

Фиг. 4. *Parkinsonia toulai* Trauth, № 3525, Большой Балхан, сел. Ташарват, ташарватская свита, верхний байос, зона parkinsoni.

ТАБЛИЦА 40

Фиг. 1а, 1б. *Parkinsonia pseudoplanulata* Веснов, sp. nov., № 4001, Дагестан, сел. Ахваштаб, средняя цудахарская подсвита, нижний бат, зона zigzag, голотип.

Фиг. 2. *Parkinsonia balakhanensis* Кнуджаев, № 9231, Большой Балхан, севернее кяриза Меулам, низы ташарватской свиты, верхний байос, зона parkinsoni.

Фиг. 3. *Parkinsonia pachypleura* Вискман, № 1730, Дагестан, сел. Уркарах, верхняя цудахарская подсвита, нижний бат, зона zigzag.

ТАБЛИЦА 41

Фиг. 1. *Parkinsonia pachypleura* Вискман, № 1466, Дагестан, сел. Аракань, верхняя цудахарская подсвита, нижний бат, зона zigzag.

Фиг. 2а—2в. *Spiroceras althoffi* Potonie, № 2470, Дагестан, сел. Ирганай, подошва цудахарской свиты, верхний байос, зона subfurcatum.

ТАБЛИЦА 42

Фиг. 1. *Parkinsonia neuffensis* (Oppel), Дагестан, сел. Ахваштаб, средняя цудахарская подсвита, нижний бат, зона zigzag. х 0, 5.

Фиг. 2а, 2б. *Spiroceras annulatum* (Deshayes), № 1477, р. Кубань, гора Джангура, верхняя джангурская подсвита, верхний байос, зона subfurcatum.

ТАБЛИЦА 43

Фиг. 1а, 1б. *Gonolkites subplanulatus* (Wetzel), № 1581, Дагестан, сел. Датуна, средняя цудахарская подсвита, нижний бат, зона zigzag.

Фиг. 2. *Gonolkites convergens* Вискман, № 1840, Дагестан, сел. Датуна, средняя цудахарская подсвита, нижний бат, зона zigzag.

ТАБЛИЦА 44

Фиг. 1а, 1б. *Gonolkites rectangularis* (Wetzel), № 4086, Дагестан, средняя цудахарская подсвита, нижний бат, зона zigzag.

Фиг. 2. *Gonolkites convergens* Buckman, вентральная сторона экземпляра, изображенного в табл. 43, фиг. 2.

Фиг. 3. *Gonolkites crassum* (Nicolesco), № 4096, Дагестан, сел. Корода, верхняя цудахарская подсвета, нижний бат, зона zigzag.

ТАБЛИЦА 45

Фиг. 1а, 1б. *Pseudogarantiana dichotoma* Bentz, № 2468, Дагестан, сел. Ирганай, осьшь под базальной плитой цудахарской свиты, верхний байос, зона subfurcatum.

Фиг. 2а, 2б. *Pseudogarantiana nodosa* Bentz, № 2457, Дагестан, сел. Ирганай, осьшь под базальной плитой цудахарской свиты, верхний байос, зона subfurcatum.

Фиг. 3а, 3б. *Gonolkitea arbatovi* Kutuzova, № 4078, Дагестан, сел. Ахвахштаб, верхняя цудахарская подсвета, нижний бат, зона zigzag, голотип.

Фиг. 4. *Gonolkites pseudoferrugineus* (Nicolesco), № 1569, Дагестан, сел. Датуна, средняя цудахарская подсвета, пограничные слои байоса и бата.

ТАБЛИЦА 46

Фиг. 1, 2. *Oraniceras gyumbilicus* (Quenstedt), 1 — № 3691, Юго-Западный Гиссар, урочище Тангидувал, средняя тангидувальская подсвета, нижний бат, зона zigzag, 2а, 2б — № 1927, Большой Балкан, колодцы Караиман, нижняя меуламская подсвета, нижний бат, зона zigzag.

ТАБЛИЦА 47

Фиг. 1а, 1б. *Oraniceras wuerttembergicus* (Oppel), № 4071, Дагестан, сел. Голотль, верхняя цудахарская подсвета, нижний бат, зона zigzag.

Фиг. 2а, 2б. *Haselburgites bomfordi* (Arkell), № 1885, Дагестан, сел. Ахвахштаб, средняя цудахарская подсвета, верхний байос, зона parkinsoni.

ТАБЛИЦА 48

Фиг. 1а, 1б. *Oraniceras fretensis* (Wetzel), № 4080, Дагестан, сел. Датуна, кровля средней цудахарской подсветы, нижний бат, зона zigzag.

Фиг. 2а, 2б. *Haselburgites schloenbachi* (Schlippe), № 3963, Дагестан, сел. Датуна, средняя цудахарская подсвета, верхний байос, зона parkinsoni.

ТАБЛИЦА 49

- Фиг. 1а, 1б. *Haselburgites admirandus* Вuckman, № 1358, Дагестан, сел. Кумух, средняя цудахарская подсвита, верхний байос, зона parkinsoni.
- Фиг. 2а, 2б. *Bigotites petri* Nicolesco, № 1913, Дагестан, сел. Кадар, нижняя цудахарская подсвита, верхний байос, зона garantiana.

ТАБЛИЦА 50

- Фиг. 1а, 1б. *Haselburgites datunense* Vesnosov, sp. nov., № 4399, Дагестан, сел. Датуна, средняя цудахарская подсвита, верхний байос, зона parkinsoni, голотип.
- Фиг. 2. *Bigotites petri* Nicolesco, № 1812, Дагестан, хр. Лес, нижняя цудахарская подсвита, верхний байос, зона garantiana.

ТАБЛИЦА 51

- Фиг. 1. *Djanaliparkinsonia lutshnikovi* Kutuzova, № 580, хр. Байсунтау, сел. Туада, средняя дегибадамская подсвита, верхний байос, зона garantiana, голотип.
- Фиг. 2а, 2б. *Pseudogarrantiana daghestanica* Vesnosov, sp. nov., № 2319, Дагестан, сел. Ирганай, основание цудахарской свиты, верхний байос, зона subfurcatum, голотип.
- Фиг. 3, 4. *Strenoceras subfurcatum* (Zieten), 3 — № 1456, р. Кубань, гора Джангура, верхняя джангурская подсвита, верхний байос, зона subfurcatum; 4а, 4б — № 3766, Большой Балхан, южнее колодцев Шорли, основание чалойской свиты, верхний байос, зона subfurcatum.

ТАБЛИЦА 52

- Фиг. 1а, 1б. *Djanaliparkinsonia tuadensis* Kutuzova, № 579, хр. Байсунтау, сел. Туада, средняя дегибадамская подсвита, верхний байос, зона garantiana.
- Фиг. 2, 3. *Strenoceras niortense* (d'Orbigny), 2а, 2б — № 1442, р. Кубань, станция Красногорская, верхняя джангурская подсвита, верхний байос, зона subfurcatum 3 — № 2164, Большой Балхан, южнее колодцев Шорли, основание чалойской свиты, верхний байос, зона subfurcatum.
- Фиг. 4а, 4б. *Strenoceras bajocense* (Blainville), № 3904, Большой Балхан, южнее колодцев Шорли, основание чалойской свиты, верхний байос, зона subfurcatum.

ТАБЛИЦА 53

- Фиг. 1а—1в. *Morphoceras multiforme* Arkell, № 7485, Дагестан, сел. Датуна, верхи средней цудахарской подсвиты, нижний бат, зона zigzag.

- Фиг. 2. *Morphoceras* sp., № 7484, Дагестан, сел. Заиб, верхняя цудахарская подсвита, нижний бат, зона zigzag.
- Фиг. 3, 4. *Ebrayiceras* cf. *russum* Вuckman, 3 — № 2609, 4а, 4б — № 2021, Большой Балхан, гора Геркез, кровля меуламской свиты, нижний бат, зона zigzag.
- Фиг. 5а—5в. *Morphoceras macrescens* (Вuckman), № 7482, Дагестан, сел. Гологль, верхняя цудахарская подсвита, нижний бат, зона zigzag.

ТАБЛИЦА 54

- Фиг. 1. *Morrisiceras* (*Morrisiceras*) sp., № 2812, хр. Кугитангтау, родник Казанбулак, кровля нижней байсунской подсвиты, верхний бат, зона discus.
- Фиг. 2. *Morrisiceras* (*Morrisiceras*) cf. *lycetti* Arkell, № 3285, Юго-Западный Гиссар, урочище Тангидувал, верхняя тангидувальская подсвита, средний бат, зона subcontractus.
- Фиг. 3а, 3б. *Morphoceras patescens* (Вuckman), № 7486, Большой Балхан, тропа Ишекиол, верхняя меуламская подсвита, нижний бат, зона zigzag.

ТАБЛИЦА 55

- Фиг. 1. *Tulites* (*Tulites*) cf. *rugifer* (Вuckman), № 3357, Юго-Западный Гиссар, урочище Тангидувал, верхняя тангидувальская подсвита, средний бат, зона subcontractus.
- Фиг. 2, 3. *Morrisiceras* (*Holzbergia*) *schwandorfensis* (Arkell), 2 — № 3285, 3а—3в — № 3086, Юго-Западный Гиссар, урочище Тангидувал, верхняя тангидувальская подсвита, средний бат, зона subcontractus.
- Фиг. 4а, 4б. *Morrisiceras* (*Morrisiceras*) cf. *lycetti* Arkell, № 3086, Юго-Западный Гиссар, урочище Тангидувал, верхняя тангидувальская подсвита, средний бат, зона subcontractus.

ТАБЛИЦА 56

- Фиг. 1, 2. *Bullatimorphites* (*Bullatimorphites*) *subcostatus* Vesnosov, sp. nov., 1а, 1б — № 9236, Юго-Западный Гиссар, урочище Тангидувал, верхняя тангидувальская подсвита, средний бат, зона subcontractus, голотип; 2 — № 9253, вентральная сторона экземпляра, изображенного в табл. 57, фиг. 1.
- Фиг. 3а, 3б. *Bullatimorphites* (*Sphaerartuschius*) *ellipticus* Krystyn, № 3130, хр. Кугитангтау, урочище Сарыкмыш, кровля тангидувальской свиты, верхний бат, зона retrocostatum.

ТАБЛИЦА 57

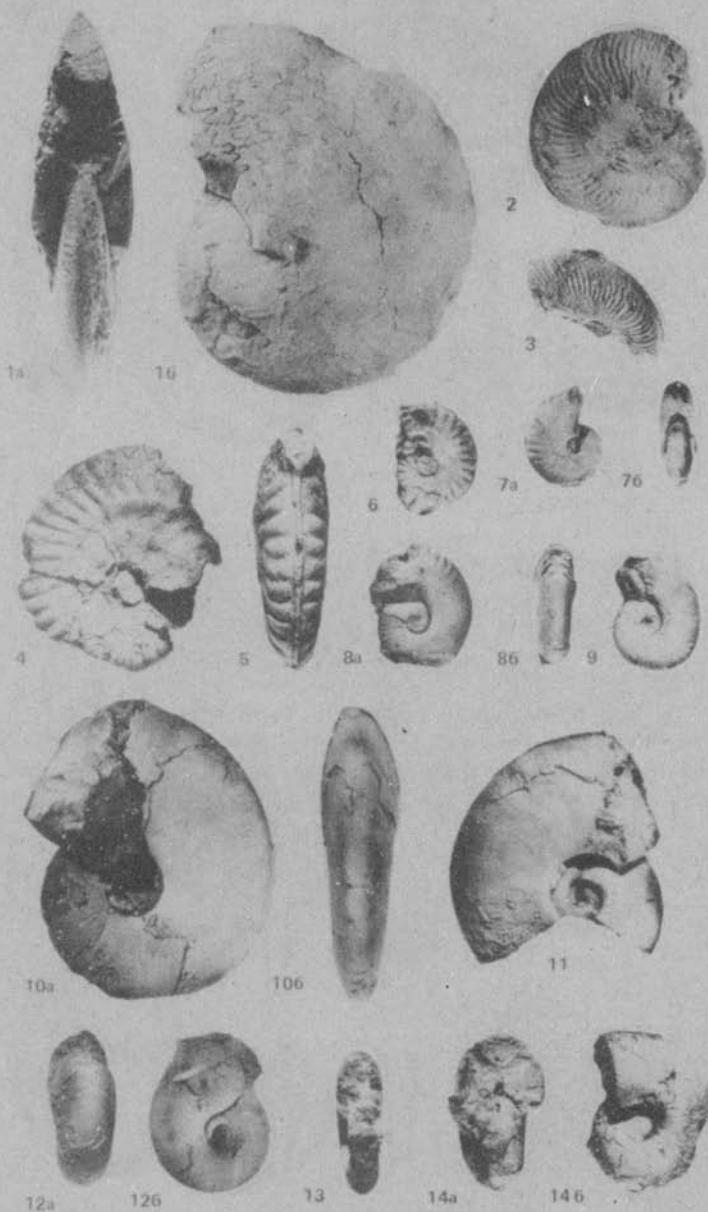
- Фиг. 1. *Bullatimorphites (Bullatimorphites) subcostatus* Vesnosov, sp. nov., № 9253, Юго-Западный Гиссар, урочище Тангидувал, верхняя тангидувальская подсвита, средний бат, зона subcontractus.
- Фиг. 2а, 2б. *Sulcohamitoides karaimanensis* Vesnosov, № 7481, Большой Балкан, гора Кошаджубла, низы сеутлинской свиты, нижний — средний бат, голотип.
- Фиг. 3а—3в. *Morphoceras subpatescens* Vesnosov, sp. nov., № 2612, Большой Балкан, гора Геркез, кровля меуламской свиты, нижний бат, зона zigzag.

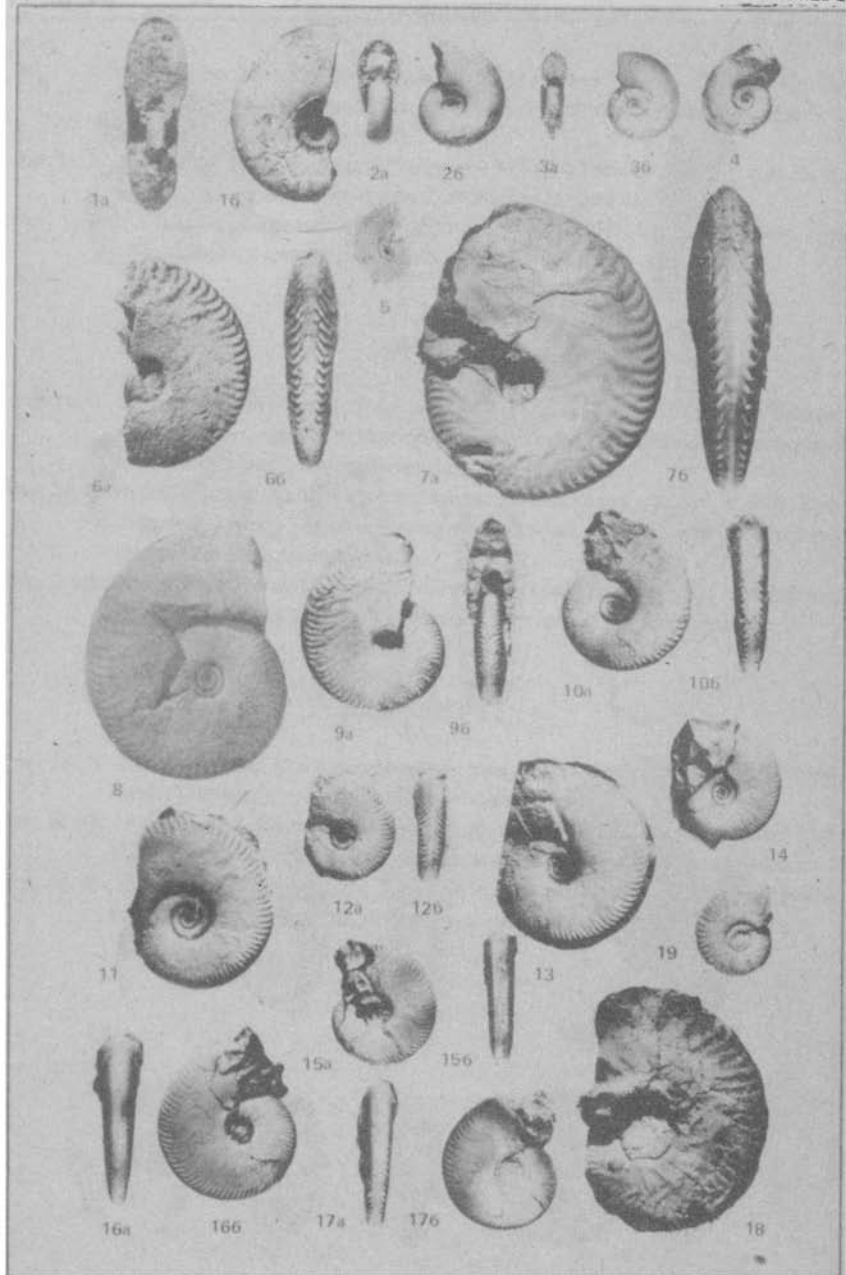
ТАБЛИЦА 58

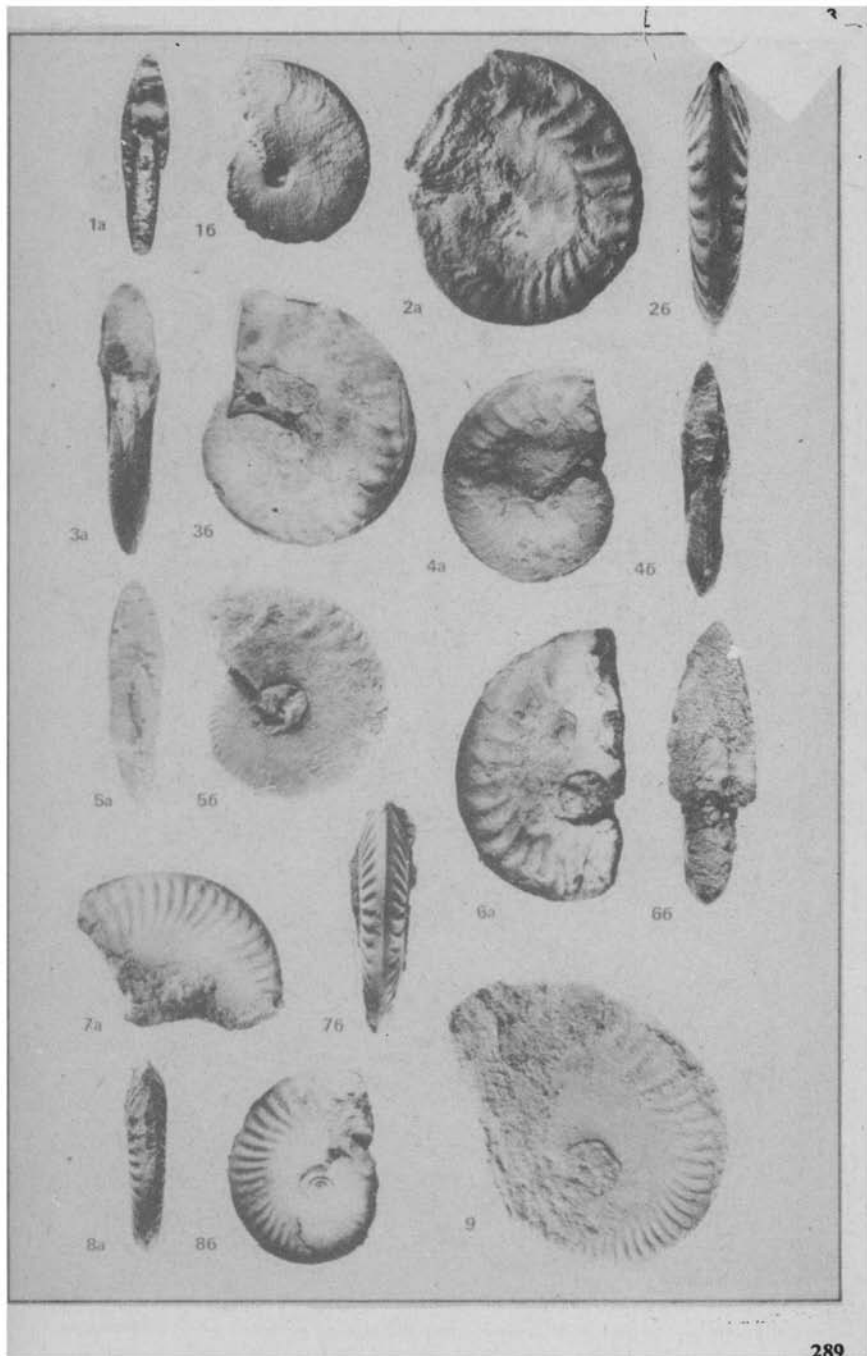
- Фиг. 1а, 1б. *Kheraiceras (Kheraiceras) cf. bullatum* (d'Orbigny), № 9238, Большой Балкан, кяриз Екерем, кровля кошаджубинской свиты, верхний бат, зона discus — нижний келловей, зона macrocephalus.
- Фиг. 2а, 2б. *Bullatimorphites (Bullatimorphites) subcostatus* Vesnosov, sp. nov., № 9253, Юго-Западный Гиссар, урочище Тангидувал, верхняя тангидувальская подсвита, средний бат, зона subcontractus.
- Фиг. 3. *Kheraiceras (Kheraiceras) cf. subcosmopolitus* (Lissajous), № 2947, хр. Кугитангтау, гора Мых, нижняя байсунская подсвита, верхний бат, зона retrocostatum.

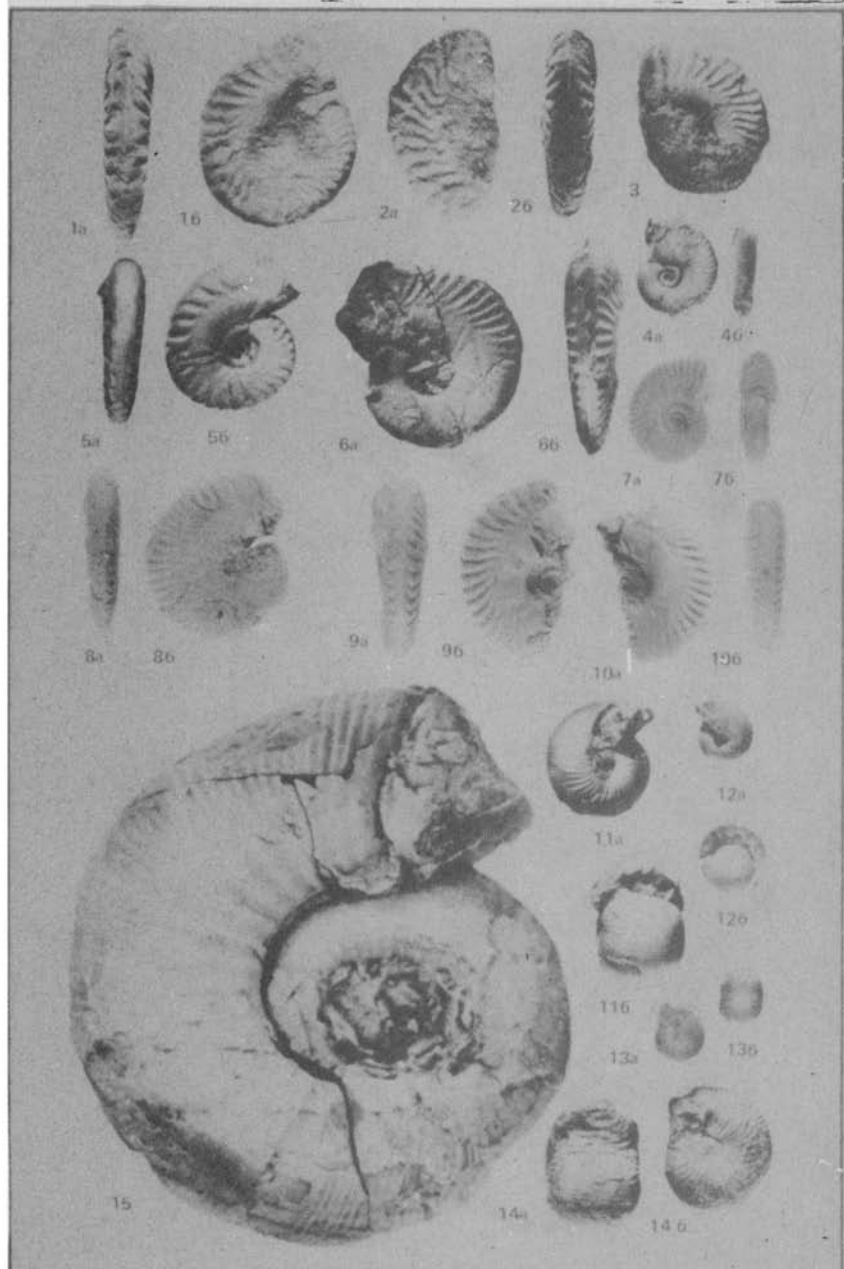
ТАБЛИЦА 59

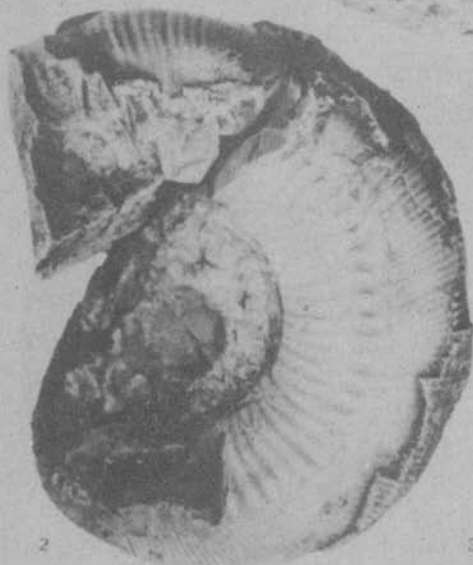
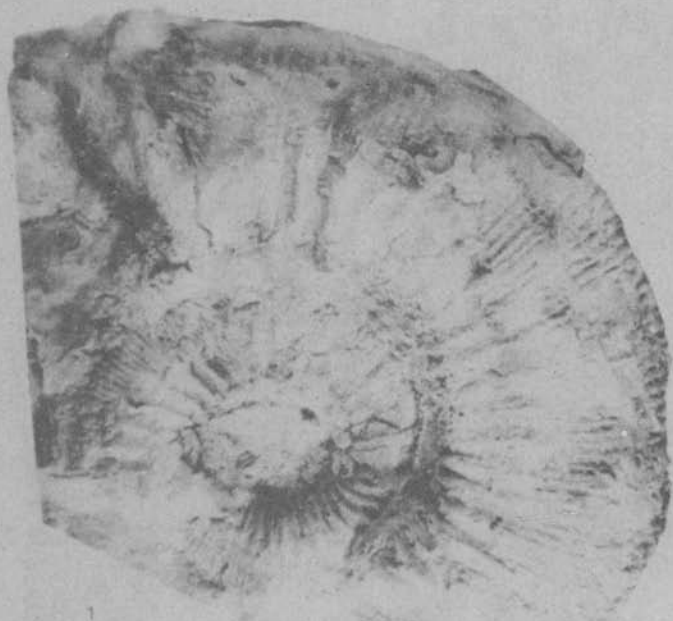
- Фиг. 1а, 1б. *Bullatimorphites (Bullatimorphites) latecentratus* (Quenstedt), № 2000, Юго-Восточный Памир, р. Истык, нижний — средний бат.
- Фиг. 2а, 2б. *Ebrayceras (?) kjarisensis* Vesnosov, sp. nov., № 1979, Большой Балкан, гора Кяриз, верхи тапарватской свиты, пограничные слои байоса и бата, голотип.
- Фиг. 3а, 3б. *Kheraiceras (Bomburites) sp.*, № 9237, Большой Балкан, кяриз Екерем, кровля кошаджубинской свиты, пограничные слои бата и келловей.











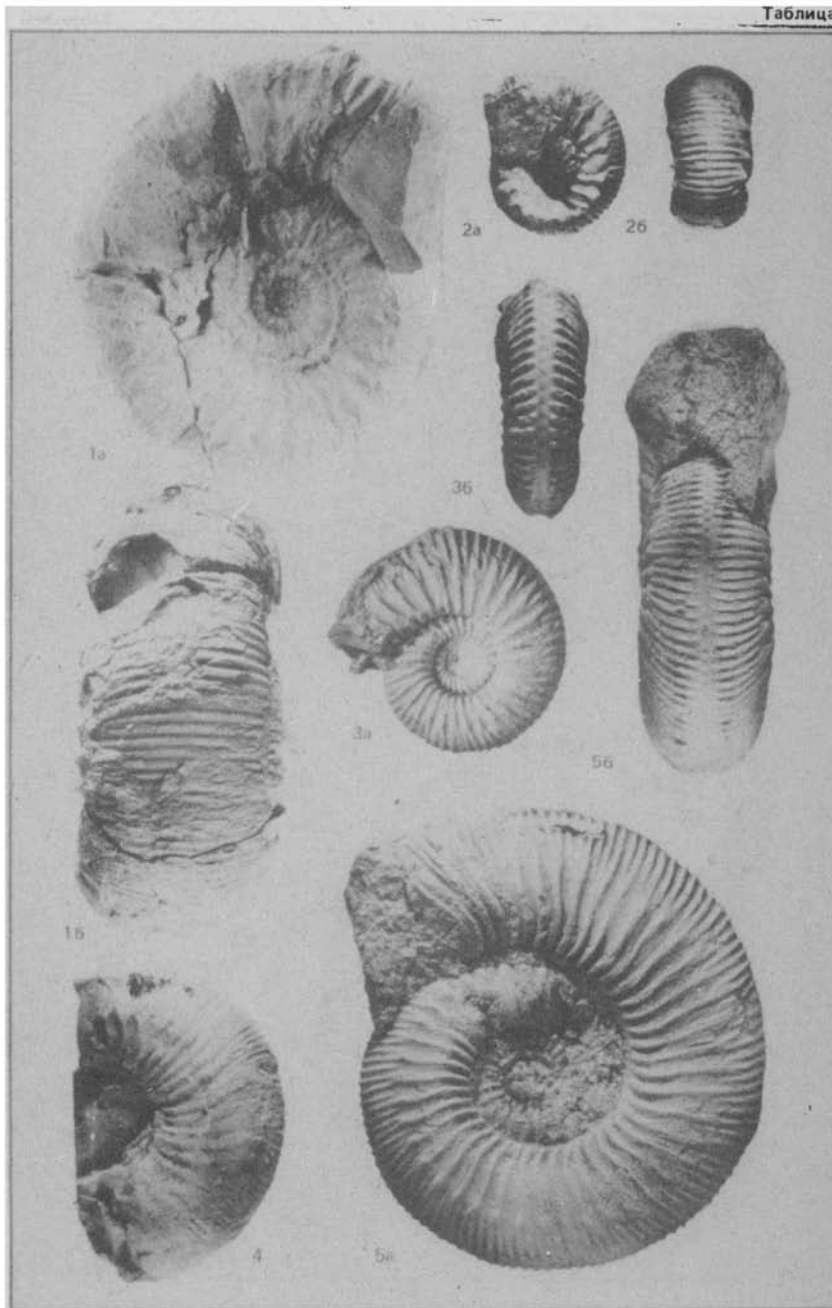
2

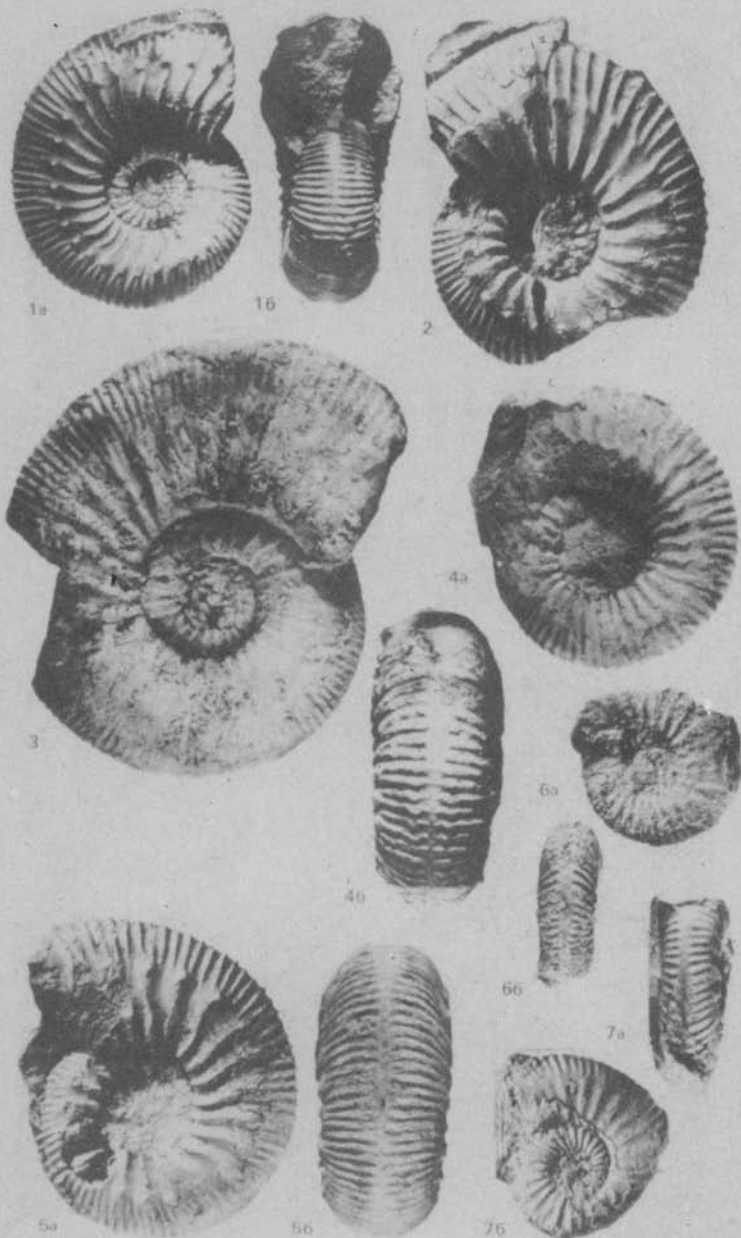


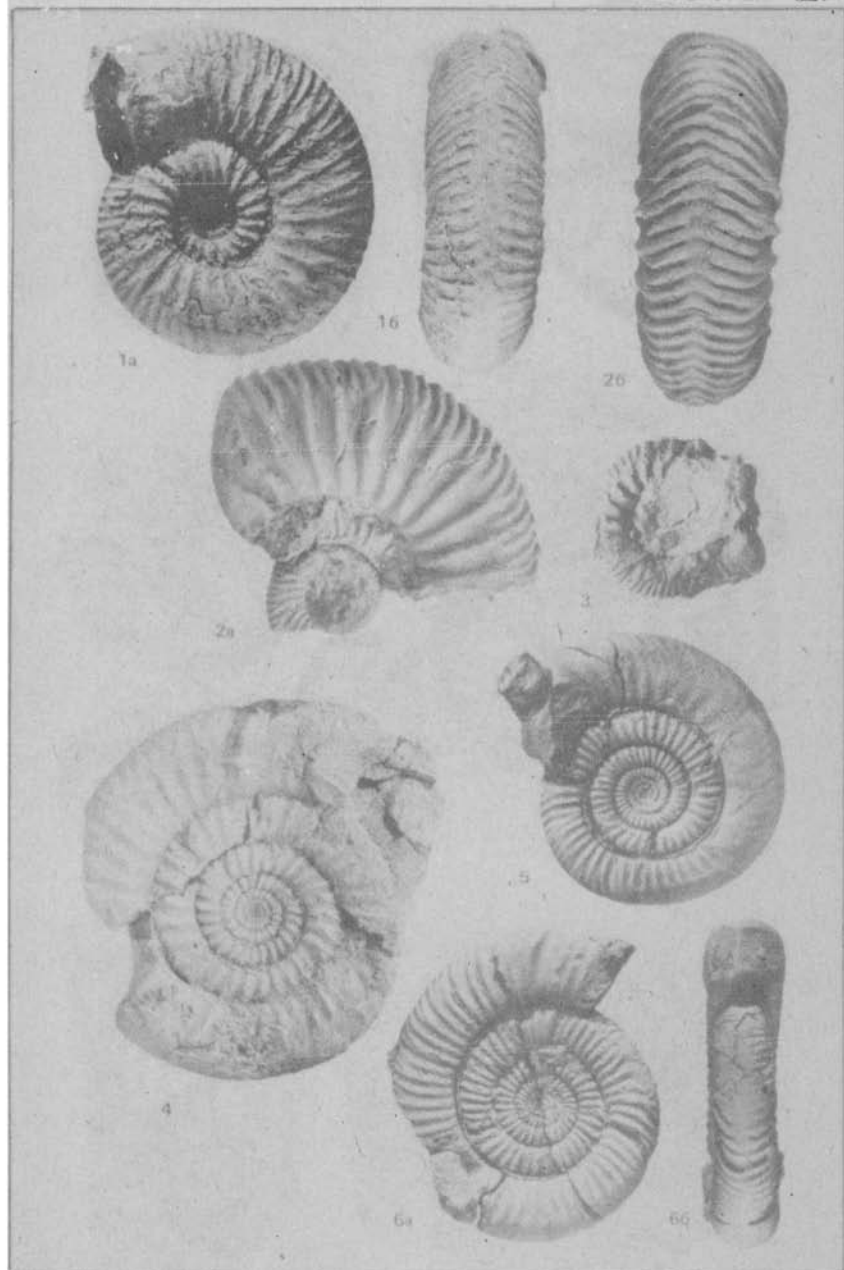
3a

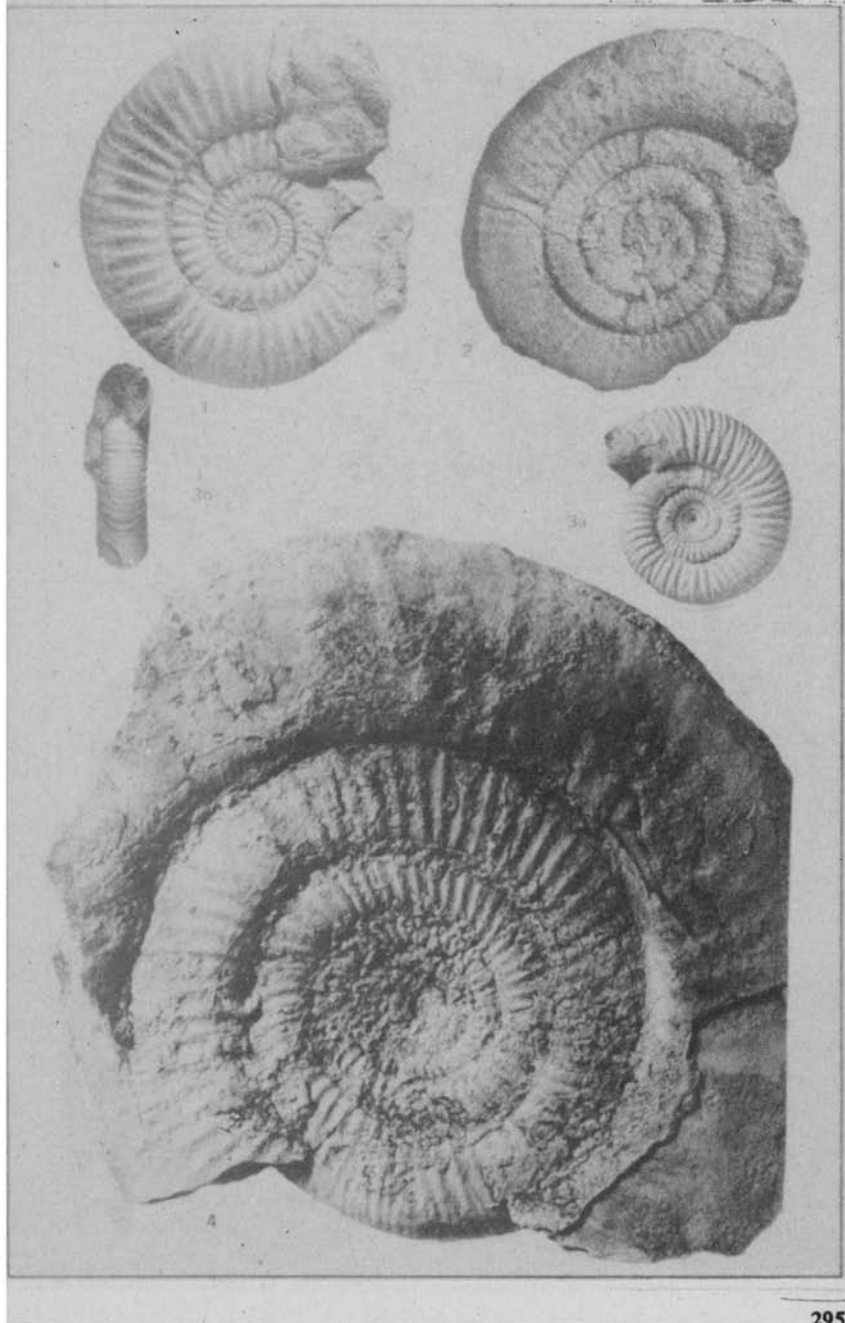


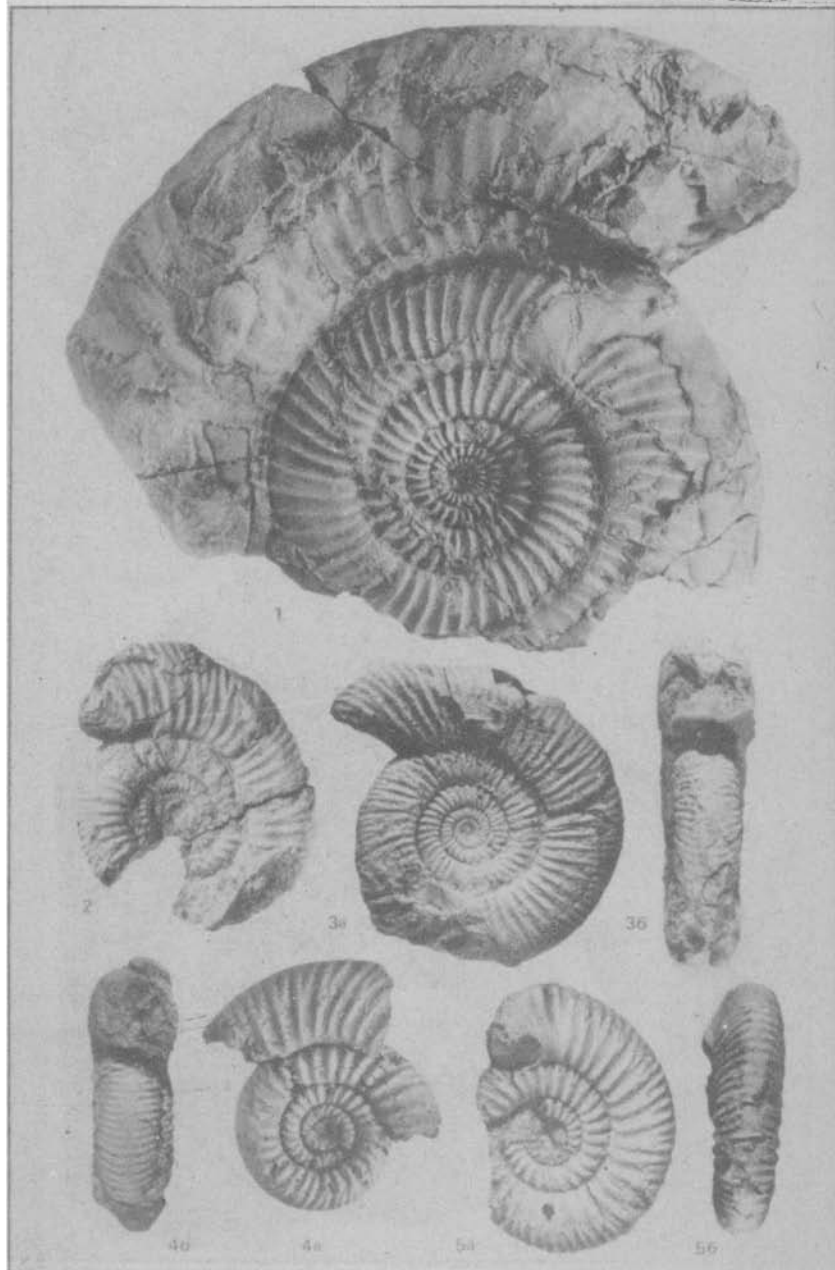
3b

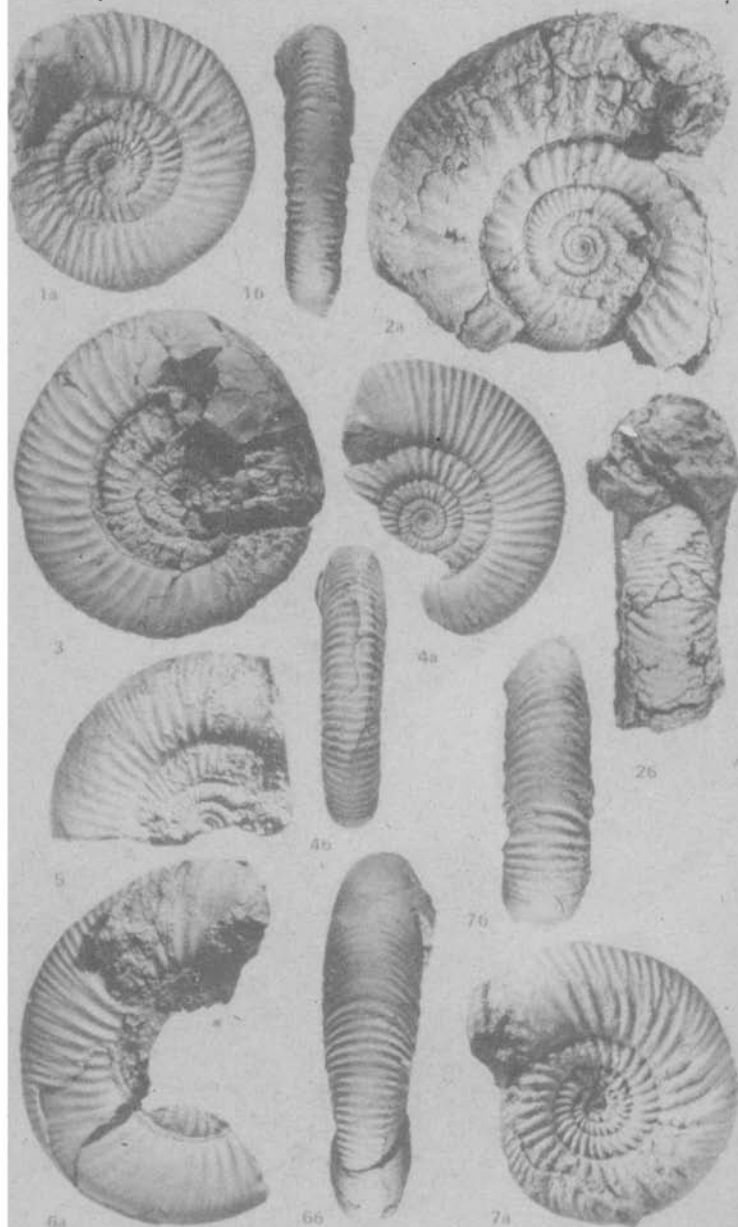


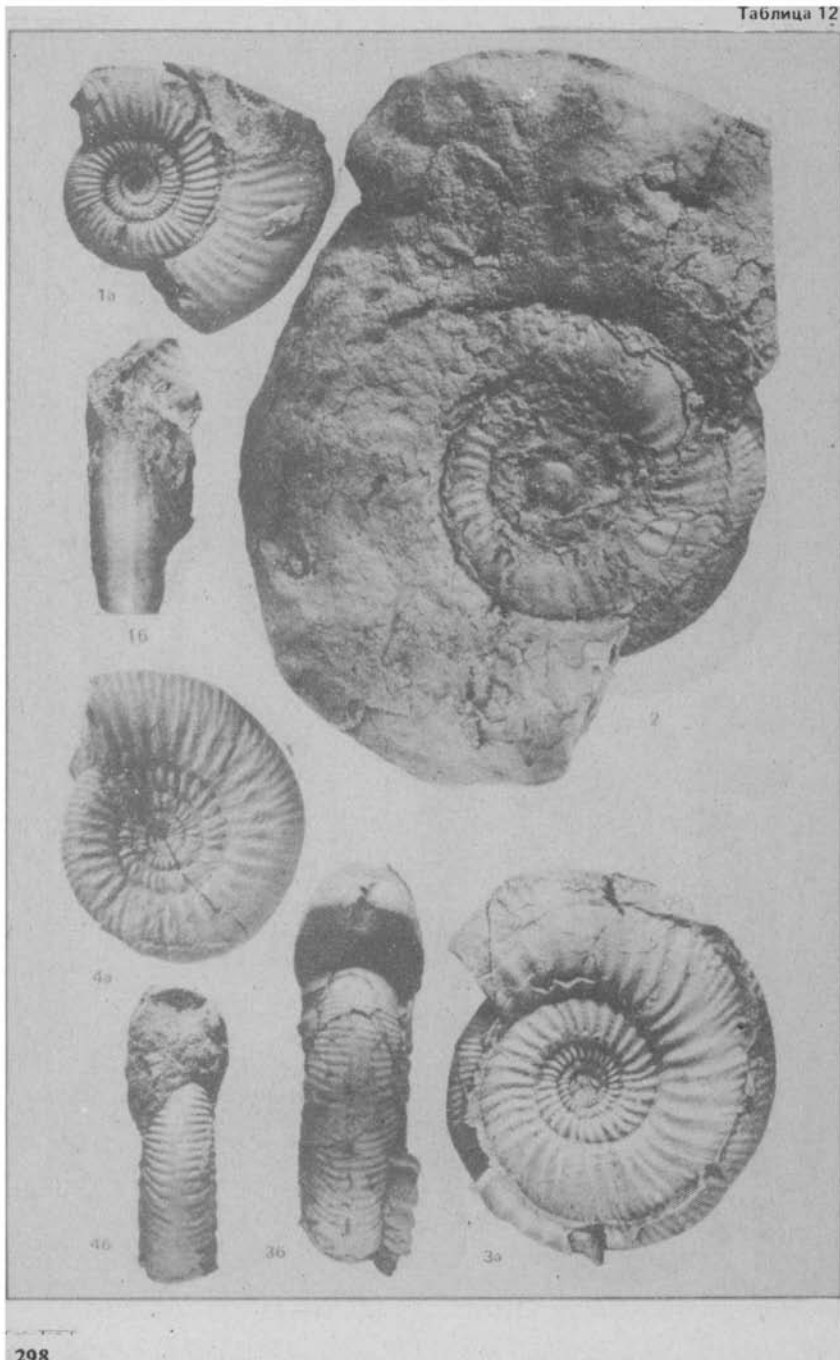


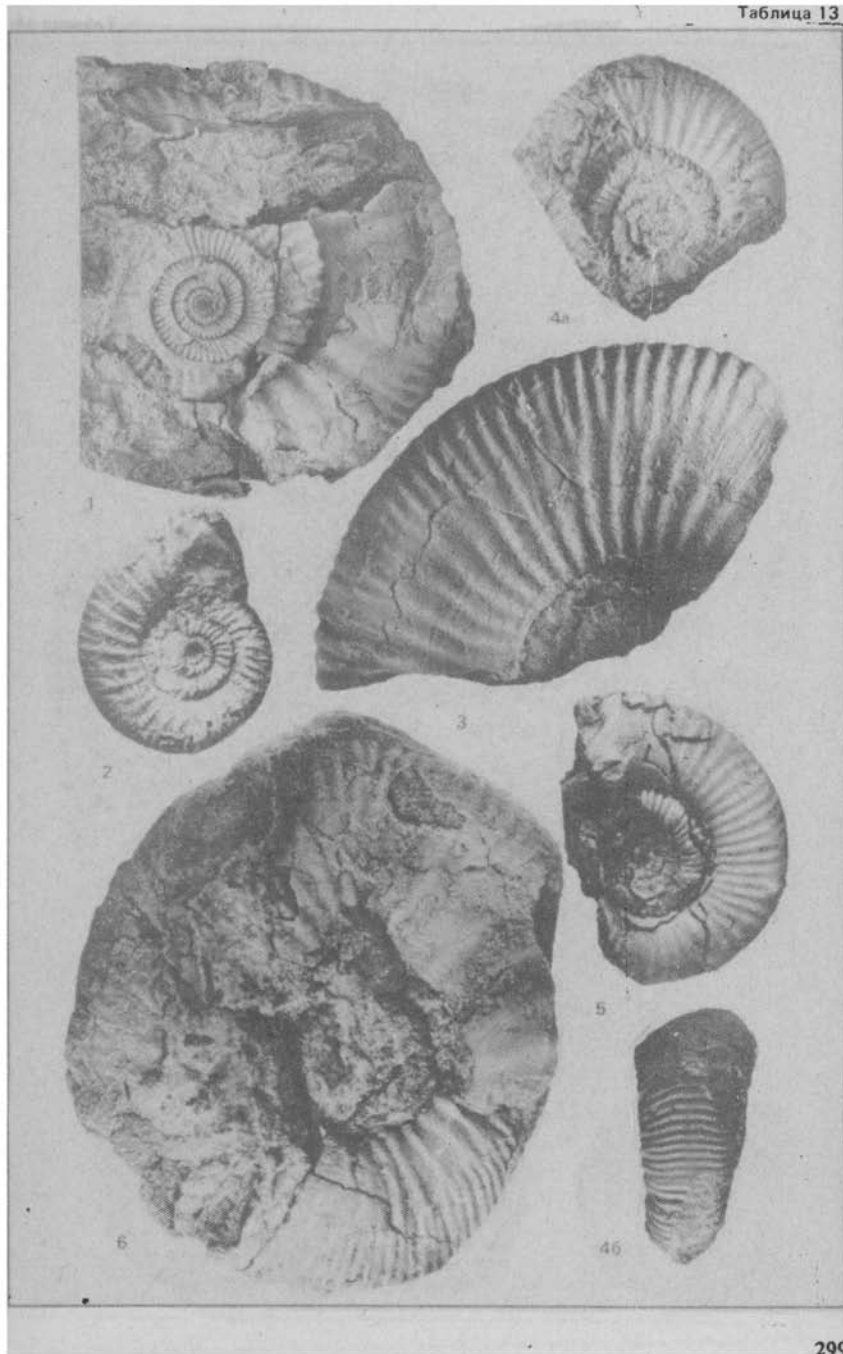


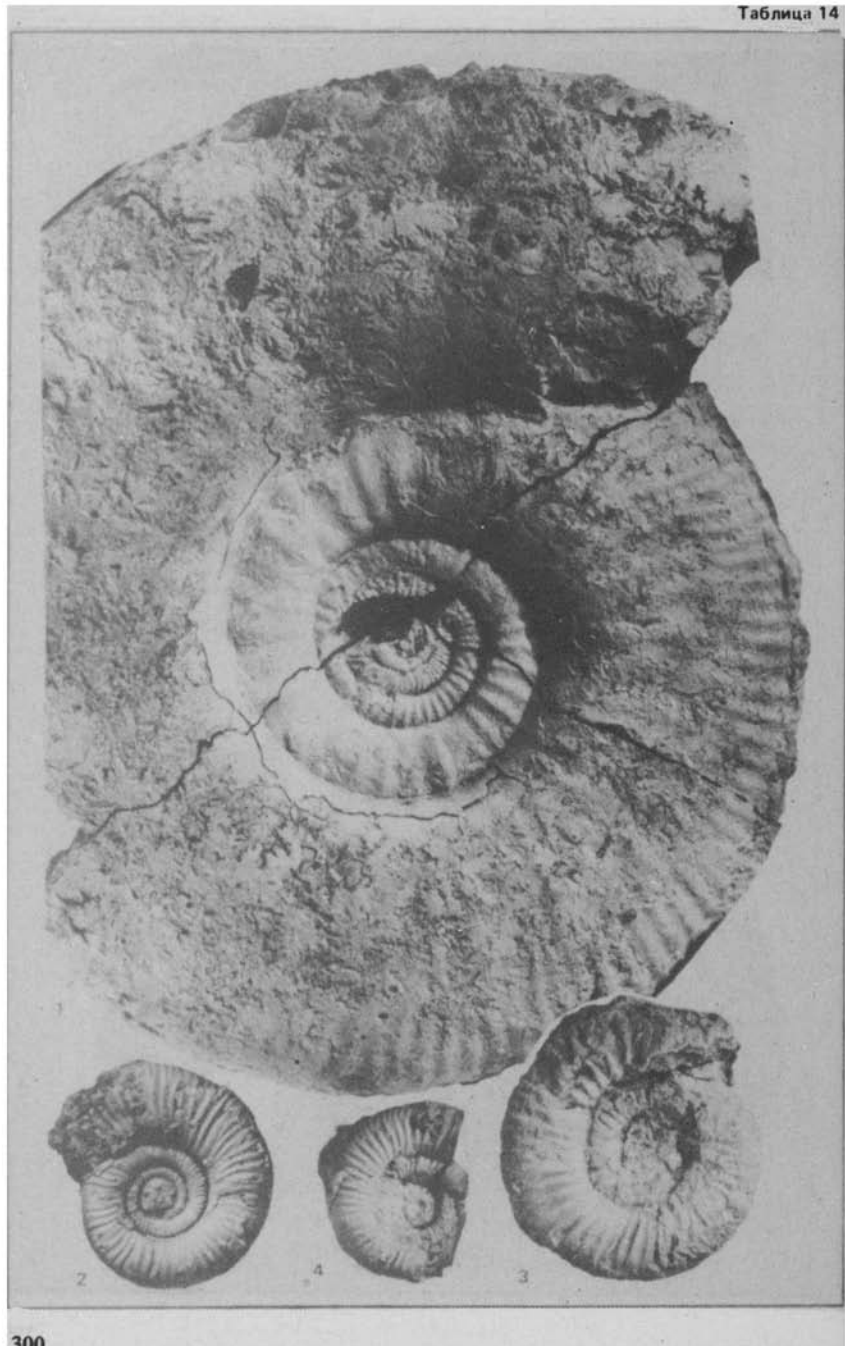














2



3a

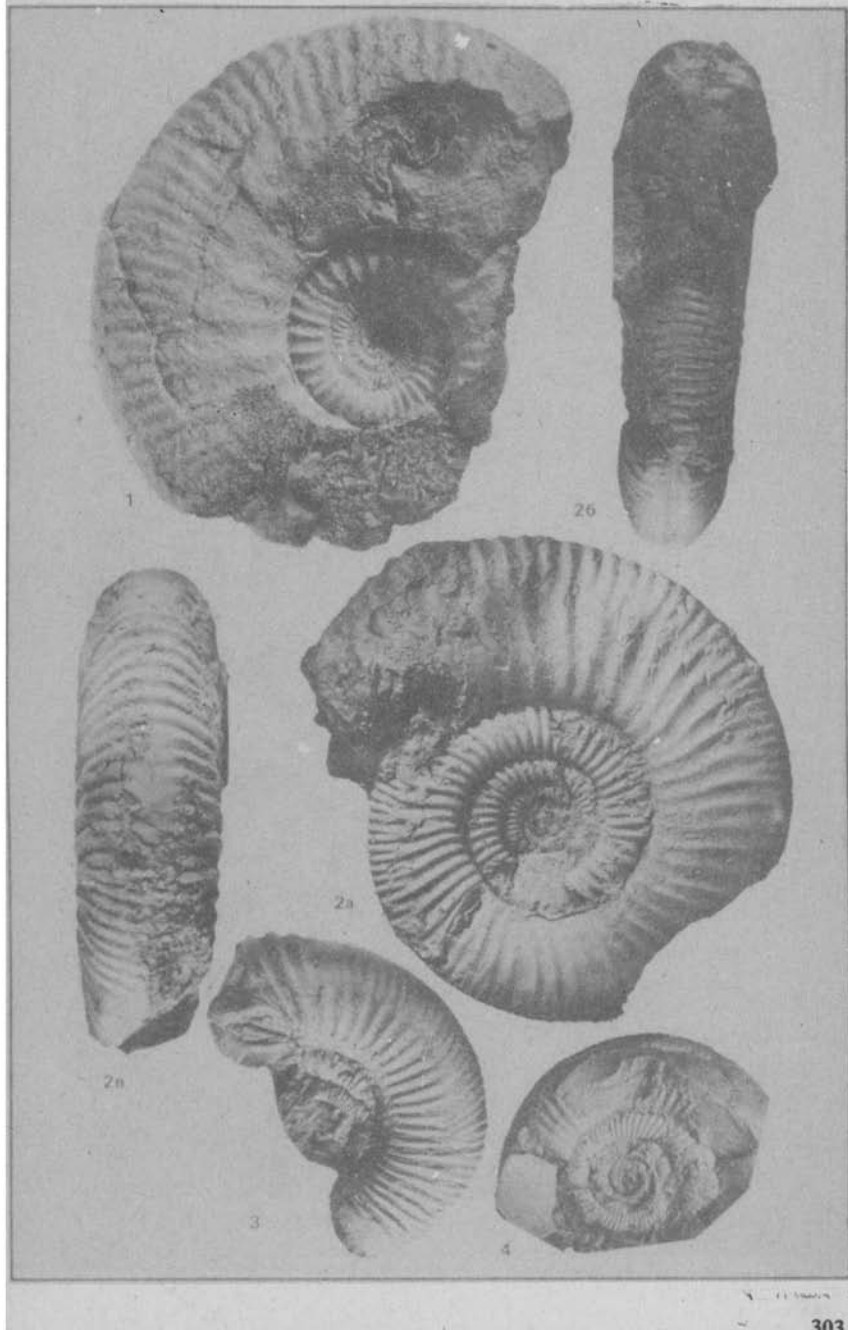


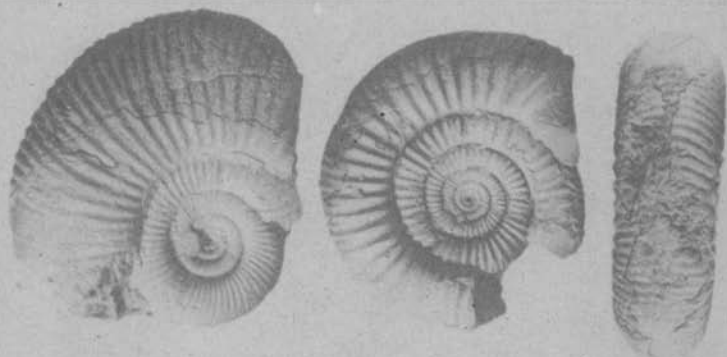
3b



4







2a

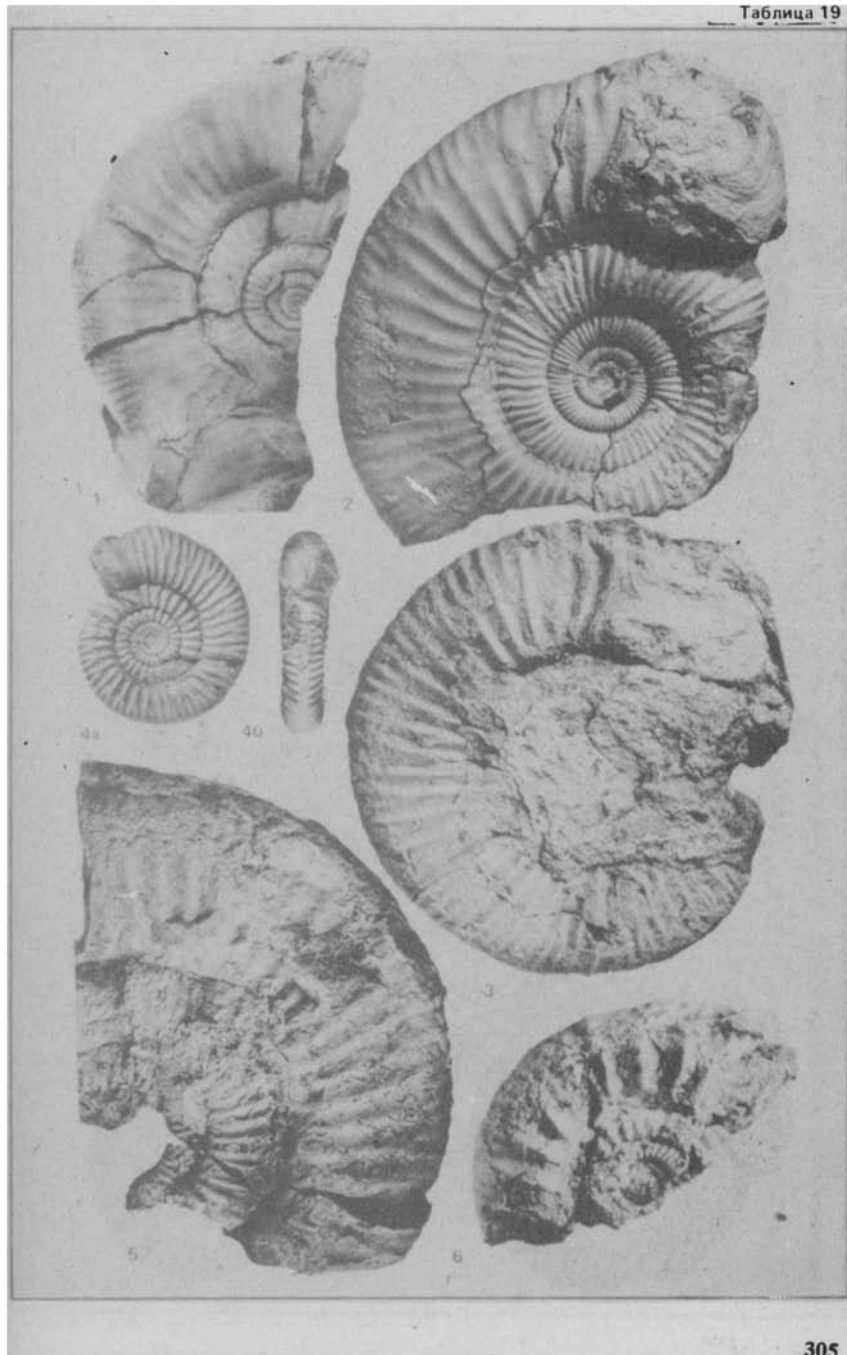
2b

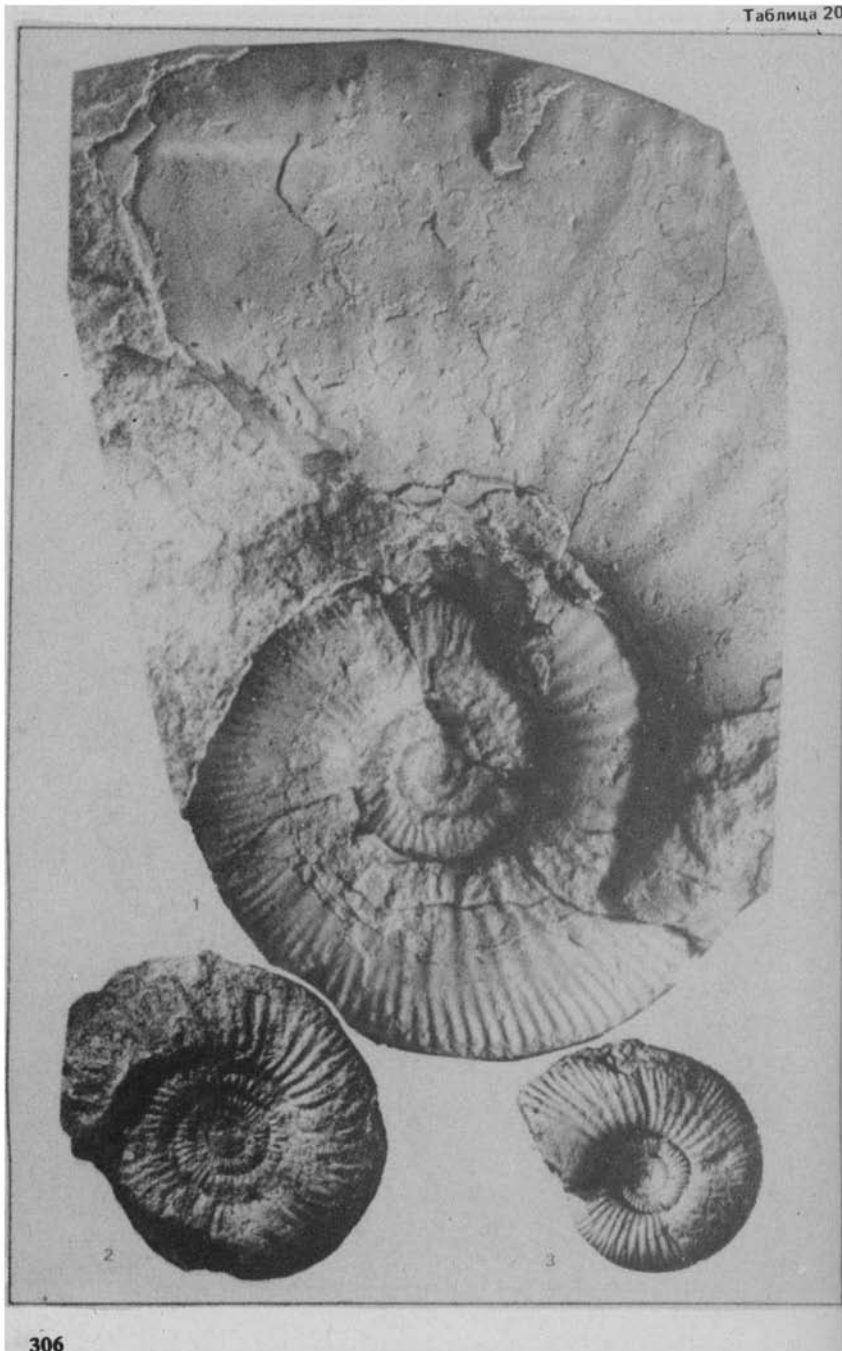


3a



3b







36



34



4

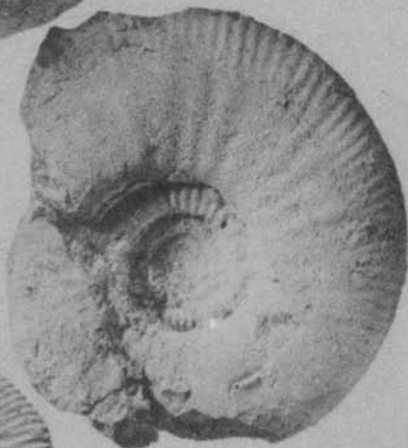




26

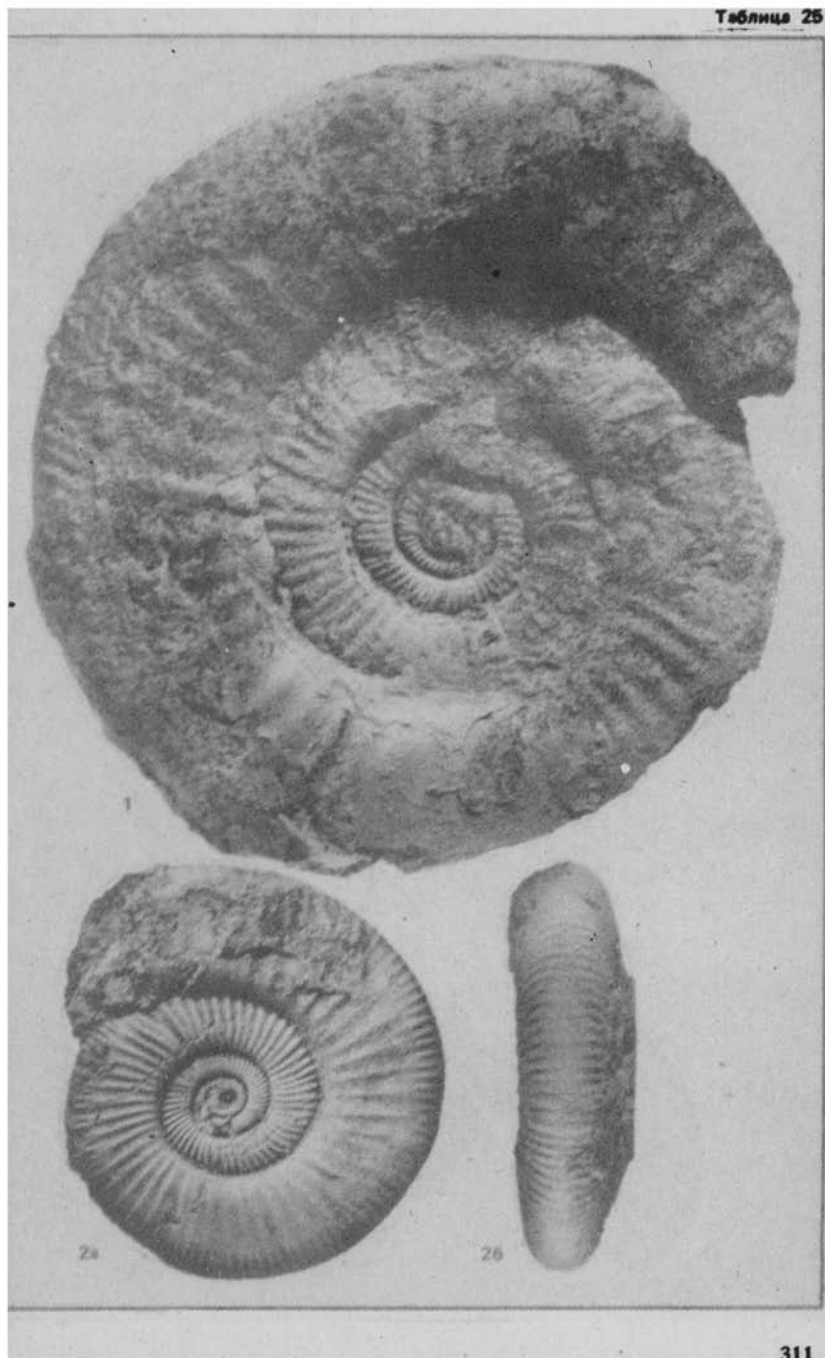


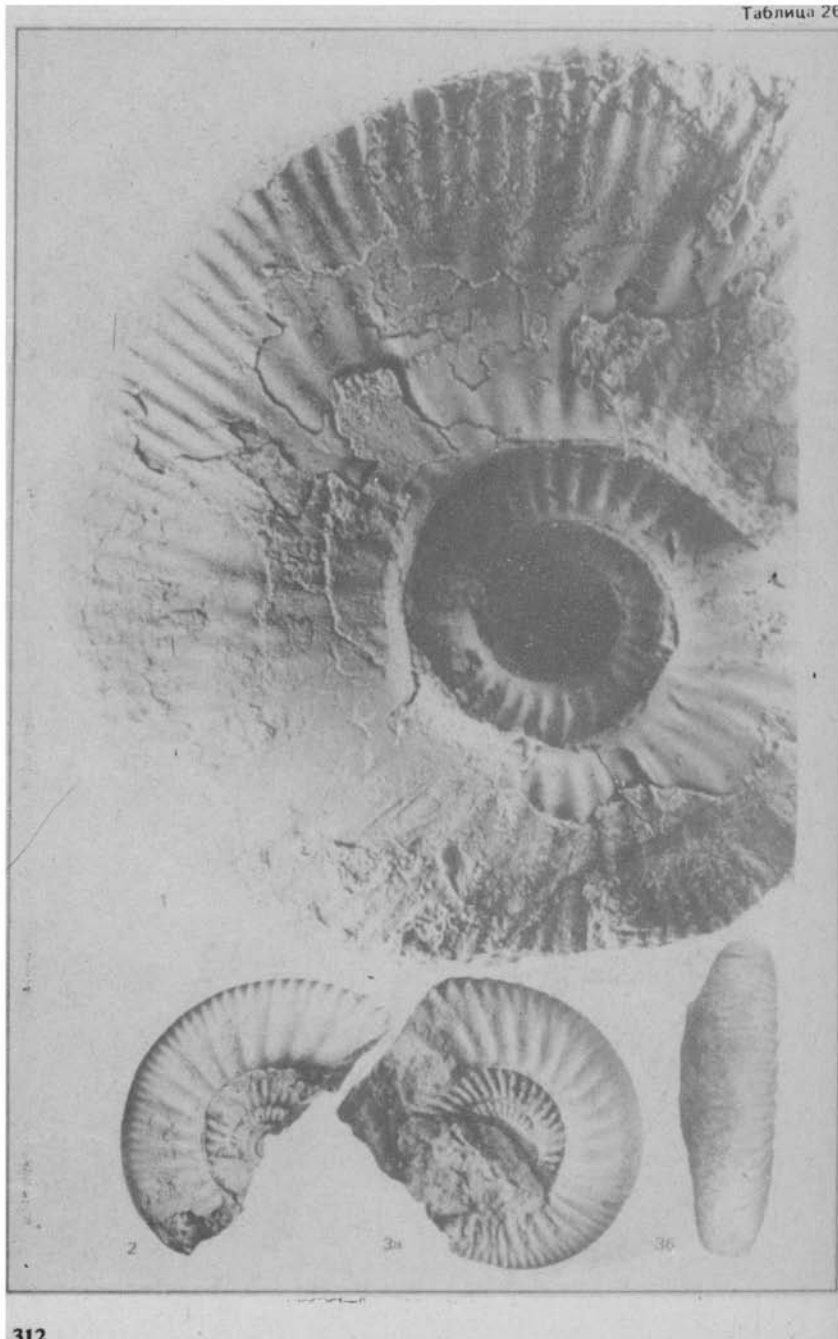
2a

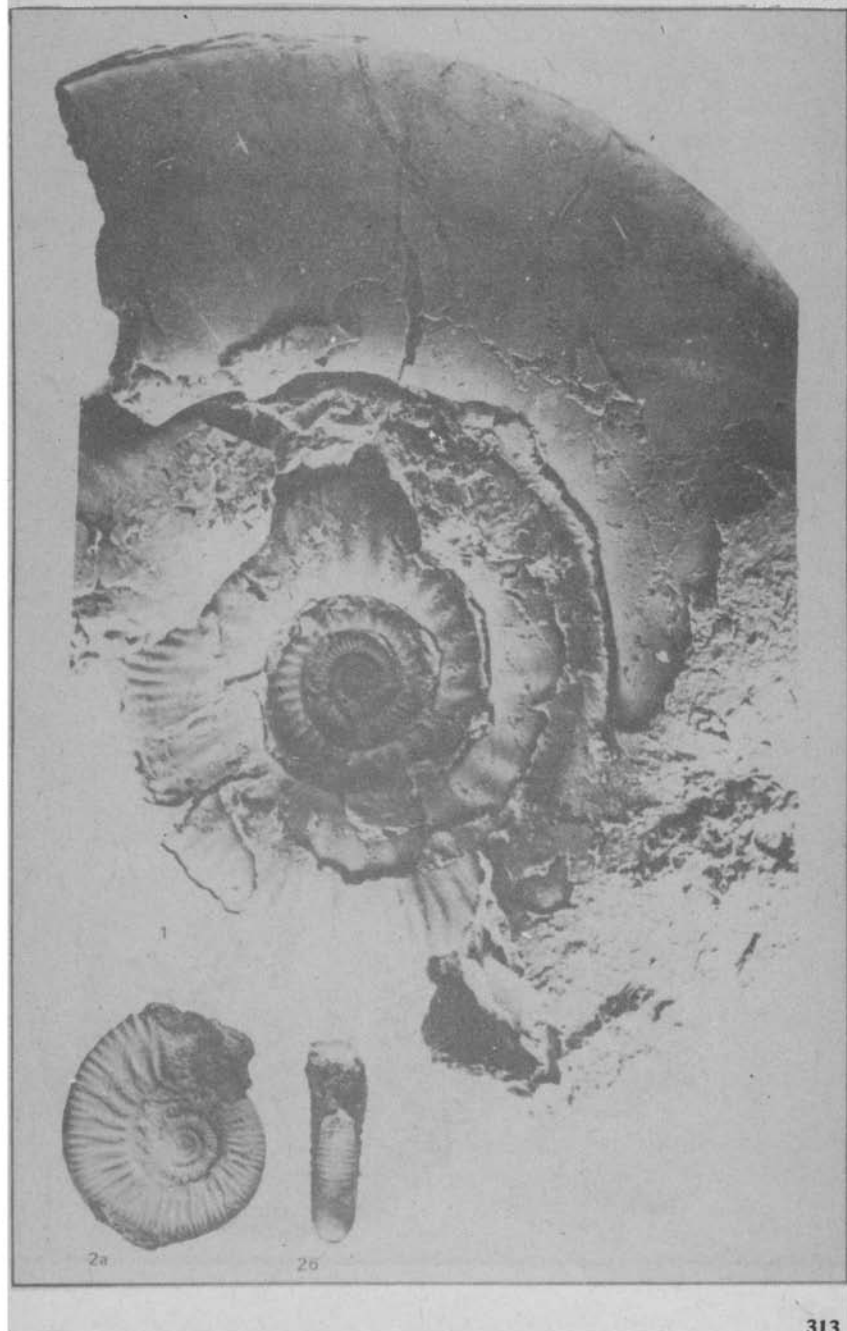


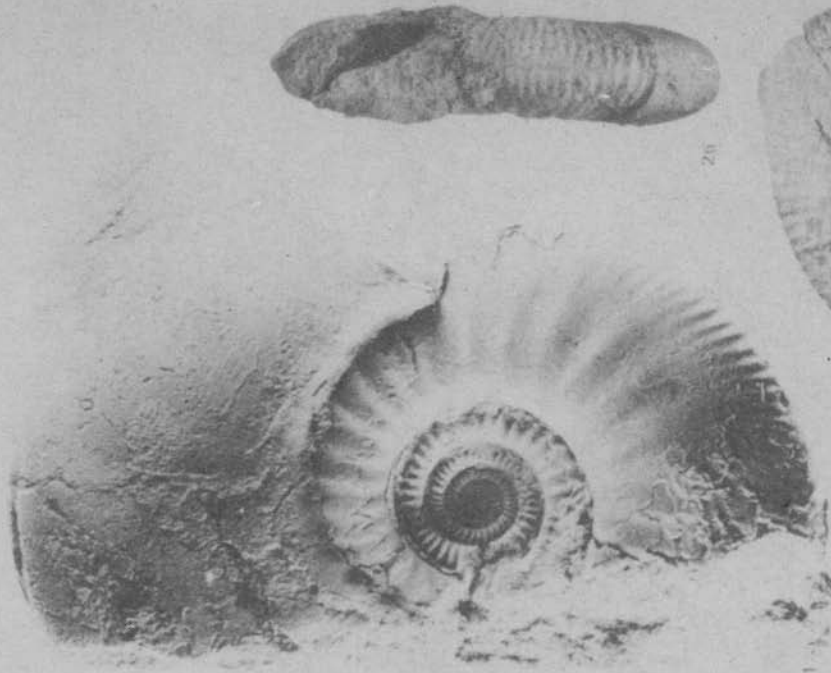
3











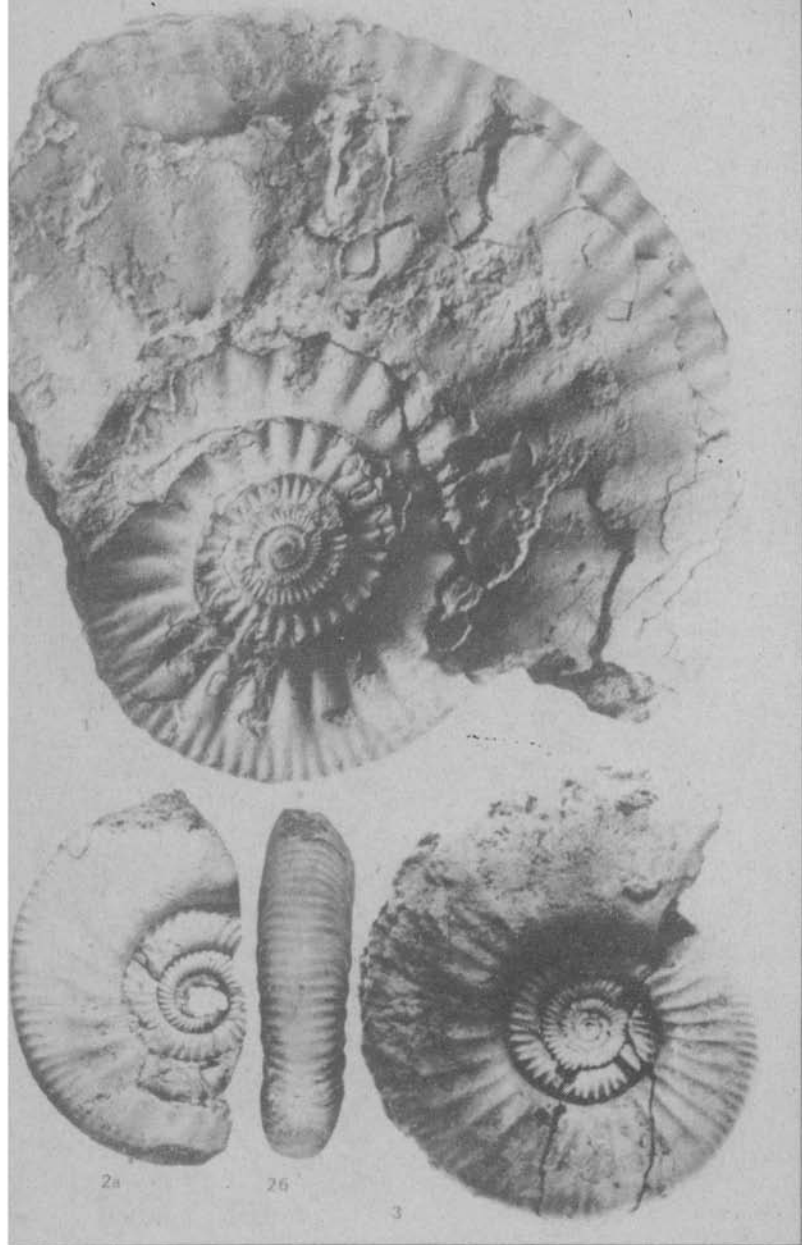
26

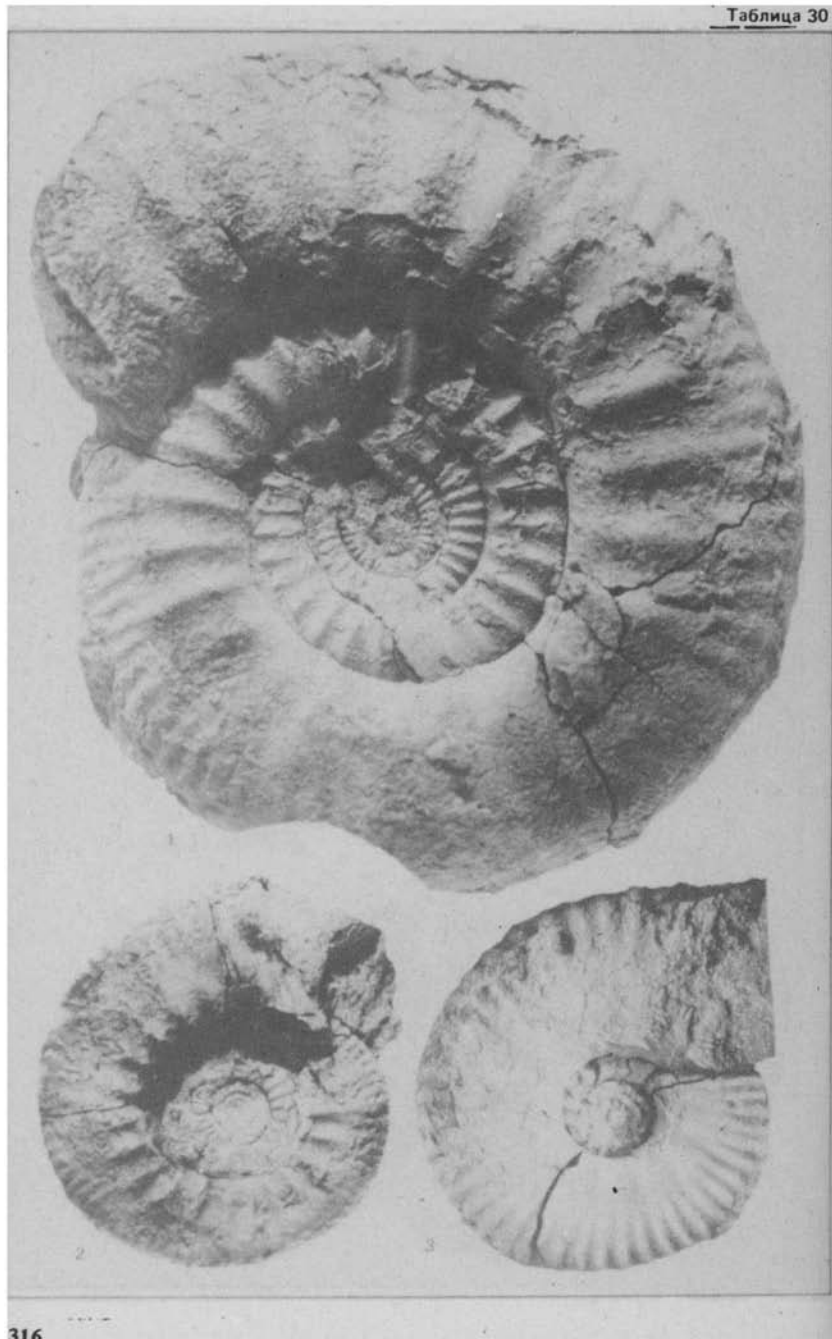


25



3





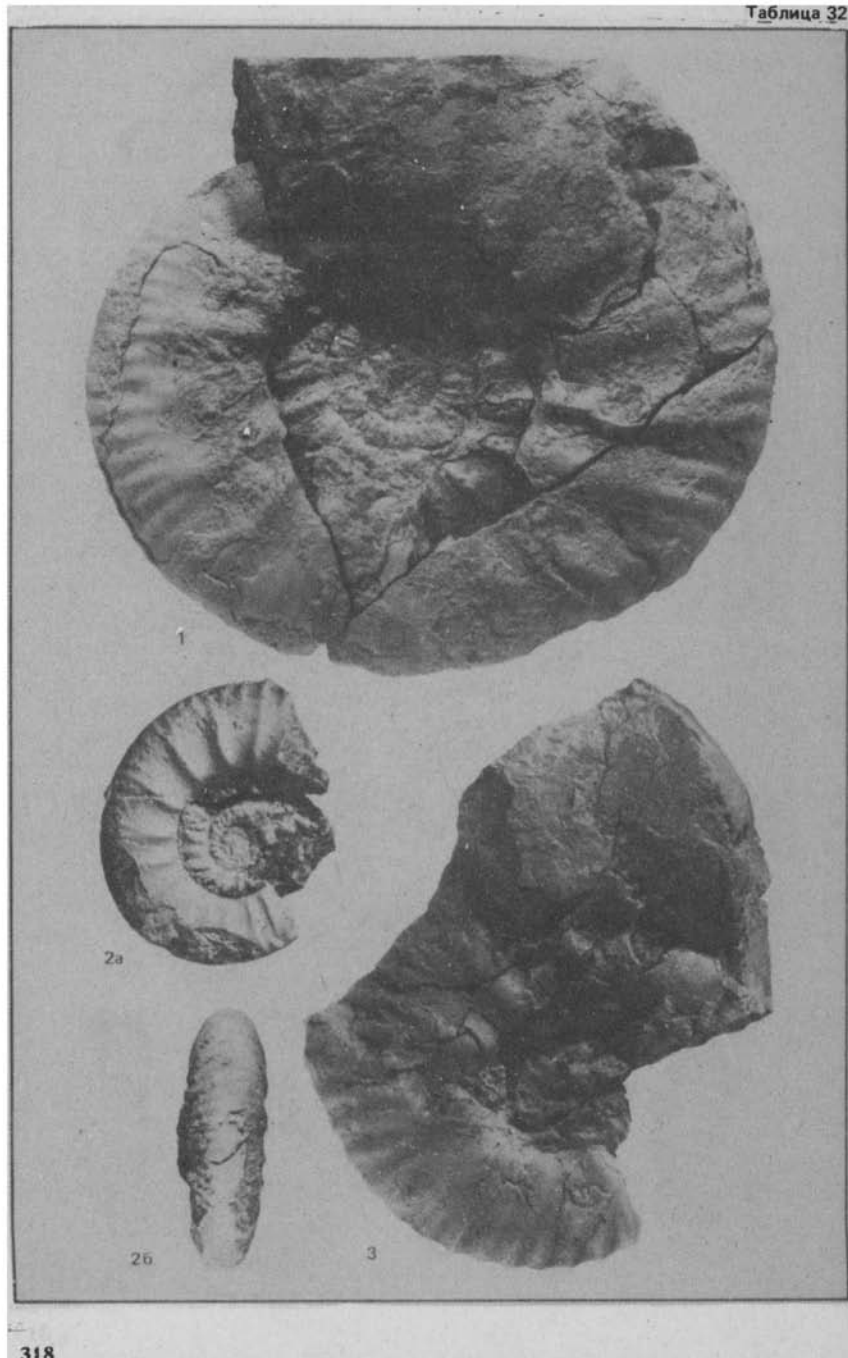


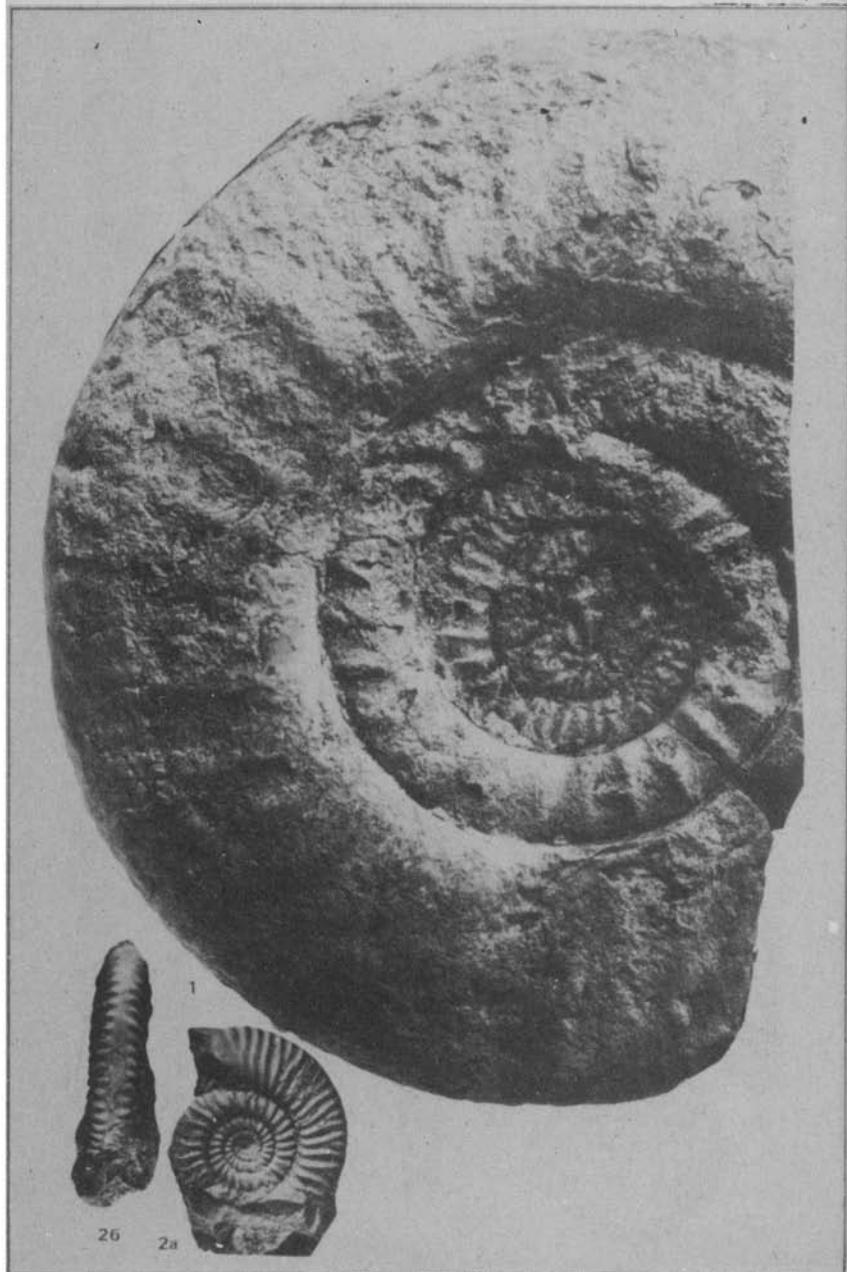
26

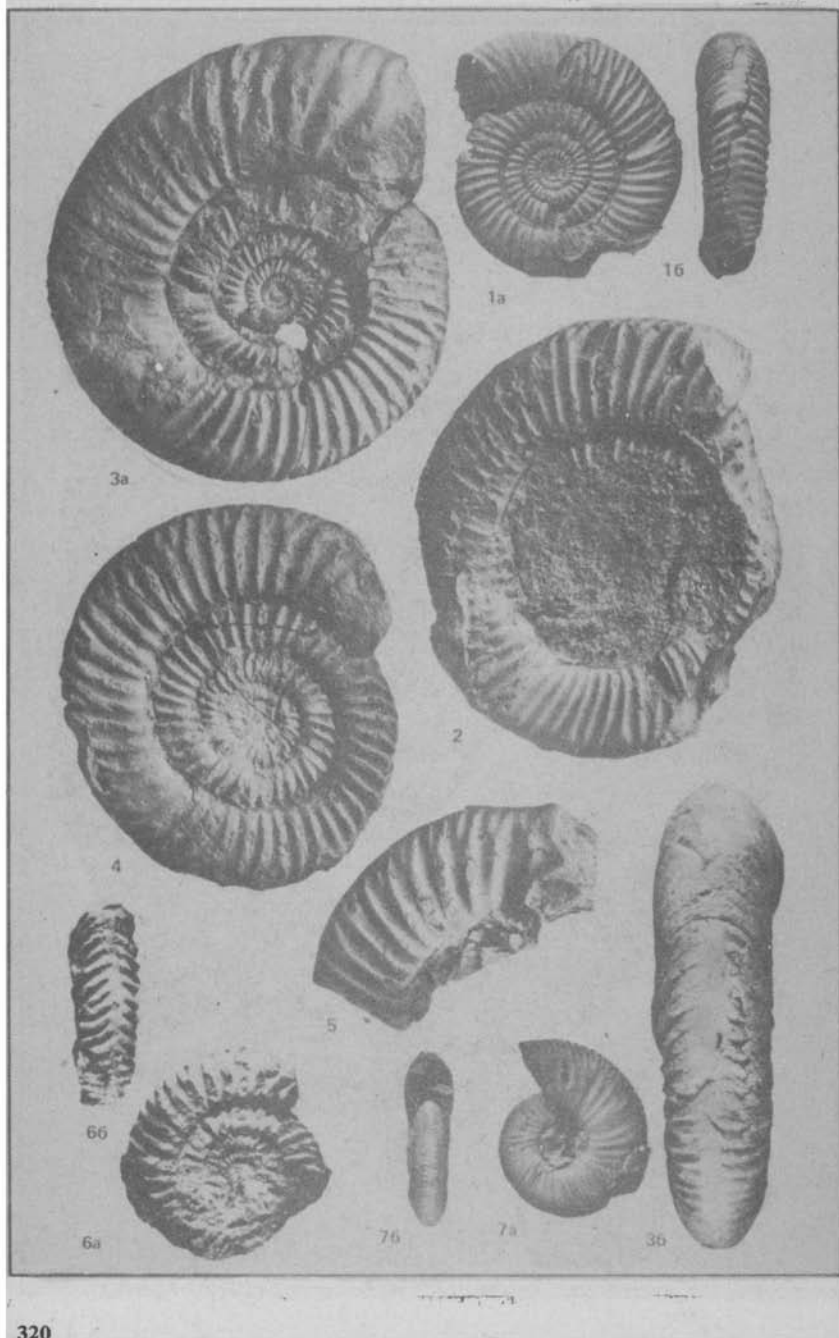
2a

3a

3b

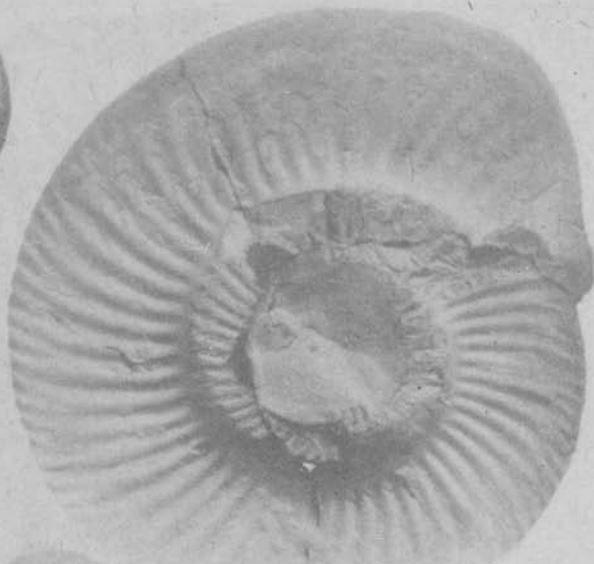








26



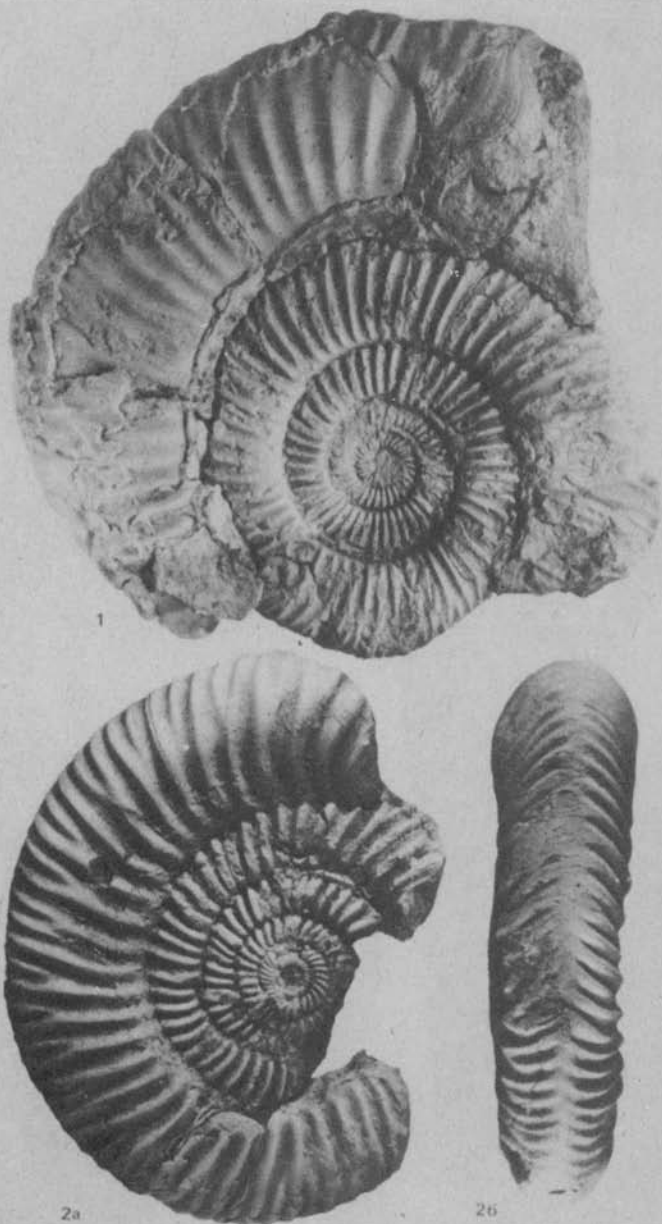
1a



1b

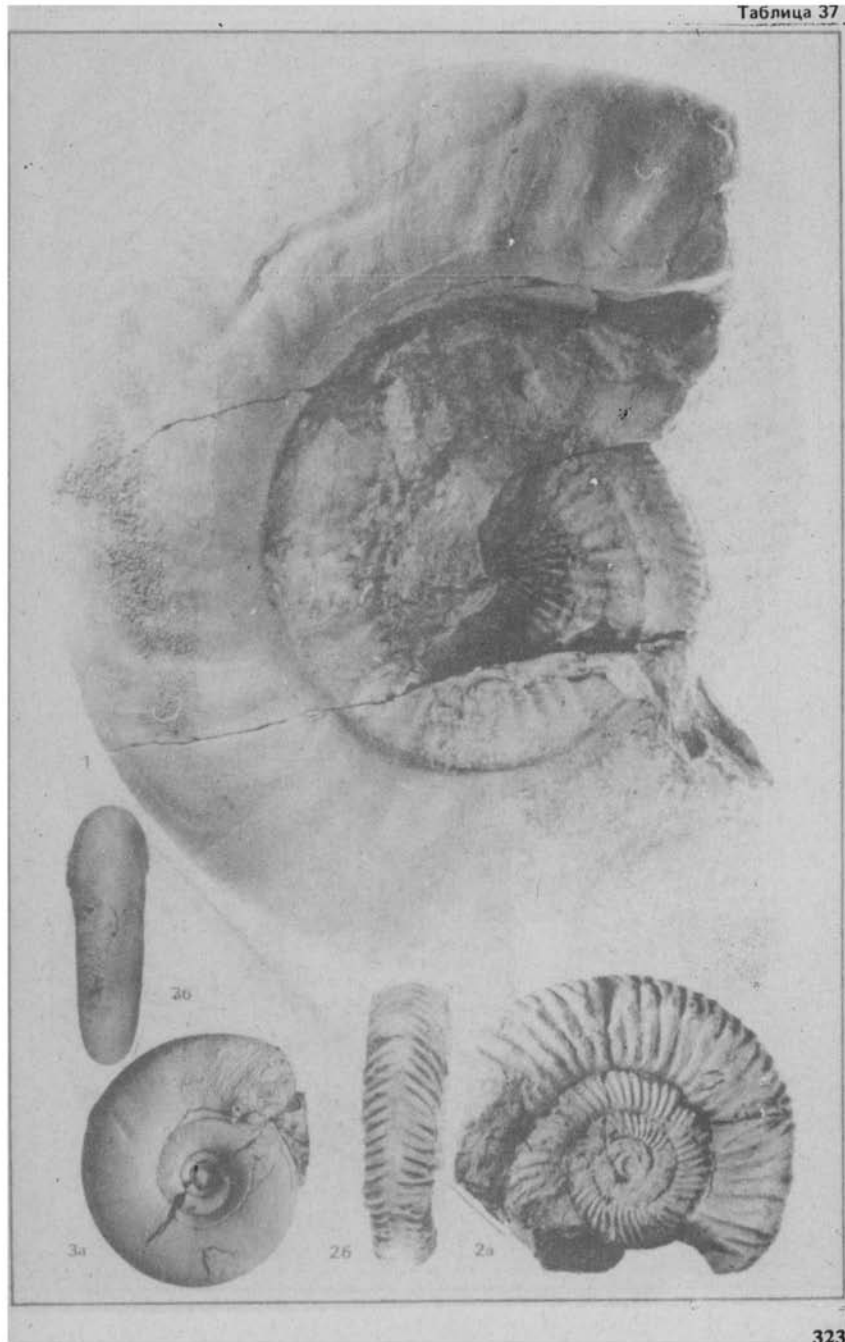


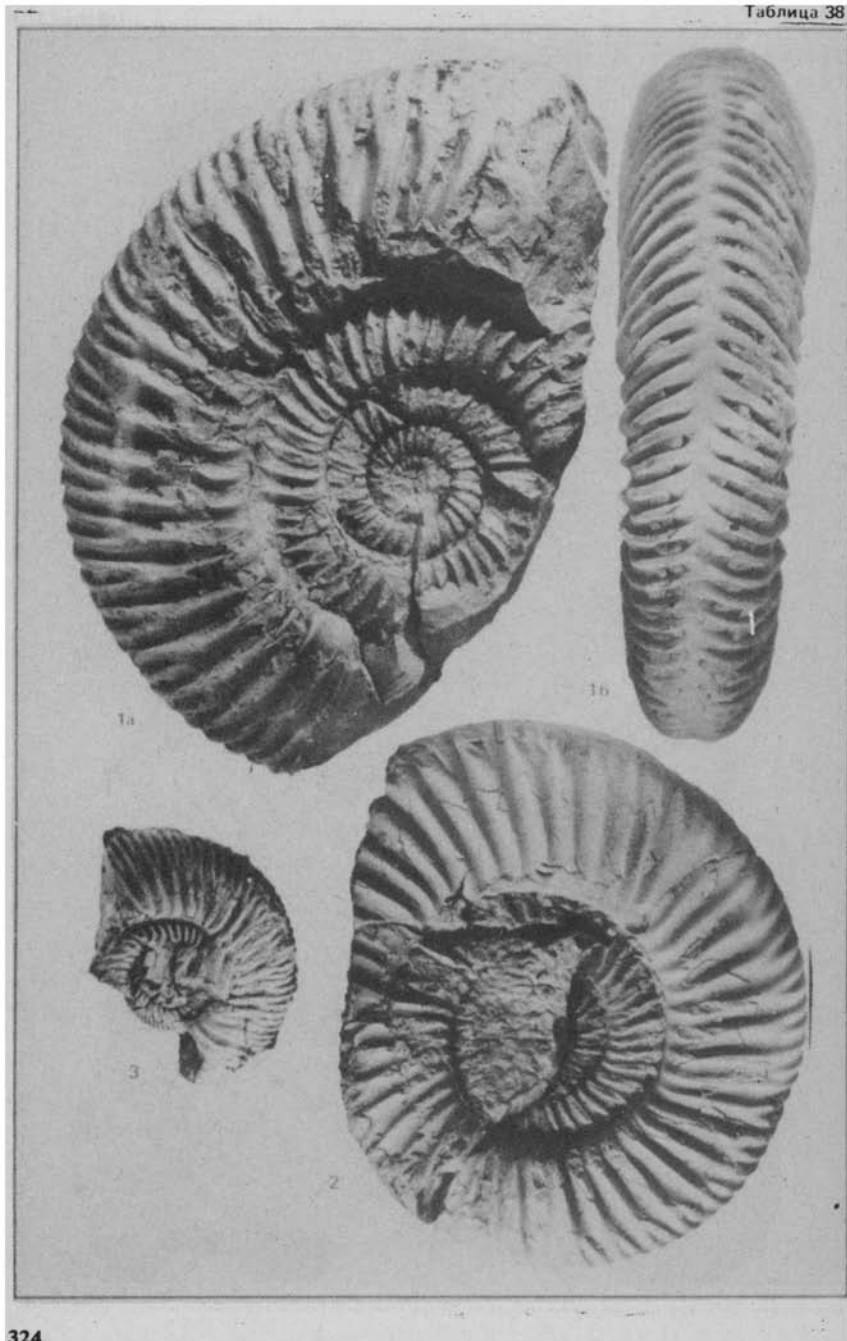
2a

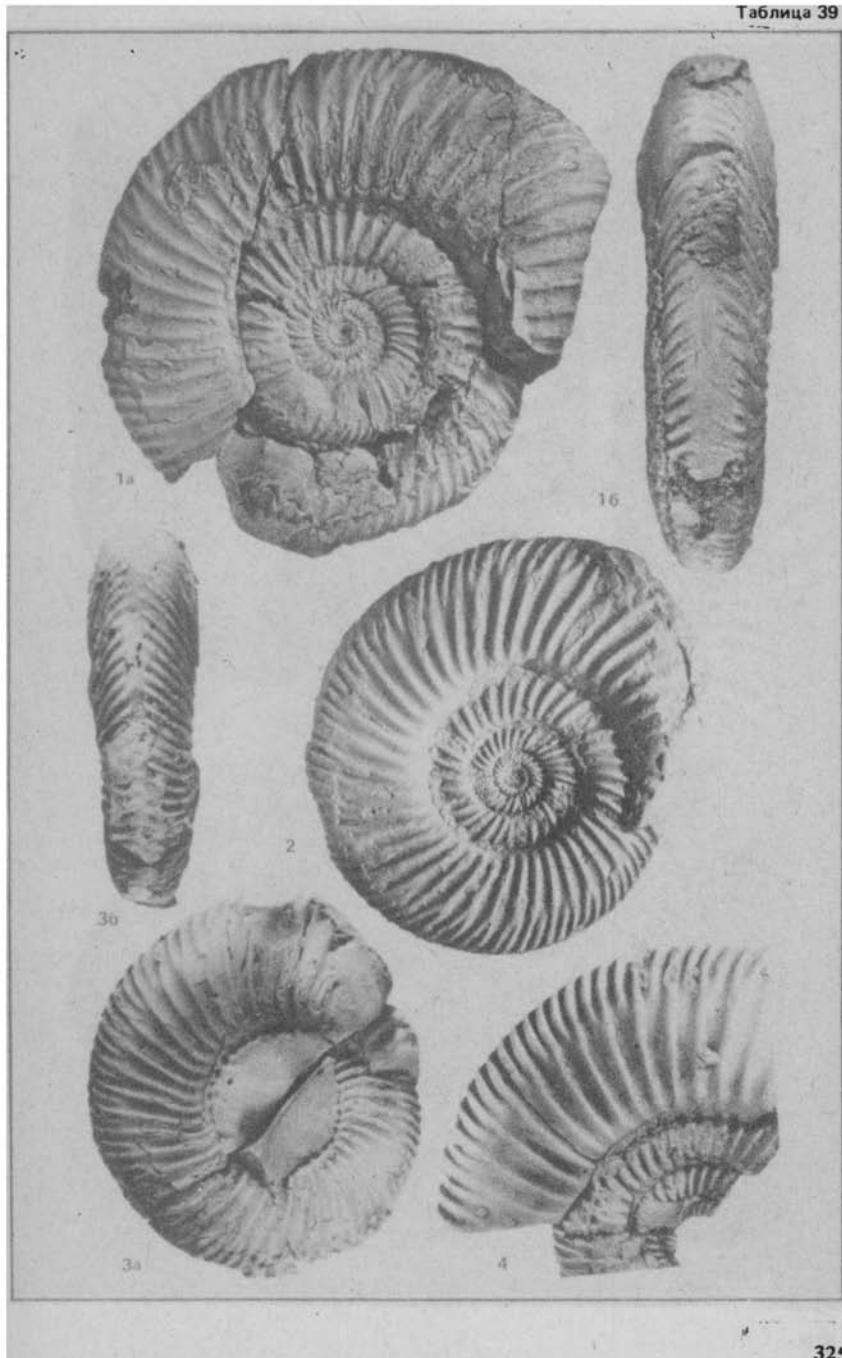


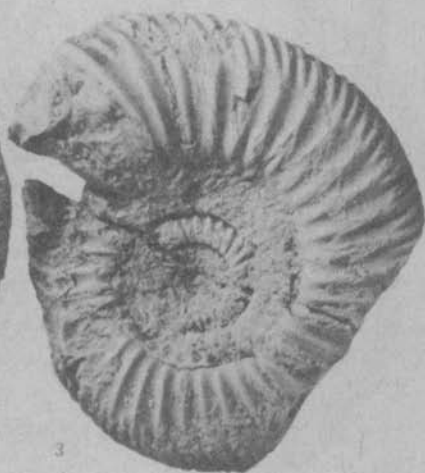
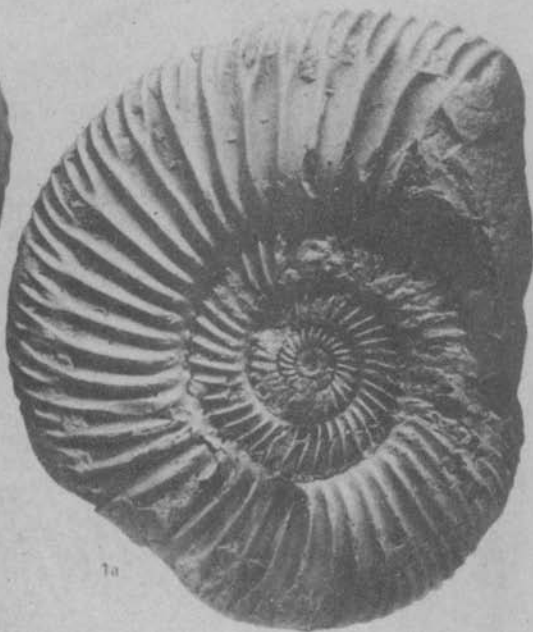
2a

2b











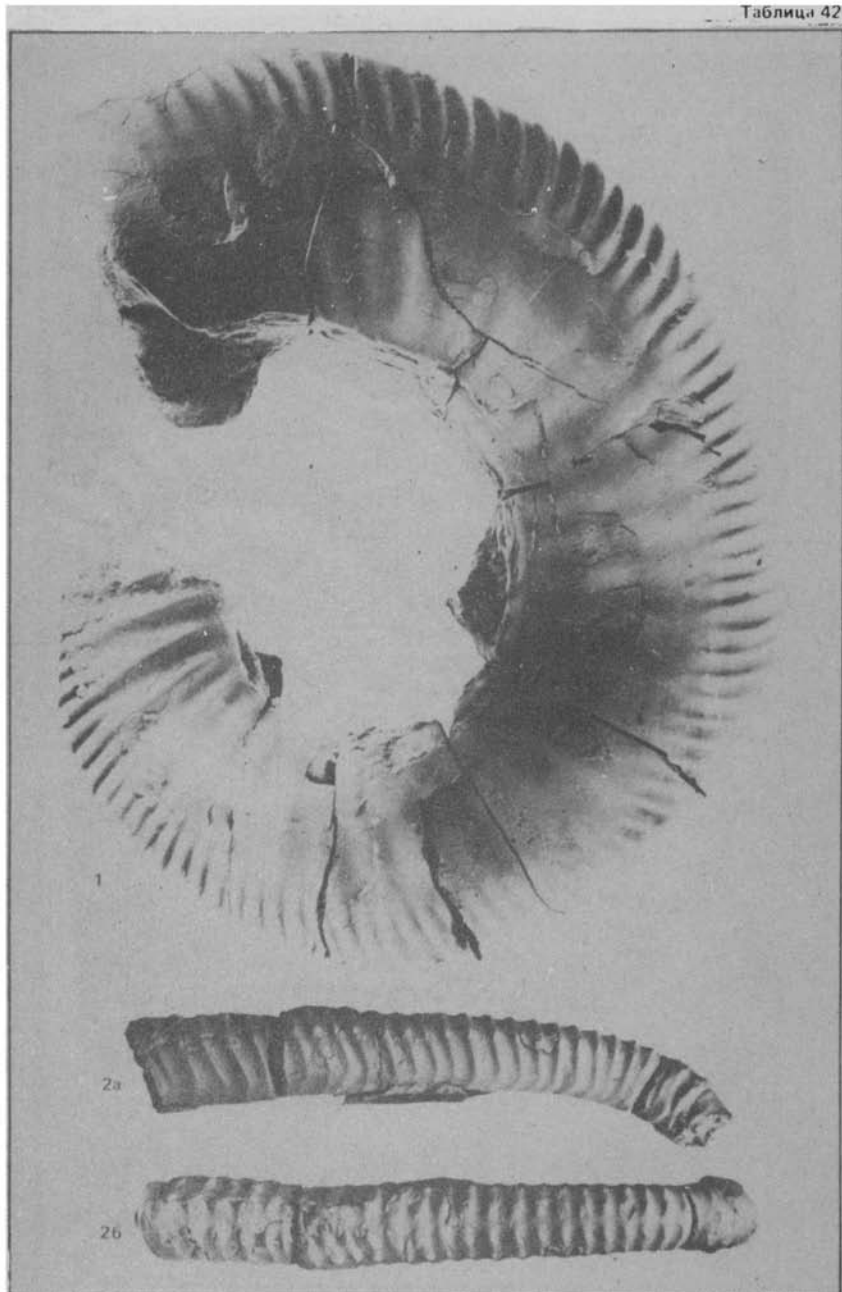
2a

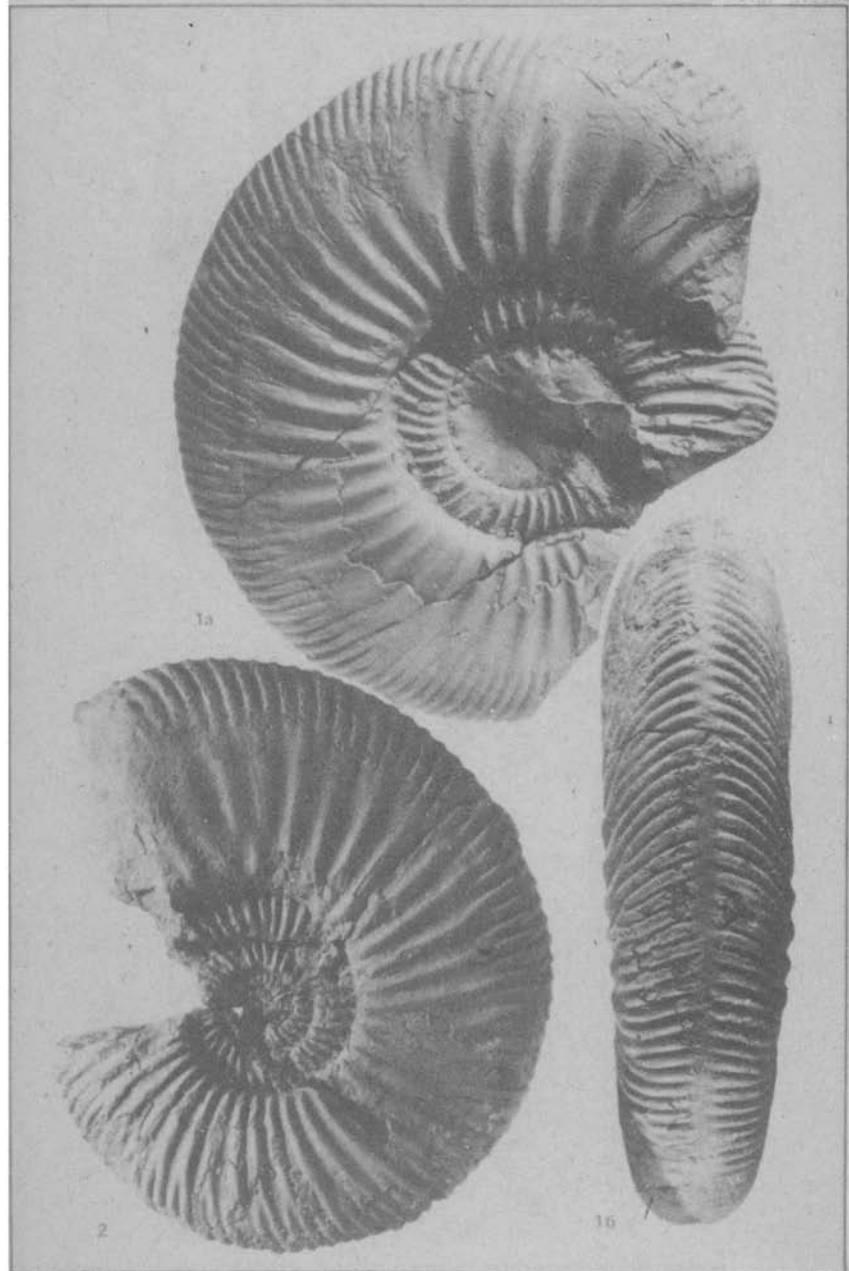


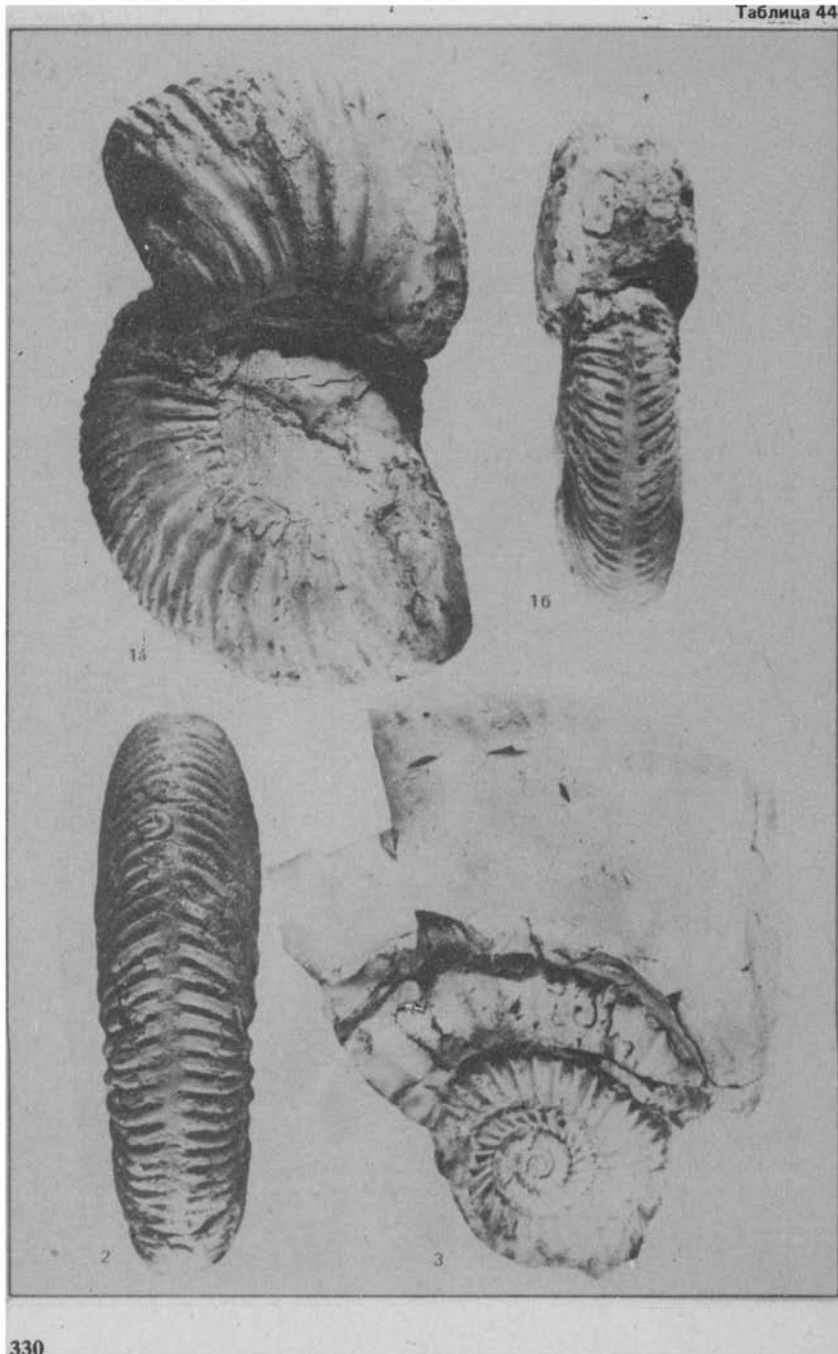
2b

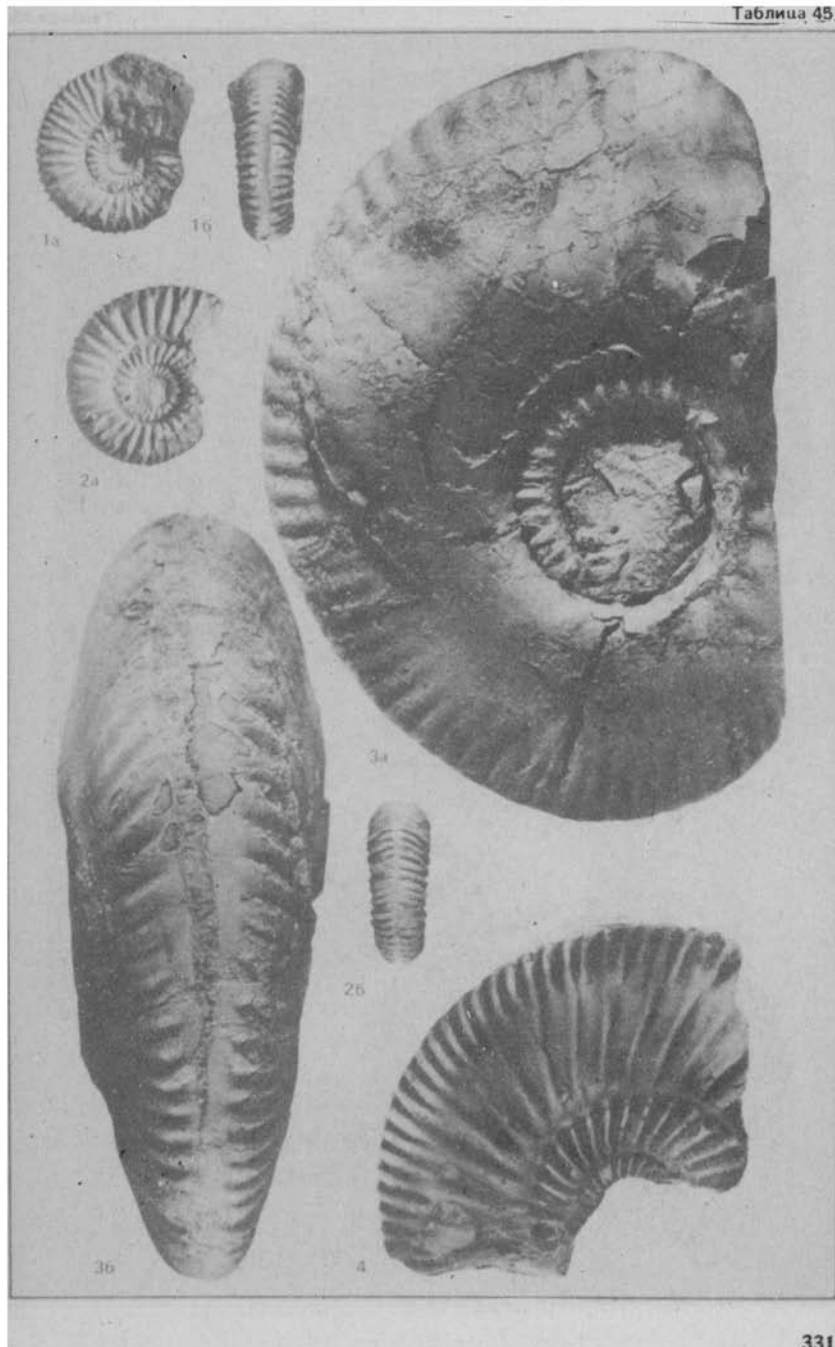


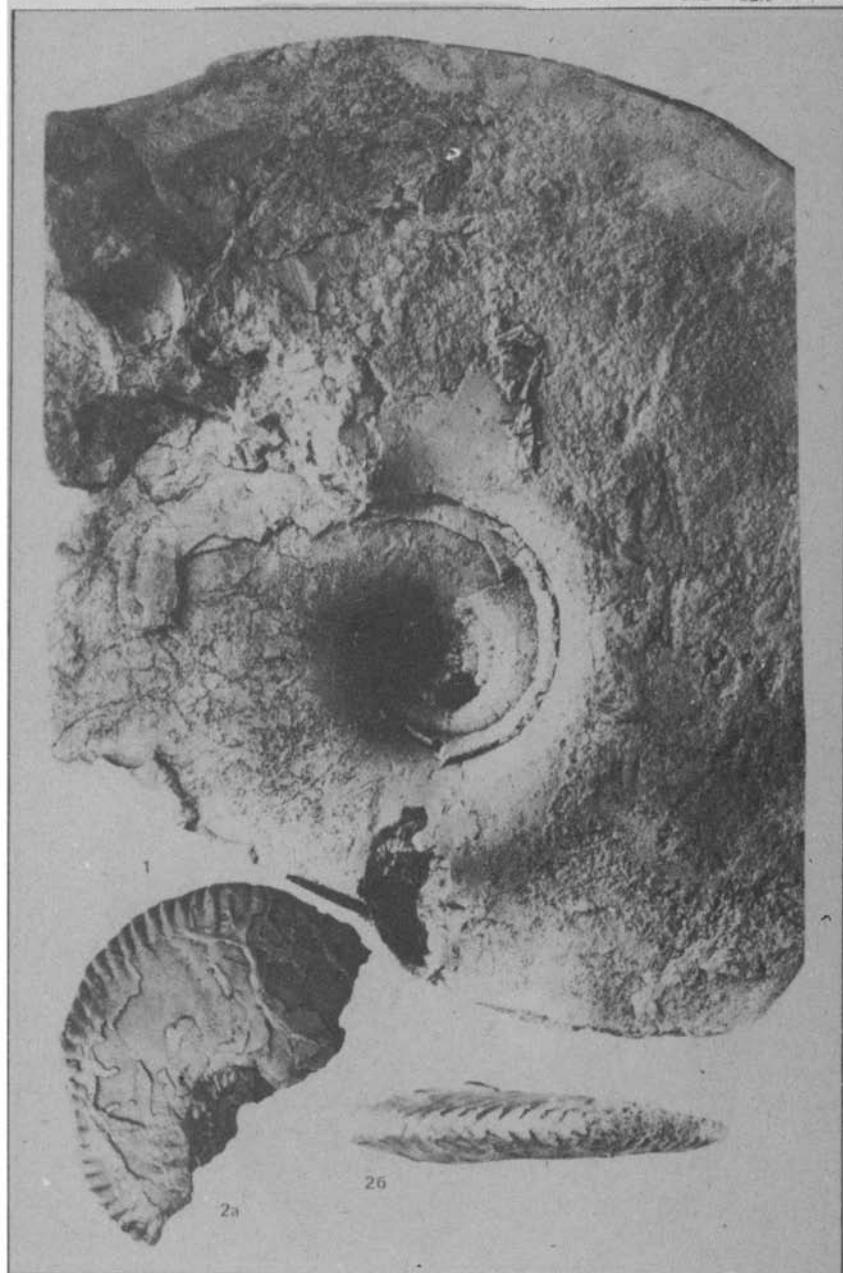
2c

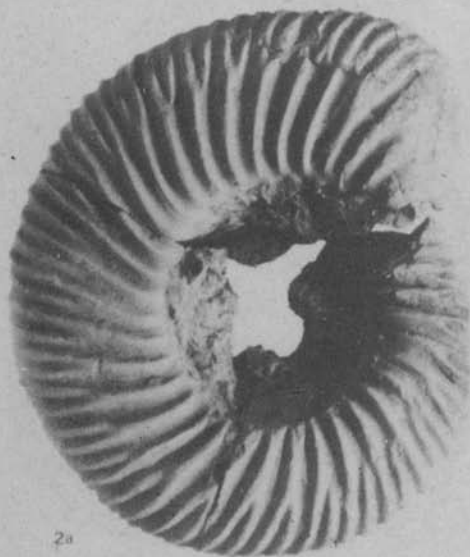


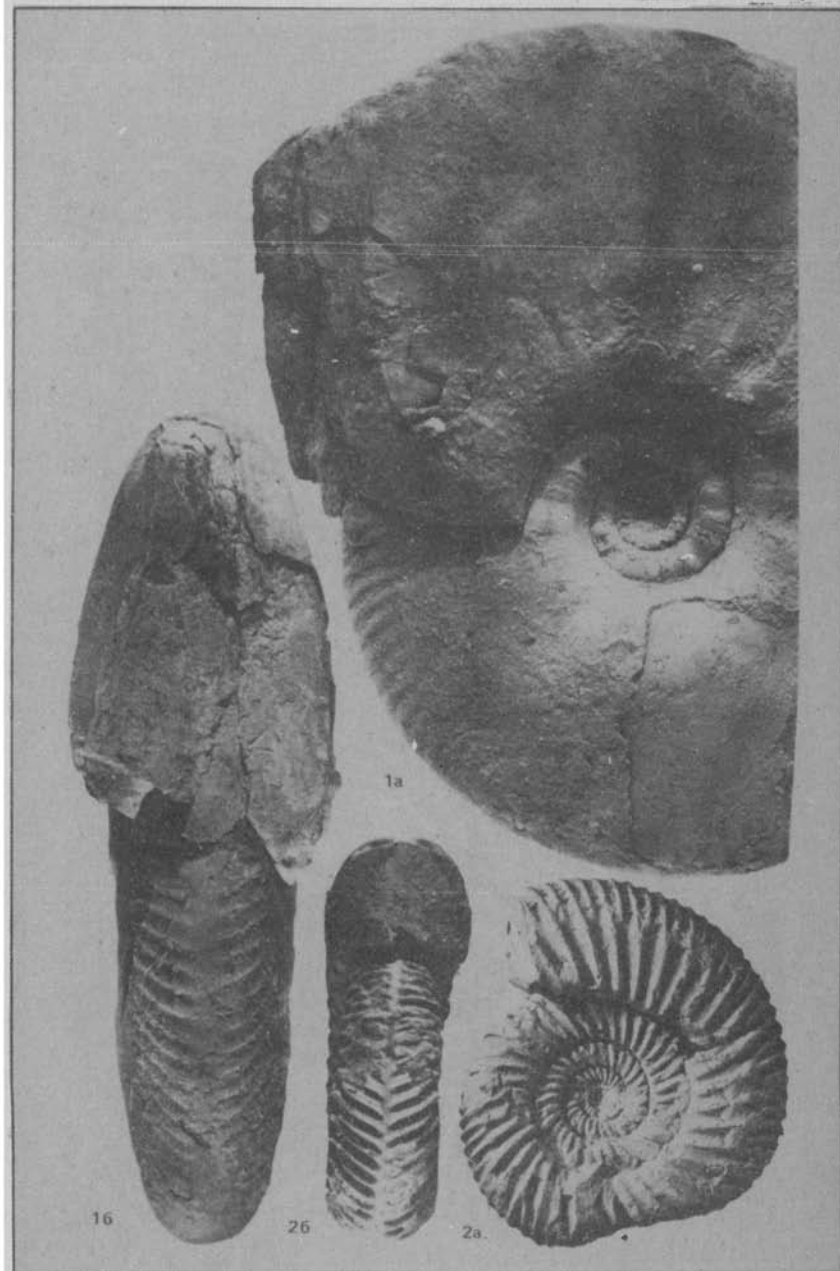


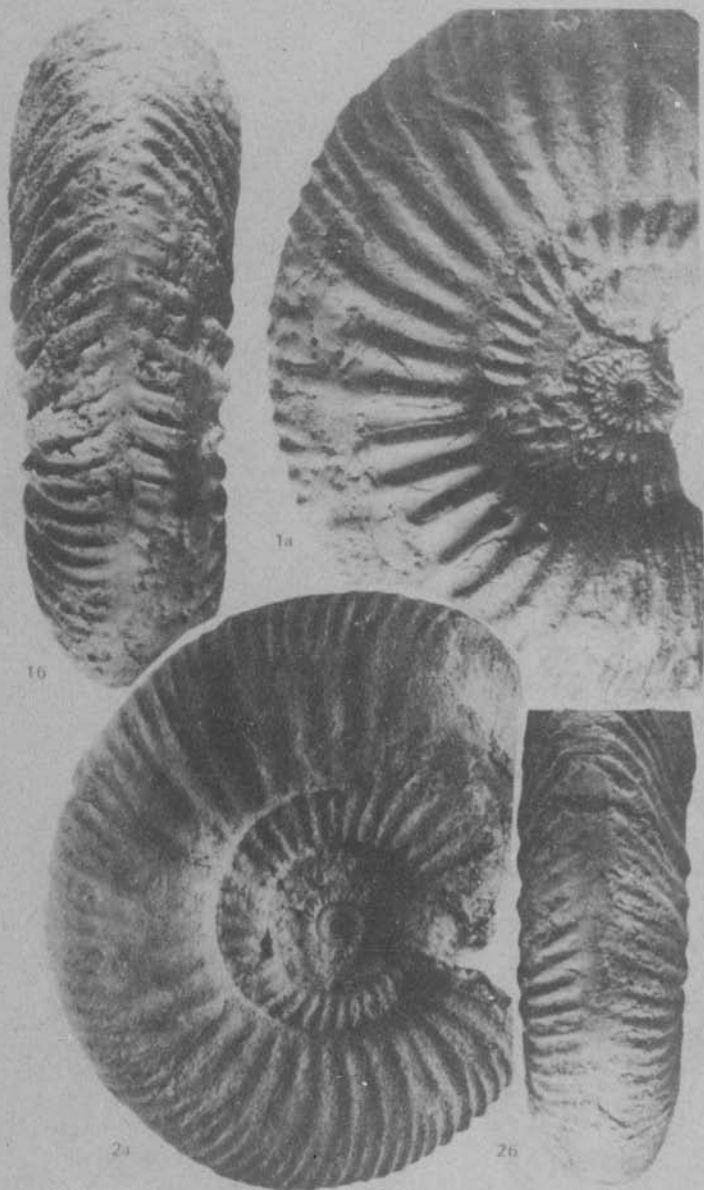


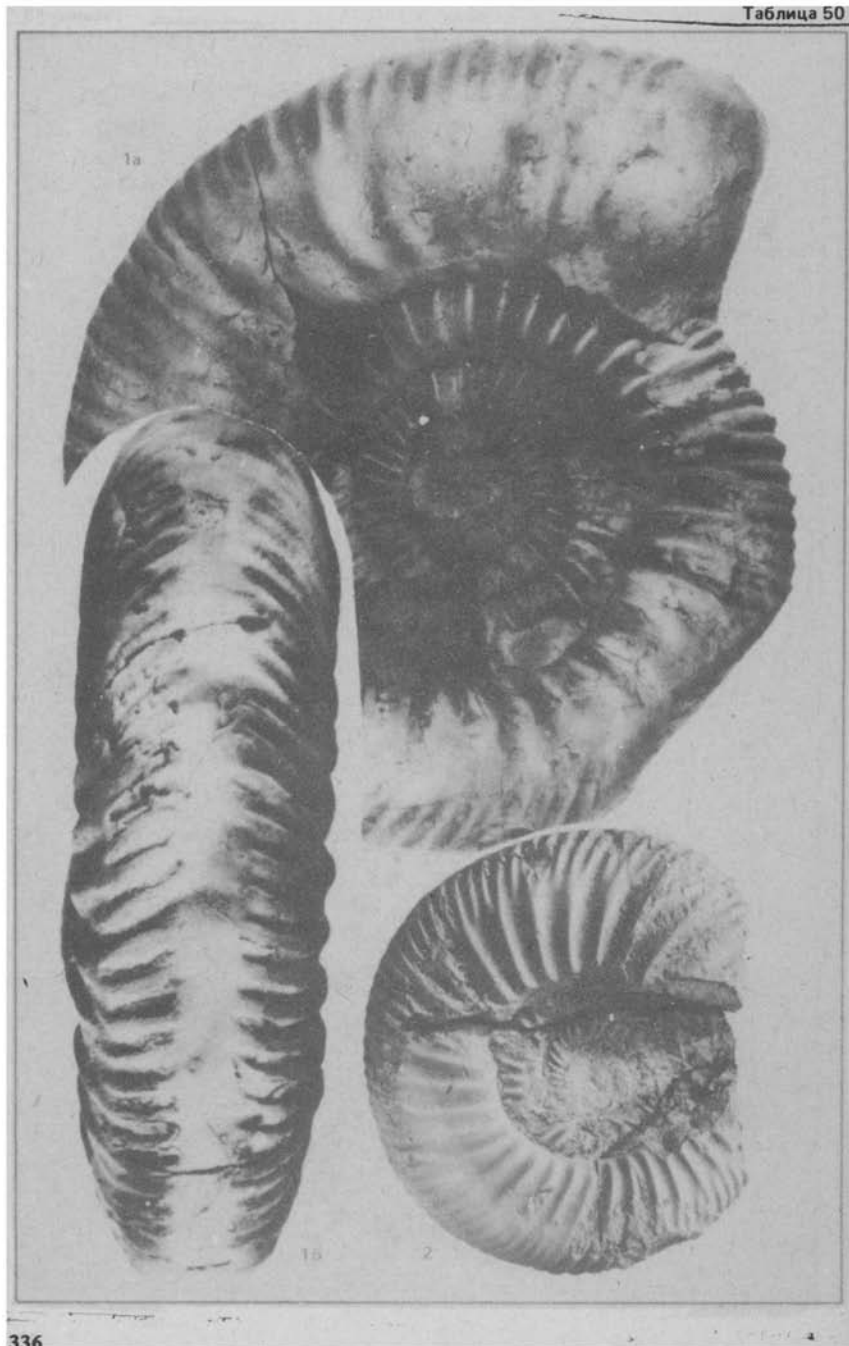


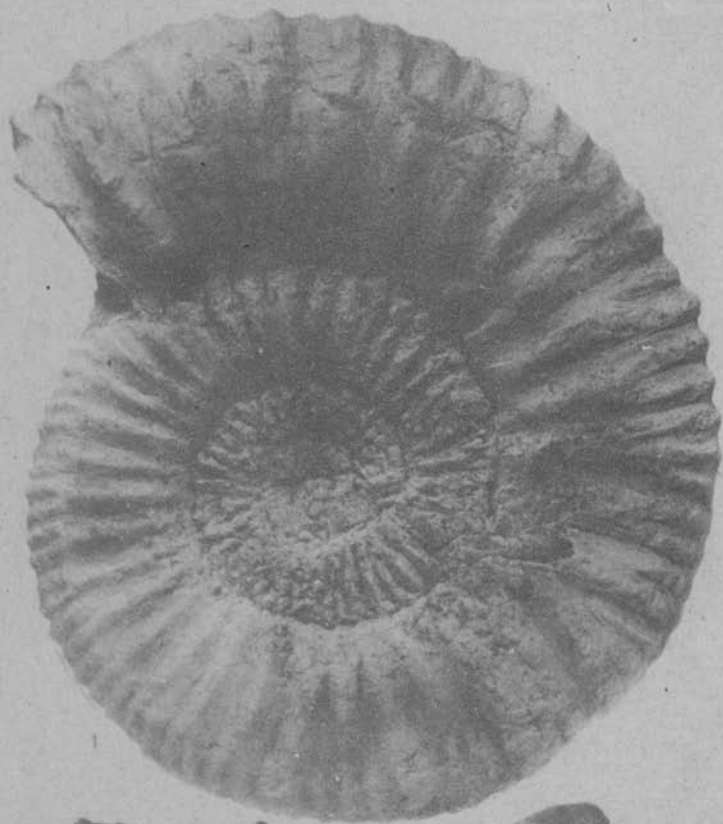












24



25



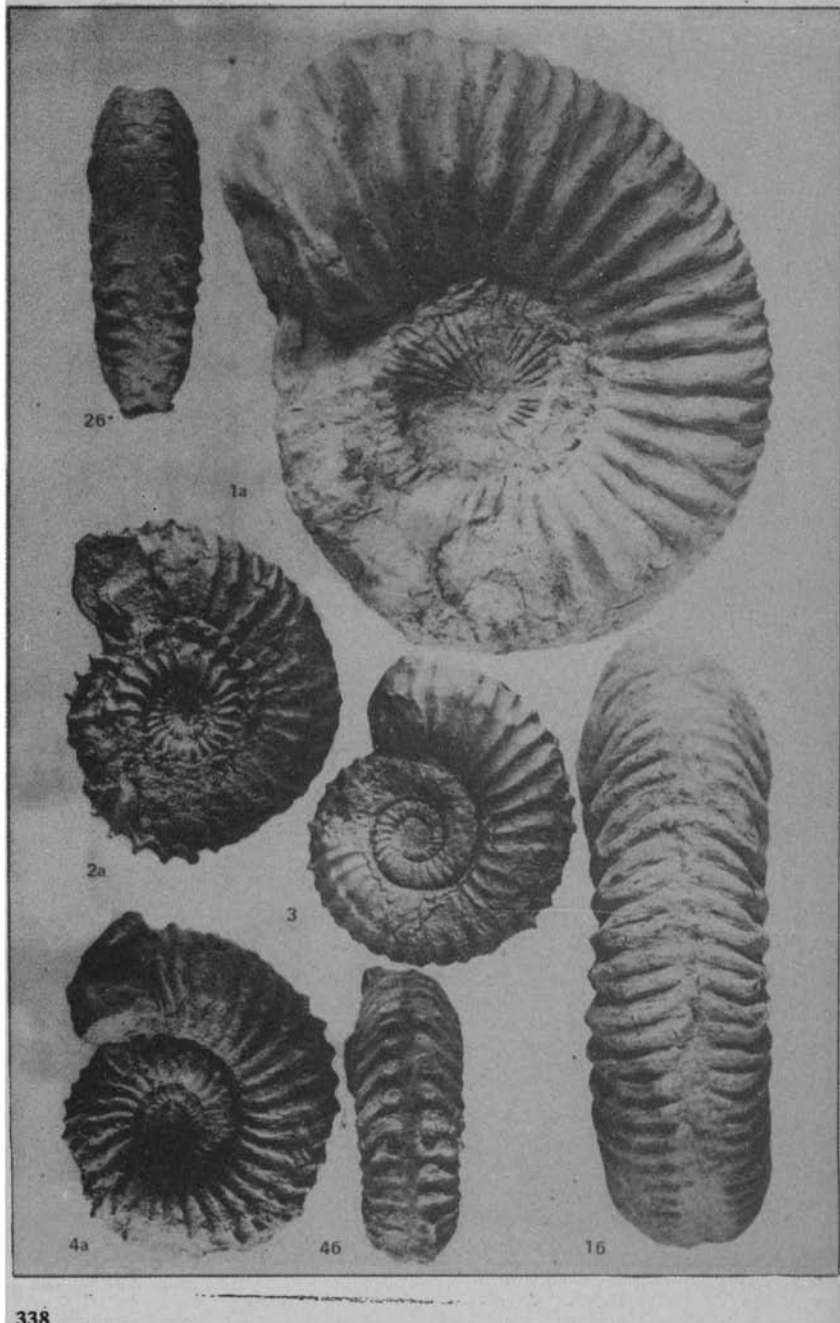
46

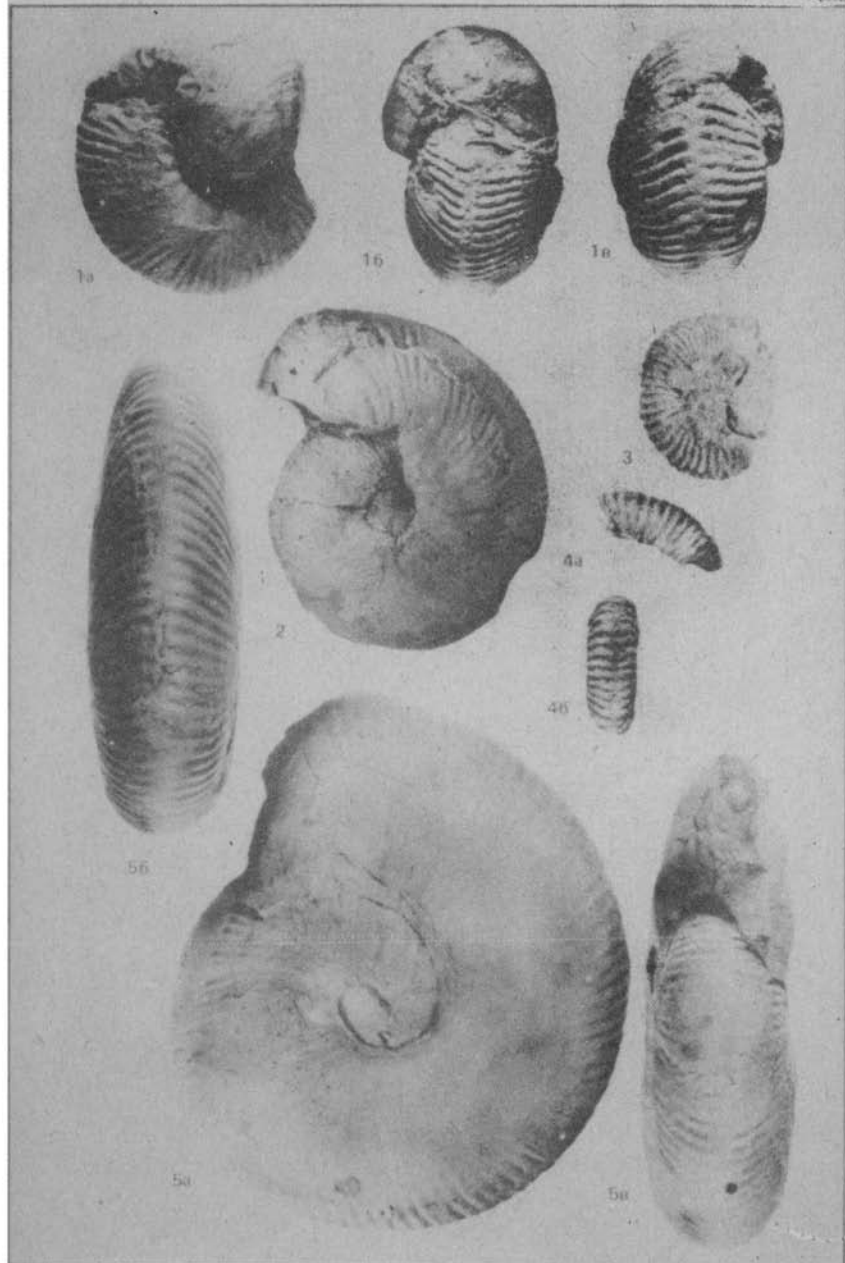


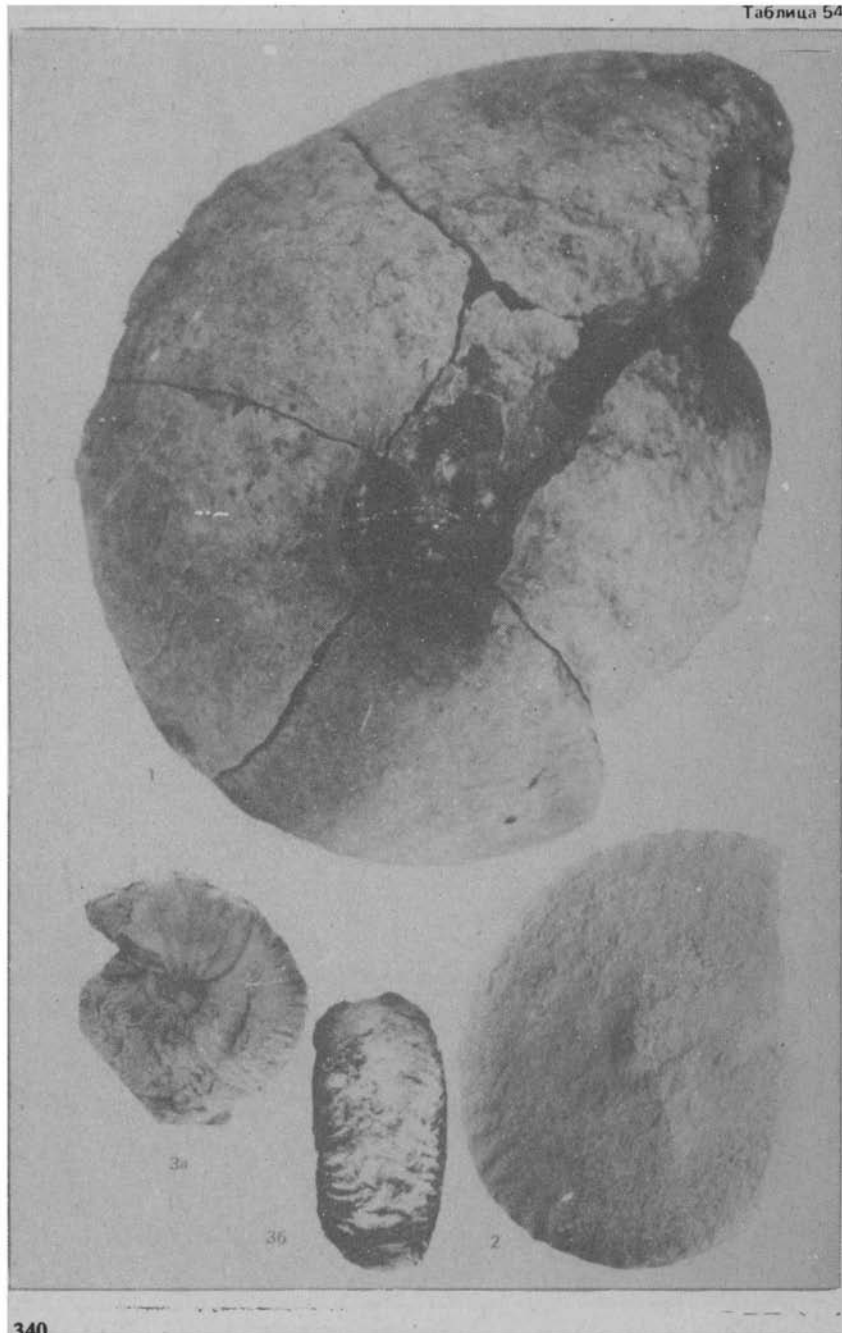
40

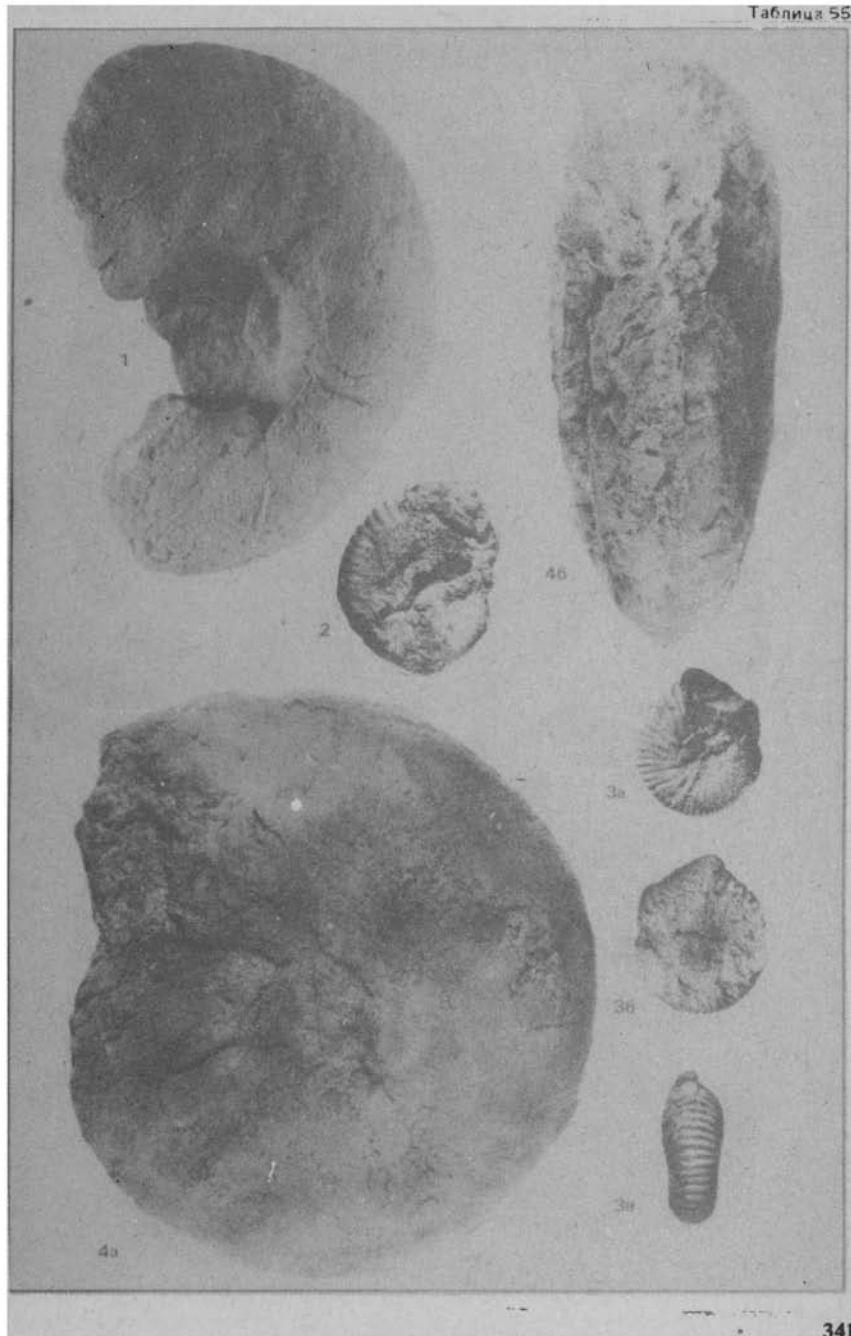


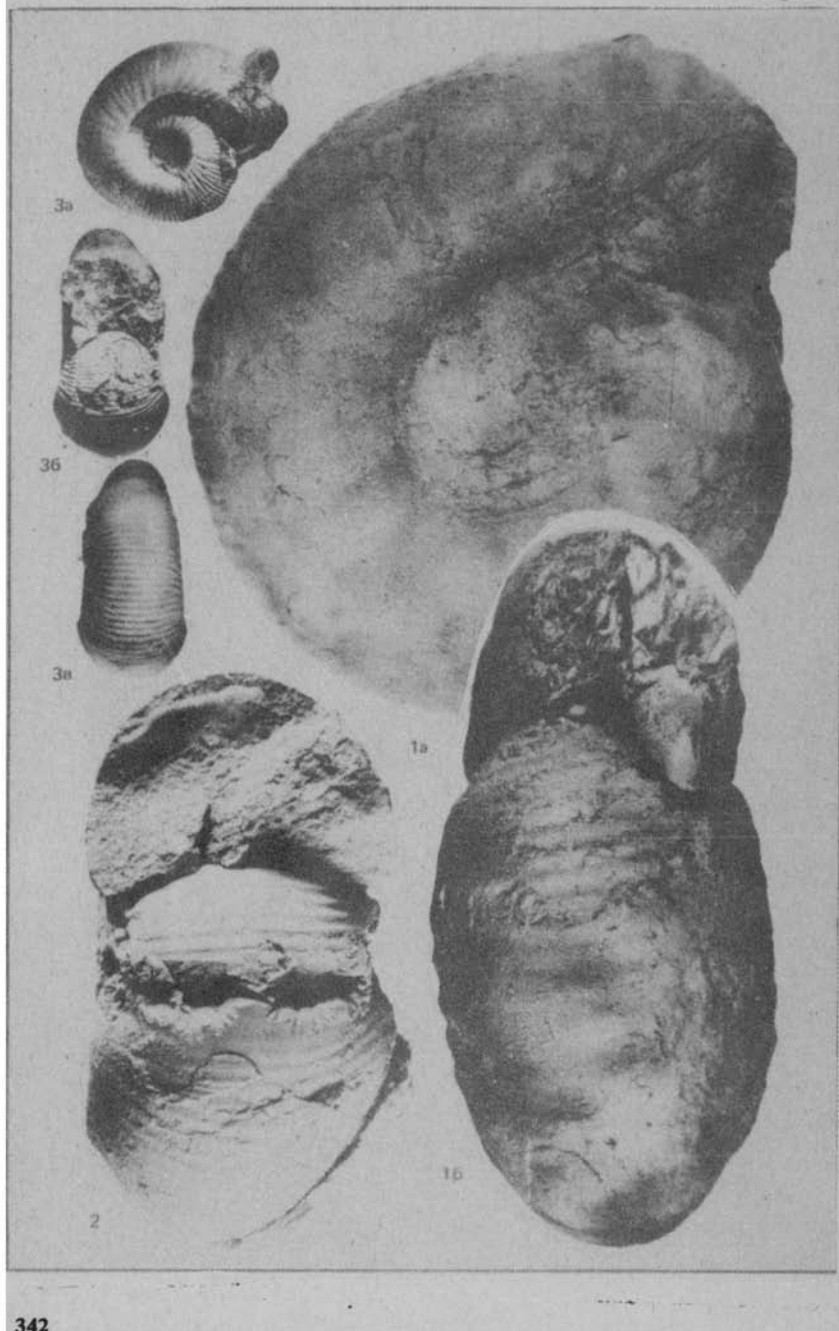
3

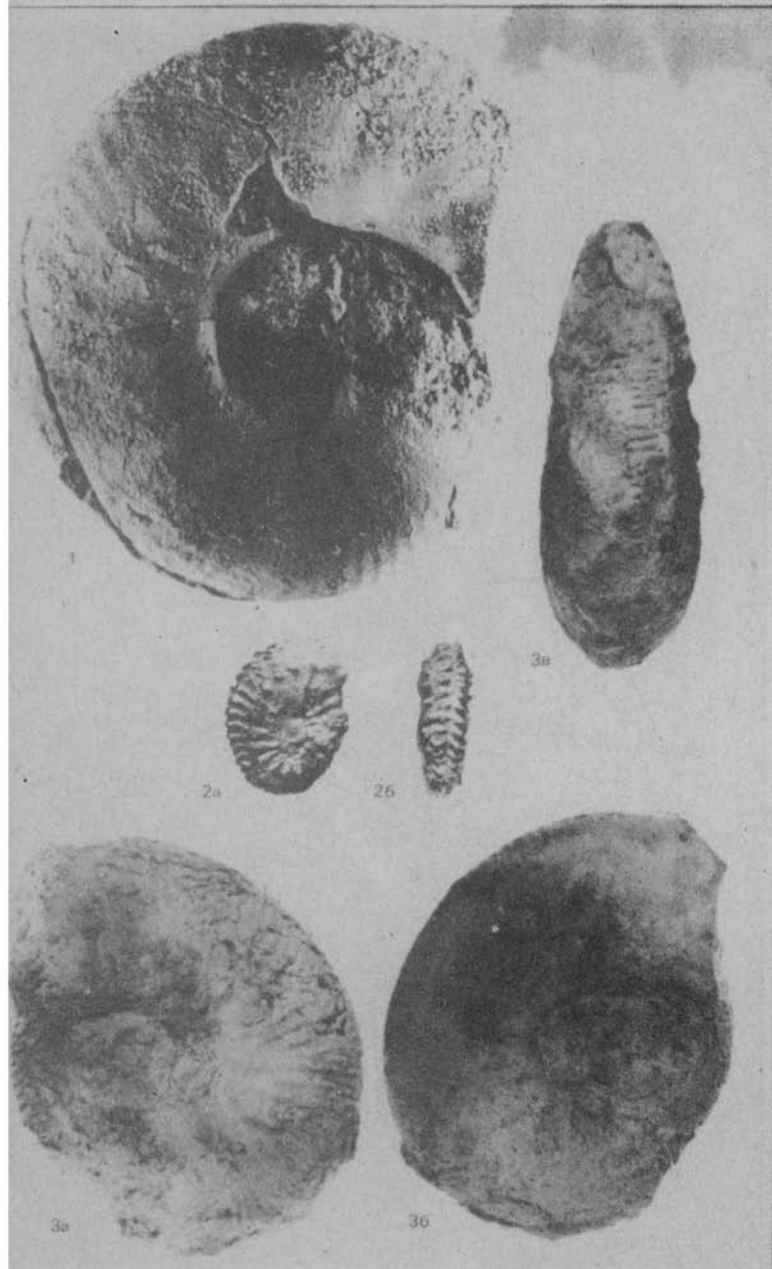


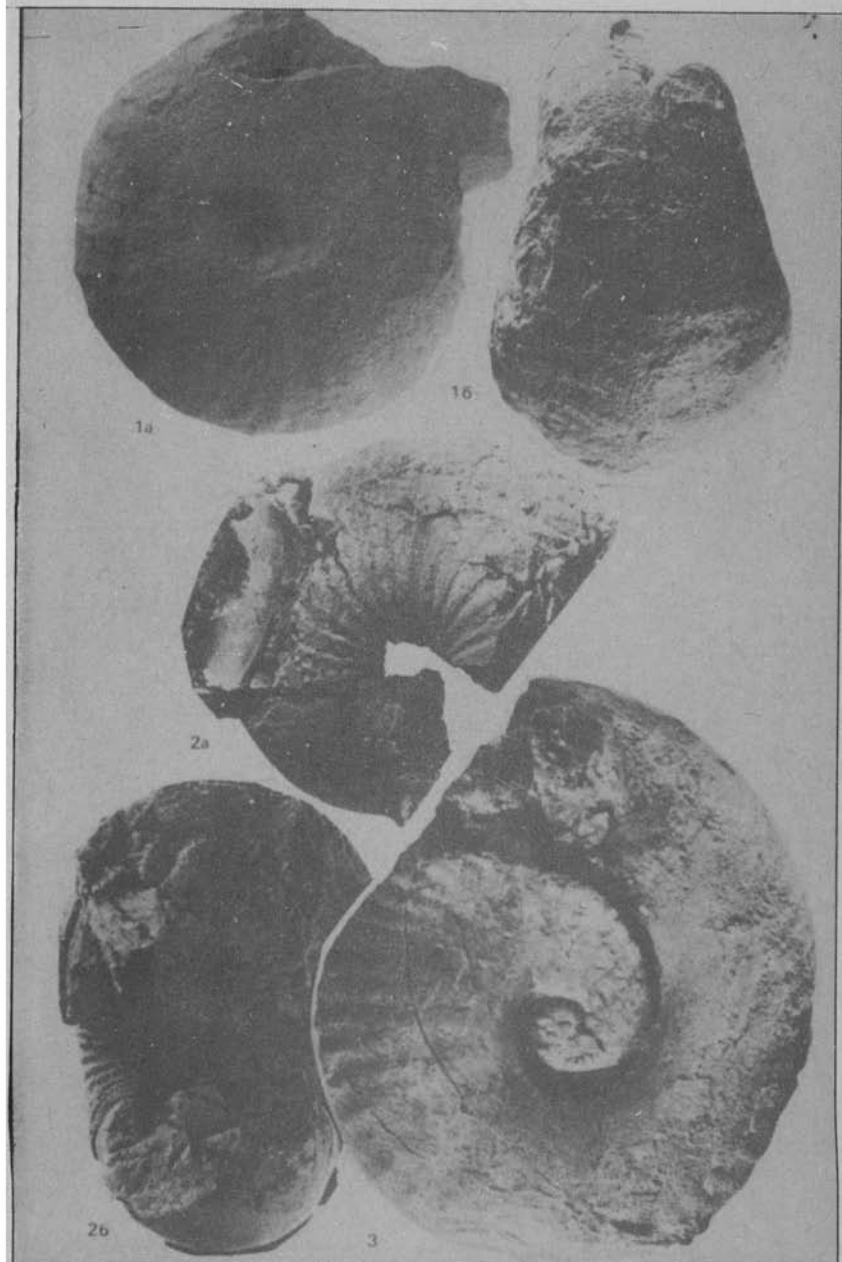


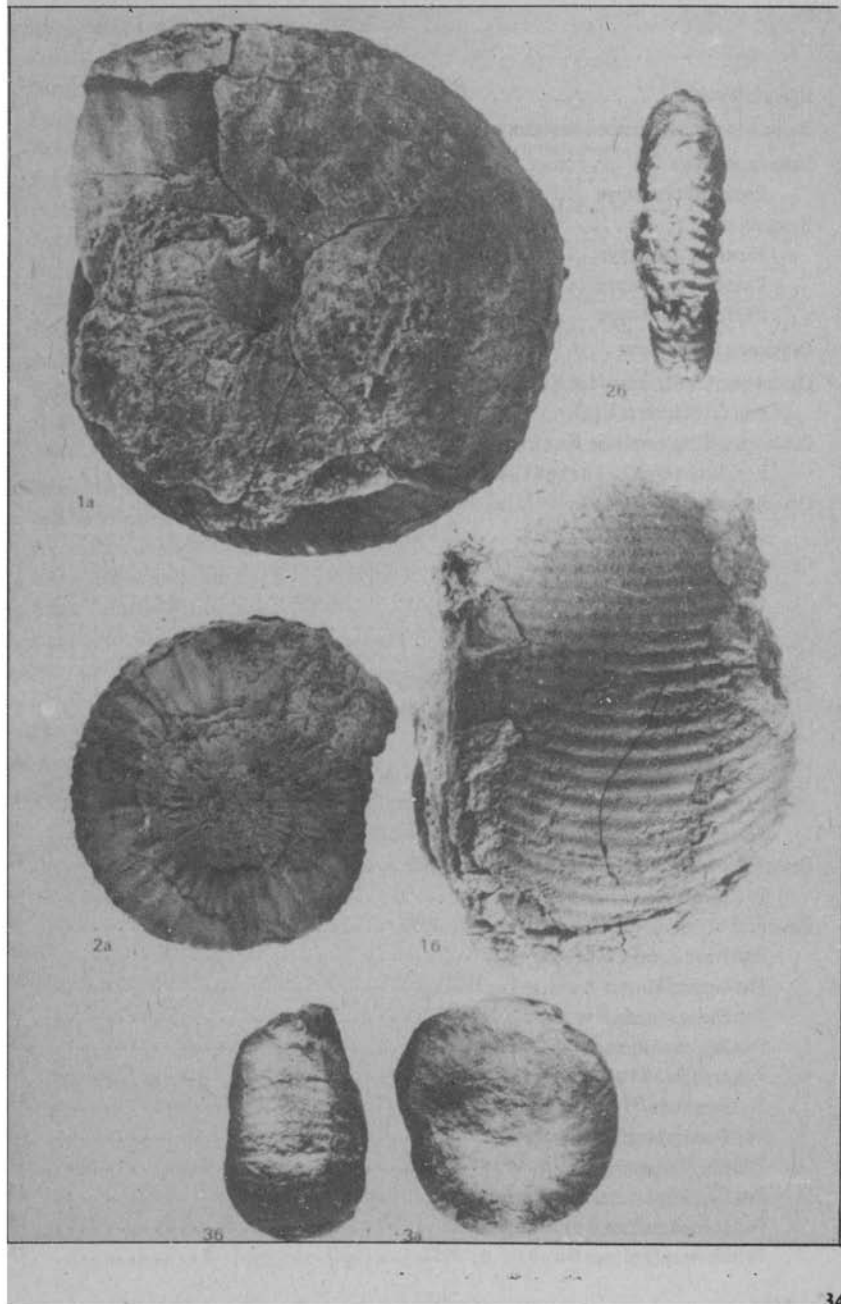












ОГЛАВЛЕНИЕ

Предисловие	3
Зоны верднубайосских и батских отложений Северного Кавказа и Средней Азии. .	5
Байосский ярус	5
Верхний подъярус	5
Батский ярус	14
Нижний подъярус	14
Средний подъярус	16
Верхний подъярус	17
Описание выделенных родов	19
Семейство Clydoniceratidae Buckman, 1924	19
Род <i>Clydoniceras</i> Blake, 1905	19
Семейство Strigoceratidae Buckman, 1924	22
Род <i>Strigoceras</i> Quenstedt, 1886	22
Семейство Lissoceratidae Douville, 1885	27
Род <i>Lissoceras</i> Bayle, 1879	27
Семейство Oppeliidae Douville, 1890	34
Род <i>Oppelia</i> Waagen, 1869	34
Род <i>Oxycerites</i> Rollier, 1909	44
Род <i>Prohecticoceras</i> Spath, 1928	57
Семейство Stephanoceratidae Neumaier, 1875	59
Род <i>Cadomites</i> Munier-Chalmas, 1892	59
Род <i>Orthogarantiana</i> Bentz, 1928	67
Род <i>Garantiana</i> Mascke, 1907	75
Род <i>Hlawiceras</i> Buckman, 1921	78
Род <i>Praeparkinsonia</i> Schmidtil et Krumbeck, 1931	80
Семейство Sphaeroceratidae Buckman, 1920	82
Род <i>Sphaeroceras</i> Bayle, 1878	82
Семейство Perisphinctidae Steinmann, 1890	84
Род <i>Praebigotites</i> Wetzel, 1936	84
Род <i>Leptosphinctes</i> Buckman, 1920	90
Род <i>Oxysphinctes</i> Besnosov, 1981	102
Род <i>Bajocisphinctes</i> Buckman, 1927	103
Род <i>Franchia</i> Sturani, 1967	112
Род <i>Procerites</i> Siemiradzki, 1898	114
Род <i>Prosisphinctes</i> Buckman, 1921	124
Род <i>Choffatiasphinctes</i> Besnosov, 1982	134
Род <i>Gracilisphinctes</i> Buckman, 1920	136
Род <i>Loboplanulites</i> Buckman, 1925	152
Род <i>Homeoplanulites</i> Buckman, 1922	157

Род <i>Subgrossouvria</i> Spath, 1924	164
Род <i>Wagnericeras</i> Buckman, 1921	166
Семейство <i>Parkinsoniidae</i> Buckman, 1920	168
Род <i>Caumontisphinctes</i> Buckman, 1920	168
Род <i>Rarecostites</i> Besnosov et Kutuzova, 1982	176
Род <i>Parkinsonia</i> Bayle, 1878	188
Род <i>Gonolkites</i> Buckman, 1925	199
Род <i>Oraniceras</i> Flamand, 1911	207
Род <i>Bigotites</i> Nicolesco, 1918	211
Род <i>Haselburgites</i> Buckman, 1921	213
Род <i>Pseudocosmoceras</i> Murashkin, 1930	217
Род <i>Medvediceras</i> Nikolaeva, 1967	218
Род <i>Djanaliparkinsonia</i> Kutuzova, 1975	220
Семейство <i>Spiroceratidae</i> Hyatt, 1900	222
Род <i>M.Spiroceras</i> Quenstedt, 1858	222
Род <i>Pseudogarantiana</i> Bentz, 1928	224
Род <i>Strenoceras</i> Hyatt, 1900	228
Семейство <i>Morphoceratidae</i> Hyatt, 1900	233
Род <i>Morphoceras</i> Douville, 1880	233
Род <i>Ebrayiceras</i> Buckman, 1920	239
Род <i>Sulcohamitoides</i> Besnosov, 1990	241
Семейство <i>Tulitidae</i> Buckman, 1921	242
Род <i>Tulites</i> Buckman, 1921	242
Род <i>Morrisiceras</i> Buckman, 1920	244
Род <i>Bullatimorphites</i> Buckman, 1921	249
Род <i>Kheraiceras</i> Spath, 1924	255
Список литературы	261
Палеонтологические таблицы и объяснения к ним	270

- П 47 **Безносов Н.В., Митта В.В.**
Позднебайосские и батские аммонитиды Северного Кавказа
и Средней Азии /Всеросс. науч.-исслед. геол. нефт. ин-т. – М.:
Недра, 1993. – 347 с.: ил.
ISBN 5-247-02937-2

Описано 190 видов позднебайосских и батских аммонитид, принадлеж-
ащих семействам Clydoniceratidae, Strigoceratidae, Lissoceratidae,
Oppeliidae, Stephanoceratidae, Sphaeroceratidae, Parkinsoniidae, Morphocerati-
dae, Tulitidae, Perisphinctidae. Палеонтологически обосновано зональное
расчленение верхнебайосских и батских отложений Северного Кавказа и
Средней Азии

Для палеонтологов и стратиграфов.

НАУЧНОЕ ИЗДАНИЕ

Бешков Николай Викторович

Макта Василий Витгеревич

**ПОЗДНЕБАЙОССКИЕ И БАТСКИЕ АММОНИТИДЫ
СЕВЕРНОГО КAVКАЗА И СРЕДНЕЙ АЗИИ**

Заведующий редакцией *Т.К. Рубинская*

Редактор издательства *Н.А. Тарусова*

Переплет художника *Ю.Г. Черепанова*

Художественный редактор *Н.А. Зотимова*

Технические редакторы *Е.Н. Новикова, Н.В. Жидкова*

Корректор *Т.Ю. Шульц*

Н/К

Лицензия ЛР №010145 от 24 декабря 1992 г. Подписано в печать с репродуцированного оригинал-макета 28.10.93. Формат 60х88 1/16. Гарнитура "Пресс-роман". Печать офсетная. Усл. печ. л. 21,56. Уч.-изд. л. 24,4. Тираж 600 экз. Зак. № 2060 /12931-2. Заказное. Набор выполнен на наборно-пишущей машине.

Издательство "Недра".

125047 Москва, Тверская застава, 3.

Московская типография №9, Министерства печати и информации Российской Федерации
109033 Москва, Волочаевская ул., 40.